

КАДЕМИЯ НАУК СССР

SV



ЖУРНАЛ ФИЗИЧЕСКОЙ ХИМИИ

ТОМ
XXXII



ВЫПУСК 3

МАРТ

ИЗДАТЕЛЬСТВО АКАДЕМИИ НАУК СССР
МОСКВА · 1958

ЖУРНАЛ ФИЗИЧЕСКОЙ ХИМИИ

Редакционная коллегия:

В. Я. АНОСОВ, К. В. АСТАХОВ, А. И. БРОДСКИЙ, Г. К. БОРЕСКОВ,
Я. И. ГЕРАСИМОВ, С. В. ГОРБАЧЕВ, Г. С. ЖДАНОВ,
Л. А. НИКОЛАЕВ, Н. Н. СЕМЕНОВ, А. Н. ТЕРЕНИН, А. Н. ФРУМКИН,
К. В. ЧМУТОВ

Главный редактор Я. И. ГЕРАСИМОВ

Заместители главного редактора С. В. ГОРБАЧЕВ, К. В. ЧМУТОВ

Отв. секретарь Л. А. НИКОЛАЕВ

МАСС-СПЕКТРОМЕТРИЧЕСКОЕ ИССЛЕДОВАНИЕ МЕХАНИЗМА ВОЗНИКНОВЕНИЯ И ИСЧЕЗНОВЕНИЯ СВОБОДНЫХ РАДИКАЛОВ МЕТИЛА НА ПОВЕРХНОСТИ МЕТАЛЛОВ

П. Ле-Гофф и М. Летор

Мы уже настоятельно указывали [1] на затруднения, встречающиеся при исследовании основного механизма гетерогенных газовых реакций и, в частности, на трудности идентификации частиц (атомов, свободных радикалов), образованных в первичных актах этих реакций. Процесс необходимо вести в динамических условиях и при очень низких давлениях (10^{-4} мм ст.). В этих условиях свободные радикалы, возникшие при первичных акциях на реакционной поверхности, имеют возможность удариться со стенкой сосуда, и реакции, протекающие при этом, являются единственными побочными явлениями, подлежащими нашему рассмотрению. Очевидно, что нельзя обойтись без стенок и, следовательно, нельзя исключить их влияние на механизм реакции, но, к счастью, можно количественно оценить это влияние, пользуясь методом расчета, описанным ранее [1—3]. Однако строгие условия опыта обычно не соблюдаются [4—6]. Они требуют использования масс-спектрографа в качестве анализирующего прибора и создания специальной установки, позволяющей работать в ионизационной камере спектрометра измеримую долю свободных радикалов, возникающих в реакторе.

Техника эксперимента

Установка, использованная в настоящей работе, и теория ее действия уже были описаны [1]. Поэтому можно ограничиться перечислением основных принципов ее устройства.

Газ X (молекулярный вес X), разложение которого исследуется, поступает с большой скоростью (5 л/сек) при низком давлении (10^{-4} мм рт. ст.) в камеру. В этой камере помещена металлическая пластинка, геометрическая поверхность которой равна 10 см^2 .

Анализ газа производится посредством масс-спектрографа, ионизационная камера которого отделена от реактора только редкой решеткой. В отсутствие реакции на металлической пластинке концентрация вещества X в реакционном сосуде принята равной $^\circ[X]$, определяемое стационарным режимом газового потока.

Наличие химической реакции на пластинке влечет за собой уменьшение этой концентрации от $^\circ[X]$ до $[X]$. Отношение $u = [X]/^\circ[X]$ определяется непосредственно по изменению интенсивности пика дублета спектра масс вещества X, т. е. иона, образованного отрывом электрона от молекулы X.

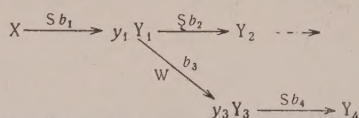
Выход соударения продукта разложения (на пластинке) дается отношением

$$b_1 = \frac{1-u}{v_m u}, \quad (1)$$

v_m — характеристический параметр, определяемый формой реакционного сосуда, который в нашем случае имеет численное значение $v_m = 1,33$.

Обозначим через Y_1 частицы, стабильные или нестабильные, образованные в этом первичном процессе разложения. Если, например, такими частицами являются атомы или свободные радикалы, они могут рекомби-

нироваться на стенках, образуя новые молекулы Y_3 , которые сами могут реагировать при последующих ударах на пластинке и т. д., как это показано на схеме:



Каждая молекула X , введенная в реактор (например, йодистый метил), реагирует с выходом b_1 в течение соударения с нагретой пластинкой S . При этом возникает y_1 частиц Y_1 (например, один радикал CH_3). Этот радикал реагирует с выходом b_2 в течение удара на стенке W , образуя y_3 частиц Y_3 (например, $1/2$ молекулы этана). Радикал Y_1 может равным образом реагировать с выходом b_3 на пластинке с образованием частиц Y_2 (например, атомов водорода) и т. д.

Концентрации веществ Y_1 и Y_3 в реакционном сосуде могут быть выражены соответственно следующим образом:

$$\frac{[Y_1]}{[X]} = \frac{y_1 q_x}{q_{y_1}} \cdot \frac{v_m b_1}{(1 + v_m b_1)(1 + v_m b_2 + v'_m b_3)}; \quad (2)$$

$$\frac{Y_3}{Y_1} = \frac{y_3 q_{y_1}}{q_{y_3}} \cdot \frac{v'_m b_3}{1 + v_m b_4}, \quad (3)$$

где b_1, b_2, b_3, b_4 — выходы соударения при различных элементарных процессах; y_1 и y_3 — стехиометрические коэффициенты; q_x, q_{y_1}, q_{y_3} — значения (для каждого из веществ) эффективной доли прохождения через реактор (за исключением специально оговоренных случаев, мы предполагаем, что все эти величины равны между собой, как это обычно и принято делать); v_m и v'_m — средние значения неэффективных ударов каждой молекулы о пластинку и о стенку в течение прохождения ею реактора.

Как ранее было показано [1], отношения (2) и (3) (так же как и другие аналогичные отношения) вообще позволяют рассчитывать выходы для различных элементарных процессов, исходя из данных о концентрации все образующихся продуктов: Y_1, Y_2, Y_3 и т. д. Однако получение всех этих данных не всегда возможно.

Пусть $J(m^+)$ — измеренная интенсивность для пика, соответствующей массе m , когда пластинка нагрета до температуры T ; по аналогии с величиной u мы обозначим $v(m)$ изменение интенсивности пика m , так $v(m) = J(m^+)/J(m^+)$. В том простом случае, когда интенсивность этого пика возрастает только за счет спектров обоих веществ X и Y , концентрация Y может быть выведена из $v(m)$ посредством отношения

$$\frac{[Y]}{[X]} = \frac{j(m^+, X)}{j(m^+, Y)} (v(m) - u). \quad (4)$$

Это определение, очевидно, предполагает значение отношения «чувствительностей» $j(m^+, Y)/j(m^+, X)$ веществ Y и X в пике m , т. е. отношения интенсивностей этого пика при равных концентрациях каждого из газов. Именно получение таких эталонных данных является наибольшим затруднением при определении свободных радикалов методом масс-спектрометрии.

Условия образования свободных радикалов на металлической ленте

Роль образования слоя углерода на поверхности вольфрама. Ранее было показано [7, 8], что в тех же условиях опыта разложение ацетальдегида, ацетона или ацетилена становится заметным при 1300°K и протекает почти до конца при температурах, при

ающих 1700°K , образуя углерод (который растворяется в металле) стабильные простые газы, такие как CO и H_2 . Никогда не наблюдалось образования ни свободных радикалов, ни иных промежуточных соединений.

Детальное исследование этих реакций позволило предложить следующий механизм.

Каждый раз, как молекула ударяется о чистую поверхность вольфрама, нацело разлагается, и выход на соударение практически не поддается измерению, когда удар приходится на поверхность, покрытую слоем углерода (или карбида вольфрама?).

Доля поверхности θ_{C} , занятая этим карбонизированным слоем, зависит от каждой данной температуры от соотношения между реакцией разложения газа (приносящего углерод) и диффузией углерода в вольфрам (условливающей перенос углерода с поверхности в толщу металла). При 1700°K поверхность вольфрама непрерывно очищается (т. е. $\theta_{\text{C}}=0$), а при ниже 1300°K она в значительной степени покрыта углеродом ($\neq 1$)*.

Изменение скоростей разложения, наблюдавшееся между 1300 и 1700°K , соответственно, определяется только температурной зависимостью скорости диффузии углерода в вольфрам, а не изменением выходов на той или иной поверхности.

Таким образом предложенный механизм процесса в принципе основан на том, что молекулы таких веществ, как ацетальдегид, отражаются от поверхности, покрытой углеродом, не претерпевая разложения.

Все происходит так, как если бы молекулы не успевали изменяться за короткое время адсорбции и десорбции, составляющих акт соударения [7—9]. Можно было, конечно, думать, что в случае менее стабильных молекул, таких как перекиси, металлоорганические соединения или йодированные органические вещества, потребовалось бы меньшее количество энергии для разрыва связей внутри молекул. Действительно, *трет-бутилперекись*, *тетраметилсвинец* и *йодистый метил*, поведение которых изучалось в тех же условиях, какие были приняты для ацетальдегида, начинают разлагаться при температурах значительно более низких, т. е. тогда, когда углеродный слой еще покрывает большую часть поверхности вольфрама.

Но наиболее существенный результат этих опытов состоит в следующем. Ниже 1500°K указанные три вещества разлагаются с образованием различных промежуточных соединений, атомов и свободных радикалов, природа которых будет описана ниже.

Начиная с 1500 — 1700°K концентрация этих промежуточных соединений быстро уменьшается, тогда как количество стабильных продуктов (CO , H_2) значительно возрастает (явление качественно изображено на рис. 1). Замечательно, что это неожиданное исчезновение свободных радикалов имеет место как раз в той области температур, где скорость диффузии углерода в вольфрам становится достаточной, чтобы обеспечить постоянное освобождение поверхности от углерода.

Этот факт позволяет высказать следующую гипотезу (в пользу которой приводятся дополнительные аргументы). Удары молекул малостабильных веществ о чистую поверхность вольфрама вызывают, как и в случае ацетальдегида, полное разложение этих молекул с образованием углерода и стабильных газов (CO , H_2).

Удары о поверхность, покрытую углеродом, приводят к образованию

* Вследствие чрезвычайно низкого давления газа в опытах авторов абсолютное количество углерода, отложившегося на поверхности вольфрама, остается все время незначительным. Во всех случаях среднее содержание углерода в пластинке не ниже 1% по весу.

промежуточных соединений (свободных радикалов). В этом случае выход зависит от температуры.

Явления гистерезиса на вольфраме. На рис. представлены изменения некоторого числа пиков масс-спектра йодистого метила в зависимости от температуры пластинки; разложение производилось в реакционном сосуде, для которого среднее число соударений было равно трем.

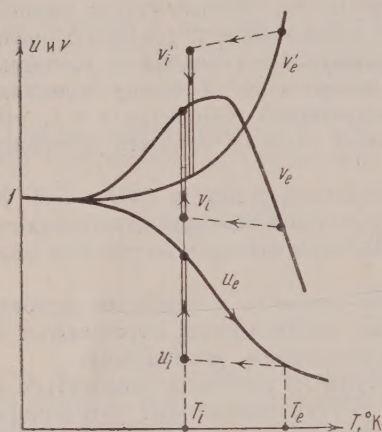


Рис. 1

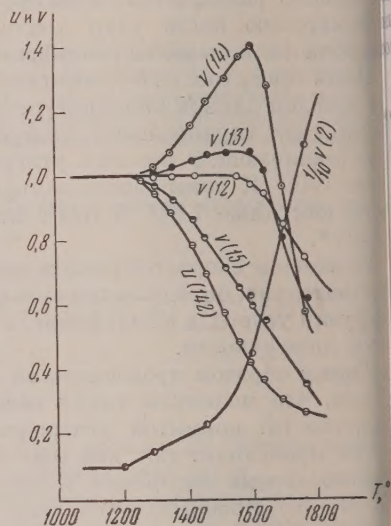


Рис. 2

Рис. 1. Схематическое изображение экспериментальных результатов: кривая u_e — относительная интенсивность пика дублета масс-спектра разложенного вещества. Кривые v_e — относительные интенсивности пиков, усиленных за счет промежуточных соединений (свободных радикалов); концентрации этих веществ пропорциональны разностям ($v_e - u_e$); кривые v'_e — относительные интенсивности пиков, усиленных за счет стабильных газов (CO, N_2), причем концентрации этих газов пропорциональны величинам ($v'_e - u_e$)

Рис. 2. Относительные интенсивности пиков: 142, 15, 14, 13, 12 и 2 в процессе разложения йодистого метила на вольфраме

На рис. 3 и 4 представлены в различных масштабах некоторые результаты опытов по разложению ди-*трет*-бутилперекиси (при $v_m = 1, 2$). Эти данные получены путем постепенного повышения температуры пластинки (метод, названный «стационарным равновесным режимом» в опытах по разложению ацетальдегида [8]).

Когда же, в противоположность этому методу, после кратковременного нагревания выше 1700°K снижают температуру вольфрамовой пластинки ниже 1300°K , здесь, так же как и в случае ацетальдегида, наблюдаются явления гистерезиса, представленные на рис. 1. Интенсивность пика дублета, имеющая вначале значение u_i , меньшее чем u_e (соответствующее стационарному равновесию при этой температуре), возрастает от u_i до u_e в течение нескольких десятков секунд. Существенно отметить, что относительные интенсивности v пиков, соответствующих свободным радикалам (пики 14, 15, ... и т. д.), проявляют совершенно то же явление гистерезиса: исходное значение v_i всегда ниже равновесного значения v_e . Наоборот, пики 28 и 12, соответствующие окиси углерода так же как пик 2 (водород), представляют собою дополнительные явления: здесь исходное значение v_i выше, чем равновесное значение v_e .

Эти наблюдения находятся в согласии с предложенным механизмом, учитывающим загрязнение поверхности пластинки углеродом. Отметим, что при такой интерпретации смысл операции кратковременного нагрева при высокой температуре заключается в освобождении поверхности от углерода путем усиления его диффузии в толщу металла; когда же температура последнего снижается, поверхность значительно более свободна в начале опыта, чем при достижении стационарного равновесия; становится понятным, что количество водорода, образованного при столкновении молекулы газа с чистой поверхностью вольфрама, больше в начале процесса, чем в последующих стадиях. Наоборот, исходная концентрация

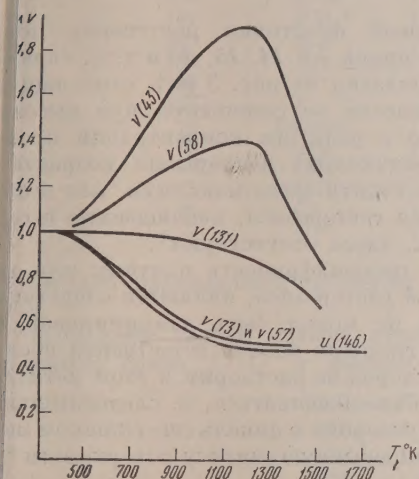


Рис. 3. Относительные интенсивности пиков: 146, 131, 73, 58, 57 и 43 в процессе разложения трет-дибутилперекиси на вольфраме

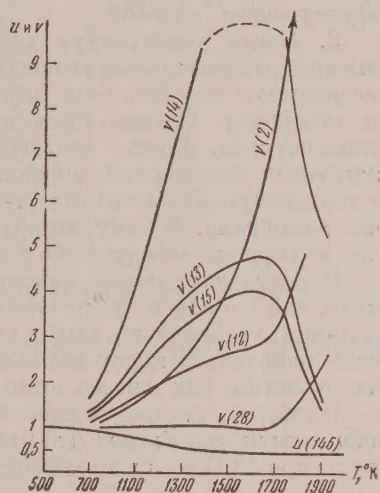


Рис. 4. Относительные интенсивности пиков: 146, 28, 15, 14, 13, 12 и 2 при разложении трет-дибутилперекиси на вольфраме

свободных радикалов, образованных при реакциях на углеродном слое, ниже, чем соответствующая концентрация в стационарном равновесии.

Разложение на платине и никеле. Разложения газов могли быть изучены на платине только при температурах ниже 1650—1700° K и на никеле ниже 1200—1300° K. Эти температурные пределы обусловлены: в случае платины — слишком высокой летучестью металла при более высоких температурах, а в случае никеля — появлением эффекта уша [10]. Последний заключается в том, что вследствие эффекта Джоуля температура на поверхности металлической пластины становится неравномерной. Получены следующие результаты:

1. Ацетальдегид, ацетон и ацетилен не разлагаются заметным образом. (Это значит, что выходы соударения ниже, чем 10^{-2} [7,8].)
2. Скорость разложения ди-трет-бутилперекиси, т. е. кривая $u(146)$ (рис. 4 в пределах точности опыта одна и та же для случаев платины и никеля при каждой температуре. Свободные радикалы и промежуточные соединения, образованные здесь, по крайней мере, при низких температурах те же.

Может показаться, что эти результаты находятся в противоречии с радиационным понятием «каталитической активности» платины и никеля; но необходимо отметить, что названные металлы применены здесь в виде массивных пластин и лент, непористых и с гладкими поверхностями. В случае же применения образцов платины с большей удельной поверх-

ностью (шероховатая платина, полученная предварительным нагреванием в кислороде) удалось показать, что разложение органических веществ приводит к образованию углерода, который загрязняет поверхность [9]. Вероятно, что процесс протекает одинаково и на гладкой платине и что в течение первых секунд нагревания в атмосфере углеводородов откладывается слой углерода; но поверхность гладкой пластинки слишком мала, чтобы позволить наблюдать в первой стадии это загрязнение углеродом, тем более, что оно должно уже иметь место в предварительной операции дегазации нагреванием в вакууме. Последующее разложение углеводородов должно, следовательно, протекать на этом поверхностном слое углерода и вполне ясно, что разложение вещества не зависит от природы металла образующего подслоя.

3. Когда температура вольфрамовой пластинки постепенно повышается, относительные интенсивности пиков 13, 14, 15, 43 и т. д. сначала возрастают, подобно тому как это показано на рис. 3 и 4, относящихся к вольфраму. Однако здесь интенсивности не снижаются при высоких температурах. Можно заключить, что в реакторе концентрации промежуточных соединений (свободных радикалов) непрерывно возрастают с температурой, вместо того чтобы проходить через максимум, как в случае вольфрама. К тому же все явления гистерезиса, наблюдаемые в случае вольфрама между 1300 и 1800° К, здесь отсутствуют*.

В результате можно считать, что неспецифичность платины или никеля, так же как и отсутствие явлений гистерезиса, являющиеся следствием наличия углеродного слоя, который не может быть элиминирован из-за счет диффузии в массу металла. Эта гипотеза вполне естественна в случае платины, так как известно, что углерод не растворим в этом металле.

Наоборот, углерод и никель способны смешиваться, и, следовательно, наши опыты доказывают, что диффузия углерода в никель еще слишком медленна при 1300°К, чтобы обеспечить непрерывную очистку поверхности**.

Разложение йодистого метила

На рис. 2 и в табл. 1 приведены значения относительных интенсивностей v_i при 1590° К различных пиков спектра йодистого метила, измеренных в одинаковых условиях.

Идентификация образующихся свободных радикалов. Несмотря на то, что масс-спектры свободных радикалов ICH_3 , JCH и JC нам неизвестны, можно считать, что их концентрация в реакторе остается очень незначительной, поскольку относительные высоты v пиков 141, 140 и 139 остаются не отличимыми от пика дублета 142. Можно было предположить, что отсутствие свободных радикалов в газовой фазе является в большей степени следствием очень большой скорости исчезновения радикалов на стенке, чем малой скорости их образования на пластинке. Но применение отношения (2) показывает, что даже в самом неблагоприятном случае, когда выход на соударение для распада радикалов на стенке был бы равен единице, число Y_1 «тяжелых» радикалов, образованных

* Когда пластинка нагревается, металлические стенки реактора также нагреваются до стационарной температуры, являющейся результатом равновесия между энергией, полученной от пластинки посредством излучения, и энергией, рассеиваемой вследствие теплопроводности электродов и их держателей. Оказалось возможным оценить порядок величины этой температуры путем введения термопары (проволоки, диаметром в 0,1 мм) в ячейку сетки, отделяющей ионизационную камеру от самого реактора. Измеренная таким образом температура была равна 150 и 300° С, когда пластинка нагревалась до 1350 и 1750°К. Можно было приписать явления гистерезиса неизвестному процессу, зависящему от установления температурного равновесия на стенках реактора, но различие результатов, полученных при использовании пластинок из платины и из вольфрама, исключают эту возможность.

** Изложенное представление будет подтверждено в последующей статье результатами исследования разложения органических веществ на поверхности чистого углерода.

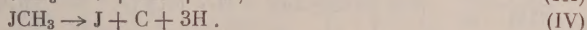
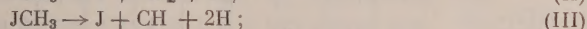
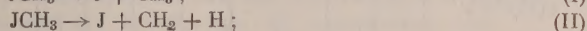
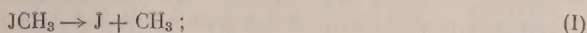
Таблица 1

Разложение йодистого метила при $3 \cdot 10^{-5}$ мм рт. ст. на пластинке из вольфрама в реакторе с $v_m = 3$ и $v'_m = 67$

Массовое число	Ион	Спектр йодистого метила (интенсивность пика дублета принята за 100)	Относительная интенсивность v_e при 1590°K
254	J_2^+	0	Очень слабая, но не нулевая
142	JCH_3^+	100,0	$u_e = 0,42$
141	JCH_2^+	16,0	0,42
140	JCH^+	4,0	0,42
139	JC^+	6,0	0,42
128	JH^+	1,5	20
127	J^+	35,0	1,0
16	Изотоп	0,9	0,7
15	CH_3^+	76,0	0,63
14	CH_2^+	55,3	1,40
13	CH^+	2,1	1,07
12	C^+	1,0	1,0
2	H_2^+	0,08	4,5

в каждой разложенной молекулы йодистого метила, все же не больше 0,08.

Рассмотрим теперь четыре первичных процесса, сопровождающихся разрывом связи $J-C$, а именно:



Рост $[v(15)-u]$ пика 15 может быть приписан только радикалу CH_3 , так что процесс (I), который обычно принимается в кинетике гомогенных реакций, несомненно имеет место в настоящих условиях опыта. Это, по крайней мере, верно для случая низких температур, когда пластинка покрыта слоем глерида. В противоположность этому, при высоких температурах на голеной поверхности металла должен преобладать процесс (IV), который и обуславливает карбонизацию вольфрама и обильное образование водорода*.

Возникает вопрос: чем обусловлены существенные значения величин $v(14)-u$ и $v(13)-u$, относящихся к пикам CH_2^+ и CH^+ ; образуются ли эти частицы только из радикала CH_3 , или же имеется некоторое влияние электронов радикалов CH_2 и CH ? Другими словами, изменяется ли с температурой механизм разложения? Не протекает ли при низкой температуре процесс (I), при более высокой — (II), при еще более высокой — (III) и (IV)? Или же, наоборот, имеется принципиальное различие между реакциями (I) на углеродном слое и (IV) на чистом металле? Два аргумента позволяют принять вторую гипотезу и утверждать, что при выделении водорода из йодистого метила на вольфраме ни при каких условиях не образуются радикалы CH_2 и CH^{**} .

* Экспериментально удается определить только ионы H_2^+ , а не H^+ ; однако расчет вероятных ошибок, выполненный в другой работе [1], показал, что вследствие быстрой рекомбинации $2H \rightarrow H_2$ на стенках, использованная методика не позволяет уточнить, в каком состоянии образуется водород: атомарном или молекулярном.

** Известно, что после возникновения радикала CH_3 в момент первичного столкновения молекулы йодистого метила на участках поверхности, покрытых углеродом, этот радикал испытывает в среднем $v_m=3$ соударения с пластинкой; мы можем утверждать, что даже при тех ударах, которые приходятся на чистую поверхность металла, из радикалов CH_3 не образуется ни CH_2 , ни CH (см. схему)

Выписывая выражения (4) для пиков 14 и 15 и беря отношения эти выражений, получаем

$$\frac{v(14) - u}{v(15) - u} = \frac{j(14^+, \text{CH}_3)}{j(15^+, \text{CH}_3)} \frac{j(15^+, \text{JCH}_3)}{j(14^+, \text{JCH}_3)}$$

Это отношение показывает, что в гипотезе, согласно которой величина $[v(14) - u]$ определяется исключительно влиянием радикала CH_3 , отношение $[v(14) - u]/[v(15) - u]$ должно оставаться постоянным, каковы бы ни были u и v , т. е. при любой температуре пластинки; то же рассуждение справедливо для пар пиков (13, 15) и (12, 15). В табл. 2, строки 3, и 5 представляют значения этих отношений, рассчитанных по данным рис. 1. Десять определений, произведенных между 1290 и 1760° К, дают приблизительно постоянные величины для пиков 14 и 13; аналогично этому, семь первых данных для иона 12* приблизительно одинаковы.

Таблица 2

Сравнительные данные по относительным интенсивностям пиков 142, 15, 14, 13 и 12 при разложении йодистого метила

Т°, К	1290	1340	1410	1450	1510	1550	1590	1630	1690	1760	Средние данные
$\frac{v(15) - u}{1 - u}$	0,40	0,36	0,38	0,37	0,33	0,33	0,36	0,28	0,20	0,12	Средние данные для 7 первых значений: $0,36 \pm 0,02$
$\frac{v(14) - u}{v(15) - u}$	4,0	4,5	4,6	4,8	5,1	5,2	4,7	5,2	4,7	3,45	Средние данные для 10 значений $4,6 \pm 0,4$
$\frac{v(13) - u}{v(15) - u}$	3,0	3,25	3,25	3,3	3,5	3,4	3,1	3,7	3,6	3,9	Средние данные для 10 значений $3,4 \pm 0,2$
$\frac{v(12) - u}{v(15) - u}$	2,5	2,7	2,6	2,7	3,0	3,0	2,7	3,3	3,85	5,3	Средние данные для 7 первых значений: $2,7 \pm 0,1$

Таким образом, можно думать, что эти избыточные интенсивности $[v(m) - u]$ составляют относительный спектр одной и той же частицы, а именно — радикала CH_3 . Спектр этого радикала, рассчитанный на основе такой гипотезы, дан в приложении.

Измерения потенциалов возникновения ионов были произведены методом затухающей интенсивности [11] и посредством сравнения с потенциалом ионизации аргона, вводимого в реактор.

Когда пластинка была нагрета до 1550° К, найдено

$$A(\text{CH}_3^+) = 10,0 \pm 0,2\text{V},$$

$$A(\text{CH}_2^+) = 16,0 \pm 1,0\text{V}.$$

Как будет показано ниже, приведенные значения соответствуют образованию ионов из радикалов CH_3 . Мы смогли убедиться, что потенциал возникновения иона CH_2^+ остается при всех температурах пластинки в пределах, близких к 16 V, т. е. значительно выше потенциала ионизации CH_2 , который, как известно, близок к 11 V (см. ниже).

В итоге, воздерживаясь от рассмотрения судьбы возникающих атомов йода, представляется, что единственным первичным процессом разложения йодистого метила на углеродном слое является $\text{JCH}_3 \rightarrow \text{J}^+ + \text{CH}_3$.

* При высоких температурах на данные, относящиеся к пикам 28, 16 и 12, влияет наличие окиси углерода, десорбирующейся с металла.

Реакция свободных радикалов на стенках. В общем случае горячая металлическая пластинка, частично покрытая слоем углерода, вызывает образование атомов водорода, атомов йода, метильных радикалов; возникает вопрос: каково взаимодействие между этими частицами на металлических стенках и какие из них преимущественно адсорбируются стенками*?

Рассмотрим различные возможные процессы:

Реакция $\text{H} + \text{H} \rightarrow \text{H}_2$. Эта реакция несомненно протекает очень быстро, поскольку пик (2) всегда более интенсивен, чем пик (1); количественная сторона вопроса уже обсуждалась ранее [1].

Реакция $\text{J} + \text{J} \rightarrow \text{J}_2$. Эта реакция несомненно очень медленная, поскольку пик J_2 , который возникает при массе 254, едва измерим. Отметим, что это заключение остается действительным, если реакция диссоциации на пластинке: $\text{J}_2 \rightarrow 2\text{J}$ протекает очень быстро. (Здесь есть аналогия с рекомбинацией $2\text{H} \rightarrow \text{H}_2$, см. [1].)

Реакция $\text{J} + \text{H} \rightarrow \text{HJ}$. Сравнимые интенсивности пиков 126 (J^+) и 127 (HJ^+) должны соответствовать сравнимым концентрациям частиц J и HJ . Но концентрация HJ определяется конкуренцией между рекомбинацией $\text{J} + \text{H} \rightarrow \text{HJ}$ на стенках и противоположной ей диссоциацией HJ на пластинке. Путем использования отношения (2) (см. также рис. 6 в работе [1]) можно рассчитать, что выход диссоциации на пластинке заключен между 1 и 0,1, тогда как выход рекомбинации на стенке находится между 0,1 и 0,01.

Реакция $\text{CH}_3 + (\text{CH}_3, \text{адсорбированный на стенке}) \rightarrow \text{C}_2\text{H}_6$.

Мы подтвердили в независимом исследовании, что этот же протекает никакого заметного разложения на той же пластинке и в той же области температур; в этом случае отношение (3) напишется так:

$$\frac{[\text{C}_2\text{H}_6]}{[\text{CH}_3]} = \frac{67b_3}{2(1 + 3b_4)} \neq 33 b_3, \quad (6)$$

где b_3 — выход соударения для рекомбинации на стенках.

При помощи отношений (4) и (1) и пределах чувствительности измерений для пика 30, т. е.

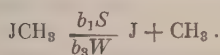
$$[\text{C}_2\text{H}_6] \leq [\text{JCH}_3]/400,$$

можно рассчитать максимальное значение выхода $b_3: b_3 \leq 6 \cdot 10^{-4}$.

Реакция $\text{CH}_3 + \text{H} \rightarrow \text{CH}_4$ (одна из реагирующих частиц предполагается адсорбированной стенкой).

Мы подтвердили, что чистый метан не разлагается заметным образом вплоть до 2200°K. Можно рассчитать точно так же, как это описано выше, величину $b_3: b_3 \leq 1 \cdot 10^{-4}$.

Реакция $\text{J} + \text{CH}_3 \rightarrow \text{JCH}_3$. Невозможно одновременно определить выход b_1 диссоциации и выход b_3 рекомбинации в реакциях:



Здесь отношения (1) и (2) уже не независимы и сводятся к отношению:

$$\frac{[\text{JCH}_3]}{[\text{JCH}_3]} = u = \frac{1 + 67b_3}{1 + 3b_1 + 67b_3}. \quad (7)$$

Можно только отметить, что, для того чтобы получить $u < 0,3$ при температурах выше 1700°K, необходимо, чтобы b_1 было порядка единицы и $b_3 \ll b_1$.

* В некоторых опытах мы пользовались медными реакторами, в других случаях — вольфрамовыми. Однако на результатах опыта замена материала стенки реактора не сказалась.

Разложение тетраметилсвинца

Экспериментальные результаты. Полученные нами результаты по разложению тетраметилсвинца характеризуются малой воспроизводимостью измерений, в особенности в том, что касается интенсивности ионов для масс от 204 до 268.

В этой области находится большое число пиков как вследствие известного факта наличия изотопов свинца, так и вследствие множества возможных комбинаций Pb и CH_3 от $\text{Pb}(\text{CH}_3)_4^+$ до Pb^+ . Наиболее интенсивные пики, которые отвечают формуле $\text{Pb}_{208}(\text{CH}_3)_n^+$, где $n = 3, 2, 1, 0$. Одновременное определение этих пиков посредством катодного осциллографа показывает, что их относительная интенсивность v колеблется невоспроизводимым образом, когда изменяется температура пластины, но вообще остается выше интенсивности u пика дублета; следовательно, можно только сказать, что некоторые свободные радикалы, так называемые тяжелые радикалы PbC_xH_y , возникающие из молекулы тетраметилсвинца вследствие отрыва нескольких атомов углерода и водорода, появляются в газовой фазе, но не представляется возможным уточнить условия их образования.

Интенсивность u пика дублета, измеренная при различных температурах при $v_m = 2,5$, приведена во втором столбце табл. 3.

Таблица 3

Сравнительные данные по относительным интенсивностям пиков **268, 15, 14, 13** при разложении тетраметилсвинца

Т°, К	u	$\frac{v(15) - u}{1 - u}$	$\frac{v(14) - u}{v(15) - u}$	$\frac{v(13) - u}{v(15) - u}$
1150	0,98	12	2,7	3,0
1220	0,95	10	—	3,8
1285	0,92	10	2,9	4,5
1420	0,82	8	3,1	4,8
1560	0,67	5,5	2,8	3,9
1700	0,47	4,0	2,5	3,9
1770	0,38	3,7	—	—
1840	0,32	1,8	2,9	—
1900	0,28	1,0	2,3	—
		Среднее	$2,7 \pm 0,2$	$3,9 \pm 0,4$

В противоположность этому, группа масс, меньших чем 30, поддается более точному анализу. Так, легко рассчитывать концентрацию этана при каждой температуре, исходя из измерения величины $[v(m) - u]$ для шести пиков масс от 25 до 30.

Концентрация метана рассчитывается тем же способом, исходя из интенсивности пика **16**, после расчета концентрации этана и введения изотопной поправки, необходимой вследствие наличия интенсивного пика для массы 15.

После расчета конкуренции этана и метана при возникновении пиков **15, 14 и 13**, для каждого из этих ионов обнаруживается избыточная интенсивность, которую можно приписать только свободному радикалу, более легкому, чем метан.

Так же как и в случае йодистого метила, можно показать, что здесь присутствует только радикал CH_3 . Действительно, отношения $[v(14) - u]/[v(15) - u]$ и $[v(13) - u]/[v(15) - u]$, приведенные в столбцах 4 и 5 табл. 3, остаются более или менее постоянными при изменении темпе-

туры пластинки. К тому же потенциалы возникновения в случае пластинки из вольфрама, нагретой до 1500°K , имеют следующие значения:

$$A(15^+) = 9,85 \pm 0,2\text{V};$$

$$A(14^+) = 16,15 \pm 0,2\text{V};$$

$$A(13^+) = 15,5 \pm 0,5\text{V}.$$

Первое из этих значений хорошо подходит к потенциалу ионизации радикала CH_3 , известному теперь с большой точностью: наиболее новые измерения, произведенные Лангер, Киппл и Стивенсоном [6], действительно установили, что эта величина равна $9,85 \pm 0,1\text{V}$.

Вторая величина — потенциал возникновения иона CH_2^+ из радикала CH_3 — не постоянна и имеет порядок двух известных значений: $15,29 \pm 0,08\text{V}$ [5] и $15,30 \pm 0,1\text{V}$ [6].

Третья величина — потенциал возникновения иона CH^+ из радикала CH_3 — находится в согласии с известными данными: $15,58 \pm 0,30\text{V}$ [5] и $16,2 \pm 0,2\text{V}$ [6]. Во всяком случае полученные нами значения много выше потенциалов ионизации радикалов CH_2 и CH , которые, соответственно, близки к $11,9$ и к $11,1\text{V}$ [6, 12]. Следовательно, исключена возможность присутствия в реакторе радикалов CH_2 и CH .

Концентрация радикала CH_3 окончательно рассчитывается из данных об интенсивности пиков 15, 14 и 13 благодаря знанию спектрометрической чувствительности $j(15^+, \text{CH}_3)$, данной уравнениями (10) и (11). Концентрация водорода также рассчитывается из интенсивности пика 2.

На рис. 5 представлены, в одних и тех же единицах, концентрации этих четырех газов.

О вероятном механизме процесса. Свинец — относительно летучий металл ($p - 1\text{ мм рт. ст. при } 1250^\circ\text{K}$), и поэтому, вероятно, что свинец, выделяющийся в реакции разложения на пластинке, отлагается на стенках реактора; в этих условиях метильные радикалы, образующиеся на пластинке, могут реагировать со свинцовым зеркалом, образованным на стенке, вследствие чего восстанавливается молекула исходного вещества. Вероятно, что вообще мы имеем дело с большим числом конкурирующих гетерогенных процессов, в которых могут образовываться или же распадаться тяжелые радикалы $\text{Pb}(\text{CH}_3)_n$. Эти процессы протекают как на пластинке, так и в адсорбированных стенками слоях. Во всех работах, в которых пользуются техникой зеркал Пенета — Райса [13], авторы настаивают на трудностях, связанных со стремлением получить воспроизводимые результаты по «растворению» свинцовых зеркал свободными радикалами. Поверхность свинца, действительно, чрезвычайно чувствительна к следам примесей. Плохая воспроизводимость наших опытов, по-видимому, должна быть объяснена подобным образом. Отметим, что Элтонтон [14] встретился с теми же трудностями.

Уменьшение концентрации CH_3 и быстрое возрастание концентрации H_2 при температурах выше 1700°K вполне согласуются с нашей основной гипотезой о роли углеродного слоя на поверхности металлической пластинки. Однако здесь появляется этан и метан в концентрациях, сравнимых

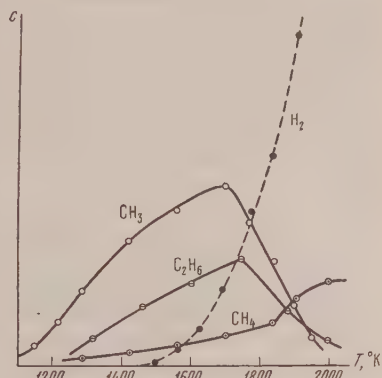


Рис. 5. Разложение тетраметилсвинца на вольфраме. Вверху — концентрации в реакторе газов, образующихся при разложении тетраметилсвинца (в относительных единицах)

с концентрацией радикалов CH_3 ; это говорит о наличии существенных вторичных реакций.

Тот факт, что концентрации этана и метила изменяются приблизительно во всей области температур, позволяет считать, что первые из них возникают исключительно за счет реакции: $\text{CH}_3 + (\text{слой, адсорбированный стенкой}) \rightarrow \text{C}_2\text{H}_6$.

Пользуясь уравнениями (3) и (1), легко рассчитать выход этой реакции, который оказывается равным $2 \cdot 10^{-2}$.

Концентрация метана остается пропорциональной концентрации метила вплоть до 1700°K . Можно связать этот факт с реакцией: $\text{CH}_3 + (\text{слой, адсорбированный стенкой}) \rightarrow \text{CH}_4$. Приняв эту гипотезу, можно рассчитать, что выход метана равен $4 \cdot 10^{-3}$. С другой стороны, быстрое возрастание отношения $[\text{CH}_4]/[\text{CH}_3]$ при температурах выше 1700°K представляется интересным; этот факт, возможно, объясняется первичным распадом тетраметилсвинца на пластинке, причем процесс должен быть аналогичным образованию водорода, т. е. метан образовывается вследствие ударов исходных молекул с чистой металлической поверхностью вольтфрама.

Разложение *трет*-дибутилперекиси

Спектр масс *трет*-дибутилперекиси $(\text{CH}_3)_3\text{C}-\text{O}-\text{O}-\text{C}-(\text{CH}_3)_3$ включает очень большое число пиков; мы количественно исследовали только наиболее интенсивные пики и те из них, для которых имеется наибольшее различие между относительной интенсивностью v и величиной u . Некоторые значения приведены на рис. 3 и 4. Кроме того, в табл. 4 даны относительные интенсивности, полученные с вольфрамовой пластинкой, площадью $0,9 \text{ см}^2$ ($v_m = 1,2$), нагретой до 1430°K . Эта температура соответствует максимальной концентрации веществ, образующихся при невысоких температурах (взаимодействие с углеродным слоем на поверхности вольфрама). Спектр смеси этих веществ приведен в четвертом столбце табл. 4 в форме относительного спектра, рассчитанного посредством умножения интенсивностей (цифры столбца 2) на величины $[v(m)-u]$ с последующим приведением к 100 интенсивности пика 43.

Полная количественная обработка этого спектра не представляется возможной, но, однако, можно сделать ряд заключений:

1. Интенсивность пиков 131 и 116 (так же как и многих менее интенсивных пиков близких масс) указывает на наличие свободных тяжелых радикалов, возникающих из молекул ди-*трет*-бутилперекиси путем отрыва от них нескольких атомов углерода и водорода; это значит, что некоторые первичные процессы разложения ди-*трет*-бутилперекиси могут протекать путем разрыва связи углерод—углерод или углерод—водород без разрыва перекисной связи.

2. Механизм, принимаемый для реакции разложения ди-*трет*-бутилперекиси в гомогенной фазе, требует возникновения радикала за счет разрыва перекисной связи. Хотя спектрометрические параметры этого радикала неизвестны, все же можно, конечно, весьма грубо, представить себе его относительный спектр (табл. 4 столбец 8) по аналогии со спектрами ди-*трет*-бутилперекиси бутилового спирта. Сравнение цифр, стоящих в одной строке в столбцах 4 и 8, не позволяет заметить никакой корреляции; отсюда следует, что концентрация окисного радикала третичного бутила должна быть очень малой.

3. Сравнение спектра неизвестных веществ со спектром молекулы ацетона (столбец 5), наоборот, дает удовлетворительные результаты: в столбце 6 дан баланс разности этих двух спектров. Не возникает избыточных интенсивностей, исключая пики 15 и 14; интенсивности этой группы пиков, собранные в столбце 7, составляют комбинацию, довольно характерную для спектра радикала CH_3 , полученного при разложении йодистого метила и тетра-

Таблица 4

<i>m</i>	Спектр трет-дибутилперекиси	<i>v</i>	Спектр неизвестной смеси	Спектр ацетона	Избыток (4)—(5)	Интенсивности пиков 15 и 14	Трет-бутиловый спирт	Радикал трет-бутила
146	6,3	$u=0,50$	—	—	—	—	—	—
131	0,22	$\sim 0,9$	$\sim 0,3$	—	$\sim + 0,3$	—	—	—
116	0,29	$\sim 0,9$	$\sim 0,4$	—	$\sim + 0,4$	—	—	—
74	—	—	—	—	—	—	$p-0,0$	—
73	7,9	$<0,52$	$<0,54$	—	$< + 0,54$	—	—	$p-0-1$
59	2,37	2,0	12,0	0,8	$+11,2$	—	100	0-2
58	6,3	1,4	19,2	$p-21,6$	$- 2,4$	—	0,5	0-100
57	100	$<0,52$	$<6,8$	0,7	$< + 6,1$	—	9	0-100
56	4,7	$<0,52$	$<0,3$	0,1	$< + 0,2$	—	2	0-5
55	1,85	$0,54$	$0,25$	0,25	0	—	0,5	0-2
45	2,5	$<0,52$	$<0,17$	0,1	~ 0	—	$<0,5$	0-3
44	2,6	0,95	4,0	2,1	$+ 1,9$	—	$<0,5$	0-3
43	21,0	1,90	100	100	—	—	14	10-25
42	1,8	1,30	4,9	7,0	$- 2,1$	—	2	1-3
41	15,5	$\sim 0,53$	$\sim 1,6$	1,9	$\sim - 0,3$	—	13	10-20
40	0,7	$\sim 1,0$	$\sim 1,2$	0,7	$\sim + 0,5$	—	0,5	0-1
39	1,35	$\sim 1,25$	$\sim 3,4$	3,7	$\sim - 0,3$	—	10	0-15
33	0,4	$<0,52$	$<0,02$	0,0	$\sim 0,0$	—	$<0,5$	0-1
32	0,7	0,87	0,9	0,0	$+ 0,9$	—	$<0,5$	0-1
31	1,7	1,3	4,6	0,6	$+ 4,0$	—	2,9	0-40
30	~ 0	—	$<0,1$	0,1	$\sim 0,0$	—	$<0,5$	0-1
29	21,4	0,60	7,3	4,5	$+ 2,8$	—	10	5-30
28	9,1	0,89	12,0	2,0	$+10,0$	—	5	2-15
27	6,8	1,20	16,1	9,1	$+ 7,0$	—	9	2-15
26	0,8	3,15	7,2	6,5	$+ 0,7$	—	1	0-2
16	2,30	1,10	4,7	0,4	$+ 4,3$	—	$<0,5$	0-3
15	7,90	4,05	95,5	32,0	$+63,5$	100	15	5-20
14	0,8	11,0	28,5	4,5	$+24,0$	38	5	0-10
13	0,36	4,8	5,25	0,4	$+4,85$	7,6	0,5	0-1
12	$\sim 0,1$	$\sim 2,8$	$\sim 1,0$	0,2	$\sim + 0,8$	1,2	$<0,5$	0-1
2	0,09	6,0	1,7	1,0	$+ 0,7$	—	0,5	0-1

метилсвинца (см. Дополнение). Следовательно, представляется вероятным, что смесь газов, имеющих в реакторе (т. е. возникающих в результате всей сложной совокупности реакций, протекающих на металлической пластинке и на стенках), состоит в основном из молекул ацетона и метильных радикалов.

4. Эта гипотеза подтверждается измерением потенциала возникновения ионов 43, 15 и 14, определенного в опыте с пластинкой, нагретой до 1430°K , а именно:

$$A(14^+) = 16,0 \pm 0,3\text{V};$$

$$A(15^+) = 9,6 \pm 0,4\text{V};$$

$$A(43^+) = 11,7 \pm 0,2\text{V}.$$

Два первых значения хорошо соответствуют, как выше было сказано, образованию этих ионов из свободного радикала метила; третья величина точно совпадает с экспериментальным значением, полученным нами в независимом исследовании для иона 43, образованного из ацетона, введенного в масс-спектрометр.

5. Пик 16 не может быть интерпретирован иначе, как наличием метана, так как известно, что влияние других углеводородов на интенсивность этого пика вообще мало (отметим, что пулевая интенсивность при массе 30 означает отсутствие этана).

Предполагая, что пики 43, 16 и 15 могут усиливаться только ацетоном, метаном и метилом, можно рассчитать, что из каждой молекулы ди-трет-

бутилперекиси, разложенной при 1430°K , образуются 1,6 молекулы ацетона, 1,1 радикала метила и 0,1 молекулы метана. Баланс вещества, следовательно, неполный, и этот результат согласуется с тем фактом, что столбец 6 имеется несколько избыточных интенсивностей, происхождение которых пока не объяснено.

6. Пик 31 может быть приписан только иону CH_3O^+ , и это указывает на присутствие, по крайней мере, одной частицы, содержащей кислород.

Наконец, интенсивности, относящиеся к массам 59, 57, 31, 29, 28, 27 могут быть приписаны спектрам тяжелых свободных радикалов с массой 116 или 131, присутствие которых в реакторе, как это было сказано выше, — несомненно. К тому же не исключено, что эти пики могут принадлежат спектру радикала третичного бутила с массой 73.

7. В связи со сложностью изучаемого спектра масс невозможно уточнить являются ли ацетон и метил продуктами быстрого распада молекулы ди-*трет*-бутилперекиси при первичном ударе этой молекулы о пластинку или же, наоборот, они образуются в реакциях диспропорционирования на стенках в тот момент, когда на них появляются более тяжелые радикалы, возникшие на пластинке.

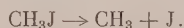
Как бы то ни было, мы констатируем, что из всех исследованных веществ ди-*трет*-бутилперекись разлагается при самой низкой температуре. Исследование разложения в гомогенной газовой фазе ведет к тому же выводу, но в противоположность механизму, принимаемому для этого случая, не представляется вероятным, что при гетерогенном разложении ди-*трет*-бутилперекиси наиболее слабым местом молекулы является перекисная связь; другие связи, как то: углерод—углерод, углерод—водород, также могут разрываться уже при весьма невысоких температурах.

Сравнение разложения трех веществ

Во всех трех реакциях разложения концентрация промежуточных продуктов (свободных радикалов) в реакторе проходит через максимум, когда температура вольфрамовой пластинки медленно повышается.

Описанное явление интерпретируется так, что эти частицы образуются при ударах исходных молекул об углеродный слой, который стабилен при низких температурах; при высоких температурах диффузия углерода в вольфрам протекает быстро, и поверхность металла непрерывно обнажается. Температура, соответствующая максимальной концентрации радикалов, не вполне одинакова для всех трех случаев (1440 , 1500 и 1580°K), но математическая обработка динамического режима карбонизации пластинки, выполненная ранее [8], показывает, что эта температура зависит от давления и строения молекул рассматриваемого газа.

Первичный процесс разложения на углеродном слое представляется очень простым для случая йодистого метила:



Процессы разложения тетраметилсвинца и *трет*-дибутилперекиси сложнее, так как в обоих этих случаях удалось обнаружить, кроме радикалов CH_3 , тяжелые радикалы, образующиеся из исходной молекулы посредством отрыва от нее нескольких атомов углерода и водорода.

Реакции свободных радикалов при ударах о стенку реактора существенно зависят от природы слоя, адсорбированного на этих стенках. Порядок величины скорости реакции мог быть установлен для некоторых из этих элементарных процессов, по крайней мере, для первых двух исследованных веществ.

В процессе разложения йодистого метила, стенка реактора, по-видимому, покрыта слоем йода и водорода. Удары частиц I , H и CH_3 об этот ад-

адсорбированный слой приводят к образованию: H_2 — с выходом на соударение, близким к единице; J_2 — с очень малым выходом; HJ — с выходом, входящим в пределы от 10^{-1} до 10^{-2} ; C_2H_6 — с выходом, меньшим чем 10^{-4} ; CH_4 — с выходом, меньшим чем $1 \cdot 10^{-4}$; CH_3J — выход неизвестен, он, по всей вероятности, малый.

При разложении тетраметилсвинца стенка реактора, вероятно, покрыта осем, точный состав которого неизвестен; вещества, его образующие, неясны, очевидно, формулы от $\text{Pb}(\text{CH}_3)_4$ до Pb ; удары радикалов CH_3 в этот слой приводят к образованию: C_2H_6 — с выходом на соударение порядка $2 \cdot 10^{-2}$; CH_4 — с выходом на соударение порядка $4 \cdot 10^{-3}$.

Результаты, приведенные выше, были получены со стенкой реактора, нагретой приблизительно до 250°C . Несомненно, что выходы соударения для всех этих реакций, так же как и природа слоя, адсорбированного на стенке, зависят от температуры стенки, но примененная нами установка позволяет независимым образом регулировать степень нагревания стенки.

Следуя Пенету, а затем Райсу, некоторые авторы пытались определить методом металлических зеркал «продолжительность жизни» свободных радикалов. Однако скоро было обнаружено, что результаты здесь получаются не совпадающие; Стиси [13] приводит много примеров того, что эти определения зависят от условий опыта. Настоящее исследование непосредственно доказывает, если в этом имеется нужда, что понятие «продолжительность жизни» свободного радикала не имеет смысла. Эта величина зависит, действительно, во-первых, от числа ударов данной частицы о стенку реактора, а это число само зависит от скорости просасывания газа через реактор, от формы и размеров последнего. Время жизни свободного радикала зависит, кроме того, от вероятности исчезновения этой частицы в течение соударения со слоем, адсорбированным на стенке. Но природа этого слоя сама зависит от многих факторов, определяемых составом газовой фазы, материалом, из которого изготовлены стенки, и т. п.

ДОПОЛНЕНИЕ

Определение спектрометрических параметров радикала CH_3

Относительный спектр. Зная относительный спектр йодистого метила (табл. 1, столбец 3) и средние значения отношений: $[v(m) - u]/[v(15) - u]$ для пиков 14, 13 и 12 (табл. 2), можно рассчитать, пользуясь отношением (5), относительный спектр радикала CH_3 . Этот спектр приведен в табл. 5, столбец 3.

Таблица 5

Относительный спектр радикала CH_3

Масса	Ион	Относительная интенсивность, полученная при разложении веществ:	
		Йодистого метила	тетраметилсвинца
15	CH_3^+	100	100
14	CH_2^+	32 ± 4	40 ± 4
13	CH^+	9 ± 1	8 ± 1
12	C^+	$3,6 \pm 0,3$	—

Поступая аналогичным образом для случая тетраметилсвинца, получаем спектр, приведенный в столбце 4. Спектрометрическая чувствительность радикала CH_3 в пике 15. Мы показали, что вплоть до 1500 — 1600°K йодистый метил разлагается согласно единственному первичному процессу: $\text{CH}_3\text{J} \rightarrow \text{CH}_3 + \text{J}$. Было показано, что все вторичные процессы, способные уничтожить радикал

CH_3 , в реакторе имеют такие скорости, которыми можно пренебречь. Из этого следует, что в общем уравнении (2), где Y_1 изображает CH_3 , можно положить $y_1 = 1$ и $b_2 = b_3 = 0$. Комбинируя уравнения (2) и (4), получаем

$$\frac{j(15^+, \text{CH}_3)}{j(15^+, \text{CH}_3\text{J})} = \frac{q_{\text{CH}_3}}{q_{\text{CH}_3\text{J}}} \frac{v(15) - u}{1 - u}. \quad (10)$$

Вторая строка табл. 2 показывает, что отношение $[v(15) - u]/[1 - u]$ остается более или менее постоянным вплоть до 1600°K , и это является дополнительным аргументом в пользу высказанной нами гипотезы. Подставляя в (8) среднее значение отношения, рассчитанного таким образом, мы окончательно получаем

$$j(15^+, \text{CH}_3) = j(15^+, \text{CH}_3\text{J}) \frac{q_{\text{CH}_3}}{q_{\text{CH}_3\text{J}}} \cdot (0,36 \pm 0,02), \quad (11)$$

Лоссинг и Тиклер [15], измерявшие спектрометрическую чувствительность радикала CH_3 в пике 15, выражают ее путем сравнения с чувствительностью металла в пике 16; они получили:

$$j(15^+, \text{CH}_3) = j(16^+, \text{CH}_4) \cdot (0,47 \pm 0,07). \quad (12)$$

Выражая аналогичным способом наш результат, имеем

$$j(15^+, \text{CH}_3) = j(16^+, \text{CH}_4) \frac{q_{\text{CH}_3}}{q_{\text{CH}_3\text{J}}} \cdot (0,15 \pm 0,06). \quad (13)$$

Для того чтобы приравнять оба результата, необходимо допустить, что отношение эффективных долей просасывания газа через реактор для CH и CH_3J примерно втрое больше в нашей установке, чем в установке [15] (в которой это отношение неявно предположено равным единице). Однако мы можем независимым путем оценить это отношение; здесь мы встречаемся с более важной задачей, а именно: с самым определением скорости просасывания свободных радикалов в вакуумной установке.

Как мы уже однажды подчеркивали [14], эта проблема требует уточнения в измерении концентрации свободных радикалов посредством масс-спектрометра.

В разложении тетраметилсвинца отношение $v(15) - u/[1 - u]$ не постоянно (табл. 3, столбец 3); это значит, что количество свободных радикалов CH_3 , образующихся из разложенной молекулы $\text{Pb}(\text{CH}_3)_4$, убывает, начиная с самых низких температур. Такой результат, так же как и наличие в реакторе достаточно больших количеств метана, этана и других газов, заставляет признать, что всякий расчет баланса веществ в этом случае никак не может претендовать на точность.

Выводы

1. В динамических условиях при очень малых давлениях исследовалось разложение на металлических поверхностях паров различных веществ, способных давать при разложении свободные радикалы CH_3 (йодистый метил, тетраметилсвинец ди-*трет*-бутилперекись). Немедленная регистрация радикалов, образующихся в первичных процессах распада вещества, и наблюдение за реакциями этих радикалов на стенках сосуда осуществлялись при помощи масс-спектрометра, связанного с реакционным сосудом.

2. Для каждого из названных газов вплоть до 1500°K абсолютная скорость разложения и природа образующихся продуктов на платине, никеле и вольфраме одинаковы, что объясняется наличием углеродного слоя, образующегося на поверхности этих металлов при температурах ниже 1500°K .

3. Выше 1500°K углерод может диффундировать в вольфрам, что влечет за собою коренное изменение механизма реакции: молекулы газа становятся с обнаженной металлической поверхностью и разлагаются,

тчем непосредственно возникают простые стабильные молекулы (H_2 , CO); образования свободных радикалов не наблюдается.

4. Для йодистого метила реакция разложения на углеродном слое проста: $CH_3I \rightarrow CH_3 + I$; соответствующие реакции в случаях тетраметилэтилена и ди-*трет*-бутилперекиси сложнее, так как в обоих случаях наблюдается образование наряду с радикалами CH_3 «тяжелых» радикалов, возникающих при отрыве от молекулы исходного вещества нескольких атомов углерода или водорода; следует отметить, что связь $O-O$ в молекуле исследованной перекиси разрывалась не легче, чем другие межатомные связи.

5. Реакции радикалов CH_3 на поверхности металлов существенно зависят от природы пленки веществ, адсорбированных этой поверхностью; та же природа адсорбционного слоя определяется составом газовой фазы. Поэтому очень трудно приписать точный смысл выражению «продолжительность жизни свободного радикала», которым пользуются некоторые авторы при интерпретации результатов опытов, проведенных «методом зеркала» Пенета-Райса.

Высшая национальная школа
химических производств
Нанси, Франция

Поступила
13.VIII.1956

ЛИТЕРАТУРА

- P. Le Goff, Journ. chim. phys., **53**, 369, 1956.
P. Le Goff, Journ. chim. phys., **51**, 312, 1954.
P. Le Goff, Journ. chim. phys., **53**, 359, 1956.
A. J. B. Robertson, Proc. Roy. Soc., **A199**, 394, 1949.
J. D. Waldron, Trans. Farad. Soc., **50**, 102, 1954.
A. Langer, J. A. Hipple a. D. P. Stevenson, Journ. Chem. Phys., **22**, 1836, 1954.
P. Le Goff et M. Letort, C. r., **239**, 970, 1954.
P. Le Goff et M. Letort, Journ. chim. phys., 1956.
P. Le Goff, Journ. chim. phys., **53**, 380, 1956.
Busch, Ann. Phys., **64**, 401, 1921; см. также: Farkas a. Melville, Experimental Methods in gas reactions, London, 1939, стр. 345.
A. J. B. Robertson, Mass Spectrometry, London, 1954.
Douglas a. Herzberg, Canad. Journ. Res., **A-20**, 71, 1942.
E. W. R. Steacie Atomic a. Free Radicals Reactions, New York, 1954.
Applied Mass Spectrometry, Institute of Petroleum, Discuss., London, 1954. стр. 120—128.
F. P. Lessing a. A. W. Tickner, Journ. Chem. Phys., **20**, 907, 1952.
M. Niclause, X. Duval et M. Letort, C. r. **231**, 491, 1950; M. Niclause et X. Duval, Journ. chim. phys., **47**, 850, 1950.

К ВОПРОСУ ОБ ЭЛЕКТРОПРОВОДНОСТИ НЕКОТОРЫХ СИСТЕМ ВКЛЮЧАЮЩИХ ЧЕТЫРЕХХЛОРИСТЫЙ КРЕМНИЙ, ХЛОРНОЕ ОЛОВО И СЛОЖНЫЕ ЭФИРЫ

Ю. Н. Вольнов

Настоящая работа посвящена изучению электропроводности систем, образованных четыреххлористым кремнием с метилформиатом, этилформиатом, этилацетатом, диоксаном, бутилацетатом, этилбутиратом, бензилацетатом и фенилацетатом, а также систем, состоящих из хлорного олова с амилацетатом, этилбутиратом, фенилацетатом и *n*-бутилацетатом.

Системы, включающие четыреххлористый кремний, изучены мало.

Работа Н. А. Пушина [1] посвящена термическому анализу ряда систем, в числе образованных четыреххлористым кремнием с нафталином и азобензолом. И установлено, что изотермы свойства — состав этих систем не указывают на образование в системах соединений.

Серия работ Вортипороха с сотрудниками [2] посвящена изучению связи каталитических свойств галогенидов элементов с их комплексобразованием. Им изучена электропроводность систем, образуемых SiCl_4 с метиловым, этиловым, амиловым и бензиловым спиртами, этиловым эфиром, диоксаном, хлористым аммиаком, хлористым пропилом, хлористым изопропилом, бромистым этилом, хлористыми бензилом и бензил-идеом, бензойным и коричным альдегидами, ацетоном, ацетофеноном, ацетонитрилом и бензонитрилом. Обнаруженная проводимость растворов SiCl_4 связывается им с образованием комплексных соединений.

Системы: хлорное олово — сложные эфиры изучены Н. С. Курнаковым и его сотрудниками [3]. Внутреннее трение и вязкость систем, образованных SnCl_4 с этилформиатом, пропилформиатом, этилацетатом, *n*-метилбутиратом, *n*-этилбутиратом и этилбензоатом, указывают на образование соединений типа $\text{SnCl}_4 \cdot 2\text{R}$. Изотерм удельной электропроводности системы: хлорное олово — этилацетат имеют ярко выраженный минимум. Изучение теплоты смешения подтвердило образование соединений вышеуказанного типа. Е. Г. Кузьминой [4] изучены вязкость и электропроводность системы: хлорное олово — амилацетат. В системе установлено соединение типа $\text{SnCl}_4 \cdot 2\text{R}$.

Рассматривая электропроводность двойных систем, М. А. Ключко дает классификацию типов диаграмм: удельная электропроводность — состав [5].

Применяемый нами для изучения проводимости мост Кольрауша позволял измерять минимальную электропроводность до $0,2 \cdot 10^{-6} \Omega^{-1} \text{ см}^{-1}$. Используемые реактивы были тщательно очищены и обезвожены. Постоянство температуры обеспечивалось термостатом в пределах $\pm 0,2^\circ$. Для измерения электропроводности при 40° и 120° сосуд помещался в пар кипящей воды или воздушный термостат. В последнем случае колебания температуры достигали $\pm 1^\circ$.

Данные по удельной электропроводности системы четыреххлористый кремний — метилформиат приводятся в табл. 1.

Удельная электропроводность системы (табл. 1) уменьшается с повышением температуры от 0 до 30° .

Объясняя падение проводимости системы возникновением в ней ионизирующихся комплексов, можно предположить, что диссоциация последних на четыреххлористый кремний и метилформиат увеличивается с повышением температуры.

Кроме электропроводности для этой же системы нами изучены удельные и молекулярные веса. Изотермы плотностей и изоконцентраты молекулярных весов изображаются прямыми линиями, любая точка которых может быть вычислена как среднее из удельных и соответственно молекулярных весов компонентов при данном соотношении последних.

Таблица 1

Удельная электропроводность системы SiCl_4 — метилформиат

t, °C	0		10		20		30	
	Мол. % SiCl_4	$\kappa \cdot 10^5$	Мол. % SiCl_4	$\kappa \cdot 10^5$	Мол. % SiCl_4	$\kappa \cdot 10^5$	Мол. % SiCl_4	$\kappa \cdot 10^5$
18,46		0,39	12,09	0,39	10,56	0,39	7,54	0,72
13,71		0,45	10,72	0,42	9,58	0,42	6,12	0,93
12,92		0,51	9,30	0,46	8,4	0,48	2,64	0,95
8,00		0,71	8,34	0,51	7,92	0,53	2,54	1,15
3,94		0,83	7,76	0,54	6,98	0,55	2,06	1,86
2,92		2,43	5,19	0,65	6,24	0,59	1,78	2,24
2,75		4,95	2,21	0,81	5,98	0,65	1,07	2,52
2,59		8,14	2,04	1,38	4,74	0,67	0,92	2,31
2,39	14,48		1,91	2,64	2,59	0,69	0,78	2,18
2,21	19,54		1,78	4,65	2,18	1,05	0,72	2,11
2,11	22,99		1,68	7,38	1,69	6,33	0,67	2,07
2,01	26,06		1,50	13,30	1,27	18,35	0,66	2,04
1,71	33,69		1,29	20,57	1,02	25,55	0,64	2,02
1,53	37,58		1,16	26,00	0,81	28,83		

Удельная электропроводность системы четыреххлористый кремний — метилформиат приводится нами в табл. 2.

Таблица 2

Удельная электропроводность в системе SiCl_4 — этилформиат

t, °C	10		20		30		40	
	Мол. % SiCl_4	$\kappa \cdot 10^5$	Мол. % SiCl_4	$\kappa \cdot 10^5$	Мол. % SiCl_4	$\kappa \cdot 10^5$	Мол. % SiCl_4	$\kappa \cdot 10^5$
17,71		0,49	8,53	4,54	11,65	0,66	18,58	0,39
10,68		0,82	6,53	4,83	6,71	0,75	14,61	0,55
7,14		0,88	4,46	10,56	5,01	1,35	13,21	0,75
5,35		1,30	4,12	19,16	4,71	2,30	5,39	0,88
4,29		5,58	3,59	26,06	3,99	8,55	4,82	1,78
4,12		8,21	2,86	38,32	3,47	15,63	4,50	2,92
3,83	15,03		2,49	43,43	3,06	21,24	4,10	4,55
3,25	27,14		2,18	44,42	2,48	27,72	3,15	9,87
2,90	34,29		2,11	44,93	2,21	29,61	2,31	13,16
2,75	37,59		2,03	43,92	2,06	30,30	2,09	13,49
2,49	39,89		1,77	42,95	1,94	30,54	2,03	13,76
2,28	42,49		1,57	40,72	1,76	30,01	1,97	13,71
2,14	41,58		1,34	37,22	1,58	29,08	1,54	12,86
1,79	40,29		1,18	34,29	1,56	28,74	1,25	12,00

При повышении температуры от 10 до 20° удельная электропроводность системы возрастает, что, по-видимому, обуславливается увеличением концентрации образующихся в ней проводящих комплексов. При дальнейшем увеличении температуры до 40° проводимость уменьшается. Максимум проводимости при увеличении температуры смещается в сторону уменьшения концентрации четыреххлористого кремния.

Это подтверждает предположение о диссоциации испрочных проводящих комплексов на исходные компоненты при нагревании.

Кроме удельной электропроводности для данной системы нами изучались удельные и молекулярные веса. Изотермы плотности и изоконцентраты молекулярных весов имеют вид прямых линий.

Удельная электропроводность системы четыреххлористый кремний — этилацетат приведена в табл. 3.

Как и в ранее изученных системах, включающих четыреххлористый кремний, проводимость данной системы при повышении температуры сначала растет, а затем падает. Однако падение проводимости замечается

Таблица 3

Удельная электропроводность в системе SiCl_4 —этилацетат

$t, ^\circ\text{C}$		10		40		50	
Мол. % SiCl_4	$\kappa \cdot 10^5$	Мол. % SiCl_4	$\kappa \cdot 10^5$	Мол. % SiCl_4	$\kappa \cdot 10^5$	Мол. % SiCl_4	$\kappa \cdot 10^5$
2,0	3,1	2,4	44,0	3,0	21,2		
3,0	5,9	2,8	48,0	3,7	22,0		
4,5	10,1	3,5	50,0	4,0	23,0		
6,2	7,8	4,0	47,0	4,4	23,3		
8,1	4,0	4,4	42,8	4,7	22,9		
10,0	1,4	4,8	34,0	5,5	20,0		
12,0	0,2	5,4	16,0	6,8	17,0		
				7,4	14,2		
				10,0	2,6		
				12,0	0,2		

при повышении температуры от 40 до 50°, что, по-видимому, указывало на большую устойчивость образующихся проводящих комплексов.

Удельный и молекулярный вес системы являются линейными функциями состава.

В системах, образованных четыреххлористым кремнием с диоксано-бутилацетатом, этилбутиратом, бензилацетатом и фенилацетатом, удельная электропроводность ввиду ее малой величины нами не могла быть измерена.

Изотермы плотностей и изоконцентраты молекулярных весов имели характер прямой.

Удельная электропроводность системы хлорное олово—метилформинат приводится в табл. 4.

Таблица 4

Удельная электропроводность системы хлорное олово — метилформинат

$t, ^\circ\text{C}$		0		10		20		30	
Мол. % SnCl_4	$\kappa \cdot 10^5$	Мол. % SnCl_4	$\kappa \cdot 10^5$	Мол. % SnCl_4	$\kappa \cdot 10^5$	Мол. % SnCl_4	$\kappa \cdot 10^5$	Мол. % SnCl_4	$\kappa \cdot 10^5$
2,0	12,0	1,0	16,0	1,0	18,0	1,0	18,0		
2,2	21,0	3,0	29,9	2,0	30,0	2,0	30,0		
5,0	27,0	5,0	33,0	3,0	39,6	3,0	48,0		
6,5	30,0	6,5	37,8	5,0	44,8	5,0	56,0		
8,0	34,0	8,0	40,0	8,0	52,6	6,0	62,0		
8,5	34,6	9,2	40,8	8,5	53,8	8,1	68,0		
12,5	25,8	9,5	40,2	9,5	54,9	10,1	71,9		
15,0	21,0	10,5	38,3	11,0	53,6	11,2	72,4		
17,5	18,3	13,1	30,1	12,0	50,0	11,5	71,9		
19,5	18,1	15,6	25,9	14,0	45,5	12,5	69,0		
20,5	14,0	19,4	18,0	18,5	36,0	14,0	66,0		
24,5	6,2	21,0	15,0	22,0	30,0	17,0	48,0		
25,0	2,0	22,0	15,2	24,4	18,8	20,0	28,0		
20,0	0,2	25,0	12,0	26,0	14,7	25,0	16,0		
		26,5	2,5	31,5	2,8	30,0	8,0		
		35,0	0,3	40,0	0,3	40,0	0,4		

Изотермы удельной электропроводности приведены на рис. 1. Как видно на рисунке, при повышении температуры максимумы изотер увеличиваются и смещаются в сторону увеличения содержания в систем хлорного олова.

В области концентраций хлорного олова около 20 мол. % изотермы для 10, 20 и 30° имеют характерный изгиб. Положение этого изгиба см

ается при повышении температуры в сторону больших концентраций SnCl_4 .

На рис. 2 показан весьма интересный вид изотерм удельной электропроводности системы хлорное олово — этилбутират.

Изотермы 0 и 20° имеют два максимума и лежащий между ними минимум, отвечающий 33—34 мол. % SnCl_4 в системе.

Максимум изотерм 0 и 20° располагается при 15—17 и 47—51 мол. % SnCl_4 . Максимум 15—17 мол. % смещается при увеличении температуры в сторону увеличения содержания в системе хлорного олова, а максимум 7—61 мол. % — в сторону уменьшения содержания хлорного олова,

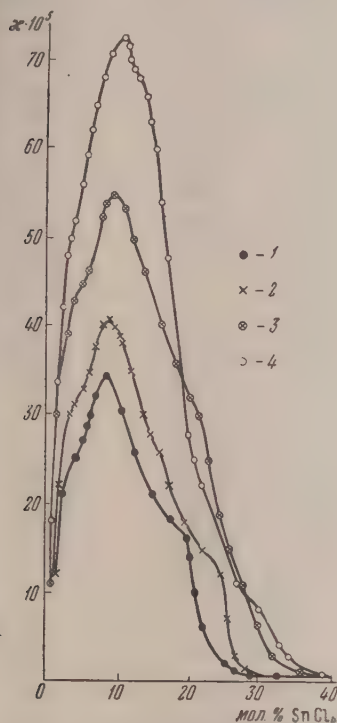


Рис. 1. Изотермы удельной электропроводности системы SnCl_4 — HCOOCH_3 : 1 — 0° ; 2 — 10° ; 3 — 20° ; 4 — 30° C

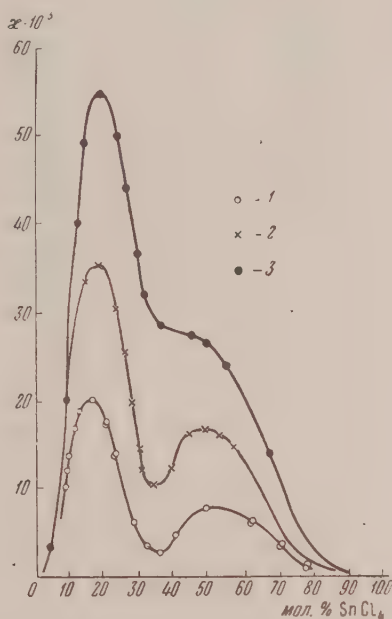


Рис. 2. Изотермы удельной электропроводности системы SnCl_4 — этилбутират: 1 — 0° ; 2 — 20° ; 3 — 40° C

оба максимума как бы сближаются при нагревании. Минимум этих же изотерм располагается все выше и, наконец, исчезает при 40° , сменяясь перегибом изотермы.

Изотермы 0 , 30 и 50° удельной электропроводности системы хлорное олово — *n*-бутилацетат имеют несмещающийся минимум, лежащий между двумя максимумами. При повышении температуры минимум располагается все выше, а максимумы изотермы сближаются между собой.

Наличие минимумов изотермы удельной электропроводности соответствует максимумы изотерм внутреннего трения [3].

Изотермы удельной электропроводности системы хлорное олово — амилацетат приведены на рис. 3. Изотермы 0 , 30 и 60° имеют два максимума и лежащий между ними минимум, соответствующий 33—34 мол. % SnCl_4 . При повышении температуры максимумы этих изотерм несколько сближаются между собой, а минимум располагается все выше, становится все более плоским и, наконец, на изотермах 100 и 122° исчезает, сменяясь одним максимумом.

Таблица 5

Удельная электропроводность в системе SnCl_4 — этилбутират

$t, ^\circ\text{C}$ 0		20		40	
Мол. % SnCl_4	$\kappa \cdot 10^5$	Мол. % SnCl_4	$\kappa \cdot 10^5$	Мол. % SnCl_4	$\kappa \cdot 10^5$
2,2	0,8	2,0	0,8	2,0	0,8
4,0	2,8	6,0	8,8	6,0	9,0
5,5	6,8	6,5	11,2	6,5	11,1
8,5	11,1	8,5	19,0	8,5	19,0
11,6	17,0	9,0	20,0	9,0	20,0
15,0	20,2	11,0	20,9	10,0	29,9
20,0	17,3	12,0	30,0	12,3	40,0
24,5	11,9	13,0	32,7	14,0	49,0
28,0	5,9	16,0	35,1	16,0	53,9
31,5	3,8	18,0	35,6	18,0	54,9
33,3	2,8	20,0	35,0	21,0	54,0
35,5	2,9	22,5	31,4	23,0	50,0
40,5	4,9	25,4	25,3	26,0	44,0
43,0	6,0	28,0	20,0	29,0	36,9
48,0	8,0	29,0	16,0	31,0	32,0
54,0	7,9	30,0	13,9	32,0	30,0
59,5	7,1	31,0	10,8	35,0	28,0
62,5	6,8	33,0	10,1	42,0	27,6
70,0	3,8	34,4	10,6	44,0	27,3
80,0	0,7	37,0	10,8	49,0	26,9
		39,0	12,0	54,0	24,0
		41,1	14,6	56,0	22,0
		44,0	16,5	59,0	20,0
		48,0	16,6	66,5	14,3
		63,0	10,8	74,0	6,4
		70,0	5,0	79,0	3,0
		80,0	1,0	85,0	1,2
		90,0	0,4	90,0	0,6

Таблица 6

Удельная электропроводность в системе SnCl_4 — *n*-бутилацетат

$t, ^\circ\text{C}$ 0		30		50	
Мол. % SnCl_4	$\kappa \cdot 10^5$	Мол. % SnCl_4	$\kappa \cdot 10^5$	Мол. % SnCl_4	$\kappa \cdot 10^5$
5,0	2,0	5,0	3,4	5,0	4,4
10,0	6,8	10,0	8,9	10,0	12,0
15,0	10,8	15,0	26,0	15,0	42,0
16,0	11,2	18,0	29,2	20,0	48,0
25,0	8,0	25,0	26,0	25,0	44,0
30,0	1,9	30,0	18,0	30,0	40,0
32,0	1,2	32,0	15,2	32,0	37,3
33,3	1,0	33,3	14,2	33,3	34,8
35,0	1,4	35,0	14,6	35,0	35,3
40,0	3,0	40,0	18,8	40,0	38,4
45,0	4,8	47,0	22,0	45,0	39,4
50,0	5,3	50,0	21,4	50,0	38,8
55,0	4,4	55,0	17,8	55,0	36,0
60,0	3,2	60,0	12,0	60,0	32,0
70,0	1,4	70,0	5,9	70,0	17,0
80,0	0,5	80,0	2,4	80,0	5,9
90,0	0,2	90,0	1,0	90	2,1

Таблица 7

Удельная электропроводность в системе SnCl_4 — амилацетат

$t, ^\circ\text{C}$		0		30		60		100		122	
Мол. % SnCl_4	$\kappa \cdot 10^5$	Мол. % SnCl_4	$\kappa \cdot 10^5$	Мол. % SnCl_4	$\kappa \cdot 10^5$	Мол. % SnCl_4	$\kappa \cdot 10^5$	Мол. % SnCl_4	$\kappa \cdot 10^5$	Мол. % SnCl_4	$\kappa \cdot 10^5$
7,5	4,0	8,0	4,0	7,1	6,8	6,0	8,0	6,0	12,0		
11,5	9,9	11,0	12,0	10,0	13,1	7,0	12,0	8,0	19,1		
18,0	11,9	14,0	16,0	11,0	15,8	11,0	24,9	9,0	24,7		
23,0	10,0	19,0	20,0	13,1	18,0	14,0	36,0	12,0	34,8		
27,1	6,8	21,0	21,1	15,5	20,0	18,0	44,8	13,0	38,0		
29,5	3,7	25,0	18,2	20,0	22,0	21,0	50,0	15,0	47,1		
32,0	0,9	26,5	12,9	22,0	22,6	26,0	52,8	17,7	56,0		
33,3	0,6	30,0	6,8	25,0	22,5	31,0	54,0	11,5	66,0		
34,0	0,8	33,3	6,1	28,0	20,9	33,0	54,1	14,0	71,0		
38,0	2,0	36,5	6,8	30,0	20,0	34,0	54,0	16,6	76,0		
42,0	3,9	41,0	12,8	33,3	19,9	40,0	52,9	30,3	79,7		
47,0	4,4	43,5	16,7	35,0	20,2	47,0	48,0	35,0	76,1		
50,0	4,3	47,0	20,0	40,0	22,0	52,0	39,8	41,4	63,2		
55,0	3,0	51,0	20,8	58,0	20,0	55,0	32,0	47,0	52,0		
59,00	0,8	54,0	19,8	67,0	15,1	72,0	12,0	52,0	41,1		
		60,0	17,9	73,0	10,0	85,0	4,3	60,0	28,8		
		62,0	16,0	85,0	4,0			69,0	16,7		
		66,0	12,3					79,5	8,0		
		74,0	7,7								

Таблица 8

Удельная электропроводность в системе SnCl_4 — фенилацетат

$t, ^\circ\text{C}$		0		10		20	
Мол. % SnCl_4	$\kappa \cdot 10^5$	Мол. % SnCl_4	$\kappa \cdot 10^5$	Мол. % SnCl_4	$\kappa \cdot 10^5$	Мол. % SnCl_4	$\kappa \cdot 10^5$
1,2	0,37	2,1	0,38	2,0	0,36		
5,0	1,50	3,0	1,25	4,0	1,90		
8,1	2,62	4,8	2,30	5,0	2,49		
9,0	2,65	6,0	3,00	6,5	3,45		
10,5	2,60	6,5	3,30	10,0	4,00		
18,0	1,30	10,0	3,96	15,0	3,50		
23,0	0,48	17,8	2,37	21,0	1,80		
25,0	0,20	30,0	0,32	30,0	0,56		
26,0	—	31,0	0,30	33,3	0,55		
38,0	—	33,3	0,25	34,0	0,62		
45,0	0,20	34,0	0,31	39,0	1,05		
50,0	0,51	40,0	0,58	45,0	2,32		
57,5	0,90	52,0	1,40	51,0	3,26		
61,0	1,00	58,0	1,73	54,0	3,60		
64,0	0,95	60,0	1,75	57,5	3,65		
67,5	0,85	64,5	1,50	59,0	3,60		
61,0	1,00	70,8	1,00	71,5	1,65		
74,0	0,43	84,0	0,18	85,0	0,20		
76,5	0,20						

Изотермы удельной электропроводности системы хлорное олово — фенилацетат имеют два сближающихся между собой при повышении температуры максимума и минимум (изотермы 10—20°), лежащий около 33 мол. % SnCl_4 и смещающихся при повышении температуры вверх и в сторону меньших концентраций хлорного олова.

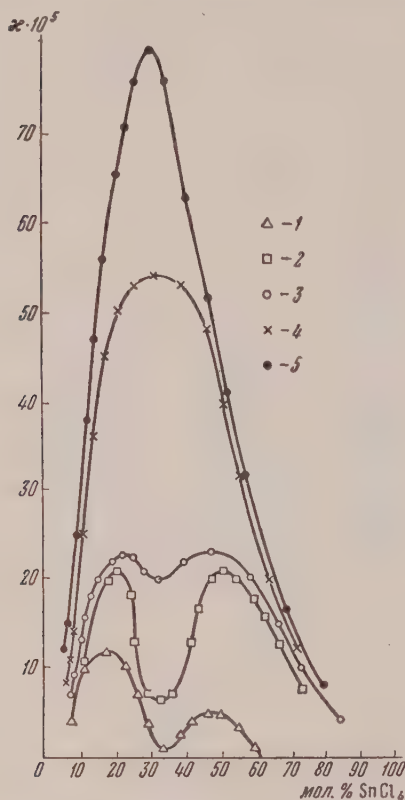


Рис. 3. Изотермы электропроводности системы SnCl_4 —амилацетат: 1 — 0; 2—30; 3—60; 4—100; 5 — 122° C

наши системы с четыреххлористым кремнием увеличивается с увеличением поляризуемости адденда в ряду



соответственно увеличению температуры максимальной проводимости систем.

Изотермы удельной электропроводности изученных систем, образованных хлорным оловом со сложными эфирами, относятся к типу VII классификации М. А. Ключко [5].

Выводы

1. Изучена электропроводность, плотность и молекулярный вес систем, образуемых четыреххлористым кремнием с метилформиатом, этилформиатом и этилацетатом.
2. Изучена электропроводность систем, образуемых хлорным оловом с этилбутиратом, амилацетатом и фенилацетатом.

Поступила
19.III.1956

ЛИТЕРАТУРА

- Н. А. Пушкин, Журн. общ. химии, 18, 1599, 1948.
 E. Wertyporoch, Ber., 64, 1369, 1930; 66, 1232, 1933; E. Wertyporoch u. T. Firla, Zs. phys. Chem., A162, 398, 1932; A. Wohl, u. E. Wertyporoch, Ber., 64, 1357; 1931 E. Wertyporoch u. T. Firla, Lieb. Ann., 500, 287, 1933; E. Wertyporoch u. Sagerl, Ber., 66, 1306, 1933; E. Wertyporoch u. B. Altmann, Zs. phys. Chem., A168, I, 1934.
 Н. С. Курнаков, С. И. Перельмутер и Ф. Н. Канов, ЖРФО, 48, 1658, 1916; Н. С. Курнаков и Н. В. Воскресенская, Изв. АН СССР, сер. хим., 3, 439, 1936; 4, 797, 1937; Н. С. Курнаков и Э. Б. Штернин, Изв. АН СССР, сер. хим., 2, 267, 1936; Н. С. Курнаков, Собрание избранных работ, ОНТИ—Химтеорет., Ленинград, 1938.
 Е. Г. Кузьмина, Кандидатская диссертация, Библиотека Педагог. ин-та им. Герцена, Ленинград, 1955.
 Н. С. Курнаков, Введение в физико-химический анализ, стр. 342. Изд-во АН СССР, М.—Л., 1940.
 Ю. Н. Вольнов, Кандидатская диссертация. Библиотека Ленингр. технолог. ин-та им. Ленсовета, 1938.

THE ELECTRICAL CONDUCTIVITY OF SOME SYSTEMS CONTAINING SILICON OR TIN TETRACHLORIDES AND ESTERS

Yu. N. Vol'nov (Leningrad)

Summary

This paper is devoted to a study of the specific electrical conductivity of systems formed by silicon tetrachloride and methyl formate, ethyl formate, ethyl acetate, diethyl acetate, ethyl butyrate, benzyl acetate and phenyl acetate and by tin chloride and butyl acetate, amyl acetate, ethyl butyrate and phenyl acetate.

The conductivities of the silicon tetrachloride solutions in methyl formate, ethyl formate and ethyl acetate were determined at different temperatures and at concentrations up to 6—12 M% SiCl_4 .

The conductivity of these solutions is attributed to the formation of conducting complexes the stabilities of which increase with the polarization in the order methyl formate—ethyl formate—ethyl acetate.

The electrical conductivity of the other systems with SiCl_4 could not be measured.

The specific electrical conductivity isotherms of the systems with tin tetrachloride possess points of discontinuity and minimums corresponding to the formation of compounds such as $\text{SnCl}_4 \cdot 2\text{R}$.

With increasing temperature the points of discontinuity level and the minimums decrease and become flatter, disappearing altogether at the more elevated temperatures.

The maxima on the isotherms approach each other as the temperature is raised and finally merge into a single peak.

The electrical conductivity isotherms of the systems studied corresponds to type II of the Klocho classification.

О СВЯЗИ МЕЖДУ ПЕРЕНАПРЯЖЕНИЕМ ВОДОРОДА НА СПЛАВАХ И МЕЖАТОМНЫМИ РАССТОЯНИЯМИ В НИХ

Н. С. Федорова

Одним из основных факторов, влияющих на величину перенапряжения водорода, является материал электрода. Так, замена платинового электрода свинцовым увеличивает потенциал выделения водорода больше, чем изменение плотностей тока в 1 млн. Вопрос о связи между природой металла и перенапряжением представляет собой одну из важнейших проблем теоретической электрохимии.

Попытки связать величину перенапряжения водорода с температурой плавления, способностью металла катализировать реакцию молизации атомов водорода, с химическим потенциалом электронного газа в металле и некоторые другие не дали возможности вскрыть природу этой связи.

Н. Е. Хомутов [1] и независимо от него Лейдхейзер [2] обнаружили, что имеет определенная связь между величиной перенапряжения водорода и межатомным расстоянием в кристаллической решетке металла катода. Перенапряжение водорода имеет минимум в области межатомных расстояний $2,76\text{--}2,74\text{ \AA}$.

Н. Е. Хомутов [3] дает физическое истолкование этой связи, которое достаточно наглядно объясняет причины перенапряжения и подтверждается экспериментальными данными. Изучение перенапряжения водорода на различных сплавах показало, что его величина в большинстве случаев отличается от перенапряжения на чистых компонентах и зависит от состава сплава.

Сопоставление имеющихся данных по перенапряжению водорода на некоторых сплавах с изменением параметра их кристаллической решетки вместе с изменением состава показывает, что во многих случаях наблюдается связь между перенапряжением на сплаве и межатомным расстоянием в нем.

Так, В. Г. Пиженчик [4] изучала катодные потенциалы малолегированных двойных сплавов железа с ванадием, вольфрамом и молибденом в водных растворах смеси поваренной соли и едкого натра при 75°C . Ею установлено, что при средних и высоких плотностях тока ($600\text{--}1000\text{ А/м}^2$) потенциал выделения водорода на этих сплавах примерно на $0,2\text{--}0,25\text{ В}$ ниже, чем на железе.

Малолегированные сплавы железа с указанными металлами представляют собой твердые растворы [5], кристаллическая структура которых аналогична железу, однако с более высоким параметром решетки [6]. Редер и Брун [7], исследуя перенапряжение водорода на некоторых сплавах, обнаружили, что на сплавах серебра с 5—6 ат. % сурьмы перенапряжение возрастает на $0,15\text{ В}$ по сравнению с чистым серебром. Эти сплавы являются раствором сурьмы в серебре [5] и параметр гранцентрированного куба растет от $4,078\text{ \AA}$ для чистого серебра до $4,118\text{ \AA}$ для раствора, насыщенного сурьмой [8].

Гинмлер [9] измерял перенапряжение на сплавах серебра с 5 и 10 ат. % палладия и установил, что оно значительно падает по мере увеличения содержания палладия одновременно с этим и параметр решетки сплава также уменьшается по сравнению с параметром чистого серебра [10].

Таким образом для всех указанных сплавов наблюдается связь между перенапряжением водорода и межатомным расстоянием в них, аналогичная связи для чистых металлов. Наряду с этим, для ряда сплавов такой закономерности не обнаруживается [7, 9], что требует дополнительного объяснения.

В настоящей работе изучалось перенапряжение водорода на гальванических железо-никелевых сплавах.

Сплавы с различным процентным содержанием компонентов получались электролизом водных растворов простых сернокислых солей железа и никеля с добавкой лимонной кислоты или уксуснокислого натрия, при комнатной температуре и при перемешивании. В качестве катода применялась тщательно подготовленная пластинка из стали-3.

были получены шесть железо-никелевых сплавов, которые содержали 8, 31, 52, 64 и 88% никеля. Сплавы изготовлялись толщиной 10—12 μ . Для сравнения поведения железо-никелевых сплавов с чистыми металлами использовались также электроды, покрытые гальваническим осадком чистого никеля и железа.

Опыты по изучению процесса выделения водорода проводились в стеклянной электролитической ячейке, в которой при помощи стеклянных диафрагм достигалось отделение катодных и анодных продуктов электролиза. Измерения велись в растворе, насыщенном воздухом, так как А. Хиклинг и Солт [11] теоретически и экспериментально показали, что при высоких плотностях тока нет опасности деполаризации катодом атмосферным кислородом, растворяющимся в электролите. Электролизер помещался в термостат с температурой 50° С. Для сравнения служил насыщенный каломельный полуэлемент. Измерение анодных потенциалов производилось при помощи метода. Исследуемый электрод перед измерением поляризационных кривых подвергался катодной поляризации.

После этого измерялся потенциал катоды, причем плотность тока постепенно понижалась от 300 до 3000 A/m^2 и затем снова повышалась до первоначального значения. Измерения потенциала производились через определенный промежуток времени после наложения заданной плотности тока. Во избежание значительной концентрационной поляризации катодит постоянно перемешивался стеклянной механической мешалкой. Измерения проводились на 2—3 различных образцах одного и того же сплава. Как правило, данные измерений отличались друг от друга на 7—10 мВ; при повторных измерениях на том же образце сплава они колебались в пределах 5—6 мВ.

В качестве электролита были использованы шесть различных водных растворов поваренной соли и едкого натра, взятых в соотношениях, соответствующих различным степеням превращения поваренной соли в едкий натр в процессе электролиза для получения хлора (см. таблицу).

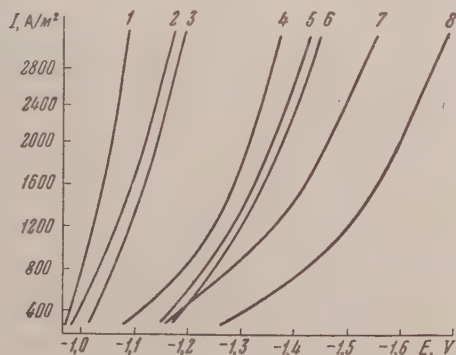
Результаты измерений перенапряжения на сплавах приведены на рис. 1 и 2.

На рис. 1 показана зависимость потенциала выделения водорода на различных катодах от плотности тока в одном из растворов. Из рисунка

Составы растворов поваренной соли и едкого натра

Состав раствора, г		
NaOH	NaCl	H ₂ O
—	319	885
87	191	845
109	159,5	835
131	128	823
153	96	812
175	64	800

Рис. 1. Зависимость катодного потенциала сплавов от плотности тока. Состав раствора 191 г NaCl, 87 г NaOH и 845 г H₂O при 50° С: 1—чистое железо; 2—31% никеля; 3—52% никеля; 4—64% никеля; 5—железо электролит; 6—чистый никель; 7—железо электролит; 8—88% никеля



видно, что поляризационные кривые для сплавов железа с никелем не выпадают с поляризационными кривыми для чистых железа и никеля. Сплавы, содержащие 9, 18, 31 и 52% никеля, имеют потенциалы выделения более положительные, чем для железа и никеля. Потенциалы для сплава 64% никеля близки по своим значениям к чистому железу, но менее отрицательны по сравнению с чистым никелем. Потенциалы выделения водорода на сплаве с 88% никеля при всех плотностях тока более отрица-

тельны, чем на чистых компонентах. Таким образом становится очевидно, что потенциал выделения водорода закономерно меняется вместе с изменением состава сплава.

На рис. 2 показана зависимость катодного потенциала от состава сплава при плотности тока 3000 А/м^2 . Рассмотрение рисунка показывает, что в наиболее положительных потенциалах водород выделяется на сплаве, содержащем 18% никеля. Несколько более отрицательное значение имеет потенциал выделения водорода на сплаве с 31% никеля. Далее по мере возрастания отрицательных потенциалов сплавы располагаются в следующем порядке: сплав с 9, 52, 64 и, наконец, 88% никеля.

Необходимо указать, что отмеченная выше закономерность сохраняется во всех растворах только при наиболее высоких плотностях тока, а именно 1600 А/м^2 , при низких плотностях, в зависимости от состава раствора, поляризационные кривые для различных сплавов меняют свое положение по отношению друг к другу.

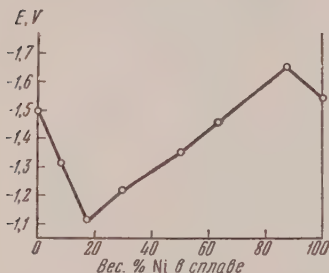


Рис. 2. Зависимость катодного потенциала от состава сплава в растворе 131 г NaOH, 12,8 г NaCl и 823 г H_2O при 50°C . Плотность тока 3000 А/м^2 .

Зависимость потенциала сплавов различных составов от логарифма плотности тока представляет собой линейную функцию, отвечающую эмпирическому уравнению Тафеля $\eta = a + b \lg i$. Для некоторых сплавов, в частности для сплава, содержащего 52% никеля, линейная зависимость сохраняется во всем интервале исследуемых плотностей тока. Для других сплавов при некоторых плотностях тока наблюдается излом, после которого вновь сохраняется прямая, но уже с другим

коэффициентом b . Для этих сплавов во всем интервале плотностей тока зависимость $E - \lg i$ описывается двумя пересекающимися прямыми с разными значениями коэффициентов b .

Сравнение значений коэффициента b для каждого данного сплава показывает, что при высоких плотностях тока во всех случаях b больше, чем при низких. По мере изменения состава раствора значение b для одного и того же сплава меняется как при высоких, так и при низких плотностях тока.

Обращает на себя внимание тот факт, что величины b , найденные для сплавов с 9 и 18% и 64 и 88% никеля, близки друг к другу. По-видимому, процесс выделения водорода для каждой из этих пар сплавов более или менее сходен.

Для сплава с 31% никеля при высоких плотностях тока в некоторых растворах величины b близки к сплавам с 9 и 18% никеля, в других — к величинам, характерным для сплавов с 64 и 88% никеля. Следовательно, на этом, наиболее сложном по своему электрохимическому поведению сплаве, в зависимости от состава раствора, процесс выделения водорода приближается либо к одной, либо к другой паре сплавов.

Методом рентгеноструктурного анализа установлено, что галванические железо-никелевые сплавы в зависимости от процентного состава имеют разную кристаллическую решетку: сплавы с 9 и 18% никеля имеют кубическую объемноцентрированную, а с 52, 64 и 88% никеля кубическую гранцентрированную решетки. Сплав с 31% никеля представляет собой смесь двух фаз — гранцентрированной и объемноцентрированной кубических решеток [12].

На основании этих данных представляется возможным объяснить сходство значений коэффициентов b для сплавов с 9 и 18 и 64 и 88% никеля. Очевидно, процесс выделения водорода зависит до некоторой степени от строения кристаллической решетки и на сплавах с одинаковой

металлической структурой наблюдаются близкие значения b . Присутствием в сплаве с 31% никеля двух фаз объясняется его двойственное поведение при электролизе: в зависимости от состава раствора процесс выделения водорода, по-видимому, протекает преимущественно то на одной, то на другой фазе и величины b приближаются то к первой, то ко второй из сплавов.

Данные о параметрах решетки гальванических железо-никелевых сплавов показывают, что величина эта существенно меняется в зависимости от состава: от 2,87 до 3,58 Å [12]. В связи с этим естественно ожидать, что межатомное расстояние в сплаве будет меняться вместе с изменением состава сплава.

Действительно, расчет по методу, предложенному Г. Б. Боклем [13], показывает, что межатомные расстояния в сплаве меняются в зависимости от состава от 2,47 до 2,58 Å (рис. 3).

Согласно закономерности, установленной Н. Е. Хомутовым, перенапряжение водорода зависит от межатомного расстояния в металле и уменьшается при приближении его к 2,6 Å. Максимальное межатомное расстояние наблюдается в сплаве с 31% никеля, и, казалось бы, на нем должно быть минимальное перенапряжение. Однако это не имеет места, что вполне можно объяснить присутствием в сплаве второй фазы с межатомным расстоянием, аналогичным межатомному расстоянию железа. Наличие этой фазы несколько повышает перенапряжение; благодаря этому сплав с 31% никеля занимает второе, а не первое место в порядке возрастания отрицательных потенциалов выделения водорода.

Сплав с содержанием 18% никеля состоит из одной фазы, представляющей собой раствор никеля в объемноцентрированной решетке железа с увеличенным параметром. Межатомное расстояние в этом сплаве равно 2,56 Å, т. е. самой большой величине (если не считать сплава с 31% никеля) по сравнению с межатомным расстоянием остальных сплавов чистых никеля и железа и перенапряжение на сплаве минимальное.

Сплав с 9% никеля также представляет собой раствор никеля в объемноцентрированной решетке железа; однако параметр решетки, а следовательно, и межатомные расстояния в этом сплаве увеличены по сравнению с таковыми чистого железа на меньшую величину. Перенапряжение на нем в соответствии с закономерностью Н. Е. Хомутова несколько больше, чем на предыдущих двух сплавах, и меньше, чем на остальных сплавах, на чистых металлах.

Сплав, содержащий 52% никеля, является раствором железа в гранцентрированной решетке никеля. При этом в этом случае параметр решетки и межатомные расстояния в сплаве превышают таковые для никеля. Соответственно межатомное расстояние в этом сплаве представляет собой еще меньшую величину, чем в сплаве с 9% никеля. В соответствии с этим перенапряжение на сплаве с 52% никеля больше, чем с 9%.

Сплав с 64% никеля кристаллизуется по типу никеля в гранцентрированной решетке с параметром 3,57 Å, что довольно значительно отличается от параметра никеля и тем более железа. Однако межатомные расстояния в этом сплаве равны по своей величине диаметру атома чистого железа: величины перенапряжения на рассматриваемом сплаве и железе в ряде случаев очень сходны между собой.

Сплав, содержащий 88% никеля, кристаллизуется в гранцентрированной решетке, но параметр ее и межатомные расстояния меньше, чем

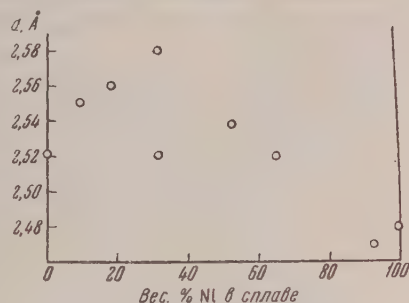


Рис. 3. Зависимость межатомных расстояний железо-никелевых сплавов от их состава

у никеля. Из экспериментальных данных видно, что и перенапряжение нем больше, чем на никеле.

Таким образом становится очевидным, что межатомные расстояния в железо-никелевых сплавах и перенапряжение на них являются связанными величинами. По мере изменения межатомного расстояния и приближения его к $2,76 \text{ \AA}$ перенапряжение на сплаве уменьшается.

Однако одним этим фактором не может быть объяснена вся совокупность установленных в работе закономерностей.

Прежде всего ни в одном из растворов не удается обнаружить пропорциональности между изменением межатомного расстояния и снижением перенапряжения.

Кроме того, как было сказано выше, определенная закономерность в расположении сплавов по мере возрастания величины перенапряжения сохраняется только при достаточно высоких плотностях тока; при низком же порядке расположения меняется, и, следовательно, тем более нельзя обнаружить пропорциональности в изменении межатомного расстояния в сплаве и потенциала выделения водорода на нем.

Выводы

1. Показано, что потенциал выделения водорода на гальванически железо-никелевых сплавах отличается от потенциалов на чистых железе и никеле в тех же растворах.

2. Установлено, что при больших плотностях тока имеется определенная закономерность в расположении сплавов и чистых металлов по мере возрастания потенциалов выделения водорода на них.

3. Найдено, что зависимость между потенциалом выделения водорода и логарифмом плотности тока выражается для большинства сплавов двумя пересекающимися прямыми с различными величинами коэффициента b уравнения Тафеля; причем при высоких плотностях тока b всегда больше, чем при низких; значение величины b изменяется в зависимости от состава сплава и состава раствора.

4. На основании данных о параметрах решетки Fe-Ni сплавов показано, что межатомные расстояния в сплаве меняются вместе с изменением состава от $2,47$ до $2,58 \text{ \AA}$.

5. На основании сопоставления потенциала выделения водорода при высоких плотностях тока и межатомных расстояний в сплавах и чистых металлах подтверждена установленная Н. Е. Хомутовым связь между этими величинами для чистых металлов. По мере приближения межатомного расстояния в сплаве к $2,76 \text{ \AA}$ перенапряжение на нем уменьшается.

Химико-технологический
институт им. Д. И. Менделеева

Поступила
29.V.1956

ЛИТЕРАТУРА

1. Н. Е. Хомутов, Журн. физ. химии, **24**, 1201, 1950.
2. H. Leidheiser, Journ. Amer. Chem. Soc., **71**, 3634, 1949.
3. Н. Е. Хомутов, Сообщение о научных работах членов ВХО им. Д. И. Менделеева, вып. 1, 1950, стр. 5.
4. В. Г. Ицкевич, Диссертация, МХТИ им. Д. И. Менделеева, 1943.
5. Хансен, Структура бинарных сплавов, т. 1 и 2, 1941.
6. Энциклопедия металлофизики, т. 1, 1937.
7. M. G. Raeder u. J. Brun, Zs. phys. Chem., **133**, 15, 1928.
8. A. Westgren, G. Hägg u. S. Eriksson, Zs. phys. Chem., **4**, 453, 1929.
9. W. Himmler, Zs. phys. Chem., **196**, 205, 1900.
10. Техническая энциклопедия. Справочник физических, химических и технологических величин, т. 2.
11. A. Hickling a. F. Salt, Trans. Farad. Soc., **37**, 519, 1941.
12. Н. С. Федорова, Рентгеноструктурное исследование гальванических железо-никелевых сплавов (сдана в печать).
13. Г. Б. Боккий, ДАН, **83**, 459, 1953.

ON THE CONNECTION BETWEEN HYDROGEN OVERVOLTAGE ON ALLOYS
AND THEIR INTERATOMIC DISTANCES*M. S. Fedorova (Moscow)*

S u m m a r y

The hydrogen evolution potential on galvanic iron-nickel alloys has been shown to differ from the potentials on pure iron and nickel in the same solutions. At large current densities there was found to be a definite regularity in the disposition of the alloys according to their hydrogen evolution potentials.

For the majority of alloys the dependence between the hydrogen evolution potentials and the logarithm of the current density may be represented by two intersecting straight lines with different values of the b constant of the Tafel equation, those at larger current densities always being higher than at the lower ones. The b values vary dependently upon the composition of the alloy and of the solution.

Based on lattice parameter data on the Fe-Ni alloys the interatomic distances have been shown to change with the composition from 2.47 to 2.58 Å.

From a comparison of the hydrogen evolution potentials at high current densities and the interatomic distances in the alloys and pure metals support has been given to the correlation between these two quantities established by M. E. Khomutov. As the interatomic distance in the alloy approaches 2.76 Å the hydrogen overvoltage on it decreases.

ИССЛЕДОВАНИЕ ВЛИЯНИЯ СТРУКТУРЫ НЕНАСЫЩЕННЫХ СОЕДИНЕНИЙ НА ИХ РЕАКЦИОННОСПОСОБНОСТЬ В ПРОЦЕССАХ СОПОЛИМЕРИЗАЦИИ

I. ОПРЕДЕЛЕНИЕ КОНСТАНТ ОТНОСИТЕЛЬНОЙ АКТИВНОСТИ МОНОМЕРОВ ДЛЯ ОБЩЕГО СЛУЧАЯ СОПОЛИМЕРИЗАЦИИ

Г. А. Штрайхман, А. А. Ваншейдт и Г. А. Петрова

Измерение констант относительной активности мономеров или т. называемых «констант сополимеризации» [1—4] является важной задачей как при непосредственном изучении процессов сополимеризации тех и иных мономеров, так и в случаях использования этих процессов для исследования проблемы зависимости между химической структурой ненасыщенных соединений и их реакционной способностью.

В настоящее время известны пять методов определения величин констант сополимеризации r_1 и r_2 по данным анализа состава сополимеров. Сюда относятся: 1) метод подобранной кривой Алфрей и сотр. [3]; 2) метод пересечений Майо и Льюиса [1]; 3) метод наклонной прямой Финемана и Росса [5]; 4) метод С. С. Медведева и А. Д. Акина [6] и 5) аналитический метод Джоши и Капура [7].

Все существующие методы определения величин r_1 и r_2 , за исключением методов индийских ученых Джоши и Капура, являются графическими и включают субъективный фактор при нахождении величин констант.

Аналитический метод Джоши и Капура вполне объективен и должен давать на более точные результаты, однако, поскольку он основан на дифференциальной форме уравнения состава сополимеров, для расчетов могут быть использованы лишь опыты на весьма малых глубинах превращения.

В настоящей работе описывается аналитический метод определения констант сополимеризации r_1 и r_2 , основанный на применении интегральной формы уравнения состава, являющийся развитием метода Майо и Льюиса.

Метод пересечений Майо и Льюиса и его особенности

Дифференциальная форма уравнения состава сополимеров, представленная Майо и Льюисом [1] и, независимо от них, Алфреем и Гольдфингером [8], а также Уолло [9]:

$$\frac{m_1}{m_2} = \frac{M_1}{M_2} \frac{r_1 M_1 + M_2}{r_2 M_2 + M_1}, \quad (1)$$

связывает состав возникающего сополимера (m_1 и m_2) с составом исходной реакционной смеси (M_1 и M_2) при помощи констант r_1 и r_2 .

Это уравнение дает линейную функциональную зависимость между величинами констант r_1 и r_2 , однако состав реакционной смеси можно рассматривать практически постоянным лишь для опытов с весьма малой глубиной превращения. Если последняя превышает 3—5%, — возникает необходимость использования интегральной формы этого уравнения, представленной Майо и Льюисом [1]:

$$\begin{aligned} \lg \frac{M_2}{M_2^0} &= \frac{r_2}{1-r_2} \lg \frac{M_1 M_2^0}{M_1^0 M_2} - \\ &- \frac{1-r_1 r_2}{(1-r_1)(1-r_2)} \lg \frac{(r_1-1) \frac{M_1}{M_2} - r_2 + 1}{(r_1-1) \frac{M_1^0}{M_2^0} - r_2 + 1}. \end{aligned} \quad (2)$$

где M_1^0 и M_2^0 — начальные молярные концентрации мономеров в реакционной смеси, M_1 и M_2 — наличные их концентрации на некоторой глубине превращения, которые могут быть определены экспериментально. Ввиду того что интегральное уравнение (3) дает функциональную зависимости между определяемыми величинами $r_2 = f(r_1)$ в удобной форме, Майо и Льюис ввели вспомогательный параметр p и представили это уравнение в виде $r_2 = f(p)$ следующим образом:

$$r_2 = \frac{\lg \frac{M_2^0}{M_2} - \frac{1}{p} \lg \frac{1 - p(M_1/M_2)}{1 - p(M_1^0/M_2^0)}}{\lg \frac{M_1^0}{M_1} + \lg \frac{1 - p(M_1/M_2)}{1 - p(M_1^0/M_2^0)}}, \quad (3)$$

с чем

$$p = \frac{1 - r_1}{1 - r_2}. \quad (4)$$

и экспериментальные величины M_1^0 , M_2^0 , M_1 и M_2 , соответствующие отдельному опыту, подставить в уравнение (3), то оно превратится в частное уравнение с числовыми коэффициентами вида $r_2 = f(p)$. Теперь каждому произвольно выбранному значению параметра p по частному уравнению будет соответствовать определенное значение r_2 , а по уравнению (4) сопряженное значение r_1 , которые и могут быть нанесены в виде точек в координатной системе r_1 — r_2 . Таким образом каждому единичному опыту с определенным начальным составом смеси мономеров будет соответствовать одна точка, которая линия в координатах r_1 — r_2 . Наклон этих линий меняется с изменением начального состава смесей.

Майо и Льюис рассматривают полученные таким образом линии как прямые в положительной четверти, что было ими показано на примере системы стирол — метакрилат.

Следует отметить, что параметр p имеет здесь чисто вспомогательный характер и используется лишь на определенной стадии вычисления, после чего исключается из дальнейшего рассмотрения. Поскольку зависимость $r_2 = f(r_1)$ рассматривается как линейная в положительной четверти координатной системы r_1 — r_2 , оказывается возможным ограничиться некоторыми совершенно произвольно выбранными (положительными или отрицательными) значениями p с тем лишь условием, чтобы соответствующие значения величин r_1 и r_2 , вычисленные по уравнениям (3) и (4), были положительными. Фиксированные таким образом точки соединяются прямой, которая в случае необходимости может быть экстраполирована в положительной четверти до пересечения с прямыми, аналогично полученными из других опытов сополимеризации тех же мономеров.

Таким образом задача определения констант сополимеризации r_1 и r_2 по методу Майо и Льюиса сводится к нахождению точки пересечения прямых, соответствующих, по крайней мере, двум различным опытам с разными составами исходных смесей. Физический смысл имеют только положительные решения. Этот метод широко применяется в исследованиях, связанных с измерениями относительной активности мономеров r_1 и r_2 , однако в тех случаях, когда имеет место резкое различие между составом сополимера и составом реакционной смеси, предлагаемый нами способ должен иметь известные преимущества.

Аналитический метод определения констант r_1 и r_2 для общего случая сополимеризации

Исследование интегрального уравнения состава (3), произведенное Майо и Льюисом [1], показало, что функции $r_2 = f(r_1)$ имеют разрыв непрерывности в отрицательных областях между точками:

$$1) \quad r_1 = -\frac{M_2^0}{M_1^0}; \quad r_2 = -\frac{M_1^0}{M_2^0}$$

$$2) \quad r_1 = -\frac{M_2}{M_1}; \quad r_2 = -\frac{M_1}{M_2},$$

при сближении на подходе к зоне разрыва.

Из этого обстоятельства можно сделать вывод, что чем больше численная величина разности между M_2^0/M_1^0 и M_2/M_1 , т. е. чем сильнее меняется состав реакционной смеси с ходом процесса совместной полимеризации, тем больше будет расхождение между точками 1) и 2), тем в большей степени график $r_2 = f(r_1)$ будет отличаться прямой линией.

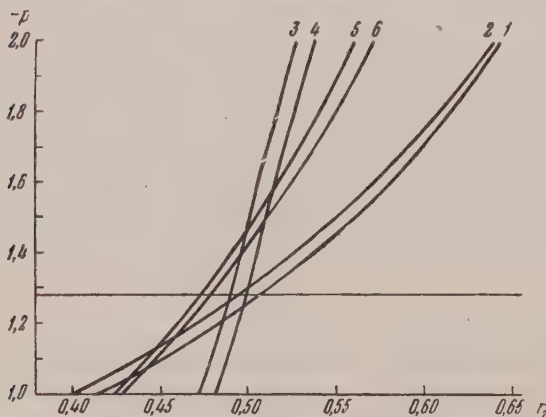
В общем случае сополимеризации, когда состав образующегося полимера отличается от состава реакционной смеси, эти графики могут иметь заметную изгибность также и в положительной четверти координатной системы $r_1 \rightarrow r_2$, что следует принимать во внимание при определении констант [10]. Примерами таких систем могут являться хлоропрен — стирол, хлоропрен — метилметакрилат и ряд других.

С другой стороны, поскольку величины r_1 и r_2 в изотермических условиях представляют собой константы бинарной системы, то и параметр p , входящий в уравнение и равный $(1 - r_1)/(1 - r_2)$, также должен иметь характер постоянной величины для данной мономерной пары в тех же условиях. Более того, из анализа дифференциального уравнения состава (1) следует, что параметр p имеет вполне определенный физический смысл и выражает молярное отношение компонентов $M_2 : M_1$, которое соответствует азеотропическому составу*.

Существенным является также то обстоятельство, что хотя интегральное уравнение (3) и не дает зависимости между r_1 и r_2 в явном виде, такая зависимость между величиной r_2 и параметром p существует в явной форме.

Перечисленные соображения побудили нас предложить следующий метод определения констант r_1 и r_2 . [10].

Средняя величина параметра p , имеющая характер константы исследуемой системы, находится из серии опытов с различными составами нача-



Система метилметакрилат (M_1) — метакриламид (M_2).
Определение r_2 при $p = \text{const}$

ных смесей путем совместного попарного решения аналитическим способом частных интегральных уравнений состава, соответствующих каждому отдельному опыту. Найденная величина константы используется далее для расчета констант r_1 и r_2 по каждому из частных интегральных уравнений типа (3) и по уравнению (4). Из ряда полученных значений величин r_1 и r_2 , соответствующего числу отдельных опытов, в качестве конечного результата находят их средние значения. В отличие от «метода пересечений» Майо и Льюиса, при таком способе расчета используются не любые произвольные значения параметра p , а вполне определенная его величина, имеющая характер константы данной системы, отпадает необходимость графического построения и учитывается действительный криволинейный характер зависимости $r_2 = f(r_1)$ в общем случае сополимеризации. В результате всего этот метод лишен элементов субъективности и дает однозначное решение поставленной задачи для определенного ряда экспериментальных данных.

Возможен также и графический вариант нового метода. В этом случае для каждого отдельного опыта по частным уравнениям состава строятся графики в координатной системе $r_2 - p$, имеющие характер кривых (см. рис. 1). Каждое пересечение этих линий дает некоторую (положительную или отрицательную) величину параметра p . Из полученного ряда значений

* В тех случаях, где он возможен, т. е. где обе постоянные либо одновременно < 1 , либо одновременно > 1 . В этих случаях $p > 0$. Наоборот, отрицательная величина p показывает, что азеотропического состава в данной системе не существует.

Таблица 1

 Совместная полимеризация метилметакрилата (M_1) и метакриламида (M_2) при 70° в присутствии перекиси бензола

№ опыта	Состав исходной смеси, мол. доли		Глубина полимеризации, %	Содержание азота в сополимерах, вес. %	Состав реакц. смеси при данной глубине полимеризации		Частные интегральные уравнения состава	Примечание
	M_1°	M_2°			M_1	M_2		
1	0,7703	0,2297	29,41	2,40 2,30 2,20	0,5260	0,4830	$r_2 = \frac{0,09868 - 1/p \lg A}{0,16569 + \lg A}$; $A = \frac{1-2,874p}{1-3,353p}$	Полимеризация в массе
2	0,8077	0,1923	56,20	1,98 2,03 2,08	0,3292	0,1134	$r_2 = \frac{0,23043 - 1/p \lg A}{0,38983 + \lg A}$; $A = \frac{1-2,909p}{1-4,200p}$	То же
3	0,1979	0,8021	20,00	10,54 10,51 10,48	0,4370	0,6669	$r_2 = \frac{0,08816 - 1/p \lg A}{0,16825 + \lg A}$; $A = \frac{1-0,2006p}{1-0,2468p}$	Полимеризация в растворе этилового спирта
4	0,2122	0,7878	6,69	10,25 10,40 10,55	0,1905	0,7438	$r_2 = \frac{0,02492 - 1/p \lg A}{0,04685 + \lg A}$; $A = \frac{1-0,2562p}{1-0,2694p}$	То же
5	0,4783	0,5217	18,80	5,67 5,75 5,83	0,3652	0,4503	$r_2 = \frac{0,06391 - 1/p \lg A}{0,11717 + \lg A}$; $A = \frac{1-0,8111p}{1-0,9169p}$	»
6	0,5047	0,4953	28,90	5,57 5,52 5,47	0,3270	0,3898	$r_2 = \frac{0,10401 - 1/p \lg A}{0,18851 + \lg A}$; $A = \frac{1-0,8389p}{1-1,019p}$	»

p находят его среднюю величину, которая рассматривается как константа данной системы. Далее проводится прямая, параллельная оси абсцисс при найденном значении $p = \text{const}$. Абсциссы точек пересечения этой прямой с кривыми отдельных опытов дают величины r_2 при $p = \text{const}$. Окончательная величина константы r_2 находится как среднее арифметическое из этих значений. Искомое значение константы r_1 определяется из уравнения (4) по известным величинам $p = \text{const}$ и $r_2 = \text{const}$.

Применение аналитического метода расчета констант сополимеризации к системе метилметакрилат (M_1) — метакриламид (M_2)

Система метилметакрилат — метакриламид показывает известное, хотя и не столь резкое, как в некоторых других случаях, различие между составом возникающего сополимера и составом смеси мономеров. В зависимости от состава начальной смеси и глубины превращения сополима оказывается обогащенным в некоторой степени метилметакрилатом.

Таблица 2

Система метилметакрилат (M_1) — метакриламид (M_2). Определение констант p путем совместного решения частных уравнений состава

№ опыта	p	r_2	r_1	№ опыта	p	r_2	r_1
1—3	-1,210	0,487	1,621	2—5	-1,120	0,445	1,622
1—4	-1,245	0,497	1,626	2—6	-1,160	0,458	1,629
1—5	-1,040	0,432	1,591	3—5	-1,480	0,501	1,739
1—6	-1,060	0,440	1,594	3—6	-1,390	0,495	1,702
2—3	-1,255	0,488	1,643	4—5	-1,600	0,517	1,773
2—4	-1,290	0,499	1,643	4—6	-1,500	0,511	1,734

$$p_{\text{ср}} = \frac{\sum p}{12} = -1,279.$$

Все же и в этом случае графическое построение по способу Майо-Льюиса при некоторых соотношениях компонентов показывает известную хотя и небольшую, кривизну функций $r_2 = f(r_1)$ в положительной четверти координатной системы r_1 — r_2 . Аналитический расчет по предлагаемому

Таблица 3

Аналитическое определение констант r_1 и r_2 по частным уравнениям состава на основании константы $p = -1,279$

№ опыта	r_1	r_2
1	1,631	0,5068
2	1,646	0,4952
3	1,653	0,4894
4	1,641	0,4984
5	1,677	0,4709
6	1,658	0,4853

$$r_1 = \frac{\sum r_1}{6} = 1,651; \quad r_2 = \frac{\sum r_2}{6} = 0,491$$

На основании данных табл. 2 было найдено среднее значение константы p , оказавшееся из 12 определений равным

$$p_{\text{ср}} = -1,279.$$

* Опыты № 1 и 2, 3 и 4, а также 5 и 6 являются параллельными и соответствующие им частные уравнения не подлежат совместному решению.

Далее, во втором приближении были найдены значения r_1 и r_2 , при $p = -1,279$ по каждому из шести частных уравнений табл. 1, а затем и средние величины этих констант (табл. 3).

Для определения погрешностей были взяты абсолютные величины погрешностей Δr_1 и Δr_2 между найденными средними величинами констант и их значениями, полученными ранее в первом приближении, которые содержатся в табл. 2. Затем были найдены средние величины погрешностей. Определение погрешностей показано в табл. 4.

Таблица 4

Система метилметакрилат (M_1) — метакриламид (M_2).
Величины погрешностей при определении констант r_1 и r_2

№	Δr_1	Δr_2	№	Δr_1	Δr_2
1	$\Delta_{1-2} 0,040$	0,003	7	$\Delta_{2-5} 0,029$	0,045
2	$\Delta_{1-4} 0,025$	0,007	8	$\Delta_{2-6} 0,022$	0,032
3	$\Delta_{1-5} 0,060$	0,058	9	$\Delta_{3-6} 0,088$	0,011
4	$\Delta_{1-6} 0,057$	0,050	10	$\Delta_{3-5} 0,051$	0,005
5	$\Delta_{2-3} 0,007$	0,002	11	$\Delta_{4-5} 0,122$	0,027
6	$\Delta_{2-4} 0,008$	0,009	12	$\Delta_{4-6} 0,083$	0,021

$$\Delta r_1 = \frac{\Sigma \Delta r_1}{12} = 0,047; \quad \Delta r_2 = \frac{\Sigma \Delta r_2}{12} = 0,023$$

Таким образом константы сополимеризации системы метилметакрилат (M_1) — метакриламид (M_2) при 70° имеют следующие значения:

$$\left. \begin{aligned} r_1 &= 1,65 \pm 0,05 \\ r_2 &= 0,49 \pm 0,02 \end{aligned} \right\} p_1^* = -1,28.$$

По данным Кровелса и Смита [11] константы сополимеризации этой системы, рассчитанные на основании дифференциального уравнения состава (1) по методу «подобранной кривой», имеют при 65° следующие значения:

$$r_1 = 1,5; \quad r_2 = 0,47$$

Экспериментальная часть

Мономеры. Метилметакрилат промывался 10%-ным раствором едкого натра и водой до нейтральной реакции по фенолфталеину и перегонялся при атмосферном давлении, причем собиралась фракция в пределах $100-100,5^\circ$, $d_4^{20} = 0,9456$. Метакриламид был синтезирован по методу Аркуса [12]. Свежеперегнанный метилметакрилат встряхивался с 8—10-кратным избытком концентрированного раствора аммиака в течение 70 час. на холоду до образования гомогенного раствора, из которого при вымораживании при помощи охлаждающей смеси из твердой углекислоты и ацетона выпадал метакриламид. Полученный продукт плавился при 110° и не требовал дополнительной очистки. C_4H_7ON . %N рассчитано 16,46%; найдено 6,50%.

Получение сополимеров. Сополимеризация метилметакрилата и метакриламида проводилась в растворах этилового спирта, при небольшой концентрации амида также в массе, при 70° в запаянных ампулах, в присутствии воздуха, под влиянием перекиси бензола (0,1 эк. %) и прерывалась на некоторых стадиях превращения.

Навески реакционной смеси, содержавшей точно дозированные количества мономеров (50—60 миллимолей), вносились в стеклянные ампулы, запайвание которых производилось при охлаждении их смесью льда и поваренной соли. Были приготовлены три серии мономерных смесей:

- 1) 80% M_1 + 20% M_2 ;
- 2) 50% M_1 + 50% M_2 ;
- 3) 20% M_1 + 80% M_2 .

Каждая серия состояла из двух параллельных опытов, которые различались глубиной полимеризации. Опыты первой серии проводились в массе, опыты второй и третьей серий — в растворе этилового спирта. Полимеризаты, полученные без растворителя при низких глубинах полимеризации представляли собой бесцветные сиропообразные жидкости, а в присутствии растворителя полимеры выпадали из раствора в виде хлопьев. Полимеризаты, полученные на более высоких глубинах превращения, имели вид гелеобразных, частично затвердевших масс. Опыты первой серии на малых глубинах давали сополимеры, легко растворимые в ацетоне, выделение и очистка которых производилась путем переосаждения из ацетона в этиловый эфир.

Сополимеры второй и третьей серии не растворялись в обычных органических растворителях, поэтому очистка их от не вступивших в реакцию мономеров производилась путем длительной и многократной экстракции ацетоном при комнатной температуре.

Глубина превращения определялась весовым путем по выходу очищенных и высушенных до постоянного веса полимеров. Сополимеры анализировались на содержание азота по микрометоду Дюма, дававшему хорошие воспроизводимые результаты. Результаты опытов приведены выше в табл. 1.

Выводы

1. Существующие методы определения констант относительной активности мономеров (констант сополимеризации) r_1 и r_2 в большинстве случаев основаны на применении дифференциальной формы уравнения состава и могут использовать экспериментальные данные, полученные лишь при весьма малой глубине полимеризации. Наиболее точным и объективным из них является аналитический метод Джоши и Капура.

2. Метод пересечений Майо и Льюиса позволяет использовать интегральную форму уравнения состава, однако не учитывает кривизны экспериментальных линий $r_2 = f(r_1)$ в общем случае сополимеризации, когда процесс резко отличается от азеотропического.

3. Предложен аналитический метод определения констант относительной активности мономеров r_1 и r_2 для общего случая сополимеризации, основанный на интегральной форме уравнения состава, учитывающий криволинейный характер зависимости между определяемыми величинами и дающий однозначное решение для определенного ряда экспериментальных данных. Представлен также графический вариант этого метода.

4. Изучена совместная полимеризация метилметакрилата (M_1) и метакриламида (M_2) при 70° под влиянием перекиси бензоила. При помощи аналитического метода найдены следующие величины констант системы:

$$r_1 = 1,65 \pm 0,05; r_2 = 0,49 \pm 0,02; p = -1,28.$$

Академия наук СССР
Институт высокомолекулярных соединений
Ленинград

Поступила
7.VII.1956

ЛИТЕРАТУРА

1. F. R. Mayo, F. M. Lewis, Journ. Amer. Chem. Soc., 66, 1594, 1944.
2. F. R. Mayo, C. Walling, Chem. Rev., 46, 191, 1950.
3. Т. Алфрей, Дж. Борер, Г. Марк, Сополимеризация, М., 1953.
4. С. Н. Ушаков, С. П. Миценгендлер, Г. А. Штрайхман, Успехи химии, 19, 3, 265 1950.
5. M. Fineman, S. D. Ross, Journ. Polym. Sci., 5, 2, 259, 1950.
6. А. Д. Абкин и С. С. Медведев, Журн. физ. химии, 21, 11, 1269, 1947.
7. R. M. Joshi, S. L. Kapur, Journ. Polym. Sci., 14, 77, 508, 1954.
8. T. Alfrey, G. Goldfinger, Journ. Chem. Phys., 12, 205, 1944.
9. E. F. Wall, Journ. Amer. Chem. Soc., 66, 2050, 1944.
10. Г. А. Штрайхман, Диссертация, ЛТИ им. Ленсовета, Л. 1950.
11. K. Crauwels, G. Smets, Bull. Soc. chim. Belg., 59, 443, 1950.
12. A. Reus, Journ. Chem. Soc., 11, 2732, 1949.

STUDY OF THE EFFECT OF THE STRUCTURE OF UNSATURATED COMPOUNDS
ON THEIR REACTIVITY IN THE POLYMERIZATION PROCESS

G. A. Shtraikhman, A. A. Vansheidt and G. A. Petrova (Leningrad)

S u m m a r y

The most widespread method of determining the relative activity constant of monomers in the process of copolymerization is the graphic «intersection method» of Mayo and Lewis. The method, however, does not take into account the curvilinearity of the experimental lines $r_2 = f(r_1)$ in the general case of copolymerization. An analytical method for determining the copolymerization constants has been proposed which is an extension of the Mayo and Lewis method, making use of an auxiliary parameter « p », as a constant of the system. The method takes into consideration the curvilinear character of the dependence between the quantities being determined and gives a single-valued solution for a particular series of experimental data. A graphic variation of the method has also been proposed. With the aid of the analytic method and based on experimental data the constants of the system methyl methacrylate—methacrylamide under the action of benzoyl peroxide at 70° have been determined: $r_1 = 1.65 \pm 0.05$; $r_2 = 0.49 \pm 0.02$; $p = -1.28$.

ИЗУЧЕНИЕ СТРОЕНИЯ ω -ПОЛИМЕРА МЕТИЛАКРИЛАТА
ФИЗИКО-ХИМИЧЕСКИМИ МЕТОДАМИ*В. А. Каргин и В. А. Кабанов*

При радикальной полимеризации некоторых дивиниловых и виновых соединений наряду с образованием обычных α - и μ -полимеров иногда происходит образование так называемых ω -полимеров. ω -Полимеры получают в тех же условиях, что и соответствующие μ -полимеры, однако они резко отличаются от них своей непрозрачностью, неоднородностью и очень малыми разрывными удлинениями. Кроме того, ω -полимеры в отличие от μ -полимеров обладают активными свойствами, т. е. способностью инициировать ω -полимеризацию своего и других мономеров. Выяснение механизма ω -полимеризации и природы ω -полимера представляет теоретический и известный практический интерес, так как обращение процесса полимеризации в сторону образования ω -полимера крайне нежелательно при промышленном синтезе.

В литературе имеется ряд работ, посвященных изучению кинетики ω -полимеризации [1—4]. Среди механизмов ω -полимеризации наиболее обоснованным представляется механизм, предложенный А. Н. Праведниковым и С. С. Медведевым [2, 4]. Он предусматривает флуктуационное возникновение зародыша ω -полимера в виде структурированного полимерного уплотнения в среде полимеризующегося по радикальному механизму мономера. В дальнейшем это уплотнение ведет себя, как своеобразная осмотическая ячейка. Процессы полимеризации, протекающие внутри уплотнения, приводят к увеличению там концентрации полимерных молекул и, следовательно, к возрастанию давления набухания. Рост давления набухания, в свою очередь, приводит к обрыву отдельных полимерных цепочек, мешающих уплотнению увеличиваться в объеме, и генерации за счет этого свободных радикалов. Процесс продолжается самоускоряясь, вплоть до исчерпания запаса мономера. Таким образом с момента возникновения зародыша отпадает необходимость в расходовании дополнительного инициатора, так как полимерно-мономерная система сама «производит» свободные радикалы.

В настоящей работе сделана попытка подойти к объяснению особенностей ω -полимеров путем изучения и сравнения физико-химических свойств ω - и μ -полимеров метилакрилата.

Получение полимеров. ω -Полимер метилакрилата был синтезирован нами в две стадии. Вначале в результате кратковременной фотополимеризации в отсутствие кислорода и последующей темновой реакции получалась смесь ω - и μ -полимеров. Из этой смеси вырезался кусочек ω -полимера, служивший зародышем. Зародыш в условиях, исключавших контакт с кислородом, переносился в специальную емкость, сообщавшуюся с ампулой, в которую был налит мономер. В этой емкости метилакрилат, поступавший через паровую фазу, полимеризовался на зародыше. В результате удавалось получить чистый ω -полимер.

μ -Полимер получался 6-часовой фотополимеризацией метилакрилата в отсутствие кислорода.

Для выяснения строения полученных полимеров были использованы рентгенографический, термомеханический и сорбционный методы. Кроме того, изучались окислительная деструкция и действие излучений высокой энергии на ω - и μ -полимеры.

Рентгенографическое изучение ω - и μ -полимеров. Рентгенографирование тонких срезов ω - и μ -полимеров производилось при помощи аппарата УРС-70 на плоскую пленку. Было использовано K_α излучение меди ($\lambda = 1,539 \text{ \AA}$).

Типичные рентгенограммы, полученные для ω - и μ -полимеров, оказались совершенно идентичными. На них наблюдались по два диффузных пятна, максимумы которых соответствовали расстояниям $d_1 = 4,2 \text{ \AA}$ и $d_2 = 6,9 \text{ \AA}$. Это указывает на аморфную структуру обоих полимеров и на отсутствие заметной разницы в их ближнем порядке.

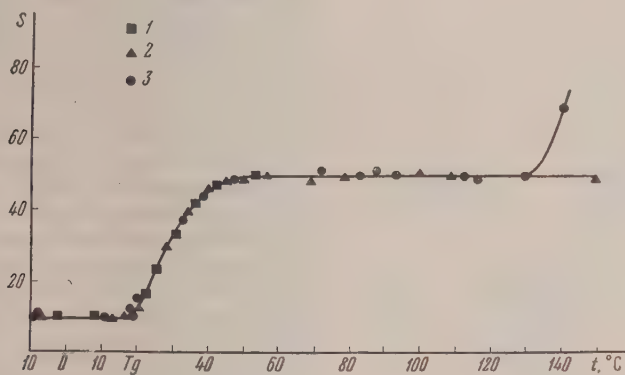


Рис. 1. Термомеханические кривые для ω - и μ -полимеров: 1 — ω -полимер; 2 — μ -полимер; 3 — ω -полимер, деструктурированный нагреванием на воздухе. T_g — температура стеклования. Разность величин деформаций S , полученная под действием нагрузок в 50 и 5 г, выражена в условных единицах

Результаты рентгеновского исследования свидетельствуют о том, что причину резких различий ω - и μ -полимеров следует искать не в особенностях химического строения их цепей.

Термомеханические свойства ω - и μ -полимеров метилакрилата. Термомеханическое изучение ω - и μ -полимеров производилось на динамометрических весах, описанных ранее [5]. Деформации разцов под действием малых постоянных нагрузок измерялись в широком интервале температур.

Образцы ω -полимера в виде таблеток диаметром 7 мм и толщиной 2,5 мм готовились прессованием на лабораторном прессе при давлении 1080 кг/см^2 и 80°C с последующим охлаждением под давлением. Получавшиеся таблетки, в отличие от исходного ω -полимера, были однородны и прозрачны. Однако в результате последующего длительного прогрева они снова приобретали вид и форму исходного ω -полимера, что указывало на отсутствие заметных необратимых изменений в условиях прессования. Тенденция таблеток изменять свою форму при прогреве не позволяла во время испытаний этих образцов поднимать температуру выше 60°C , но такая температура все же соответствовала выходу термомеханических кривых на горизонтальный участок, что для наших целей было достаточным. Ниже 60°C за время опыта ощутимых изменений формы таблеток не происходило.

Образцы ω -полимера в виде таких же таблеток вырезались непосредственно из блока.

Кроме того, исследовались образцы ω -полимера, частично деструктурированного нагреванием на воздухе при 130°C и превращенного таким путем в прозрачную эластичную массу, из которой образцы также готовились прессованием.

На рис. 1 представлены результаты термомеханических испытаний на динамометрических весах. Видно, что термомеханические кривые для всех типов полимерных образцов совпадают вплоть до 120°C . Уже одно совпадение температур стеклования указывает на то, что аномальные

физические свойства ω -полимера нельзя объяснить большей частотой и пространственной сетки по сравнению с μ -полимером. В самом деле, для того чтобы, например, объяснить малые разрывные удлинения ω -полимера, следовало бы принять, что расстояния между узлами в его сетке меньше величины кинетического сегмента цепи, но это должно было привести к увеличению температуры стеклования, чего в действительности не наблюдается. Кроме того, высоты горизонтальных участков термомеханических кривых ω - и μ -полимеров при температурах, больших T_g , которые соответствуют величинам высокоэластических деформаций

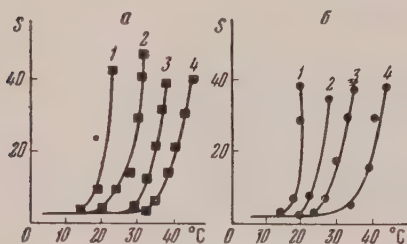


Рис. 2. Зависимость деформации от частоты воздействия нагрузки при разных температурах. Кривые 1, 2, 3, 4 соответствуют частотам воздействий 1, 10, 100 и 1000 мин.⁻¹; а — μ -полимер; б — ω -полимер. Величины S выражены в условных единицах

и обратно пропорциональны высокоэластическому модулю, оказывают одинаковыми при малых деформациях, производимых на динамометрических весах. Это указывает на то, что различия в частоте сеток ω - и μ -полимеров метилакрилата не существенны. Наконец, термомеханические кривые, полученные для образцов ω -полимера, частично разрушенного нагреванием на воздухе, совпадают с кривыми для исходных ω - и μ -полимеров. Это свидетельствует о том, что сплошная трехмерная сетка в ω - и μ -полимерах достаточно редка, так как ее отсутствие в последнем случае (разрушенный ω -полимер течет при 130°С) не сказывается на высокоэластических свойствах полимера при малых деформациях.

Кроме того, была изучена зависимость величин деформации образцов ω - и μ -полимеров от частоты воздействия нагрузки при разных температурах. На рис. 2 представлены результаты измерений, проведенных при помощи прибора Александра — Гаева [6]. Совпадение этой зависимости для ω - и μ -полимеров подтверждает выводы о характере пространственной сетки в этих полимерах.

Изучение сорбции метилпропионата ω - и μ -полимерами метилакрилата. Сорбционные свойства ω - и μ -полимеров изучали при помощи установки и по методике, описанным ранее [7]. В качестве сорбента применялся метилпропионат — гидрированный мономер метилакрилата. Известно, что сорбция гидрированных мономеров соответствующими полимерами непосредственно отражает плотность упаковки конфигурационный набор макромолекул [7].

На рис. 3 представлены изотермы сорбции при 25°С, полученные для исходных образцов ω - и μ -полимеров, предварительно освобожденных от небольшой примеси растворимой фракции 50-часовой экстракцией ацетоном в аппарате Сокслета. Как видно из рис. 3, вплоть до значений p_1/p_1^0 , равного 45%, ω -полимер сорбирует больше, чем μ -полимер, что особенно заметно при малых относительных давлениях пара метилпропионата. Это можно объяснить наличием микропустот в ω -полимере, заполнение которых дает дополнительный привес образца. При больших значениях p_1/p_1^0 , когда микропустоты в ω -полимере оказываются заполненными, и определяющую роль начинает играть процесс «энтропийного растворения» низкомолекулярного компонента в объеме полимера, изотермы сорбции пересекаются: ω -полимер сорбирует меньше, чем μ -полимер. Это связано с ограниченной подвижностью (конфигурационным набором) цепей в ω -полимере. Различная подвижность цепей в полимерах одного и того же химического строения может быть обусловлена различиями в частоте сеток и наличием напряжений в структуре одного из по-

ров, не способных релаксировать в процессе набухания. Первая при- как было показано термомеханическими опытами, в данном случае от- твует. Остается допустить второе. Существование фиксированных на- жений в структуре ω -полимера нетрудно представить, если принять хаизм ω -полимеризации, предложенный А. Н. Праведниковым и (Медведевым [2, 4]. В самом деле, процесс полимеризации с момента зикновения зародыша протекает в рамках набухшей полимерной сет- . Состояние набухания непрерывно, вплоть до окончания полимери- и, фиксируется химически- связями, образующимися и структурировании. Однако одаря релаксационным про- сам, частично протекающим зремя полимеризации (на- мер, за счет контракции, исходящей при полимери- и мономера), известная зижность цепей в ω -поли- ре все же сохраняется.

Высказанные соображения оляют объяснить равенство коэластических модулей ω - полимеров при небольших ормациях и малые разрыв- ы удлинения ω -полимера. ьствительно, при небольших ормациях для полимеров накового химического строе- и величина модуля и релак- ионный набор определяются мерами участков макромо- кул, способных перемещать- ь относительно друг друга.

ω - и μ -полимерах при малой

тоте сетки эти размеры оказываются одинаковыми. При значитель- ых деформациях начинает проявляться разница в расстояниях, на торые способны переместиться участки макромолекул относительно друг друга. В случае полимера, цепи которого в известной мере натя- ы еще в исходном состоянии, эти расстояния оказываются существ- но меньшими, что и определяет его малые разрывные удлинения. Для выяснения влияния длительного прогрева на плотность упаков- цепей в ω -полимере мы сравнили сорбцию метилпропионата исходным подвергавшимся экстракции образцом и образцом ω -полимера, про- ьтым в высоком вакууме при 120° в течение 70 час. До прогрева и после огрева образцы содержали около 4% растворимой фракции. Это ука- ывает на то, что в условиях прогрева не происходило заметной деструк- и ω -полимера. Результаты измерений представлены на рис. 4.

Рисунок показывает, что изотермы сорбции для прогретого и непро- етого образцов совпадают. Этот факт можно считать подтверждением го, что подвижность цепей в ω -полимере ограничена натяжениями, ьти натяжения зафиксированы связями, не способными разрушаться в ус- виях прогрева. В противном случае в рамках редкой сетки, имеющей ьсто в ω -полимере, при длительном прогреве произошла бы объемная аксация, плотность упаковки ω -полимера увеличилась бы и прибли- ьлась к плотности упаковки μ -полимера, что отразилось бы на ходе сорб- ионной изотермы. В действительности этого не происходит.

О возможностях превращения ω -полимера ме- лакрилата в μ -полимер. Результаты описанных выше опы-

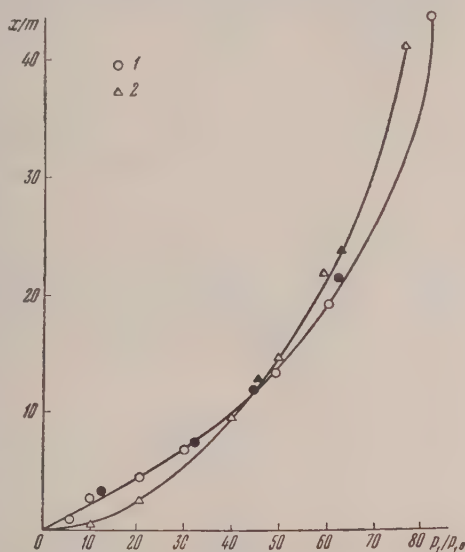


Рис. 3. Изотермы сорбции метилпропионата ω - и μ -полимерами метилакрилата: 1 — ω -полимер; 2 — μ -полимер. Черные точки — десорбция

тов позволяют высказать предположение, что особые свойства ω -полимера, отличающие его от μ -полимера, обусловлены наличием в пер микро- и макропустот и напряженностью его пространственной сет. Поэтому было интересно ликвидировать эту напряженность и посмотреть, насколько при этом свойства ω -полимера приблизятся к свойствам μ -полимера.

Сравнение изотерм сорбции для исходного и длительного прогрева в вакууме образцов ω -полимера показывает, что напряжения в структуре ω -полимера зафиксированы химическими связями, и, следовательно, их релаксация невозможна без разрыва этих связей. Иными словами

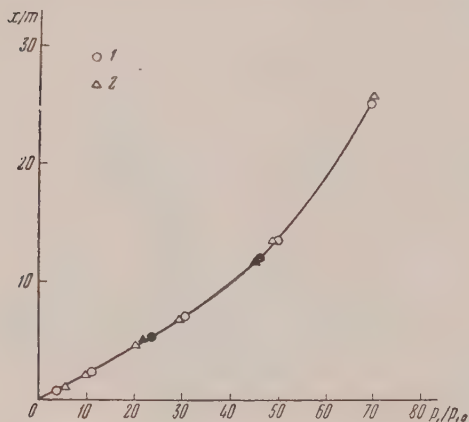


Рис. 4

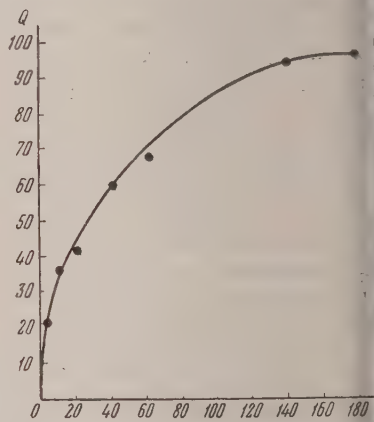


Рис. 5

Рис. 4. Изотерма сорбции метилпропионата прогретым и непрогретым образцами полимера: 1 — ω -полимер исходный; 2 — ω -полимер, прогретый в вакууме. Черные точки — десорбция.

Рис. 5. Зависимость растворимости ω -полимера от времени пластикации

снятие напряжений может произойти только в результате процессов химической релаксации, когда напряженные участки цепей получают возможность рваться и приобретать более вероятные конфигурации. Этого удалось возможным достигнуть тремя путями: а) пластикацией ω -полимера на лабораторных микровальцах, б) нагреванием ω -полимера на воздухе в) действием γ -излучения радиоактивного Co^{60} .

а) Пластикация ω -полимера на лабораторных микровальцах производилась при комнатной температуре в присутствии кислорода воздуха. В результате пластикации ω -полимер быстро превращался в прозрачную эластичную однородную пленку, способную хорошо растягиваться. При этом в результате обрыва цепей, и в первую очередь наиболее напряженных из них, происходила релаксация напряжений и уплотнение ω -полимера. Рост растворимости ω -полимера в зависимости от длительности вальцовки описывается монотонно возрастающей кривой, представленной на рис. 5. Это указывает на то, что при пластикации на воздухе процесс идет в основном в сторону деструкции ω -полимера.

б) Нагревание ω -полимера на воздухе. При нагревании ω -полимер на воздухе при температуре 120—130°C он превращался в прозрачную эластичную однородную массу, способную хорошо растягиваться и по внешним признакам ничем не отличающуюся от обычных полимеров мтилакрилата. В этом случае, как и в случае пластикации, происходила химическая релаксация напряжений за счет обрыва напряженных цепей и их перегруппировки в ненапряженное состояние, которая легко осущ

ялась при повышенной температуре. Несомненно, что в данном случае имела место окислительная деструкция, так как при нагревании полимера в высоком вакууме с ним не происходит никаких заметных изменений даже при 170°C . Вероятнее всего, что процесс окисления протекает через стадию образования гидроперекисей по местам α -углеродных связей цепи и последующего их распада.

При пластикации и при нагревании ω -полимера на воздухе образуются растворимые продукты, лишенные сплошной пространственной структуры, что отличает их от ω - и μ -полимеров. Однако при облучении в вакууме γ -лучами в таких частично деструктированных образцах полимера вновь удается создать сплошную сетку за счет процессов структурирования, которые при этом протекают. Но вновь образованная сетка не является напряженной, поэтому такой полимер, оставаясь прочным, сохраняет и способность к значительным растяжениям, т. е. практически превращается в μ -полимер.

в) Действие γ -излучений на ω - и μ -полимеры метилакрилата. Облучение в вакууме.

В качестве источника γ -лучей служил радиоактивный изотоп Co^{60} , активно-го в 100 кюри. Мощность дозы составляла 100 рентген/сек. Облучение проводилось в запаянных стеклянных ампулах, предварительно откаченных до высокого вакуума. Положение ампул относительно источника было фиксированным. Для опыта были взяты образцы ω - и μ -полимеров, из которых имевшаяся там растворимая фракция была удалена 50-часовой экстракцией ацетоном в аппарате Сокелета. Облучение продолжалось 38 час. (доза 13,7 млн. рентген).

Внешний вид образцов после облучения не изменился. Они по-прежнему оставались нерастворимыми. Это объясняется тем, что при облучении полиметилакрилат структурируется. В этом мы убедились, облучая вальцованные и частично деструктированные нагреванием на воздухе образцы ω -полимера, которые после облучения переставали растворяться. В литературе также имеются сведения о структурирующем действии излучений высокой энергии на полиметилакрилат [8].

Облучение на воздухе приводит к несколько иным результатам. Аналогично подготовленные образцы ω - и μ -полимеров были подвергнуты облучению γ -лучами на воздухе при той же мощности и величине дозы. Внешний вид образцов после облучения сохранился прежним. μ -Полимер остался практически нерастворимым, однако ω -полимер после облучения стал легко растворяться. Введение перед облучением в ω -полимер 1% нафтената меди в качестве ингибитора замедляет переход полимера из нерастворимого в растворимое состояние. Так, полимер без ингибитора, получив на воздухе дозу в 13,7 млн. рентген, становился растворимым на 97%, в то время как тот же полимер с введенным ингибитором, получив такую же дозу при той же ее мощности, растворялся только на 57%. При облучении на воздухе присутствие кислорода направляет процесс в сторону окислительной деструкции полимера. Однако, как было показано в работах [9, 10] на примере полиилена, существенную роль при этом играет соотношение скорости диффузии кислорода в полимер и скорости образования свободных радикалов при облучении, определяемой его интенсивностью. В случае неплотно упакованного ω -полимера скорость диффузии кислорода в образец велика, поэтому процесс энергично направляется в сторону окислительной деструкции. В случае более плотно упакованного μ -полимера при той же интенсивности облучения скорость диффузии кислорода оказывается недостаточной, поэтому деструкция гораздо менее ощутима. Действие нафтената меди заключается в ингибировании процессов радиационного окисления.

Известно, что химическое действие понижающих излучений на полимеры сводится к диссоциации макромолекул и образованию свободных

радикалов. Последние взаимодействуют друг с другом и с невозбужденными молекулами полимера. В результате этого взаимодействия, в конечном счете, происходит гашение свободных радикалов. Поэтому естественно было предположить, что под влиянием γ -излучения сетка ω -полимера, благодаря обрыву напряженных цепей и перегруппировке образующихся полимерных радикалов, должна перестроиться в ненапряженную, характерную для μ -полимера. Однако на холоду это не происходит. Полимерные радикалы ввиду их малой подвижности рекомбинируют раньше, чем успевают принять конфигурации, отвечающие менее напряженному состоянию.

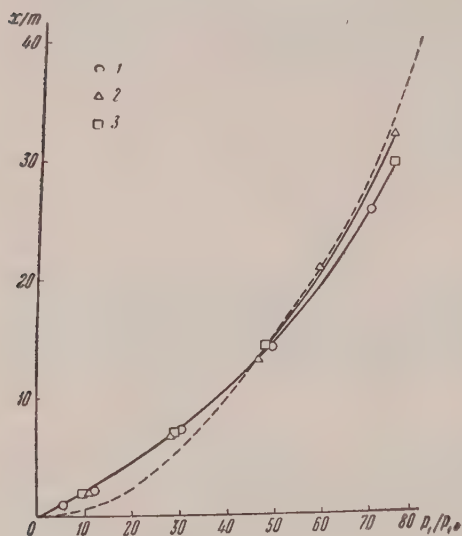


Рис. 6. Сравнение изотерм сорбции метилпропионата образцами ω -полимера, облученными в вакууме γ -лучами на холоду и при нагревании, с изотермами для исходных ω - и μ -полимеров: 1 — исходный ω -полимер; 2 — ω -полимер, облученный при нагревании; 3 — ω -полимер, облученный на холоду. Пунктиром обозначена изотерма сорбции для μ -полимера

в течение 6 час. при 70°C . Интегральная доза составила 9,1 млн. рентген. Выше уже указывалось, что при этих температурах в вакууме не происходит деструкции ω -полимера. В результате облучения получившийся продукт в отличие от исходного ω -полимера, обладал заметными разрывными удлинениями. В нем появились прозрачные области. Однако он по-прежнему остался нерастворимым. Иными словами, в этом случае благодаря повышенной температуре, образующиеся в результате радиационного обрыва напряженных цепей полимерные радикалы успевали перегруппироваться. Новая сетка, получившаяся при их рекомбинации, оказалась менее напряженной. Свойства обработанного таким образом образца ω -полимера приближались к свойствам μ -полимера.

Для подтверждения соображений о влиянии напряжений в структуре ω -полимера на его сорбционную способность, высказанных выше, мы получили изотермы сорбции метилпропионата образцами ω -полимера, облученными при нагревании и на холоду. Интегральная доза облучения в обоих случаях была одинакова. На рис. 6 представлены результаты сорбционных испытаний. Видно, что при больших упругостях пара изотерма сорбции ω -полимера, облученного при нагревании, проходит выше изотермы ω -полимера, облученного на холоду, и приближается к изо-

терме μ -полимера. Это свидетельствует о том, что при нагревании полимер успевает принять конфигурации, отвечающие менее напряженному состоянию. Облученный ω -полимер по-прежнему остается неоднородным, сохраняет малые разрывные удлинения и т. д. Учитывая это, мы провели облучение ω -полимера γ -лучами при повышенной температуре, когда подвижность полимерных радикалов возрастает.

С этой целью был использован источник γ -лучей Co^{60} с активностью 750 кюри. Мощностная доза составляла 180 рентген/сек. Облучение проводилось в запаянной стеклянной ампуле, предварительно откачанной до высокого вакуума. Обогрев ампулы осуществлялся при помощи специальной микроэлектронной печи, которая надевалась на ампулу и вместе с ней закреплялась в фиксированном положении относительно источника. Температуру печи контролировалась при помощи хромель-копелевой термопары и регулировалась контактным гальванометром с точностью до $\pm 5^\circ$. ω -Полимер был облучен в течение 8 час. при 130°C и затем

е сорбции μ -полимера. Это связано с возрастанием конфигурационного набора макромолекул в ω -полимере при релаксации напряжений в его сетке и увеличением за счет этого «энтропийной» сорбции.

Вместе с тем изотерма сорбции метилпропионата ω -полимером, облученным на холоду, в условиях, когда релаксация напряжений не происходит, совпадает с изотермой, полученной для исходного ω -полимера. Это значит, что в пределах, возможно, имевшего место изменения частоты сетки при облучении, сорбционная способность ω -полимера не меняется.

Выводы

1. ω -Полимер метилакрилата имеет аморфную структуру. Отсутствуют заметные различия в ближнем порядке ω - и μ -полимеров.
2. Аномальные свойства ω -полимера обусловлены напряженностью цепей и наличием в нем микро- и макропустот, создающихся в процессе гетерогенно протекающей ω -полимеризации.
3. Рассмотрены возможности перестройки напряженной сетки ω -полимера в ненапряженную, характерную для μ -полимера.
4. Результаты работы находятся в соответствии с механизмом ω -полимеризации, предложенным А. Н. Праведниковым и С. С. Медведевым на основании кинетических данных.

Физико-химический институт
им. Л. Я. Карпова,
Московский государственный
университет им. М. В. Ломоносова
Москва

Поступила
11.VII.1956

ЛИТЕРАТУРА

1. Immergut, *Macromolekul. Chem.*, **10**, 93, 1953.
2. А. Н. Праведников и С. С. Медведев, ДАН, **103**, 461, 1955.
3. А. Н. Праведников, сб. Вопросы химической кинетики, катализа и реакционной способности, Изд-во АН СССР, М., 1955, стр. 322.
4. А. Н. Праведников и С. С. Медведев, ДАН, **109**, 579, 1956.
5. В. А. Каргин и Т. И. Соголова, Журн. физ. химии, **23**, 530, 1949.
6. А. П. Александров и Ю. С. Лазуркин, Журн. техн. физики, **9**, 1249, 1939.
7. А. А. Тагер и В. А. Каргин, Колл. журн., **10**, 455, 1948.
8. Т. В. Гатовская, В. А. Каргин и А. А. Тагер, Журн. физ. химии, **29**, 885, 1955.
9. E. J. Lowton, A. M. Beuch, J. Balwint, *Nature*, **172**, 392, 1954.
10. Н. А. Словохотова и В. Л. Карпов, Сб. статей по радиационной химии, Изд-во АН СССР, М., 1955, стр. 196 и 207.
11. A. Chapiro, *Journ. chim. phys. et Phys. chim. biol.*, **52**, 246, 1955.

A PHYSICO-CHEMICAL STUDY OF THE STRUCTURE OF THE ω -METHYL METHACRYLATE POLYMER

V. A. Kargin and V. A. Kabanov (Moscow)

Summary

The ω -polymer of methyl methacrylate possesses an amorphous structure. There is no marked difference in the near orders between the ω and μ -polymers. The anomalous properties of the ω -polymer are due to the strain in the chain and to the presence of micro and macro voids appearing in the heterogeneous ω -polymerization reaction. The possibility has been examined of the rearrangement of the strained ω -polymer network into the unstrained one characteristic of the μ -polymer. The results of the study are in accord with the ω -polymerization mechanism advanced by Pravednikov and Medvedev on the basis of kinetic data.

ФИЗИКО-ХИМИЧЕСКОЕ ИССЛЕДОВАНИЕ СТРОЕНИЯ И СВОЙСТВ ω -ПОЛИМЕРА ХЛОРОПРЕНА

В. А. Каргин и Н. А. Платэ

При полимеризации некоторых виниловых и диеновых соединений было давно замечено образование наряду с обычными формами полимер непрозрачных и нерастворимых губчатых образцов, обладающих активными свойствами, т. е. способных инициировать полимеризацию при помещении их в среду мономера и получивших название ω -полимеров.

Образование подобных полимеров замечено в случае полимеризации диметилбутадиена [1], хлоропрена [2], бутадиена [3], метилакрилата [4] и других соединений. Природа подобных образований до настоящего времени не была выяснена, хотя известные свойства ω -полимеров, как, например, непрозрачность, нерастворимость и неспособность к формованию, объяснялись разными авторами весьма предположительными, а иногда и произвольными допущениями, исходящими из данных кинетики ω -полимеризации. Из предложенных механизмов ω -полимеризации заслуживает внимание предположение А. Н. Праведникова и С. С. Медведева [5], сделанное на основе изучения кинетики ω -полимеризации хлоропрена. Оно заключается в том, что ω -полимеры образуются в системе в силу неравномерной концентрации (вследствие флуктуации) свободных радикалов, и весь дальнейший процесс ω -полимеризации протекает внутри готовой структуры за счет возникновения свободных радикалов при разрыве химических связей, вызванном ростом ω -полимера.

С целью изучения строения ω -полимеров нами было проведено физико-химическое исследование ω -полимера хлоропрена с использованием структурных, термомеханических, термодинамических и других методов.

Следует отметить, что ω -полимер хлоропрена представляет собой довольно сложную модель. С одной стороны, гетерогенный характер ω -полимеризации, бурно протекающей внутри набухающей структуры, создает напряжения роста. С другой стороны, наличие гибких полимерных молекул способствует релаксации этих напряжений, а присутствие полярных групп хлора и двойных связей в полимерной цепи создает дополнительные структурные особенности. Обычная ω -полимеризация осложняется в данном случае дополнительным сшиванием за счет непрочности полимерной молекулы.

Для сравнения параллельно изучались и другие формы полихлоропрена — прозрачный, нерастворимый и неактивный так называемый μ -полимер и промышленный серийный образец синтетического каучука из хлоропрена типа «Наирит 966» выпуска 1955 г. Этот растворимый линейный продукт в дальнейшем именуется α -полимером.

ω - и μ -полимеры хлоропрена были нами синтезированы в условиях высокого вакуума по методике, описанной ранее [6]. Рентгенографическое и электронографическое исследование ω - и μ -полимеров хлоропрена показало, что обе эти формы обладают одним и тем же набором периодов идентичности, соответствующим аморфной структуре и равным 4,9 и 9,6 Å. Резкое различие в свойствах ω - и μ -полимеров нельзя объяснить изомерией строения, как это объяснялось ранее [7].

Исследование зависимости деформации от температуры для ω -, μ - и α -полимеров, проведенное на динамометрических весах [8], показывает, как видно из рис. 1, что ω -полимер хлоропрена обладает, по ви-

тому, более частой пространственной структурой, чем μ -полимер. Действительно, область перехода из стеклообразного в высокоэластическое состояние (область T_g) для ω -полимера лежит в интервале от -35° до $+10^\circ \text{C}$, т. е. выше, чем для μ -формы (от -55° до -10°) и α -формы (от -45° до $+50^\circ$). Кроме того, высота высокоэластической площадки, почти пропорциональна величине высокоэластического модуля, у ω -полимера намного меньше, чем у μ -полимера и, в особенности, чем у α -формы. Подобные факты можно объяснить только существованием в ω -полихлоропрене сравнительно частой пространственной полимерной сетки, вследствие чего подвижность полимерных цепей уменьшена, что сказывается на положении T_g . Кроме того, присутствие частых поперечных связей увеличивает жесткость системы, а следовательно, и величину высокоэластического модуля.

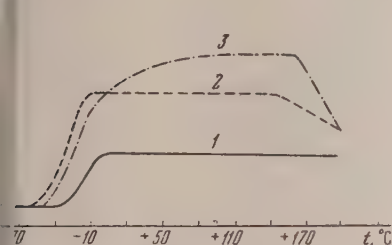


Рис. 1

Рис. 1. Зависимость деформации от температуры: 1 — ω -полимер; 2 — μ -полимер; 3 — α -полимер; деформация ϵ дана в условных единицах

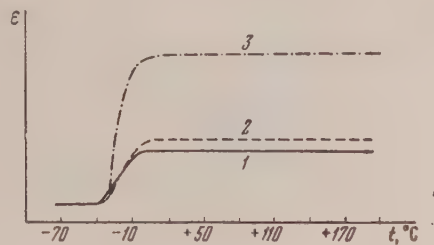


Рис. 2

Рис. 2. Зависимость деформации от температуры: 1 — ω -полимер; 2 — μ -полимер, прогретый при 180° ; 3 — α -полимер, прогретый при 180° ; деформация ϵ дана в условных единицах

Одновременно полное отсутствие пластичности и неспособность к формированию ω -полихлоропрена также подтверждают наличие сравнительно частой пространственной сетки, которая к тому же, вероятно, находится в напряженном состоянии в силу особенностей ω -полимеризации, протекающей внутри уже готовой структуры.

Как видно из рис. 1, величина высокоэластического модуля для ω -полимера остается неизменной в широком интервале температур от -10° до $+200^\circ \text{C}$, вплоть до температур его химического разложения, в то время как μ - и α -полимеры уже при 150°C обнаруживают явное уменьшение деформационной способности и увеличение высокоэластического модуля. При повышении температуры в α -полихлоропрене начинаются процессы термической вулканизации за счет наличия в полимерных цепях двойных связей; возникают поперечные связи, и величина высокоэластического модуля увеличивается. Тот же самый процесс происходит и при нагревании μ -полимера, так как пространственная сетка в этом случае довольно редкая, и дополнительная вулканизация вполне возможна. Для проверки этого предположения нами были подвергнуты термомеханическим испытаниям образцы α - и μ -полимеров, прогретых на воздухе течение трех часов при 180° . Как видно из рис. 2, эти образцы уже не обнаруживали тенденции к падению деформации, область T_g сместилась в сторону более высокой температуры, а высота высокоэластической площадки прогретого μ -полимера стала почти идентичной с таковой для α -полимера.

Отсутствие процессов термической вулканизации, для ω -полимера, подтвержденное термомеханическими испытаниями, также подтверждает предположение о наличии в нем частой пространственной сетки.

Присутствие в ω -полихлоропрене частой пространственной сетки должно было сказаться и на величине релаксационного набора, который в этом случае должен быть очень небольшим. Это наблюдается при рассмотрении хотя бы тех же термомеханических кривых рис. 1 и 2. Рисунки показывают, что область T_g в ω -полимере выражена довольно резко в узком интервале температуры, в то время как в случае μ -полимера в особенности α -полимера размытость области перехода из стеклообразного в высокоэластическое состояние свидетельствует о постепенной реализации все больших периодов релаксации при повышении температуры.

Особенно отчетливо релаксационные свойства полимеров можно наблюдать при изучении зависимости деформации не только от температуры, но и от частоты воздействия силы. Разным частотам воздей-

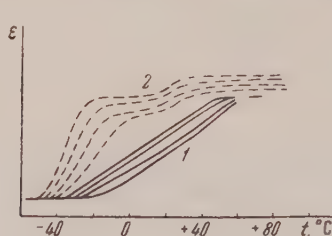


Рис. 3

Рис. 3. Зависимость деформации от температуры и частоты воздействия силы: 1 — ω -полимер; 2 — μ -полимер; деформация ϵ дана в условных единицах

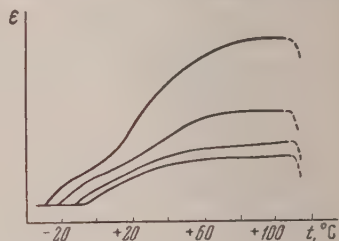


Рис. 4

Рис. 4. Зависимость деформации от температуры и частоты воздействия силы для α -полимера хлоропрена, единицы деформации ϵ условные

силы отвечают, как известно, деформации различных по длине участков цепных молекул, различные периоды релаксации.

Результаты термомеханических испытаний образцов полихлоропрена, при применении частоты воздействия силы 1000, 100, 10, раз в минуту [9], приведены на рис. 3 и 4. В случае ω -полимера, как видно из рис. 3, релаксационный набор весьма невелик, и зависимость деформации от частоты воздействия силы проявляется только при переходе от стеклообразного к высокоэластическому состоянию, а в самой высокоэластической области такой зависимости не наблюдается. Подобное явление было отмечено для резин высокой степени вулканизации [10]. В случае μ -полимера релаксационный набор несколько шире, чем в ω -полимере, что свидетельствует о большей подвижности полимерных цепей и о наличии в нем редкой пространственной сетки.

Термомеханическая частотно-деформационная кривая α -полихлоропрена явно свидетельствует о широком релаксационном наборе, соответствующем линейной структуре. Исключительно резко выраженная частотная зависимость деформации в этом случае сохраняется на протяжении примерно 80°C, и кривые, соответствующие разным частотам воздействия силы, не сливаются, как это имеет место в случае полиизобутилена [8]. Подобное явление можно объяснить только изменением величины полимерных молекул во время опыта, так как под влиянием больших сил, действующих на образец, уже при температуре $\sim 60^\circ$ и выше начинаются процессы структурирования. Размеры полимерных молекул растут, релаксационный набор все время обогащается более медленными периодами релаксации, и поэтому хотя повышение температуры ускоряет процессы релаксации, однако кривые остаются примерно параллельными друг другу. Так продолжается до тех пор, пока действию

а что-либо одного фактора не превысит действие другого, или процесс структурирования дойдет до конца, и частотная зависимость деформации перестанет соблюдаться, или физические процессы течения под влиянием больших сил и температур преодолеют процессы структурирования, в этом случае образец растечется, что и наблюдается в случае α -полихлоропрена.

Таким образом результаты термомеханических испытаний ω - и μ -полихлоропрена заставляют предположить существование в ω -полимере сильно частой пространственной сетки, в то время как в μ -полимере такая сетка, по-видимому, очень редка.

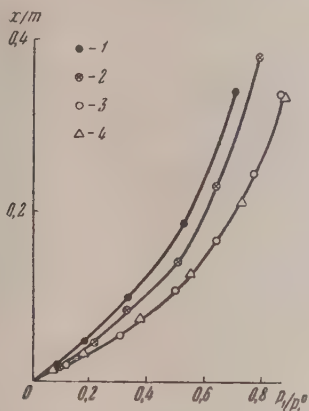


Рис. 5

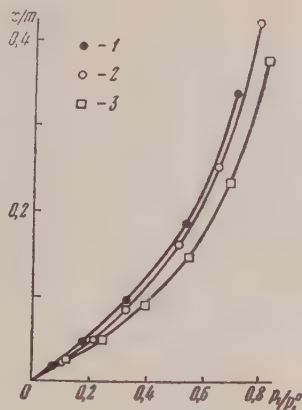


Рис. 6

Рис. 5. Изотермы сорбции 1,2-дихлорэтана различными образцами полихлоропрена: 1 — μ -полимер; 2 — μ -полимер, прогретый при 180°; 3 — ω -полимер; 4 — ω -полимер, облученный γ -лучами; количество сорбированного 1,2-дихлорэтана x отнесено к m полимера

Рис. 6. Изотермы сорбции 1,2-дихлорэтана различными образцами полихлоропрена. 1 — μ -полимер; 2 — α -полимер; 3 — α -полимер, облученный γ -лучами; количество сорбированного 1,2-дихлорэтана z отнесено к m полимера

Как уже упоминалось, было проведено и термодинамическое исследование с использованием метода изотерм сорбции. Опыты проводились в высоком вакууме с применением пружинных весов Мак-Бена при 25°С [11].

Как следует из рис. 5 и 6, изотермы сорбции 1,2-дихлорэтана различными образцами полихлоропрена имеют одинаковый монотонный характер, т. е., по-видимому, полихлоропрен обладает плотной упаковкой, сорбция в основном идет за счет осуществления большого конфигурационного набора при увеличении содержания низкомолекулярного компонента*. Поэтому можно предположить, что уменьшение сорбционной способности ω -полимера, по сравнению с μ - и α -полимерами, объясняется сдвинутым конфигурационным набором полимерной цепи в результате наличия частых узлов сетки; отрезки цепи между узлами значительно меньше в этом случае, чем в μ -полимере, и возможности проявления гибкости у ω -полимера ограничены, по сравнению с μ -полимером. Кроме того, напряженное состояние цепей ω -полимера, возникшее в ре-

* Энергетическое взаимодействие между полихлоропреном и 1,2-дихлорэтаном, имеющее место при смешении, нами не учитывалось ввиду того, что 1) по своей величине оно не может быть большим и что 2) оно одинаково и действует в одну сторону для всех исследованных образцов.

зультате особенностей ω -полимеризации, может также уменьшить сорбционную способность, ибо вынужденно-выпрямленная полимерная цепка обладает меньшим конфигурационным набором, чем ненапряженная. Вероятно, в случае ω -полимера хлоропрена имеют место оба эффекта, действующие в одном направлении.

Как следует из рис. 6, изотермы сорбции μ - и α -полимеров почти полностью совпадают, т. е. конфигурационный набор в обоих случаях примерно одинаков, откуда следует, что сетка в μ -полимере сравнительно редкая, и, как было показано одним из нас и Т. В. Гатовской, наличие редкой сетки не меняет гибкости молекул каучука [12]. Незначительное расхождение в изотермах сорбции μ - и α -полимеров объясняется присутствием в α -полимере — промышленном образце — примесей посторонних веществ — неозона, тиурама и т. п.

Для проверки предположения о возможности образования при програвании μ -полимера частой сетки, соответствующей ω -полимеру, был проведен опыт по сорбции 1,2-дихлорэтана образцом μ -полимера, прогретым в течение трех часов при 180°C . Как следует из рис. 5, сорбционная способность прогретого μ -полимера уменьшилась, и его изотерма сорбции приблизилась к таковой для ω -полимера, что тоже подтверждает образование частой сетки при програвании μ -полимера. Можно ожидать, что еще более длительном програвании μ -полимера удастся превратить сетку μ -полимера в сетку ω -полимера, и тогда различие в сорбционной способности ω - и μ -полимеров, если оно останется, будет определяться только наличием напряженности цепей в случае ω -полимера.

Было проведено также облучение ω - и α -полимеров γ -лучами от источника Co^{60} . Образцы полимеров, получившие дозу 70 млн. рентген в условиях высокого вакуума, были затем подвергнуты сорбционным испытаниям. Как известно, действие излучения высокой энергии в случае полихлоропрена вызывает сшивание цепей и образование пространственной структуры [13]. Весьма интересным представлялось выяснить, как влияет γ -излучение на свойства полимера одного и того же химического состава различного строения. Как следует из рис. 5 и 6, изотермы сорбции облученного и необлученного ω -полимеров совпадают, в то время как в случае α -полимера сорбционная способность после облучения уменьшилась. Можно объяснить тем, что образование дополнительного числа узлов при облучении ω -полимера не сказывается на его сорбционной способности, ибо их слишком мало по сравнению с уже имеющимся количеством узлов (Тот факт, что в процессе облучения происходит сшивание, подтверждается падением содержания низкомолекулярной фракции в образце ω -полимера определенным методом растворимости.) В случае же линейного α -полимера образование узлов пространственной сетки привело к небольшому изменению сорбционной способности в силу ограничения конфигурационного набора полимерной цепи. Таким образом результаты термодинамических испытаний подтверждают предположение, сделанное на основании термомеханических исследований, о существовании в ω -полихлоропрене частой пространственной сетки.

Выводы

1. Проведено физико-химическое исследование строения и свойств ω - и μ -полимеров хлоропрена и сравнение их свойств с промышленным серийным образцом полихлоропрена.
2. Показано, что ω - и μ -полимеры хлоропрена обладают аморфной структурой и имеют одинаковое строение полимерной цепи.
3. Показано, что специфические свойства ω -полимера хлоропрена обусловлены особенностями его строения — в основном наличием частой пространственной, по-видимому, напряженной, полимерной сетки, в то время как степень «сшитости» μ -полимера невелика.

4. Результаты настоящей работы находятся в согласии с предположением А. Н. Праведникова и С. С. Медведева о строении ω -полимеров, данным на основе кинетических представлений.

Физико-химический институт
им. Л. Я. Карпова,
Московский государственный
университет им. М. В. Ломоносова
Москва

Поступила
7.VIII.1956

ЛИТЕРАТУРА

- I. Kondakov, Journ. prakt. Chem., (2), 64, 109, 1901.
W. H. Carothers, J. Williams, A. M. Collins, J. E. Kirby,
Journ. Amer. Chem. Soc., 53, 4214, 1931.
J. C. Devins, C. A. Winkler, Canad. Journ. Res., B26, 356, 1948.
J. W. Breitenbach, H. P. Frank, Mch. chem., 78, 293, 1948.
А. Н. Праведников, С. С. Медведев, ДАН, 103, 461, 1955.
П. С. Шантарович, С. С. Медведев, Журн. физ. химии, 12, 1163, 1947.
П. С. Шантарович, Диссертация. Москва, 1950.
В. А. Каргин, Т. И. Соголова, Журн. физ. химии, 23, 530, 1949.
А. П. Александров, Ю. С. Лазуркин, Журн. техн. физики, 9, 1249,
1261, 1939.
Г. И. Гуревич, П. П. Кобекко, Журн. техн. физики, 9, 1267, 1939.
А. А. Тагер, В. А. Каргин, Колл. журн., 10, 455, 1948.
В. А. Каргин, Т. В. Гатовская, Журн. физ. химии, 30, 1852, 1956.
S. D. Gehman, L. M. Hobbs, Rubber Chem. a. Techn., 28, 12, 1955.

PHYSICO-CHEMICAL STUDY OF THE STRUCTURE AND PROPERTIES OF THE POPCORN ω -POLYMER OF CHLOROPRENE

V. A. Kargin and N. A. Platé (Moscow)

Summary

A physico-chemical study has been made of the structure and properties of ω - μ -polymers of chloroprene and their properties have been compared with a routine industrial sample of polychloroprene.

The ω - and μ -polymers have been shown to be amorphous and to possess identical chain structures. The particular properties of the ω -polymer have been shown to be due to the specificities of its structure, mainly a close, tri-dimensional, apparently unbranched polymer network, whereas the extent of interbinding of the μ -polymer is not so great.

The results of the present study are in accord with the proposition of Pravедnikov and Medvedev as to the structure of ω -polymers made on the basis of kinetic studies.

АКТИВНОСТЬ ГЕТЕРОГЕННЫХ КАТАЛИЗАТОРОВ

II. ПОЛУПРОВОДНИКОВЫЕ КАТАЛИЗАТОРЫ

О. М. Полтораки

При рассмотрении свойств полупроводниковых катализаторов возникают два ряда вопросов: с одной стороны, это — вопросы, связанные с общими представлениями о природе активного центра, а с другой — вопросы разработки физико-математического аппарата, позволяющего найти законы формирования активных центров на поверхности кристаллических катализаторов.

При рассмотрении первого вопроса может быть использована теория активных ансамблей Н. И. Кобозева [1].

При расширении области применения теории активных ансамблей следует иметь в виду, что ее общие представления шире математического аппарата, разработанного для случая катализаторов, полученных нанесением малого количества активного вещества на инертный абсорбент и имеющего целью дать экспериментальный метод определения числа атомов в активном центре.

Поэтому здесь прежде всего нужно отделить то, что является общим для большинства гетерогенных катализаторов, от некоторых особенностей получения и свойств адсорбционных катализаторов. Общим является представление об активном центре как об определенном ансамбле из n ($n \geq 1$) атомов катализатора, не являющихся элементом пространственной идеально-периодической решетки носителя.

Природа ансамблей ионных кристаллов

Полупроводники являются общим типом веществ-катализаторов только потому, что значительная часть практически используемых катализаторов является полупроводниками, но и в связи с тем фактом, который не может быть простой случайностью, что даже для процессов, ускоряемых металлами, всегда можно подобрать катализатор полупроводникового типа. Это можно проиллюстрировать данными, приведенными в таблице, составленной в основном по материалам обзора [2]. Здесь для иллюстрации приведены данные только для окислов и металлов и рассмотрены немногие простые реакции. Сходство полупроводниковых и металлических катализаторов отмечалось неоднократно (см., например [3]).

Возникает естественный вопрос о причине подобного сходства и природе активных центров ионных кристаллов.

С химической точки зрения, полупроводники являются наиболее поливариантными телами. Как правило, они не являются точно стехиометрическими кристаллами и в своей ионной решетке содержат избыток атомно-дисперсного металла или металлоида, присутствующего в виде «дефектов» решетки. Поэтому на поверхности ионных кристаллов полупроводников могут существовать как заряженные, так и незаряженные активные центры, причем последние всегда будут «ансамблями», ибо они представляют нарушения однотипности строения окружающей решетки.

Активность металлических и полупроводниковых катализаторов

тип реакции	Субстрат	Катализаторы
окисление	NH_3	Металлы: Fe, Ag, Pt, Os, Rh, Cu, W Оксиды: Ag_2O_3 , CrO_3 , $\text{Fe}(\text{OH})_2 + \text{Fe}(\text{OH})_3$
окисление	N_2O	Металлы: Pt, Pd Оксиды: CuO , NiO , Cr_2O_3
окисление	CH_3OH	Металлы: Zn, Ag, Pt, Ni + Cu Оксиды: ZnO , Cr_2O_3 , Al_2O_3 , CeO_2
восстановление	NH_3	Металлы: Fe, Pt, Rh, Os Оксиды: $\text{FeO} + \text{MnO}_2$, MnO
восстановление	CH_3OH	Металлы: Zn, Cu, Ni Оксиды: ZnO , $\text{ZnO} + \text{CuO}$, NiO
восстановление	H_2O	Металлы: Pt, Pd, Cu + Au Оксиды: Cu_2O
окисление	NH_3	Металлы: Pt, Cr, Ni, Os Оксиды: V_2O_5 , $\text{Cr}_2\text{O}_3 + \text{Al}$
окисление	CO	Металлы: Mn, Fe, Ni, Co, Cu, Pt Оксиды: MnO_2 , $\text{MnO}_2 + \text{NiO}$, CuO , Ce_2O_3 , TiO_2
окисление	C_2H_2	Металлы: Ag, Pt, Pd Оксиды: Ag_2O , окислы (Sb, Pb, V, W, Cr, Ni) + SiO_2
гидрирование	CO	Металлы: Fe, Ni, Cu + Zn Оксиды: NiO , CoO , $\text{NiO} + \text{KOH}$, $\text{Fe}(\text{OH})_3 + \text{Al}(\text{OH})_3$
гидрирование	Ароматические углеводороды	Металлы: Ni, Pd, Pt Оксиды: $\text{NiO} + \text{Al}_2\text{O}_3$, Mo_2O_5 , CuO
гидрирование	C_2H_2	Металлы: Ni, Pt, Pd, Co, Cu Оксиды: Cu_2O , CeO_2
гидрирование	Гидронафталин	Металлы: Pt, Pd, Os Оксиды: CuO , Cr_2O_3
гидрирование	Парафины	Металлы: Pt, Pd Оксиды: NiO , Cr_2O_3 , MoO_3 , WO_3
гидрирование	Ароматические углеводороды	Металлы: Pt, Pd Оксиды: ZnO , CeO_2 , Al_2O_3 , $\text{ThO}_2 + \text{CuO}$

Отличием их от адсорбционных ансамблей является то, что они играют роль «структур внедрения».

Наиболее простым является предположение о том, что группа атомов ансамбля, каталитически активная на поверхности металлического кристалла или адсорбционного катализатора, может проявить активность при внедрении в решетку полупроводника. Это означает, что взаимозаменяемость металлических и полупроводниковых катализаторов не является совокупностью случайных совпадений, а вызвана аналогией типа активных центров — «металлических ансамблей».

Сказанное требует некоторого пояснения. Атомы на поверхности металлических кристаллов и избыточный металл в полупроводнике, присутствующий в виде «дефектов» ионной решетки, соответствуют одинаковым металлическим ансамблям только с валентной точки зрения. Физическая природа этих образований, описываемая видом электронной волновой функции, несмотря на общность типа, весьма различна. Ф-функция для дефектов решетки типа F-центров определяет более медленное падение электронной плотности с расстоянием, чем для случая изолированных атомов (см., например, [4]). В сравнимых условиях электронная плотность для металлического ансамбля в решетке полупроводника ниже, чем для такого же ансамбля на металлическом кристалле. При общем типе тесной связи Me_n и общности свойств, определяющихся стационарностью расположения электронов на дефектах геометрически подобной структуры, ансамбли для металлов и полупроводников являются не вполне идентичными, а только аналогичными, и могут обладать весьма различным уровнем каталитической активности.

Эти представления наиболее просто применить к электронным полупроводникам, содержащим избыток металла. Для дырочных полупроводников тот же механизм может иметь место в случае их частичного восстановления в условиях проведения каталитического процесса [5].

Устойчивость избыточного металла в ионной решетке

Этот вопрос возникает одним из первых, так как он определяет возможность течения каталитических процессов по указанному выше механизму. Его можно решать как экспериментально, так и теоретически. В опыте установлено, что электронные полупроводники содержат избыток металла по сравнению со стехиометрически необходимым количеством. Теория этого явления рассмотрена в ряде работ (например, [6]). Неполнота проведенного в них анализа связана с тем, что при определении равновесных количеств избыточного металла не учитывается неидеальность решетки металла, находящегося в контакте с полупроводником (в условиях синтеза катализаторов). В другом месте [7] мы показали, что этот фактор является наиболее существенным при определении возможного числа дефектов решетки.

Рассмотрим случай, когда в условиях синтеза полупроводников кристалла последний находился в контакте с металлом. Равновесная концентрация металла, внедренного в ионную решетку, может быть определена из условия:

$$\mu_{\text{Me}} = \mu_{\text{п}}.$$

Здесь $\mu_{\text{п}}$ — химический потенциал металла, внедренного в решетку полупроводника, μ_{Me} — та же величина для кристаллического металла. Надем их значения. Если через p обозначить упругость пара над металлическими кристалликами, то, предполагая что пар — идеальный одноатомный газ, можно записать

$$\mu_{\text{Me}} = \varepsilon_0^{\text{газ}} + RT \ln p - RT \ln \left(\frac{2\pi mkT}{h^2} \right)^{3/2} kT, \quad (1)$$

где $\varepsilon_0^{\text{газ}}$ — постоянная, определяющая уровень отсчета энергии. Величина p для металлических кристаллов с произвольным типом решетки и температурой сублимации

$$\lambda = \lambda_{\infty} - f_2 \Delta \lambda_r,$$

где λ_{∞} — теплота сублимации крупных, правильно образованных кристаллов, а f_2 характеризует неравновесность решетки металла (подробнее см. [7]), можно найти из уравнения

$$p = p_{\infty} \exp \left\{ \frac{f_2 \Delta \lambda_r}{RT} \right\} = 10^6 \exp \left\{ \frac{f_2 \Delta \lambda_r - \gamma \lambda_{\infty}}{RT} \right\}, \quad (2)$$

так как для величины p_{∞} — упругости пара над крупными и правильно образованными кристаллами, выраженной в барах, можно написать

$$p_{\infty} = 10^6 \exp \left\{ - \frac{\lambda_{\infty} (T_{\text{субл}} - T)}{RT T_{\text{субл}}} \right\} = 10^6 \exp \left\{ - \frac{\gamma \lambda_{\infty}}{RT} \right\}, \quad \gamma = \frac{T_{\text{субл}} - T}{T_{\text{субл}}},$$

где $T_{\text{субл}}$ — гипотетическая температура, при которой упругость пара кристаллического металла достигает 1 атм. Отсюда для μ_{Me} получим

$$\mu_{\text{Me}} = \varepsilon_0^{\text{газ}} + f_2 \Delta \lambda_r - \gamma \lambda_{\infty} - RT \ln \left\{ \left(\frac{2\pi MRT}{h^2 N^2} \right)^{3/2} \frac{RT}{N \cdot 10^6} \right\}. \quad (4)$$

Здесь M — молекулярный вес металла.

Для металла, распределенного в полупроводнике, энергией поступательного движения атомов можно пренебречь, и в сумме по состояниям

учитывать члена $(2\pi mkT/h^2)^{3/2}$, связанного с распределением частиц по импульсам. Для случая, когда молярная доля $\alpha_{\text{реш}}$ атомов, внедренных в решетку, мала, получим

$$\mu_{\text{II}} = \varepsilon_0^{\text{пол}} + RT \ln \alpha_{\text{реш}} - RT \ln Q_v, \quad (5)$$

Q_v — колебательная сумма состояний для соответствующих атомов, $\varepsilon_0^{\text{пол}}$ определяется из условия

$$\varepsilon = \varepsilon_0^{\text{газ}} - \varepsilon_0^{\text{пол}},$$

— выигрыш энергии при переходе одного атома металла из газа в полупроводник. Используя (1), (4) и (5), получим

$$\begin{aligned} \alpha_{\text{реш}} &= \frac{10^6 N}{RT} \left\{ \frac{N^2 h^2}{2\pi MRT} \right\}^{3/2} Q_v \exp \left\{ \frac{\varepsilon + f_2 \Delta \lambda_2 - \gamma \lambda_{\infty}}{RT} \right\} = \\ &= D \exp \left\{ \frac{\varepsilon + f_2 \Delta \lambda_2 - \gamma \lambda_{\infty}}{RT} \right\}. \end{aligned} \quad (6)$$

Здесь D — малая дробь (при $T = 500^\circ \text{C}$, $M = 50$ и $Q_v = 1$, $D = 2 \cdot 10^{-7}$), $\alpha_{\text{реш}}$ может принимать ощутимые на опыте значения лишь при учете неидеальности строения решетки металла, находившегося в равновесии с полупроводником в условиях его синтеза. Аналогичное положение имеет место и при образовании дефектов на поверхности металлических кристаллов [7]. Это наводит на мысль о решающем значении учета неидеальности строения решетки при анализе вопросов образования равновесных концентраций дефектов структуры кристаллов.

Поверхностная активность избыточного металла

Как опытные данные, так и приведенный выше расчет показывают, что избыток металла в полупроводнике обычно весьма мал. В связи с этим высокой активности полупроводникового катализатора, связанной с наличием «металлических ансамблей», можно ожидать только в случае высокой поверхностной активности соответствующих типов дефектов решетки полупроводника.

Обычный механизм образования нестехиометрического ионного кристалла состоит в захвате электронов некоторыми типами дефектов решетки — вакантными анионными узлами (анионные дефекты по Шоттки) или междоузельными катионами (катионные дефекты по Френкелю) последующей миграцией металлоида из кристалла. В связи с этим вопрос об устойчивости металлических ансамблей в полупроводниках оказывается тесно связанным с теорией дефектов по Шоттки и Френкелю.

Из теории дефектов по Шоттки [8] известно, что их равновесная молярная доля α_{III} определяется при малых α выражением

$$\alpha_{\text{III}} = B_{\text{III}} e^{-W_{\text{III}}/kT}, \quad (7)$$

где W_{III} — затрата энергии на образование дефекта, а B_{III} — энтропийный фактор (отношение колебательных сумм состояний), не учитываемый в приближенных расчетах ($B_{\text{III}} \sim 10$). Оценим степень поверхностной активности этих дефектов. Математическая сторона вопроса состоит в определении величины

$$\rho_{\text{III}} = \frac{\alpha_{\text{III}}^{(s)}}{\alpha_{\text{III}}^{(v)}} = \exp \left\{ \frac{W_{\text{III}}^{(v)} - W_{\text{III}}^{(s)}}{kT} \right\},$$

где индекс (s) означает, что соответствующая величина отнесена к поверхности, а (v) — к объему кристалла. Величина ρ_{III} однозначно связана

с разностью энергий $W_{\text{ш}}^{(v)} - W_{\text{ш}}^{(s)}$, которую можно записать в виде

$$W_{\text{ш}}^{(v)} - W_{\text{ш}}^{(s)} = (m_v - m_s) \varphi - U_{\text{пол}}^{(v)} + U_{\text{пол}}^{(s)}.$$

Здесь m_v и m_s — числа ближайших соседей в объеме и на поверхности кристалла, $U_{\text{пол}}^{(v)}$ и $U_{\text{пол}}^{(s)}$ — энергии поляризации решетки при удалении иона соответственно из объема и поверхности кристалла, а φ — эффективная энергия связи между парой соседних частиц при отсутствии поляризации решетки. Для бинарной решетки ее можно найти из уравнения*

$$\frac{m_v}{2} \varphi = \lambda,$$

где λ — отнесенная к паре ионов энергия разделения кристалла на ионизированные ионы. Энергия поляризации — это выигрыш энергии при с

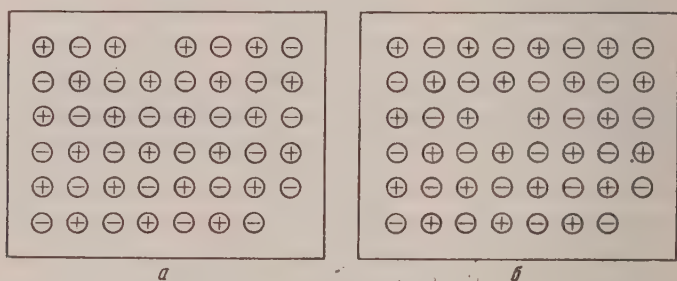


Рис. 1. а — поверхностный дефект по Шоттки, б — объемный дефект по Шоттки

пении ионов, окружающих данный дефект решетки. Приближенно можно представить в виде

$$U_{\text{пол}}^{(v)} = m_v \varphi_{\text{пол}} \text{ и } U_{\text{пол}}^{(s)} = m_s \varphi_{\text{пол}},$$

откуда

$$\bar{W}_{\text{ш}}^{(v)} - W_{\text{ш}}^{(s)} = (m_v - m_s) \varphi - (m_v - m_s) \varphi_{\text{пол}} = \frac{m_v - m_s}{m_v} (2\lambda - U_{\text{пол}}^v).$$

Согласно оценочным расчетам Носта [9], $U_{\text{пол}}^v \sim \lambda/2$. Во всяком случае можно утверждать, что $U_{\text{пол}}$ не может превышать λ . Отсюда следует, что в общем случае

$$W_{\text{ш}}^{(v)} - W_{\text{ш}}^{(s)} = \frac{m_v - m_s}{m_v} (2\lambda - U_{\text{пол}}^v) > 0,$$

так как число ближайших соседей для объема кристалла всегда больше, чем для поверхности (рис. 1). Для простой кубической решетки $m_v = 10$ и $m_s = 5$. Если в порядке оценки для $U_{\text{пол}}^v$ принять значение, указанное Ностом, то для $\rho_{\text{ш}}$ получим

$$\rho_{\text{ш}} = e^{\lambda/4},$$

* Обычно для ионных кристаллов пишут $\lambda = A\varphi$, где A — постоянная Макелланда, а φ — «энергия связи» между парой соседних ионов. Приведенное выше уравнение лужит определением «эффективной энергии связи» φ , которая является результирующей всех взаимодействий по любому из направлений.

отвечает сильной поверхностной активности дефектов по Шоттки, так как λ обычно имеет порядок величины 50—100 ккал/моль. В общем случае

$$\rho_{\text{ш}} = \exp \left\{ \frac{m_v - m_s}{m_v} (2\lambda - U_{\text{пол}}^{(v)}) \right\} \gg 1. \quad (9)$$

В ряде случаев может оказаться, что α_s не является достаточно малой величиной даже при весьма малых α_v . Здесь при определении $\rho_{\text{ш}}$ числения необходимо производить не по уравнению (9), а по полной формуле

$$\rho_{\text{ш}} = \frac{\alpha_s / (1 - \alpha_s)}{\alpha_v} = \exp \left\{ \frac{m_v - m_s}{m_v} (2\lambda - U_{\text{пол}}^{(v)}) \right\}, \quad (10)$$

так как термодинамическая активность пропорциональна α лишь при малых α , а в более общем случае передается выражением $\alpha / (1 - \alpha)$.

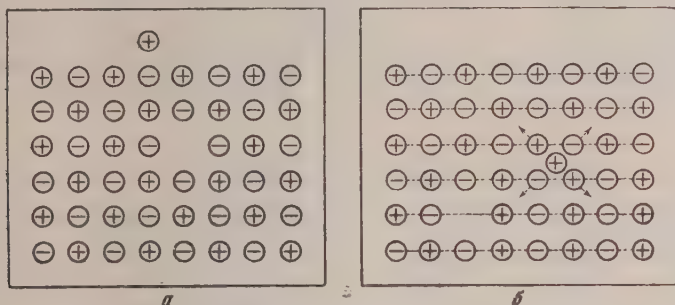


Рис. 2. а — поверхностный дефект по Френкелю; б — объемный дефект по Френкелю

Обратимся к дефектам по Френкелю [10]. В этом случае

$$\alpha_{\text{ф}} = B_{\text{ф}} \exp \left\{ -\frac{W_{\text{ф}}}{2kT} \right\}.$$

Равновесное количество дефектов определяется $W_{\text{ф}}$ — затратой энергии на образование междоузельного иона (рис. 2). Она включает в себя энергию раздвижения решетки при внедрении иона в междоузлие. Величину $W_{\text{ф}}$ определим аналогично предыдущему

$$\rho_{\text{ф}} = \frac{\alpha_{\text{ф}}^{(s)}}{\alpha_{\text{ф}}^{(v)}} = \exp \left\{ \frac{W_{\text{ф}}^{(v)} - W_{\text{ф}}^{(s)}}{2kT} \right\} = \exp \left\{ \frac{\Delta W_{\text{ф}}}{2kT} \right\}.$$

Оценка величины $\Delta W_{\text{ф}}$ более затруднительна, чем вычисление $\Delta W_{\text{ш}}$. Однако следует ожидать, что и в этом случае

$$\rho_{\text{ф}} \gg 1,$$

так как при образовании поверхностного дефекта по Френкелю отсутствует необходимость в затрате энергии на деформацию решетки (рис. 2, б) происходит выигрыш электростатической энергии взаимодействия пары разноименных зарядов.

Проведенный анализ показывает, что дефекты по Шоттки и Френкелю являются поверхностно-активными. Это обуславливает поверхностную активность избыточного металла в решетке полупроводника. Если ϵ обозначить энергию, выделяющуюся при захвате электрона соответствующим дефектом, т. е. — в терминах зонной теории — глубину donorного уровня, то для закона распределения избыточного количества

металла между объемом и поверхностью полупроводника при одном механизме получим

$$\frac{\alpha_{\text{III}}^{(s)}}{\alpha_{\text{III}}^{(v)}} = \rho_{\text{III}} \exp \left\{ \frac{\varepsilon_{\text{III}}^{(s)} - \varepsilon_{\text{III}}^{(v)}}{kT} \right\}, \quad (1)$$

при захвате электронов дефектами по Френкелю

$$\frac{\alpha_{\text{III}}^{(s)}}{\alpha_{\text{III}}^{(s)}} = \rho_{\text{Ф}} \exp \left\{ \frac{\varepsilon_{\text{Ф}}^{(s)} - \varepsilon_{\text{Ф}}^{(v)}}{kT} \right\}. \quad (2)$$

Так как по порядку величины $\Delta\varepsilon$ меньше, чем ΔW , а в оптимальных случаях ρ может принимать значение 10^3 — 10^2 , поверхностная концентрация атомной фазы может достичь относительно высоких значений, даже при весьма малом избытке металла в решетке полупроводника. Следует также учесть, что степень поверхностной активности дефектов по Шоттки и Френкелю может меняться в широких пределах. Она не зависит от механизма образования тех или иных дефектов в объеме кристалла. В связи с этим оказывается возможным случай, когда на поверхности, например, будут преобладать дефекты по Шоттки, а в объеме — дефекты по Френкелю.

Формирование n -атомных ансамблей на поверхности полупроводника

В настоящее время утвердилась и получила многочисленные подтверждения идея о сложности структуры активных центров катализа. По характеру реакций, протекающих на полупроводниках, последние существенно отличаются от металлических катализаторов. В связи с этим рассмотрим вопрос о возможности образования на поверхности полупроводниковых кристаллов n -атомных «металлических» ансамблей.

До сих пор мы рассматривали вопрос об устойчивости атомов металла в объеме и на поверхности ионного кристалла. Эти атомы аналогичны свободным атомам металла, но с теми количественными различиями свойств, которые определяются большей «размазанностью» их электронного облака и будут проявлять способность к ассоциации. Выигрыш энергии при образовании ансамбля составляет

$$\Delta U_{\text{II}} = \delta m \varphi_{\text{Me}} - \Delta U_{\text{деф}},$$

где m — число связей между атомами в ансамбле, φ_{Me} — энергия связи между парой свободных атомов металла, а δ — множитель, меньший единицы, численное значение которого определяется видом волновой функции атома, внедренного в решетку полупроводника. Величина $-\Delta U_{\text{деф}}$ может быть названа энергией отталкивания однотипных дефектов ионного кристалла, так как при сближении металлических атомов в решетке, т. е. электронов, устойчиво захваченных дефектами по Шоттки, происходит затрата энергии на преодоление отталкивания однотипных дефектов, каждый из которых эквивалентен некоторому некомпенсированному заряду. В связи с этим величина ΔU_{II} может быть значительно меньше энергии соединения свободных n атомов. Образование «крупных» ансамблей, где n выше координационного числа для соответствующих ионов на поверхности решетки полупроводника, требует дополнительной и весьма значительной затраты энергии. Это позволяет анализировать вопросы образования ансамблей, состоящих из небольшого числа атомов, независимо от того, что истинному устойчивому равновесию соответствует почти полное удаление избыточного металла из ионной решетки. (Напомним, что выше рассматривалось равновесие полупроводника с металлом, обладающим решеткой с нарушенной

структурой. При $f_2 \Delta\lambda_r = 0$ равновесная концентрация внедренного галла пренебрежимо мала.)

Рассматривая ассоциацию дефектов как химический процесс



получим при малых α

$$\alpha_{\text{Me-n}} = \alpha_1^n k_s \exp \left\{ \frac{\delta m \varphi_{\text{Me}} - \Delta U_{\text{деф}}}{kT} \right\}, \quad (14)$$

где k_s — отношение колебательных сумм состояния n -атомного ансамбля n -атомов металла, откуда, используя (6), (9), (11) и (12), найдем

$$\alpha_{\text{Me-n}} = \rho_{\text{ш}}^n D^n \exp \left\{ \frac{n(\epsilon + f_2 \Delta\lambda_r + \gamma \lambda_{\infty})}{RT} \right\} k_s \exp \left\{ \frac{\Delta U_{\text{н}}^{(\text{III})} N}{RT} \right\}, \quad (15)$$

$$\alpha_{\text{Me-n}} = \rho_{\text{ф}}^n D^n \exp \left\{ \frac{n(\epsilon + f_2 \Delta\lambda_r - \gamma \lambda_{\infty})}{RT} \right\} k_s \exp \left\{ \frac{\Delta U_{\text{н}}^{(\text{Ф})} N}{RT} \right\}. \quad (16)$$

Уравнения (15) и (16) определяют равновесные концентрации ансамблей при различных механизмах их образования на поверхности полупроводниковых катализаторов.

Обсуждение результатов

В ряде работ Н. И. Кобозева и его сотрудников (см. обзор [5]) показано, что небольшие группы атомов (ансамбли) на поверхности различных адсорбентов играют роль активных центров катализа. В работе автора [6] та же точка зрения проведена в отношении металлических кристаллов. Нет особых причин считать, что такая же группировка атомов не может играть роль активного центра при ее внедрении в решетку полупроводника. В связи с этим вопрос о природе активных центров кристаллических катализаторов оказывается тесно связанным с задачей об оценке числа различного типа дефектов кристаллов. Используемые на опыте катализаторы не являются равновесными системами. Поэтому все расчеты, аналогичные приведенным выше, могут дать лишь нижнюю границу возможного числа дефектов реальных кристаллов. Их роль сводится к тому, чтобы в общем плане рассмотреть вопрос о физической правдоподобности различных гипотез о природе активных центров.

Анализируя результаты приведенных выше расчетов, легко заметить, что как для металлических (см. [6]), так и для полупроводниковых кристаллов число ансамблей может достичь каталитически ощутимых значений ($\alpha \sim 10^{-3} - 10^{-4}$) лишь для достаточно нарушенных решеток кристаллов. Этот способ рассмотрения имеет то преимущество, что он позволяет найти нижнюю границу числа дефектов, оперируя только с доступными экспериментальному определению свойствами кристаллов. Например, известно, что избыточные полупроводники могут содержать в объеме миллионные доли сверхстехиометрического металла. В этом случае можно ожидать, что на поверхности таких кристаллов образуются ансамбли в количестве, достаточном для проведения каталитических процессов, так как среднее ожидаемое значение $\rho \sim 10^3$. Точно так же, если определить теплоты сублимации металлических кристаллов той же структуры, что и реальные катализаторы, то с уверенностью можно найти нижнюю границу возможного числа ансамблей на их поверхности.

Рассмотрение ансамблей полупроводниковых катализаторов как совокупности дефектов решетки предполагает следующие свойства активных центров.

Активные центры в полупроводниковых катализаторах возникают при изменении стехиометрических соотношений в кристалле.

Образование многоатомных активных центров является неизбежным следствием наличия избыточных количеств металла в полупроводнике.

В литературе обсуждается и другая, высказанная Ф. Ф. Вольштейном [11], точка зрения, согласно которой центром катализа является любой катион регулярной решетки, на который попадает электрон при своем движении в зоне проводимости. Активный центр образуется без изменения стехиометрических соотношений в кристалле. Образование многоатомных центров здесь маловероятно из-за отталкивания электронов в зоне проводимости.

Эти взгляды в значительной мере являются независимыми. Протекание процесса по одному механизму не исключает другого. Различия возникают лишь при интерпретации свойств многоатомных центров катализа.

В заключение выражаю свою признательность проф. Н. И. Кобозеву за интерес к работе.

Выводы

В работе рассмотрен вопрос об образовании «металлических» ансамблей на поверхности полупроводниковых катализаторов (с электронным типом проводимости). Разработан математический аппарат для расчета минимальных концентраций активных центров различного типа на поверхности кристаллов. При этом найдено, что на поверхности полупроводниковых катализаторов за счет высокой поверхностной активности избыточного металла должны присутствовать ансамбли в количестве достаточном для проведения каталитических процессов.

Московский государственный
университет им. М. В. Ломоносова

Поступила
30.VIII.1956

ЛИТЕРАТУРА

1. Н. И. Кобозев, Журн. физ. химии, **13**, 1, 1939.
2. С. Беркман, Д. Морелл, Г. Эглофф, Катализ в неорганической и органической химии, Гостоптехиздат, 1949.
3. С. З. Рогинский, Сб. «Проблемы кинетики и катализа», Изд-во АН СССР, т. VIII, стр. 110, 1955.
4. Н. Мотт и Р. Герни, Электронные процессы в ионных кристаллах, ИИЛ, 1950.
5. Н. И. Кобозев, Успехи химии, **25**, 545, 1956.
6. J. S. Anderson, Proc. Roy. Soc., **A185**, 69, 1946.
7. О. М. Полторак, Журн. физ. химии, **29**, 1650, 1955.
8. C. Wagner, W. Shottky, Zs. phys. Chem., **B11**, 163, 1930.
9. W. Jost, Journ. Chem. Phys., **1**, 466, 1933.
10. Я. Френкель, Zs. f. Phys., **35**, 652, 1926.
11. Ф. Ф. Волькенштейн, Сб. «Проблемы кинетики и катализа», АН СССР, т. VIII, стр. 79, 1955.

THE ACTIVITY OF HETEROGENEOUS CATALYSTS. II

O. M. Poltorak (Moscow)

Summary

The report considers the problem of the formation on the surface of semiconductor crystals of groups of metallic atoms (ensembles) capable of playing a part as active catalytic centers. For semi-conductors with electronic type of conductivity a method has been derived for calculating the number of ensembles of various types forming on the crystal surface. It follows from the calculation that the quantity of ensembles attains a value of $\sim 10^{-8}$, sufficient for the conducting of catalytic reactions.

ЭЛЕКТРОПРОВОДНОСТЬ И ФОТОПРОВОДИМОСТЬ
ПИНАЦИАНОЛА И ОРТОХРОМА Т

А. Т. Вартамян и И. А. Карнович

В предыдущих работах одного из авторов было установлено, что пинацианол, пинавердол [1], эозин, эритрозин и другие фотографические сенситизаторы [2], а также десенситизаторы, например феносафрин [1, 3], в твердом состоянии обладают фотопроводимостью. Одновременно было показано, что красители по своим электрическим и фотоэлектрическим свойствам следует рассматривать как органические полупроводники. Е. К. Пуцейко [4] исследовала методом конденсатора фотоэлектрическую чувствительность порошков ряда фотографических сенситизаторов.

Полупроводниковые свойства типичных оптических сенситизаторов цианинового ряда — пинацианола, ортохрома Т и др. — еще мало изучены, несмотря на то, что эти красители уже были объектами исследования в ряде работ последнего времени [5–9]. Кроме того, некоторые результаты, полученные в этих работах, вызывают сомнения. Для пинацианола Ноддак и Мейер [5, 8] находят методом «фотоэлектрических прямых» длинноволновую границу внутреннего фотоэффекта около $0,77 \mu$, в то время как для ортохрома Т, полоса поглощения которого расположена в более коротковолновой области, авторы устанавливают границу длины волны $1,15 \mu$. Несоответствие длинноволновых границ внутреннего фотоэффекта спектрам поглощения пинацианола и для некоторых других красителей, исследованных ими. Нелсон [9], исследовавший фотопроводимость слоев ряда цианиновых красителей, получил для фотоэлектрической чувствительности пинацианола спектральную кривую, имеющую сходство с кривой поглощения разбавленного раствора пинацианола, но сдвинутую в сторону длинных волн примерно на $40 \text{ м}\mu$. Между тем для других красителей было установлено соответствие спектральных кривых фотоэлектрической чувствительности кривым поглощения красителей в твердом состоянии, а не в растворе [2, 10].

В настоящей статье приведены результаты проведенного нами исследования электропроводности и фотопроводимости твердых слоев пинацианола и ортохрома Т в условиях вакуума, а также в присутствии кислорода и паров воды. Полученные результаты позволяют дать объяснение тем противоречиям, о которых говорилось выше.

Экспериментальная часть

Исследование производилось на установке, описанной ранее [1]. Слои пинацианола и ортохрома Т, толщиной от $0,1$ («тонкие слои») до нескольких микрон («толстые слои»), наносились осаждением красителя из спиртового раствора на поверхность кварцевого пальца, имеющую платиновые электроды, разделенные зазором в 1 мм . Кварцевый палец вставлялся в стеклянную рубашку, соединенную с вакуумной системой, позволявшей получать вакуум $10^{-4} \rightarrow 10^{-5} \text{ мм}$. При помощи налитых в палец воды или спирта можно было поддерживать температуру слоя красителя постоянной или медленно изменять ее в пределах $\pm 100^\circ\text{C}$.

Источником света служила вольфрамовая лампа накаливания мощностью 100 Вт . Для получения монохроматического света использовался зеркальный монохроматор СП-17А со стеклянной оптикой. Распределение энергии по длинам волн определялось с помощью термостолбика. Для изменения интенсивности света служили зачерненные металлические сетки или нейтральные стеклянные фильтры. Слои освещались как со стороны вакуума, так и со стороны кварца. В последнем случае свет проходил через водность, налитую в палец.

Токи порядка 10^{-13} А измерялись при помощи усилителя постоянного тока, имеющего входное сопротивление $10^{10} \rightarrow 10^{11} \Omega$.

Кислород был получен разложением марганцевокислого калия и сушился пятиокисью фосфора. Упругость паров воды задавалась температурой воды в жидкой фазе. Вода была предварительно освобождена от растворенных газов.

Слои сразу после получения, как правило, подвергались тщательному обезгаживанию в условиях вакуума при комнатной температуре в течение 5 час. и затем 100° в течение получаса. Обработанные таким образом слои не обнаруживают существенного различия в фотоэлектрическом поведении независимо от условий их приготовления (абсолютный спирт, влажный спирт, скорость осаждения и т. п.).

Полученные результаты и их обсуждение

Темновая проводимость в вакууме. При комнатной температуре темновая проводимость слоев пинацианола и ортохрома Т была меньше $10^{-13} \Omega^{-1}$. С повышением температуры проводимость растет по закону

$$\sigma = \sigma_0 \exp \left(- \frac{\varepsilon}{2kT} \right)$$

(рис. 1, прямые 1 и 4). Средние значения термической энергии активации ε равны $1,8 \pm 0,1$ и $2,05 \pm 0,1 \text{ eV}$ для пинацианола и ортохрома соответственно.

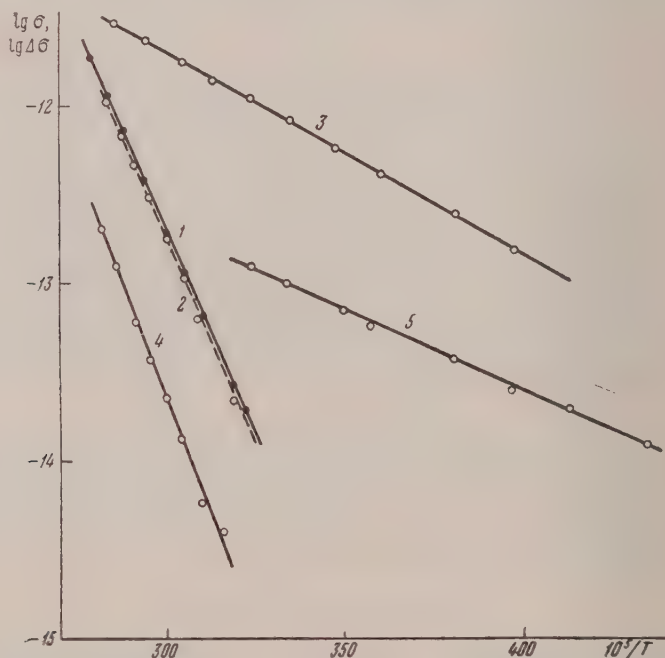


Рис. 1. Температурная зависимость темновой проводимости и фотопроводимости. Пинацианол: 1 — темновая проводимость в вакууме; 2 — то же в кислороде ($P_{O_2} = 70 \text{ мм}$); 3 — фотопроводимость в вакууме. Ортохром Т: 4 — темновая проводимость в вакууме; 5 — фотопроводимость в вакууме

Удельные проводимости при комнатной температуре, полученные экстраполяцией, имеют значения порядка $10^{-12} \Omega^{-1} \text{ см}^{-1}$ для пинацианола и $10^{-13} \Omega^{-1} \text{ см}^{-1}$ для ортохрома Т. Приведенные результаты показывают, что тщательно обезгаженные слои этих красителей обладают хорошими изолирующими свойствами.

Фотопроводимость в вакууме. Освещение изолирующих слоев пинацианола и ортохрома Т видимым светом вызывает значительное увеличение проводимости.

ное увеличение проводимости. Даже при довольно слабом монохроматическом освещении, которое применялось в наших опытах, отношение $\Delta\sigma/\sigma$, где σ — темновая проводимость, а $\Delta\sigma$ — фотопроводимость, не меньше 1000 при комнатной температуре.

Время установления стационарной фотопроводимости зависит от толщины и температуры слоя, а также от степени его обезгаживания. Увеличение толщины или повышение температуры слоя способствует увеличению инерционности фотопроводимости. По мере обезгаживания слоя инерционность фотопроводимости уменьшается. Для слоев, подвергнутой вышеупомянутой обработке, стационарная фотопроводимость устанавливается за несколько секунд и почти также быстро падает после прекращения освещения. Описываемые ниже результаты относятся к таким тонким слоям, за исключением случаев, о которых будет сказано особо. Стационарная фотопроводимость не зависит от напряженности поля вплоть до 4000 В/см и с уменьшением интенсивности освещения L изменяется согласно соотношению $\Delta\sigma = aL^n$, где $n \approx 1$. Для слабо обезгаженных слоев n значительно меньше единицы и может приближаться к 0,5. Стационарная фотопроводимость таких слоев устанавливается за время порядка нескольких минут. При очень сильном освещении это время может стать еще больше [1].

Температурная зависимость фотопроводимости также подчиняется экспоненциальному закону

$$\Delta\sigma = \sigma_1 \exp\left(-\frac{\varepsilon_\Phi}{2kT}\right).$$

Однако из рис. 1 видно, что наклон прямых 3 и 5 значительно меньше наклона прямых 1 и 4. Для пинацианола и ортохрома Т были получены значения $\varepsilon_\Phi = 0,4 \pm 0,05$ и $0,35 \pm 0,05$ эВ соответственно. Заметим, что при температурах ниже -40° наблюдается отклонение от экспоненциальной зависимости, причина которого детально не исследовалась.

Спектральное распределение фотопроводимости. Форма спектральной кривой фотопроводимости, рассчитанной на единицу интенсивности падающего излучения, зависит от толщины слоя красителя [2, 10], а также от значения n в выражении $\Delta\sigma = aL^n$ [11].

На примере триафлавина, для которого $n = 1$, было показано, что для получения корреляции между спектральными кривыми фотопроводимости и поглощения необходимо, чтобы даже наиболее сильно поглощаемый свет проходил слой без значительного ослабления, т. е. слои должны быть достаточно тонкими [10]. Для толстых слоев установлено отсутствие выхода фотопроводимости в области максимального поглощения. Аналогичный результат был получен нами и для фталоцианинов [11]. Кроме того, было показано, что даже для тонких слоев указанная выше корреляция не наблюдается, если $n \neq 1$, так как в этом случае $\Delta\sigma/L$ зависит от интенсивности падающего излучения. Однако если за меру фоточувствительности принять выражение $\frac{\Delta\sigma^{1/n}}{L}$, не зависящее от L и при $n \neq 1$, то соответствие между спектральными кривыми фотопроводимости и поглощения восстанавливается.

Для тонких слоев ортохрома Т и пинацианола это соответствие показывают кривые 1 и 2 на рис. 2 и 3. Кривая 3 на рис. 3 показывает фоточувствительность толстого слоя пинацианола. Для исключения возможного фильтрующего действия поверхностного слоя, удаленного от электрода, освещение слоя проводилось со стороны кварца. Из кривой видно, что фоточувствительность в области сильного поглощения меньше, чем на краях полосы поглощения. Этот эффект, хорошо известный для неорганических фотопроводников, обычно объясняют тем, что сильно поглоща-

емый свет создает в тонком слое высокую концентрацию носителей и вследствие чего увеличивается вероятность их рекомбинации [12]. Тонких слоев эффект выступает слабее, и поэтому оказывается возможной получить спектральные кривые поглощения, находящиеся в соответствии с кривыми поглощения.

Кривая 4 (рис. 3) показывает ход $\Delta\sigma/\alpha$ для слоя, толщина которого была промежуточной между рассмотренными выше тонкими и толстыми слоями. В отличие от кривой 2 на кривой 4 отчетливо выступает максимум около 640 мμ. Эта кривая подобна кривой, полученной Нелсоном для «быстрой» составляющей фотопроводимости пинацианола. Он связывает ее с мономерным состоянием красителя в твердом слое, как она имеет сходство с кривой поглощения разбавленного раствора пинацианола в неполярном растворителе. Однако из приведенных выше результатов следует, что полученная им кривая отнюдь не воспроизводит

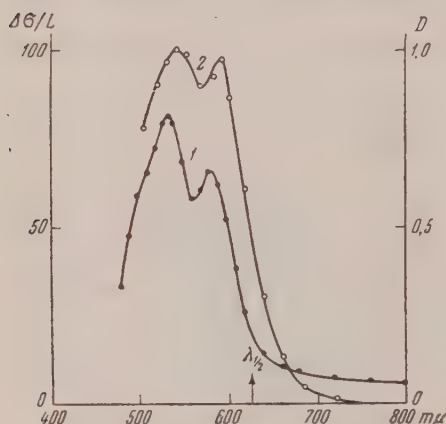


Рис. 2

Рис. 2. Ортохром Т: 1 — спектральная кривая поглощения твердого слоя; 2 — $\Delta\sigma$ для тонкого слоя, $n \approx 1$. Единицы измерения произвольные

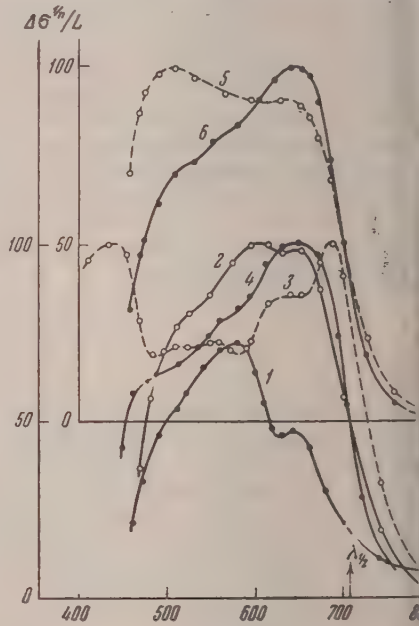


Рис. 3

Рис. 3. Пинацианол: 1 — спектральная кривая поглощения твердого слоя; 2 — $\Delta\sigma$ для тонкого слоя, $n \approx 1$; 3 — то же для толстого слоя, $n \approx 1$; 4 — то же для слоя средней толщины, $n \approx 1$; 5 — то же для слоя средней толщины, $n = 0,75$; 6 — $\Delta\sigma^{1/0,75} \cdot L$ для слоя 5; единицы измерения произвольные

кривой поглощения раствора, а является результатом влияния толщины слоя. На тонких слоях наблюдаются максимумы фоточувствительности соответствующие максимумам поглощения твердого слоя.

Для «медленной» составляющей фотопроводимости пинацианола, зависящей от интенсивности освещения согласно соотношению $\Delta\sigma = \alpha L^2$, Нелсон получил спектральную кривую фотопроводимости, напоминающую кривую поглощения концентрированного водного раствора пинацианола, в котором краситель находится в полимерной форме. Нелсон связывает эту спектральную кривую фоточувствительности для «медленной» составляющей с полимерным состоянием красителя в слое. Этот вывод экспериментально не обоснован, так как при построении спектральной кривой фоточувствительности для «медленной» составляющей фотопроводимости Нелсоном не учитывалась ее «нелинейность» с интенсивностью освещения. Действительно, если приготовить средней толщины слой, для которого $n \geq 0,5$, но не значительно меньше единицы, то спектр

ривная кривая фоточувствительности, рассчитанная без учета «нелинейности» (рис. 3, кривая 5, для $n = 0,75$), близка к полученной Нел-лом кривой, приписываемой полимерному состоянию красителя в слое. Если кривую фоточувствительности рассчитать по формуле $\Delta\sigma^{1/0.75}/L$, получается кривая 6, которая как по форме, так и по положению максимума совпадает с кривой 4, полученной для слоя с $n \approx 1$. Следовательно, различие между спектральными кривыми «быстрой» и «медленной» составляющими фотопроводимости обусловлено не различными состояниями красителя в слое, а различной зависимостью этих составляющих от интенсивности освещения (различные значения n).

Этот вывод не следует рассматривать как возражение против наличия твердых слоев пинацианала полимеров или других агрегированных форм красителя. В зависимости от условий спектры поглощения слоев могут существенно различаться между собой. Однако спектральная кривая фотопроводимости должна находиться в соответствии со спектром поглощения данного твердого слоя.

Оптическая и термическая энергии активации. Спектральные кривые фоточувствительности тонких слоев позволяют определить величину оптической энергии активации. Согласно Бессу [13] длина волны, для которой фоточувствительность падает на половину от ее величины в максимуме, непосредственно предшествующем экспоненциальному падению фоточувствительности со стороны длинных волн $\lambda_{1/2}$, может рассматриваться как «длинноволновая граница» фотопроводимости и служить для определения оптической энергии активации. Экспоненциальный ход фоточувствительности пинацианала и ортохрома Т в длинноволновой области показан на рис. 4. Определенные по спектральным кривым «границы» фотопроводимости ортохрома Т и пинацианала равны 626 и 707 мμ соответственно. Энергии активации равны 1,8 eV для ортохрома Т и 1,75 eV для пинацианала. Для толстых слоев ход $\lambda_{1/2}$ не может дать правильных значений энергии активации, так как в этом случае $\lambda_{1/2}$ определяется не из истинного, а из кажущегося максимума фоточувствительности. Как показывает кривая 3 (рис. 3), для толстого слоя пинацианала $\lambda_{1/2}$ находится около 730 мμ, что соответствует $E_{\lambda_{1/2}} \approx 1,69 \text{ eV}$ вместо 1,75 eV.

Для определения оптической энергии активации мы воспользовались тем же методом «фотоэлектрических прямых», предложенным Лавге [14]. Согласно последнему, относительное распределение по энергиям электронов, фотоэлектрически освобожденных в полупроводнике при освещении суммарным излучением черного тела, такое же, как и распределение по энергиям электронов, освобожденных термически при температуре, соответствующей температуре черного тела. Следовательно, к току применима формула Ричардсона

$$i_{\Phi} = AT^2 \exp \left(-\frac{E_{\Phi}}{kT} \right),$$

в которой следует линейная зависимость между $\lg(i_{\Phi}/T^2)$ и $1/T$. Из наклона полученной прямой может быть определена оптическая энергия активации E_{Φ} .

В наших опытах источником излучения служила «температурная» лампа накаливания с вольфрамовой лентой. Лампа была отградуирована по току накала в диапазоне температур от 1000 до 2000°С.

Для исследованных красителей были получены вполне удовлетворительные «фотоэлектрические прямые». Однако, как показал опыт, наклон «фотоэлектрических прямых», даже для слоев одного и того же красителя, но с различными значениями n , оказывается разным. Поэтому в случае «нелинейной» фотопроводимости ($n < 1$) определение оптической энергии активации по «фотоэлектрической прямой» $\lg \frac{i_{\Phi}}{T^2} =$

$= \lg A - \frac{\mathcal{E}_\Phi \lg e}{k T}$ теряет смысл. Если вместо $\lg \frac{i_\Phi}{T^2}$ откладывать по оси ординат $\lg \frac{i_\Phi^{1/n}}{T^2}$, учитывая тем самым «нелинейность» фотопроводимости [11], по-прежнему получаются прямые, наклон которых не зависит от значения n и совпадает с наклоном прямых для слоев с $n = 1$.

Определенные таким способом оптические энергии активации для пинацианола и ортохрома Т равны 1,77 и 2,02 eV соответственно. Они ходят в хорошем согласии со значениями, полученными методом

Наряду с исследованными ранее фталоцианинами, а также пинацианолом и ортохромом Т, мы исследовали также красители других классов

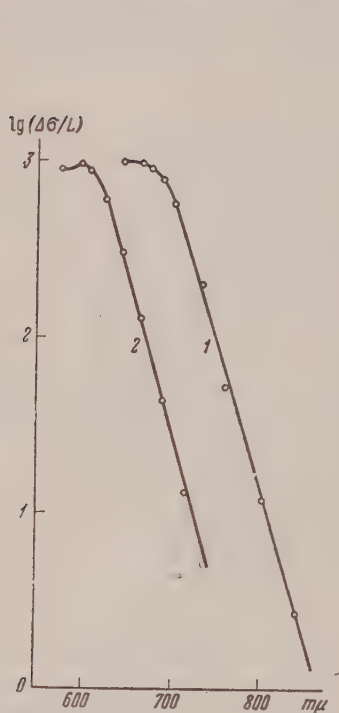


Рис. 4

Рис. 4. Экспоненциальное падение фоточувствительности в длинноволновой области: 1 — пинацианол; 2 — ортохром Т; единицы измерения произвольные

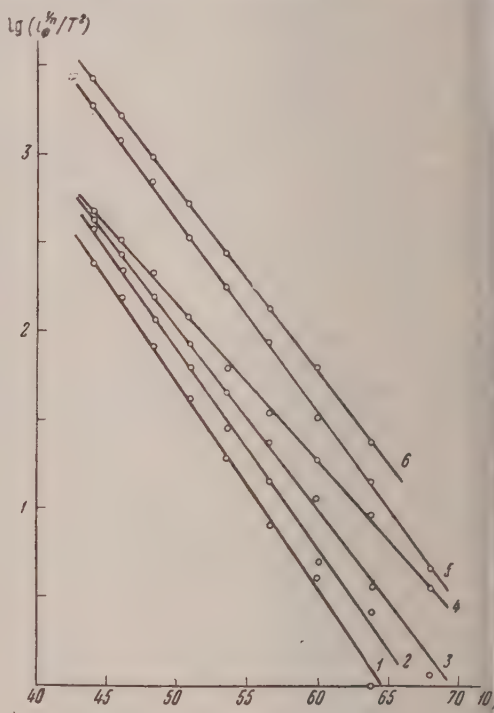


Рис. 5

Рис. 5. «Фотоэлектрические» зависимости: 1 — триафлавин, $n=1,0$; 2 — акридин оранжевый, $n = 0,84$; 3 — ортохром Т, $n = 0,76$; 4 — пинацианол, $n = 0,84$; 5 — эритрозин, $n = 0,66$; 6 — феносафранин, $n=0,67$; единицы измерения произвольные

На рис. 5 показана для шести красителей зависимость $\lg \frac{\mathcal{E}_\Phi^{1/n}}{T^2}$ от $\frac{1}{T}$. Значения \mathcal{E}_Φ , вычисленные по наклонам этих прямых, являются постоянными, характерными для каждого красителя. Оптические энергии активации, полученные двумя независимыми методами, приведены в третьем и четвертом столбцах таблицы.

Они находятся между собой в удовлетворительном согласии. Небольшие расхождения находятся в пределах ошибок измерений.

В пятом столбце приведены значения \mathcal{E}_Φ , полученные Мейером [8]. За исключением пинацианола, результаты Мейера значительно отличаются от наших. Для эритрозина расхождение более чем в два раза. Это, и

Краситель	Оптическая энергия активации, eV			Термическая энергия активации, eV
	$\mathcal{E}_{\lambda_{1/2}}$	\mathcal{E}_{Φ}		
		авторы	Мейер [8]	
Трипафлавин	2,36 [15]	2,35	—	2,28 [15]
Акридиновый оранжевый	—	2,26	—	—
Ортохром Т	1,98	2,02	1,12	2,05
Пинацианол	1,75	1,77	1,64	1,8
Эритрозин	2,12 [15]	2,14	0,97	2,15 [15]
Феносафранин	2,06 [15]	2,07	—	—
Фталоцианин без металла	1,65 [16]	1,61	—	1,7 [11]
Фталоцианин меди	1,64 [17]	1,63	1,3	1,7—1,8 [11]

ятно, обусловлено тем, что Мейером не учитывалась «нелинейность» фототока. Насколько большую поправку вносит такой учет, видно из ведущего примера. Для слоя эритрозина ($n = 0,66$) определение \mathcal{E}_Φ из зависимости $\lg(i_\Phi/T^2) = f(1/T)$ дает величину 1,34 eV, приближающуюся результату Мейера; между тем определение \mathcal{E}_Φ из зависимости $(i_\Phi^{1/n}/T^2) = f(1/T)$ дает $\mathcal{E}_\Phi = 2,14$ eV в согласии с $\mathcal{E}_{\lambda_{1/2}} = 2,12$ eV*.

Полученные нами оптические энергии активации для пинацианола ортохрома Т соответствуют началу крутого подъема кривой поглощения этих красителей в твердом состоянии (рис. 2 и 3). Это факт может быть использован для грубой оценки оптической энергии активации по кривым поглощения.

В шестом столбце приведены термические энергии активации красителей, полученные из температурной зависимости электропроводности. Они находятся в достаточно хорошем согласии с оптическими энергиями. Поэтому можно предполагать, что слои исследованных красителей обладают собственной электронной проводимостью.

Точность определения термической энергии активации не может быть высокой вследствие небольшого интервала температур, в котором производилось исследование температурной зависимости электропроводности, а также поликристаллической структуры слоев. Обычно среднее значение термической энергии активации оказывается несколько выше значения оптической энергии активации. Этот противоречащий теории факт следует приписать влиянию переходных сопротивлений на границах микрокристалликов.

Влияние кислорода и паров воды. Сухой кислород не оказывает влияния на темновую проводимость пинацианола (рис. 1, прямые 1 и 2). Длительное пребывание слоев пинацианола и ортохрома Т в атмосфере кислорода (в темноте) не оказывает влияния и на фотоэлектрическую чувствительность, если последнюю измерять в вакууме до впуска кислорода и после его откачки.

В начальный момент освещения пинацианола в присутствии кислорода фототок имеет почти такую же величину, как и в условиях вакуума (рис. 6, кривые 1 и 2), однако дальнейшее освещение сопровождается непрерывным уменьшением фототока, имеющим необратимый характер (кривые 4 и 5). Аналогичное явление в присутствии кислорода наблюдалось и на других катионных красителях [1, 2, 19]. Так как падение фоточувствительности наблюдается только при длительном освещении

* Заметим, что «нелинейность» фототока, влияющая на форму спектральной кривой фоточувствительности, почти не сказывается на значении $\lambda_{1/2}$ и, следовательно, $\mathcal{E}_{\lambda_{1/2}}$.

слоя в кислороде и имеет необратимый характер, то, очевидно, что обусловлено фотохимическим взаимодействием красителя с кислородом. Для выяснения причины падения — появление новых центров захвата электронов (продукты реакции), дезактивация возбужденных молекул красителя или какие-либо другие причины, связанные с фотохимической реакцией, — необходимы дополнительные опыты.

В присутствии паров воды наблюдаются значительные темновые токи обусловленные появлением электрической проводимости. С повышением упругости паров сила тока быстро возрастает (рис. 7, кривые 1 и 2). Подобное явление типично для солеобразных красителей [8] и не наблюдается у несолесобразных*.

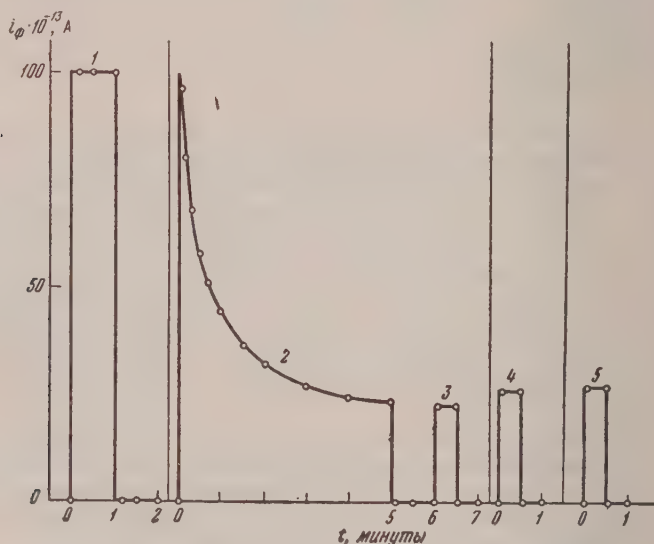


Рис. 6. Влияние кислорода ($p_{O_2}=15$ мм) на фотопроводимость пинацианола: 1 — фототок в вакууме; 2 — то же в кислороде; 3 — то же при повторном освещении в кислороде; 4 — то же после откачки кислорода; 5 — то же после прогрева слоя при 100° в течение 15 мин.

Характер влияния паров воды на фотопроводимость пинацианола ортохрома Т зависит от обработки слоя: фотопроводимость слабо обезгаженных слоев с увеличением упругости паров воды растет (рис. 7 кривая 2), а тщательно обезгаженных слоев — вначале падает и затем возрастает (кривая 4)**. Рост, начинающийся с некоторой упругости паров по-видимому, имеет то же происхождение, что и рост фотопроводимости слабо обезгаженного слоя.

Влияние паров воды не связано с освещением слоя, так как фототок принимает большее или меньшее, чем в вакууме, значение уже в первый момент освещения и остается почти постоянным при длительном освещении. После удаления паров воды наблюдается почти полная обратимость. Если подавляющее действие паров воды можно объяснить образованием дополнительных уровней прилипания [18], то причина роста фотопроводимости в присутствии паров воды остается неясной.

Слабо обезгаженные слои обладают особыми свойствами и по отношению к влажному кислороду. Как видно из рис. 8 (кривая 3), во влажном

* Темновая проводимость фталоцианинов, наоборот, слегка подавляется парами воды.

** Ранее одним из авторов [18] наблюдалось подавление фотопроводимости кристаллического фиолетового и родаминов В и 6G в присутствии паров воды.

порядке вместо ожидаемого падения фототока (такого, как на рис. 6) наблюдается рост, причем более значительный, чем только в парах воды (такая 2). Фотопроводимость в этих условиях становится более инертной. Если слой красителя, находящийся во влажном кислороде непосредственно на воздухе и имеющий значительную электролитическую проводимость, освещать таким образом, чтобы свет падал только на участок слоя, непосредственно примыкающий к одному из электродов, то без приложенного внешнего напряжения наблюдается фототок, свидетельствующий о появлении фото-э.д.с. При освещении другого электрода направление фототока изменяется на обратное. Это явление наблюдается не только с пинацианолом и ортохромом Т, но и с целым рядом других красителей. При монохроматическом освещении величина фотоэлектрического потенциала нередко достигала 0,01 В.

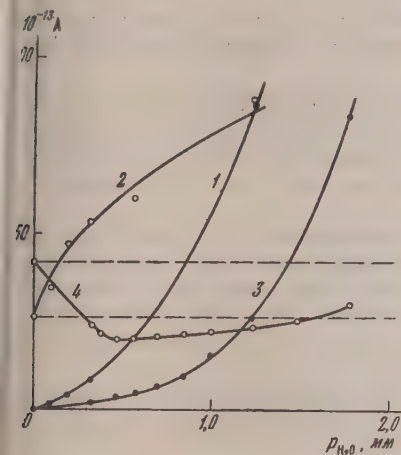


Рис. 7

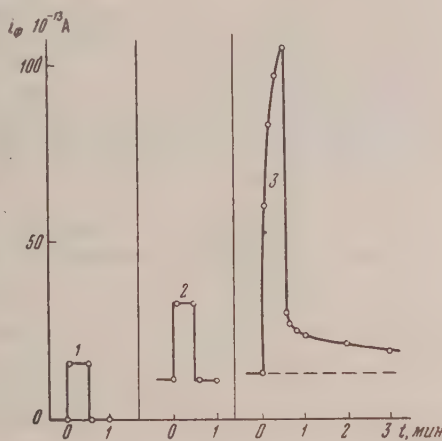


Рис. 8

Рис. 7. Зависимость темнового тока и фототока от упругости паров воды для слоев пинацианола: 1 — темновой ток и 2 — фототок для слабо обезгаженного слоя; 3 — темновой ток и 4 — фототок для тщательно обезгаженного слоя

Рис. 8. Влияние влажного кислорода на фотопроводимость слабо обезгаженного слоя пинацианола: 1 — темновой ток и фототок в вакууме; 2 — то же в парах воды ($P_{H_2O} = 2$ мм); 3 — то же во влажном кислороде ($P_{H_2O} = 2$ мм, $P_{O_2} = 25$ мм)

Некоторые факты указывают на фотоэлектрохимическую природу этого эффекта, по-видимому, аналогичного обычному эффекту Беккереля на красителях [20]. Для появления фото-э.д.с. необходимо присутствие кислорода и паров воды, создающих химически активную среду и возможность электролитической проводимости. Далее, для большинства испытанных красителей (пинацианол, ортохром Т, эозин, эритрозин, бенгальский розовый, родамин В и др.) освещаемый электрод принимает положительный фотопотенциал в соответствии со склонностью этих красителей к фотохимическому окислению в присутствии кислорода. Фотовосстанавливающийся краситель — метиленовый голубой и десенсибилизатор — эносафранин — показывают отрицательный фотопотенциал, как и при эффекте Беккереля [20]. Имеются, однако, и отклонения от этого правила, обусловленные, по-видимому, вторичными процессами на поверхности электрода. Для кристаллического фиолетового и бриллиантового черного установлено появление отрицательного фотопотенциала. Отрицательный фотопотенциал у кристаллического фиолетового, вероятно, обусловлен большой фотопроводимостью [1], приводящей к попаданию части фотоэлектронов на освещаемый электрод.

Фото-э.д.с. на твердых слоях органических красителей, находящихся на воздухе, обнаружили Ноддак и Мейер [5, 8], однако эти авторы связывают ее с вентильным фотоэффектом, основываясь на уникальном характере темновой проводимости. Так как Ноддак и Мейер исследовали фото-э.д.с. на элементах с другим расположением электродов («продольное освещение»), сравнение полученных ими результатов с нашими затруднительно, в особенности это относится к знаку фотоэДС. Поэтому пока не представляется возможным установить точность фото-э.д.с. в наших опытах и в опытах Ноддака и Мейера.

Выводы

1. В условиях вакуума слои пинацианола и ортохрома Т имеют удельные проводимости порядка 10^{-12} и $10^{-13} \Omega^{-1} \text{ см}^{-1}$ и термические энергии активации 1,8 и 2,05 eV соответственно.

2. Фотопроводимость связана с интенсивностью освещения соотношением $\Delta\sigma = aL^n$, где $0,7 < n \leq 1$, и изменяется с температурой по экспоненциальному закону.

3. Толщина слоя и «нелинейность» фотопроводимости влияют на форму спектральной кривой фоточувствительности. Для тонких слоев спектральные кривые фоточувствительности, рассчитанные с учетом «нелинейности» фотопроводимости, находятся в хорошем соответствии с кривыми поглощения.

4. Оптические энергии активации, определенные для ряда красителей методами $\lambda_{1/2}$ и «фотоэлектрических прямых», находятся в хорошем согласии как между собой, так и с термическими энергиями активации.

5. Сухой кислород не влияет на темновую проводимость и подавляет фотопроводимость пинацианола и ортохрома Т в результате фотохимического взаимодействия с красителем.

6. Пары воды вызывают появление электролитической темновой проводимости и подавляют или усиливают фотопроводимость в зависимости от предварительной обработки слоя.

7. Влажный кислород вызывает значительное увеличение фотопроводимости слабо обезгаженных слоев и появление фото-э.д.с., имеющих фотоэлектрохимическую природу.

8. Фотоэлектрическое поведение твердых слоев красителей в присутствии кислорода и паров воды осложняется ионными и фотоэлектрическими процессами.

Поступила
20.IX.1956

ЛИТЕРАТУРА

1. А. Т. Вартамян, Журн. физ. химии, **20**, 1065, 1946.
2. А. Т. Вартамян, Изв. АН СССР, сер. физ., **16**, 169, 1952.
3. А. Т. Вартамян, ДАН, **94**, 829, 1954.
4. Е. Пучейко, Журн. физ. химии, **22**, 1172, 1948.
5. W. Noddack, H. Meier, Zs. Elektrochem., **57**, 691, 1953.
6. H. Meier, Zs. Elektrochem., **58**, 859, 1954.
7. H. Meier, Zs. Elektrochem., **59**, 1029, 1955.
8. H. Meier, Zs. wissenschaft. Phot., **50**, II, 301, 1955.
9. R. C. Nelson, Journ. Opt. Soc. Amer., **46**, 10, 1956.
10. А. Т. Вартамян, Журн. физ. химии, **24**, 1361, 1950.
11. А. Т. Вартамян, И. А. Карпович, ДАН, **111**, 561, 1956.
12. А. Ф. Иоффе, Полупроводники в современной физике, Изд-во АН СССР, М.—Л., 1954, стр. 284.
13. T. S. Moss, Photoconductivity in the Elements, Butterworth, 1952.
14. B. Lange, Die Photoelemente und ihre Anwendung, Т. 1, Leipzig, 1940, стр. 104.
15. А. Т. Вартамян, Материалы V совещания по люминесценции, Тарту, стр. 159, 1957.
16. А. Т. Вартамян, Журн. техн. физики, **20**, 847, 1950.
17. А. Т. Вартамян, Журн. физ. химии, **30**, 1028, 1956.
18. А. Т. Вартамян, Журн. физ. химии, **27**, 272, 1953.
19. A. Petrikaln, Zs. phys. Chem., **B10**, 9, 1930.
20. А. Н. Теренин, Фотохимия красителей, Изд-во АН СССР, М.—Л., 1947, стр. 319.

THE ELECTROCONDUCTIVITY AND PHOTOCONDUCTIVITY OF PINACYANOLE
AND ORTHOCHROM T*A. T. Vartanyan and I. A. Karpovich (Leningrad)*

S u m m a r y

The electro- and photoconductivity of solid layers of pinacyanole and orthochrom have been studied in vacuum, in an atmosphere of water vapor and in dry and moist oxygen. The values for the thermal and optical activation energies of these dyes are in good agreement with each other. Curves of the spectral photosensitivities of thin layers corrected with correction for the «non-linearity» of the photocurrent correspond to the absorption curves of the dyes in the solid state. Exposure to light of the layers in moist oxygen or air causes the appearance of a photo emf. The latter is of a photoelectrochemical nature.

ТЕПЛОТЫ ИСПАРЕНИЯ НЕКОТОРЫХ ВЕЩЕСТВ

(Пример применения частного случая одного из методов сравнительного расчета)

М. Х. Карапетяни

В ранее опубликованной работе [1] были рассмотрены уравнения, которые характеризуют равновесие жидкость — пар в однокомпонентных системах и являются частными выражениями соотношения, отвечающего четвертому методу сравнительного расчета свойств веществ. Настоящая статья посвящена применению этого метода для вычисления теплот испарения.

Теплоту испарения L можно найти экспериментальным путем, теоретическим расчетом или при помощи приближенных закономерностей.

Измерение L даже в сравнительно небольшом интервале температур сопряжено с большими затруднениями. Это проявляется, в частности, в том, что до настоящего времени для всех веществ, для которых температурная зависимость L известна вплоть до критической точки, она была найдена не опытным путем, а на основании расчетов. Трудности калориметрирования выражаются и в малочисленности исследований, посвященных измерению $L = \varphi(T)$, и в незначительной точности их результатов. Так, погрешность измерения L определяется величиной порядка 1% (0,1 ккал); значения теплоты испарения в нормальной точке кипения $L_{н. т. к.}$ и близкие к ней известны с ошибкой 0,1%, которая только в единичных исследованиях понижается до величин, меньших 0,01 ккал/моль.

Теоретический расчет L может быть осуществлен по уравнению Клаузиуса-Клапейрона

$$L = T \frac{\partial P}{\partial T} (V^g - V^l) \quad (1)$$

или интегрированием уравнений

$$\frac{\partial}{\partial T} \left(\frac{L}{T} \right) = C_{\text{нас}}^g - C_{\text{нас}}^l; \quad (2)$$

$$\frac{\partial L}{\partial T} = C_P^g - C_P^l + \left[\left(\frac{\partial H}{\partial P} \right)_T^g - \left(\frac{\partial H}{\partial P} \right)_T^l \right] \frac{\partial P}{\partial T}, \quad (3)$$

здесь T — температура кипения, $\partial P / \partial T$ — температурный коэффициент давления насыщенного пара, V^g, V^l, H^g, H^l — соответственно объемы и энтальпии сухого насыщенного пара и кипящей жидкости, $C_{\text{нас}}^g$ и $C_{\text{нас}}^l$ — равновесные теплоемкости и C_P^g и C_P^l — изобарные теплоемкости этих фаз. Хотя уравнения (1) — (3) являются абсолютно точными, однако их применение во всем интервале равновесного сосуществования жидкости и пара ограничено немногими веществами: уравнения (2) и (3) почти не используются, да и широко известное уравнение (1) послужило для вычисления $L = \varphi(T)$ лишь 2—3 десятков веществ. Крайняя ограниченность применения термодинамических соотношений обусловлена тем, что точные значения свойств веществ, необходимые для расчета L , как правило, неизвестны, и их накопление происходит очень медленно. В то же время резкое изменение L при высоких давлениях делает результаты вычисления очень чувствительными даже к сравнительно небольшим погрешностям в значениях соответствующих величин.

Если учесть трудности, связанные с экспериментальным и теоретическим путями определения L , а также принять во внимание большое значение рассматриваемых величин, столь необходимой в самых разнообразных тепловых расчетах, то становится понятным обилие различных эмпирических и полуэмпирических закономерностей, предложенных для вычисления L . Не ставя перед собой задачу дать даже крат-

обзор этих уравнений*, отметим лишь, что немногие из них, требуя ограниченного числа опытных величин, вместе с тем приводят к достаточно удовлетворительным результатам в широком интервале температур. Данные с недостаточно высокой точностью относятся главным образом к области высоких давлений, т. е. как раз к тем случаям, которые наиболее важны в современной промышленной и исследовательской практике.

Источники данных по теплотам испарения. В настоящее время значения L вплоть до критической точки известны с той или иной точностью примерно для 110 веществ. Помимо справочной литературы [3, 5—9] источниками значений L могут служить: [10] (AlBr_3), [11] (CF_3Cl), [12] (CHCl_3), [13] (CF_2Cl_2), [14—16] ($\text{C}_2\text{H}_2 - \text{CF}_2\text{Cl}$), [17] (N_2O), [18] (CFCl_3 , CHCl_2F , CHClF_2 и $\text{CClF}_2 - \text{CCl}_2\text{F}$), [19] (CS_2), [20] (CF_3CFCl_2 , $\text{CH}_3\text{CF}_2\text{Cl}$, CH_3CHF_2 , CH_3CF_3 , $\text{CHCl} = \text{CF}_2$ и $\text{CH}_2 = \text{CF}_2$). В [3, 5—9, 20], а также в [2] и [21—23] можно найти единичные значения L для большого числа веществ (главным образом величины $L_{\text{н.т.к.}}$).

Из общего числа 110 изученных веществ 70 приходится на долю углеводородов [3] и [24]); таким образом, на все неорганические и органические соединения, включая углеводороды, остается лишь 40 веществ. При этом только для немногих веществ значения L известны с высокой точностью; к ним относятся H_2O (см. [25]), H_2 (см. [26]), C_6H_6 (см. [24]), некоторые эфиры жирных кислот, низшие алифатические спирты, галогенопроизводные метана и этана и некоторые другие вещества. Косвенным подтверждением недостаточно высокой точности значений L может служить, например, то обстоятельство, что в сводке [6] лишь для восьми веществ приводятся значения L от T вплоть до критической точки.

Что касается единичных значений L (главным образом, $L_{\text{н.т.к.}}$), то подавляющая часть из них была найдена расчетным путем — на основании данных по температурной зависимости давления насыщенного пара в сравнительно узком интервале температур. Большинство значений L можно разбить на две группы величин. К первым принадлежат вычисленные по приближенному уравнению Клапейрона — Клаузиуса

$$\lg P = - \frac{L}{4,575T} + \text{const}; \quad (4)$$

как правило, несколько преувеличены (см., например, [27]). Ко вторым следует отнести значения L , найденные по (4) с внесением поправки по уравнению состояния вещества; мыслимы и другие пути уточнения, например описанный в [28] (см. [3] и [24]).

Для вычисления L могут послужить и многочисленные приближенные уравнения, из которых наиболее соответствуют методам сравнительного расчета [29], в частности четвертому из них [1].

Сравнительный расчет теплот испарения

Четвертому методу сравнительного расчета в применении к рассматриваемому свойству в общем случае отвечает соотношение

$$\varphi(L_N) = A\varphi(L_M) + B, \quad (5)$$

в котором теплоты испарения веществ M и N сопоставляются при одинаковых значениях переменного параметра Π и A и B — постоянные. Различные виды этого соотношения были упомянуты в [1].

При $\Pi = P$ соотношение (5) справедливо в форме приближенного уравнения

$$L_N = AL_M + B, \quad (6)$$

в котором значения L сравниваются при одинаковых значениях давления насыщенного пара веществ M и N .

Уравнение (6) позволяет определить теплоты испарения непосредственно при заданном давлении (для чего надо располагать $L - P$ -зависимостью для стандартной жидкости** и значением L при двух давлениях для рассматриваемой жидкости). Этим уравнение (6) отличается от большинства других, так как теплоты испарения обычно вычисляются при

* См. [2]; некоторые работы рассмотрены в [3]; укажем также на уравнения, недавно предложенные Чу и Чингом, А. Ф. Фроловым и Л. Д. Воляком [4].

** Так в дальнейшем будем называть вещество M .

заданной температуре, и если необходим пересчет на определенное давление, то он осуществим лишь при наличии температурной зависимости давления насыщенного пара.

Коэффициент A в уравнении (6) является величиной положительной и его значение тем больше отличается от нуля, чем больше отличаются друг от друга теплоты испарения сравниваемых веществ; так в гомологических рядах значение A будет увеличиваться с возрастанием молекулярного веса.

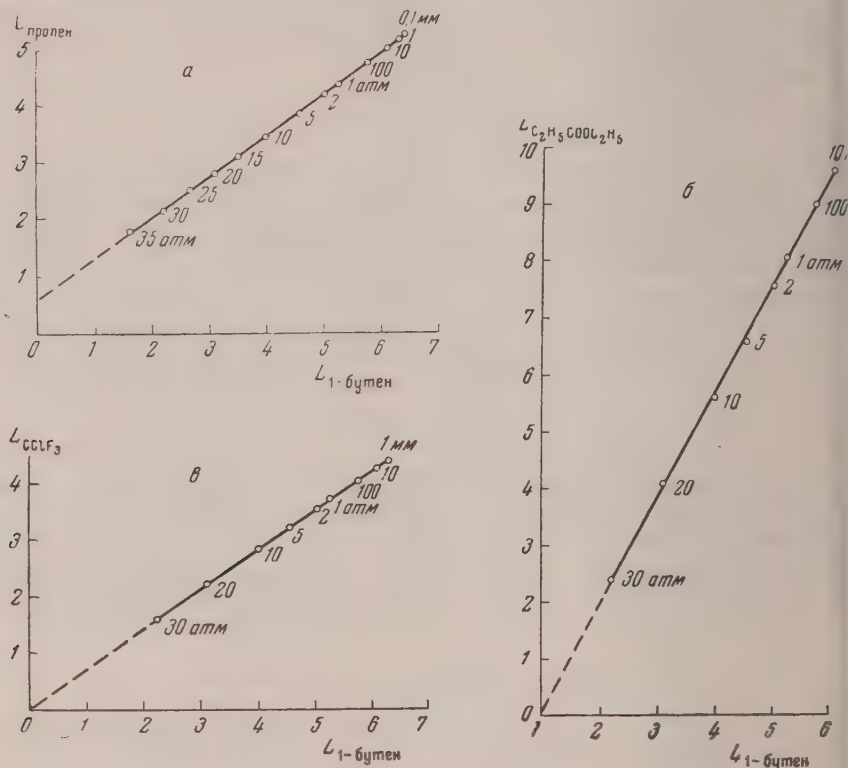


Рис. 1. Взаимосвязь между теплотами испарения (кал/моль) 1-бутена ($P_{кр} = 39,7$ атм) а — пропена ($P_{кр} = 45,6$); б — этилпропионата ($P_{кр} = 33,0$ атм); в — трифторхлорметана ($P_{кр}^{пл} = 39$ атм)

Величина B определяется соотношением в критических давлениях рассматриваемого и стандартного веществ.

Линия $L_N = \varphi(L_M)$ пересекает ось того вещества, у которого больше величина критического давления. Для веществ с близкими значениями $P_{кр}$ величина B невелика; если же $(P_{кр})_N \approx (P_{кр})_M$, то свободный член уравнения (6) близок к нулю. В последнем случае сравниваемые вещества будут находиться примерно в соответственных состояниях, уравнение примет вид

$$L_N \approx AL_M.$$

Описанные случаи (общие — $B \geq 0$ и частный — $B \approx 0$) показаны на одном примере на рис. 1.

Как следует из рис. 1, а (или 1, б), если при каждом сопоставлении будет соблюдаться неравенство $(P_{кр})_N > (P_{кр})_M$ [или соответствующее $(P_{кр})_N < (P_{кр})_M$], то путем перехода от одного стандартного вещества к другому можно несколько уточнить значения L данного вещества при

лениях, непосредственно примыкающих к $P_{кр}$. Это представляет особый интерес, так как при $P \rightarrow P_{кр}$ значения L особенно ненадежны. При помощи уравнения (6) в ряде случаев можно приблизительно оценить значения L неизученных членов гомологического ряда. Для этого следует воспользоваться закономерным в пределах каждого ряда изменением коэффициента A в уравнении (6). Эта возможность иллюстрируется рис. 2, в левом верхнем углу которого показана зависимость A от

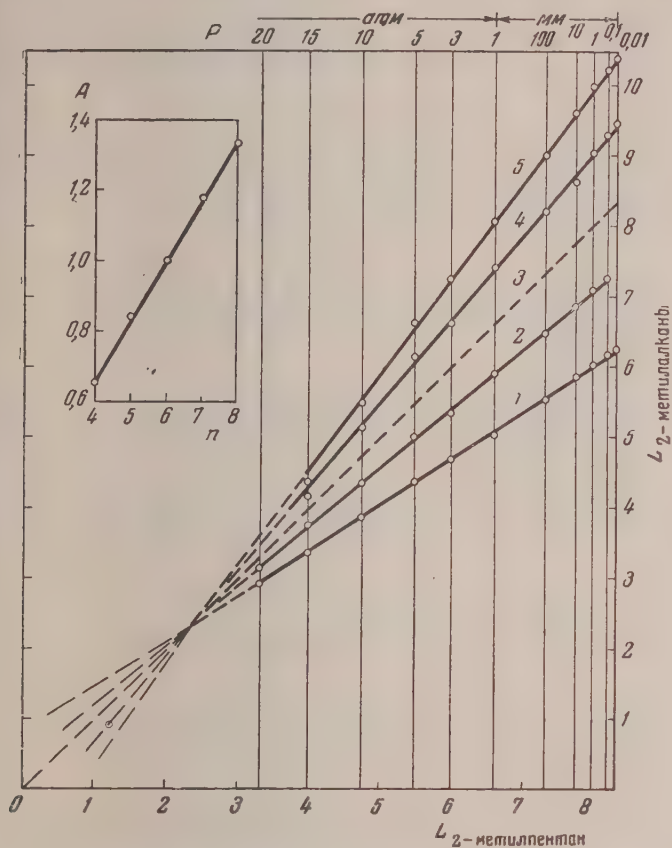


Рис. 2. Взаимосвязь между значениями теплот испарений 2-метилпентана и некоторых других 2-метилалканов (ккал/моль): 1 — C_4H_{10} ; 2 — C_5H_{12} ; 3 — C_6H_{14} ; 4 — C_7H_{16} ; 5 — C_8H_{18}

исла атомов углерода в ряду 2-метилалканов. Установление последней в ряде случаев позволяет оценить зависимость $L = \varphi(T)$ для совершенно неизученного вещества.

Применение уравнения (7) для расчета теплот испарения. В настоящей статье используется уравнение (7), оно является более удобным, чем уравнение (6).

Во-первых, для рассматриваемого вещества необходимо располагать всего лишь одним значением L , а так как для многих веществ известны только значения $L_{н.т.к.}$ и при этом с высокой степенью точности, то отсюда вытекает возможность широкого применения именно уравнения (7). Если же величина $(L_{н.т.к.})_M$ определена с недостаточной точностью, то это не скажется существенным образом на результатах, так как с повышением давления при постоянной относительной погрешности абсолютная ошибка будет уменьшаться.

Во-вторых, уравнение (7) применимо при условии близости значе ($P_{кр}$)_М и ($P_{кр}$)_Н, независимо от природы сопоставляемых веществ. означает, что различие в характере связи, полярности и в других свойствах веществ не должно отражаться на точности результатов.

В-третьих, возможности применения уравнения (7) велики еще и тому, что наличие веществ, для которых значения L известны до $P_{кр}$, многих случаях позволяет пользоваться стандартными веществами с различными значениями критических давлений (наиболее надежных результатов следует ожидать в интервале критических давлений от 25 до 50 ат).

В-четвертых, уравнение (7) приводит к удовлетворительным по точности результатам. Это видно из табл. 1, в которой результаты вычислен

Таблица

Сравнение рекомендованных значений L (ккал/моль) с вычисленными по уравнению

L _{2,2} -диметилгексан ($P_{кр} = 25,6$; $t_{кр} = 279$)						L _{C₂H₆} ($P_{кр} = 48,2$; $t_{кр} = 32,3$)					
P	Рекоменд.	По L		$L_{ср}^*$	$\Delta, (2)-(5)$	P	Рекоменд.	По L		$L_{ср}^*$	$\Delta, (2)-(5)$
		2,2,4-триметилгексана ($P_{кр} = 25,4$; $t_{кр} = 270,9^\circ$)	3-этилгексана ($P_{кр} = 26,4$; $t_{кр} = 294^\circ$)					CH ₃ COOCH ₃ ($P_{кр} = 46,3$; $t_{кр} = 233,7^\circ$)	CH ₃ ClF ($P_{кр} = 51$; $t_{кр} = 178,5^\circ$)		
10 мм	9,18	8,96	8,90	9,02	+0,16	10 мм	3,95	4,00	3,91	3,95	0,00
100 »	8,60	8,47	8,42	8,46	+0,14	100 »	3,77	3,81	3,77	3,78	-0,01
1 атм	(7,62)	(7,62)	(7,62)	(7,62)	(0,00)	1 атм	(3,50)	(3,50)	(3,50)	(3,50)	(0,00)
2 »	7,30	7,19	7,17	7,17	+0,13	2 »	3,35	3,32	3,36	3,34	+0,02
5 »	6,42	6,28	6,30	6,29	+0,13	5 »	3,09	3,01	3,06	3,05	+0,04
10 »	5,28	5,25	5,24	5,20	+0,08	10 »	2,78	2,68	2,74	2,71	+0,07
20 »	3,06	3,25	3,16	3,10	-0,04	20 »	2,32	2,15	2,28	2,22	+0,10
30 »						30 »	1,88	1,67	1,88	1,78	+0,10
						40 »	1,63	1,03	1,39	1,25	+0,38
					$\Delta_{ср} = 0,11$						$\Delta_{ср} = 0,0$

* Средняя из двух предыдущих после сглаживания по давлению и температуре

$L = \varphi(P)$ по уравнению (7) сравниваются с наиболее надежными значениями этих величин, заимствованными из литературы.

Аналогичная проверка дала $\Delta_{ср}$:

для CH₃COOC₃H₇ [по CH₃C(CH₃)₂CH₃ и CCl₂F — CClF₂] 0,17 ккал/моль;

для SnCl₄ [по *o*-C₆H₄(CH₃)₂ и C₆H₁₁CH₃] 0,04;

для C₂H₅OH [по HCOOCH₃ и CH₃Cl] 0,23;

для SO₂ [по Cl₂ и CH₃OH] 0,09.

Среднее отклонение для всех шести веществ немногим больше 0,1 ккал. Наконец, в качестве достоинства уравнения (7) следует отметить его простоту.

По уравнению (7) были вычислены значения L для тех веществ, для которых значения $L_{н.т.к.}$ и $P_{кр}$ достаточно надежны. Первые были заимствованы из перечисленных выше источников, а для некоторых веществ вычислены по уравнению (4) с внесением поправки по методу описанному в [28]. Вторые были взяты из сводки [30], а для отдельных веществ — из [31] и [7]. В единичных случаях значения $L_{н.т.к.}$ и $P_{кр}$ почерпнуты из дополнительных источников (ссылки на которые приводятся ниже). Расчет был произведен также для нескольких высших углеводородов, так как хотя для большинства из них значения $P_{кр}$ (и $t_{кр}$) являются приближенными, однако, помимо $L_{н.т.к.}$, для них известны значения $L_{298,16}$ [23].

Приближенные значения теплот испарения L (кал/мо.л) некоторых органических веществ¹

Вещество	мм				Давление									Р _{гг}
					атм									
	1	10	100	1	2	5	10	20	30	40	50	60		
Анизол	11,0	10,75	10,3	(9,45) ²	9,01	8,20	7,18	5,70	4,40	2,4	—	—	41,3	
Анилин	—	10,8	10,40	(9,70)	9,29	8,56	7,75	6,53	5,40	4,16	—	—	52,3	
Ацетон	8,4	8,28	7,91	(7,25)	(6,90)	(6,26)	5,53	4,42	3,38	2,05	—	2,0	46,6	
Ацетонитрил	10,7	10,38	9,88	(9,05)	8,62	7,80	6,90	5,52	3,55	2,4	—	—	47,7	
Бензол	10,16	9,92	9,48	(8,72)	(8,25)	(7,55)	(6,80)	5,50	4,1	2,0	—	—	42,4	
Бромбензол	5,4	5,25	4,98	(4,5) ³	4,22	3,79	3,30	2,52	1,5	—	—	—	44,6	
Бромтрифторметан	11,76	11,40	10,75	(9,7)	9,17	8,16	6,85	4,9	1,5	—	—	—	38,5 ³	
<i>n</i> -Бутилбензол	—	11,7	11,17	(10,2) ⁵	9,68	8,80	7,84	6,4	4,95	3,3	—	—	31,5 ⁴	
<i>он</i> -Бутиловый спирт	—	11,2	10,8	(10,2)	9,77	8,98	8,03	6,60	5,27	3,55	—	—	48	
<i>n</i> -Бутиловый »	—	—	10,70	(9,9) ²	9,48	8,70	7,82	6,40	5,10	3,6	—	—	48,6 ⁶	
<i>т</i> -Бутиловый »	—	—	10,70	(9,9) ²	9,48	8,70	7,82	6,40	5,10	3,6	—	—	49	
<i>n</i> -Бутилциклогексан	11,50	11,10	10,52	(9,53)	9,00	8,00	6,6	4,2	—	—	—	—	29 ⁴	
Бутиронитрил	9,43	9,18	8,67	(7,95)	7,55	6,78	5,90	4,42	2,8	—	—	—	37,4	
Диметиламин	7,17	7,02	6,74	(6,32)	6,08	5,62	5,10	4,30	3,58	2,68	—	1,2	52	
Диметиланилин	11,7	11,25	10,7	(9,8)	9,28	8,30	7,18	5,30	3,0	—	—	—	35,8	
2,2-диметилсптан	—	9,85	9,32	8,31	7,68	6,60	5,35	3,0	—	—	—	—	23,5 ⁴	
Диметилсульфид	—	—	6,85	(6,4) ⁵	5,65	5,09	4,25	3,53	2,8	1,7	—	—	54,6	
Дипропиламин	9,2	8,95	8,48	(7,66)	7,24	6,44	5,52	3,92	1,6	—	—	—	31	
Дихлордифторметан	5,65	5,45	5,20	(4,78)	(4,55)	(4,15)	(3,60)	(2,60)	(1,5)	—	—	—	39,56	
Дихлорметан	7,5	7,35	(7,15)	(6,67)	(6,36)	(5,82)	(5,26)	4,43	3,70	3,0	—	—	~60	
1,2-дихлор-1,1,2,2-тетрафторэтан	6,8	6,58	6,25	(5,7) ⁵	5,39	4,81	4,15	2,95	1,3	—	—	—	32,3	
1,1-дихлорэтан ⁷	—	8,05	7,68	(7,10) ⁵	6,78	6,21	5,58	4,64	3,75	2,6	0,1	—	50	
1,2-дихлорэтан	—	8,62	8,24	(7,65)	7,32	6,72	6,08	5,06	4,06	3,0	1,0	—	33	
<i>trans</i> -1,2-дихлорэтилен	—	7,55	7,33	(6,85) ⁵	6,60	6,08	5,5	4,0	3,8	2,95	1,8	—	54,5	
<i>cis</i> -1,2-дихлорэтилен	—	7,85	7,58	(7,1) ⁵	6,78	6,18	5,55	4,68	3,88	2,90	1,85	—	57,9	

¹ В скобках указаны значения $T_{\text{н. т. н.}}$ положенные в основу расчета и значения L в изученной области. ² Вычислено по методу, описанному в [28]. ³ [32]. ⁴ [33]. ⁵ Средняя из рекомендованной и вычисленной по методу, описанному в [28]. ⁶ [34]. ⁷ В [35] найдено $L_{298} = 7409 \pm 7$ (182 м.л).

Таблица 2 (продолжение)

Вещество	Давление										Р _{кр}		
	мм			атм									
	1	10	100	1	2	5	10	20	30	40		50	60
Диэтиламин	8,0	7,68	7,30	(6,65)	6,29	5,61	4,83	3,58	2,2	—	—	—	36,6
Диэтилсульфид		9,43	8,92	(8,1) ²	7,7	6,92	6,03	4,6	2,2	—	—	—	39,1
Изоамилформат	10,3	10,0	9,45	(8,55)	8,08	7,20	6,18	4,50	2,4	—	—	—	34,1
Изобутилацетат	10,1	9,85	9,25	(8,5)	8,04	7,20	6,14	4,30	1,5	—	—	—	31,4
Изообутиловый спирт	11,75	11,48	11,05	(10,25)	9,78	8,88	7,92	6,44	5,1	—	—	—	48,4
Изобутилформат	9,85	9,52	8,96	(8,10)	7,68	6,88	6,00	4,58	2,8	—	—	—	38,3
Изопропилбензол	10,9	10,55	9,95	(8,97)	8,47	7,50	6,47	4,6	2,0	—	—	—	32,2
Изопропиловый спирт	11,0	10,72	10,28	(9,60)	9,22	8,48	7,62	6,38	5,3	—	—	—	53,6
Йодбензол		10,9	10,36	(9,5)	(9,02)	(8,12)	(7,10)	5,7	4,4	—	—	—	44,6
Карбонилсульфид	5,08	4,98	4,80	(4,50)	4,30	3,93	3,57	3,00	2,48	—	—	—	61,4
Капронитрил	10,24	9,97	9,48	(8,55)	8,06	7,22	6,20	4,50	1,8	—	—	—	32,4
n-Крезол		11,8	11,36	(10,5)	10,04	9,20	8,24	6,89	5,61	—	—	—	50,8
Метантиол		6,50	6,27	(5,87)	5,65	5,26	4,84	4,23	3,70	—	—	—	71,4
Метиламин		6,90	6,50	(6,17)	5,90	5,42	4,94	4,26	3,75	—	—	—	73,6
Метиланилин	11,2	10,98	10,56	(9,8)	9,38	8,60	7,70	6,42	5,28	—	—	—	51,3
Метилбромид	6,5	6,38	6,2	(5,72)	5,50	5,08	4,60	3,78	3,12	—	—	—	51,6
Метилвалерат	9,8	9,52	9,0	(8,4)	7,64	7,81	6,81	5,82	4,4	—	—	—	32,2
Метилйодид		7,34	7,05	(6,55) ²	6,28	5,8	5,18	4,30	3,55	—	—	—	54,6
Метилфторид	4,46	4,38	4,25	(4,0) ⁵	3,85	3,54	3,17	2,62	2,18	—	—	—	31,62
1-Метил-2-этилбензол	11,30	10,92	10,3	(9,29)	8,76	7,86	6,65	4,7	2,0	—	—	—	31
1-Метил-3-этилбензол	11,0	10,75	10,10	(9,21)	8,70	7,78	6,68	4,9	3,0	—	—	—	31
1-Метил-4-этилбензол	10,95	10,7	10,15	(9,18)	8,64	7,70	6,56	4,2	1,0	—	—	—	31
Метилэтилкетон	9,0	8,76	8,26	(7,5)	7,09	6,40	5,62	4,40	3,42	—	—	—	39,5
1-Метил-2-этилбензол	11,50	11,15	10,50	(9,46) ⁸	8,96	7,99	6,82	4,86	2,6	—	—	—	32,48
1-Метил-3-этилбензол	11,35	11,05	10,40	(9,27) ⁸	8,78	7,80	6,64	4,75	2,4	—	—	—	32,58
1-Метил-4-этилбензол	11,45	11,10	10,38	(9,30) ⁸	8,75	7,80	6,67	4,75	2,4	—	—	—	32,68
Метилэтиловый эфир	7,2	6,95	6,57	(6,0) ⁵	5,76	5,28	4,68	3,75	2,97	—	—	—	43,4
Метилэтилсульфид	9,05	8,70	8,2	(7,5) ⁹	7,17	6,54	5,78	4,62	3,5	—	—	—	41,9
Нафталин	11,6	11,2	10,5	(9,7)	9,25	8,40	7,42	5,74	4,0	—	—	—	39,91

² Вычислено по методу, описанному в [28]. ⁵ Средний из рекомендованной и вычисленной по методу. Р_{кр} вычислено. ⁹ Вычислено по данным Френкеля.

ОПИСАНО В 1981 г. (продолжение)

Давление

атм.

мм.

Вещество

Р_{кр}

Вещество	мм.						атм.						Р _{кр}
	1	10	100	1	2	5	10	20	30	40	50	60	
Нитрометан	11,40	9,1	8,8	(8,23)	7,86	7,24	6,61	5,65	4,80	3,45	2,95	1,2	62,3
n-Нонан		10,92	10,19	9,03	8,45	7,30	6,02	2,9	—	—	—	—	22,3 ⁴
Оксид этилена			6,6	(8,12)	5,87	5,45	4,99	4,37	3,84	13,35	2,80	2,0	71,8 ¹²
Пирдин			8,98	(8,40)	8,03	7,34	6,62	5,55	4,62	3,70	2,60	0	60,0
n-Пропиламин	8,38	8,15	7,75	(7,1) ⁶	6,78	6,14	5,45	4,38	3,40	2,1	—	—	46,8
n-Пропилбензол		10,85	10,2	(9,14)	8,56	7,62	6,54	4,7	2,5	—	—	—	32,3
n-Пропилнитрил	8,9	8,66	8,18	(7,90)	7,06	6,38	5,62	4,48	3,30	1,4	—	—	41,3
n-Пропилхлорид	7,85	7,62	7,23	(6,65) ⁹	6,32	5,75	5,08	4,1	3,2	2,0	—	—	42,2
n-Пропилциклопексан		10,4	9,9	(8,95)	8,40	7,46	6,40	4,60	2,0	—	—	—	31,5
n-Пропилциклопексан	6,90	6,70	6,38	(5,79)	5,45	4,83	4,12	2,9	1,3	—	—	—	33
Тиофен		9,1	8,72	(8,0) ⁵	7,66	7,02	6,24	5,15	4,0	2,55	—	—	48
Триметиламин	6,40	6,26	6,00	(5,5)	5,26	4,78	4,20	3,22	2,1	0,1	—	—	40,2
1,2,3-Триметилбензол	11,30	11,00	10,56	(9,56)	9,06	8,12	6,96	4,9	1,6	—	—	—	31
1,2,4-Триметилбензол		10,9	10,32	(9,38)	8,90	8,00	6,88	4,9	2,0	—	—	—	33,2
1,3,5-Триметилбензол	11,25	10,9	10,3	(9,33)	8,80	7,88	6,80	4,9	2,3	—	—	—	33,2
Фенетол		11,5	10,88	(9,9) ⁶	9,40	8,48	7,34	5,38	2,3	—	—	—	33,8
Фенол			10,8	(10,8)	10,34	9,47	8,54	7,16	5,94	4,65	3,25	0,5	60,5
Фосген			11,5	(5,83)	5,57	5,10	4,61	3,86	3,15	2,32	1,23	—	56,0
Хлорбензол	9,95	9,68	9,23	(8,5)	(8,09)	(7,34)	(6,54)	5,30	4,0	2,15	—	—	43,6
Хлороформ		7,85	7,59	(7,05)	6,73	6,15	5,54	4,62	3,75	2,75	1,2	—	53,8
1-хлор-1,2,2-трифторэтилен	5,88	5,70	5,42	(4,97) ¹³	4,73	4,28	3,79	2,91	1,95	0,3	—	—	40,4 ¹³
цис-1-циано-1,3-бутадиен	10,2	10,15	9,80	(9,16) ¹⁴	8,74	8,00	7,18	5,9	4,7	3,2	—	—	49,3 ¹⁴
Четырехфтористый углерод	3,55	3,47	3,30	(3,0)	2,82	2,52	2,18	1,65	0,9	—	—	—	36,9 ¹⁵
Этанол		6,98	6,77	(6,35) ⁵	6,08	5,56	5,03	4,20	3,52	2,7	1,5	—	54,2
Этиламин		7,30	7,04	(6,58)	6,30	5,76	5,15	4,36	3,65	2,8	1,7	—	55,5
Этилбромид		7,28	7,02	(6,55)	6,25	5,72	5,18	4,30	3,60	2,92	2,05	0,6	61,5
Этилбутират	10,0	9,68	9,16	(8,3)	7,86	7,00	5,90	4,0	0	—	—	—	30
Этилэобутират		9,75	9,24	(8,35)	7,88	7,00	5,96	4,0	0	—	—	—	30
Этилпропиловый эфир	8,9	8,6	8,10	(7,28)	6,88	6,13	5,24	3,76	1,5	—	—	—	32,1

³ [33]. ⁵ Средняя из рекомендованной и вычисленной по методу, описанному в [28]. ⁹ Вычислено по правилу Трутона. ¹² [39]. ¹³ [40]. ¹⁴ [41]. ¹⁵ [42].

Таблица 3

Приближенные значения температур испарения L ($mmHg/mol$) некоторых неорганических веществ¹

Вещество	Давление												Ртг
	мм						атм						
	1	10	100	1	2	5	10	20	30	40	50	60	
Аммиак	—	—	(5,94) 7,5	(5,57) (7,0)	(5,38) 6,84	(5,06) 6,45	(4,73) 5,95	(4,30) 5,20	3,95 4,60	3,65 4,05	3,35 3,5	3,0 2,9	111,3 ~102
Бром	—	—	—	(4,20) ²	4,05	3,80	3,51	3,10	2,76	2,45	2,08	1,7	84,0
Бромистый водород	8,25	8,0	7,62	(7,0) ³	6,64	6,04	5,38	4,32	3,26	2,0	—	—	45,5 ^a
Гексафторид Урана	0,35	0,335	0,320	(0,293) ⁵	0,279	0,23	0,14	—	—	—	—	—	16,4
Дейтерий	6,07	5,87	5,62	(5,05) ²	4,79	4,30	3,74	2,8	1,6	—	—	—	34,5
Дихлордифторсилан	—	—	—	(5,6)	5,36	4,90	4,40	3,68	2,98	2,24	1,3	—	58,0
Дицин	—	—	—	(4,90) ²	4,74	4,44	4,11	3,60	3,19	2,80	2,36	1,95	81
Йодистый водород	—	—	3,20	(3,0)	2,87	2,64	2,40	2,01	1,65	1,30	0,85	—	58,0
Ксенон	—	—	—	(3,00)	2,88	2,67	2,45	2,07	1,68	1,25	0,65	—	54,6 ⁶
Оксид азота	—	3,5	3,4	(3,2)	3,08	2,90	2,70	2,40	2,06	1,68	1,25	0,55	64
Селенистый водород	—	—	—	(5,1) ²	4,91	4,57	4,20	3,70	3,30	2,9	2,5	2,1	~90
Сернистый водород	—	—	—	(4,52) ⁷	4,36	4,08	3,76	3,29	2,94	2,58	2,20	1,8	88,9
Тяжелая вода	—	10,80	10,42	(9,90) ⁸	9,65	9,25	8,80	8,28	7,85	7,49	7,17	6,86	214,5 ⁸
Тригидрид	—	6,56	6,30	(70 атм)	5,75	5,27	4,60	4,05	3,30	2,9	2,35	1,75	18,1 ⁹
Трихлорфторсилан	0,405	0,388	0,365	(90)	(100)	(120)	(140)	(160)	(180)	(200)	(210)	(220)	35,3
Хлористый водород	6,95	6,8	6,50	(0,33) ⁵	0,310	0,245	0,15	—	—	—	—	—	81,5
Четырехокись азота	—	8,7	8,48	(5,9) ²	5,58	5,02	4,38	3,24	2,43	2,14	1,82	1,45	99
	—	—	—	(3,7) ¹⁰	3,58	3,35	3,10	2,75	2,43	2,14	1,82	1,45	
	—	—	—	(8,0) ²	7,71	7,20	6,64	5,80	5,14	4,50	3,85	3,2	

¹ В скобках указаны значения L в атм., положенные в основу расчета, и значения L в изученной области.

² Среднее из рекомендованных и вычисленных по методу, указанному в [28]; ³ [43]; ⁴ [44]; ⁵ [45]; ⁶ [46]; ⁷ [47]; ⁸ [48]; ⁹ [49].

Вещество	Температура												$t_{кр}$			
	-140	-110	-80	-50	-20	10	25	40	70	100	130	160		190	220	250
Ацетон <i>н</i> -Бутиловый спирт <i>тр</i> -Бутиловый спирт Диметиламин Диметилсульфид Дихлордиформетан 1,2-дихлор-1,1,2,3-тетрафторэтан 1,1-дихлорэтан <i>транс</i> -1,2-дихлорэтилен <i>цис</i> -1,2-дихлорэтилен Диэтиламин Изобутиловый спирт Изобутилформат Изопропиловый спирт Метанол Метиламин Метилбромид Метилдод Метилфторид <i>н</i> -Пропиламин Тетраметилсилан Фосген				8,50	8,20	7,86 11,82	7,70 11,60	7,50 11,37 10,70	7,05 10,83 10,16	6,52 10,18 9,52	5,90 9,36 8,70	5,44 8,32 7,57	4,08 7,04 6,12	2,35 5,55 4,00	—	— 3,6 —

¹ Значения $\sim L$ являются ориентировочными, так как соответствующие им значения точек кипения найдены экстраполяцией по уравнению

σ^* Антуана (коэффициенты последнего заимствованы из [50]); ² [40].

Таблица 4 (окончание)

Вещество	Температура, °С														t _{кр}
	25	40	70	100	130	160	190	220	250	280	310	340	370	400	
Анилин		10,95	10,78	10,58	10,30	9,99	9,83	9,19	8,66	8,02	7,36	6,38	5,80	4,15	—
Бромбензол	10,02	9,92	9,87	9,38	9,04	8,66	8,22	7,74	7,26	6,70	6,02	5,0	3,4	—	—
n-Бутилбензол	11,80	11,65	11,34	11,00	10,58	10,10	9,79	9,04	8,43	~7,7	~6,85	~5,7	~3,7	—	—
n-Бутиловый спирт	11,25	11,12	10,88	10,50	9,98	9,30	8,45	7,37	5,88	3,1	—	—	—	—	—
1,2-Дихлоретан	8,30	8,14	7,80	7,42	7,00	6,52	5,96	5,23	4,25	2,1	—	—	—	—	—
Диэтилсульфид	9,03	8,83	8,39	7,91	7,38	6,77	6,01	5,12	3,85	1,0	—	—	—	—	—
Изопропилбензол	10,75	10,45	10,10	9,66	9,18	8,57	8,08	7,45	6,74	~5,75	~4,7	~2,6	—	—	—
Йодбензол		11,15	10,84	10,76	10,25	9,89	9,48	9,02	8,50	7,92	7,24	6,57	5,76	4,65	3,0
1-Метил-2-этилбензол	11,16	11,02	10,68	10,34	9,90	9,40	8,84	8,20	7,50	6,73	~5,8	~4,5	~2,3	—	—
1-Метил-3-этилбензол	11,06	10,97	10,50	10,08	9,67	9,23	8,72	8,12	7,45	~6,65	~5,6	~4,0	—	—	—
1-Метил-4-этилбензол	10,96	10,76	10,46	10,11	9,70	9,22	8,67	8,07	7,41	~6,60	~5,5	~3,8	—	—	—
Нафталин				11,00	10,73	10,42	10,08	9,66	9,27	8,81	8,27	7,67	~7,0	~6,2	~5,2
n-Нонан	11,12	10,92	10,48	10,01	9,46	8,85	8,18	7,42	6,45	~5,1	~2,7	—	—	—	—
n-Пропилбензол	11,08	11,10	10,50	10,08	9,62	9,13	8,54	7,95	7,26	~6,5	~5,4	~3,8	—	—	—
n-Пропилциклогексан	10,55	10,42	10,12	9,78	9,38	8,79	8,34	7,76	~7,1	~6,2	~5,1	~3,1	—	—	—
1,2,3-Триметилбензол	11,40	11,23	10,94	10,60	10,24	9,70	9,33	8,78	8,20	7,46	~6,55	~5,4	~3,6	—	—
1,2,4-Триметилбензол	11,20	11,02	10,70	10,37	9,98	9,54	9,05	8,48	7,90	7,15	~6,1	~4,85	~2,5	—	—
1,3,5-Триметилбензол	11,21	11,02	10,58	10,32	9,90	9,42	8,87	8,14	7,57	~6,8	~5,75	~4,5	—	—	—
Фенол				11,7	11,42	11,10	10,65	10,08	9,42	8,64	7,75	6,72	5,35	3,3	—
Хлорбензол	9,66	9,32	9,23	8,90	8,54	8,10	7,60	7,06	6,42	5,69	4,47	3,05	—	—	—

Расчет производился следующим образом. Для данного вещества, как правило, бралось несколько, не меньше двух, стандартных веществ, причем таким образом, чтобы критическое давление одного из них было несколько меньше, а другого — несколько больше значения критического давления рассматриваемого вещества*. Затем на графике $\ln = \varphi(L_M)$ через начало координат и через точку координатами $(L_{н.т.к.})_M$, $(L_{н.т.к.})_N$ проводилась прямая, от которой отсчитывались значения L_N , соответствующие значениям L_M при различных давлениях. Полученные величины усреднялись по всем стандартным веществам, после чего сглаживались по давлению ($\lg P$); для тех веществ, для которых была известна температурная зависимость давления насыщенного пара (вплоть до критической точки), производилось дополнительное сглаживание — по температуре.

Можно ожидать, что результаты расчета (они приведены в табл. 2—5) для большинства веществ достаточно удовлетворительны, так как значения L_N , вычисленные при условии, что $(P_{кр})_N$ несколько больше $(P_{кр})_M$, будут при $P > 1$ атм несколько меньше, а при $P < 1$ атм несколько больше фактических; наоборот, значения L_M , найденные при условии, что $(P_{кр})_N$ несколько меньше $(P_{кр})_M$, окажутся при $P < 1$ атм несколько больше, а при $P > 1$ атм несколько меньше действительных. (Оче-

* Для этого были использованы предварительно составленные таблицы $L = \varphi(P)$ для всех веществ, для которых известны значения L вплоть до критической точки.

Таблица 5

Приближенные значения теплот испарения L (кал, мол) некоторых неорганических веществ

Вещество	Температура, °C														t _{кр}	
	-140	-110	-80	-50	-20	10	25	40	70	100	130	160	190	220		250
Аммиак				5,76	5,39	4,90	4,74	4,48	3,95	3,0	0,8	—	—	—	—	132,3
Бромистый водород				4,04	3,68	3,22	2,94	2,65	1,7	—	—	—	—	—	—	90,0
Дифтордихлорсилан			4,34	5,30	4,87	4,33	4,00	3,64	2,62	—	—	—	—	—	—	95,8
Дициан			5,64		5,58	5,10	4,82	4,52	3,75	2,60	—	—	—	—	—	126,6
Йодистый водород				5,03	4,75	4,41	4,21	3,99	3,46	2,81	1,82	—	—	—	—	150
Оксид азота	3,32 (-160)	2,99 (-140)	2,50 (-120)	1,36 (-100)	—	—	—	—	—	—	—	—	—	—	—	-93
Селенистый водород				5,19	4,84	4,41	4,17	3,91	3,28	2,42	0,8	—	—	—	—	138
Сернистый »				4,41	4,04	3,59	3,31	2,96	2,07	—	—	—	—	—	—	400,4
Тяжелая вода				10,55	10,25	9,92	9,56	9,45	8,67	8,08	7,42	6,61	5,64	~4,15 (340)	~0,2 (370)	370,91
				(40)	(70)	(100)	(130)	(160)	(190)	(220)	(250)	(280)	(310)			
Трихлорфторсилан				6,66	6,35	5,95	5,70	5,46	4,92	4,24	3,28	1,3	—	—	—	165,3
Хлористый водород	4,44	3,91	3,66	3,44	2,93	2,33	1,91	1,27	—	—	—	—	—	—	—	51,4

видно также, что по мере отдаления от точки $L_{н.т.к.}$ эти отклонения буд возрастать). Усреднение же значений L_N , найденных по нескольким стандартным веществам, приводит к известной компенсации указанных отклонений. Кроме того, введение в расчет нескольких стандартных веществ уменьшает влияние возможных неточностей в зависимости L от P для них. Надежность описанного метода расчета и при низких давлениях (порядка 1 мм) подтверждается также данными, приведенными в табл. 6 ($\Delta_{ср} = 0,15$ ккал), из которой видно также, что в качестве опорной точки можно пользоваться и значением $L_{298,16}$ (если известно значение $P_{298,16}$).

Следует отметить, что результаты расчета более чувствительны погрешности значений L (в частности, $L_{н.т.к.}$), чем к некоторому несоответствию в величинах $(P_{кр})_M$ и $(P_{кр})_N^*$.

Таблица 6

Сравнение для некоторых углеводородов экспериментальных значений $L_{298,16}$ (ккал/моль) с вычисленными по уравнению (7)

Вещество	$L_{298,16}$		Δ (эксп.—выч.)
	рекоменд.	вычисл.	
Изопропилбензол	10,78 [51]	10,75	+0,03
1-Метил-2-этилбензол	11,40 [22]	11,16	+0,24
1-Метил-3-этилбензол	11,21 [22]	11,06	+0,15
1-Метил-4-этилбензол	11,14 [22]	10,96	+0,18
n-Нонан	11,099 [51]	11,12	—0,02
n-Пропилбензол	11,049 [51]	11,08	—0,03
1,2,3-триметилбензол	11,725 [51]	11,40	+0,32
1,2,4-триметилбензол	11,457 [51]	11,20	+0,26
1,3,5-триметилбензол	11,346 [51]	11,21	+0,14

Поэтому, хотя до настоящего времени не описаны методы, позволяющие с высокой точностью вычислять значения критических параметров для различных классов соединений, однако сравнительно небольшая чувствительность результатов расчета по уравнению (7) к незначительным погрешностям в величинах $P_{кр}$ позволяет распространить это уравнение примерно еще на 100 веществ (для которых в настоящее время известны или могут быть найдены надежные значения $L_{н.т.к.}$). Таким образом, если принять во внимание величины, приведенные в табл. 2 и 3, то можно говорить о возможности утсроения существующего в настоящее время фонда данных по теплотам испарения различных веществ. В это число можно включить ряд соединений, экспериментальное изучение свойств

* В связи с этим укажем, что несколько большая (по сравнению с другими веществами) погрешность результатов расчета $L_{C_6H_5OH}$ (см. выше), по-видимому, обусловлена прежде всего незначительной точностью зависимости L_{CH_3Cl} от T ; эту неточность за отсутствием соответствующих данных не удалось скомпенсировать введением другого стандартного вещества, для которого, так же как и для CH_3Cl , наблюдалось бы неравенство $(P_{кр})_N < (P_{кр})_M$. Действительно, если $L_{C_6H_5OH}$ вычислить только по L_{HCOOCH_3} , то средняя погрешность расчета уменьшится с 0,23 до 0,09 ккал несмотря на то, что различие в значениях $(P_{кр})_{C_6H_5OH}$ и $(P_{кр})_{HCOOCH_3}$ (3,8 атм) больше, чем в значениях $(P_{кр})_{C_6H_5OH}$ и $(P_{кр})_{CH_3Cl}$ (2,9 атм).

Здесь стоит также заметить, что если соблюдается условие точного равенства критических давлений сопоставляемых веществ [что, как отмечалось, не является необходимым условием применения (7)], то будет соблюдаться равенство приведенных давлений насыщенного пара $\pi_N = \pi_M$. В этом случае описанный метод совпадает со способом расчета, предложенным для вычисления теплот испарения углеводородов (и спиртов) по теплотам испарения гексана ($\pi_M = \pi_{n-C_6H_{14}}$) [52]. Ясно, что в общем случае эти методы не тождественны, так как в равенстве $\pi_N = \pi_M$ не содержится условие $P_M = P_N$.

которых представляется по тем или иным причинам затруднительным. В частности, можно оценить значения L соединений, отличающихся по атомному составу, для которых критические давления, как правило, близки, и значение свойств которых имеет большое значение.

Выводы

1. Описан приближенный метод расчета теплот испарения, являющийся одним из примеров частного вида четвертого метода сравнительного расчета различных свойств веществ.

2. Вычислены приближенные значения теплот испарения (вплоть до критической точки) 101 вещества, в том числе 95 веществ, для которых температурная зависимость теплот испарения не изучена.

Химико-технологический институт
им. Д. И. Менделеева
Москва

Поступила
20.IX.1956

ЛИТЕРАТУРА

- М. Х. Карапетьянц, Журн. физ. химии, 32, 306, 1958.
- J. R. Partington, An advanced treatise on physical chemistry, vol. II, L., 1951.
- М. Х. Карапетьянц, Теплоты испарения низших углеводородов C_1-C_4 . Справочник «Физико-химические свойства индивидуальных углеводородов», вып. 4, под ред. М. Д. Тиличеева, гл. XII, Гостоптехиздат, 1952.
- П. Л. Чу и С. С. Чин, Журн. физ. химии, 25, 102, 1951; А. Ф. Фролов, Журн. физ. химии, 29, 585, 1955; Л. Д. Воляк, Журн. физ. химии, 30, 2244, 1956.
- Landolt-Börnstein, Phys.-chem. Tabellen, Hw II, 1469, 1583, 1923. Eg. I, 804, 861, 1927; Eg. IIb, 1483, 1931; Eg. IIc, 2705, 1935—1936.
- Техническая энциклопедия, Справочник физических, химических и технологических величин, 7, 328, 331, 1931.
- Справочник химика, т. 1, Госхимиздат, 1951.
- Handbook of chemistry and physics, 33 ed, 1951.
- Справочник по разделению газовых смесей, Госхимиздат, 1953.
- Д. И. Журавлев, Журн. физ. химии, 10, 325, 1937; В. Шугаев (по работе Журавлева, Рострова и Дергачева), Новости техники, № 11, 48, 1938.
- L. Riedel, Zs. gesam. Kälte — Ind., 48, 9, 1941.
- H. G. Tanner, A. F. Benning a. W. F. Mathewson, Ind. Eng. Chem. Ind. Ed., 31, 878, 1939.
- R. Plank u. G. Seger, Zs. Gesam. Kälte — Ind., 46, 41, 1939; Bull. Intern. Inst. Refrig., № 6, 137—1 (II), 1939.
- A. F. Benning a. R. C. McHarness, Ind. Eng. Chem., Ind. Ed., 32, 814, 1940.
- A. F. Benning a. R. C. McHarness, Ind. Eng. Chem. Ind. Ed., 32, 497, 698, 1940.
- L. Riedel, Zs. gasem. Kalte-Ind., 45, 221, 1938; Bull. Intern. Inst. Refrig., 20, B3—1—10, 1939.
- H. J. Hoge, Journ. Research Natl. Bur. Standards, 34, 281, 1945.
- М. Х. Карапетьянц, Труды МХТИ им. Д. И. Менделеева, 14, 3, 1951.
- L. J. O'Brien a. W. J. Alford, Ind. Eng. Chem., 43, 3, 1951.
- W. H. Mears, R. H. Stahl, S. R. Orfeo, R. C. Shair, L. F. Kells, W. Thomson a. H. McCann, Ind. Eng. Chem., 47, 1449, 1955.
- J. Timmermans, Physico-chemical constants of pure organic compounds, Elsevier Publish Comp., Inc., N. Y., Amst., L., Bruss., 1950.
- Selected values of physical and thermodynamic properties of hydrocarbons and related compounds by F. D. Rossini, K. S. Pitzer, R. L. Arnett, B. M. Braun, G. C. Pimentel, Carnegie Press, Pittsburgh, 1953.
- Selected values of chemical thermodynamic properties by F. D. Rossini, D. D. Wagman, W. H. Ewans, S. Levine a. J. Jaffe, Natl. Bur. Stand., Circ. 500, Washington, 1952.
- М. Х. Карапетьянц и М. Л. Карапетьянц, Теплоты испарения углеводородов C_5-C_8 . Справочник «Физико-химические свойства индивидуальных углеводородов», вып. 5, под ред. М. Д. Тиличеева, гл. XVI, Гостоптехиздат, 1954.
- М. Вукалович. Термодинамические свойства воды и водяного пара, Машгиз, 1950.
- F. Gramer, Chem.—Ing.—Techn., 27, 484, 1955.

27. М. Х. Карапет'янц, Химическая термодинамика, 2-е. Госхиздат, 1953.
28. М. Х. Карапет'янц, Журн. прикл. химии, **26**, 432, 1953.
29. М. Х. Карапет'янц, Журн. физ. химии, **29**, 1328, 1955.
30. K. A. Kobe a. R. E. Lunn, Chem. Revs., **52**, 117, 1953.
31. Д. Р. Стэлл, Таблицы давления паров индивидуальных веществ, ИЛ, 1948.
32. Chem. Abstr., **45**, 1705, 1951.
33. М. Х. Карапет'янц, Журн. физ. химии, **30**, 2218, 1956.
34. R. Singh, L. W. Schmitt, Journ. Chem. Phys., **23**, 1370, 1955.
35. J. C. M. Li a. K. S. Pitzer, Journ. Amer. Chem. Soc., **78**, 1077, 1956.
36. H. E. Clements, K. V. Wise a. S. E. J. Johnsen, Journ. Amer. Chem. Soc., **75**, 1593, 1953.
37. E. Schröer, Zs. phys. Chem., **B49**, 271, 1941.
38. K. S. Pitzer a. W. D. Gwinn, Journ. Amer. Chem. Soc., **63**, 3313, 1941.
39. C. J. Walters a. J. M. Smith, Chem. Eng. Progr., **48**, 337, 1952.
40. G. D. Oliver, J. W. Grisard, a. C. W. Canningham, Journ. Am. Chem. Soc., **73**, 5719, 1951.
41. K. V. Wiese, Journ. Amer. Chem. Soc., **76**, 3094, 1954.
42. D. L. Fiske, Refrig. Eng. **57**, 336, 1949.
43. D. R. Llewellyn, Journ. Chem. Soc., **1953**, 28; Havlíček, Zs. Naturforsch. **10**, 99, 1956.
44. D. G. Oliver, H. T. Milton a. J. W. Grisard, Journ. Amer. Chem. Soc., **75**, 2827, 1953.
45. E. R. Grilly, Journ. Amer. Chem. Soc., **73**, 843, 1951.
46. A. C. Jenkins a. C. M. Birdsall, Journ. Chem. Phys., **20**, 1158, 1952.
47. A. M. Clark, A. H. Cockett a. H. S. Eisner, Proc. Roy. Soc. (L), **A20**, 408, 1951.
48. D. G. Oliver, J. M. Grisard, Journ. Amer. Chem. Soc., **78**, 561, 1956.
49. A. S. Friedman, D. White a. H. L. Johnston, Journ. Chem. Phys., **19**, 126, 1951.
50. М. Д. Тиличеев, Давление насыщенных паров углеводородов C_9 — C_{40} . Справочник «Физико-химические свойства индивидуальных углеводородов», вып. под ред. М. Д. Тиличеева, глава XIII, Гостоптехиздат, 1952.
51. N. S. Osborne a. D. C. Ginnings, Journ. Research Natl. Bur. Standard **39**, 453, 1947.
52. B. Maxwell, Ind. Eng. Chem., Ind. Ed., **34**, 590, 1942.

THE HEATS OF VAPORIZATION OF SOME SUBSTANCES

M. Kh. Karapet'yants (Moscow)

Summary

A method has been described for the approximate calculation of the heats of vaporization of pure liquids that is a particular illustration of a previously reported method for the comparative calculation of various properties of substances (see e. g. M. Kh. Karapet'yants, Zh. Fiz. Khim., 1958, **32**, 306 On the Application of One of the Comparative Calculation Methods to Single Component Dual Phase Systems). With the aid of the linear equation $L_N = AL_M$ in which the L values of the substances M and N are for the same saturated vapor pressures of these substances, the approximate value of L (up to the critical point) have been calculated for 101 substances, among which 95 have been with unknown temperature dependencies for the heats of vaporization

МОТОЭЛЕКТРИЧЕСКИХ ИЗМЕРЕНИЯХ ДЛЯ СРАВНИТЕЛЬНОЙ ОЦЕНКИ ЗАЩИТНЫХ СВОЙСТВ ЕСТЕСТВЕННЫХ ПЛЕНОК НЕКОТОРЫХ МЕТАЛЛОВ. II

Н. А. Запольская

Вопросам изучения пассивности металлов в жидких средах посвящено значительное число исследований, и в настоящее время, по-видимому, является общепризнанным, что пассивное состояние обусловлено наличием на металлах защитных пленок, предохраняющих, в известной мере, металл от воздействия агрессивной среды.

В ранних работах [1, 2] выдающегося исследователя в этой области, акад. В. А. Кистяковского, на основании электрохимических измерений, была показана связь пассивного состояния железа и магния с наличием на поверхности этих металлов пленок. За последние 30 лет пленки на металлах были обнаружены прямыми опытами изоляции, а также при помощи электронографического и электрономикроскопического методов исследования.

При изучении мотоэлектрического явления В. А. Кистяковским было высказано предположение о решающей роли пленок при возникновении «мотоэлектрических эффектов» — своеобразной гальванической пары из покоящегося и движущегося электродов, из одного и того же металла.

В наших работах [3, 4], посвященных изучению этого явления, удалось установить на основании большого экспериментального материала известную связь между коррозионным поведением металла и величиной мотоэлектрических эффектов. [Опыты проводились с Fe, Ni, Co, Al, Zn, и некоторыми сортами сталей в растворах, содержащих окислители $\text{K}_2\text{Cr}_2\text{O}_7$, KMnO_4 , $(\text{NH}_4)_2\text{S}_2\text{O}_8$.

Мы установили, что в тех случаях, когда для электродов (неподвижного и вращающегося), погруженных в какой-либо раствор, наступало пассивное состояние (характеризующееся обычно положительными значениями электродных потенциалов, а также отсутствием потери от коррозии), мотоэлектрический эффект, т. е. разница в потенциалах электродов была едва заметной и могла быть измерена лишь в схемах высокой чувствительности. В этих условиях усиленный вследствие перемешивания под электрод окислителя к покрытому пленкой инертному металлу почти не вызывает изменения потенциала для движущегося электрода, и величина мотоэлектрического эффекта мала (0,01—0,0001 mV).

Между тем для корродирующего металла, благодаря усилению депонизирующего действия окислителя или удалению ионов металла при движении электрода, мотоэлектрический эффект может достигать величины 100 mV и выше (в отдельных случаях). Таким образом удалось показать, что пассивное состояние металла в растворах, содержащих окислители, можно устанавливать при помощи весьма простого способа — измерения мотоэлектрических эффектов.

Изучение этого явления для ряда металлов в растворах, как щелочных, так и кислых, не содержащих добавок окислителей, позволило, в свою очередь, установить определенную связь между величиной эффектов и способностью естественных пленок на металлах противостоять воздействию жидких сред.

В этом отношении представляется интересным сопоставление наших данных с результатами, приведенными в работе Г. Б. Кларк и Г. В. Аки-

мова [5]. Авторами было найдено, что сдвиг потенциала при зачистке электрода сильно колеблется в зависимости от защитных свойств пленки на металлах в тех или иных средах. Ими наблюдалось резкое разблагораживание потенциала (на 500—1000 мВ) для одних металлов и полная неизменяемость потенциала для других. Авторами было изучено более 20 металлов в 0,1 N растворах NaCl, HCl, HNO₃, NaOH.

При рассмотрении значений мотозлектрических эффектов, установленных нами для ряда металлов в тех же растворах, оказалось (за немногими исключениями, о которых будет сказано в дальнейшем), что в случае заметного разблагораживания электродных потенциалов при зачистке, указывающего на наличие на металлах защитных пленок, мотозлектрический эффект имеет очень малую величину (0,1—0,001 мВ). Между тем при неизменяемости потенциала под влиянием зачистки или при сдвиге потенциала к более положительным значениям, мотозлектрический эффект имеет значительную величину, в отдельных случаях достигающую 100 мВ и более.

Приведем ряд данных, подтверждающих эти соотношения. Известно, что разбавленные растворы NaCl, вызывая коррозию железа, не действуют заметным образом на никель, и в соответствии с этим мотозлектрический эффект для железа в 0,1 N NaCl достигает величины 25—30 мВ (в этих условиях изменение потенциала при зачистке равно —0,060 В). Для никеля же, для которого зачистка приводит к разблагораживанию потенциала на 0,3 В, величина мотозлектрического эффекта выражается в сотых долях милливольт. Кобальт в этом отношении занимает промежуточное положение.

Различное поведение магния и алюминия в растворах NaCl также связано с различием в защитных свойствах естественных пленок на этих металлах. Ввиду наличия устойчивой пленки на Al в 3% NaCl, обуславливающей разблагораживание потенциала при зачистке на 0,65 В, наблюдается и очень слабо выраженный мотозлектрический эффект, между тем как для Mg, обнаруживающего изменение потенциала лишь —0,099 В, «отрицательный»* мотозлектрический эффект дает величины 45—50 мВ, заметно уменьшающуюся, однако, со временем.

Н. Д. Томашовым [6] отмечалось уменьшение скорости растворения магния в 3% NaCl со временем пребывания его в растворе. Значительное уменьшение мотозлектрического эффекта является, в свою очередь, указанием на постепенное пассивирование Mg, связанное, очевидно, с замедлением анодного процесса.

Наблюдаемое нами изменение мотозлектрического эффекта для цинка в 3% NaCl с 30 до 1—2 мВ (за 14 суток) также является следствием постепенного образования на поверхности цинковых электродов осадка в виде пленки, состоящей в основном из гидрата окиси цинка.

Очень слабо выраженный мотозлектрический эффект для олова и серебра в соответствии с разблагораживанием потенциала при зачистке (на 0,2 В) указывает на коррозионную стойкость этих металлов в растворах NaCl.

При сопоставлении результатов измерений мотозлектрических эффектов в растворах кислот (0,1 N HCl, 0,1 N HNO₃) также удается установить соответствие между величиной наблюдающихся эффектов и коррозионным поведением металлов. Например, для металлов группы железа значительная величина мотозлектрического эффекта в разведенных азотной и соляной кислотах (более 100 мВ) связана с коррозионной активностью Fe, Ni, Co, в этих средах. Между тем для тантала, известного своей исключительной стойкостью по отношению даже к концентрированным растворам кислот (HCl и HNO₃), связанной, по-видимому, не только с наличием устойчивой пленки, а также и с резко выраженной для та

* Движущийся электрод является анодом по отношению к неподвижному.

замедленностью перехода в этих условиях в ионное состояние, мотозлектрический эффект практически не может быть измерен.

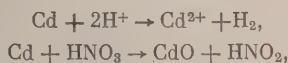
Слабо выраженный эффект для серебра в 0,1 N растворе HCl обусловлен наличием защитной пленки из AgCl.

Представляет интерес сопоставление поведения алюминия в азотной и соляной кислотах. При одной и той же величине изменения потенциала зачистке* в 0,1 N растворе HCl ($-0,42$ V) и в 0,1 N растворе HNO_3 ($-0,419$ V) величины мотозлектрических эффектов оказываются весьма различными. В азотной кислоте мотозлектрический эффект, выражающийся в десятых долях милливольт, мало увеличивается со временем, в соляной же кислоте эффект, от небольших значений вначале, достигает за 30–40 мин. величины 100 mV.

При погружении алюминиевых** электродов в азотную кислоту естественная пленка, по-видимому, постепенно упрочняется, увеличивается ее плотность, благодаря чему электроды становятся более инертными. В том случае деполяризующее действие HNO_3 проявляется слабо и величина мотозлектрического эффекта мала. Г. Б. Кларк также наблюдала, что вращение электрода вызывает весьма малое изменение потенциала, всего на $+0,003$ mV.

В соляной же кислоте в результате активирующего действия иона водорода (при низком значении pH) пленка на алюминиевых электродах, видимо, довольно быстро разрушается и коррозионная активность алюминия возрастает; в связи с этим мотозлектрический эффект достигает значительной величины. Наблюдаемое Г. Б. Кларк изменение потенциала алюминия в 0,1 N HCl при вращении через 5 мин. после погружения в раствор достигает величины $+0,030$ V.

Интересно рассмотреть результаты, полученные для кадмия в 0,1 N HNO_3 . При очень малом, согласно данным Г. Б. Кларк (на $+0,0026$ V), разблагораживании потенциала в результате зачистки и потери от коррозии ($0,36$ мг/см² в сутки), наблюдаемой нами, возникает очень незначительный по величине и неустойчивый по знаку мотозлектрический эффект. Возможно, что такое своеобразное поведение связано с особенностями механизма растворения Cd в HNO_3 . Высказанное Радовлевым [7] предположение об одновременном протекании двух реакций:



известной мере объясняет неустойчивость знака мотозлектрического эффекта для кадмия в азотной кислоте.

Что касается поведения металлов в растворах щелочей (1, 0,1 N), так же, как и в случае кислот, оказалось возможным обнаружить соответствие между величиной мотозлектрических эффектов и коррозионным поведением металлов.

Для железа, никеля, кобальта возникновение в 0,1 N NaOH хорошо защищающих пленок (зачистка электрода вызывает разблагораживание потенциала для металлов этой группы на величину порядка 0,5 V) подтверждается также и малой величиной мотозлектрических эффектов. В случае Mg слабо выраженный мотозлектрический эффект связан образованием в 0,1 N NaOH пассивирующей пленки. Разблагораживание потенциала при зачистке составляло 0,36 V.

Различная растворимость Zn и Cd в щелочах находит отражение и в измерении мотозлектрических эффектов. Для цинка величина эф-

* Зачистка в опытах Г. Б. Кларк производилась через 10 мин. после погружения электродов в раствор.

** Согласно литературным данным процесс коррозии алюминия в азотной кислоте сильно зависит от чистоты металла.

фекта составляет 32—35 mV (изменение потенциала в результате зачистки равно +0,07 V), в то время как для кадмия мотозлектрический эффект выражен очень слабо, в десятых долях милливольт (разблагораживание потенциала при зачистке составляет около 0,2 V).

Значительная растворимость олова и свинца в щелочах также является при измерении мотозлектрических эффектов. Величина эффекта Sn и Pb в 0,1 N NaOH достигает 20—30 mV.

Малая величина мотозлектрических эффектов для меди и серебра изменение потенциала при зачистке составляет значительную величину —0,22 и —0,23 V) связана с возникновением в 0,1 N растворе защитных пленок.

Представляет интерес поведение алюминия в растворах щелочей. наблюдающемся интенсивном растворении алюминиевых электродов т. е. в отсутствие защитных пленок, изменение потенциала при зачистке составляло +0,004 V, величина мотозлектрического эффекта очень значительна, всего лишь 1—2 mV. Для более концентрированных растворов NaOH, величина эффекта выражается в десятых долях милливольт. Наоборот, в разведенных растворах NaOH (0,01, 0,001 N) величина мотозлектрического эффекта составляет 10—15 mV.

Сделанные нами наблюдения дают возможность предполагать, в концентрированных растворах щелочей растворение алюминия происходит не за счет электрохимических процессов, а чисто химическим путем. На эту возможность указывали ранее и другие авторы [8].

Выводы

В работе показано, что на основе мотозлектрических измерений можно осуществлять сравнительная оценка защитных свойств естественных пленок на металлах в растворах NaCl, HCl, HNO₃, NaOH.

Академия наук СССР
Институт физической химии
Москва

Поступила
21.IX.1956

ЛИТЕРАТУРА

1. В. А. Кистяковский, Электрохимические реакции и электродные потенциалы некоторых металлов, Монография, Издание Политехн. ин-та, С. Петербург, 1910.
2. В. А. Кистяковский, ЖРФ-ХО, 391, 1445, 1907.
3. Н. А. Запольская, Журн. физ. химии, 25, 352, 1951.
4. Н. А. Запольская, Журн. физ. химии, 32, 000, 1958.
5. Г. Б. Кларк и Г. В. Акимов, Труды II конф. по коррозии металлов, 1958, стр. 43.
6. Н. Д. Томашов, Зав. лабор., 17, 10, 1207, 1951.
7. Радовлевич, Bull. Soc. chim. Belgrade, 15, 81, 1950.
8. M. Sentnerszwer u. W. Zablocki, Zs. Phys. Chem., 122, 456, 1926.

ON THE USE OF MOTOELECTRIC MEASUREMENTS FOR THE COMPARATIVE ESTIMATION OF THE PROTECTIVE PROPERTIES OF THE NATURAL FILM OF SOME METALS. II

N. A. Zapol'skaya (Moscow)

Summary

It has been concluded, that on the basis of mtoelectric measurements a comparative estimation may be made of the protective properties of natural films on some metals in NaCl, HCl, HNO₃, NaOH solutions.

ОКИСЛИТЕЛЬНЫХ ПОТЕНЦИАЛАХ РАСТВОРОВ ХЛОРИТА И ДВУОКСИ ХЛОРА

И. Е. Флис

Окислительная способность является основным свойством хлоритов и двуокиси хлора. За последнее время эти вещества стали широко применяться в качестве окислителей в целлюлозно-бумажной и текстильной промышленности. Несмотря на это окислительные потенциалы этих веществ в растворах еще мало изучены.

Так же как и для гипохлоритов, окислительный потенциал хлоритов и двуокиси хлора в сильной степени зависит от активности ионов водорода. Это показано в [1], где приведены результаты измерений потенциалов в растворе хлорита в интервале значений pH 2—11.

Другие опубликованные данные [2—4] об окислительных потенциалах этих веществ не являются результатом систематического исследования, за исключением работы Голста [5], где описаны результаты измерений потенциала в растворах, содержащих смесь хлорита и двуокиси хлора со значением pH, равным 4,5 и 6,8 при 20°C. Из этих данных Голст вычислил нормальный потенциал равновесия



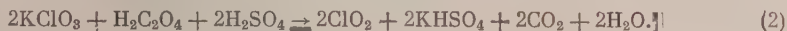
получил при этом среднюю величину, равную 0,95 V. Так как Голст не приводит никаких доказательств обратимости измеренных им потенциалов и не анализирует содержания хлорита (ClO_2) (ClO_2^-) и двуокиси хлора в растворе в момент измерения, потенциал то вопрос о достоверности полученных им результатов остается открытым.

Мы провели исследование обратимости измеряемых потенциалов в растворах двуокиси хлора и хлоритов и на этом основании проверили величину нормального потенциала равновесия (1).

В настоящей работе излагаются полученные при этом результаты.

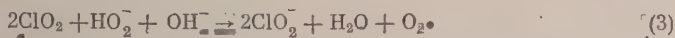
Экспериментальная часть

Растворы двуокиси хлора были приготовлены из химически чистого хлората калия путем взаимодействия его с серной и щавелевой кислотами:



Для очистки от примесей углекислого газа и, возможно, хлора двуокись хлора при получении вначале подвергалась сжижению. Исходные растворы были получены расщеплением испаряющейся двуокиси хлора в дважды перегнанной воде.

Растворы хлоритов получены взаимодействием двуокиси хлора с определенным количеством перекиси натрия:



Эти растворы содержали некоторое количество щелочи, а также соды. Они не содержали хлоридов, что свидетельствует об отсутствии хлора в исходных растворах двуокиси хлора*. Растворы хранились в склянках с притертыми пробками в темноте.

Окислительные потенциалы растворов хлорита и двуокиси хлора при разных значениях pH. Все измерения потенциалов выполнены при $25 \pm 0,5^\circ$ в воздушном термостате. В опытах применены электроды из платины и золота. Потенциалы измерены при помощи потенциометра

* О методах анализа растворов хлорита и двуокиси хлора см. [7—9].

системы Раиса с точностью до 1 mV. Измерения pH выполнены при помощи стандартного электрода и лампового потенциометра. Точность величин колеблется в пределах $\pm 0,03-0,05$ единиц pH.

Опыты проводились следующим образом: в стаканчик, изолированный от света, был налит определенный объем исходного раствора хлорита или двуокиси хлора. Стаканчик плотно закрывался пробкой, в которой были укреплены электрод и соединительная трубочка, наполненная хлористым калием в агаровом студне. Каломельный электрод для титрования вместе с бюреткой и насыщенным каломельным электродом помещались в термостат. Параллельно с потенциометрическими измерениями в опытах производились анализы растворов.

На рис. 1 представлены кривые, иллюстрирующие изменение окислительного потенциала на гладком платиновом электроде с изменением в растворе хлорита по мере его подкисления серной кислотой (кривая 1) и в растворе двуокиси хлора при добавлении к нему раствора едкого натра (кривая 2).

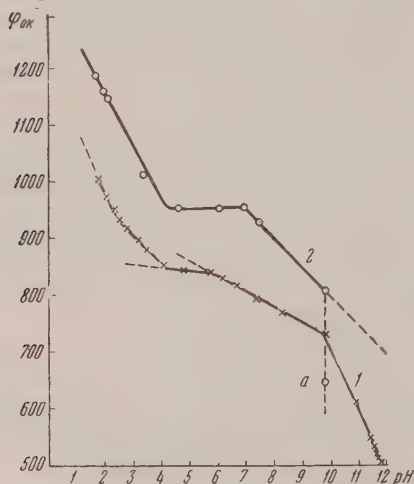


Рис. 1

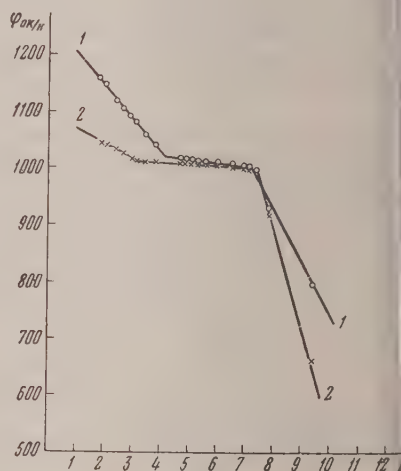


Рис. 2

Рис. 1. Зависимость окислительного потенциала в растворе хлорита и двуокиси хлора от pH. 1 — раствор хлорита при подкислении; 2 — раствор двуокиси хлора при подщелачивании

Рис. 2. Окислительные потенциалы в растворе двуокиси хлора; 1 — измеренные на платиновом электроде и 2 — на золотом электроде

Концентрация хлорита в начале опыта составляла 0,535 г-экв. Для придания раствору буферных свойств к нему добавлялось некоторое количество соды с таким расчетом, чтобы концентрация карбоната в нем была равна 0,01 г-экв/л. Начальное значение pH этого раствора было равно 11,8. Концентрация двуокиси хлора в исходном растворе была равна 0,335 г-экв/л, pH его равен 1,77. Анализом установлено, что в начале опыта раствор содержал только ClO_2 .

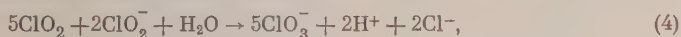
В опытах контролировалось изменение концентрации общего активного хлора и изучалось накопление ClO_2 в растворе хлорита по мере его подкисления, а также появление и изменение количества хлорита в растворе двуокиси хлора по мере повышения pH. Следует прежде всего отметить, что подкисление раствора хлорита сопровождается значительным уменьшением концентрации общего активного хлора, которое происходит наряду с увеличением относительных количеств двуокиси хлора в нем. То же наблюдается и при подщелачивании раствора ClO_2 , наряду с одновременным увеличением относительных количеств хлорита. Так, например, в течение опыта длившегося около 12 час., при изменении pH раствора хлорита от 11,8 до 1,8 содержание активного хлора в нем уменьшилось приблизительно на 45%. За такой же период

* Сумма эквивалентов ClO_2 и ClO_2^- .

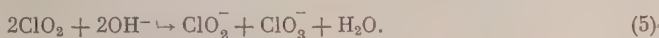
его промежуток времени при изменении рН раствора двуокиси хлора от 1,77 до 9,77 количество активного хлора в нем уменьшилось почти на 70%. Из этого следует, что в обеих системах имеет место разложение, связанное в значительной мере взаимодействием хлорита и двуокиси хлора. Поэтому, необходимо точно устанавливать путем анализа концентрации ClO_2 и ClO_2^- , отвечающие данной измеряемой величине потенциала.

Наблюдения показали, что появление поддающихся анализу количеств хлорита в изучавшихся нами растворах двуокиси хлора имеет место в величинах $\text{pH} > 4$.

Так, при рН, равном 5,03, система содержала к моменту определения потенциала 25% хлорита (по окислительным эквивалентам). В конце опыта, при рН, равном 9,77, в растворе находилось 55% хлорита. Через сутки раствор совершенно обесцветился и уже практически не содержал двуокиси хлора. При этом величина потенциала значительно снизилась*. Эти изменения, по-видимому, связаны как с взаимодействием двуокиси хлора и хлорита, например:



или с реакцией разложения двуокиси хлора при действии щелочи:



Эти реакции термодинамически вполне вероятны.

Появление заметных количеств двуокиси хлора в растворе хлорита было замечено при значениях $\text{pH} < 6,5$. При этом цвет раствора делается синим. Аналитически установлено, что при рН, равном 4,8, содержащая ClO_2 составляет приблизительно 10%, а в интервале рН, равном 3—2, количество двуокиси хлора возрастает до 30%.

Кривые 1 и 2 рис. 1 некоторым образом сходны. Это понятно, ибо в обоих случаях системы содержат одни и те же вещества: хлорит и двуокись хлора, присутствие которых в первую очередь и влияет на окислительный потенциал. На обеих кривых мы видим участок, на протяжении которого окислительный потенциал сравнительно мало изменяется с изменением рН. Когда мы имеем дело с исходным раствором двуокиси хлора, этот участок находится в интервале рН, равном приблизительно 4,5—5,5, а в растворе хлорита он находится при значениях рН, лежащих между 4 и 6. Из вышеизложенного следует, что в этих интервалах рН изученные системы содержат заметные количества как хлорита, так и двуокиси хлора. Было замечено, что на этих участках потенциал устанавливается относительно быстрее, чем в более кислой и, в особенности, в щелочной среде. Это позволяет сделать предположение, что здесь мы имеем дело с равновесием (1).

Необходимо было провести специальные исследования для установления обратимости измеренных нами потенциалов. Результаты их излагаются далее.

Об обратимости окислительных потенциалов в растворах хлорита и двуокиси хлора. Обратимая окислительно-восстановительная система, как известно, должна удовлетворять следующим двум условиям [10]: 1) потенциал ее должен зависеть от материала и состояния поверхности электрода и реакция окисления-восстановления на электроде должны протекать в электрохимической поляризации.

Для проверки наличия первого условия были измерены потенциалы в одном и том же растворе двумя инертными электродами: платиновым и платиновым. На рис. 2 показаны кривые зависимости потенциала от рН в растворе двуокиси хлора по мере его подщелачивания. Кривая 1 вычерчена

* Значению потенциала этого раствора отвечает точка *a* на кривой 2.

на основе измерений потенциала на платиновом электроде, а кривая относится к опытам с электродом из золотой пластинки. Рассматривая кривые на рис. 2, можно сделать заключение, что потенциалы обоих электродов практически одинаковы в интервале рН, равном 4,5—7,5. В то время при других значениях рН величины потенциалов на платиновом и золотом электродах значительно отличаются. Отсюда следует, что первое условие обратимости в изучаемых нами системах соблюдается лишь в указанном интервале рН.

Наличие второго условия обратимости было проверено проведением опытов поляризации платинового электрода в растворах хлоритов с различными значениями рН*.

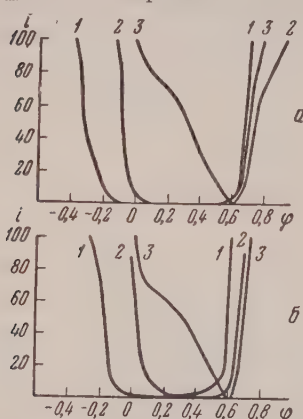


Рис. 3. Кривая поляризации платинового электрода в растворе хлорита при разных рН: а — гладкий Pt-электрод; б — платинизированный Pt-электрод; 1 — рН = 12; 2 — рН = 9,2; 3 — рН = 6,3

при 20°C без специального перемешивания раствора.

На рис. 3 даны кривые анодной и катодной поляризации платиновых электродов в растворах хлорита натрия 0,017 N, значениях рН, равных 12; 9,2 и 6,3.

Из анализа кривых, представленных на рис. 3, можно сделать заключение, что в растворах хлорита со значениями рН = 12, 9,2, электрохимические процессы связаны со значительным перенапряжением. В то же время перенапряжение в растворе, которого равен 6,3, незначительно.

Из приведенных на рис. 2 данных видно, что окислительные потенциалы в растворе с рН, равным 6,29, одинаковы для обоих электродов. Поэтому второе условие обратимости для растворов хлорита соблюдается лишь при рН, равном 6,29, т.е. там, где выполняется первое условие.

Если, наконец, верно высказанное предположение, что потенциал системы определяется равновесием (1), то величина его может быть вычислена по термодинамической формуле:

$$\varphi_{\text{ок}} = \varphi_{\text{ClO}_2/\text{ClO}_2^-}^0 + \frac{1}{2} \lg \frac{a_{\text{ClO}_2}}{a_{\text{ClO}_2^-}}.$$

При этом величина $\varphi_{\text{ClO}_2/\text{ClO}_2^-}^0$ должна оставаться постоянной.

Потенциалы системы, содержащей хлорит и двуокись хлора, при рН, равном 4—7, и нормальный потенциал равновесия $\text{ClO}_{2(\text{раств})} + e \rightleftharpoons \text{ClO}_2^-$ при 25°. В таблице приведены результаты выполненных опытов**. Величины окислительных потенциалов получены при помощи гладкого платинового электрода. В каждом отдельном опыте измерение потенциала сопровождалось анализом содержания ClO_2 и ClO_2^- в растворе. В таблице приведены также значения измеренных потенциалов, величины рН растворов, концентрации двуокиси хлора и хлорита, активность хлорита и вычисленные величины нормальных потенциалов. Активность хлорита вычислялась с учетом ионной силы раствора по известной формуле Дебая и Гюккеля. Величина $\varphi_{\text{ClO}_2/\text{ClO}_2^-}^0$ получена при подстановке в формулу (6) вычисленных величин активностей хлорита, а $\varphi_{\text{ClO}_2/\text{ClO}_2^-}^0$ — нормальный потенциал, полученный, исходя из отношения концентраций. В обоих случаях в формуле (6) взяты концентрации двуокиси хлора.

* Опыты выполнены Ж. Л. Верт.

** Часть опытов выполнена Н. В. Трошковой.

Средние величины $\varphi_{\text{ClO}_2/\text{ClO}_2^-}^0$ равны 0,934 В, а $\varphi_{\text{ClO}_2/\text{ClO}_2^-}^{0'} = 0,940$ В. Такое отличие этих величин, по-видимому, объясняется главным образом тем, что опыты проведены в разбавленных растворах при малых концентрациях, где концентрации и активности участников равновесия мало отличаются друг от друга.

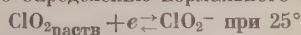
Найденные нами значения нормальных потенциалов равновесия (1) близки к величинам, полученным Голстом.

Некоторые стандартные термодинамические величины двуокиси хлора в растворе

В термодинамических таблицах [11,6] отсутствуют данные о величинах стандартных изобарных потенциалов образования ClO_2 в растворе и энтропии ее. Полученные нами величины нормальных потенциалов равновесия $\text{ClO}_{2\text{раств}} + e^- \rightleftharpoons \text{ClO}_2^-$ в сочетании с другими известными стандартными величинами дают возможность рассчитать обе вышеуказанные величины.

Практическое постоянство $\varphi_{\text{ClO}_2/\text{ClO}_2^-}^0$ свидетельствует о том, что потенциалы действительно обратимы и определяются равновесием (1).

Результаты опытов по определению нормального потенциала равновесия



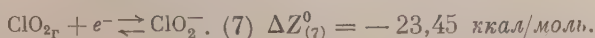
pH раствора	c_{ClO_2} , моль/л	$c_{\text{ClO}_2^-}$, моль/л	$a_{\text{ClO}_2^-}$	φ_{0k} , В	$\varphi_{\text{ClO}_2/\text{ClO}_2^-}^0$, В	$\varphi_{\text{ClO}_2/\text{ClO}_2^-}^{0'}$, В
0,22	0,00210	0,02765	0,0222	0,873	0,936	0,941
0,83	0,00714	0,04950	0,0385	0,888	0,931	0,938
1,83	0,01666	0,04617	0,0363	0,913	0,932	0,939
1,83	0,02618	0,04284	0,0339	0,929	0,935	0,941
1,95	0,00310	0,01910	0,0162	0,890	0,933	0,938
2,00	0,02618	0,07048	0,0532	0,913	0,931	0,938
2,00	0,02142	0,10377	0,0747	0,901	0,933	0,944
2,43	0,01078	0,04308	0,0336	0,917	0,933	0,940
2,43	0,02856	0,04046	0,0318	0,931	0,936	0,940
2,43	0,02856	0,06331	0,0475	0,917	0,931	0,938
2,43	0,02499	0,08639	0,0622	0,907	0,932	0,939
2,56	0,00240	0,02750	0,0220	0,881	0,938	0,943
2,73	0,00450	0,01520	0,0129	0,908	0,935	0,945
2,23	0,00560	0,02776	0,0222	0,901	0,936	0,941
2,41	0,00200	0,01370	0,0116	0,833	0,938	0,942

$$\bar{\varphi}^0 = 0,934 \pm \pm 0,002 \quad \bar{\varphi}^{0'} = 0,940 \pm \pm 0,002$$

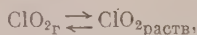
Вычисление $\Delta Z_{\text{ClO}_{2\text{раств}}}^0$. Для равновесия (1) величина $\Delta Z_{(1)}^0$ равна

$$\Delta Z_{(1)}^0 = \frac{-0,934 \cdot 96494}{4,184 \cdot 1000} = -21,54 \text{ ккал/моль.}$$

Используя следующие величины, найденные нами из опыта $\Delta Z_{\text{ClO}_2}^0 = 4,04 \text{ ккал/г-ион}$; $\Delta Z_{\text{ClO}_2^-}^0 = 27,49 \text{ ккал/моль}$, получим стандартное изменение изобарного потенциала равновесия:



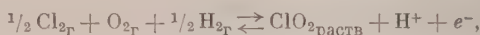
Комбинируя (1) и (7), получим



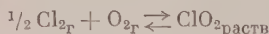
для которого $\Delta Z_{(8)}^0 = -1,94$. Отсюда

$$\Delta Z_{\text{ClO}_{2\text{раств}}}^0 = 27,49 - 1,94 = 25,55 \text{ ккал/моль}.$$

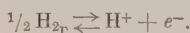
Энтропия ClO_2 в растворе. Равновесие



для которого надо вычислить $\Delta S_{(9)}^0$, получается комбинированием равновесий:



и



$$\Delta S_{(10)}^0 = \frac{-\Delta Z_{\text{ClO}_{2\text{раств}}}^0 + \Delta H_{\text{ClO}_{2\text{раств}}}^0}{298,2}.$$

По нашим данным величина $\Delta H_{\text{ClO}_{2\text{раств}}}^0 = 16,1 \text{ ккал/моль}$ и

$$\Delta S_{(10)}^0 = -\frac{-25550 + 16100}{298,2} = -31,5 \text{ э. е.};$$

$$\Delta S_{(11)}^0 = 16,1 \text{ э. е. [11].}$$

Отсюда

$$\Delta S_{(9)}^0 = -(31,5 + 16,1) = -47,6 \text{ э. е.}$$

Так как $\frac{1}{2} S_{\text{Cl}_{2\Gamma}}^0 = 26,6 \text{ э. е.}; S_{\text{O}_{2\Gamma}}^0 = 49,0 \text{ э. е.}$ и $\frac{1}{2} S_{\text{H}_{2\Gamma}} = 16,1 \text{ э. е.}$ [1] то

$$S_{\text{ClO}_{2\text{раств}}}^0 = 26,6 + 49,0 + 16,1 - 47,6 = 44,1 \text{ э. е.}$$

С другой стороны, можно воспользоваться величиной: $S_{\text{ClO}_{2\Gamma}}^0 = 59,6 \text{ э. е.}$ [11] и значением $\Delta H_{(8)}^0$ для равновесия (8), равным $-6,6 \text{ ккал/моль}$ также величиной $\Delta Z_{(8)}^0$ из предыдущих вычислений, и тогда $\Delta S_{(8)}^0$ равновесия (8) будет равно:

$$\Delta S_{(8)}^0 = \frac{+194 - 6600}{298,2} = -15,6 \text{ э. е.}$$

Отсюда

$$S_{\text{ClO}_{2\text{раств}}}^0 = \Delta S_{(8)}^0 + S_{\text{ClO}_{2\Gamma}}^0 = 43,9 \text{ э. е.}$$

Обе полученные величины $S_{\text{ClO}_{2\text{раств}}}^0$ хорошо совпадают друг с другом.

Выводы

1. Установлено, что окислительные потенциалы растворов, содержащих хлорит и двуокись хлора, в интервале pH приблизительно равны 4—8, являются обратимыми.

2. Из экспериментальных данных вычислен нормальный потенциал равновесия: $\text{ClO}_{2\text{раств}} + e^- \rightleftharpoons \text{ClO}_2$. Он равен $0,934 \pm 0,002 \text{ V}$.

3. Вычислены стандартные величины: $\Delta Z_{\text{ClO}_{2\text{раств}}}^0$ и $S_{\text{ClO}_{2\text{раств}}}^0$. Первая из них равна $25,55 \text{ ккал/моль}$, вторая $43,9 \text{ э. е.}$

ЛИТЕРАТУРА

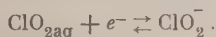
- И. Е. Флис, Т. М. Васильева, Журн. общ. химии, **26**, 1275, 1956.
 Gmelin's Handbuch der anorg. Chemie., 8 изд., Berlin, 1927, стр. 297.
 М. П. Козлов, Диссертация, Ленингр. текстильн. ин-т, 1951.
 А. С. Чернышев, В. В. Штутцер, Н. Г. Семенова, Усп. химии, **25**, 96, 1956.
 G. Holst, Svensk pap tidning, **48**, 23, 1945.
 В. Латимер, Окислительные состояния элементов и их потенциалы в водных растворах ИЛ, Москва, 1954, стр. 59.
 И. Е. Флис, Журн. аналит. химии, **10**, 38, 1955.
 И. Е. Флис, М. К. Быняева, Тр. ЛТИ им. В. М. Молотова, вып. **4**, 1956.
 И. Е. Флис, М. К. Быняева, Журн. аналит. химии, **11**, 453, 1956.
 А. Н. Фрумкин, В. С. Багоцкий, З. А. Иофа, Б. Н. Кабанов, Кинетика электродных процессов, Изд-во МГУ, 1952, стр. 91.
 Circular 500, Nat. Bureau of Stand. N. V. 1952.

THE OXIDATION POTENTIALS OF SOLUTIONS OF CHLORITE AND CHLORINE DIOXIDE

I. E. Flis (Leningrad)

Summary

This paper presents the results of studies on the relation between the pH and the oxidation potentials of solutions of chlorite and chlorine dioxide. It was shown by special experiments with the aid of platinum and gold electrodes, that the potentials of solutions of chlorite and chlorine dioxide mixtures are reversible and are determined by the equilibrium:



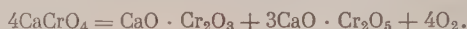
The normal potential of the above equilibrium calculated from the experimental data has been found to be equal to 0.934 ± 0.002 volts. An estimation has also been made of the standard $\Delta Z^\circ_{\text{ClO}_{2\text{aq}}}$ and $S^\circ_{\text{ClO}_{2\text{aq}}}$ which were found to equal 25.55 kg. cal/mole and 43.9 e. u.

ТЕРМИЧЕСКАЯ ДИССОЦИАЦИЯ ХРОМАТА КАЛЬЦИЯ

Н. В. Алексеев, Т. Н. Резухина и Ю. П. Симанов

Для установления связи между термодинамическими свойствами кристаллических веществ и их структурой необходимо наличие большого числа данных, относящихся к группам подобных соединений. С этой целью было предпринято исследование ряда хроматов двухвалентных металлов. В настоящей статье излагаются результаты исследования упругости диссоциации хромата кальция и рентгенографического анализа продуктов диссоциации.

В литературе имеется ряд данных по термической диссоциации хромата кальция. Так, в период с 1922 по 1930 г. индийскими учеными было проведено исследование термической диссоциации как хромата кальция, так и хроматов стронция и бария [1—5], причем было показано, что разложение хромата кальция протекает через целый ряд промежуточных соединений. Однако ряд недостатков в аппаратуре и методике делает результаты этих исследований ненадежными. Ф. Н. Васенин [6] предложил в 1948 г. следующее уравнение диссоциации хромата кальция на воздухе:



Одновременно Форд и Рисс [7, 8], рентгенографически изучая систему $\text{CaO}-\text{Cr}_2\text{O}_3$, пришли к аналогичному уравнению.

Экспериментальная часть

Аппаратура и методика исследования. Измерения проводились статическим методом на установке, изображенной на рис. 1.

Кварцевый реактор 9 соединялся при помощи трехходового крана с двумя манометрами 6, 7 — ртутным и масляно-ртутным. Печь 11, в которой нагревался реактор, имела две обмотки, внутреннюю — платиновую и внешнюю — нихромовую, и могла сдвигаться по вертикали относительно реактора. Для измерения температуры служила платина-платинородиевая термонара. Она была впаяна в верхний малый штифт реактора и по боковому отводу проходила внутрь него, касаясь тигелька с веществом, который подвешивался внутри реактора. Термонара была предварительно прокалибрована. Температура печи поддерживалась постоянной с точностью $1-2^\circ$ в интервале $800-1100^\circ$.

Давление диссоциации CaCrO_4 ниже 10 мм рт. ст. измерялось при помощи манометра с дибутылфталатом, который был предварительно прокальброван по давлению паров воды. Давление выше 10 мм рт. ст. измерялось при помощи абсолютного ртутного манометра с точностью $\pm 0,01$ мм (катетометр КМ-10). Изучение равновесия проводилось как со стороны окисления, так и со стороны восстановления. Кислород получался электролизом 20%-ного раствора NaOH в электролизере 1, очищался от следов водорода, проходя над палладиевым катализатором в печи 2, осушался CaCl_2 и P_2O_5 в колонках 3 и поступал в баллон 8.

Содержание кислорода в равновесном препарате определялось по убыли веса. Фазовый состав устанавливался рентгенографически. Для съемок использовалось излучение медного анода; съемки проводились в камерах типа Р.К.Д., при этом вещество помещалось в тонкостенный запаянный капилляр из стекла пирекс.

Приготовление и анализ препарата. Хромат кальция получался осаждением горячего аммиачного раствора $(\text{NH}_4)_2\text{Cr}_2\text{O}_7$ эквивалентным количеством $\text{Ca}(\text{NO}_3)_2$. Обе соли были предварительно очищены троекратной перекристаллизацией их химически чистых препаратов. Выпавший желтый осадок $\text{CaCrO}_4 \cdot 2\text{H}_2\text{O}$ промывался вод-

лился, а затем прокаливался на воздухе при температуре порядка 1600° . Анализ проводился по Гиллебрандту [9] и В. Н. Петрашеню [10]. Кальций определялся в виде оксалата с дальнейшим переводом CaSO_4 , а Cr определялся перманганатометрически. Анализ показал, что полученное соединение с точностью до 0,1% соответствует формуле CaCrO_4 .

Рентгенограмма исходного CaCrO_4 подтвердила отсутствие посторонних фаз.

Рентгенофазовый анализ CaCrO_4 и продуктов восстановления. Литературные данные по кристаллическим параметрам CaCrO_4 сильно разнятся между собой.

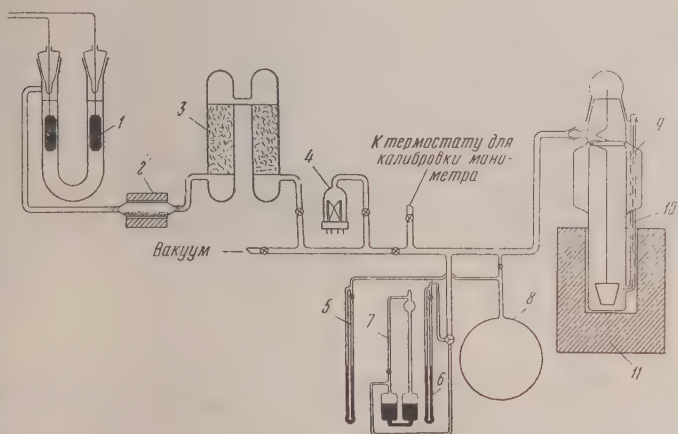


Рис. 1. Схема установки для исследования упругостей диссоциации CaCrO_4

Так, Германи [11], впервые исследовавший это вещество, нашел, что кристаллы его имеют вид ромбических бипирамид, у которых $a = 5,6 \text{ \AA}$; $b = 8,4 \text{ \AA}$; $c = 3,2 \text{ \AA}$.

По данным Клуз [12], хромат кальция имеет тетрагональную структуру и относится к пространственной группе D_4^{19} $a = 7,2 \text{ \AA}$; $c = 6,3 \text{ \AA}$; Вайкопф [13] относит хромат кальция к пространственной группе 9 и дает следующие значения осевых параметров: $a = 7,25 \text{ \AA} \pm 0,02 \text{ \AA}$; $c = 6,34 \text{ \AA} \pm 0,02 \text{ \AA}$.

Нами были уточнены значения a и c , исходя из ранее определенной пространственной группы. Съёмки для этой цели проводились в камере КХУ с диаметром кассеты 86 мм . Были получены следующие значения: $a = 7,244 \pm 0,002 \text{ \AA}$; $c = 6,282 \pm 0,002 \text{ \AA}$.

Исследование рентгенограмм продуктов частичного восстановления CaCrO_4 показало, что на всех рентгенограммах имеются линии, принадлежащие: исходному CaCrO_4 , гидрату окиси кальция, в который переходит CaO при растривании на воздухе, и какому-то неизвестному соединению.

Было предположено, что это соединение является хромитом кальция — $\text{CaO} \cdot \text{Cr}_2\text{O}_3$. Чтобы проверить это предположение, хромит кальция был приготовлен двумя путями: прокаливанием в вакууме при 1600° эквимольной смеси CaO и Cr_2O_3 и прокаливанием на воздухе бихромата кальция. Сопоставление снимков этих веществ со снимками продуктов частичного восстановления CaCrO_4 показало идентичность неизвестного соединения с хромитом кальция, полученным спеканием CaO и Cr_2O_3 в вакууме.

Из литературных данных известно, что хромит кальция может существовать в двух формах: высокотемпературной (выше 1900°) — тетрагональной и низкотемпературной (ниже 1900°) — ромбической. Низкотемпературная форма имеет следующие осевые параметры $a = 9,03 \text{ \AA}$; $b = 10,58 \text{ \AA}$; $c = 2,96$.

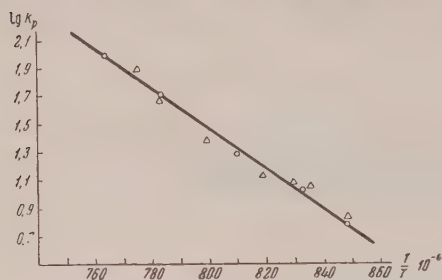


Рис. 2. Зависимость $\lg K_p$ от $1/T$
 ○ — наши данные. Δ — данные Нагруд и Ватсон [3]

Соответствующие величины для высокотемпературной формы $a = 5,52 \text{ \AA}$; $c = 19,1 \text{ \AA}$. Расчеты показали, что соединение CaO и Cr_2O_3 , отвечающее неизвестной кристаллической фазе, образующейся при диссоциации CaCrO_4 , является тетрагональной высокотемпературной формой хромита кальция, а продукт прокалывания бихромата кальция является низкотемпературной формой того же хромита. Таким образом, удалось показать, что равновесные с кислородом твердые фазы не содержат других соединений, кроме CaCrO_4 , $\text{CaO} \cdot \text{Cr}_2\text{O}_3$ и CaO ; следовательно, уравнение термической диссоциации CaCrO_4 имеет вид:



Противоречие между литературными и экспериментальными данными относительно границ устойчивости тетрагональной формы $\text{CaO} \cdot \text{Cr}_2\text{O}_3$ можно объяснить, если предположить, что высокотемпературная тетрагональная форма $\text{CaO} \cdot \text{Cr}_2\text{O}_3$ образуется гораздо легче низкотемпературной, а переход между ними затруднен.

Термическая диссоциация хромата кальция. Упругость диссоциации хромата кальция измерялась при пяти температурах: 900, 920, 950, 1000 и 1030° .

Измерения проводились как со стороны окисления, так и со стороны восстановления препарата (величины соответствующих давлений расходовались обычно незначительно). За величину $P_{\text{равн}}$ брались средние из этих измерений. В табл. 1 приведены усредненные для каждой температуры значения равновесных давлений O_2 и $\lg K_p = \lg P_{\text{O}_2}$ для реакции 2.

В табл. 2 сравниваются полученные данные с данными других авторов [2,3].

Расхождения в значениях следует, по-видимому, приписать не точности в измерении температуры, имевшее, по нашему мнению,

место у этих исследователей в силу того, что у них термометры не примыкала непосредственно к сосуду с веществом, а измеряла температуру наружной стенки реактора.

Из рис. 2 видно, что зависимость $\lg K_p$ от $1/T$, построенная по нашим экспериментальным данным, имеет линейный характер.

Таблица 1

t°, C	$P, \text{мм}$	$\lg K_p$
900	5,77	0,7612
920	11,33	1,0542
950	18,40	1,2648
1000	50,24	1,7011
1030	92,06	1,9641

Таблица 2

t°, C	Данные [3], мм рт. ст.	Данные [2], мм рт. ст.	Наши данные мм рт. ст.
900	5,0	8,0	5,77
920	8,0	10,5	11,33
1000	44,0	56,0	50,24
1030	70,0	76,0	92,06

Метод наименьших квадратов дает для данной зависимости следующее уравнение:

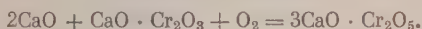
$$\lg K_p = -\frac{13624}{T} + 12,416.$$

Поскольку для величины изменения с температурой стандартного изобарного потенциала реакции (2) имеем

$$\Delta Z_{(2)}^0 = 62\,330 - 56,803T.$$

Обсуждение результатов

Как было показано выше, процесс диссоциации хромата кальция происходит в одну стадию по уравнению (2). Образование $3\text{CaO} \cdot \text{Cr}_2\text{O}_3$ при диссоциации хромата кальция на воздухе, отмеченное другими авторами [1—8] [см. уравнение (1)], является, по нашему мнению, результатом горичной реакции, возможной лишь при условии большого давления кислорода. Давление диссоциации $3\text{CaO} \cdot \text{Cr}_2\text{O}_3$ равно 22 мм при 920° [3]; при той же температуре давление диссоциации CaCrO_4 равно 11,3 мм. Таким образом давление кислорода, которое развивается при диссоциации CaCrO_4 в вакууме, недостаточно для образования $3\text{CaO} \cdot \text{Cr}_2\text{O}_3$; при больших давлениях кислорода (на воздухе) диссоциация CaCrO_4 происходит, очевидно, по следующим уравнениям:



Выводы

Изучался процесс диссоциации CaCrO_4 в вакууме в интервале температур (900—1030°). Рентгенофазовый анализ продуктов восстановления хромата кальция и измерение упругости диссоциации показали, что процесс диссоциации протекает в одну стадию по уравнению:



При этом была получена следующая зависимость $\lg K_p$ от $1/T$

$$\lg K_p = -\frac{13624}{T} + 12,416,$$

которая позволила рассчитать величины ΔZ^0 , ΔH^0 и ΔS^0 для данной реакции в интервале температур 900—1030°.

Было произведено уточнение осевых параметров CaCrO_4 , причем получены следующие значения: $a = 7,244 \pm 0,002 \text{ \AA}$; $c = 6,282 \pm 0,002 \text{ \AA}$.

Московский государственный университет
им. М. В. Ломоносова

Поступила
31.X.1956

ЛИТЕРАТУРА

1. M. R. Naair a. H. E. Watson, Proc. Asiat. Soc. Bengal, **18**, 13, 1922; Chem. Abstrs, **18**, 1225.
2. V. T. Athavale a. S. K. K. J atkar, J. Indian Inst. Sci., **20A**, 149, 1926.
3. K. S. Nagrund a. H. E. Watson, J. Indian Inst. Sci., **9A**, 55, 1937.
4. V. T. Athavale, S. K. K. J atkar, J. Indian Inst. Sci., **21 A**, 119, 1938.
5. V. T. Athavale, S. K. K. J atkar, a. D. S. Datar, J. Indian Inst. Sci., **22A**, III, 1939.
6. Ф. Н. Васенин, Журн. прикл. химии, **21**, 429, 1948.
7. W. F. Ford a. W. J. Rees, Trans. Brit. Ceram. Soc., **47**, 207, 1948.
8. W. F. Ford a. W. J. Rees, Trans. Brit. Ceram. Soc., **48**, 291, 1948.

9. В. Гиллебрандт и Р. Лендель, Практическое руководство по неорганическому анализу, 1935, стр. 524.
10. В. И. Петрашень, Объемный анализ, 1946, стр. 229.
11. J. Mellor, Inorg. a. Theor. Chem., 11, 267, 1948.
12. Clouse, Zs. Krist., 83, 171, 1932.
13. W. Wusko pff, Krystall Structures, 1, 181, 1953.
14. A. Burdese, Atti Accad. sci Torino. Cl. sci. fis., mat. e natur., 86, 314, 1951

THE THERMAL DISSOCIATION OF CALCIUM CHROMATE

N. V. Alekseev, T. N. Rezukhina and Yu. P. Simanov (Moscow)

Summary

The thermal dissociation of calcium chromate has been studied by means of a standard method. X-ray analysis was used to identify the phases. At 900—1030° the dissociation proceeds to the chromite $\text{CaO} \cdot \text{Cr}_2\text{O}_3$ and calcium oxide according to the equation



The $\text{CaO} \cdot \text{Cr}_2\text{O}_3$ formed is of a tetragonal structure. On the basis of Debye crystallograms obtained with a chamber of large dispersive power reported data on the parameters of the tetragonal CaCrO_4 lattice have been corrected. The following results were obtained

$$a = 7.244 \pm 0.002 \text{ \AA}$$

$$c = 6.282 \pm 0.002 \text{ \AA}.$$

The following relationship was obtained between $\lg K_p$ and $1/T$

$$\lg K_{p_{mm}} = -\frac{13624}{T} + 12.416$$

which allowed the values of ΔZ^0 , ΔH^0 and ΔS^0 of the reaction to be calculated over the temperature range 900—1030°.

ДИФфуЗИОННЫЙ ПОГРАНИЧНЫЙ СЛОЙ В ДИФфуЗОРЕ

В. И. Шестопалов

В работах [1—3] была развита количественная теория диффузионной кинетики гетерогенных химических процессов, протекающих на границе раздела твердое тело — жидкость.

Как известно, полная скорость гетерогенного химического превращения складывается из скорости транспорта реагентов к месту реакции и собственно скорости химической реакции. Поэтому гидродинамические явления при конвективной диффузии в жидкости играют существенную роль. Было установлено, что вблизи поверхности реакции должен существовать тонкий слой жидкости, в котором происходит быстрое изменение концентрации. Этот весьма тонкий слой жидкости аналогичен гидродинамическому пограничному слою и поэтому обычно называется диффузионным пограничным слоем. Многими свойствами диффузионный пограничный слой напоминает обычный тепловой пограничный слой в теории теплопередачи в жидкостях. В то же время между ними имеется существенное количественное различие: диффузионный слой в несколько раз тоньше теплового, и поэтому другие его свойства отличаются от аналогичных свойств теплового пограничного слоя.

В связи с тем, что полная система уравнений конвективной диффузии является системой нелинейных дифференциальных уравнений в частных производных, нахождение концентраций в слое математически представляет большие трудности. Обычно при решении задач конвективной диффузии используют весьма упрощенные выражения для распределения скоростей в пограничном слое, что значительно облегчает интегрирование основного уравнения диффузионного пограничного слоя. Такого рода упрощения возможны за счет малости толщины диффузионного пограничного слоя.

Представляет также большой интерес нахождение решений задач конвективной диффузии в замкнутой форме*.

В настоящей статье приведено точное решение уравнений ламинарного диффузионного пограничного слоя в диффузоре.

Уравнения конвективной диффузии и граничные условия

Рассмотрим случай, когда поверхностью реакции служит одна из стенок диффузора, т. е. исследуем распределение концентраций в диффузионном пограничном слое вдоль одной из стенок диффузора при потоке установившемся течении жидкости между двумя плоскими стенками AB и OD , наклоненными друг к другу под углом α (рисунок). Известно, что через любое поперечное сечение диффузора в единицу времени проходит определенный объем жидкости. Этот объем жидкости Q называют избыточностью источника и считают заданной величиной. Если $Q > 0$, то течение в диффузоре расходящееся, и имеем дело с источником в точке; если $Q < 0$, то течение сходящееся, и вместо источника имеем сток.

* Автору известен единственный случай точного решения уравнений конвективной диффузии, а именно, задача о конвективной диффузии к диску [2].

Мы ограничимся случаем, когда $Q < 0$. Рассмотрим диффузионный граничный слой, образующийся вдоль стороны OAB угла, и будем отсчитывать координату x вдоль этой стороны от точки O ; координату y выберем согласно рисунку.

Исходные уравнения этой задачи имеют вид:

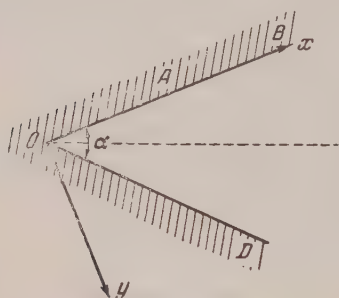
$$v_x \frac{\partial v_x}{\partial x} + v_y \frac{\partial v_x}{\partial y} = -\frac{1}{\rho} \frac{\partial p}{\partial x} + \nu \frac{\partial^2 v_x}{\partial y^2};$$

$$\frac{\partial v_x}{\partial x} + \frac{\partial v_y}{\partial y} = 0;$$

$$v_x \frac{\partial c}{\partial x} + v_y \frac{\partial c}{\partial y} = D \frac{\partial^2 c}{\partial y^2},$$

где v_x , v_y — проекции скорости на оси x , y ; ρ — плотность жидкости; p — нормальное давление; ν — кинематическая вязкость жидкости;

(x, y) — распределение концентрации вещества в растворе; D — коэффициент диффузии.



Нахождение распределения концентрации вещества в слое сводится к решению системы уравнений (1) — (3) при данных граничных условиях.

Как обычно, граничные условия даем на поверхности реакции и вдали ее. Для поля скоростей граничные условия запишутся следующим образом:

$$v_x = v_y = 0 \quad \text{при } y = 0;$$

$$v_x = V(x) \quad \text{при } y = \infty.$$

Концентрацию на поверхности реакции будем считать заданной функцией от x . Этому случаю соответствуют гетерогенные химические и электрохимические реакции, протекающие с небольшими скоростями реакции. Когда отвод продуктов реакции от поверхности является наиболее медленной стадией, то на большом расстоянии от поверхности концентрацию можно считать равной нулю. Таким образом, граничные условия для $c(x, y)$ имеют вид:

$$c = c_0(x) \quad \text{при } y = 0; \quad c = 0 \quad \text{при } y = \infty.$$

Указанным граничным условиям могут соответствовать автокаталитические реакции, в которых продукты реакции являются катализаторами этой же реакции.

Заметим, что решенная ранее задача о тепловом пограничном слое в диффузоре [4] подобна данной задаче. Действительно, исходные уравнения (1) — (3) соответствуют уравнениям (1.1) — (1.3) работы [4] за исключением последнего члена в правой части (1.3), характеризующего теплоту, которая получается от рассеяния. Если этим членом пренебречь, то уравнения теплового и диффузионного пограничных слоев совпадают. Однако в связи с тем, что толщина диффузионного пограничного слоя в несколько раз меньше толщины пограничного слоя, между ними, как уже отмечалось, имеется существенное различие.

Общее решение уравнений конвективной диффузии для диффузора

Как известно, для пограничного слоя скоростей в случае сходящегося течения ($Q < 0$) задача решена полностью [5]. При этом для тангенциальной и нормальной составляющих скоростей получены следующие значения:

$$v_x = \frac{Q}{\alpha x} u(\xi) = V(x) u(\xi); \quad v_y = \xi \frac{Q}{\alpha x} u(\xi) = \xi V(x) u(\xi); \quad V(x) = \frac{Q}{\alpha x}, \quad (4)$$

$v(x)$ — скорость течения жидкости вне пограничного слоя. Для функции (6) получено такое равенство

$$u(\xi) = 3 \operatorname{th}^2 \left\{ \ln(V\sqrt{2} + V\sqrt{3}) + \xi \sqrt{\frac{R}{2\alpha}} \right\} - 2, \quad (7)$$

$\xi = \frac{y}{x}$; $R = \frac{|Q|}{\nu}$; $Q < 0$; R — число Рейнольдса.

Функция $u(\xi)$ при $0 \leq u < 1$ удовлетворяет следующим дифференциальным уравнениям:

$$u'' = \frac{Q}{\nu\alpha} (1 - u^2); \quad u'^2 = -\frac{2}{3} \frac{Q}{\nu\alpha} (u - 1)^2 (u + 2). \quad (8)$$

Штрихи обозначают производные по ξ .

Подставляя (6) в уравнение (3), получим линейное однородное дифференциальное уравнение. Необходимо показать, что это уравнение при выполнении (5) дает общее решение в замкнутом виде. Это, как будет показано ниже, имеет место для таких $c_0(x)$, которые могут быть представлены в виде разложения по обратным степеням x при $x \neq 0$.

Так как после подстановки v_x, v_y в (3) получим однородное уравнение, то, отыскивая для него все возможные частные решения, мы тем самым найдем его общее решение. Рассмотрим какое-нибудь частное решение (3), например, когда граничные условия имеют вид

$$c_1 = \frac{c_{01}}{x} \text{ при } y = 0; \quad c_1 = 0 \text{ при } y = \infty. \quad (9)$$

Введем новые переменные $x, \xi = y/x$ и новую функцию $f(\xi)$ по формуле

$$c_1(x, y) = \frac{1}{x} f(\xi). \quad (10)$$

Производные, входящие в (3), теперь запишутся

$$\frac{\partial c_1}{\partial x} = -\frac{1}{x^2} (f + \xi f'); \quad \frac{\partial c_1}{\partial y} = \frac{1}{x^2} f'; \quad \frac{\partial^2 c_1}{\partial y^2} = \frac{1}{x^3} f''. \quad (11)$$

Подставляя в (3), (6) и (11), получим для $f(\xi)$ следующее уравнение

$$f'' + \frac{Q}{\alpha D} u f = 0. \quad (12)$$

Так как $u(\xi)$ — функция монотонная, то можно произвести следующую замену переменных

$$f(\xi) = \varphi\{u(\xi)\}. \quad (13)$$

Тогда $f' = u' \varphi'_u$; $f'' = u'^2 \varphi''_{uu} + \varphi'_u u''$. После подстановки этих величин в (12) получим

$$\varphi'' + \frac{u''}{u'^2} \varphi' + \frac{Q}{\alpha D} \frac{u}{u'^2} \varphi = 0, \quad (14)$$

где φ — функция только u [u — определяется согласно (7)].

Определяя из (8)

$$\frac{u''}{u'^2} = -\frac{3}{2} \frac{1+u}{(u-1)(u+2)}; \quad \frac{u}{u'^2} = -\frac{3}{2} \frac{\nu\alpha}{Q} \frac{u}{(u-1)^2(u+2)}$$

подставляя в (14), получим

$$\varphi'' + \frac{3}{2} \frac{u+1}{(u-1)(u+2)} \varphi' - \frac{3}{2} \operatorname{Pr} \frac{u}{(u-1)^2(u+2)} \varphi = 0, \quad (15)$$

где $\operatorname{Pr} = \nu/D$ — диффузионное число Прандтля.

Полученное уравнение (15) представляет собой уравнение клас Фукса. Для этих уравнений все особые точки являются регулярными особыми точками.

При помощи подстановки

$$t = -\frac{1}{3}(u-1)$$

уравнение (15) приводится к виду уравнения Гаусса

$$\varphi'' + \left(\frac{1}{t} + \frac{1}{2} \frac{1}{t-1}\right) \varphi' + \text{Pr} \left(-\frac{1}{t^2} + \frac{2}{t} - \frac{2}{t-1}\right) \varphi = 0 \quad (16)$$

(штрихи обозначают производные по t). Особыми точками (17) являются точки: $t = 0$; $t = 1$; $t = \infty$.

Корни определяющих уравнений имеют следующие значения:

$$\begin{aligned} \alpha_1 &= \text{Pr}; \alpha_2 = -\text{Pr} \text{ для } t = 0; \beta_1 = 0; \beta_2 = \frac{1}{2} \text{ для } t = 1; \\ \gamma_1 &= \frac{1}{4}(1 + \sqrt{1 + 24 \text{Pr}^2}); \gamma_2 = \frac{1}{4}(1 - \sqrt{1 + 24 \text{Pr}^2}) \text{ для } t = \infty. \end{aligned}$$

Подстановкой

$$\varphi(t) = t^{\sqrt{\text{Pr}}} v_1(t) \quad (18)$$

уравнение (17) приводится к гипергеометрическому уравнению

$$v_1'' + \frac{-(2\sqrt{\text{Pr}} + 1) + (1 + 2\sqrt{\text{Pr}} + 1/2)t}{t(t-1)} v_1' + \frac{-2\text{Pr} + 1/2\sqrt{\text{Pr}}}{t(t-1)} v_1 = 0. \quad (19)$$

Решение этого уравнения можно представить в виде гипергеометрической функции $F(\alpha', \beta', \gamma'; t)$ причем, так как

$$\alpha' = \alpha_1 + \beta_1 + \gamma_1; \beta' = \alpha_1 + \beta_1 + \gamma_2; \gamma' = \alpha_1 - \alpha_2 + 1,$$

то

$$\begin{aligned} \alpha' &= \frac{1}{4}(1 + \sqrt{1 + 24 \text{Pr}^2}) + \sqrt{\text{Pr}}; \\ \beta' &= \frac{1}{4}(1 - \sqrt{1 + 24 \text{Pr}^2}) + \sqrt{\text{Pr}}; \gamma' = 2\sqrt{\text{Pr}} + 1. \end{aligned} \quad (20)$$

Используя (20), запишем (19) в следующем виде:

$$v_1'' + \frac{-\gamma' + (1 + \alpha' + \beta')t}{t(t-1)} v_1' + \frac{\alpha'\beta'}{t(t-1)} v_1 = 0. \quad (21)$$

Так как $t = -1/3(u-1)$ и $0 \leq u < 1$, то $0 < t \leq 1/3$, т. е. решение нужно рассматривать в окрестности особой точки $t = 0$.

Общее решение (21) теперь можно записать так:

$$v_1(t) = M F(\alpha', \beta', \gamma'; t) + N t^{1-\gamma'} F(\alpha' + 1 - \gamma', \beta' + 1 - \gamma', 2 - \gamma'; t). \quad (22)$$

При помощи граничных условий (9) находим

$$M = \frac{3\sqrt{\text{Pr}} c_{01}}{F(\alpha', \beta', \gamma'; 1/3)}; N = 0. \quad (23)$$

Производя последовательную подстановку величин (23), (18), (16), (1), в (10), получим

$$c_1(x, y) = \frac{3\sqrt{\text{Pr}} c_{01}}{F(\alpha', \beta', \gamma'; 1/3)} \frac{t^{\sqrt{\text{Pr}}}}{x} F(\alpha', \beta', \gamma'; t). \quad (24)$$

Полученное решение удовлетворяет исходному уравнению (3) и граничным условиям (9). Действительно,

$$\xi = 0, u(0) = 0, t = 1/3, c_1 = \frac{c_{01}}{x} \text{ при } y = 0;$$

$$\xi = \infty, u(\infty) = 1, t = 0, c_1 = 0 \text{ при } y = \infty.$$

Выше (24) в таком виде:

$$c_1(x, y) = \frac{1}{x} t^{V_{Pr}} v_1(t); \quad (25)$$

$$v_1(t) = \frac{3^{V_{Pr}} c_{01}}{F(\alpha_1, \beta_1, \gamma_1; 1/3)} F(\alpha_1, \beta_1, \gamma_1; t), \quad (26)$$

где $\alpha_1, \beta_1, \gamma_1$ определяются по формулам (20).

Рассуждая аналогичным образом, можно полагать, что частными решениями (3) при граничных условиях

$$c_k = \frac{c_{0k}}{x^k} \text{ при } y = 0; c_k = 0 \text{ при } y = \infty \quad (27)$$

$$(k = 2, 3, \dots, n)$$

являются следующие функции:

$$c_k(x, y) = \frac{1}{x^k} t^{V_{kPr}} v_k(t); \quad \left(v_k(t) = \frac{3^{V_{kPr}} c_{0k}}{F(\alpha_k, \beta_k, \gamma_k; 1/3)} F(\alpha_k, \beta_k, \gamma_k; t) \right) \quad (28)$$

$$(k = 2, 3, \dots, n),$$

где

$$\alpha_k = \frac{1}{4} (1 + \sqrt{1 + 24k Pr^2}) + \sqrt{k Pr};$$

$$\beta_k = \frac{1}{4} (1 - \sqrt{1 + 24k Pr^2}) + \sqrt{k Pr}; \quad \gamma_k = 2\sqrt{k Pr} + 1. \quad (29)$$

Так как уравнение (3) совместно с (6) — линейное, то общим решением (3) является сумма его частных решений, т. е.

$$c(x, y) = \sum_{k=1}^n \frac{1}{x^k} t^{V_{kPr}} v_k(t). \quad (30)$$

Таким образом, если

$$c_0(x) = \sum_{k=1}^n \frac{c_{0k}}{x^k} \quad (c_{0k} = \text{const}; k > 0, \text{ целое}; x \neq 0),$$

то (30) является общим решением (3).

Переменная t , входящая в (30), может быть записана в такой простой форме

$$t = -\frac{1}{3} (u - 1) = \frac{1}{\text{ch}^2 \left\{ \ln(\sqrt{2} + \sqrt{3}) + \xi \sqrt{\frac{R}{2\alpha}} \right\}}. \quad (31)$$

Так как толщина диффузионного пограничного слоя мала, выражение (30) можно упростить. Для этого воспользуемся известными

формулами

$$F(\alpha, \beta, \gamma; t) = \frac{\Gamma(\gamma)}{\Gamma(\alpha)\Gamma(\beta)} \sum_n \frac{\Gamma(\alpha+n)\Gamma(\beta+n)}{\Gamma(\gamma+n)} \frac{t^n}{n!};$$

$$F_{(\alpha, \beta, \gamma; t)}^{(n)} = \frac{\alpha(\alpha+1) \dots (\alpha+n-1) \beta(\beta+1) \dots (\beta+n-1)}{\gamma(\gamma+1) \dots (\gamma+n-1)} F(\alpha+n, \beta+n, \gamma+n;$$

Ограничиваясь низшими степенями разложения гипергеометрической функции в (30), получим в первом приближении формулу для распределения концентраций

$$c(x, y) = \sum_{k=1}^n \frac{3^{\sqrt{kPr}} c_{0k}}{x^k} \operatorname{ch}^{-2\sqrt{kPr}} \left\{ \ln(\sqrt{2} + \sqrt{3}) + \frac{y}{x} \sqrt{\frac{R}{2\alpha}} \right\}. \quad (1)$$

Диффузионный поток и толщина диффузионного пограничного слоя

Плотность потока частиц на поверхности OAB стенки диффузора определится по формуле

$$j = D \left(\frac{\partial c}{\partial y} \right)_{y=0}. \quad (2)$$

Дифференцируя (30) и производя довольно громоздкие вычисления получаем

$$j = 0,58 \frac{D \sqrt{RPr}}{x \sqrt{\alpha}} \Phi(Pr), \quad (3)$$

где $\Phi(Pr)$ — довольно сложная функция от числа Прандтля

$$\begin{aligned} \Phi(Pr) = \sum_{k=1}^n \frac{3^{1+\sqrt{kPr}}}{x^k} \frac{c_{0k} \operatorname{ch}^{-2\sqrt{kPr}} 1,146}{F(\alpha_k, \beta_k, \gamma_k; 0,333)} \left\{ \sqrt{k} F(\alpha_k, \beta_k, \gamma_k; 0,333) + \right. \\ \left. + \frac{0,333}{\sqrt{Pr}} \frac{\alpha_k \beta_k}{\gamma_k} F(\alpha_k + 1, \beta_k + 1, \gamma_k + 1; 0,333) \right\}. \quad (4) \end{aligned}$$

Используя приближенное выражение для диффузионного тока, которое дается теорией Нернста [3], можно найти значение для толщины диффузионного пограничного слоя δ . Окончательная формула для δ имеет следующий вид:

$$\delta = 1,72 \frac{x \sqrt{\alpha}}{\Phi(Pr) \sqrt{RPr}}. \quad (5)$$

Таким образом мы получили для δ выражение в виде ряда по степеням x . Формулой (37) имеет смысл пользоваться только в области малых x .

Полученные выражения для $j(x)$ и $\delta(x)$ показывают, что диффузионный ток спадает с увеличением расстояния от стока диффузора, в то время как толщина диффузионного пограничного слоя растет. Заметим также, что δ обратно пропорциональна корню квадратному из скорости потенциального движения жидкости в диффузоре. Эти факты являются следствием общей теории диффузионного пограничного слоя.

В элементарной теории Нернста [3] δ считалась характерной величиной, которая могла зависеть, в крайнем случае, от скорости движения жидкости. В работах [1—3] было показано, что само понятие толщины диффузионного слоя является условным, так как эта величина оказалась зависящей от свойств диффундирующих частиц (коэффициент диффузии D) и от свойств жидкости (кинематический коэффициент вязкости ν). Рассмотренная задача подтверждает справедливость этих утверждений.

Выводы

1. Показано, что уравнения конвективной диффузии для диффузора могут быть решены в замкнутой форме, если выбраны специальные граничные условия для концентраций на поверхности реакции.

2. Установлены формулы для диффузионного потока и толщины диффузионного пограничного слоя в диффузоре.

Харьковский государственный
университет им. А. М. Горького

Поступила
30.X.1956

ЛИТЕРАТУРА

1. Г. Левич, Журн. физ. химии, **18**, 335, 1944.
2. Г. Левич, Журн. физ. химии, **22**, 575, 1948.
3. Г. Левич, Физико-химическая гидродинамика, Изд-во АН СССР, Москва, 1952.
4. И. Шестопалов, Изв. АН СССР, ОТН, **8**, 3, 1956.
5. K. Pohlhausen, ZAMM, **1**, 252, 1921.

THE BOUNDARY DIFFUSION LAYER IN A DIFFUSER

V. P. Shestopalov (Kharkov)

Summary

The study is devoted to an examination of convective diffusion when the reaction surface is a wall of a diffuser; i. e. the concentration distribution in a boundary diffusion layer along one of the walls of a diffuser has been examined at steady state longitudinal flow of a liquid between two plane walls inclined to each other at an angle.

It has been shown that the convective diffusion equation for the diffuser may be solved in the closed form, provided special boundary conditions are selected for the concentration at the reaction surface.

Formulas have been derived for the diffusional flow and the thickness of the boundary diffusion layer in the diffuser. The flow and thickness obtained showed that there is a drop in the diffusion current with increase in the distance to the outlet of the diffuser, whereas the thickness of the layer increases.

КОНВЕКТИВНАЯ ДИФфуЗИЯ В ДВОЙНОЙ ЖИДКОЙ СИСТЕМЕ
В КРИТИЧЕСКОЙ ОБЛАСТИ

Ю. Б. Иванов и В. Г. Левич

Еще Гиббсом [1] было установлено, что движущей силой диффузионного процесса, т. е. величиной, определяющей значение потока веществ является градиент парциального (химического) потенциала.

Выяснение правильности этого утверждения было тем более существенным, что согласно обычно принятой трактовке диффузионных явлений движущей силой является градиент концентрации, а не градиент парциального потенциала. Первый из них не претерпевает каких-либо изменений в критической точке, так что никаких особенностей диффузии критической области концентраций обнаруживаться не должно.

Обращение коэффициента диффузии в нуль в критической точке в жидкой двicomпонентной системе было впервые обнаружено И. Р. Кричевским и его сотрудниками [2] и подробно исследовано в той же лаборатории Ю. В. Цеханской [3]. В последней работе изучалась диффузия в растворах воды — триэтиламина. Наблюдения в тонких капиллярах полностью подтвердили предсказания теории. Прекращение диффузии в критической области должно существенно влиять на скорость гетерогенных реакций, в которых участвует диффундирующее вещество.

В цитированной работе Ю. В. Цеханской экспериментально изучалось растворение диска из прессованной терефталевой (парафталевой) кислоты, происходящее в результате ее взаимодействия с триэтиламином с образованием растворенной в воде соли (сама терефталевая кислота в воде нерастворима).

Скорость растворения в этих условиях определялась потоком триэтиламина с поверхности вращающегося диска. Скорость вращения диска составляла 10,6 и 8,4 об/с. Диаметр диска из терефталевой кислоты составлял 0,81 см, так что числа Рейнольдса были $2 \cdot 10^4$ и 10^4 соответственно.

Результаты измерений скорости растворения вращающегося диска терефталевой кислоты для $Re = 2 \cdot 10^4$ при температуре 290°K приведены на рис. 1, на котором кривая 1 представляет измеренные, прямая 2 — рассчитанные по формуле значения скоростей для диффузионного потока на вращающийся диск в условиях конвективной диффузии, введенной одним из нас [4]. На этом рисунке приведены значения плотности потока триэтиламина (равные измеренным значениям скорости растворения терефталевой кислоты) в зависимости от концентрации триэтиламина.

Концентрация 246 мг/см^3 триэтиламина отвечает критической в растворе вода — триэтиламин.

Мы видим, что в докритической области скорость растворения весьма точно совпадает с рассчитанной. По достижении критической области пропорциональность между потоком триэтиламина и его концентрацией нарушается. Поток оказывается весьма слабо зависящим от объемной концентрации триэтиламина. Совершенно очевидно, что в критической области упомянутая выше теория [4] конвективной диффузии и, в частности, соответствующая формула, как видно из рис. 1, не применима.

Для вывода формулы для потока вещества, справедливой в критической и закритической области концентраций, необходимо учесть следующие факторы: 1) зависимость коэффициента диффузии от концентрации диффундирующего вещества и, следовательно, от координаты y , отсчитываемой от поверхности диска; 2) зависимость вязкости раствора

концентрации диффундирующего вещества, которая также может играть существенную роль.

Рассмотрим качественно картину изменения концентрации и других величин в зависимости от расстояния до поверхности вращающегося диска. Предположим, что концентрация триэтиламина в растворе $c_0 > c_k$, где c_k — критическая концентрация, и на поверхности диска $c=0$ (реакция триэтиламин + терефталевая кислота \rightarrow растворимая соль и удаление образовавшейся соли являются быстрыми процессами). В области концентраций $c > c_k$ коэффициент диффузии весьма мал и конвективный перенос вещества преобладает над диффузионным. Однако конвективный перенос не может преобладать над диффузионным всюду, так как это отвечало бы

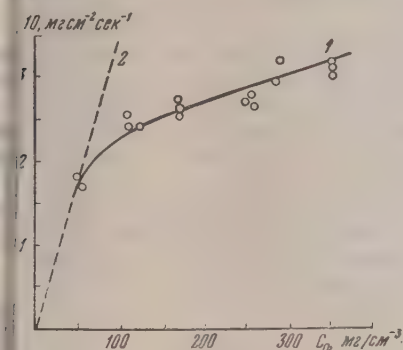


Рис. 1

Рис. 1. Скорость растворения терефталевой кислоты в растворах вода — триэтиламин при 17°C : 1 — экспериментальные данные; 2 — рассчитано по формуле В. Г. Левича $j = 0,62 D_0^{1/2} \omega^{1/2} c_0$

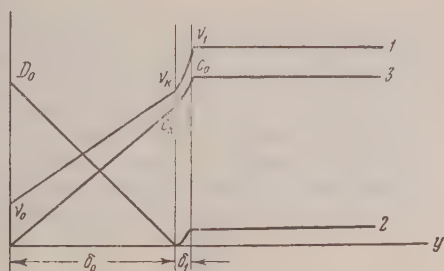


Рис. 2

Рис. 2. Схематический вид функции: 1 — $\nu(y)$; 2 — $D(y)$ и 3 — $c(y)$

стоянству концентрации. Это означает, что в некотором интервале расстояний концентрация падает от значения c_0 до c_k (рис. 2). Ширина этого интервала δ_1 будет оценена ниже. В интервале δ_1 коэффициент диффузии D падает от значения D_1 почти до нуля, вязкость — от ν_1 до ν_k . Конвективный перенос обеспечивает прохождение вещества через поверхность $c = c_k$.

Дальнейшее изменение концентрации от значения c_k до $c = 0$ происходит в области δ_0 в результате конвективной диффузии: оно совершается так близко к поверхности диска, что значение скорости ν движения жидкости здесь существенно ниже, чем вдали от диска. В области δ_0 коэффициент диффузии возрастает до значения D_0 , отвечающего весьма малой концентрации триэтиламина в воде, вязкость падает до величины ν_0 . Области δ_1 и δ_0 , в которых происходит изменение концентрации, представляют области диффузионного сопротивления. Мы в дальнейшем будем пренебрегать диффузионным сопротивлением в области δ_1 и считать, что все диффузионное сопротивление сосредоточено в области δ_0 . Действительно, толщина области δ_1 может быть оценена по формуле $j = D(c_0 - c_k)/\delta_1$; поскольку в этой области коэффициент диффузии изменяется сравнительно слабо. Значение δ_0 существенно больше, чем δ_1 . Это означает, что главное диффузионное сопротивление сосредоточено именно в слое δ_0 (движущие силы в обеих областях имеют один порядок величины).

Точное решение гидродинамической задачи с учетом зависимости вязкости от концентрации и уравнения конвективной диффузии с переменным коэффициентом диффузии связано с непреодолимыми математическими трудностями. Ввиду этого была произведена следующая схематизация проблемы.

1. Считается, что в области δ_0 изменение концентрации от $c = 1$ до $c = 0$ происходит по некоторому закону, который в грубом приближении можно аппроксимировать линейным. Эта аппроксимация недостаточна для нахождения потока. Однако она считается достаточно хорошей для упрощения вида $D(c)$ и $v(c)$. Именно, если c изменяется по линейному закону, а зависимости $D(c)$ и $v(c)$ по данным Ю. В. Цеханской также близки к линейным, то мы будем считать, что в пределах $0 \leq \delta \leq \delta_0$ имеют место приближенные равенства

$$D = D_0(1 - \frac{y}{\delta}), \quad (1)$$

$$v = v_0 + \frac{v_K - v_0}{\delta} y = v_0 + \alpha y \quad (2)$$

(вместо δ_0 будем всюду писать просто δ), где δ подлежит определению в дальнейшем, а D_0 , v_0 и v_K определены из измерений Ю. В. Цеханской.

2. Принимается, что область $\delta < y < \delta + \delta_1$ является весьма узкой и не влияет на распределение скоростей.

3. Все изменение концентрации происходит на расстояниях от диска малых по сравнению с толщиной гидродинамического пограничного слоя.

Рассмотрим прежде всего распределение скоростей вблизи диска. В области $y < \delta$ уравнения гидродинамики имеют вид:

$$F^2 - G^2 + HF' = F'' + \frac{\alpha}{V\omega v_0} F' + \frac{\alpha}{V\omega v_0} F''\xi; \quad (3)$$

$$2FG + G'H = G'' + \frac{\alpha}{V\omega v_0} G' + \frac{\alpha}{V\omega v_0} G''\xi; \quad (4)$$

$$H' + 2F = 0. \quad (5)$$

Здесь использованы обозначения Кармана:

$$v_\varphi = r\omega G(\xi); \quad v_z = \sqrt{\omega v_0} H(\xi); \quad v_r = r\omega F(\xi); \quad \xi = \sqrt{\omega/v_0} y.$$

Поскольку нас интересует распределение скоростей вблизи диска, решение уравнений (3) — (5), удовлетворяющее граничным условиям на поверхности диска

$$\begin{aligned} F = H = 0, \quad G = 1 \quad \text{при} \quad \xi = 0, \\ F = G = 0 \quad \xi \rightarrow \infty, \end{aligned}$$

будем искать в виде

$$F = a\xi + b\xi^2 + c\xi^3; \quad G = 1 + d\xi + e\xi^2 + f\xi^3; \quad H = g\xi^2 + h\xi^3.$$

Подставляя эти разложения в систему уравнений (3) — (5), находим

$$F = a\xi - \frac{1}{2} (1 + \gamma a) \xi^2 - \frac{1}{3} [d - \gamma(1 + \gamma a)] \xi^3; \quad (6)$$

$$G = 1 + d\xi - \frac{1}{2} \gamma d \xi^2 + \frac{1}{3} [a + \gamma^2 d] \xi^3; \quad (7)$$

$$H = -a\xi^2 + \frac{1}{3} (1 + \gamma a) \xi^3, \quad (8)$$

где обозначено

$$\gamma = \frac{\alpha}{V\omega v_0} = \frac{v_K - v_0}{\delta V\omega v_0}. \quad (9)$$

изложения (6) — (8) следует сомкнуть на некотором (безразмерном) оянии

$$\xi_{\delta} = \delta \sqrt{\frac{\omega}{\nu_0}} \quad (10)$$

поверхности диска с аналогичными разложениями для жидкости с вязкостью ν_1 . При этом мы допускаем погрешность, связанную с тем, что пренебрегаем толщиной δ_1 .

Предполагая, что распределение скоростей при $\xi > \xi_{\delta}$ имеет обычный вид (см. [4], § 11), получаем из условий смякания три условия для деления трех неизвестных величин, a , d и δ . Эти величины могут быть выражены через ν_0 , ν_1 , ω , известные из измерений Ю. В. Цехан-ского. В результате трудоемких вычислений для триэтиламина при 290°K получены следующие значения величин (таблица)

c_* , мг/см ³	100	200	300	400
$\sqrt{\frac{\nu_0}{\nu_1}}$	0,68	0,57	0,49	0,47
ξ_{δ}	0,17	0,28	0,34	0,35
a	0,39	0,34	0,31	0,30

Таким образом $\delta \sim \sqrt{\nu_0/\omega}$ и имеют место неравенства: $\delta < \delta^*$ (δ^* — толщина гидродинамического пограничного слоя) $\delta < \delta^{**} \sim \left(\frac{D_0}{\nu_0}\right)^{1/3} = \sqrt{\frac{\nu_0}{\omega}}$ — толщина диффузионного пограничного слоя).

Переходя теперь к решению уравнения конвективной диффузии, имеем из (1)

$$v_y \frac{dc}{dy} = \frac{d}{dy} \left[D_0 \left(1 - \frac{y}{\delta} \right) \frac{dc}{dy} \right], \quad (11)$$

$$v_y = -\omega^{1/2} \nu_0^{-1/2} y^2 = -Ky^2.$$

Уравнение (11) интегрируется непосредственно. Повторное интегрирование дает

$$c(y) = a_1 \int_0^y \left(1 - \frac{y}{\delta} \right)^{\left[\frac{K\delta^3}{D_0} - 1 \right]} \exp \left\{ \frac{K\delta^3}{D_0} \left[\frac{y}{\delta} + \frac{1}{2} \left(\frac{y}{\delta} \right)^2 \right] \right\} dy + a_2.$$

Граничные условия:

$$c = 0 \quad \text{при } y = 0; \quad (12)$$

$$c = c_k \quad \text{при } y = \delta; \quad (13)$$

от возможность определить постоянные a_1 и a_2 .

Продолжать интегрирование за пределы плоскости $y = \delta$ не имеет физического смысла, так как в плоскости $y = \delta$ коэффициент диффузии обращается в нуль.

Приведенные выше оценки показывают, что конвекция обеспечивает поддержание постоянства концентрации в плоскости $y = \delta$ (иными словами, медленной стадией процесса является перенос вещества из плоскости $y = \delta$ к $y = 0$; перенос вещества из бесконечности к $y = \delta$ является быстрой стадией процесса).

С учетом граничных условий имеем окончательно

$$c(y) = \frac{c_K \int_0^y \left(1 - \frac{y}{\delta}\right)^{\left(\frac{K\delta^3}{D_0} - 1\right)} \exp \left\{ \frac{K\delta^3}{D_0} \left[\frac{y}{\delta} + \frac{1}{2} \left(\frac{y}{\delta} \right)^2 \right] \right\} dy}{\int_0^{\delta} \left(1 - \frac{y}{\delta}\right)^{\left(\frac{K\delta^3}{D_0} - 1\right)} \exp \left\{ \frac{K\delta^3}{D_0} \left[\frac{y}{\delta} + \frac{1}{2} \left(\frac{y}{\delta} \right)^2 \right] \right\} dy}.$$

Кривая $c(y)$ представлена на рис. 3. Она действительно может в первом приближении аппроксимирована прямой.

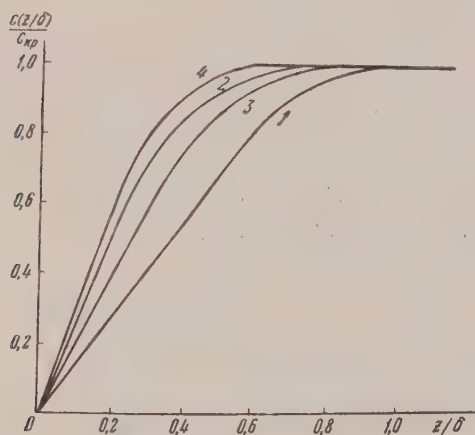


Рис. 3. Графики функций $c(z/\delta)/c_K$ при различных c_0 : 1 — 100; 2 — 200; 3 — 300 и 4 — 400 мг/см³

Поток на поверхность д

$$j = D_0 \left(\frac{\partial c}{\partial y} \right)_{y=0} = \frac{D_0 c_K}{\delta I} = \frac{D_0 c_K}{\xi \delta I} \sqrt{\frac{\omega}{v_0}},$$

где

$$I = \int_0^1 (1-t)^{\beta-1} e^{\beta \left(t + \frac{t^2}{2} \right)} dt$$

и

$$\beta = \frac{K\delta^3}{D_0} = 0,256 \cdot 10^4 a \xi$$

в условиях опыта Ю. Цеханской. Интеграл вычислялся численно. При определенном значении β он сходится быстро. В результате расчета получены следующие значения потока:

$$j = A D_0 c_K \sqrt{\frac{\omega}{v_0}},$$

где число A зависит от концентрации раствора c_0 и имеет значения для концентраций мг/см³ соответственно: 100, $A = 6,06$; 200, $A = 6,61$; 300, $A = 6,74$; 400, $A = 6,96$.

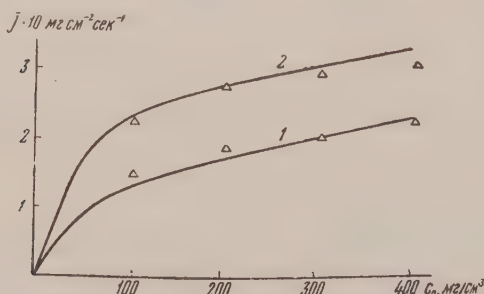


Рис. 4. Зависимость потока j от c_0 . Кривые 1 — для $\omega = 1$ об/мин. и 2 — для $\omega = 2$ об/мин. получены экспериментально, точки — теоретически

Мы видим, что поток вещества оказывается слабо зависящим от концентрации c_0 и пропорциональным $\sqrt{\omega}$.

Зависимость j от c_K , а не от c_0 , связана таким образом с независимым характером переноса вещества до плоскости, в которой $c = c_K$ и от э

ности на поверхность диска. Перенос вещества в плоскость $c = c_K$ обусловлен в основном конвекцией.

На рис. 4 изображена теоретическая и экспериментальная зависимости тока j от концентрации раствора c .

Мы видим, что теоретические значения потока очень хорошо совпадают с экспериментальными. Полученное выражение для плотности потока имеет общий характер для всех жидких растворов и критической области концентрации. Однако числовой коэффициент и его зависимость от c_0 связаны с числом значений постоянных ν_0 , ν_K , ν_1 , и ξ_s и у разных растворов могут иметь различное значение.

Выводы

1. Прекращение диффузии в двойной жидкой системе в критической области обуславливает существенное изменение скорости гетерогенных процессов.

2. Необходим учет зависимости коэффициентов диффузии и вязкости от концентрации растворенного вещества.

3. Основные предпосылки расчета диффузионного потока на вращающемся диске в условиях конвективной диффузии $4/1$ остаются справедливыми и для двойных жидких систем в критической области.

4. Поток вещества в этих условиях на вращающийся диск слабо зависит от c_0 , что связано с независимым характером переноса вещества из бесконечности до плоскости, в которой коэффициент диффузии обращается в нуль, и от этой плоскости — до поверхности диска.

Поступила
3.XI.1956

ЛИТЕРАТУРА

1. В. Гиббс, Термодинамические работы, Гостехтеоретиздат, М.—Л., 1950.
2. Р. Кричевский, Н. Е. Хазанова, Л. Р. Линшиц, ДАН, 99, 113, 1954.
3. О. В. Цеханская, Кандидатская диссертация, Москва 1955; Журн. физ. химии, 30, 2315, 1956.
4. Г. Левич, Физико-химическая гидродинамика, Изд-во АН СССР, М., 1952.

CONVECTIVE DIFFUSION IN A BINARY LIQUID SYSTEM IN THE CRITICAL REGION

Yu. V. Ivanov and V. G. Levich (Moscow)

Summary

In the critical region owing to the fall in the diffusion current to zero the concentration dependence of the diffusion and viscosity coefficients must be taken into account in the correlations of the convective diffusion theory.

On accounting for this dependence it becomes possible to derive a relationship between the flow of matter on the surface of a revolving disc and the concentration at infinity, analogous to that in the ordinary theory where the diffusion and viscosity coefficients are considered constant.

The flow of matter is little dependent on the concentration at infinity, being mainly determined by the critical concentration.

The derived relations are in good agreement with experiments.

ИССЛЕДОВАНИЕ ПРОЦЕССА ОБЕЗВОДОРОЖИВАНИЯ
СКЕЛЕТНОГО НИКЕЛЕВОГО КАТАЛИЗАТОРАII. ИСПОЛЬЗОВАНИЕ МЕТОДОВ ВАКУУМНОГО ОБЕЗВОДОРОЖИВАНИЯ
И ИЗОТОПНОГО РАЗБАВЛЕНИЯ ДЛЯ ОПРЕДЕЛЕНИЯ СОДЕРЖАНИЯ
СОРБИРОВАННОГО ВОДОРОДА*И. Ф. Тупицын и И. П. Твердовский*

Проводя работу по электрохимическому изучению изменений состояния поверхности скелетного никелевого катализатора в процессе удара из него водорода легко гидрируемыми соединениями, мы установили возможность химического взаимодействия свободного от водорода катализатора с водным раствором щелочи [1]. Не исключено, что подобное взаимодействие обезводороженной поверхности никелевого катализатора с водой может иметь место при нагревании его в вакууме в присутствии водяных паров. Это могло бы привести к завышенным значениям при определении содержания сорбированного водорода во влажных образцах катализатора вакуумным методом. В данном исследовании предпринята попытка выяснить, происходит ли дополнительное выделение водорода при вакуумном обезводороживании скелетного никелевого катализатора в атмосфере паров воды. Для измерения количества водорода, сорбирующегося одним граммом скелетного никеля, в работе использован метод изотопного разбавления. Сущность метода заключается в том, что при приготовлении катализатора для выщелачивания алюминия из Ni-Al сплава применялся раствор тяжелой щелочи с известной концентрацией дейтерия. Принималось, что дейтериеводородная смесь, насыщающая катализатор, имеет такой же изотопный состав, как и исходная щелочь. Навеска дейтерированного никеля растворялась в кислой среде, измерялись объем выделившегося газа и его изотопный состав. Отсюда легко можно найти объем водорода, заключенного в 1 г никеля. Важным преимуществом метода изотопного разбавления по сравнению с другими известными методами определения содержания сорбированного водорода заключается в том, что вследствие полного разрушения кристаллической решетки никеля здесь достигается уверенность в полноте извлечения газа. Недостаток метода — некорректный учет эффектов, обусловленных химической неидентичностью обыкновенного и тяжелого водорода.

Экспериментальная часть

На рисунке изображена схема установки, которая использовалась для проведения вакуумных исследований. Установка снабжена одним U-образным манометром для измерения давлений, больших 1 мм рт. ст., и одним укороченным манометром П.-Леод со шкалой, позволяющей измерять давления от $5 \cdot 10^{-4}$ до 1 мм. Перед опытом сосуд 1 с мокрым образцом скелетного никеля соединялся шлифом с остальной установкой и откачивался до полного удаления из системы воздуха. Затем сосуд 1 нагревался до $100-300^\circ\text{C}$. Во время нагревания сосуда 1 его шлиф охлаждался током жидкого воздуха. Водород, выделяющийся из металла, проходил через ловушки 7, охлаждаемые жидким воздухом. После прекращения выделения газа и установления постоянного давления в системе весь водород из сосуда 1 перекачивался в часть системы, служащей для проведения измерений. По давлению выделившегося газа и известному объему системы вычислялся объем водорода при давлении = 1 атм. переносной колбы 12 в сосуд 1 вводился очищенный азот. Затем сосуд 1 с катализатором

ром отсоединялся от установки и взвешивался. В некоторых опытах навеска скелетного никеля после извлечения водорода растворялась в кислоте и анализировалась на содержание никеля.

В другой серии опытов применялась несколько отличная методика. Здесь не произошло никакой конденсации пара в охлажденных ловушках. После прекращения

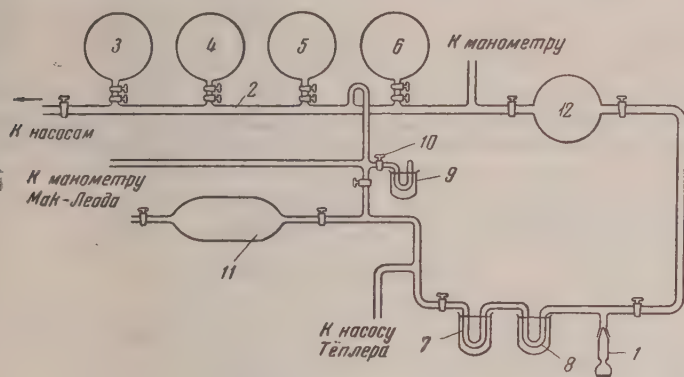


Схема вакуумной установки

нагрева сосуда 1 (которое, как правило, длилось 1 час) печь выключалась, и установка охлаждалась до комнатной температуры в течение 4—6 час.

Измерялось суммарное давление: оно складывается из давления выделившегося водорода и давления паров воды при температуре опыта. Величины давления водяных паров брались из таблиц [2].

Табл. 1 дает представление о результатах этих опытов. Данные, полученные по второму методу и по первому, сходятся достаточно хорошо.

Таблица 1

Данные опытов по нагреванию в вакууме свежеприготовленного мокрого катализатора
(объем системы 1333 мл)

Температура нагрева сосуда, °C	Температура после охлажде- ния установки, °C	Давление паров: H ₂ O после охлаж- дения, мм рт. ст.	Суммарное дав- ление в системе, мм рт. ст.	Давление водо- рода в системе, мм рт. ст.	Вес порошка катализатора, г	Объем H ₂ , при- ходящийся на 1 г порошка, мл/г	Примечание
250	20,1	17,5	127,1	109,6	3,50	54,8	Длительность на- грева 4 часа
300	22,0	19,8	88,0	68,2	1,74	68,4	
300	23,0	21,0	74,1	53,1	1,95	47,6	
300	24,0	24,0	66,0	42,0	1,65	55,1	
300	21,5	19,2	64,3	45,1	1,60	49,3	Длительность на- грева 4 часа
300	—	—	—	67,4	2,14	55,2	
300	—	—	—	49,0	1,76	48,7	
300	—	—	—	61,9	1,77	60,6	
300	—	—	—	112,1	3,62	64,9	
500	—	—	—	78,1	2,55	53,6	Образец непи- рофорен
800	—	—	—	42,1	1,34	55,0	

Вслед за измерениями количества водорода, выделяющегося при нагревании скелетного никеля в атмосфере паров воды, проводились опыты по обезводороживанию в вакууме высушенных образцов катализатора. Проведение процесса вакуумного обезводороживания в аппаратурном и методическом отношении вполне аналогично описанным выше измерениям. Особое внимание уделялось получению совершенно сухих образцов. Для удаления следов влаги из скелетного никеля последний многократно промывался абсолютным этиловым спиртом и безводным бензолом. Образец

катализатора, суспендированный в бензоле, помещался в сосуд 1 и производилась качка бензола. Отдельными опытами установлено, что при комнатной температуре водород из никеля не извлекается. Когда начиналась десорбция больших количеств водорода ($t > 100^\circ\text{C}$), катализатор обнаруживал большую склонность к распылению. Для предотвращения попадания в коммуникации распыляющегося катализатора в сосуд 1 вставлялся легкий тампон из стеклянной ваты.

В табл. 2 приведены результаты вакуумных опытов. Практически полное удаление водорода из катализатора происходит в сравнительно

Таблица 2

Данные о содержании водорода в свежеприготовленных образцах скелетного никелевого катализатора, полученные вакуумным методом

Температура нагрева сосуда, $^\circ\text{C}$	Давление выделявшегося водорода мм рт. ст.	Вес сухого порошка, г	Вес никеля после анализа образца, г	Объем водорода, заключенного в 1 г порошка, мл/г	Примечание
250	26,1	2,22	2,13	20,6	Длительность нагревания 4 часа Образец не пирофорен То же
300	27,1	2,16	2,04	21,9	
300	18,2	1,36	—	23,4	
300	48,0	3,39	3,19	24,8	
300	46,9	3,80	—	22,0	
800	23,5	1,76	—	23,4	
800	30,0	1,91	—	27,6	
800	16,5	1,18	—	24,5	

узком температурном интервале $100\text{--}300^\circ\text{C}$. Первоначально наблюдается быстрое выделение газа, которое постепенно замедляется вплоть до полного прекращения. Порошок никеля, нагретый до 300°C , пирофорен. При повышении температуры нагрева до 800°C пирофорность утрачивается.

При определениях содержания сорбированного водорода методом изотопного разбавления для каждого опыта в отдельности готовилась порция дейтерированного скелетного катализатора.

С этой целью 5 г 50%-ного Ni-Al сплава обрабатывалось в течение 2 час. 75—80 мл 20%-ного раствора едкого натра с известной концентрацией дейтерия. Щелочь во время кипения дважды сменялась. Готовый катализатор переносился в «утку» для гидрирования, отделялся от щелочи, промывался водой и нацело разрушался избытком соляной кислоты (1 : 1), подаваемой через капельную воронку утки. Выделяющийся водород поступал в приемник, где измерялся его объем; затем он высушивался и, наконец, сжигался над окисью меди. Вода конденсировалась в охлаждаемом кварцевом сосуде и анализировалась на содержание дейтерия капельным методом [3].

Таблица 3

Данные о содержании сорбированного водорода в свежеприготовленных образцах дейтерированного катализатора

Концентрация дейтерия в исход. растворе щелочи, вес. %	Объем смеси $\text{H}_2 + \text{D}_2$ после растворения никеля, мл	Концентрация дейтерия в воде после сжигания смеси $\text{H}_2 + \text{D}_2$, вес. %	Вес никеля, содерж. в исходн. образце катализатора, г	Объем газа заключен. в 1 г, мл/г	Примечание
48,3	1477	2,24	2,492	26,2	Образец подвергался длит. обраб. H_2O То же
43,6	1435	1,70	2,324	24,1	
47,3	1605	1,75	2,613	22,8	
41,1	1358	1,39	2,226	20,7	
18,2	1310	0,61	2,331	18,7	
18,2	1075	0,55	1,850	17,8	
87,3	1390	3,64	2,242	25,8	
90,2	1320	2,75	2,091	19,2	

полученные опытные данные приведены в табл. 3. В двух опытах (см. примечание) дейтерированный катализатор после приготовления дополнительно промывался большим количеством воды, а затем встряхивался в бой на «трясучке» в течение 20 мин. в атмосфере азота. Как показал анализ, замещение дейтерия, заключенного в скелетном катализаторе, на водород жидкой воды отсутствует.

Найденные значения $q_{H_2} \approx 18-26$ мл/г не зависят от концентрации дейтерия в газе, насыщающем катализатор (18 или 48 и 90%).

Для оценки изотопного эффекта представлялось целесообразным провести изучение изотопного состава тяжелого едкого натра до и после выщелачивания сплава Ni-Al. Однако изменений содержания дейтерия в растворе NaOD нам обнаружить не удалось, по-видимому, из-за большого избытка тяжелой воды против стехиометрического количества.

Обсуждение результатов

Из полученных результатов видно, что среди различных факторов, могущих служить источником ошибок в определениях величины q_{H_2} вакуумным методом, наиболее значительным по своему влиянию безусловно является действие влаги на поверхность обезводороженного никеля. Значение этого фактора в процессе вакуумного обезводороживания настолько велико, что при условии достаточной влажности большая часть извлеченного водорода — в наших опытах 25—40 мл H_2 /г — может быть обязана своим происхождением протеканию химической реакции — $Ni \rightarrow Ni(OH)_2$. В этой связи мы укажем на измерения величины q_{H_2} , выполненные Буговым вакуумным методом. Более внимательное рассмотрение условий проведения обезводороживания у Бугова показывает, что фактически опыты, проведенные в этом исследовании проводились в присутствии водяных паров и при собирании выделяющегося водорода система соединялась с резервуаром, заполненным водой; кратковременная откачка сосуда с катализатором перед опытом не могла обеспечить полной осушки влажного образца (пр.). Следовательно, результат Бугова ($q_{H_2} \approx 140$ мл H_2 /г) нуждается в существенном исправлении.

Сопоставлением данных, найденных двумя взаимно дополняющими и взаимно корректирующими друг друга методами — вакуумным и изотопным — установлено, что содержание водорода в катализаторе составляет в среднем 20—23 мл H_2 на 1 г сухого порошка*.

Наши опытные данные о величине q_{H_2} находятся в качественном соответствии с соответствующими данными, полученными по методу Мозинго и С. Правда, известные из литературы значения q_{H_2} , определенные методом Мозинго, относятся к таким образцам скелетного катализатора, которые получались путем обработки сплава щелочью в течение 6—8 час. при температурах 50—80° С, между тем как образцы, используемые в нашем исследовании, выщелачивались в течение двух часов при 105° С. Однако увеличение температуры выщелачивания приводит не к увеличению, а резкому уменьшению содержания сорбированного водорода в образце (см. [6]). Что же касается увеличения длительности нагревания катализатора, то оно не должно ощутимо сказываться на величине q_{H_2} ; известно, что после окончания процесса выщелачивания заметное выделение водорода прекращается.

Обезводороженные в вакууме при 200—300° С образцы скелетного никелевого катализатора весьма пирофорны. Это заставляет думать, что

* Необходимо отметить, что при помощи кетона Михлера, антрахинона и некоторых других веществ из скелетного никелевого катализатора удается извлечь максимум 22,4 мл H_2 /г [5]. Однако авторы работы [5] считают, что при этом снимается лишь поверхностно-адсорбированный водород, а так называемый «структурный» водород остается в катализаторе.

пирофорность скелетного никеля обусловлена не присутствием и больших масс сорбированного водорода (см. [7, 8]), а является свойством поверхности мелкодисперсного никеля.

Выводы

1. Для определения количества водорода, содержащегося в скелетном никелевом катализаторе, разработан метод изотопного разбавления. Сопоставлением данных, полученных изотопным и вакуумным методами, установлено, что содержание водорода в исследуемом катализаторе составляет в среднем 20—23 мл H_2/g сухого порошка.

2. Найдено, что влажные образцы скелетного никеля при нагревании в вакууме до температур, превышающих $100^\circ C$, химически реагируют с парами воды; при этом могут выделяться значительные количества водорода.

Институт прикладной химии
Ленинград

Поступило
3.XI.1953

ЛИТЕРАТУРА

1. И. Ф. Тупицын и И. П. Твердовский, Журн. физ. химии, 32, 349.
2. Справочник химика, т. 1, Госхимиздат, 1952, стр. 596.
3. А. И. Шатенштейн, Я. М. Варшавский, Е. А. Израилевич, Н. М. Дыхно, Е. Н. Звягинцева, Е. А. Яковлева, В. Р. Кваченко, Изотопный анализ тяжелой воды, Изд-во АН СССР, Москва, 1953.
4. J. Bougault, E. Cattelain, Bull. soc. chim. France (5), 5, 1699.
5. Л. Х. Фрейдлих, Н. И. Зиминова, ДАН, 74, 955, 1950.
6. R. Mozingo, Journ. Amer. Chem. Soc., 65, 1013, 1943.
7. Г. Г. Уразов, Л. М. Рефели, С. Л. Лельчук, ДАН, 55, 745, 1947.
8. Н. Г. Севастьянов, Рентгеновское исследование катализаторов, Сб. в сборнике «Рентгеновские методы исследования в химической промышленности», Госхимиздат, 1953, стр. 85.

AN INVESTIGATION INTO THE PROCESS OF DEHYDROGENATION OF A SKELETON NICKEL CATALYST

II. THE USE OF VACUUM DEHYDROGENATION AND ISOTOPIC DILUTION METHOD TO DETERMINE THE QUANTITY OF SORBED HYDROGEN

I. F. Tupitsyn and I. P. Tverdovskii (Leningrad)

Summary

A method of isotopic dilution has been developed for determining the quantity of hydrogen contained in a skeleton nickel catalyst. By a comparison of the data obtained by the vacuum and isotopic methods it was established that the catalyst investigated contained an average of 20—23 ml H_2 per gram of dry powder.

It was found that moist specimens of skeleton nickel may react with water vapor when heated in vacuum to temperatures above $100^\circ C$ and may thus evolve considerable amounts of hydrogen.

ИССЛЕДОВАНИЕ ЯВЛЕНИЯ ГИДРАТАЦИИ МЕТИЛОВОГО СПИРТА МЕТОДОМ КОМБИНАЦИОННОГО РАССЕЯНИЯ СВЕТА

Г. С. Каретников

Общая теория растворов имеет фундаментальное значение для физико-химического анализа. Трудности, встречающиеся в настоящее время при изучении теории растворов с целью определения его термодинамических свойств путем вычисления, упираются в установление структуры раствора, построение определенной модели. Построение модели раствора дает возможность вычислять термодинамический потенциал более рациональным и физически обоснованным способом.

Еще в 1921 г. А. А. Лебедев на примере стеклообразных веществ [1, 2], а затем в 1929 г. Стюарт [3, 4] экспериментально, рентгенографическим методом, доказали, что жидкости сохраняют частично кристаллическое строение. Они показали, что молекулы жидкости расположены в порядке, близком к кристаллическому, но не тождественном ему. В жидкости имеется лишь ближний порядок, который был назван квазикристаллическим.

В. И. Данилов [5] наблюдал аналогичную картину у растворов. Если раньше исследование структуры растворов сводилось к определению химических соединений между растворителем и растворенным веществом, то теперь оно сводится к определению количества молекул растворителя, окружающих молекулу растворенного вещества, т. е. числа молекул, входящих в сольватную оболочку [6].

В настоящей работе предлагается применить к исследованию структуры раствора метод комбинационного рассеяния.

Спектры комбинационного рассеяния дают возможность судить о колебательном внутримолекулярном движении. Оно зависит от прочности химической связи в молекуле, от масс атомов, принимающих участие в колебательном движении и от расстояния между колеблющимися атомами. Взаимодействие между молекулами растворителя и молекулами растворенного вещества складывается из ориентационного, индукционного и дисперсионного эффектов [7, 8].

Были попытки создать теорию межмолекулярного взаимодействия для количественного расчета энергии [7, 8], но пока эти теории имеют большие недостатки [9] и носят лишь качественный характер.

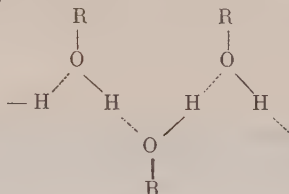
Силы межмолекулярного взаимодействия могут сами проявляться в спектре комбинационного рассеяния, но так как энергия этого взаимодействия очень мала (1,5 ккал/моль), то линии, соответствующие колебаниям по межмолекулярным связям, лежат близко к сильно переэкспонированной возбуждающей линии классического рассеяния, и экспериментальное их исследование крайне трудно.

В целом ряде работ по исследованию спектров комбинационного рассеяния жидкостей указывается на изменение волновых чисел некоторых линий относительно спектра газообразного состояния [10—12], что связано, очевидно, с влиянием межмолекулярного взаимодействия одинаковых молекул на спектр комбинационного рассеяния.

При сравнении спектра комбинационного рассеяния раствора со спектром растворителя обнаруживается в целом ряде случаев изменение, аналогичное описанному выше в расположении спектральных линий, принадлежащих растворителю [10, 13—15]. Почти во всех приведенных примерах внимание авторов было обращено на изучение спектроскопического проявления водородной связи. Оно сказывается в сильном расширении линии, соответствующей валентному колебанию по связи О — Н, превращении ее в широкую полосу (до 200 см^{-1}) и в смещении этой полосы в сторону меньших значений волновых чисел по отношению к линии невозмущенной молекулы [16, 17].

Вполне понятно, что водородная связь оказывает сильное влияние на колебания молекулы. Во-первых, ее энергия во много раз больше энергии межмолекулярного

взаимодействия и, во-вторых, ее воздействие на колебания по связи $O-H$ двустороннее. Схематически можно представить водородную связь между молекулами спирта следующим образом:



Каждая группа $O-H$ находится под влиянием двух водородных связей. Однако наблюдения здесь осложняются тем, что сама полоса $O-H$, колебания представил большой набор отдельных линий [18], и наблюдения за смещением максимума край затруднено.

Кришнамурти [49] при изучении спектра комбинационного рассеяния водного раствора метилового спирта обратил внимание на изменение в положении спектральной линии, соответствующей валентному колебанию по связи $C-O$. Замеры, проведенные им с большой тщательностью, показали, что волновое число этой линии силось с 1034 см^{-1} у чистого жидкого метилового спирта, до 1018 см^{-1} у его водного раствора. Относительное смещение составило $\sim 1,5\%$.

Короку и Накамура повторили это исследование, обращая главное внимание на спектр H_2O [20], а в последней работе [21] отмечается также изменение волнового числа линии $C-O$ колебания и указывается, что ассоциация молекул метилового спирта дает изменения волнового числа этой линии, что было доказано экспериментом с изменением температуры. Изменение же в спектре раствора авторы объясняют гидратацией молекулы спирта.

Экспериментальная часть

Были изучены спектры комбинационного рассеяния водных растворов метилового спирта в большом диапазоне концентраций, от чистого метилового спирта до растворов 3 моль/л . Метиловый спирт был тщательно обезвожен путем четырехчасового кипячения над CaO и перегонкой. Полученный метиловый спирт имеет т. кип. $64,7^\circ$, n_D^{15} 1,3312, d_4^{20} 0,791. Вода перегонялась дважды над $KMnO_4$. Спектры комбинационного рассеяния снимались на отечественном светосильном трехпризменном спектрографе ИСП-51, с камерой $F=270 \text{ мм}$ и линейной дисперсией при $F=5000 \text{ \AA} - 47 \text{ \AA/мм}$ при $4000 \text{ \AA} - 19 \text{ \AA/мм}$.

В качестве источника света была взята одна ртутно-кварцевая лампа ПРК-2, помещенная в осветитель формы эллипсоида вращения параллельно кювете с исследуемым раствором. Между кюветой и лампой помещался только тепловой фильтр (световой фильтр для общей массы экспериментов не применялся). Возбуждение производилось всеми линиями видимого ртутного спектра. Применялись фотопластинки «изоортохром» 1200 XD, проявление велось 5 мин.

Входная щель спектрографа устанавливалась $0,1 \text{ мм}$ для спектра комбинационного рассеяния и $0,01 \text{ мм}$ для спектра железа, который фотографировался при помощи призмы сравнения. Экспозиция съемки спектра комбинационного рассеяния равнялась 2 часам, а спектра железа — 7 сек.

Для определения точных значений волновых чисел линий комбинационного рассеяния были произведены снимки спектров, приготовленного нами метилового спирта со стеклянными светофильтрами из комплекта спектрографа, выделяющими поочередно линии ртути 4047 и 4358 \AA .

Значения волновых чисел линий во всех измерениях определялись на компараторе путем интерполяции по спектру железа, который фотографировался рядом с каждым спектром комбинационного рассеяния. Для достижения требуемой точности замеры производились по пяти раз для каждого отсчета. По созданному автором настоящей

Таблица 1

Интерпретация колебаний	Значения волновых чисел в см^{-1} линий, возбужденных от		Значения волновых чисел по [23], в см^{-1}
	k ртути	l ртути	
$\nu_{\pi}(C-O)$	1034,0	1034,3	1033
$\delta_{\sigma}(CH_3)$	1462,0	1462,9	1462
$\nu_{\pi}(CH_3)+2\delta(CH_3)$	2834,5	2835,2	2835
$\nu_{\pi}(CH_3)+2\delta(CH_3)$	2942,8	2942,8	2944
$\nu(O-H)$	3380 ± 40	—	3380 ± 100

оты атласу и таблице [22] вычислялись значения волновых чисел всех замеров и бралось среднее из пяти измерений. Кроме того, делался замер и расчет для линии 26 А ртути и учитывалась поправка на линейное смещение спектра железа относительно спектра комбинационного рассеяния.

Значения полученных волновых чисел линий комбинационного рассеяния CH_3OH и известные по литературным данным [23] приводятся в табл. 1. В этой же таблице приводится интерпретация колебаний.

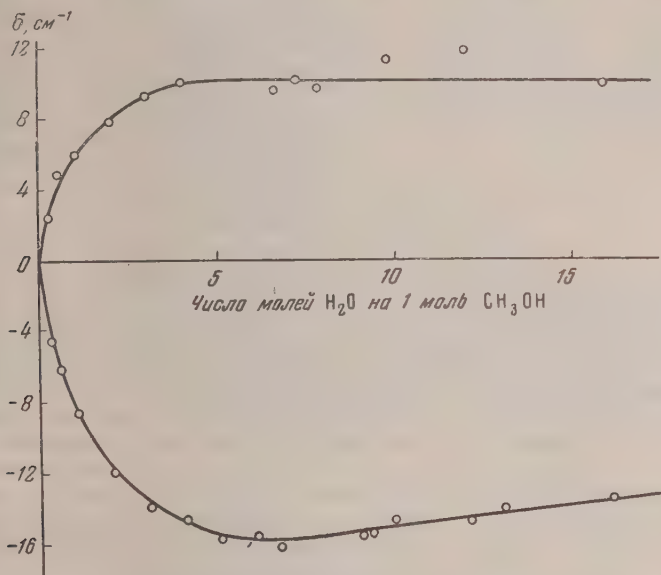


Рис. 1. Зависимость смещения линии комбинационного рассеяния от концентрации воды: 1 — (2942,8 cm^{-1}) от k -линии ртути, 2 — (1034,3 cm^{-1}) от e -линии ртути

Как видно из таблицы, значения волновых чисел хорошо сходятся с значениями, приведенными в литературе. Спектры комбинационного рассеяния растворов метилового спирта в воде снимались без светофильтра (этим достигалось снижение экспозиции, так как любой светофильтр пропускает около 50% световой энергии выделяемой линии). На одном снимке получались спектры, возбужденные и от e - и от k -линий ртути, а вышеуказанные атлас и таблица помогали легко отнести измеряемую линию к определенной возбуждающей линии ртути.

На одну фотопластинку фотографировалось до пяти спектров. В табл. 2 приведены значения волновых чисел линий комбинационного рассеяния водных растворов метилового спирта и величины смещений относительно чистого метилового спирта. Изменения волновых чисел даются на рис. 1.

Каждая полученная спектрограмма фотометрировалась на саморегистрирующем микрофотометре, который был сконструирован и смонтирован автором совместно с Г. Р. Бартини путем незначительного изменения устройства микрофотометра МФ-2 [24]. На рис. 2 даны микрофотограммы спектров чистого метилового спирта и водного раствора ($c = 3,07$ моль/л).

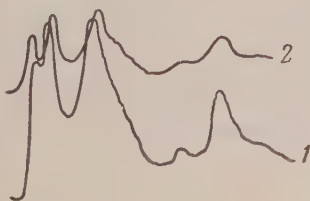


Рис. 2. Участки микрофотограмм спектров: 1 — чистого метилового спирта; 2 — водного раствора CH_3OH ($c = 3,07$ моль/л)

Таблица 2

Число молекул H_2O на 1 моль CH_3OH	ω_1 от ν -линии ртути, см^{-1}	δ_1 , см^{-1}	ω_2 от k -линии ртути, см^{-1}	δ_2 , см^{-1}	Число молекул H_2O на 1 моль CH_3OH	ω_1 от ν -линии ртути, см^{-1}	δ_1 , см^{-1}	ω_2 от k -линии ртути, см^{-1}	δ_2 , см^{-1}
0	1034,3	0	2942,8	0	6,64	1017,9	-16,4	2952,5	9,5
0,25	1029,7	-4,6	2945,1	2,3	7,29	—	—	2953,1	10,1
0,50	1028,2	-6,1	2947,7	4,9	7,94	1018,6	-15,7	2952,6	9,8
1,0	1025,7	-8,6	2948,7	5,9	9,0	1018,5	-15,8	—	—
2,0	1022,4	-11,9	2950,6	7,8	9,22	1018,6	-15,7	—	—
3,0	1020,5	-13,8	2952,2	9,4	9,87	1019,3	-15,0	2954,4	11,6
4,0	1019,6	-14,7	2952,9	10,1	12,0	1019,1	-15,2	2954,8	12,0
5,0	1018,5	-15,8	—	—	13,0	1019,8	-14,5	—	—
6,0	1018,4	-15,9	—	—	16,0	1019,2	-15,1	2953,0	10,2

Обсуждение результатов

Кришнамурти [19] доказал, что удаление молекул спирта друг от друга не ведет к изменению колебаний по связям $\text{C} - \text{O}$ и $\text{C} - \text{H}$.

Наблюдаемое в данной работе изменение в спектре водных растворов метилового спирта не связано, следовательно, с нарушением водородной связи, а является следствием гидратации молекул метилового спирта. Это предположение говорит постепенное, плавное изменение волнового числа $\text{C} - \text{O}$ колебания, достигающее определенного значения. Постепенное увеличение возмущения связи $\text{C} - \text{O}$ с увеличением концентрации воды можно объяснить формированием гидратной оболочки, непосредственно воздействующей на связь $\text{C} - \text{O}$. Причем очевидно, что возмущающее действие каждой последующей молекулы, присоединяющейся к молекуле спирта, меньше действия предыдущей.

Аналогичное описанному смещению наблюдается у линии 2942,8 см^{-1} (рис. 1), но в данном случае с ростом концентрации воды происходит уменьшение волнового числа, а увеличение. Максимальное смещение наблюдается уже при соотношении в растворе 4 моля воды на 1 моль метилового спирта. Это доказывает, что при таком соотношении спирта и воды в растворе прекращается возмущающее действие гидратной оболочки на связь $\text{C} - \text{H}$.

Так как каждая молекула воды может входить в гидратные оболочки спирта, ориентируясь положительным полюсом к связи $\text{C} - \text{O}$, а отрицательным — к связи $\text{C} - \text{H}$ соседней молекулы, общее число молекул воды входящих в гидратную оболочку одной молекулы метилового спирта равно семи.

В заключение выражаю благодарность профессору С. В. Горбачеву за ценные указания по работе.

Выводы

1. Применен метод комбинационного рассеяния для изучения гидратации молекул в растворе.
2. Установлена зависимость $\text{C} - \text{O}$ и $\text{C} - \text{H}$ колебаний CH_3OH от концентрации воды в растворе.
3. Установлено число молекул воды, входящих в гидратную оболочку $\text{C} - \text{O}$ и $\text{C} - \text{H}$ групп молекулы метилового спирта.

ЛИТЕРАТУРА

- А. А. Лебедев, Труды ГОИ, 2, № 10, 1921.
 А. А. Лебедев, Изв. АН СССР, сер. физ., 4, 584, 1940.
 W. Stewart, E. W. Skinner, Phys. Rev., 31, 1, 1929.
 W. Stewart, Phys. Rev., 31, 175, 1929.
 И. Данилов, Рассеяние рентгеновых лучей в жидкостях, Л.—М., 1935.
 К. Семенченко, Ж. неорг. химии, вып. 6, 1131, 1956.
 W. Buchheim, Phys. Zs., 36, 694, 1935.
 В. Волькенштейн, Усп. физ. наук, 18, 153, 1937; Строение и физические свойства молекул, М.—Л., 1955.
 Н. Д. Соколов, Докторская диссертация, 1952.
 С. Ландсберг, Изв. АН СССР, сер. физ., 3, 373, 1938.
 Я. Яковлев, Изв. АН СССР, сер. физ., 9, 194, 1945.
 Герцберг, Колебательные и вращательные спектры многоатомных молекул, ИИЛ, М., 1949.
 С. Ландсберг, ДАН, 18, 549, 1938.
 И. Малышев, ДАН, 20, 675, 1939.
 И. Малышев, Изв. АН СССР, сер. физ., 5, 13, 1941.
 И. Батуев, Журн. физ. химии, 23, 1399, 1940; 24, 381, 1950.
 И. Батуев, Изв. АН СССР, сер. физ., 14, 429, 1950.
 Н. Андреев, Т. Г. Баличева, ДАН, 90, 149, 1953.
 Irishnamurty, Ind. Journ. Phys., 6, 401, 1931.
 Joroku, Nakamura, Tohoku Univ., Science Repts. first ser., 35, 1, 1951.
 Накамура Кобата, Бусэйрон кэнко, 85, 36, 1955.
 С. Каретников, Спектрохимия, практические работы по физ. химии под ред. С. В. Горбачева, Изд-во МХТИ им. Менделеева.
 Кольрауш, Спектры комбинационного рассеяния, ИИЛ, Л.—М., 1952.
 С. Каретников и Г. Р. Бартини, Зав. лаб., 5, 635, 1957.

RAMAN SPECTROSCOPIC STUDY OF THE HYDRATION OF METHYL ALCOHOL

G. S. Karetnikov (Moscow)

Summary

The effect of water on the Raman spectrum of methyl alcohol in aqueous solutions was studied. A change in the spectrum was found, associated, according to the author's belief, with interaction between methyl alcohol and water molecules. The water molecules were observed to affect the C—O and C—H bond vibrations differently. With increase in methyl alcohol concentration the C—O bond is weakened, whereas the C—H bond is strengthened. The change in the spectrum occurs up to a definite limit of concentration.

ДИАГРАММЫ СОСТОЯНИЙ ТЕРМОДИНАМИЧЕСКИХ СИСТЕМ С НЕМАКСИМАЛЬНЫМ РАНГОМ МАТРИЦЫ КОНЦЕНТРАЦИЙ

Л. С. Палатник, А. И. Ландау и В. С. Зорин

При изучении диаграмм равновесия можно использовать основной метод топологии — метод разбиения геометрических фигур на простейшие элементы — симплексы [1]. Такими элементами диаграмм являются гиперконноды [2]. Этот метод может значительно облегчить не только изучение топологии диаграмм, но и аналитическое исследование условий равновесия фаз.

В настоящей работе мы рассмотрим указанным способом диаграммы равновесия систем, в которых возможны состояния с ненулевым детерминантом матрицы концентраций σ . Эти системы имеют сходные свойства с системами, число фаз которых больше числа компонентов: $r > n$, $\kappa > 0$, где κ — наибольшее из чисел $(r - n)$ и 0:

$$\kappa = \max \{r - n, 0\}.$$

Лишь в подобных системах с $\kappa > 0$ или $\sigma > 0$ возможно протекание неинвариантного процесса. В работах [3,4] показано, что в таком процессе число независимо изменяющихся масс m_j фаз при неизменной массе M всей системы равно $\kappa + \sigma$, причем возможная величина κ определяется матричным условием равновесия фаз:

$$\kappa + \sigma \leq 2,$$

и системы с $\kappa + \sigma = 1, 2$ находятся соответственно в моновариантном и неинвариантном состоянии.

Эти результаты были получены на основе аналитического исследования условий равновесия фаз. Теперь мы рассмотрим некоторые вопросы топологии диаграмм равновесия упомянутых систем.

В используемых нами обозначениях состояние системы на диаграмме равновесия описывается следующей матрицей величин:

$$\begin{pmatrix} x_{11} & x_{12} & \dots & x_{1r} & X_1 \\ x_{21} & x_{22} & \dots & x_{2r} & X_2 \\ \dots & \dots & \dots & \dots & \dots \\ x_{n1} & x_{n2} & \dots & x_{nr} & X_n \\ f_1 & f_2 & \dots & f_r & F \\ q_1 & q_2 & \dots & q_r & Q \end{pmatrix},$$

где F и Q — определенные два параметра из числа параметров P, T, S , представляющих собой давление, температуру, объем и энтропию системы, отнесенные к единице массы; f_j и q_j — соответствующие параметры из следующих четырех: p_j, t_j, v_j и s_j — давление, температура, удельный объем и удельная энтропия j -й фазы. X_i — концентрация i -й фазы.

компонента в системе: x_{ij} — концентрация i -го компонента в j -й фазе; r — числа компонентов и фаз системы.

Указанную матрицу без последнего столбца будем называть матрицей состояний системы, а с этим столбцом — расширенной матрицей состояний. При этом матрицу, соответствующую диаграмме с осями давления, температуры и концентраций компонентов (P, T, X_i) , а также ее ранг и дефект обозначим через M, R' и σ' , а матрицу, соответствующую диаграмме на осях V, S, X_i , и ее ранг и дефект — через M'', R'' и σ'' . Частью всех этих матриц является матрица концентраций $M = \|x_{ij}\| (i = 1, 2, \dots, n; j = 1, 2, \dots, r)$ с рангом R и дефектом σ .

Некоторое число r_1 столбцов соответствующей матрицы дают матрицу концентраций или матрицу состояний r_1 фаз системы ($r_1 \leq r$).

Отдельные же столбцы матриц представляют собою векторы состава $B_j = B_j(x_{1j}, x_{2j}, \dots, x_{nj})$ и системы $A = A(X_1, X_2, \dots, X_n)$ или векторы состояний $B'_j = B'_j(x_{1j}, x_{2j}, \dots, x_{nj}, p_j, t_j)$, $A' = A'(X_1, X_2, \dots, X_n, P, T)$, $B'' = B''(x_{1j}, x_{2j}, \dots, x_{nj}, v_j, s_j)$, $A'' = A''(X_1, X_2, \dots, X_n, V, S)$ и др.

Области особенностей диаграмм равновесия.

Гиперконноды систем с немаксимальным рангом матрицы концентраций. Гиперконноду можно определить как множество состояний r -фазной n -компонентной системы с заданными интенсивными параметрами фаз [2]. Отсюда следует, что ее уравнения в случае диаграммы на осях P, T, X_i представляют собою соотношения, которым должны удовлетворять параметры P, T, X_i при заданных векторах состояний фаз B'_j . Такими уравнениями, ввиду равенств:

$$p_j = P, t_j = T \quad (j = 1, 2, 3, \dots, r) \quad (4)$$

получаются условия фиксирования давления и температуры

$$P = P_0, T = T_0 \quad (5)$$

и соотношения, выражающие закон сохранения масс компонентов:

$$\sum_{j=1}^r m_j x_{ij} = M X_i \quad (i=1, 2, \dots, n). \quad (6)$$

Уравнениям (5), ввиду выполнения условий (4) и равенства

$$\sum_{j=1}^r m_j = M, \quad (7)$$

получаются следующие два соотношения:

$$\sum_{j=1}^r m_j p_j = M P, \quad (8)$$

$$\sum_{j=1}^r m_j t_j = M T. \quad (9)$$

Поэтому уравнения гиперконноды можно записать так:

$$\sum_{j=1}^r m_j B'_j = M A'. \quad (10)$$

Это параметрические уравнения симплекса [2] с вершинами B'_j . Равенства (4) и условия немаксимальности ранга только проектируют этот симплекс на некоторую гиперплоскость.

Легко убедиться, что размерность той гиперплоскости, которой принадлежит этот симплекс, равна

$$l = R' - 1, \quad (1)$$

где R' — ранг матрицы состояний \mathcal{M}' [см. матрицу (1) при $F = Q = T$, $f_j = p_j$ и $q_j = t_j$]. Любой определитель этой матрицы, ввиду условий (4) и соотношений:

$$\sum_{i=1}^n x_{ij} = 1 \quad (j = 1, 2, \dots, r) \quad (2)$$

может быть представлен в виде линейной комбинации определителей того же порядка, составленных из элементов матрицы концентраций. Из этого следует равенство рангов:

$$R' = R. \quad (3)$$

Максимально возможные ранги ввиду $r \leq n + 2$ равны

$$R_{\text{макс}} = r - \kappa, \quad (4)$$

$$R'_{\text{макс}} = r, \quad (5)$$

откуда

$$R = r - \kappa - \sigma, \quad (6)$$

$$R' = r - \sigma', \quad (7)$$

и на основании равенства (13) получаем

$$\sigma' = \kappa + \sigma. \quad (8)$$

Таким образом, при числе фаз больше числа компонентов матрица состояний \mathcal{M}' имеет дефект $\sigma' = \kappa$ тождественно во всей области разделения фаз. Дефект матрицы концентраций дополнительно увеличивает дефект матрицы \mathcal{M}' на σ единиц.

Учитывая (9), (17) и (18) получаем размерность гиперконноды равной

$$l = r - 1 - \kappa - \sigma. \quad (9)$$

Размерность же невырожденного симплекса с r вершинами равна $r - 1$. Следовательно, при $\kappa + \sigma > 0$ гиперконноды на диаграмме P, T , представляют собою вырожденные симплексы [5—6] с кратностью вырождения (число вырождающихся размерностей) $\kappa + \sigma$. Такие гиперконноды будем называть вырожденными.

Таким образом наличие у системы моновариантных и невариантных состояний [3, 4] при $\sigma > 0$ или при $\kappa > 0$ приводит к одинаковым особенностям в топологии диаграмм равновесия, к наличию вырожденных гиперконнод.

Множество всех вырожденных гиперконнод r -фазной n -компонентной системы будем называть областью особенностей в данной r -фазной области разделения. Если в данной области разделения нет невырожденных гиперконнод, что имеет место при $\kappa > 0$, а также при тождественных условиях дефекта матрицы концентраций, то в этом случае вся область разделения фаз будет представлять собою область особенностей. В общем случае область особенностей составляет лишь часть области разделения.

Множество гиперконнод данной r -фазной n -компонентной системы образует r -фазную область разделения диаграммы, а множество их границ — границы этой области. При вырождении симплекса его грани

лично совпадают друг с другом. Следовательно, вырождение гиперконнод приводит к соприкосновению границ области разделения, и эта область касания границ является областью особенностей. В случае тождественных условий вырождения гиперконнод некоторая часть границ области разделения на всем своем протяжении совпадает с остальными ее границами, и происходит вырождение всей области разделения фаз (уменьшение ее размерности по сравнению с размерностью всей диаграммы). Примеры областей особенностей диаграмм равновесия трехкомпонентных и четырехкомпонентных систем. Рассмотрим на простых примерах, какое место занимает область особенностей в данной r -фазной области разделения.

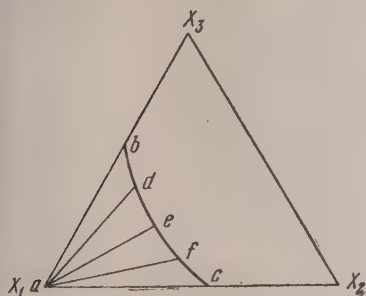


Рис. 1. Изобаротермическое сечение диаграммы равновесия тройной системы с двумя аллотропными фазами

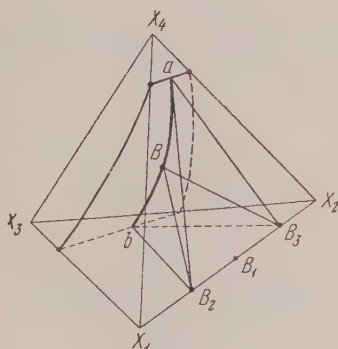


Рис. 2. Изобаротермическое сечение диаграммы равновесия четверной системы с пренебрежимо малой растворимостью двух компонентов в трех фазах

Возьмем трехкомпонентную систему, один из компонентов которой в интересующем нас интервале давлений и температур дает две аллотропные фазы. Два других компонента нерастворимы в этих фазах (т. е. их растворимостью в этих фазах можно пренебречь) и образуют некоторую третью фазу.

Во всей трехфазной области разделения матрица концентраций этой системы:

$$\begin{pmatrix} 1 & 1 & x_{13} \\ 0 & 0 & x_{23} \\ 0 & 0 & x_{33} \end{pmatrix} \quad (20)$$

имеет дефект, тождественно равный единице. Число интенсивных степеней свободы системы равно $y = 3 + 2 - 3 = 2$. Однако в отличие от обычных дивариантных систем лишь одна из этих степеней свободы может быть отнесена к параметрам P и T , так как две первые фазы находятся в моновариантном равновесии, а система в целом в моновариантном состоянии [3, 4]. Поэтому в соответствующем изобаротермическом сечении диаграммы (рис. 1) эта система (ее третья фаза) сохраняет одну степень свободы, и трехфазная область разделения состоит не из одной (двумерной) гиперконноды, как у обычных дивариантных систем, а из множества одомерных гиперконнод (коннод ad , af , ac и др.), каждая из которых отличается определенному составу третьей фазы (B_3). Все эти гиперконноды вырождены, так как две их вершины (B_1 и B_2) совпадают в точке a . Поэтому вся трехфазная область разделения является областью особенностей.

Подобно рассмотренной системе, любая n -компонентная система, в r_1 фазах которой участвует лишь $r_1 - 1$ или $r_1 - 2$ компонентов, будет иметь ненулевой дефект матрицы концентраций тождественно во всех областях разделения системы на $r > r_1$ фаз.

Такою является и четырехкомпонентная система со следующей матрицей концентраций:

$$\begin{pmatrix} x_{11} & x_{12} & x_{13} & x_{14} \\ x_{21} & x_{22} & x_{23} & x_{24} \\ 0 & 0 & 0 & x_{34} \\ 0 & 0 & 0 & x_{44} \end{pmatrix} \quad (2)$$

Три первые фазы находятся в моновариантном равновесии. Поэтому четырехфазная область разделения будет иметься лишь в последовательном

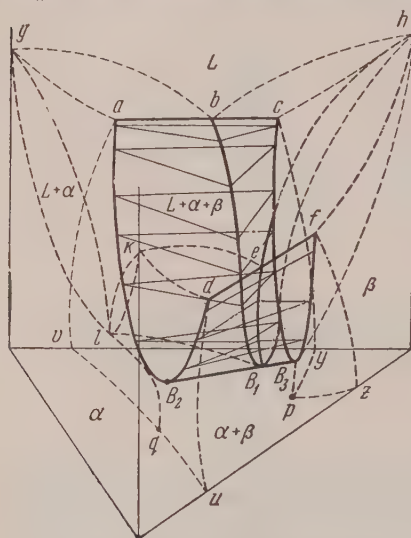


Рис. 3. Изобарическое сечение диаграммы равновесия тройной системы с экстремумом давления и температуры

Во всей этой области разделения число интенсивных степеней свободы равно двум ($y = 3 + 2 - 3 = 2$), а в изобарическом сечении диаграммы (рис. 3) — единице. Следовательно, точки, изображающие на диаграмме состояния одной фазы в трехфазной области разделения, образуют двумерную поверхность, а в изобарическом сечении — линии aB_2d , bB_1c , cB_2f . В основной части этой области гиперконноды представляют собой двумерные симплексы (треугольники), вершины которых лежат на линии составов фаз. Множество границ этих гиперконнод образуют границы области aB_2dfB_3c , aB_2deB_1b и bB_1efB_3c . В области особенностей гиперконноды двухфазных областей B_1B_2 и B_1B_3 , ограничивающие гиперконноды трехфазной области, совпадают с третьей граничной гиперконнодой B_2B_3 , а поверхности aB_2deB_1b и bB_1efB_3c касаются поверхности aB_2dfB_3c . Для этого необходимо выполнение следующего условия дефекта матрицы концентраций:

$$\begin{vmatrix} x_{11} & x_{12} & x_{13} \\ x_{21} & x_{22} & x_{23} \\ x_{31} & x_{32} & x_{33} \end{vmatrix} = 0. \quad (3)$$

ряде изобаротермических сечений диаграммы, соответствующих ряду взаимосвязанных значений давления и температуры. Одно такое сечение изображено на рис. 2, где abB_2B_3 — четырехфазная область и ab — линия составов четвертой фазы. Каждому определенному составу этой фазы соответствует одна треугольная гиперконнода, представляющая собой вырожденный тетраэдр.

Рассмотрим теперь тройную систему с экстремумом давления и температуры. В ее фазах — жидкая L и твердых α и β растворимы в три компонента, причем растворимость в жидкой фазе неограниченная.

Условия немаксимальности давления и температуры в такой системе не тождественны и ограничивают ту часть трехфазной области разделения, где ранг ее матрицы концентраций отличен от максимального.

Соотношение (22) уменьшает на единицу число интенсивных степеней свободы системы в области особенностей по сравнению со всей областью сечения (в области особенностей получаем $y = 1$). Следовательно, область особенностей занимает лишь ничтожную часть области разделения.

Подобная область особенностей встречается и у той четырехкомпонентной системы, сечение диаграммы которой изображено на рис. 4. В этом сечении две границы одной из трехфазных областей aB_2efB_1b и bB_1fgB_3c касаются третьей aB_2egB_3c по отрезку B_3 . Область касания и является областью особенностей, состоящей из вырожденного треугольника (B_2B_3) . Условия равновесия допускают такое вырождение гиперкон- лишь в определенном последовательном ряде изобаротермических сечений диаграммы, соответствующих ряду взаимосвязанных значений P и T , так как наряду с условиями равновесия в области особенностей должны выполняться условия детерминанта матрицы концентраций:

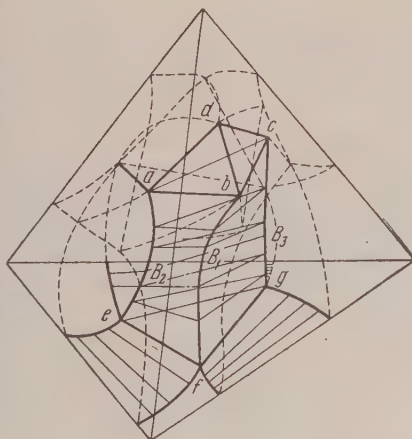


Рис. 4. Изобаротермическое сечение диаграммы равновесия четверной системы с экстремумом давления и температуры

$$\begin{pmatrix} x_{11} & x_{12} & x_{13} \\ x_{21} & x_{22} & x_{23} \\ x_{31} & x_{32} & x_{33} \\ x_{41} & x_{42} & x_{43} \end{pmatrix}. \quad (23)$$

и условия будут следующие:

$$\begin{vmatrix} x_{i1} & x_{i2} & x_{i3} \\ x_{31} & x_{32} & x_{33} \\ x_{41} & x_{42} & x_{43} \end{vmatrix} = 0, \quad i = 1, 2 \quad (24)$$

число степеней свободы системы с немаксимальным рангом матрицы концентраций равно $y = 4 + 2 - 3 - 2 = 1$.

Области особенностей диаграмм равновесия V, S, X_i . Перейдем теперь к диаграммам равновесия V, S, X_i . На этой диаграмме равновесия гиперконноды представляют собою соотношения, которым должны удовлетворять параметры V, S, X_i с тем, чтобы система имела данные векторы состояний фаз B_j или заданные величины x_{ij}, P и T , так как $v_j = v_j(P, T, x_{1j}, x_{2j}, \dots, x_{nj})$ и $s_j = s_j(P, T, x_{1j}, x_{2j}, \dots, x_{nj})$. Такие уравнения для X_i являются соотношения (6) и для V и S следующие два:

$$\sum_{j=1}^r m_j v_j = MV, \quad (25)$$

$$\sum_{j=1}^r m_j s_j = MS. \quad (26)$$

Вместе эти уравнения запишутся в следующем виде:

$$\sum_{j=1}^r m_j B_j'' = M A'' \quad (1)$$

и представляют собою уравнение симплекса с вершинами B_j'' . Размерность этого симплекса равна

$$l = R'' - 1 = r - 1 - \sigma'', \quad (2)$$

где R'' — ранг матрицы состояний M'' [см. матрицу (3) при $F = V$, $Q = f_j = v_j$ и $q_j = s_j$], а σ'' ее дефект. Превышение числа фаз над числом компонентов ($\kappa > 0$) и дефект матрицы концентраций могли бы привести к ненулевому дефекту этой матрицы лишь при $\kappa + \sigma > 2$. Но это не допускается матричным условием равновесия фаз [3,4]. Поэтому дефект матрицы M'' может быть больше нуля лишь при выполнении определенных соотношений между величинами x_{ij} , v_j и s_j (критическое состояние). В рассматриваемых же нами состояниях с $\kappa + \sigma > 0$ имеет $\sigma'' = 0$, т. е. вырожденным гиперконнодам на диаграмме P, T, X_i в рассматриваемых нами случаях соответствуют невырожденные гиперконноды на диаграмме V, S, X_i . Однако по-прежнему множество состояний $\kappa + \sigma > 0$ будем называть областью особенностей.

В том случае, когда $\kappa = 0$ и σ становится больше нуля в результате выполнения определенных неотъемлемых соотношений между величинами x_{ij} , область особенностей занимает лишь часть области разделения. При переходе через границу области особенностей внутри области разделения не выполняется принцип непрерывности для величины дефекта матрицы концентраций и дефекта матрицы состояний M' .

Выводы

1. Изучены особенности топологии диаграмм равновесия систем, в которых возможны состояния с немаксимальным рангом матрицы концентраций.

2. Обобщено понятие гиперконноды на случай систем с произвольным рангом матрицы концентраций.

3. Показано, что гиперконноды на диаграмме P, T, X_i представляют собою симплексы размерности $l = r - 1 - \kappa - \sigma$. При $\kappa + \sigma > 0$ эти симплексы являются вырожденными.

Рассмотрение гиперконнод может облегчить дальнейшее изучение свойств систем с $\sigma > 0$ и протекающих в них процессов. Оно может быть также использовано для изучения тех вопросов теории диаграмм равновесия, которые ранее рассматривались лишь для систем с максимальным рангом (таково «правило о соприкасающихся областях разделения» [1] и другие).

Харьковский государственный
университет им. А. М. Горького
Харьковский политехнический
институт им. В. И. Ленина

Поступила
12.XI.1956.

ЛИТЕРАТУРА

1. П. С. Александров и В. А. Ефремович, Очерк основных понятий топологии, ОНТИ НКПТ, 1945.
2. Л. С. Палатник, А. И. Ландау, ДАН, 102, 125, 1955.
3. Л. С. Палатник, А. И. Ландау, ДАН, 114, 837, 1957.
4. Л. С. Палатник и А. И. Ландау, Журн. физ. химии, 31, 2739, 1957.
5. П. С. Александров, Комбинаторная топология, ОГИЗ, Гостехиздат, 1949.
6. В. Зейферт и Г. Трельфалль, Топология, ГОНТИ, 1938.
7. Л. С. Палатник, А. И. Ландау, Журн. физ. химии, 29, 1784, 2054, 1955.

DIAGRAMS OF STATE OF THERMODYNAMIC SYSTEMS WITH A NON-MAXIMUM ORDER OF THE CONCENTRATION MATRIX

L. S. Palatnik, A. I. Landau and V. S. Zorin (Kharkov)

S u m m a r y

A study has been made of the equilibrium diagrams of systems in which there may be
states with a non-maximum order of the concentration matrix.

The concept of hyperconnodes has been generalized to include the case of systems with
order of the concentration matrix.

The hyperconnodes on the P, T, X_i diagram have been shown to be simplexes of
dimension $l = r - 1 - \kappa - \sigma$. At $\kappa + \sigma > 0$ the simplexes are degenerate.

An examination of the hyperconnodes may facilitate further study of the properties
of systems with $\sigma > 0$ and of the processes occurring in them. It may also be used for
solving such equations in the theory of equilibrium diagrams which have been con-
sidered earlier only for systems with maximum order (Such is the «contiguous region
separation rule» etc.).

ВЛИЯНИЕ ОРГАНИЧЕСКИХ РАСТВОРИТЕЛЕЙ
НА РАВНОВЕСИЕ ИОННОГО ОБМЕНАII. ВЛИЯНИЕ АЦЕТОНА НА РАВНОВЕСИЕ ИОННОГО ОБМЕНА
ЩЕЛОЧНЫХ МЕТАЛЛОВ НА СУЛЬФОСМОЛАХ*Г. М. Панченков, В. И. Горшков и М. В. Кукланова*

Влияние ацетона на равновесие ионного обмена в настоящее время почти не изучено.

Крессман и Китченер [1] получили на сульфосмоле в NH_4 -форме константы равновесия обмена ионов K^+ в смесях воды с ацетоном с концентрацией ацетона до 71%. По мнению авторов, константа равновесия увеличивается линейно с ростом концентрации ацетона. Объяснения полученных результатов авторы не дали.

Бафна [2] получил константы равновесия обмена ионов щелочных металлов и NH_4^+ на сульфосмоле амберлит IR-120 в H-форме в растворе с содержанием ацетона до 60%. Он показал, что порядок обмена катионов щелочных металлов на ион водорода в водно-ацетоновых средах тот же, что и в воде. Автор отметил, что с ростом концентрации ацетона линейно увеличивается логарифм константы равновесия. В работе указывается, что полученные результаты можно объяснить либо при помощи уравнения Грегора, либо изменением коэффициентов активности ионов, однако в каких подтверждениях той или иной точки зрения в этой работе не дается.

В работе Е. А. Матеровой, Ж. Л. Верт и Г. К. Гринберга [3] показано, что обмен $\text{Na}^+ - \text{NH}_4^+$ на сульфосмоле СБС увеличивается с ростом концентрации ацетона. Константа равновесия сначала (до 60% ацетона) изменяется линейно, а затем наклон кривой растет. Попытка авторов объяснить такой ход зависимости константы от концентрации ацетона изменением отношения коэффициентов активности ионов в растворе не привела к положительному результату, возможно, из-за неточных сведений о коэффициентах активности в водно-ацетоновых растворах.

Таким образом, опытных данных по ионному обмену в водно-ацетоновых растворах очень мало, сведения о характере изменения констант в зависимости от концентрации ацетона разноречивы, и удовлетворительного объяснения влияния ацетона на равновесие ионного обмена пока нет.

В настоящей работе проведено систематическое исследование равновесия обмена ионов щелочных металлов Li^+ , Na^+ и K^+ на нескольких сульфосмолах в H-форме в водно-ацетоновых растворах с целью выяснения роли углеводородного скелета смолы, природы катиона, характера зависимости константы равновесия от концентрации ацетона и от диэлектрической постоянной растворителя.

Экспериментальная часть

В качестве обменников были выбраны отечественные сульфосмолы СБС, эспатит-1 и смола СМ-12, имеющая сульфо- и карбоксильные группы.

Обмен ионов хлоридов щелочных металлов изучался на смолах в H-форме в водно-ацетоновых растворах различной концентрации (до 80 вес. % ацетона).

Методика снятия изотерм обмена аналогична описанной в предыдущей работе [4].

Концентрация выделившихся ионов водорода определялась титрованием водно-ацетоновым раствором щелочи с смешанным индикатором, указанным в той же работе.

Константа равновесия рассчитывалась из зависимости $1/a$ от $a/c - a$ по преобразованному уравнению закона действующих масс:

$$\frac{1}{a} = \frac{1}{a_m} + \frac{1}{K a_m} \frac{a}{c_0 - a},$$

где a — равновесное количество выделившихся ионов водорода (*м-эке*), c_0 — количество *м-эке* соли в исходном растворе, a_m — полная емкость смолы.

Так как NaCl не растворим в чистом ацетоне, то пришлось ограничиться растворами с концентрацией ацетона до 80% (весовых).

На рис. 1 показана зависимость $1/a = f(a/c - a)$ для обмена NaCl на эспатит при различных концентрациях ацетона. Из рисунка, а также из приводимых далее в табл. 2 констант обмена NaCl видно, что добавление

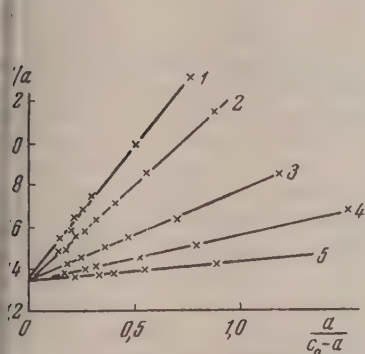


Рис. 1. Изотермы обмена NaCl на Н-форме эспатита в водно-ацетоновых растворах: 1 — вода; 2 — 20%-ный ацетон; 3 — 40%-ный ацетон; 4 — 60%-ный ацетон; 5 — 80%-ный ацетон

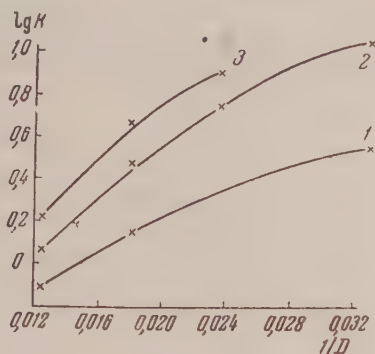


Рис. 2. Зависимость $\lg K = f(1/D)$ для обмена хлоридов щелочных металлов на Н-форме эспатита в водно-ацетоновых растворах: 1 — LiCl; 2 — Na+Cl; 3 — KCl.

ацетона увеличивает эффективность обмена. При сопоставлении этих данных с результатами, полученными в предыдущей работе [4], оказывается, что ацетон влияет на константу равновесия сильнее, чем метиловый спирт.

Для обмена в водно-ацетоновых средах не получается простой зависимости константы равновесия или ее логарифма от состава растворителя, а также обнаруженной для ионного обмена в водно-спиртовых растворах линейной зависимости $\lg K$ от $1/D$ (рис. 2, 3).

Из вида кривых (рис. 2, 3) следует, что характер изменения констант равновесия с увеличением концентрации ацетона одинаков для различных смол. В табл. 1

приведены отношения $\frac{K_{\text{смеш. раств.}}}{K_{\text{H}_2\text{O}}}$ для ацетоно-водных растворов различной концентрации.

Из этой таблицы видно, что природа углеводородного скелета смолы также играет малую роль, как и при обмене в водно-спиртовых растворах

Таблица 1

Отношения константы равновесия обмена Na^+ на различных смолах в Н-форме в водно-ацетоновых растворах к константам равновесия в воде

Растворитель	Смола		
	Эспатит	СВС	СМ-12
20 % ацетон	1,25	1,44	—
40 % »	2,66	2,78	2,41
60 % »	4,96	5,45	5,20
80 % »	10,15	10,64	—

Таблица

Константы обмена хлоридов щелочных металлов на различных смолах в водно-тоновых растворах

Растворитель	Смола								
	Эспатит			СБС			СМ-12		
	LiCl	NaCl	KCl	LiCl	NaCl	KCl	LiCl	NaCl	KCl
Вода	0,79	1,19	1,71	0,59	0,95	1,25	0,87	1,13	1,41
20 % ацетон	—	1,49	—	—	1,37	—	—	—	—
40 % »	1,46	3,17	5,01	1,19	2,64	3,34	1,43	2,72	3,41
60 % »	—	5,88	8,23	1,87	5,18	6,60	2,18	5,86	7,41
80 % »	3,82	12,09	—	—	10,10	—	—	—	—

[4]. По-видимому, не играет особой роли и наличие слабо диссоциированных — COOH групп в смоле СМ-12.

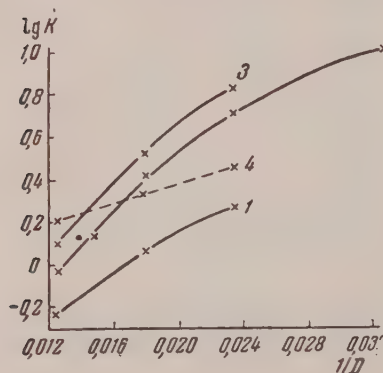


Рис. 3. Зависимость $\lg K = f(1/D)$ для обмена на водно-ацетоновых растворах: 1 — $\text{Li}^+ - \text{H}^+$; 2 — $\text{Na}^+ - \text{H}^+$; 3 — $\text{K}^+ - \text{H}^+$; 4 — $\text{Na}^+ - \text{Li}^+$

Для сопоставления влияния ацетона на обмен ионов Li^+ , Na^+ , K^+ были определены константы обмена на LiCl и KCl на H-форме исследованных смол в воде и водно-ацетоновых растворах. Константы обмена хлоридов щелочных элементов в водно-ацетоновых растворах приведены в табл. 2.

Избирательность сульфосмол отношению к катионам щелочных металлов увеличивается от Li^+ к Na^+ и K^+ . Добавление ацетона усугубляет различие в избирательности. Примеры в табл. 3 приводятся рассчитанные из наших результатов константы равновесия обмена Li-формы смол на ионы Na^+ .

Интересно, что $\lg K_{\text{Li}}^{\text{Na}}$ линейно зависит от $1/D$ водно-ацетонового раствора (рис. 3, пунктирная прямая).

Значит, и здесь для обмена катионов щелочных металлов друг на друга аналогично реакциям обмена в водно-спиртовых растворах при невысоких концентрациях спирта, решающую роль играет изменение электростатического взаимодействия ионов, вызванное изменениями диэлектрической постоянной среды, а не изменение взаимодействия ионов с молекулами растворителя.

Таблица 3

Константы обмена Li-формы смол на ионы Na^+

Растворитель	Смола	
	СБС	СМ-12
Вода	1,62	1,30
40 % ацетон	2,22	1,90
60 % »	2,77	2,68

В случае обмена $\text{Me}^+ - \text{H}^+$ при добавлении ацетона, вероятно, изменяется взаимодействие ионов H^+ с молекулами растворителя, и поэтому линейной зависимости $\lg K$ от $1/D$ не получается.

Выводы

Подтверждено, что в водно-ацетоновых растворах обмен ионов щелочных металлов Li^+ , Na^+ и K^+ на сульфосмолах в H-форме увеличивается с ростом концентрации ацетона. Больше всего изменяется обмен K^+ . Больше всего Li^+ . Порядок расположения ионов в адсорбционном ряду является таким же, как и в воде $\text{Li}^+ < \text{Na}^+ < \text{K}^+$.

Ход изменения констант с концентрацией ацетона одинаков для исследованных смол, что указывает на малую роль различия в строении углеводородного скелета смолы.

Получающаяся линейная зависимость $\lg K$ от $1/D$ для обмена ионов Li-формой смолы в водно-ацетоновых растворах указывает на то, что решающую роль в этом случае играет изменение электростатического взаимодействия ионов. Нарушение такой зависимости при обмене с участием иона водорода, вероятно, происходит в результате изменения взаимодействия H^+ с молекулами растворителя.

Московский государственный
университет им. М. В. Ломоносова

Поступила
13.XI.1956

ЛИТЕРАТУРА

- R. Kressman, J. A. Kitchenner, Journ. Chem. Soc. 1211, 1949.
L. Bafna, Journ. Sci. a. Ind. Res., 12, 613, 1953.
А. Матерова, Ж. Л. Верт и Г. П. Гринберг, Журн. общ. химии, 24, 953, 1954.
М. Панченко, В. И. Горшкови М. В. Кукланова, Журн. физ. химии, 32, 361, 1958.

THE EFFECT OF ORGANIC SOLVENTS ON IONIC EXCHANGE EQUILIBRIUM. II

G. M. Panchenkov, V. I. Gorshkov and M. V. Kuklanova (Moscow)

Summary

A systematic study has been made of the effect of acetone additions on the exchange equilibrium of the alkaline metal ions Li^+ , Na^+ and K^+ on the sulfo resins SBS, Esbite and SM-12.

The addition of acetone increases the value for the equilibrium constant of exchange of the alkaline metal ions with hydrogen. The addition affects most of all the exchange of K^+ with H^+ and least of all the exchange of Li^+ with H^+ .

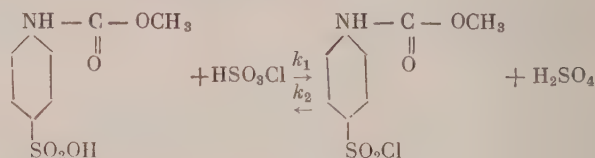
Differences in the structure of the hydrocarbon network of the resin little affect the course of change of the equilibrium constant. The linear relation obtained for the exchange of Na^+ by Li^+ indicates that the decisive part in this case is played by the change in the electrostatic ionic interaction. The infringement of this relationship in exchange with the participation of hydrogen is probably due to changes in the interaction of H^+ with the solvent molecules.

ИССЛЕДОВАНИЕ РЕАКЦИИ ХЛОРСУЛЬФИРОВАНИЯ

II. КИНЕТИКА ХЛОРИРОВАНИЯ *n*-ФЕНИЛУРЕТИЛАНСУЛЬФОКИСЛОТ
ХЛОРСУЛЬФОНОВОЙ КИСЛОТОЙ

В. А. Пальм

Нами было показано [1], что реакция хлорирования *n*-фенилуретилсульфокислоты хлорсульфоновой кислотой



принадлежит к числу кислотно-каталитических.

Исходя из значения углового коэффициента прямой зависимости логарифма константы скорости этой реакции от функции кислотности H_0 , близкого к двум, можно было сделать вывод, что каталитический акт заключается в присоединении к молекуле указанной сульфокислоты двух протонов.

Величина константы равновесия реакции (1), определенная нами, оказалась равной $K = \frac{k_1}{k_2} = 3,5 \pm 0,3$ и не зависящей от температуры.

Определение абсолютных значений функции кислотности системы $\text{H}_2\text{SO}_4 - \text{HSO}_3\text{Cl}$ при различных температурах [2] позволяет теперь отыскать зависимость константы k_1 от абсолютного значения функции кислотности не только при одной температуре.

Экспериментальная часть

Смеси H_2SO_4 и HSO_3Cl приготавливались так же, как это уже было нами описано [2].

Для получения *n*-фенилуретилансульфокислоты технический фенилуретилхлорсульфировался обычным способом. Полученный сырой *n*-фенилуретилансульфохлорид перекристаллизовывался из эфира. К 57 г перекристаллизованного сульфохлорида добавлялось 60 г дистиллированной воды. Полученная взвесь нагревалась в течение часа на кипящей водяной бане. При этом происходил гидролиз сульфохлорида. В горячий гидролизат отфильтровывался от осадка. При охлаждении из фильтрата выпадали кристаллы *n*-фенилуретилансульфокислоты, которые отсасывались и перекристаллизовывались из концентрированной соляной кислоты. После отсасывания соляной кислоты осадок сульфокислоты промывался эфиром, сушился при 100° в вакууме над P_2O_5 и затем в целях удаления кристаллизационной воды в сушильном шкафу при 120—140°C.

Полученный препарат чистой *n*-фенилуретилансульфокислоты представляет собой аморфный, снежно-белый порошок. Молекулярный вес, определенный путем титрования щелочью, равен 231,5; теоретический — 231.

Чистый *n*-фенилуретилансульфохлорид приготавливался путем хлорирования описанного препарата сульфокислоты перегнанной хлорсульфоновой кислотой. Продукт дважды перекристаллизовывался из эфира и представлял собой бесцветный кристаллический порошок, т. пл. 113—115°C.

Контроль за ходом реакции осуществлялся спектрофотометрически на приборе СФ-4. Спектры поглощения *n*-фенилуретилансульфокислоты и *n*-фенилуретилансу-

хлорида в растворе 100%-ной H_2SO_4 приведены на рис. 1. При исходной концентрации сульфокислоты или сульфохлорида порядка 0,01 моль/л фотометрирование осуществлялось на длине волны в 295 м μ .

Изменение оптической плотности во времени не заканчивалось после завершения изучаемой реакции (1). После достижения равновесия между сульфохлоридом и сульфокислотой оптическая плотность увеличивалась, независимо от того, исходили ли мы из *n*-фенилуретилансульфокислоты или из соответствующего сульфохлорида. Это изменение оптической плотности во времени подчинялось линейному закону и являлось, по-видимому, следствием медленной реакции вторичного сульфирования. Благодаря линейности вторичных изменений оптической плотности, введение соответствующих поправок не представляло особых трудностей и осуществлялось путем продолжения конечного линейного участка кривой изменения оптической плотности во времени до начала отсчета времени. После этого поправка для любого момента времени могла быть легко определена графически.

После введения указанной поправки кривые изменения оптического коэффициента поглощения подчинялись мономолекулярному закону [1].

По приведенным в [1] данным о значениях $\lg k_1$ при различных температурах в средах с различным содержанием H_2SO_4 и HSO_3Cl могут быть построены прямые, изображающие, согласно закону Аррениуса, зависимость $\lg k_1$ от $1/T$ для тех смесей указанных кислот, в которых были произведены измерения. По рис. 2 могут быть найдены значения $\lg k_1$ при какой-либо одной температуре в смесях с

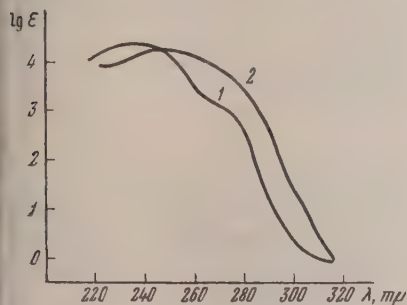


Рис. 1

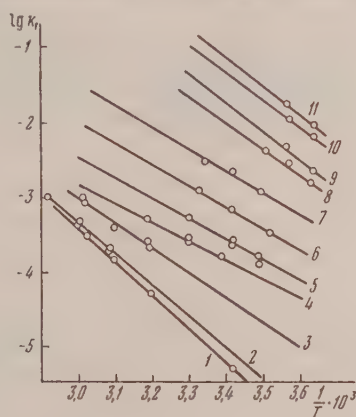


Рис. 2

1. 1 — спектр поглощения *n*-фенилуретилансульфокислоты в 100%-ной H_2SO_4 ; 2 — спектр поглощения *n*-фенилуретилансульфохлорида в 100%-ной H_2SO_4

2. 2. Зависимость логарифма константы скорости k_1 от величины $1/T$: 1 — $A=0$; 2 — $A=4,1$; 3 — $A=11,1$; 4 — $A=24,8$; 5 — $A=37,9$; 6 — $A=54,6$; 7 — $A=69,9$; 8 — $A=81,0$; 9 — $A=88,1$; 10 — $A=95,0$; 11 — $A=97,5$ мол% (A — концентрация HSO_3Cl в мол. %)

различным содержанием H_2SO_4 и HSO_3Cl . Используя значения H_0 в тех же средах и при тех же температурах [2], мы можем найти зависимость k_1 от H_0 при различных температурах. Соответствующие данные представлены на рис. 3.

Указанные величины относятся к малым исходным концентрациям *n*-фенилуретилансульфокислоты в реакционной смеси, так что влияние этого реагента на кислотность среды практически не сказывается. Нам были поставлены кинетические опыты в целях изучения реакции (1) и при больших исходных концентрациях *n*-фенилуретилансульфокислоты.

Методика постановки этих опытов была такая же, как и в случае малых исходных концентраций *n*-фенилуретилансульфокислоты. Спектрофотометрирование производилось на длинах волн от 305 до 315 м μ , в зависимости от величины исходной концентрации *n*-фенилуретилансульфокислоты.

Полученные кинетические кривые приблизительно подчинялись мономолекулярному закону, поскольку изменения концентрации HSO_3Cl в ходе

реакции были не больше 20% от первоначальной величины. При вычислении бимолекулярной константы скорости k_1 , концентрации HSO_3Cl и H_2SO_4 принимались за постоянные и приравнялись к величинам, соответствующим времени половинного протекания реакции. Полученные результаты приведены в табл. 1.

Таблица 1

$[\text{HSO}_3\text{Cl}]_{\text{исх.}}$ мол. %	Температура, °C	H_0	Исходная кон- центрация, <i>n</i> -фе- нилуретилансуль- фокислоты, моль/л	$\lg k_1$
53	20,0	-11,62	0,0167	-3,15
53	20,0	-11,62	0,498	-3,87
53	20,0	-11,62	1,06	-4,24
43	20,0	-11,50	0,0161	-3,41
43	20,0	-11,50	0,132	-3,49
43	20,0	-11,50	0,970	-4,51
81	20,0	-12,03	1,61	-4,35
81	35,0	-11,74	2,15	-4,19

Измерить H_0 после добавления значительных количеств *n*-фенилуретилансульфокислоты к смесям H_2SO_4 и HSO_3Cl нам не удалось.

Значения $[\text{HSO}_3\text{Cl}]$ и H_0 в табл. 1 приведены для смесей H_2SO_4 и HSO_3Cl до добавления к ним *n*-фенилуретилансульфокислоты.

Обсуждение результатов

Угловой коэффициент α прямой

$$\lg k_1 = \text{const} - \alpha H_0$$

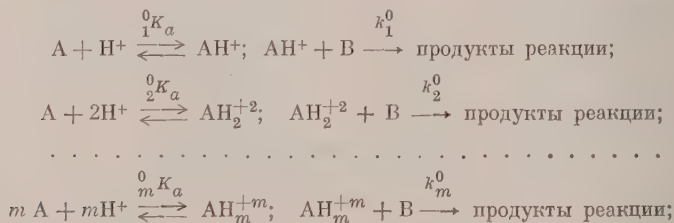
в пределах ошибок опыта остается постоянным при разных температурах и равным $\alpha = 2,15 \pm 0,1$. Однако отклонение α от целочисленного значения больше возможных ошибок эксперимента. Это отклонение, как будет показано ниже, может найти свое объяснение.

Рассмотрим, какой должна быть в общем случае зависимость наблюдаемой константы скорости k кислотно-каталитической реакции от кислотности среды $h_0 = 10^{-H_0}$.

В системе, в которой имеет место какая-либо кислотно-каталитическая реакция, брутто-эффект которой может быть выражен схемой:



могут, в принципе, иметь место следующие процессы:



где m — предельное число протонов, которое может присоединиться к молекуле вещества A .

Суммарная скорость реакции равна

$$k[A]_0[B] = [B] \sum_{i=0}^m k_i^0 [AH_i^{+i}].$$

то доказать, что

$$[\text{AH}_i^{+i}] = \frac{{}_0^i\gamma \frac{h_0^i}{{}_0^iK_a} [\text{A}]_0}{\sum_{j=0}^n {}_0^j\gamma \frac{h_0^j}{{}_0^jK_a}}, \quad (6)$$

где $[\text{A}]_0$ — стехиометрическая концентрация вещества А.

$${}_0^jK_a = \frac{[\text{A}]}{[\text{AH}_j^{+j}]} h_0^j \frac{(f_{\text{AH}^+})^j}{f_{\text{AH}_j^{+j}} |f_{\text{A}}|^{j-1}};$$

$${}_0^j\gamma = \frac{(f_{\text{AH}^+})^j}{f_{\text{AH}_j^{+j}} |f_{\text{A}}|^{j-1}};$$

$$h_0 = a_{\text{H}^+} \frac{f_{\text{A}}}{f_{\text{AH}^+}}.$$

Подставляя значение $[\text{AH}_i^{+i}]$ из (6) в (5) и определив из последнего k , получим

$$k = \frac{\sum_{i=0}^m k_i^0 {}_0^i\gamma (h_0^i / {}_0^iK_a)}{\sum_{i=0}^m {}_0^i\gamma (h_0^i / {}_0^iK_a)}. \quad (7)$$

На практике обычно бывает так, что всеми членами $k_i^0 [\text{AH}_i^{+i}]$ по сравнению с каким-либо одним $k_n^0 [\text{AH}_n^{+n}]$ можно пренебречь. С другой стороны, присоединение протонов обычно происходит последовательно, т. е. с повышением кислотности среды, сначала $[\text{A}] \gg [\text{AH}^+] \gg [\text{AH}_2^{+2}] \gg \dots$, затем, после некоторой переходной области, в которой $[\text{A}] \approx [\text{AH}^+]$, мы имеем $[\text{AH}^+] \gg [\text{A}]$ и $[\text{AH}^+] \gg [\text{AH}_2^{+2}] \gg [\text{AH}_3^{+3}] \gg \dots$ и т. д.

Поэтому в знаменателе правой части (7) можно пренебречь всеми членами, кроме одного ${}_0^z\gamma (h_0^z / {}_0^zK_a)$, если h_0 не имеет такого значения, то мы имеем дело с какой-либо переходной областью изменения кислотности, где

$$[\text{AH}_{(i-1)}^{+(i-1)}] \approx [\text{AH}_i^{+i}].$$

В этом случае выражение (7) упростится

$$k = k_n^0 \frac{{}_0^n\gamma}{{}_0^z\gamma} \frac{{}_0^zK_a}{{}_0^nK_a} h_0^{n-z}$$

т. е., обозначив ${}_0^n\gamma / {}_0^z\gamma = {}_n^z\gamma$ и ${}_0^nK_a / {}_0^zK_a = {}_n^zK_a$,

$$k = \frac{k_n^0 {}_n^z\gamma}{{}_n^zK_a} h_0^{n-z}. \quad (8)$$

Перепишав (8) в логарифмической форме, получим

$$\lg k = \lg \frac{k_n^0 {}_n^z\gamma}{{}_n^zK_a} - (n-z) H_0. \quad (9)$$

При этом по мере роста кислотности среды число z будет постепенно изменяться от нуля до n . В принципе и n может при изменении кислотности не оставаться постоянной.

В разбираемом случае n -фенилуретилансульфокислота, благодаря наличию аминогруппы, является достаточно сильным основанием, что в таких сильноокислых средах, с которыми мы имеем дело, быть практически однажды ионизованной. Следовательно, в нашем случае $z = n$.

Благодаря близости α к двум мы можем заключить, что $n - z = n - 3$. Другими словами, чтобы иметь возможность участвовать в реакции (1) n -фенилуретилансульфокислота должна присоединить три протона.

Следовательно, константа скорости k_1 реакции (1) должна подчиняться уравнению

$$\lg k_1 = \lg \frac{k_{33}^0 \frac{1}{3} \gamma}{\frac{1}{3} K_a} - 2H_0. \quad (9)$$

Небольшое отклонение α от значения $n - z = 2$ может быть объяснено зависимостью величины $\frac{1}{3} \gamma$ от состава смеси H_2SO_4 и HSO_3Cl , т. е. $\frac{1}{3} \gamma$ изменяется параллельно H_0 . Поскольку величина $\lg \frac{z}{n} \gamma$ не обязательно должна находиться в линейной зависимости от H_0 , то, строго говоря, зависимость $\lg k$ от H_0 не обязательно должна описываться прямой линией если $n > 1$.

В таком случае было бы более целесообразно пользоваться не H_0 , другой функцией кислотности, которую в конкретно разбираемом случае можно было бы обозначить H_+^{+3} и которую можно было бы измерить при помощи индикатора, ионизирующегося по схеме:



На практике пока из-за отсутствия подходящего индикатора приходится пользоваться функцией кислотности H_0 и мириться со связанными с этим погрешностями.

Мерой реакционной способности какой-либо ароматической сульфокислоты в реакции типа (1) является величина

$$\frac{k_n^0 \frac{z}{n} \gamma}{\frac{z}{n} K_a}. \quad (10)$$

Причем каждая сульфокислота характеризуется своими собственными значениями величин n и z .

В целях нахождения значения величины (11) для n -фенилуретилансульфокислоты необходимо привести в соответствие выражения (2) и (10). Приблизительно это можно сделать, если подставить в (10) вместо множителя

$$n - z = 2 \text{ найденное на опыте значение } \alpha = 2,15. \text{ Тогда } \lg \frac{k_{33}^0 \frac{1}{3} \gamma}{\frac{1}{3} K_a} \text{ из (10)}$$

должно быть приравнено к величине const из (2). Соответствующее вычисление приводит к результату:

$$\lg k_1 = 4,90 - \frac{31300}{4,574T} - 2,15H_0. \quad (12)$$

Величина (11), следовательно, равна

$$\frac{k_{33}^0 \frac{1}{3} \gamma}{\frac{1}{3} K_a} = 1,26 \cdot 10^{-5} e^{-31300/RT}. \quad (13)$$

или вместо H_0 в (12) подставить ее приближенное значение [2]:

$$H_0 = -5,25 - \frac{8550}{4,574T} + \frac{1}{2} \lg \frac{[H_2SO_4]}{[HSO_3Cl]}, \quad (14)$$

мы получим для оценки величины k_1 как функции от температуры отношения концентраций H_2SO_4 и HSO_3Cl в системе следующее приближенное выражение:

$$\lg k_1 = 6,39 - \frac{12900}{4,574T} - 1,075 \lg \frac{[H_2SO_4]}{[HSO_3Cl]}. \quad (15)$$

В табл. 2 приведено сопоставление вычисленных по формуле (15) и экспериментальных значений $\lg k_1$.

Расчет по формуле (15) дает хорошие результаты при средних концентрациях HSO_3Cl от 10 до 60 мол.%. При больших концентрациях HSO_3Cl вычисленные значения k_1 отличаются в 2—3 раза меньшими, чем наблюдаемые.

Как уже было отмечено выше; каталитическая способность *n*-фенилуретилансульфокислоты в случае разбираемой реакции определяется величиной

$$\frac{k_n^0 z \gamma}{n K_a}$$

К сожалению, мы пока не можем определить величины

$n K_a$ и $z \gamma$ по отдельности. Что касается $z \gamma$, то здесь эта трудность может быть частично преодолена путем выбора нового стандартного состояния, за которое удобно принимать разбавленный раствор *n*-фенилуретилансульфокислоты в 100%-ной серной кислоте. Приравнивая в этом стандартном состоянии $z \gamma = 1$ и $\alpha = n - z = 2$, можно все отклонения от закономерности

$$\lg k_1 = \lg \frac{k_n^0}{K_a^n} - 2H_0$$

отнести за счет изменения величины $\lg n \gamma$ в зависимости от состава среды. Отметим при этом, что значения $n \gamma$ должны совпадать для сульфокислот, характеризующихся одинаковыми значениями чисел n и z .

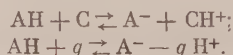
Чтобы можно было вычислить величины k_3^0 и K_a^1 по отдельности, необходимо устано-

вить основность *n*-фенилуретилансульфокислоты в случаях присоединения к ней одного и трех протонов.

Рассмотрим теперь реакцию (1) при больших исходных концентрациях фенилуретилансульфокислоты. Как видно из табл. 1, увеличение исход-

ной концентрации *n*-фенилуретилансульфокислоты в сильной степени уменьшает значение наблюдаемой константы скорости. Этот факт находит свое объяснение в том, что *n*-фенилуретилансульфокислота, являясь сильным однокислотным основанием ($z = 1$), заметно снижает кислотность и, следовательно, каталитическую активность среды.

Воздействие сильного однокислотного основания q на значение функции кислотности смеси кислоты $\text{АН}(\text{HSO}_3\text{Cl})$ со слабым основанием $\text{С}(\text{H}_2\text{SO}_4)$ может быть изображено схемой:



Последнее равновесие практически нацело сдвинуто вправо.

Значение H_0 может быть найдено из следующей системы уравнений:

$$H_0 = \text{pK}_{\text{АН}} - \lg \frac{[\text{АН}]_0 - [\text{А}^-]}{[\text{А}^-]}; \quad (1)$$

$$H_0 = \text{pK}_{\text{ас}} + \lg \frac{[\text{С}]_0 - [\text{СН}^+]}{[\text{СН}^+]}; \quad (2)$$

$$[\text{А}^-] = [\text{СН}^+] + [q]_0, \quad (3)$$

где $[\text{АН}]_0$, $[\text{С}]_0$ и $[q]_0$ — стехиометрические концентрации соответствующих веществ.

Решая эту систему относительно $[\text{СН}^+]$ и комбинируя полученное значение $[\text{СН}^+]$ с уравнениями (18) и (16), мы получим значение в разбираемом случае.

Такое вычисление легко осуществимо, поскольку нам известны значения величин $\text{pK}_{\text{HSO}_3\text{Cl}}$ и $\text{pK}_{\text{a H}_2\text{SO}_4}$ [2].

Значение $\lg k_1$ может быть найдено путем подстановки вычисленного таким образом значения H_0 в формулу (12) или графически по рис. 3. В табл. 3 приведено сопоставление вычисленных таким образом значений $\lg k_1$ с экспериментальными данными. Мы видим, что совпадение обоих величин является удовлетворительным.

Таблица

$[\text{HSO}_3\text{Cl}]_0$, мол. %	$[\text{H}_2\text{SO}_4]_0$, мол. %	$[q]_0$, мол. %	Температура, °C	H_0 вычисл.	$\lg k_1$ вычисл.	$\lg k_1$ наб.
51,3	45,5	3,15	20,0	—11,35	—3,76	—3,87
49,4	43,8	6,92	20,0	—11,11	—4,28	—4,24
42,6	56,6	0,80	20,0	—11,45	—3,52	—3,49
34,3	59,6	6,14	20,0	—11,00	—4,51	—4,51
71,6	16,9	11,5	20,0	—11,13	—4,25	—4,35
68,0	15,8	16,2	35,0	—10,60	—4,32	—4,19

Выводы

1. Определена зависимость константы скорости реакции хлорирования *n*-фенилуретилансульфокислоты хлорсульфоновой кислотой от абсолютного значения функции кислотности среды при различных температурах.

2. Изучена зависимость константы скорости указанной реакции от исходной концентрации *n*-фенилуретилансульфокислоты и дана количественная теоретическая трактовка этой зависимости.

Тартуский государственный
университет

Поступила
16.XI.1956

ЛИТЕРАТУРА

- В. А. Пальм, ДАН, 108, 487, 1956.
- В. А. Пальм, Журн. физ. химии, 32, 380, 1958.

A STUDY OF THE CHLOROSULFONATION REACTION

II. KINETICS OF THE CHLORINATION OF *p*-PHENYLURETHYLAN SULFOACID
BY CHLOROSULFONIC ACID*V. A. Palm (Tartu)*

S u m m a r y

The dependence of the rate constant for the chlorination of *p*-phenylurethylan sulfoacid by chlorosulfonic acid on the absolute acidity function of the medium has been obtained for different temperatures. The dependence of the rate constant of the reaction on the initial concentration of *p*-phenylurethylan sulfoacid has been investigated. A quantitative theoretical treatment has been made of the correlation found.

ТЕОРИЯ ХРОМАТОГРАФИЧЕСКОГО РАЗДЕЛЕНИЯ ИЗОТОН

С. Е. Бреслер

В последнее время ионообменная хроматография была с успехом применена для разделения изотопов азота [1]. Изотопы других легких металлов также могут быть разделены хроматографически. Рассматриваемый процесс заключается в том, что зона разделяемого вещества проходит через хроматографическую колонну значительной длины, при условии опыта выбираются так, чтобы фронты зоны оставались острыми и она перемещалась без размывания. При этом имеется в виду суммарная зона, занятая в колонне разделяемым элементом. Разделения этой суммарной зоны на зоны отдельных изотопов, очевидно, не произойдет. Можно добиться лишь некоторого плавного меняющегося внутри суммарной зоны движения концентраций изотопов. Один из изотопов будет обогащаться вблизи от передней границы суммарной зоны, другой — вблизи от задней границы.

Задачей теории является расчет изменения концентрации изотопа вдоль суммарной зоны, длина которой остается постоянной в течение процесса. Ясно, что по прошествии достаточно большого времени, говоря, когда суммарная зона пройдет достаточную длину колонны, наступит состояние, близкое к стационарному. С точки зрения эффективности разделения изотопов оно будет наиболее выгодным, однако важно учитывать и промежуточные нестационарные состояния и оценить время установления равновесного распределения.

Создание теории процесса требует вывода основного дифференциального уравнения, содержащего две независимые переменные — координату x и время t . Для случая изотопов развитые нами ранее представленные динамической хроматографии [2] позволяют сформулировать весьма простые и физически ясные уравнения; решения их были получены только для стационарного, но и для нестационарного случая.

Рассмотрим поток I вещества (первого изотопа) внутри суммарной зоны, движущейся со скоростью v вдоль колонны. Выбираем систему координат, движущуюся вместе с зоной. Тогда граничные условия выразятся, условия отсутствия потока на границах зоны:

$$I \Big|_{\substack{x=0 \\ x=L}} = 0.$$

Выражение для потока первого компонента в любой точке зоны получается из потока вещества, переносимого растворителем, и из потока вещества, переносимого адсорбентом (в выбранной нами системе координат адсорбент движется со скоростью $-v$):

$$I = wc_1 - \alpha D \frac{dc_1}{dx} - D' \frac{dm_1}{dx} - vm_1$$

где w — объемная скорость течения растворителя, отнесенная к единичному сечению колонны, c_1 — концентрация первого компонента в растворе, m_1 — концентрация того же компонента, связанного с сорбентом, выраженный в g -ионах на 1 мл, D — коэффициент диффузии ионов в растворе, α — коэффициент пористости, т. е. отношение объема пор, заполненных жидкостью, к общему объему пористой среды.

бему колонны. D' — коэффициент диффузии ионов в набухшем ионите. Второе слагаемое в (2) представляет собой перенос вещества растворителем, первое — продольный диффузионный поток в жидкости, заполняющей поры; третье — продольный диффузионный поток в набухших ионитах и четвертое — обратный перенос первого изотопа на зернах сорбента, приводящий к неподвижности зоны.

Теперь необходимо выразить c_1 через m_1 .

Если бы поверхность сорбента была в термодинамическом равновесии с раствором, то следовало бы применить основное уравнение ионного обмена равновалентных ионов:

$$\frac{m_1}{m_2} = K \frac{c_1}{c_2}, \quad (3)$$

где K — константа обмена, и два условия сохранения

$$\begin{aligned} m_1 + m_2 &= m_0, \\ c_1 + c_2 &= c_0, \end{aligned} \quad (4)$$

где m_0 — полная обменная емкость ионита, c_0 — суммарная концентрация обоих изотопов в зоне. Решая совместно уравнения (3) и (4), мы получим связь между c_1 и m_1 , однако она справедлива только при установившемся равновесии в системе сорбент — раствор:

$$c_1 = \frac{c_0 m_1}{K m_0 - m_1 (K - 1)}. \quad (5)$$

Если изотопов величина $K - 1$ мала по сравнению с единицей. Поэтому можно разложить выражение для C по малой величине $K - 1 = \varepsilon$ и ограничиться членом, содержащим ε в первой степени:

$$c_1 = \frac{c_0 m_1}{m_0} \left(1 - \varepsilon + \frac{m_1}{m_0} \varepsilon \right). \quad (6)$$

Теперь необходимо исправить это выражение, учтя, что равновесие между сорбентом и раствором устанавливается не мгновенно, а в течение некоего времени. Как было показано ранее [2], неравновесность хроматографии должна быть учтена путем введения времени запаздывания τ . Если зона движется со скоростью v , то сорбент в точке с координатой x держит в себе столько вещества, как если бы он приходил в равновесие с раствором в координате $x + v\tau$, т. е. с раствором, соприкасавшимся с сорбентом τ секунд тому назад. Поэтому мы для концентрации c_1 в точке x , т. е. для $c_1(x)$, должны написать формулу (6), в которой функция c_1 относится к координате $x - v\tau$:

$$c_1(x) = \frac{c_0 m_1 (x - v\tau)}{m_0} \left[1 - \varepsilon + \frac{\varepsilon}{m_0} m_1 (x - v\tau) \right]. \quad (7)$$

Учет неравновесности процесса при помощи времени запаздывания τ является, на первый взгляд, приближенным. Однако, как было показано в работе [2], при этом в исследуемую величину, т. е. концентрацию, вносится относительная погрешность порядка R/l , где R — радиус зерна сорбента, l — некоторая характеристическая масштабная длина, имеющая порядок длины суммарной зоны. По физическому смыслу l — отрезок ионы, на котором происходит значительное изменение концентрации первого изотопа. Так как R имеет порядок 0,1 мм, а l в практически всех случаях может быть от 1 до 100 см и более, то R/l во всяком случае $< 10^{-2}$.

Следовательно, теория должна давать столь хорошее приближение, что практически может считаться точной. Разложение величины c_1 по ε , при-

мененное нами выше, также не вносит никаких реальных ошибок, так для изотопов ε также имеет порядок 10^{-2} . Поэтому введенные нами упрощения являются законными и целесообразными, не отражающими точности результата применительно к поставленной нами задаче. Подставляя $m_1(x-v\tau)$ в ряд и пренебрегая величинами второго порядка малости относительно $\tau v/L$ и ε , получим

$$c_1 = \frac{c_0 m_1}{m_0} \left[1 - \varepsilon + \frac{\varepsilon}{m_0} m_1 - \frac{1}{m_1} v \tau \frac{dm_1}{dx} \right].$$

Подставляя c_1 в выражение для потока I и пренебрегая, как и раньше, величинами второго порядка малости (τ , ε , $\alpha c_0/m_0$, считаем малыми величинами), получим

$$I = \frac{w c_0 m_1 (1 - \varepsilon)}{m_0} - v m_1 + \varepsilon c_0 w \left(\frac{m_1}{m_0} \right)^2 - \frac{c_0 w v \tau}{m_0} \frac{dm_1}{dx} - D' \frac{dm_1}{dx} - \alpha D \frac{c_0}{m_0} \frac{dm_1}{dx}.$$

Мы можем упростить это выражение, если вспомним, что для вытеснения всей зоны как целого мы подаем w мл раствора вытеснителя с концентрацией c_0 и в результате получаем продвижение зоны на длину при суммарном содержании ионов m_0 . Отсюда (при малом коэффициенте пористости α):

$$c_0 w = m_0 v \left(1 + \frac{\alpha c_0}{m_0} \right) \cong m_0 v \text{ или } w = \frac{m_0}{c_0} v.$$

Подставляя это выражение в (9), получим

$$I = -\varepsilon v m_1 + \frac{v \varepsilon m_1^2}{m_0} - \left(\frac{\alpha c_0}{m_0} D + D' + v^2 \tau \right) \frac{dm_1}{dx}.$$

Теперь найдем основное уравнение материального баланса

$$\operatorname{div} I = -\frac{\partial m_1}{\partial t} - \alpha \frac{\partial c_1}{\partial t} = -\left(1 + \frac{c_0}{m_0} \alpha \right) \frac{\partial m_1}{\partial t} \quad (1)$$

или

$$\frac{\partial}{\partial x} \left[\left(D' + \frac{\alpha c_0}{m_0} D + v^2 \tau \right) \frac{\partial m_1}{\partial x} + \varepsilon v m_1 \left(1 - \frac{m_1}{m_0} \right) \right] = \left(1 + \frac{\alpha c_0}{m_0} \right) \frac{\partial m_1}{\partial t}. \quad (1)$$

Это и есть основное дифференциальное уравнение нашей задачи. Граничными условиями будут

$$\left(D' + \frac{\alpha c_0}{m_0} D + v^2 \tau \right) \frac{\partial m_1}{\partial x} + \varepsilon v m_1 \left(1 - \frac{m_1}{m_0} \right) \Big|_{x=0}^{x=L} = 0. \quad (1)$$

Прежде чем приступить к решению нашего дифференциального уравнения, перейдем к безразмерным переменным. Обозначим

$$\frac{m_1}{m_0} = \mu; \quad \frac{\varepsilon v}{D' + \frac{\alpha c_0}{m_0} D + v^2 \tau} x = x'; \quad \frac{\varepsilon^2 v^2}{\left(D' + \frac{\alpha c_0}{m_0} D + v^2 \tau \right) \left(1 + \frac{c_0}{m_0} \alpha \right)} t = t';$$

$$\frac{\varepsilon v}{D' + \frac{\alpha c_0}{m_0} D + v^2 \tau} L = L'. \quad (1)$$

Тогда окончательно наше дифференциальное уравнение преобразуется к виду:

$$\frac{\partial}{\partial x'} \left[\frac{\partial \mu}{\partial x'} + \mu (1 - \mu) \right] = \frac{\partial \mu}{\partial t'}, \quad (1)$$

граничные условия будут

$$\frac{\partial \mu}{\partial x'} + \mu(1 - \mu) \Big|_{\substack{x'=0 \\ x'=L'}} = 0. \quad (17)$$

в качестве начального условия выберем $\mu|_{t'=0} = \mu_0$. В итоге мы получим известное нелинейное дифференциальное уравнение обменной колонки, которое было решено и детально исследовано в одной из наших предыдущих работ [3].

Роль коэффициента диффузии в нашем случае играет величина

$$D' + \frac{\alpha c_0}{m_0} D + v^2 \tau,$$

— это не что иное, как коэффициент квазидиффузии D^* , введенный ранее в теорию динамической хроматографии. Он характеризует собой размывание зон вследствие запаздывания в установлении равновесия между адсорбентом и раствором. Если основная причина кинетического запаздывания заключается в диффузии адсорбата сквозь частицу набухшей смолы, то

$$\tau = \frac{R^2 k}{15 D'}, \quad (18)$$

R — радиус частички, D' — коэффициент диффузии понов сквозь набухший ионит, k — относительная емкость ионита. Величина $D' + \frac{\alpha c_0}{m_0} D$ характеризует собой дополнительное размывание границы вследствие продольной диффузии изотопов в ионите и растворе. Мы видим, что оба коэффициента $D' + \frac{\alpha c_0}{m_0} D$ и D^* просто суммируются.

Для решения уравнения (16) мы воспользуемся готовым выражением, полученным в цитированной работе [3]:

$$\mu = \frac{1}{2} \left\{ 1 - \frac{\operatorname{sh} \frac{x' - x'_0}{2} + 2 \operatorname{ch} \frac{x'_0}{2} e^{-t'/4} \sum_{n=1}^{\infty} A_n \lambda_n \cos \lambda_n x' e^{-\lambda_n^2 t'}}{\operatorname{ch} \frac{x' - x'_0}{2} + \operatorname{ch} \frac{x'_0}{2} e^{-t'/4} \sum_{n=1}^{\infty} A_n \sin \lambda_n x' e^{-\lambda_n^2 t'}} \right\}.$$

Здесь

$$\lambda_n = \frac{\pi n}{L'}; \quad A_n = \frac{2 \lambda_n}{L'} \frac{[1 - e^{y_0 L'} (-1)^n] \left(\frac{1}{4} - y_0^2 \right)}{(\lambda_n^2 + y_0^2) \left(\lambda_n^2 + \frac{1}{4} \right)}; \quad (19)$$

$$y_0 = \frac{1}{2} - \mu_0; \quad e^{x'_0} = \frac{e^{y_0 L'} - 1}{1 - e^{-(1 - \mu_0) L'}}.$$

Это решение является полным, так как оно дает распределение концентрации первого изотопа $m_1/m_0 = \mu$ по координате x в любой момент времени t . Решение получено, как обычно, в виде рядов Фурье, быстро сходящихся при не слишком малых временах. Если бы понадобилось исследовать процесс хроматографического разделения изотопов на самых первоначальных стадиях, то и для этого случая в работе [3] было получено достаточно удобное решение. Для практического применения важно рассмотреть стационарное распределение, которое установится по истечении достаточно большого времени, и время релаксации, характеризующее собой период установления стационарного распределения.

Ясно, что в решение входят все параметры процесса — скорость движения зоны v , длина суммарной зоны L , размер зерна R , концентрация

разделяемого вещества m_0 , коэффициент обогащения ε , коэффициент диффузии ионов в растворе D и в набухшем ионите D' . Задаввшись определенными величинами, мы можем рассчитать эффект обогащения изотоп в зоне заданной длины. Рассчитанное нами время T даст нам общий путь vT , пройденный зоной в ходе хроматографического процесса.

Рассмотрим стационарное распределение;

$$\mu = \frac{1}{e^{x'-x_0'} + 1} = \frac{1}{2} \left(1 - \operatorname{th} \frac{x'}{2} \right). \quad (2)$$

Концентрация первого изотопа, которая установится при $x = 0$,

$$\mu(0) = \frac{1 - e^{-\mu_0 L'}}{1 - e^{-L'}}. \quad (2)$$

Время установления равновесия будет определяться параметром λ_1^2 . Время релаксации

$$T' = \frac{1}{\lambda_1^2 + \frac{1}{4}} = \frac{L'^2}{\pi^2 + \frac{1}{4} L'^2},$$

откуда, переходя снова от безразмерных величин к обычному времени

$$T = \frac{L^2 \left(1 + \frac{\alpha c_0}{m_0} \right)}{\left(D' + \frac{\alpha c_0}{m_0} D + v^2 \tau \right) \left[\pi^2 + \frac{1}{4} \left(\frac{\varepsilon v L}{D' + \frac{\alpha c_0}{m_0} D + v^2 \tau} \right)^2 \right]}. \quad (2)$$

Эта формула позволяет рассчитать, какие времена следует выбрать, чтобы приблизиться к стационарному распределению изотопов внутри зоны. Очевидно, путь, который пройдет зона вдоль колонны за это время, будет vT .

Максимальное разделение, достигнутое при стационарном состоянии,

будет порядка $e^{-L'}$, т. е. порядка $e^{-\frac{\varepsilon \pi L}{D' + \frac{\alpha c_0}{m_0} D + v^2 \tau}}$. Следовательно, оно определяется целиком масштабным множителем

$$\frac{\varepsilon v L}{D' + \frac{\alpha c_0}{m_0} D + v^2 \tau} = \frac{\varepsilon v L}{D' + \frac{\alpha c_0}{m_0} D + D^*}. \quad (23)$$

Таким образом поставленная задача полностью решена в форме, удобной для численных оценок и для анализа экспериментальных результатов.

Проанализируем теперь результаты опытов Спеддинга с сотрудниками [1] по разделению изотопов азота. Используем формулу для стационарного распределения, упростив ее, пользуясь тем, что один из изотопов находится в малой концентрации. При $\mu_0 L' \ll 1$, формула для стационарного распределения оказывается

$$\mu = \mu_0 L' \frac{e^{-x'}}{1 - e^{-L'}} = A \exp \left\{ - \frac{\varepsilon v x}{D' + \frac{\alpha c_0}{m_0} D + v^2 \tau} \right\}, \quad (24)$$

а решение нестационарной задачи

$$\mu = \mu_0 L' \frac{e^{-x'}}{1 - e^{-L'}} + e^{-x'/2 - t'/4} \sum_{n=1}^{\infty} B_n (\sin \lambda_n x' - 2 \lambda_n \cos \lambda_n x') e^{-\lambda_n^2},$$

$$\lambda_n = \frac{\pi n}{L'} \text{ и } B_n = \frac{\mu_0 \lambda_n [1 - (-1)^n e^{-L'/2}]}{L' \left(\frac{1}{4} + \lambda_n^2 \right)}.$$

дифференцируя (24), получаем

$$\lg \mu = \lg A - \frac{0,43 \varepsilon v x}{D' + \frac{\alpha c_0}{m_0} D + v^2 \tau}.$$

Эту формулу можно сопоставить с эмпирической формулой, приведенной в работе [1]:

$$\lg \mu = \lg A - \frac{x \lg K}{\text{ВЭТТ}},$$

так

$$K - 1 = \varepsilon, \text{ то } \lg(1 + \varepsilon) = 0,43 \varepsilon.$$

Если величина, обозначенная в работе как ВЭТТ, оказывается

$$\text{ВЭТТ} = \frac{D' + \frac{\alpha c_0}{m_0} D + v^2 \tau}{v}.$$

Как будет доказано далее, мы можем пренебречь величинами D' и D по сравнению с $v^2 \tau$. Отсюда

$$\text{ВЭТТ} = v \tau.$$

По данным [1] при скорости w растворителя 125 мл/мин при диаметре колонны 2 дюйма, т. е. 4,5 см и молярности вытесняющего раствора 0,12 N, получается ВЭТТ = 0,44 мм.

По данным той же статьи полная обменная емкость двухдюймовой колонны, заполненной смолой Dowex-50 составляет на 1 фут длины — эквивалента. Следовательно, скорость движения зоны v , для которой задана в статье эффективная ВЭТТ, будет

$$v = \frac{0,125 \cdot 0,12 \cdot 30}{1,6 \cdot 60} \approx 0,005 \text{ см/сек.}$$

Сравнивая далее $v \tau = 0,44 \text{ мм}$, получаем $\tau \approx 10 \text{ сек.}$

Мы видим, что в данном случае коэффициент квазидиффузии $D^* = v^2 t = 2,5 \cdot 10^{-4} \text{ см}^2/\text{сек.}$, действительно во много раз превосходит коэффициент молекулярной диффузии D' , который во всяком случае меньше $10^{-5} \text{ см}^2/\text{сек.}$

Теперь оценим время установления стационарного состояния

$$T = \frac{L^2}{v^2 \tau} \left[\frac{1}{\pi^2 + \frac{1}{4} \left(\frac{\varepsilon L}{v \tau} \right)^2} \right].$$

Проведем оценку для длины зоны в 7 футов, т. е. в 200 см, при скорости 0,02 см/сек, ε по данным Спеддинга $2 \cdot 10^{-2}$

$$T = \frac{4 \cdot 10^4}{10 \cdot 4 \cdot 10^{-4} \cdot 15} = 7 \cdot 10^5 \text{ сек.} \approx 7 \text{ суток.}$$

Сколько путь, пройденный зоной, будет

$$vT = 7 \cdot 10^5 \cdot 0,02 = 140 \text{ м.}$$

Опыт показал, что установление равновесия в этих условиях происходит после прохождения зоной пути в 150 м, что хорошо совпадает с расчетной величиной.

Произведем еще оценку коэффициента диффузии ионов через сорбента. Мы нашли, что $\tau = 10$ сек., с другой стороны, $\tau = kR^2/15$. Размер зерен смолы в опытах американских авторов был 150 мк, диаметр зерен был близок к 0,1 мм, а радиус $R = 5 \cdot 10^{-3}$ см, $k = 25$. Отсюда

$$D' = \frac{2,5 \cdot 10^{-5} \cdot 25}{150} = 4 \cdot 10^{-6} \text{ см}^2/\text{сек.}$$

Приведенные численные оценки показывают, что теория хроматографии позволяет правильно рассчитать как стационарное распределение, так и время установления равновесия, если известны параметры, характеризующие собой процесс, происходящий на ионите.

Выводы

Получено дифференциальное уравнение, описывающее процесс разделения изотопов на хроматографической колонне. Уравнение решается для стационарного, так и для нестационарного случая. Из решения получается как величина максимального разделения, так и время установления стационарного состояния. Полученные в работе формулы применены к экспериментальным данным по разделению изотопов азота.

Академия наук СССР
Институт высокомолекулярных
соединений и
Ленинградский политехнический
институт

Поступила
21.XI.1956

ЛИТЕРАТУРА

1. F. Spedding, J. Powell, H. Svec, Journ. Amer. Chem. Soc., 77, 6125, 1955.
2. С. Е. Бреслер, Я. С. Уфлянд, Журн. техн. физики, 23, 1443, 1953.
3. С. Е. Бреслер, Г. Е. Пикус, Журн. техн. физики, 26, 109, 1956.

THE THEORY OF THE CHROMATOGRAPHIC SEPARATION OF ISOTOPES

S. E. Bresler (Leningrad)

Summary

The paper presents a theoretical calculation of the chromatographic separation of isotopes during passage through the column of a sharp zone of some substance. The differential equation describing the process of separation is obtained on introducing concept of a lag in the establishment of the sorption equilibrium between the ionite and the solution.

In the case of isotopes with similar properties the differential equation leads to well known equation for the exchange column that is solved with the aid of the Fourier series.

The complete solution obtained of the problem in particular allows the steady state distribution of the isotopes within the zone and the time for establishing equilibrium to be obtained. The formulas derived were used to analyze the experimental data of Spedding and collaborators on the separation of nitrogen isotopes.

ИССЛЕДОВАНИЕ КИНЕТИКИ ОКИСЛЕНИЯ СПИРТОВ В РАСТВОРЕ

1. КИНЕТИКА ОКИСЛЕНИЯ СПИРТОВ ПЕРМАНГАНАТОМ КАЛИЯ И СЕРНОКИСЛЫМ ЦЕРИЕМ

Чжоу Шао-Минь и С. В. Горбачев

Исследование кинетики окисления спиртов привлекало внимание многих исследователей.

Реакция окисления этилового спирта перманганатом калия в нейтральной среде была изучена Моревским и Стинглом [1], Эвансом и Дэй [2] и другими. Было доказано, при температурах до 100°С в нейтральном или слабощелочном растворе единственным продуктом является уксусная кислота.

Кинетика и механизм реакции окисления спиртов перманганатом калия, азотной кислотой и хромовой смесью в различных условиях были подробно исследованы З. Троновым и его сотрудниками [3, 4]. Им было установлено, что скорость окисления спиртов перманганатом калия подчиняется обычному уравнению второго поряд-

$$kr = \frac{2,3}{a-b} \lg \frac{b(a-x)}{a(b-x)}.$$

и установили, что окисление спиртов состоит из двух стадий: этерификации и разложения сложных эфиров на альдегиды или кетоны. В зависимости от свойств окислителя либо первая стадия, либо последняя является лимитирующей.

Мерц, Стаффорд и Ватерс [5] изучили индуктированное солью закиси железа или окисью водорода окисление спиртов в кислом растворе перманганата калия и пришли к выводу, что в указанных условиях окисление спиртов можно рассматривать как единую стадию двухэлектронного превращения. Впоследствии Друммонд и Ватерс считали это причиной чрезвычайной медленности окисления спиртов сульфатом железа (IV) и марганца (III) [6]. Однако этим взглядом не полностью объяснялась необычайная медленность рассмотренной реакции. В ряде случаев энергия активации является существенным фактором, определяющим скорость химических процессов. К сожалению, этому фактору не уделяли должного внимания многие исследователи. Кинетика окисления некоторых органических соединений в кислом растворе сульфата церия (IV) была исследована Конантом [7], Шортером и Хинишелем [8] и С. В. Горбачевым и Я. И. Вабелем [9]. Но кинетика окисления спиртов сульфатом церия (IV), по имеющимся у нас данным, еще не была изучена.

В настоящей работе была определена энергия активации при окислении нескольких спиртов перманганатом в нейтральной и в кислой средах, также кислым раствором сульфата церия (IV). Цель нашей работы состоит в том, чтобы сопоставить величины энергии активации, полученные при химическом и электрохимическом окислении.

Методика

В нашей работе были использованы 0,50 М (0,030 М для бензилового спирта). Растворы изучаемых спиртов и 0,0125 М KMnO_4 . Опыты проводились следующим образом: в одну из двух колоб наливалось 200 мл 0,0125 М KMnO_4 , в другую около 100 мл раствора изучаемого спирта. Колбы помещались в термостате, в котором колебание температуры не превышало $\pm 0,1^\circ$. После установления теплового равновесия, с помощью пипетки в раствор перманганата прибавляли 50 мл раствора спирта. Реакционная смесь при этом перемешивалась мешалкой. Изменение концентрации перманганата определялось йодометрическим методом через определенные промежутки времени. При окислении кислым раствором перманганата калия был применен 0,0125 М раствор KMnO_4 , подкисленный серной кислотой.

Кинетика окисления тех же спиртов 0,0079 М сернокислым церием (IV) была изучена потенциометрическим методом.

Все опыты проводились через каждые 10° от 20 до 70°С.

Результаты и обсуждение

Окисление перманганатом калия. Предварительные опыты показали, что скорость окисления альдегидов нейтральным раствором перманганата калия в десятки раз больше, чем скорость окисления соответствующих спиртов. Поэтому суммарную реакцию можно описать следующим уравнением:



Если реакция протекает по уравнению реакции второго порядка, то получается

$$\frac{dx}{d\tau} = k(a-x)\left(b - \frac{4}{3}x\right)$$

или

$$k\tau = \frac{2,3}{\frac{4}{3}a - b} \lg \frac{b(a-x)}{a(b - \frac{4}{3}x)},$$

где a , b — исходная концентрация спирта и перманганата калия; x — убыль концентрации спирта через τ минут.

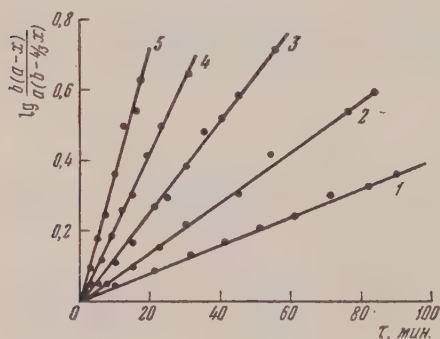


Рис. 1. Окисление бензильного спирта перманганатом калия в нейтральной среде: 1 — 19,6; 2 — 30; 3 — 40; 4 — 50 и 5 — 60° С

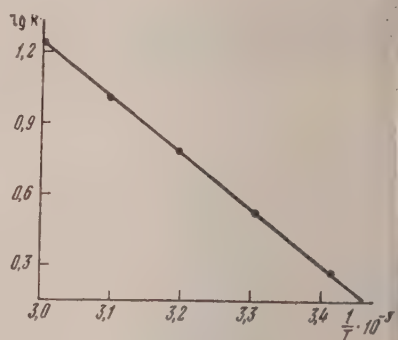


Рис. 2. Зависимость $\lg K$ от $1/T$ при окислении бензильного спирта перманганатом калия в щелочной среде

В табл. 1 показано, что при изменении концентрации спирта более чем в 12 раз постоянство значения k в уравнении (1) хорошо удерживается.

Таблица 1

Значение k при окислении этилового спирта нейтральным раствором перманганата калия при 60° С

c_{KMnO_4} , М	$c_{\text{C}_2\text{H}_5\text{OH}}$	k , М ⁻¹ мин ⁻¹
0,0098	0,0079	0,403
	0,0246	0,400
	0,0492	0,412
	0,0985	0,416

На рис. 1 представлено изменение значения $\lg \frac{b(a-x)}{a(b-\frac{4}{3}x)}$, рассчитанного из экспериментальных данных, во времени при окислении бензильного спирта при температурах от 20 до 60° С.

Зависимость логарифма величин k , полученных графическим методом, от обратной температуры представлена на рис. 2. Вычисленная энергия активации равна $12,5 \pm 0,5$ ккал/моль. Величины энергии активации окисления ряда спиртов, полученные таким же путем, расположены в первой строке табл. 2.

Таблица 2

Величина энергии активации окисления спиртов перманганатом калия и сульфатом церия (IV) в ккал/моль $\pm 0,5$ ккал/моль

Окислитель	Спирты						
	CH ₃ OH	C ₂ H ₅ OH	n-C ₃ H ₇ OH	изо- C ₃ H ₇ OH	n-C ₄ H ₉ OH	изо- C ₄ H ₉ OH	C ₆ H ₅ CH ₂ · OH
KMnO ₄	19,2	14,0	14,0	13,0*	12,5	14,0	10,9
KMnO ₄							
H ₂ SO ₄ (3N)					12,0		11,2
Ce(SO ₄) ₂	23,0	28,0	20,1	19,0	22,0	19,9	18,5
H ₂ SO ₄ 0,4N)							

* Вычислено по данным, относящимся к самому началу реакции, когда окисление ацетона можно не учитывать.

На рис. 3 приведены экспериментальные данные изменения концентрации перманганата во времени при окислении *n*-бутилового спирта в 3N

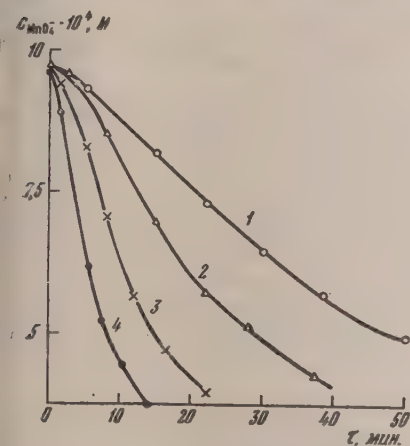


Рис. 3. Изменение концентрации перманганата калия во времени при окислении *n*-бутилового спирта в 3N H₂SO₄: 1—22, 2; 2—30; 3—40; 4—50°C

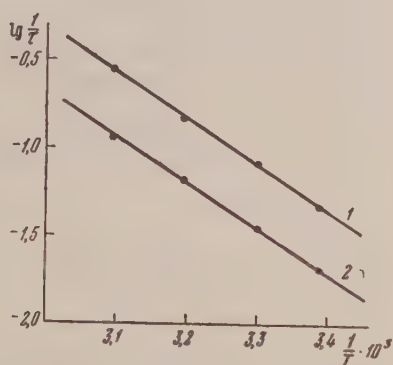


Рис. 4. Зависимость $\lg(1/\tau)$ от $1/T$ при окислении *n*-бутилового спирта кислым раствором KMnO₄. 1 — прореагировала $\frac{1}{4}$ KMnO₄; 2 — прореагировала $\frac{1}{2}$ KMnO₄

серноокислом растворе. Зависимость логарифма «средней скорости», $\lg(1/\tau)$ от обратной температуры (рис. 4) позволяет определить эффективную энергию активации этой реакции. Полученные результаты показаны во второй строке табл. 2.

Окисление серноокислым церием (IV)

Кинетика окисления спиртов кислым раствором сульфата церия (IV) была нами изучена потенциометрическим методом. На рис. 5 выражено изменение потенциала системы во времени при окислении *изо*-бутилового спирта.

Так как потенциал раствора чистого окислителя плохо воспроизводится и рассматриваемая нами реакция протекает с очень малой скоро-

стью, нам пришлось определить энергию активации приближенным способом.

Если не учитывать изменения нормального потенциала в применяемых пределах температуры, то относительная скорость реакции приблизительно пропорциональна обратному промежутку времени $1/\Delta\tau$, через который реакция проходит с одним и тем же изменением потенциала системы

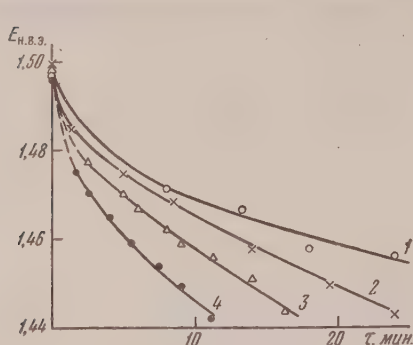


Рис. 5. Изменение потенциала системы во времени при окислении бензильвого спирта сульфатом церия (IV): 1 — 70; 2 — 76; 3 — 80 и 4 — 85,3°C

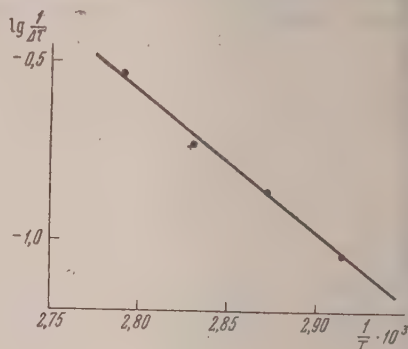


Рис. 6. Зависимость $\lg(1/\Delta\tau)$ от $1/T$ при окислении бензильвого спирта сернокислым церием (IV)

Тогда энергию активации (см. третью строку табл. 2) можно вычислить при помощи зависимости значений $\lg(1/\Delta\tau)$ от обратной температуры (рис. 6).

В работе Б. В. Тронова [3] более высокая скорость окисления спиртов перманганатом в кислом растворе, чем в нейтральном, объясняется уменьшением электролитической диссоциации марганцовой кислоты, способствующей образованию промежуточного комплекса, а не изменением в механизме реакции. Полученные нами значения энергии активации, которые существенно не различаются в этих двух случаях (табл. 2), подтверждают этот взгляд.

Большие различия в величине энергии активации при окислении спиртов перманганатом и церием позволяют предположить, что при действии этих окислителей механизм реакции различен. Таким образом медленность реакции окисления церием обуславливается не только тем, что окисление спиртов рассматривается как единая стадия двухэлектронного превращения, как высказано Мерцем [5], а каждый ион Ce^{4+} может принять только один электр-

он при его восстановлении, но и существованием высокого энергетического барьера, присущего самой реакции.

Нами было найдено, что между величиной энергии активации при окислении спиртов сернокислым церием и значением дипольного момента тех же спиртов существует определенная связь. Рис. 7 показывает, что чем больше дипольный момент спиртов, тем выше энергетический барьер процесса их окисления. Учитывая различия в значениях нормального потенциала церия (IV) в растворах разных кислот, Смит считает, что

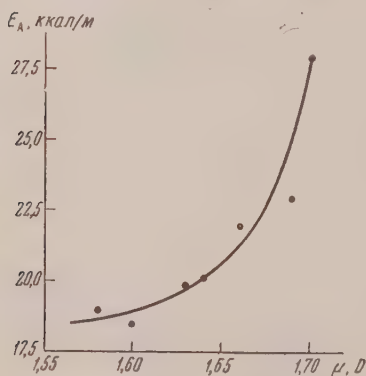


Рис. 7. Зависимость между величиной энергии активации окисления спиртов сернокислым церием и значением дипольного момента тех же спиртов

Газуются очень устойчивые комплексные анионы, например, $\text{Ce}(\text{SO}_4)_3^{=}$, $\text{NO}_3)_6^{=}$ и $\text{Ce}(\text{ClO}_4)_6^{=}$ в растворах соответствующих кислот [10]. Таким образом комплексный анион $\text{Ce}(\text{SO}_4)_3^{=}$ в изучаемом нами растворе притягивает к себе положительный полюс полярных молекул спиртов. Это препятствует отрыву электронов от их отрицательного полюса. Отсюда следует, что чем больше дипольный момент спиртов, тем сильнее притяжение их положительного полюса к анионам $\text{Ce}(\text{SO}_4)_3^{=}$ и, следовательно, тем труднее осуществить переориентацию диполя, необходимую для отрыва электронов от самих молекул. Можно предполагать, что этим объясняется отмеченное выше возрастание энергии активации с ростом дипольного момента спирта.

Выводы

1. Скорость окисления моноатомных спиртов перманганатом в нейтральной среде хорошо подчиняется уравнению реакции второго порядка.
2. Была определена энергия активации окисления некоторых спиртов перманганатом калия в нейтральном и в кислом растворах, а также сульфатом церия (IV) в кислой среде.
3. При сопоставлении величин энергии активации можно установить, что спирты окисляются перманганатом калия как в нейтральной, так и в кислой среде, по-видимому, по одному и тому же механизму.
4. Чрезвычайная медленность окисления спиртов церием обусловливается высоким энергетическим барьером, присущим самой реакции.
5. Показана связь между энергией активации при окислении спиртов сульфатом церия (IV) и величиной дипольного момента тех же спиртов.

Химико-технологический
институт им. Д. И. Менделеева
Москва

Поступила
26.XI.1956

ЛИТЕРАТУРА

1. A. Morawski, E. Stigl, Journ. prakt. Chem., [2], 18, 78, 1879.
2. W. L. Evans, J. E. Day, Journ. Amer. Chem. Soc., 38, 375, 1916.
3. Б. В. Тронов, А. А. Луканин, ЖРФ-ХО, ч. хим., 59, 1157, 1927; 60, 181, 1928; 61, 727, 1929.
4. Б. В. Тронов, А. А. Луканин, И.И. Павлинов, ЖРФ-ХО, ч. хим., 59, 1173, 1927.
5. J. H. Merz, G. Stafford, W. A. Waters, Journ. Chem. Soc., 638, 1951.
6. A. Drummond, W. A. Waters, Journ. Chem. Soc., 435, 1953.
7. J. B. Conant, J. G. Aston, C. O. Tongberg, Journ. Amer. Chem. Soc., 52, 407, 1930.
8. J. Shorter, C. Hinshelwood, Journ. Chem. Soc., 3276, 1950.
9. С. В. Горбачев, Я. И. Вабель, Журн. физ. химии, 28, 1782, 1954.
10. G. F. Smith, Cerate Oxidimetry, Columbus, 1942.

AN INVESTIGATION INTO THE KINETICS OF ALCOHOL OXIDATION IN SOLUTION

1. THE KINETICS OF THE OXIDATION OF ALCOHOL BY POTASSIUM PERMANGANATE AND CERIUM SULFATE

Chou Shao-Min and S. V. Gorbachev (Moscow)

Summary

The rate of oxidation of monoatomic alcohols by permanganate in neutral solution obeys well second order reaction kinetics. The activation energies of oxidation of some alcohols by potassium permanganate in neutral and acid solutions and by cerium IV sulfate in acid solutions have been determined. A comparison of the values obtained showed that the alcohols are oxidized by potassium permanganate both in neutral and acid media evidently in accordance with a single mechanism.

The extraordinary sluggishness of the reaction with cerium is due to the high energy barrier characteristic of the reaction itself.

A correlation has been established between the activation energy in the oxidation of alcohols by cerium IV sulfate and their dipole moments.

ЗАВИСИМОСТЬ ПОТЕНЦИАЛА УГОЛЬНОГО ЭЛЕКТРОДА СРАВНЕНИЯ ОТ СОДЕРЖАНИЯ КИСЛОРОДА В РАСПЛАВЛЕННОМ КРИОЛИТЕ

Л. Н. Антипин и Н. Г. Тюрин

В последнее время в качестве электрода сравнения в расплавах, содержащих кислород, получил распространение угольный электрод. Предположение о том, что потенциал такого электрода определяется содержанием кислорода, было высказано О. А. Есиным, Л. К. Гариловым и Б. М. Лепинских [1]. В работах [2—4] эти представления были перенесены на криолит-глиноземный электролит и, наконец, в [5] было показано, что зависимость потенциала угольного электрода от парциального давления кислорода в газовой фазе подчиняется формуле:

$$E = 2,3 \frac{RT}{nE} \lg \frac{P_{O_2}^0}{P_{O_2}}.$$

При исследовании криолит-глиноземных расплавов часто встречается необходимость внесения в величину потенциала поправок на концентрацию глинозема. В этих случаях считается, что такие поправки могут быть сделаны, исходя из уравнения:

$$E = 2,3 \frac{RT}{nF} \lg \frac{c_{Al_2O_3}}{c_{Al_2O_3, \text{нас}}}.$$

Сложный характер некоторых явлений, происходящих на угольном электроде с изменением в криолите содержания глинозема [6], дает основание сомневаться в возможности применения формулы (2) для указанных цели.

Для выяснения этого в настоящей работе была поставлена задача найти зависимость потенциала угольного электрода от содержания Al_2O_3 .

Экспериментальная часть

Определение потенциала производилось двумя методами. В первом из них применялась ячейка, изображенная на рис. 1. Она состояла из двух отделений, разделенных диафрагмой. Центральное отделение 4 заполнялось электролитом с большим содержанием глинозема (16%). В отделении 6 концентрация Al_2O_3 в процессе опыта изменялась от 0 до 16% (через каждый 1%). Диафрагмой 5 служила плавяная магнелия, хорошо зарекомендовавшая себя ранее [7]. Измерение разности потенциалов между центральным электродом 2 и тиглем 3, служившим вторым электродом, производилось потенциометром ППТВ-1. Величины диффузионного и мембранного потенциалов, как и прежде [7], при измерении не учитывались.

Во втором методе использовалась в основном та же установка, которая ранее применялась для изучения анодного эффекта [8]. Ячейка была максимально упрощена и состояла из графитового стакана — катода и угольного стержня — анода.

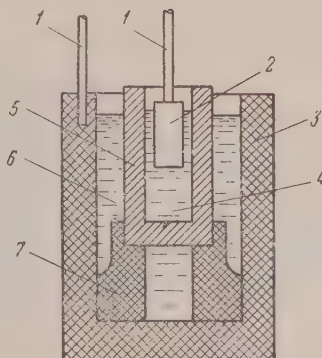
Измерения для каждого содержания глинозема производились со свежим анодом. Начальный потенциал анода E_1 , определялся по отношению к катоду при отсутствии тока. Затем включался ток и непосредственно перед появлением анодного эффекта производился второй замер на зажимах ячейки *. Для определения величины потенциала при котором возникает анодный эффект, кроме напряжения V , при каждом содержании Al_2O_3 , измерялось сопротивление между катодом и анодом R .

* Катодная поляризация из-за большой площади тигля в расчет не принималась.

Интересовавший нас потенциал угольного электрода определялся формуле

$$E_a = (V - IR) - E_1. \quad (3)$$

Рис. 1. Схема элемента для измерения разности потенциалов в системе $C | Na_3AlF_6 + 16\% Al_2O_3 : Na_3AlF_6 + n\% Al_2O_3 | C$. 1 — никромовые токоподводы; 2 — графитовый электрод; 3 — графитовый тигель; 4 — расплав $Na_3AlF_6 + 16\% Al_2O_3$; 5 — диафрагма из плавяной магнезии; 6 — расплав $Na_3AlF_6 + n\% Al_2O_3$; 7 — графитовая подставка



Возможность применения такого метода основана на предположении, потенциал анодного эффекта с увеличением содержания Al_2O_3 изме-

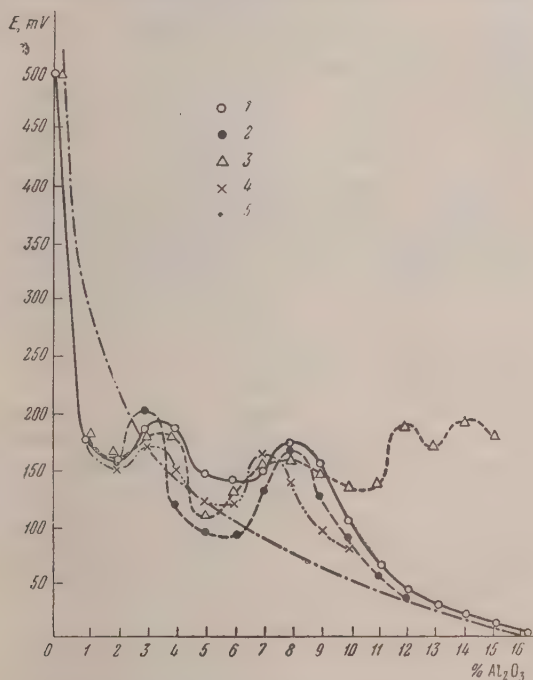


Рис. 2. Зависимость потенциала угольного (кислородного) электрода от содержания глинозема в расплавленном криолите: 1 — сразу после загрузки Al_2O_3 ; 2 — после 10-минутной выдержки перед измерением; 3 — в присутствии избыточного количества алюминия в отделении 6 (рис. 1); 4 — по отношению к потенциалу разряда фтора; 5 — вычисленная по уравнению (2)

ется незначительно. Как указывалось ранее [8], в этот момент наступает заряд фтора, изменением концентрации которого в электролитах раз-го состава можно пренебречь. Следовательно, величина, определенная

по формуле (3), представляет собой потенциал кислородного электрода по отношению к потенциалу разряда фтора.

Так как в алюминиевой ванне электролит всегда находится в контакте с металлом, представлялось интересным рассмотреть влияние его присутствия на измеряемую э. д. с. С этой целью были проведены особые опыты при наличии в отделении 6 избыточного количества алюминия.

Обсуждение результатов

На рис. 2 приведены кривые изменения потенциала угольного электрода в зависимости от концентрации глинозема в электролите, снятые описанными методами при разных условиях.

Кривые 1, 2 и 3 были получены в ячейке, изображенной на рис. 1. Различие между ними заключается в том, что первая кривая снималась сразу же после растворения введенной порции глинозема, а вторая

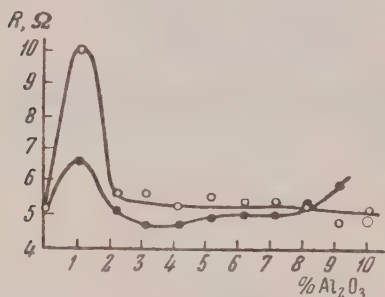


Рис. 3. Изменение сопротивления ячейки $C[Na_3AlF + n\% Al_2O_3]$ с содержанием глинозема: 1 — со свежим анодом; 2 — с анодом, подвергавшимся анодному эффекту

после 10-минутной выдержки перед каждым измерением. Кривая 3 была получена в присутствии металла.

Зависимость 4, найденная вторым методом по отношению к потенциалу разряда фтора, оказалась расположенной значительно выше по оси ординат. Для более полного сопоставления ее с кривыми 1, 2 и 3 она была смещена вниз на 530 мВ.

Как видно из рис. 2, кривые 1, 2 и 4, несмотря на сложный характер, хорошо совпадают между собой. Исключение составляет кривая 3, снятая в присутствии алюминия. Совпадение ее с остальными наблюдаются только до содержания 9% Al_2O_3 . Это свидетельствует о сильном влиянии на потенциал

угольного электрода, растворенного в электролите металла.

Характер всех кривых, вероятно, говорит о сложном взаимодействии глинозема с расплавленным криолитом.

Сравнение экспериментальных данных с кривой 5, вычисленной по уравнению (2), свидетельствует о невозможности применения последнего для внесения концентрационных поправок в величину анодного потенциала. По этой причине к применению угольного электрода сравнения следует подходить осторожно и пользоваться им в ячейке без диафрагмы только при постоянном (желательно большом) содержании глинозема. Наличие магниевой диафрагмы, подобной описанной здесь и ранее [1], позволяет, однако, применять его для исследования криолит-глинозевых расплавов без особых опасений.

При измерении сопротивления ячейки было обнаружено, что оно своеобразно меняется с содержанием глинозема (рис. 3). При содержании глинозема 1% наблюдается довольно резкий максимум, который особенно сильно проявляется на электроде, подвергавшемся анодному эффекту. При концентрации Al_2O_3 больше 2% сопротивление меняется очень мало.

Выводы

1. Двумя независимыми методами установлена сложная зависимость потенциала угольного электрода от содержания глинозема в криолите. Константировано влияние на потенциал растворенного в электролите металла.

2. Показано, что сопротивление между электродами в системе $\text{Na}_3\text{AlF}_6 + n\% \text{Al}_2\text{O}_3 | \text{C}$ имеет максимум при содержании 1% Al_2O_3 . В интервале 2—10% Al_2O_3 оно меняется незначительно.

Политехнический институт
им. С. М. Кирова
Свердловск

Поступила
28.IX.1956

ЛИТЕРАТУРА

- О. А. Есин, Л. К. Гаврилов, Б. М. Ленинских, ДАН, 88, 713, 1953.
С. И. Ремпель, Н. А. Анишева, Л. П. Ходак, ДАН, 97, 859, 1954.
Л. Н. Антипин, ДАН, 99, 1019, 1954.
Л. Н. Антипин, Журн. физ. химии, 30, 1425, 1956.
Л. Н. Антипин, А. Н. Худяков, ДАН, 100, 93, 1955.
Л. Н. Антипин, С. Ф. Важенин, Н. Г. Тюрин, Сб. Тр. Уральск. политехн. ин-та, 58, 256, 1956.
Л. Н. Антипин, Журн. физ. химии, 30, 1767, 1956.
Л. Н. Антипин, Н. Г. Тюрин, Журн. физ. химии, 31, 1103, 1957.

THE DEPENDENCE OF THE POTENTIAL OF A CARBON REFERENCE ELECTRODE ON THE QUANTITY OF OXYGEN IN MOLTEN CRYOLITE

L. N. Antipin and N. G. Turin (Sverdlovsk)

S u m m a r y

Measurement of the potential differences of the cell $\text{C} | \text{Na}_3\text{AlF}_6 + 16\% \text{Al}_2\text{O}_3 | \text{Na}_3\text{AlF}_6 + n\% \text{Al}_2\text{O}_3 | \text{C}$ with a magnesite membrane disclosed a complicated relationship between the potential of a carbon electrode and the alumina content of molten cryolite. A similar relationship has been found when measuring the potential of a carbon electrode with reference to the discharge potential of fluorine. The effect was established on the carbon electrode potential of the aluminium dissolved in the electrolyte.

The ohmic resistance of the cell $\text{C} | \text{Na}_3\text{AlF}_6 + n\% \text{Al}_2\text{O}_3 | \text{C}$ was found to have a maximum at an Al_2O_3 content of 1%. No marked changes in the resistance have been observed over the range 2—10% Al_2O_3 .

ВОССТАНОВЛЕНИЕ АНИОНА BrO_3^- НА КАПЕЛЬНОМ РТУТНО ЭЛЕКТРОДЕI. ПОЛЯРОГРАФИЯ BrO_3^- В ПРИСУТСТВИИ ОДНОЗАРЯДНЫХ КАТИОНОВ ПРИ РАЗЛИЧНЫХ рН

В. И. Зыков и С. И. Жданов

Уже первые измерения [1] показали, что ионы BrO_3^- восстанавливаются тем легче, чем выше валентность катионов индифферентного электролита. Сравнением высот волн BrO_3^- и Cd^{2+} было установлено, что восстановление BrO_3^- сопровождается присоединением шести электронов ($n = 6$).

Позднее Орлеман и Кольтофф [2] подробно изучали восстановление JO_3^- , BrO_3^- в кислых растворах, распространили развитые ими представления о механизме процесса на восстановление анионов в нейтральной и щелочной средах и пришли к выводу, что в этих условиях восстанавливаются нейтральные или даже положительно заряженные частицы типа MBrO_3 или M_2BrO_3^+ ($\text{M}^+ —$ однозарядный катион). Они изучали также влияние природы и концентрации индифферентного электролита на обнаруженные явления и не объяснили. Для определения n они применили уравнение Ильковича и нашли, что $n = 6$. Следует отметить, что поляризационные кривые, полученные Орлеманом и Кольтоффом, в большинстве случаев искажены. Эти искажения авторы рассматривают как «водяные волны», представление о которых ошибочно.

М. Г. Козловский с сотрудниками [4] вычислили n для восстановления BrO_3^- в присутствии двухзарядных катионов по уравнению Ильковича; было найдено, что n колеблется от 3 до 6.

В целом литература по восстановлению броматов не дает достаточно ясного представления о механизме процесса.

Экспериментальная часть

Восстановление BrO_3^- изучалось на полярографической установке с визуальным отсчетом. С целью сведения к минимуму вибрации, особенно легко нарушающей и малую работу капилляра при очень отрицательных потенциалах, ячейка устанавливалась в хорошо амортизированный воздушный термостат [5].

Все опыты выполнены с одним капилляром с круглым каналом; радиус капилляра $r = 0,0438$ мм, длина 268 мм; скорость вытекания ртути [4] при высоте ртутного столба 300 мм $m = 1,92$ мг/сек, период капания τ , измеренный в 1 N KCl при 25°C , $\phi = -0,46$ (н. к. э.) и давлении $h = 300$ мм рт. ст., равен 6,6 сек. Потенциал ртутной капли во всех опытах измерялся относительно н. к. э. Сила тока измерялась гальванометром с максимальной чувствительностью $3,5 \cdot 10^{-8}$ А на деление шкалы. Искривленные на рисунках поляризационные кривые не исправлены на остаточные токи, но во всех расчетах остаточный ток учитывался. Опыты проводились при $25^\circ \pm 0,1^\circ\text{C}$, так, что вся полярографическая ячейка находилась при одинаковой температуре. Перед измерениями через раствор полтора часа пропускался электролитический водород, очищенный от следов кислорода пропусканием через нагретую до 300°C трубку с палладированным асбестом. Принимались меры предосторожности против попадания в раствор поверхностно-активных веществ. Максимумы второго рода исключались подбором режима работы капилляра [4]. Для нашего капилляра они не наблюдаются даже в наиболее благоприятных для их возникновения условиях в интервале $h = 200-400$ мм рт. ст.; поэтому в качестве рабочего было выбрано давление $h = 300$ мм рт. ст.

Для приготовления растворов использовалась дважды дистиллированная вода (вторая перегонка производилась из щелочного раствора KMnO_4) и химически чистые реактивы. Кроме того, соли обычно дополнительно перекристаллизовывались дважды перегнанной водой и сушились или даже прокаливались при температуре, близкой к температуре плавления. $(\text{CH}_3)_4\text{NBrO}_3$ и $(\text{CH}_3)_4\text{NOH}$ были синтезированы нами. В опытах, проводившихся при низких рН, применялся выносный анионный рН измерялся стеклянным электродом и ламповым потенциометром ЛП-5.

Влияние природы и концентрации индифферентного электролита на кинетику восстановления BrO_3^- в щелочной, нейтральной и слабокислой среде. На рис. 1 изображен ряд поляризационных кривых, полученных при различных рН.

кривых восстановления BrO_3^- в присутствии различных однозарядных катионов. В разбавленных растворах площадка предельного тока $i_{\text{пр}}$ выражена менее отчетливо, чем в более концентрированных (ср., например, кривые 3 и 4). В 0,1 M NaCl волна BrO_3^- сливается с фоном. В 0,1 M LiCl волна BrO_3^- выражена плохо, а на фоне $(\text{CH}_3)_4\text{NBr}$ она сильно растягивается (кривая 5).

Предельный ток $i_{\text{пр}}$ для BrO_3^- в нейтральной и щелочной средах пропорционален \sqrt{h} ; прямая $i_{\text{пр}}, \sqrt{h}$ проходит через начало координат, что указывает на диффузионную природу $i_{\text{пр}}$. Предельный ток пропорционален концентрации BrO_3^- .

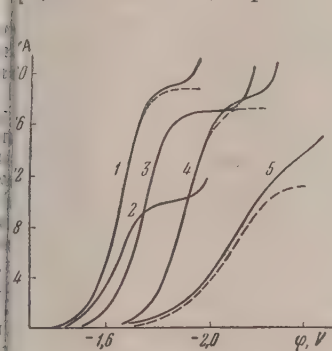


Рис. 1

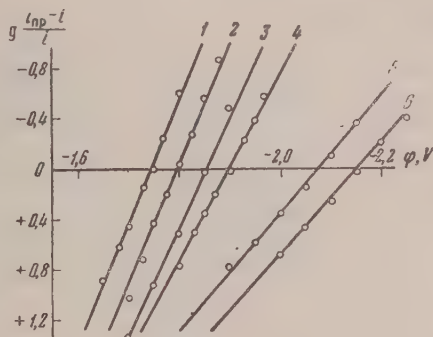


Рис. 2

ис. 1. Поляризационные кривые BrO_3^- : 1 — 3,7 M KCl + $7 \cdot 10^{-4}$ M BrO_3^- ; 2 — 1 M CsCl + $3,53 \cdot 10^{-4}$ M BrO_3^- ; 3 — 1 M LiCl + $7,05 \cdot 10^{-4}$ M BrO_3^- ; 4 — 0,1 M LiCl + $7,06 \cdot 10^{-4}$ M BrO_3^- ; 5 — 1 M $(\text{CH}_3)_4\text{NBr}$ + $7,05 \cdot 10^{-4}$ M BrO_3^- ; пунктирными линиями показаны кривые, исправленные на остаточный ток

ис. 2. Графики $\phi, \lg \frac{i_{\text{пр}} - i}{i}$ для волны BrO_3^- в нейтральных растворах: 1 — 0,1 M CsCl; 2 — 0,1 M RbCl; 3 — 0,1 M KCl; 4 — 0,1 M LiCl; 5 — 1 M $(\text{CH}_3)_4\text{NBr}$; 6 — 0,2 M $(\text{CH}_3)_4\text{NBr}$

При изменении pH от 5 до 12 поляризационная кривая BrO_3^- практически не изменяется. Мы определяли n для восстановления BrO_3^- на фоне 1 N CaCl_2 микрокулонометрически [6]. В присутствии двухзарядных катионов площадка $i_{\text{пр}}$ BrO_3^- более протяженная, чем в присутствии однозарядных катионов.

Опыт показал, что в нейтральных и щелочных растворах $n = 6$.

На кинетику разряда BrO_3^- существенным образом влияет природа и концентрация индифферентного электролита, что иллюстрируется табл. 1. С увеличением концентрации фона $\phi_{1/2}$ смещается в положительную сторону по полулогарифмическому закону с угловым коэффициентом $\xi = \partial \phi_{1/2} / \partial \lg [M^+]_0$, зависящим от природы катиона (табл. 1). В ряду $\text{Cs}^+ - \text{Li}^+$ ξ увеличивается. При увеличении концентрации $(\text{CH}_3)_4\text{N}^+$ волна BrO_3^- также смещается в положительную сторону. При одинаковой концентрации фона $\phi_{1/2}$ BrO_3^- смещается в отрицательную сторону в ряду $\text{Cs}^+ - \text{Li}^+$.

При добавлении к раствору желатины до концентрации 0,01% $\phi_{1/2}$ независимо от pH сдвигается в отрицательную сторону примерно на 100 mV; $i_{\text{пр}}$ при этом остается неизменным.

На рис. 2 приведены графики $\phi, \lg \frac{i_{\text{пр}} - i}{i}$. Величина углового коэффициента прямых b (табл. 1) указывает на существенную необратимость

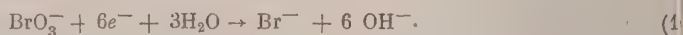
Таблица 1

Восстановление BrO_3^- в нейтральных растворах однозарядных катионов

Фон	Концентрация фона, М	$-\Phi_{1/2}, V$	ξ	b	α
LiCl	0,1	(1,910)	0,225	0,123	0,48
	0,5	1,795			
	1,0	1,725			
	2,0	1,640			
NaCl	0,7	1,725	0,205	0,118	0,50
	1,0	1,705			
	1,4	1,675			
	1,7	1,665			
	2,0	1,650			
	3,0	1,600			
KCl	0,1	(1,85)	0,120	0,109	0,54
	0,25	1,770			
	0,5	1,740			
	1,0	1,700			
	2,0	1,665			
	3,7	1,645			
RbCl	0,1	1,795	0,115	0,104	0,57
	0,25	1,760			
	0,5	1,710			
	1,0	1,680			
CsCl	0,1	1,747	0,110	0,100	0,59
	0,25	1,700			
	0,5	1,670			
	1,0	1,635			
$(\text{CH}_3)_4\text{NBr}$	0,2	2,170	—	0,218	0,27
	1,0	2,070			

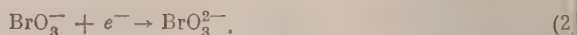
процесса. При переходе от $(\text{CH}_3)_4\text{N}^+$ к катионам щелочных металлов резко уменьшается; b уменьшается также в ряду $\text{Li}^+ - \text{Cs}^+$, но значительно меньше. При изменении концентрации фона в пределах 0,1—4 N не изменяется.

Изложенный экспериментальный материал приводит к следующим соображениям относительно механизма разряда аниона BrO_3^- в нейтральной и щелочной средах. Восстановление BrO_3^- протекает согласно стехиометрическому уравнению:

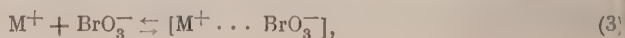


Выше указывалось, что в нейтральных и щелочных растворах однозарядных катионов pH среды не влияет на кинетику процесса. Следовательно, в замедленной (потенциалоопределяющей) стадии ионы H^+ и OH^- участвия не принимают.

Так как восстановление BrO_3^- идет непосредственно до низшей степени валентности (Br^-), то замедленной стадией процесса, по-видимому, является присоединение первого электрона:



Наблюдаемые на опыте явления могут быть объяснены при предположении, что в двойном электрическом слое существует равновесие



зующее к образованию ионных пар, и что на катоде разряжаются анионы BrO_3^- , которые входят в состав этих ионных пар*.

Согласно нашим данным $\varphi_{1/2}$ BrO_3^- не зависит от концентрации BrO_3^- , что указывает на первый порядок реакции по BrO_3^- . Поэтому выражение для средней силы тока при $[\text{BrO}_3^-]_0 \ll [\text{M}^+]_0$, согласно теории замедленного разряда, может быть приближенно записано в следующем виде:

$$\frac{\bar{i}}{1 - \frac{\bar{i}}{i_{\text{пр}}}} = k [\text{M}^+]_0 [\text{BrO}_3^-]_0 \exp\left(\frac{F\psi_1}{RT}\right) \exp\left(-\frac{F\psi_2}{RT}\right) \exp\left[\frac{\alpha F}{RT}(\varphi - \psi_1)\right], \quad (4)$$

где \bar{i} — сила тока при данном φ , $[\text{BrO}_3^-]_0$ и $[\text{M}^+]_0$ — концентрации BrO_3^- катиона в глубине раствора.

Под величиной ψ_1 обычно подразумевается потенциал на расстоянии двойного ионного радиуса от поверхности электрода. Однако, так как мы предполагаем, что разряжается анион, входящий в состав ионной пары вместе с катионом M^+ , то в этом случае, на что впервые обратил внимание А. Н. Фрумкин [7, 8], под ψ_1 правильнее подразумевать не среднее значение потенциала на некотором определенном расстоянии от поверхности электрода, а значение потенциала в двойном слое вблизи катода, в том месте, где располагается центр заряда аниона BrO_3^- . Потенциал этот складывается из среднего потенциала ионов, входящих в состав двойного слоя и некоторого добавочного положительного потенциала, зависящего от близости катионов M^+ . Так как в предложенной картине необходимо учитывать различие в значениях ψ_1 -потенциала для аниона и катиона, то мы, сохраняя обозначение ψ_1 для аниона, ввели новое обозначение ψ_2 для потенциала в той точке, в которой находится центр катиона.

Можно предполагать, в первом приближении, что зависимость ψ_1 - и ψ_2 -потенциалов от строения двойного слоя в целом та же, что и для среднего потенциала.

Остальные обозначения в уравнении (4) имеют свое обычное значение.

При $\bar{i} = 1/2 i_{\text{пр}}$; $\varphi = \varphi_{1/2}$. После логарифмирования и преобразований получаем:

$$\varphi_{1/2} = k' + \frac{RT}{\alpha F} \ln [\text{M}^+]_0 + \psi_1 + \frac{\psi_1 - \psi_2}{\alpha}. \quad (5)$$

Из теории строения диффузного двойного электрического слоя следует, что для одно-однозарядного электролита и отрицательно заряженной поверхности электрода

$$\psi_1 \sim k'' + \frac{RT}{F} \ln_i [\text{M}^+]_0. \quad (6)$$

В первом приближении можно принять, что разность $\psi_1 - \psi_2$ не зависит от концентрации фона.

Подставляя (6) в (5), получаем

$$\varphi_{1/2} = k''' + 2,3 \frac{RT}{F} \left(\frac{1+\alpha}{\alpha}\right) \lg [\text{M}^+]_0. \quad (7)$$

Последнее выражение приближенно описывает наблюдающуюся на опыте полулогарифмическую зависимость $\varphi_{1/2}$ от $[\text{M}^+]_0$.

* Поведение ионных пар, находящихся в сильном электрическом поле электрода и в глубине раствора (влияние радиуса и заряда частиц, составляющих ионную пару, на их прочность, а также влияние температуры на константу диссоциации), по-видимому, качественно аналогично.

Как показывает опыт, α в широком интервале концентраций ϕ остается неизменной. Выражение (7) поэтому может быть использовано для приближенного вычисления

$$\xi = 2,3 \frac{RT}{F} \left(\frac{1 + \alpha}{\alpha} \right).$$

Если положить $\alpha = 0,5$, то величина ξ по выражению (7) равна 0,1. Опытные значения ξ (см. табл. 1) лежат в пределах 0,110—0,255 и висят от природы катиона фона, что не учитывается уравнением (7). Это объясняется тем, что исходные уравнения при выводе (7) являются приближенными и не учитывают ряда факторов, влияющих на величину $\phi_{1/2}$. К их числу можно отнести, например, поляризацию аниона BrO_3^- под действием электрического поля катиона ионной пары, а также и некоторую специфическую адсорбцию катионов. Из данных по дифференциальной емкости ртутного электрода в растворах катионов щелочных металлов следует, что емкость при отрицательном заряде поверхности в ряду $\text{Li}^+ \rightarrow \text{Cs}^+$ увеличивается. Причина этого явления не может быть окончательно установлена, но, возможно, что оно указывает на некоторое превышение концентрации ионов с большим радиусом, как Cs^+ , в двойном слое и той, которую следовало бы ожидать на основании элементарной теории диффузного двойного слоя, т. е. на некоторую, хотя и небольшую, специфическую адсорбцию этих ионов, с которой должен быть связан сдвиг ϕ_1 -потенциала в положительную сторону. Этим можно объяснить сдвиг потенциала полуволны BrO_3^- в положительную сторону при переходе от Li^+ к Cs^+ , обнаруженный нашими опытами. Увеличение скорости процесса в ряду $\text{Li}^+ \rightarrow \text{Cs}^+$ наблюдается и при электровосстановлении аниона $\text{S}_2\text{O}_8^{2-}$, как это показано Н. В. Николаевой и Б. Б. Дамаскиным [10].

Специфическая адсорбция катиона $(\text{CH}_3)_4\text{N}^+$ значительно больше, чем адсорбция катионов щелочных металлов. С этой точки зрения, $\phi_{1/2}$ BrO_3^- на фоне $(\text{CH}_3)_4\text{NBr}$ должен был бы быть еще более положительным. Опыт, однако, показывает обратное. Это противоречие можно объяснить следующим образом. В случае катиона с таким большим радиусом вероятность образования ионной пары с анионом BrO_3^- сильно падает по сравнению с катионами щелочных металлов, в особенности вблизи сильно отрицательно заряженной поверхности; ускоряющее действие катиона $(\text{CH}_3)_4\text{N}^+$, следовательно, может быть меньше, чем катионов щелочных металлов.

Возможно, что в случае восстановления иона BrO_3^- на скорость реакции существенно влияет не только изменение ϕ_1 -потенциала, но и деформация аниона электрическим полем катиона, увеличивающая его реакционную способность [11]. Последний эффект для иона $(\text{CH}_3)_4\text{N}^+$ также должен быть слабее выражен, чем для катионов щелочных металлов. Интересно, что при восстановлении ионов $\text{S}_2\text{O}_8^{2-}$, которое происходит при значительно менее отрицательных потенциалах, ускоряющее действие катионов $(\text{CH}_3)_4\text{N}^+$ превышает ускоряющее действие катионов щелочных металлов, включая и Cs^+ , как это было доложено Н. В. Николаевой и Б. Б. Дамаскиным на Электрохимической конференции в г. Вильнюсе в мае 1956 г.

Восстановление BrO_3^- в кислой среде. Если раствор, содержащий BrO_3^- , который дает волну, соответствующую кривой 2 рис. 3, подкислить, то при $\text{pH} \sim 4$ на поляризационной кривой появляется новая волна, расположенная при значительно более положительных потенциалах (кривая 3, рис. 3). При дальнейшем увеличении концентрации кислоты эта волна возрастает пропорционально концентрации H^+ -ионов (кривые 4 и 5, рис. 3) и достигает предельной высоты (кривые 6 и 7, рис. 3), примерно равной высоте волны BrO_3^- в нейтральных и щелочных растворах той же концентрации (ср. с кривой 2, рис. 3).

При добавлении к кислому раствору раствора соли BrO_3^- также появляется новая волна BrO_3^- (кривая 3, рис. 4). $i_{\text{пр}}$ этой волны возрастает пропорционально концентрации BrO_3^- до тех пор, пока не достигнет величины $i_{\text{пр}}$ H^+ -иону. При дальнейшем увеличении концентрации BrO_3^- $i_{\text{пр}}$ этой волны остается неизменным.

Предельный ток для BrO_3^- в кислых растворах также имеет диффузионную природу.

Как и в нейтральной среде, восстановление BrO_3^- в кислой среде происходит с участием шести электронов, что следует уже из равенства $i_{\text{пр}}$ BrO_3^- нейтральных и кислых (при $[\text{BrO}_3^-]_0 \ll [\text{H}^+]_0$) растворах (ср. кривые 6

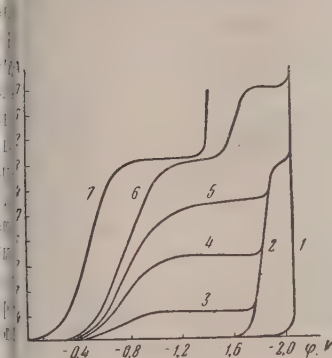


Рис. 3

с. 3. Поляризационные кривые BrO_3^- на фоне 0,1 М КСl при различных pH: $[\text{BrO}_3^-] = 1,12 \cdot 10^{-3} \text{ М}$: 1 — 0,1 М КСl (фон); 2 — pH = 7,1; 3 — pH = 3,38; 4 — pH = 2,9; 5 — pH = 2,7; 6 — $[\text{HCl}] = 3,8 \cdot 10^{-3} \text{ М}$; 7 — $[\text{HCl}] = 10^{-1} \text{ М}$

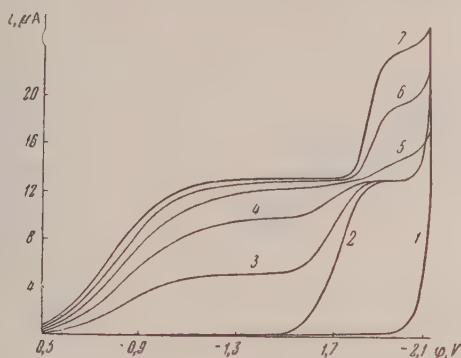
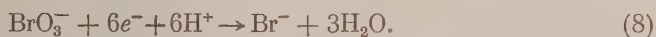


Рис. 4

с. 4. Поляризационные кривые BrO_3^- в кислой среде при избытке H^+ -ионов: 1 — 0,1 М КСl (фон); 2 — 1 М КСl + $1,2 \cdot 10^{-3} \text{ М}$ HCl; $[\text{BrO}_3^-]$: 1 и 2 0; 3 — $1,96 \cdot 10^{-4}$; 4 — $3,84 \cdot 10^{-4}$; 5 — $5,66 \cdot 10^{-4}$; 6 — $7,4 \cdot 10^{-4}$ и 7 — $9,9 \cdot 10^{-4} \text{ М}$

2, рис. 3). Нами было выполнено также микрокулометрическое определение n при выполнении указанного условия; результаты представлены на рис. 5.

Как видно из рис. 5, опытные точки хорошо ложатся на прямую $n = 6$. Следовательно, восстановление BrO_3^- в кислых растворах протекает по уравнению



Согласно этому уравнению предельная высота волны BrO_3^- в кислых растворах при увеличении концентрации ионов H^+ в случае избытка ионов BrO_3^- или при увеличении концентрации BrO_3^- в случае избытка H^+ -ионов должна достигаться при равенстве потока ионов H^+ ускоренному потоку BrO_3^- :

$$[\text{H}^+]_0 D_{\text{H}^+}^{1/2} = 6 [\text{BrO}_3^-]_0 D_{\text{BrO}_3^-}^{1/2}. \quad (9)$$

Согласно нашим данным*, в 1 М КСl $D_{\text{H}^+} = 7,9 \cdot 10^{-5}$ и $D_{\text{BrO}_3^-} =$

* Приведенные значения реальных коэффициентов диффузии BrO_3^- и H^+ рассчитаны по уравнению Ильковича.

$= 1,33 \cdot 10^{-5} \text{ см}^2 \text{ сек}^{-1}$. Следовательно,

$$\frac{[\text{H}^+]_0}{[\text{BrO}_3^-]_0} = 6 \left(\frac{1,33 \cdot 10^{-5}}{7,9 \cdot 10^{-6}} \right)^{1/2} = 2,46.$$

Таким образом одна волна восстановления BrO_3^- в кислых растворах должна наблюдаться в растворе, в котором концентрация H^+ -ионов примерно в 2,5 раза превышает концентрацию BrO_3^- , что подтверждается опыте. При $[\text{H}^+]_0 > 2,5 [\text{BrO}_3^-]_0$ на поляризационной кривой должны появиться две волны, из которых первая обусловлена восстановлением BrO_3^- , а вторая — разрядом H^+ (рис. 3, кривые 6 и 7 и рис. 4, кривые 3 и 4).

Две волны будут наблюдаться также при условии $[\text{H}^+]_0 < 2,5 [\text{BrO}_3^-]_0$. В этом случае первая волна отвечает восстановлению BrO_3^- в кис-

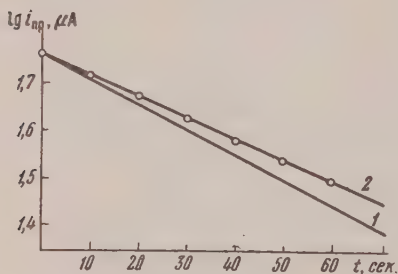


Рис. 5. Микрокулонометрирование BrO_3^- в кислой среде; состав, раствора: $10^{-3} \text{M KBrO}_3 + 10^{-1} \text{N H}_2\text{SO}_4 + 1,0 \text{N K}_2\text{SO}_4 + 0,01\% \text{ желатин}$. Сплошные линии — рассчитанные по уравнению Джильберта и Райдила [12]: 1 — $n=5$; 2 — $n=6$; кружки — экспериментальные точки

среде, а вторая — восстановлению BrO_3^- в нейтральной или щелочной среде (см. кривые 3—5, рис. 3 и кривые 5—7, рис. 6). На рис. 5 изображены также кривые разряда H^+ -ионов (кривые 2—4) из растворов, не содержащих BrO_3^- , но с той же концентрацией кислоты. Эти данные иллюстрируют равенство $i_{\text{пр BrO}_3^-}$ в кислой среде при $2,5 [\text{BrO}_3^-]_0 > [\text{H}^+]_0$ и $i_{\text{пр H}^+}$ в отсутствие BrO_3^- .

$\varphi_{1/2} \text{ BrO}_3^-$ в кислой среде зависит от pH раствора. Так как при восстановлении BrO_3^- ионы H^+ расходуются, то для поддержания постоянства pH в околоэлектродном слое опыты по изучению зависимости $\varphi_{1/2}$ от концентрации H^+ -ионов проводились при $[\text{H}^+]_0 / [\text{BrO}_3^-]_0 \geq 100^*$.

Таблица 2

Состав раствора	$b = 2,3 \frac{RT}{\alpha F}$	$a = \frac{d\varphi_{1/2}}{d \lg [\text{H}^+]_0}$	$x_{\text{H}^+} = \frac{a}{b}$
$\text{HClO}_4 + \text{KClO}_4$	0,166	0,17	$\sim 1,0$
$\text{HCl} + \text{KCl}$	0,20	0,20	1,0
$\text{H}_2\text{SO}_4 + \text{K}_2\text{SO}_4$	0,20	0,21	$\sim 1,0$

* $\varphi_{1/2}$ зависит от ионной силы раствора; поэтому ионная сила поддерживалась приблизительно постоянной, равной единице ($\mu = 1/2 \sum Z^2 c$).

Изложенные данные заставляют предположить, что в элементарном замедленной стадии разряда BrO_3^- в кислых растворах участвуют ионы H^+ . Кинетическое уравнение реакции должно поэтому содержать член, связывающий скорость процесса с концентрацией H^+ -ионов. Если обозначить через x_{H^+} число ионов H^+ , участвующих в замедленной стадии процесса, то, предполагая, что анионы BrO_3^- и ионы H^+ образуют одну частицу с зарядом $x_{\text{H}^+} - 1$, кинетическое уравнение может быть приближенно записано в следующем виде:

$$k [\text{H}^+]_0^{x_{\text{H}^+}} [\text{BrO}_3^-]_0 \left(1 - \frac{i}{i_{\text{пр}}}\right) \exp\left[-\frac{F}{RT}(x_{\text{H}^+} - 1)\psi_1\right] \exp\left[-\frac{\alpha F}{RT}(\varphi - \psi_1)\right]. \quad (10)$$

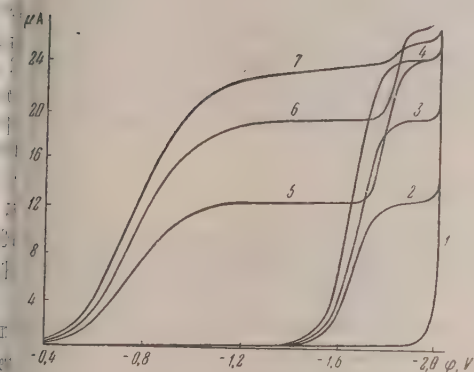


Рис. 6

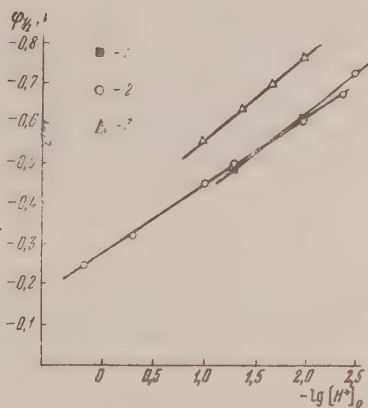


Рис. 7

рис. 6. Поляризационные кривые H^+ и BrO_3^- в кислой среде: 1 — 1 M KCl (фон); 2 — 1 M KCl + $1,19 \cdot 10^{-3}$ M HCl; 3 — 1 M KCl + $1,8 \cdot 10^{-3}$ M HCl; 4 — 1 M KCl + $2,26 \cdot 10^{-3}$ M HCl; 5 — 1 M KCl + 10^{-3} M BrO_3^- + $1,19 \cdot 10^{-3}$ M HCl; 6 — 1 M KCl + 10^{-3} M BrO_3^- + $1,8 \cdot 10^{-3}$ M HCl; 7 — 1 M KCl + 10^{-3} M BrO_3^- + $2,28 \cdot 10^{-3}$ M HCl

рис. 7. Графики $\varphi_{1/2}$, $-\lg [\text{H}^+]_0$ для различных кислот при $\mu = 1$. 1 — HCl на фоне KCl; 2 — HClO_4 на фоне KClO_4 ; 3 — H_2SO_4 на фоне K_2SO_4 .

После преобразований уравнение (10) принимает вид:

$$\varphi_{1/2} = k' + \frac{RT}{\alpha F} x_{\text{H}^+} \ln [\text{H}^+]_0 - \frac{x_{\text{H}^+} - 1 - \alpha}{\alpha} \psi_1. \quad (11)$$

Так как ионная сила поддерживалась постоянной, то в очень широком интервале концентраций ионов H^+ последний член уравнения (11) в первом приближении можно считать постоянным. Тогда

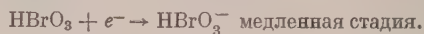
$$\varphi_{1/2} = k'' + b x_{\text{H}^+} \lg [\text{H}^+]_0, \quad (12)$$

где $b = 2,3 RT/\alpha F$.

Таким образом найденная на опыте полулогарифмическая зависимость $\varphi_{1/2}$ от концентрации H^+ -ионов может быть объяснена.

Уравнение (12) позволяет рассчитать x_{H^+} . В последней колонке табл. 2 приведены результаты этих вычислений, из которых следует, что в элементарном акте восстановления BrO_3^- участвует один H^+ -ион. Кинетические измерения не позволяют однозначно решить вопрос о том, участвуют ли ионы H^+ непосредственно в элементарном акте процесса, или же последнему, что представляется более вероятным, предшествует стадия образования молекул HBrO_3 .

Механизм разряда бромат-аниона в кислой среде представляется этому следующим:



Из того факта, что во всех случаях $i_{\text{пр}}$ имеет диффузионную природу, следует, что скорость установления равновесия (13) велика по сравнению со скоростью электрохимического процесса, так что равновесие не нарушается при прохождении тока.

По мнению Рилиха [1], на электроде разряжаются не молекулы HBrO_3 , сколько бромоватая кислота является сильной, а ионные пары, образование которых облегчает их подход к поверхности электрода из объема раствора. В действительности образование ионных пар влияет не на движения ионов к поверхности электрода, а на условия адсорбции в пределах двойного слоя, как это было разобрано в первой части работы. Большое различие между кинетикой восстановления BrO_3^- в нейтральных и кислых растворах заставляет думать, что во втором случае имеет место восстановление недиссоциированных молекул HBrO_3 .

Орлеман и Кольтофф [2], исходя из соображений, несколько отличных от наших, также пришли к выводу, что в кислых растворах разряжаются молекулы HBrO_3 .

Выражаем глубокую благодарность акад. А. Н. Фрумкину за постоянный интерес к работе и ценные советы при обсуждении результатов.

Выводы

1. Исследовано восстановление BrO_3^- -аниона на капельном ртутном электроде при 25°C в нейтральной, щелочной и кислых средах в присутствии однозарядных катионов.
2. Изучено влияние природы и концентрации однозарядных катионов на $\varphi_{1/2}$ восстановления BrO_3^- .
3. Показано, что при увеличении концентрации катионов фона смещается в положительную сторону, причем угол наклона прямой $\lg [M^+]_0$ зависит от природы катиона.
4. $\varphi_{1/2}$ при одинаковой концентрации индифферентного электролита зависит от природы катиона и в ряду $\text{Li}^+ - \text{Cs}^+$ становится более положительным.
5. Скорость восстановления BrO_3^- в нейтральных, щелочных и слабых кислых растворах не зависит от pH.
6. При подкислении раствора, содержащего BrO_3^- , появляется волна, отвечающая иному механизму восстановления BrO_3^- .
7. Прямыми микрокулонометрическими измерениями определено число электронов, участвующих в восстановлении BrO_3^- . Показано, что как в нейтральных и щелочных, так и в кислых растворах $n = 6$.
8. Экспериментальные данные соответствуют механизму, согласно которому в слабых, нейтральных и щелочных растворах замедляющей стадией является разряд анионов, входящих в состав ионных пар. В кислых растворах разряжаются недиссоциированные молекулы HBrO_3 .

Академия наук СССР
Институт физической химии
Москва

Поступила
28.XI. 1956

ЛИТЕРАТУРА

1. A. Rylich, Coll. Czech. Chem. Comm., 7, 228, 1935.
2. E. Orlemann, I. Kolthoff, Journ. Amer. Chem. Soc., 64, 1044, 1970, 194.
3. Т. А. Крюкова, Диссертация, ИФХ АН СССР, 1953; Журн. физ. химии 20, 1179, 1946.
4. М. Г. Козловский, П. И. Зебрева, З. Б. Рождественская, Уч. зап. Каз. гос. ун-та, 14, 94, 1952.
5. В. И. Зыков, Е. В. Макарова, Зав. лаб., 24, 220, 1958.

3. И. Жданов, В. И. Зыков. Труды ин-та физич. химии. Изд. АН СССР. М., вып. 6, 1957, стр. 29.
4. A. N. Froumkin, *Aktualités scientifiques et industr.*, № 373, Paris, 1937; М. А. Ворсина, А. Н. Фрумкин, *Журн. физ. химии*, **17**, 295, 1943.
5. А. Н. Фрумкин, В. С. Багоцкий, З. А. Иофа, Б. Н. Кабанов, Кинетика электродных процессов, Изд-во МГУ, 1952.
6. D. G. Grahame, *Journ. Amer. Chem. Soc.*, **98**, 343, 1951;
7. А. Н. Фрумкин, Б. Б. Дамаскин, Н. В. Николаева-Федорович, *ДАН*, **115**, 751, 1957.
8. А. Н. Фрумкин, *Усп. химии*, **24**, 939, 1955.
9. J. Neugevsky, *Arch. Newijiu*, **8**, 11, 1934; L. Holleck, *Zs. phys. Chem.*, **194**, 140, 1944.
10. G. Gilbert, E. K. Rideal, *Trans. Farad. Soc.*, **47**, 396, 1951.

THE REDUCTION OF THE BrO_3^- ANION ON THE DROPPING MERCURY ELECTRODE

THE POLAROGRAPHY OF BrO_3^- IN THE PRESENCE OF UNIVALENT CATIONS AT VARIOUS pH VALUES

V. I. Zykov and S. I. Zhdanov (Moscow)

Summary

The effect of the concentration and of the nature of a single univalent supporting electrolyte, and of the pH on the polarographic reduction of BrO_3^- has been investigated. The experimental data are in accord with a mechanism according to which at $\text{pH} > 4$ the determining step is the discharge of the anionic constituents of the ionic pairs. At $\text{pH} < 4$ the process of discharge of undissociated HBrO_3 molecules develops.

О КАТАЛИТИЧЕСКОЙ АКТИВНОСТИ РЕДКИХ ЭЛЕМЕНТОВ В РЕАКЦИИ РАЗЛОЖЕНИЯ ПЕРЕКИСИ ВОДОРОДА. I

А. Я. Зворыкин, Ф. М. Перельман и С. К. Шахова

Многие редкие элементы обладают переменной валентностью; друг образуют более или менее стабильные комплексные соединения; треть дают ярко-окрашенные соли. Все эти признаки характерны для большинства металлов, соединения которых применяются в качестве катализаторов в различных химических реакциях. Однако каталитические свойства большинства солей редких элементов, как правило, мало изучены.

В реакции каталитического разложения перекиси водорода изучались лишь редкие элементы главным образом соединения молибдена как в отдельности так и в сочетании с солями других металлов [1, 3]. Среди них наиболее активные

стали были получены при сочетании молибдата натрия хлорной медью [4]. Выяснено влияние рН среды в данной реакции и выделены некоторые весьма активные промежуточные продукты [5].

В проведенной работе каталитическая активность солей редких элементов изучалась как свойство, зависящее не только от температуры реакции и рН среды, но прежде всего от соотношения компонентов катализаторов [6, 7]. В этом почти во всех случаях удалось получить весьма активные катализаторы при добавлении к солям редких элементов солей меди, кобальта или марганца.

Нами изучался гомогенный катализ, когда реакция начинается после смешения исходных растворов и сопровождается образованием каталитически активного промежуточного продукта перекисного типа. Ввиду этого для правильного, неискаженного хода процесса необходимо было обеспечить одновременное соединение всех веществ участвующих в реакции.

После испытания ряда небольших сосудов мы остановились на форме сосуда, изображенного на рис. 1, который позволила подавать одновременно два катализатора в один момент.

Сосуд представляет собой колбу с припаянной крышкой. К крышке колбы прикреплен стеклянный стаканчик, с ланкой, удерживающий два небольших стаканчика, которые свободно падают в колбу при встряхивании сосуда, закрепленного в механической качалке.

Опыты проводились следующим образом: в колбу наливались 5 мл 30%-ной перекиси водорода и 20 мл буферного раствора; затем в стаканчики выливался раствор катализатора, суммарный объем которых составлял 1 мл. Реакционный

сосуд помещался в термостат на 15—20 мин. до начала реакции для выравнивания температуры.

При встряхивании стаканчики выпадают из гнездышек, и катализатор смешивается с перекисью водорода. Таким образом было достигнуто одновременное соединение двух катализаторов и одновременное их действие на перекись водорода.

Опыты проводились в сосудах из стекла пирекс. Было установлено, что влияние стенок колбы на скорость реакции можно пренебречь, так как результаты опытов в парафинированном и непарафинированном сосуде практически не отличались.

Катализаторы употреблялись в большинстве опытов в 0,1 М концентрации. Медь, кобальт и железо применялись в виде хлоридов, марганец — в виде перманганата калия*. О приготовлении растворов редких элементов будет сказано ниже. Вода для растворов была дважды перегнана в кварцевой аппаратуре на снях.

* Известно, что перманганат реагирует с перекисью водорода, причем в нейтральной и щелочной среде образуется MnO_2 , который и являлся катализатором в принятых нами условиях.

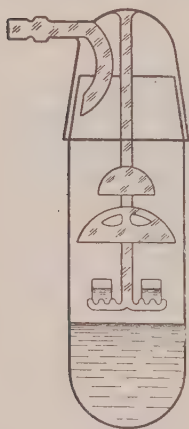


Рис. 1. Сосуд для определения распада перекиси водорода в гомогенной среде, в присутствии смешанного двухкомпонентного катализатора

Реакция проводилась при $\text{pH} = 8,0$; буферный раствор был приготовлен на основе лимонной кислоты и динатрийфосфата трижды перекристаллизованных. Опыты проводились при температуре $25^\circ\text{C} \pm 0,1^\circ$, при скорости встряхивания 300 кач./мин. Концентрация исходной перекиси систематически проверялась. Скорость реакции определялась по выделявшемуся кислороду, который собирался в газовой бюретке над водой. Полученные объемы затем приводились к нормальным условиям. Отклонение от определяемого объема кислорода составляли в повторных опытах в среднем не более 3%.

Активность катализаторов оценивалась по константе скорости распада перекиси водорода за 30 мин. до начала опыта; константа вычислялась по формуле для реакции второго порядка. При этом в ряде случаев константа не сохраняла постоянного значения и постепенно уменьшалась. Но это падение значения величины константы почти всегда можно было объяснить дезактивацией катализатора в ходе процесса. Поэтому нам представлялось более правильным в качестве меры каталитической активности принимать константу скорости реакции, а не какую-либо другую эмпирическую величину, например объем кислорода, выделившийся за данный промежуток времени или время полураспада.

Полученные результаты приведены ниже.

Оксалат ниобия. Полученный из металлического ниобия Nb_2O_5 растворился в избытке щавелевой кислоты для образования комплекса, который обозначим эмпирической формулой $\text{Nb}(\text{HC}_2\text{O}_4)_3$. Ниобий был предварительно очищен от железа и кремния. Содержание тантала в нем было незначительно и количественно не определялось.

Концентрация ниобия в растворе определялась объемным методом [8] путем восстановления в редукторе Джонса с последующим титрованием KMnO_4 ; она равнялась $0,047 \text{ M}$.

Замечена способность ниобия понижать скорости разложения перекиси водорода, вызываемого другими катализаторами, такими, как хлористая медь, хлористый кобальт и перекись марганца.

Наиболее ярко действие ниобия как отрицательного катализатора проявляется в его сочетании с кобальтом.

Опытным путем было найдено, что щавелевая кислота в данном количестве, взятая в отдельности, не влияет на разложение перекиси водорода. Тем не менее, при определении каталитической активности хлористого кобальта в реакционный сосуд добавлялась щавелевая кислота в соответствующих количествах.

При всех соотношениях ниобия и кобальта раствор во время реакции приобретал отчетливую зеленую окраску, более или менее интенсивную. После реакции окраска исчезала и оставался небольшой белый осадок.

Результаты опытов представлены на рис. 2.

Из рис. 2 следует, что щавелевокислый ниобий резко понижает каталитическую активность хлористого кобальта, особенно при соотношении солей, равном $30 : 70$; константа скорости распада перекиси водорода при данном соотношении компонентов катализатора в 9 раз меньше против аддитивного значения.

Молибдат натрия. Молибдат натрия был очищен трехкратной перекристаллизацией и приготовлен в виде водного раствора децимолярной концентрации. Наиболее активные составы получены в системе из молибдата натрия и хлорной меди.

Цвет раствора в ходе реакции менялся от оранжевого в начале до бурого в конце реакции с образованием темно-коричневого осадка. Раствор после реакции был бесцветен.

Результаты опытов приведены на рис. 3.

Сочетания молибдата натрия с солями кобальта, марганца и железа не дали заметного ускорения реакции по сравнению с аддитивными значениями.

Из рис. 3 следует, что в системе $\text{Na}_2\text{MoO}_4\text{—CuCl}_2$ образуются смешанные катализаторы, активность которых во много раз превышает активность индивидуальных компонентов. Максимум каталитической активности отвечает составам с соотношением солей, равным $70 : 30$; они повы-

пают константу скорости распада перекиси водорода в 12,5 раза про аддитивного значения.

Молибдат натрия, который сам по себе в отличие от хлорной мо не дезактивируется в ходе реакции, сообщает смешанным катализатор на основе солей обоих металлов относительно большую устойчивость частности, максимально активные составы данной системы, в котор преобладает молибдат натрия, стабильны и сохраняют постоянную каталитическую активность, без тенденции к ее снижению.

Сульфат циркония. Цирконий готовился растворением химически стой соли $Zr(SO_4)_2$ в серной кислоте, так как в воде эта соль постепенно подвергается гидролизу. Концентрация $Zr(SO_4)_2$ в растворе была децимолярной. В каждом опыте к катализатору предварительно непосредственно перед опытом добавлялось количество щелочи, необходимое для нейтрализации кислоты в растворе сернокислого циркония.

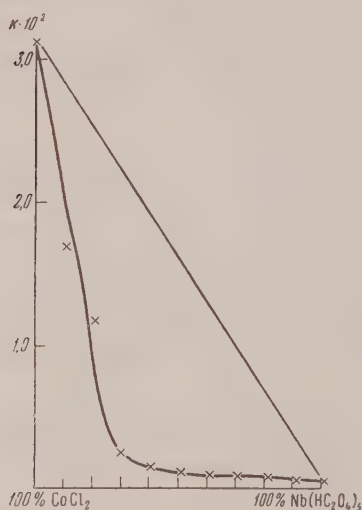


Рис. 2. Зависимость константы скорости разложения перекиси водорода от состава катализаторов в системе $Nb(HC_2O_4)_3 - CoCl_2$

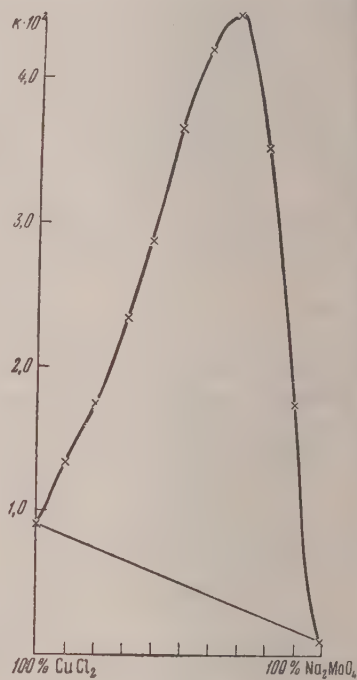


Рис. 3. Зависимость константы скорости разложения перекиси водорода от состава катализаторов в системе $Na_2MoO_4 - CuCl_2$

В системе из сернокислого циркония и перекиси марганца кривая каталитической активности обладает максимумом.

Опытные данные сведены и изображены на рис. 4.

Реакция сопровождается образованием белого осадка, который розвеет; после реакции остается темно-розовый осадок.

В сочетании с хлоридами железа, меди и кобальта сернокислый цирконий не образует каких-либо составов с повышенной или пониженной каталитической активностью, выходящей за пределы аддитивных значений.

Из рис. 4 следует, что изменение каталитической активности с составом в системе $Zr(SO_4)_2 - MnO_2$ протекает более сложно.

Характерное повышение активности в результате взаимной активации компонентов наблюдается для составов с соотношением солей, равным 50 : 50, для которых константа скорости повышается против аддитивных значений в 2,2 раза.

Изменение константы скорости реакции с составом катализатора в системе $Zr(SO_4)_2$ — MnO_2 при 25° С и pH=8,0

Время от начала опыта, мин.	Соотношение $MnO_2 : Zr(SO_4)_2$										
	1,0 : 0	0,9 : 0,1	0,8 : 0,2	0,7 : 0,3	0,6 : 0,4	0,5 : 0,5	0,4 : 0,6	0,3 : 0,7	0,2 : 0,8	0,1 : 0,9	0 : 1,0
6	2,09	1,59	1,94	1,66	2,1	2,59	1,91	1,77	1,04	0,81	0,38
9	1,33	1,2	1,44	1,29	1,88	1,95	1,79	1,18	0,88	0,61	—
12	1,35	1,01	1,17	1,1	1,58	1,68	1,4	1,06	0,8	0,52	—
15	1,2	0,89	1,02	0,99	1,40	1,51	1,28	0,98	0,72	0,47	0,16
18	1,08	0,82	0,91	0,92	1,28	1,4	1,21	0,93	0,68	0,43	—
21	1,0	0,75	0,84	0,85	1,18	1,32	1,13	0,89	0,66	0,41	—
24	0,93	0,72	0,78	0,81	1,12	1,28	1,11	0,87	0,63	0,38	—
27	0,89	0,68	0,74	0,78	1,07	1,22	1,08	0,84	0,62	0,37	—
30	0,85	0,64	0,69	0,76	1,01	1,18	1,06	0,82	0,61	0,35	0,09

Таблица указывает, что активность сульфата циркония, более значительная в начале опыта, по истечении 5—10 мин. падает до малой величины, которая, однако, в дальнейшем сохраняется постоянной. Активность перекиси марганца, как и следовало ожидать, падает с течением времени более резко. Смешанные циркониево-марганцевые катализаторы также неустойчивы, сохраняя в этом отношении свойства компонентов, входящих в их состав.

В целом, проведенная работа показывает, что соли ниобия, молибдена и циркония в определенных условиях обнаруживают активирующее или дезактивирующее действие в смешанных катализаторах. В то же время, на основе литературных данных [9], известно, что цирконий, например, взятый в отдельности, не является катализатором в реакции разложения перекиси водорода. Таким образом, при постоянстве прочих факторов температуры, кислотности среды и типа соединений решающее значение для проявления присущих этим элементам каталитических свойств приобретает состав катализатора, т. е. природа и соотношение его составляющих компонентов.

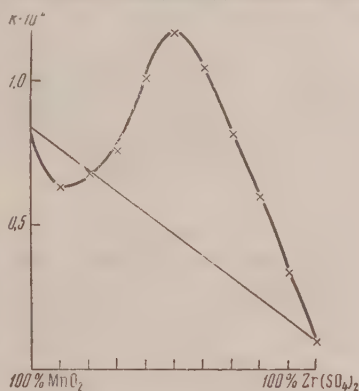


Рис. 4. Зависимость константы скорости разложения перекиси водорода от состава катализаторов в системе $Zr(SO_4)_2$ — MnO_2

Выводы

1. Разработана методика определения активности смешанных катализаторов в реакции разложения перекиси водорода в гомогенной среде.
2. Изучено изменение скорости разложения перекиси водорода при 25° С и при pH = 8,0, в зависимости от состава смешанных катализаторов, образованных щавелевокислым ниобием, молибдатом натрия и сернокислым цирконием с хлоридами кобальта, меди, железа и двуокисью марганца.
3. Найдено, что в системе $Nb(HC_2O_4)_3$ — $CoCl_2$ образуются составы с повышенной каталитической активностью, а в системах Na_2MoO_4 — $CuCl_2$ и $Zr(SO_4)_2$ — MnO_2 с повышенной каталитической активностью, против аддитивных значений.

Минимальной активностью в первой системе обладают составы соотношении солей, равном 30 : 70; максимальной активностью во второй системе — составы с соотношением солей, равным 70 : 30, в третьей при соотношении солей, равном 50 : 50.

Академия наук СССР
Институт общей и неорганической
химии им. Н. С. Курнакова

Поступила
30.XI.1956

ЛИТЕРАТУРА

1. Е. М. Шпитальский, А. Функ, Ж. Р. Х. О., **60**, 47, 1928.
2. Г. А. Богданов, Н. Н. Петин, Журн. общ. химии, **12**, 369, 381, 1942.
3. J. M. Kolthoff, E. P. Raggy, Journ. Amer. Chem. Soc., **73**, 5315, 1951.
4. N. Uri, Journ. Phys. a. Colloid Chem., **52**, 1070, 1949.
5. Г. А. Богданов, Журн. физ. химии, **25**, 332, 1951.
6. Ф. М. Перельман, Сб. «Проблемы кинетики и катализа», № 5, 1948.
7. А. Я. Зворыкин, Ф. М. Перельман, Журн. физ. химии, **20**, 1095, 1946.
8. В. Филлебранд и Г. Э. Лендель, Практическое руководство по органическому анализу, 2-е изд., М., 1937, стр. 524.
9. W. Schumb, C. Satterfield, R. Wentworth, Hydrogen Peroxide, N. Y., 1955.

THE CATALYTIC ACTIVITY OF RARE ELEMENTS IN THE DECOMPOSITION OF HYDROGEN PEROXIDE. I

A. Ya. Zvorykin, F. N. Perel'man and S. K. Shakhova (Moscow)

Summary

The rate of decomposition of dilute hydrogen peroxide on mixed catalysts prepared from niobium, molybdenum or zirconium compounds in conjunction with the salts of balt, copper, iron or manganese has been studied at 25°C and pH 8.0. It was found that in the binary systems of the above substances that in a number of cases mutual activation and in others mutual deactivation of the constituents takes place.

On the basis of the experiments made the rate constants of the reaction were calculated, their values changing, depending upon the catalyst composition, along curves with a maximum (for systems containing molybdenum or zirconium compounds) or a minimum (for those with compounds of niobium).

ТЕРМОДИНАМИЧЕСКИЕ ФУНКЦИИ ГАЛОИДОПРОИЗВОДНЫХ МЕТАНА

II. ФОРМУЛЫ ДЛЯ ПРИБЛИЖЕННОГО ВЫЧИСЛЕНИЯ КОЭФФИЦИЕНТОВ ВЛИЯНИЯ МОЛЕКУЛ ВИДА XY_4 И ТЕРМОДИНАМИЧЕСКИЕ ФУНКЦИИ SJ_4 И SNJ_3

А. С. Свердлин

В одной из предыдущих работ [1] нами было проведено изучение разных форм парциальных частот и диагональных нулевых приближений задачи о колебаниях в молекуле. В связи с этой работой оказывается возможным произвести более точное определение коэффициентов влияния J_4 и частот SNJ_3 и уточнить наши вычисления [2] термодинамических функций этих соединений, о чем и сообщается ниже.

Решение векового уравнения тетраэдрической молекулы XY_4 может быть сведено к решению одного уравнения второй степени и двух первой степени (см. [3]). Вид этих уравнений приведен в ряде работ [3—5].

В дальнейшем мы будем придерживаться обозначений [3], причем приведенные динамические коэффициенты, входящие в двумерный блок, мы обозначим через k_{11} , k_{12} , k_{22} , т. е.

$$k_{11} = k_x - h_\mu, \quad k_{12} = \sqrt{2}a_\mu, \quad k_{22} = k_\mu.$$

Аналогичные обозначения применены нами также для коэффициентов влияния и кинематических коэффициентов, например,

$$k_{11}^* = k_x^* - h_\mu^*, \quad A_{11} = \varepsilon_y + \frac{4}{3}\varepsilon_x \text{ и т. д.}$$

Как показано [4,6], в случае двумерного блока нулевое приближение М. А. Ельяшевича и Б. И. Степанова при соблюдении условия $D_{12} \approx 0^*$ можно представить в виде комбинации парциальных частот, т. е.

$$\begin{aligned} \nu_3^2 &\approx M_1 = \frac{A_{11}}{k_{11}^*}, \\ \nu_4^2 &\approx B_2 = \frac{k_{22} |A|}{A_{11}}, \end{aligned} \quad (1)$$

которая оказывается полезной при решении ряда задач теории колебаний молекул [6]. Такая комбинация хорошо передает опытные значения частот двумерного блока. На основании (1) можно получить простые уравнения для приближенного вычисления коэффициентов влияния молекул вида XY_4 без знания спектров изотопических модификаций**.

Действительно, из (1) следует

$$k_{11}^* \approx \frac{A_{11}}{\nu_3^2}. \quad (2)$$

* Условие $D_{12} \approx 0$, как показало наше изучение ряда тетраэдрических молекул, хорошо оправдывается [6].

** Аналогичные уравнения можно также получить и для динамических постоянных.

и

$$k_{22} \approx \frac{A_{11}}{|A|} v_4^2. \quad (3)$$

С другой стороны, динамический коэффициент k_{22} и условие $D_{12} \approx$ можно записать в виде

$$k_{22} = \frac{k_{11}^*}{|k_{ij}^*|}, \quad (4)$$

$$k_{12}^* \approx \frac{A_{12} k_{11}^*}{A_{11}}. \quad (5)$$

Принимая во внимание (4), (5), а также учитывая (2), уравнение (3) можно представить следующим образом

$$k_{22}^* \approx \frac{1}{A_{11}} \left[\frac{|A|}{v_4^2} + \frac{A_{12}^2}{v_3^2} \right]. \quad (6)$$

Формулы (2), (5), (6) вместе с уравнениями первой степени для колебаний симметрии A и E^*

$$k_x^* + 3h_\mu^* = \frac{\varepsilon y}{v_1^2} \quad (7)$$

и

$$k_\mu^* - 2l_\mu^* = \frac{3\varepsilon y v_3^2}{v_2^2} \quad (8)$$

позволяют без предварительного составления вековых уравнений очень легко найти пять коэффициентов влияния (k_x^* , k_μ^* , h_μ^* , a_μ^* , l_μ^*) рассматриваемого типа молекул по четырем экспериментальным частотам.

Таблица 1

Коэффициенты влияния CF_4 , CCl_4 , CBr_4 (в 10^{-6} см²)

Коэффициенты влияния	CF_4			CCl_4			CBr_4		
	Вычислено П. Г. Масловым [8]	Вычислено нами по динамическим постоянным Б. И. Степанова	Вычислено по формулам (2), (5) — (8)	Вычислено П. Г. Масловым [8]	Вычислено нами по динамическим постоянным Б. И. Степанова	Вычислено по формулам (2), (5) — (8)	Вычислено П. Г. Масловым [8]	Вычислено нами по динамическим постоянным Б. И. Степанова	Вычислено по формулам (2), (5) — (8)
k_x^*	0,11	0,10	0,10	0,22	0,22	0,22	0,27	0,27	0,27
h_μ^*	-0,010	-0,010	-0,010	-0,024	-0,027	-0,028	-0,030	-0,032	-0,032
a_μ^*	-0,080	-0,081	-0,081	-0,17	-0,17	-0,17	-0,22	-0,22	-0,22
k_μ^*	0,52	0,52	0,53	0,85	0,85	0,85	—	-1,06	1,07
l_μ^*	—	-0,003	-0,003	0,07	0,06	0,06	0,10	0,10	0,10

Применимость этих формул мы проверили на ряде соединений. В табл. 1 приведены наши вычисления для CF_4 , CCl_4 и CBr_4 , где они сравниваются с более точными данными [7]**. Совпадение оказывается весьма хорошим.

* См. П. Г. Маслов [4].

** Коэффициенты влияния, указанные в третьем, шестом и девятом столбцах табл. 1 найдены методом определителей по динамическим постоянным Б. И. Степанова [7] при вычислениях по формулам (2), (5)—(8) нами использованы значения частот, приведенные Б. И. Степановым [7].

Результаты, полученные выше, оказались полезными для уточнения наших вычислений термодинамических функций CJ_4 . Действительно, в нашей работе [2] были использованы значения частот нормальных колебаний CJ_4 , вычисленные П. Г. Масловым [8]. Однако выполненная нами проверка путем непосредственного решения соответствующего векового уравнения:

$$|k_{ij}\lambda - A_{ij}| = 0 \quad (9)$$

показала, что эти частоты, к сожалению, не соответствуют полностью коэффициентам влияния, приведенным в табл. 1 и 5, указанной выше работы [8]. Поэтому нами были вычислены вновь коэффициенты влияния частоты колебаний CJ_4 .

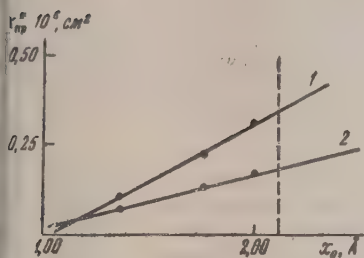


Рис. 1

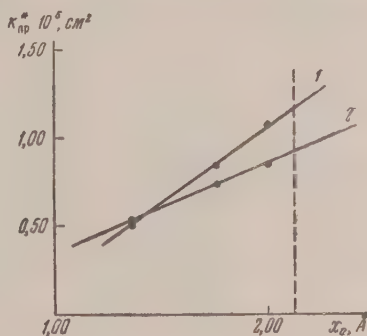


Рис. 2

Рис. 1. Зависимость приведенных коэффициентов влияния от равновесных длин связей: 1 — $k_x^* - h_\mu^*$; 2 — $k_x^* + 3h_\mu^*$.

Рис. 2. То же: 1 — k_μ^* ; 2 — $k_\mu^* - 2l_\mu^*$.

Как показал впервые П. Г. Маслов [9] на примерах галоидометанов и других соединений, между коэффициентами влияния k_x^* и равновесной длиной связи существует линейная зависимость. Позднее В. П. Морозов [10] нашел такую же связь для трехатомных молекул.

Нами была исследована зависимость приведенных коэффициентов влияния от равновесных длин связей при переходе



Для этой цели нами были построены графики (рис. 1, 2), где для молекул CX_4 ($X = \text{F}, \text{Cl}, \text{Br}$) графически представлена зависимость $k_x^* + 3h_\mu^* = f(x_0)$, $k_x^* - h_\mu^* = f(x_0)$, $k_\mu^* - 2l_\mu^* = f(x_0)$ и $k_\mu^* = f(x_0)$ от длины связи x_0^* . Эта зависимость оказалась подчиняющейся вполне удовлетворительно линейному закону. Последнее обстоятельство мы использовали для определения тех же приведенных коэффициентов влияния молекулы CJ_4 (1,2).

Расстояние $\text{C}-\text{J}$ принято $2,12 \text{ Å}$ [13]. Мы получили (в 10^{-6} см^2):

$$\begin{aligned} k_x^* + 3h_\mu^* &= 0,20; \\ k_x^* - h_\mu^* &= 0,36; \\ k_\mu^* - 2l_\mu^* &= 0,93; \\ k_\mu^* &= 1,22. \end{aligned} \quad (10)$$

* Расстояния $\text{C}-\text{X}$ ($X = \text{F}, \text{Cl}, \text{Br}$) взяты по [11, 12].

Коэффициент влияния a_μ^* , характеризующий влияние связи на угол не подчиняется линейной зависимости от длины связи. Однако этот коэффициент возможно определить из формулы (5), так как A_{11} , A_{12} , k_{11}^* известны, а k_{12}^* связан с a_μ^* соотношением

$$k_{12}^* = \sqrt{2}a_\mu^*.$$

Нами найдено (в 10^{-6} см²)

$$a_\mu^* = -0,245. \quad (1)$$

На основании данных (10) и формул (2), (6)–(8), мы вычислили частоты CJ_4 (см. табл. 2).

В табл. 2 (см. третий столбец) мы приводим для сравнения частот колебания CJ_4 , вычисленные П. Г. Масловым [8] и использованные нашей работе [2]. В четвертом столбце той же таблицы даны исправленные значения частот П. Г. Маслова, найденные нами по формуле (9) на основании коэффициентов влияния, указанных в табл. 1 работы [8]*.

Последние, как это видно из табл. 2, очень близки к значениям частот, полученным нами при применении метода комбинированных парциальных частот.

Для проверки примененного метода нами были рассчитаны частоты колебаний $SiBr_4$ по частотам колебаний SiF_4 и $SiCl_4$ [14] (см. также [15]). Для этой цели мы вычислили по формулам (2), (6)–(8) приведенные коэффициенты двух последних молекул и путем экстраполяции** определили те же коэффициенты для $SiBr_4$, которые использовали для определения частот этой молекулы. Результаты вычислений приведены в табл. 3. Сравнение вычисленных и опытных частот (табл. 3) показывает, что даже при условии экстраполяции только по двум точкам этот метод дает достаточно удовлетворительный результат.

Таблица 3
Вычисленные и опытные частоты $SiBr_4$

	Приведенные коэффициенты влияния (10^{-6} см ²)					Обозначение частоты по [14]	Вычислено нами по формулам (2), (6)–(8), см ⁻¹	Опытные данные [14], см ⁻¹
	$k_x^* + 3h_\mu^*$	$k_\mu^* - 2l_\mu^*$	k_{11}^*	k_{12}^*	k_{22}^*			
Найдено из графиков экстраполяцией Вычислено по формулам (2), (5)–(8) по экспериментальным частотам	0,20	1,18	0,26	—0,18	1,03	ν_1	264	249
						ν_2	95	90
	0,22	1,31	0,28	—0,22	1,14	ν_3	501	487
						ν_4	146	137

Найденные нами значения частот CJ_4 были использованы для исправления данных по термодинамическим функциям, полученных ранее [2]

* Данные табл. 5 той же работы П. Г. Маслова [8], являющиеся вторичными его вычислениями, приводят к весьма неправдоподобным значениям частот, вследствие чего последние не указаны в табл. 2

** Расстояния $Si - X$ ($X = F, Cl, Br$) взяты из работ [15, 16].

альные параметры приняты такими же, как в предыдущей работе [2], вычисления выполнены по известным формулам [17].

Значения термодинамических функций CJ_4 даны в табл. 4*.

Таблица 4

Термодинамические функции четырехйодистого углерода для идеального газового состояния при $P = 1 \text{ атм}$

Т, К	$\frac{\Phi^0 - H_0^0}{T}$		$\frac{H^0 - H_0^0}{T}$		S^0	c_p^0	
	Колеб.	Полная	Колеб.	Полная		Колеб.	Полная
298,2	10,47	75,63	9,80	17,75	93,38	14,67	22,62
400	13,44	80,93	11,16	19,11	100,04	15,81	23,76
500	16,25	85,52	12,18	20,13	105,65	16,46	24,41
600	18,48	89,20	12,93	20,88	110,08	16,86	24,81
700	20,55	92,49	13,51	21,46	113,95	17,11	25,06
800	22,20	95,20	13,96	21,91	117,11	17,28	25,23
900	23,91	97,85	14,33	22,28	120,13	17,40	25,35
1000	25,26	100,03	14,64	22,59	122,62	17,49	25,44

Метод комбинированных парциальных частот оказывается полезным также и для исправления наших данных [2] по термодинамическим функциям CNJ_3 .

Вычисляя по этому методу парциальные частоты вида B_i и M_i для CNJ_3^{**} , получили результаты, близкие к данным П. Г. Маслова [8], за исключением частот $\nu_3(A_1)$ и $\nu_6(E)$ (табл. 5).

Найденные нами значения $\nu_3(A_1) = 178$ и $\nu_6(E) = 92 \text{ см}^{-1}$ соответствуют естественному порядку убывания $\nu_3(A_1)$ и $\nu_6(E)$ в ряду $CNF_3 \rightarrow CNCl_3 \rightarrow CNI_3 \rightarrow CNBr_3 \rightarrow CNJ_3$.

С другой стороны, они близки к ориентировочным значениям $\nu_3(A_1)$ и $\nu_6(E)$, приведенным в работе Плайлера и Бенедикта [18] (см. табл. 5).

Таблица 5

Вычисленные и опытные частоты йодоформа

Обозначение частот по [14]	Вычислено по [8], см^{-1}	Парциальная частота B_i , формула (43) [1]	Парциальная частота M_i , формула (46) [1]	Опытные данные [18]	Исправл. значения частот по [8]
$\nu_1(A_1)$	3029	—	2967	3040	3029
$\nu_2(A_1)$	400	—	407	385	400
$\nu_3(A_1)$	350	178	—	(145)? R	178
$\nu_4(E)$	1055	1044	—	1064	1055
$\nu_5(E)$	587	—	567	581	587
$\nu_6(E)$	131	92	—	(92)? R	92

Исправленные значения частот, которые мы использовали для вычисления термодинамических функций CNJ_3 , даны в последнем столбце табл. 5. Моменты инерции и другие параметры взяты из нашей работы [2].

* Энтропия CJ_4 и ряд других молекул вычислялась также Теком [19]. К сожалению, мы не могли достать этой работы, но судя по данным реферата, при 298,2° К. Тек дает заниженные результаты. Например, для CBF_4 он получил $S_{298} = 83,34 \text{ кал/град моль}$, проверочные вычисления дают $85,51 \text{ кал/град моль}$ (см. также [20]). Аналогично обстоит дело и с некоторыми другими молекулами. Для $S_{298}CJ_4$ Тек дает $90,40 \text{ кал/град моль}$.

** В наших расчетах были использованы коэффициенты влияния, найденные П. Г. Масловым [8]; динамические постоянные нами определены по тем же данным.

В табл. 6. приведены результаты наших вычислений термодинамических функций CHJ_3 .

Таблица

Термодинамические функции йодоформа для идеального газового состояния при $P = 1 \text{ атм}$

T°, K	$\frac{\Phi^\circ - H_0^\circ}{T}$		$\frac{H^\circ - H_0^\circ}{T}$		S°	c_p°	
	Колеб.	Полная	Колеб.	Полная		Колеб.	Полная
298,2	5,73	71,58	5,88	13,83	85,41	10,01	17,96
400	7,64	75,82	7,16	15,11	90,93	11,66	19,61
500	9,44	79,40	8,20	16,15	95,55	12,80	20,75
600	11,00	82,41	9,02	16,97	99,38	13,60	21,55
700	12,39	85,02	9,71	17,66	102,68	14,21	22,16
800	13,60	87,29	10,30	18,25	105,54	14,68	22,63
900	15,05	89,68	10,83	18,78	108,46	15,08	23,03
1000	15,78	91,25	11,23	19,18	110,43	15,40	23,35

Выражаю благодарность проф. И. Н. Годневу за ценные советы и в выполнении настоящей работы.

Выводы

1. При помощи метода комбинированных парциальных частот получены простые формулы для вычисления пяти коэффициентов влияния тетраэдрических молекул вида XY_4 по четырем экспериментальным значениям частот. Применимость этих формул иллюстрируется на ряде соединений.

2. На основании полученных уравнений и линейной зависимости коэффициентов влияния k_{11}^* , k_{22}^* , $k_{\text{N}}^* + 3h_{\mu}^*$, $k_{\mu}^* - 2l_{\mu}^*$ от равновесной длины связи, найденной для ряда $\text{CF}_4 \rightarrow \text{CCl}_4 \rightarrow \text{CBr}_4$ и экстраполированной для CI_4 , вычислены частоты CI_4 .

3. Рассчитаны частоты нормальных колебаний CHJ_3 при помощи метода комбинированных парциальных частот, что позволило уточнить данные П. Г. Маслова, вычислившего эти частоты ранее другим путем.

4. Составлены таблицы термодинамических функций CI_4 и CHJ_3 в интервале температур 298,2—1000°K.

Ивановский химико-технологический институт

Поступила
9.XI.1956

ЛИТЕРАТУРА

1. А. С. Свердлин и И. Н. Годнев, Журн. физ. химии, **29**, 1807, 1955.
2. А. С. Свердлин, Журн. физ. химии, **28**, 780, 1954.
3. М. В. Волькенштейн, М. А. Ельшевич и Б. И. Степанов, Колебания молекул, т. I, Гостехтеоретиздат, 1949.
4. П. Г. Маслов, Колебания молекул и термодинамические свойства паров органических соединений, Диссертация, Л., 1953.
5. П. Г. Маслов, Журн. физ. химии, **25**, 594, 1951.
6. А. С. Свердлин, Нулевые приближения и парциальные частоты задачи о колебаниях в молекуле и их применение к вычислению термодинамических функций галоидопроизводных метана, Диссертация, Ивановский химико-технологический институт, 1956.
7. Б. И. Степанов, ЖЭТФ, **15**, 43, 1945.
8. П. Г. Маслов, Журн. физ. химии, **25**, 803, 1951.
9. П. Г. Маслов, Журн. физ. химии, **25**, 814, 1951.
10. В. П. Морозов, Применение метода парциальных частот к вычислению тепловых постоянных и термодинамических свойств трехатомных нелинейных молекул, Диссертация, Ивановский химико-технологический институт, 1953.
11. L. O. B r a s k w a y, J. Phys. Chem., **41**, 747, 1937.

- Chr. Finbak, O. Hassel a. O. J. Olausen, Tids. kjemi Bergvesen, 3, 13, 1943; Chem. Abstrs., 38, 3194, 1944.
- Chr. Finbak u. O. Hassel, Zs. phys. Chem., B36, 301, 1937.
- Г. Герцберг, Колебательные и вращательные спектры многоатомных молекул, ИИЛ, Москва, 1949.
- D. F. Heath a. J. W. Linnett, Trans. Farad. Soc., 44, 561, 1948.
- L. O. Brockway, Rev. Mod. Phys., 8, 231, 1936.
- И. Н. Годнев, Вычисление термодинамических функций по молекулярным данным, Гостехиздат, 1956.
- E. K. Plyler a. W. S. Benedict, Journ. Res. Nat. Bur. Stand., 47, 202, 1951.
- P. Teck, Chem. Abstrs., 44, 7136d, 1950.
- D. P. Stevenson a. J. Y. Beach, Journ. Chem. Phys., 6, 25, 1938.

THE THERMODYNAMIC FUNCTIONS OF HALOGEN DERIVATIVES OF METHANE

III. FORMULAS FOR THE APPROXIMATE CALCULATION OF THE INTERACTION COEFFICIENTS OF THE XY_4 TYPE OF MOLECULE AND THE THERMODYNAMIC FUNCTIONS OF CJ_4 AND CHJ_3

A. S. Sverdlin (Ivanovo)

Summary

With the aid of the combined partial frequencies method simple formulas have been obtained for calculating five interaction constants of tetrahedral molecules of the type Y_4 from four experimental values of the frequencies. The validity of these formulas is demonstrated on a number of compounds. Based on these equations and on the linear dependence of the interaction coefficients k_{11}^* , k_{22}^* , $k^* + 3h_\mu^*$, $k_\mu^* - 2l_\mu$ on the equilibrium bond lengths found for the series $CF_4 \rightarrow CCl_4 \rightarrow CBr_4$ and extrapolated for CJ_4 the frequencies have been calculated of CJ_4 .

The normal vibrating coefficients have been calculated for CHJ_3 with the aid of the combined partial frequencies method, which made it possible to check the data of P. G. Maslov, who calculated them by a different procedure. The thermodynamic functions of CJ_4 and CHJ_3 have been tabulated for the temperature range 298.2—1000°K.

ИССЛЕДОВАНИЕ ТЕКСТУРЫ МЕДИ ПРИ ВЫЩЕЛАЧИВАНИИ CuAl_2 МЕТОДОМ ПОЛЮСНЫХ ФИГУР

Г. С. Жданов и Л. М. Кефели

Рентгеноструктурное исследование выщелоченных монокристаллов CuAl_2 показало [1], что при удалении алюминия из сплава образуется поликристаллическая медь в дисперсном состоянии. На дебаевских кольцах меди наблюдаются места сгущения, что указывает на определенную ориентацию кристаллов меди.

Для исследования текстуры меди при выщелачивании CuAl_2 б применен метод полюсных фигур, являющийся одним из наиболее удобных и объективных методов исследования ориентировок кристаллов [2—6].

Полюсные фигуры представляют стереографические проекции обратных векторов кристаллов, образующих данный поликристалл. Способ получения полюсных фигур по данным рентгеноструктурного анализа основывается на том, что дебаевская

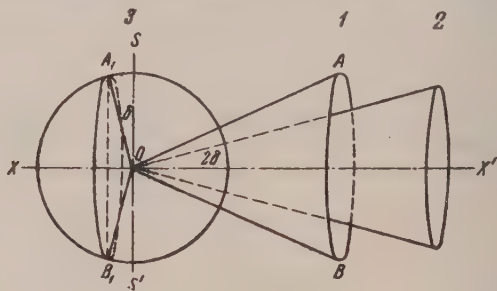


Рис. 1. Схема построения полюсных фигур

можно рассматривать как срез сферы проекции плоскостью по определенному направлению. Рис. 1 дает представление о связи дебаевского кольца со стереографической проекцией.

Если на образец O падает первичный пучок XX' (рис. 1), то конус 1 является терференционным конусом с углом при вершине 49° , угол отражения, определяемый по длине волны и межплоскостному расстоянию по формуле Вульфа — Брегга, равен 9° .

Кристаллические плоскости, находящиеся в отражающем положении, касаются конуса с образующим углом 9° , или конус 2 является огибающим конусом отражающих плоскостей.

Нормали к отражающим плоскостям лежат на конусе 1, образующий угол этого конуса

$$\psi = \frac{\pi}{2} - \vartheta.$$

Сфера SS_1 есть сфера проекции, а кольцо A_1B_1 есть срез сферы проекции. Распределение максимумов на дебаевском кольце AB соответствует максимуму на срезе A_1B_1 , т. е. максимумы на дебаевском кольце соответствуют сгущениям отражающих плоскостей на конусе 2, которые, в свою очередь, соответствуют сгущениям нормалей на сфере SS_1 , в точках пересечения ее с конусом 3. При повороте образца относительно определенной оси получаются различные срезы сферы проекции. При соответствующем числе таких срезов можно построить полную полюсную фигуру.

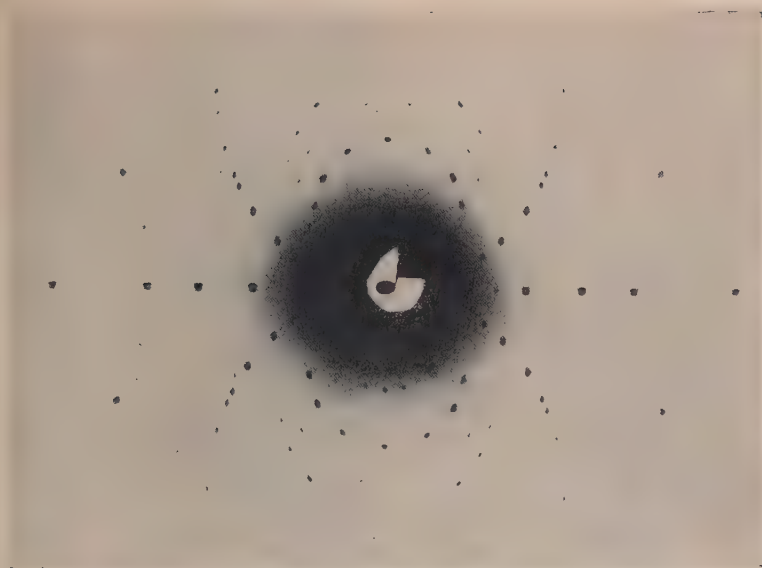


Рис. 2. Лауэграмма монокристалла CuAl_2

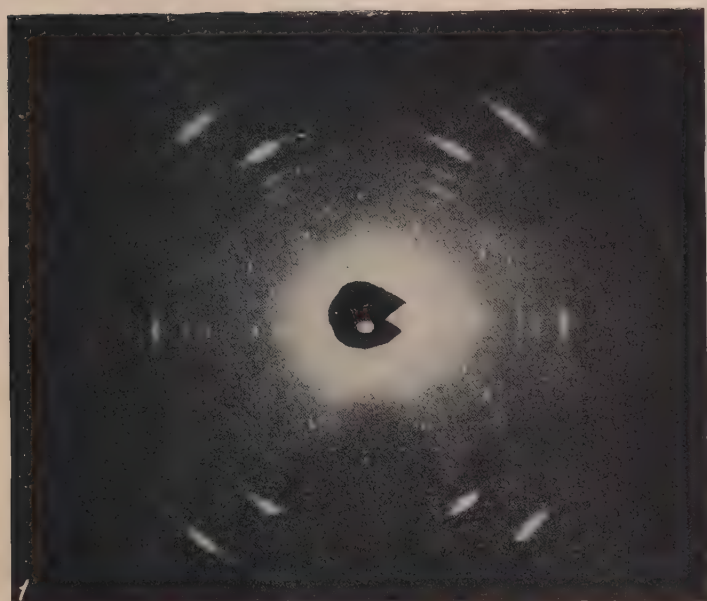
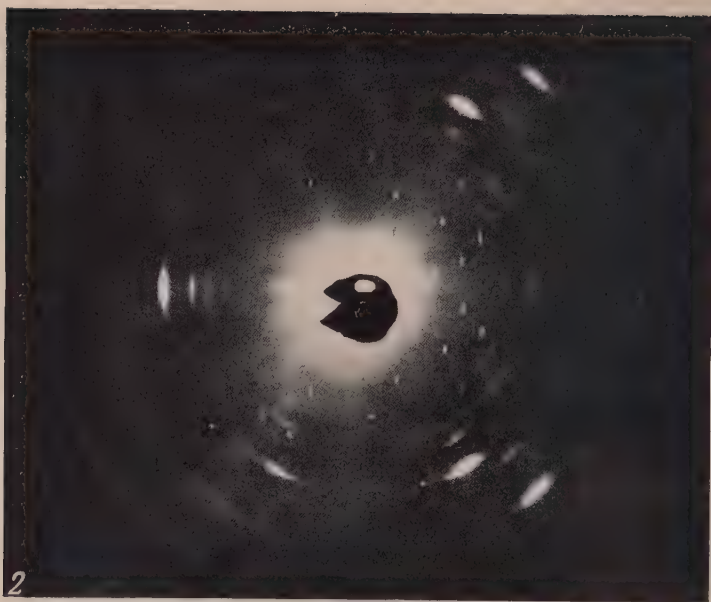
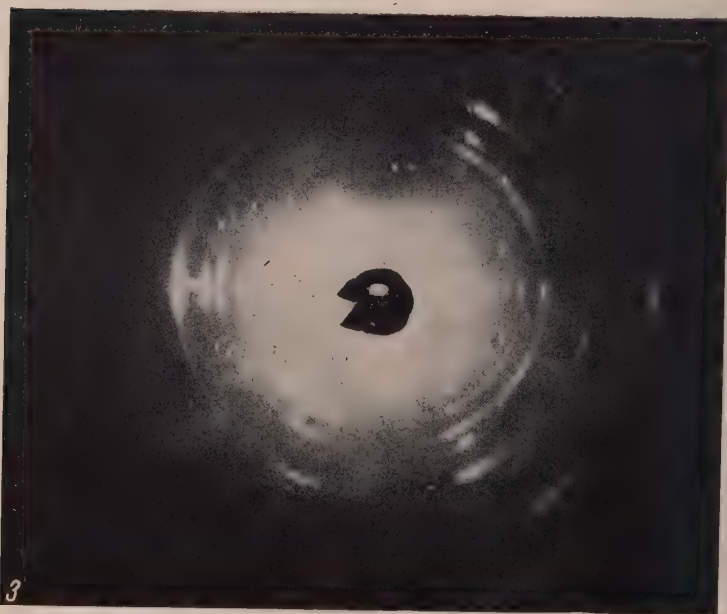


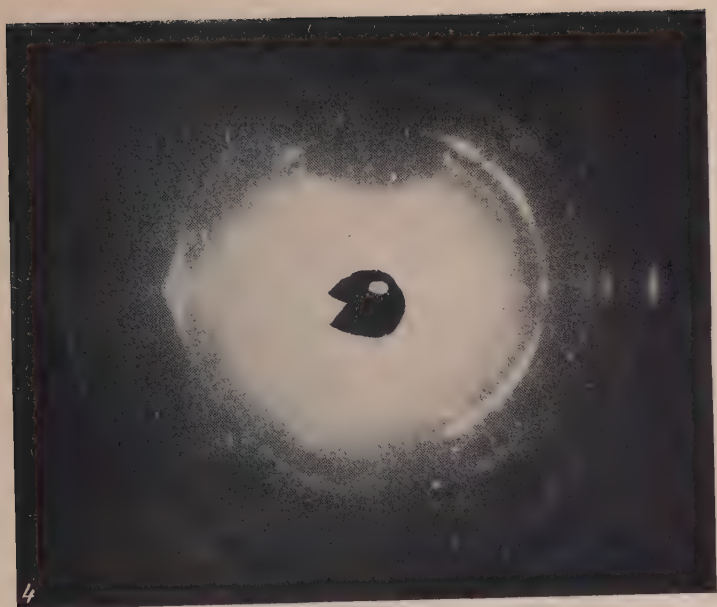
Рис. 3. Серия рентгенограмм выщелоченного монокристалла CuAl_2 :
1—318°; 2 — 308°; 3 — 298°; 4—288°; 5—278°



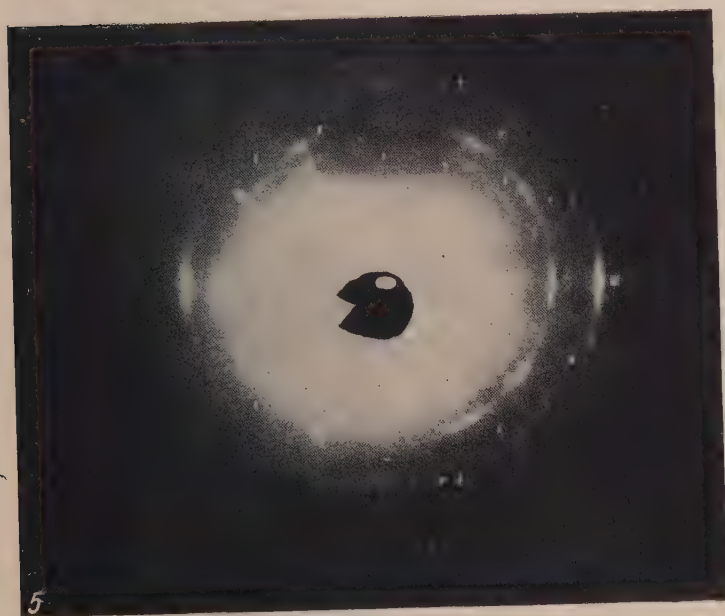
Рентгенограмма при повороте образца на 10° вокруг оси [001]



Рентгенограмма при повороте образца на 20° вокруг оси [001]



Рентгенограмма при повороте образца на 30° вокруг оси $[001]$



Рентгенограмма при повороте образца на 40° вокруг оси $[001]$

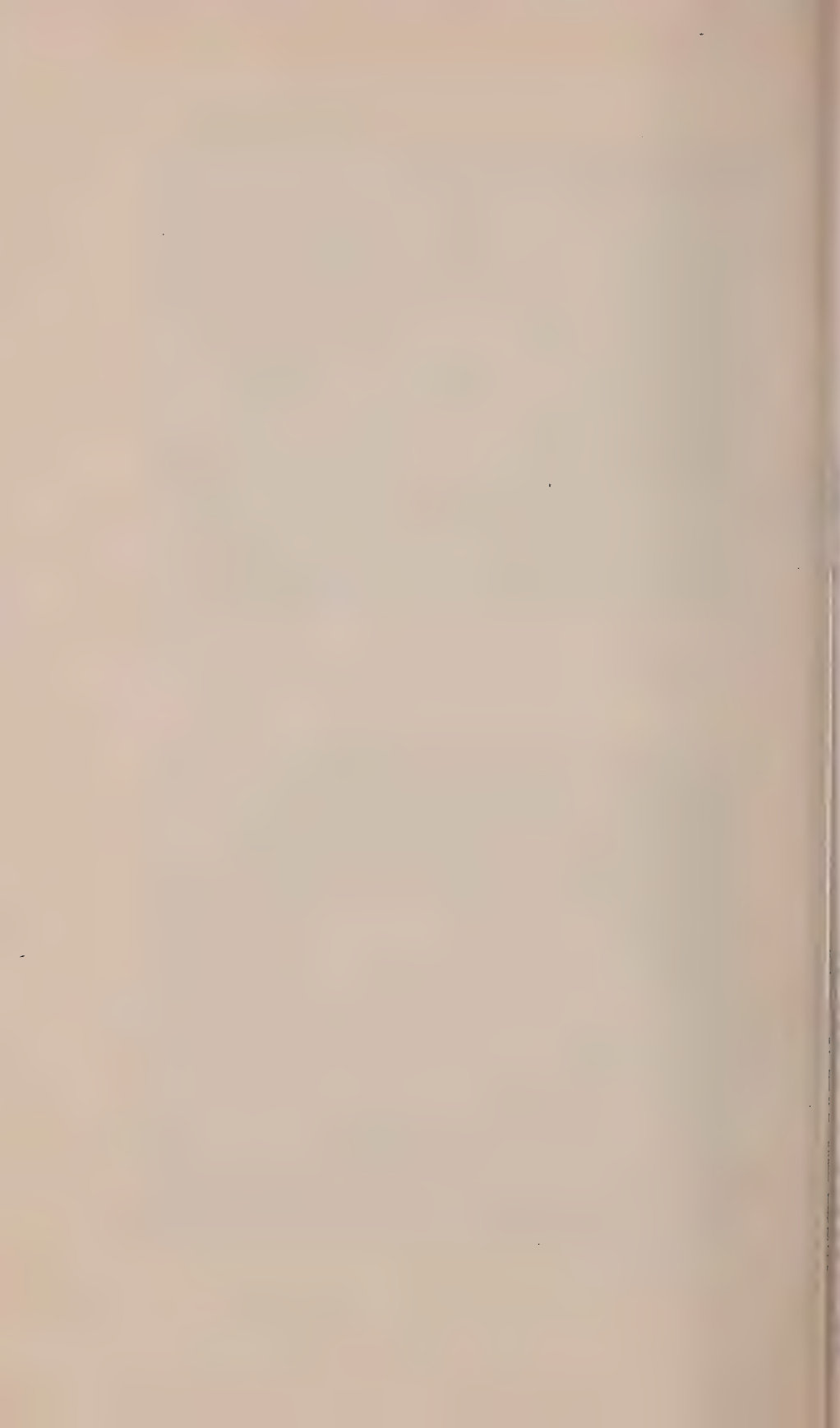


Таблица 1

Индицирование рентгенограммы выщелоченного монокристалла CuAl_2

$$(\lambda_{\text{Cu}} = 1,5393 \text{ \AA}, A = 35 \text{ мм})$$

№ линии	2 θ	I	Φ	hkl	d Фазовый состав
1	45	сл.	16°22	002	2,46 β CuAl_2
2	51,8	сп.	18°43	002	2,46 α CuAl_2
3	56,6	сл.	19°29	111	2,08 β Cu
4	63,6	сп.	21°07	220	2,136 α CuAl_2
				112	
5	66,0	с.	21°39	111	2,08 α Cu
6	70,3	сп.	22°34	200	1,81 β Cu
7	84,3	о. с.	25°09	200	1,81 α Cu
8	103,8	сп.	28°00	222	1,64 α CuAl_2

До получения серии рентгенограмм с выщелоченного образца монокристалла последний юстировался на гониометрической головке и снимался невыщелоченный для проверки качества монокристалла и правильной юстировки его. (Лауэграмма исходного монокристалла CuAl_2 приведена на рис. 2.) Затем кристалл, закрепленный

Таблица 2

Положение максимумов на кольце (111) Cu

Угол поворота образца, градус	Расстояние от вертикали, градус	
	левая половина	правая половина
0	20—35 о. с. 85—95 с.	20—35 о. с. 85—95 с.
10	20—32 сп. 80—95 о. с.	20—32 о. с. 85—92 сл.
20	18—30 сп. 80—95 о. с.	20—32 с. 85—95 о. сл.
30	15—30 сл. 80—100 о. с.	20—30 сл. 85—85 о. сл.
40	85—95 о. с.	85—96 о. с.

Таблица 3

Расположение максимумов на кольце (200) Cu

Угол поворота образца, градус	Расстояние от вертикали, градусы	
	левая половина	правая половина
0	30—42 с. 85—95 сл.	30—42 с. 85—95 сл.
10	30—42 сп. 85—95 о. сл.	30—42 с. 82—95 сл.
20	30—42 о. сл. 80—95 с.	30—42 сп. 80—95 с.
30		35—45 сл. 85—95 сп.
40		35—45 о. с. 85—95 сл.

на гониометрической головке, подвергался выщелачиванию 20%-ной едкой щелочью в течение 1—10 мин. при 40—50°C.

Для получения полюсных фигур снималась серия рентгенограмм при повороте образца на 10° вокруг вертикальной оси (001). При этом плоскость стереографической проекции соответствует плоскости (100), а вертикальный диаметр проекции совпадает с направлением (001) исходного монокристалла CuAl_2 .

Съемка рентгенограмм проводилась на медном излучении при напряжении 10 кВ и силе тока 10 мА в камере РКСО с плоской кассетой.

Расстояние от образца до пленки составляло 35 мм.

Одна из серий рентгенограмм приведена на рис. 3.

Результаты промера радиусов колец, рассчитанные значения углов разражения и межплоскостных расстояний приведены в табл. 1.

При сравнении рентгенограмм выщелоченного монокристалла с теоретическими рентгенограммами меди и CuAl_2 (рис. 4) можно сделать заключение, что при выщелачивании монокристалла CuAl_2 происходит, с одной стороны, образование поликристаллического CuAl_2 и, с другой — меди, причем кристаллы CuAl_2 и кристаллы меди образуют текстуру.

Для построения полюсных фигур были определены положения максимумов для линии меди на всех рентгенограммах серии. Положение максимумов записывалось в градусах.

Результаты измерений сведены в табл. 2, 3.

Полюсные фигуры были построены для плоскостей (111) и (рис. 5).

Текстура меди при выщелачивании монокристалла CuAl_2 характеризуется следующими данными: CuAl_2 [001], [100], [010]; Cu (011), \sim (111).

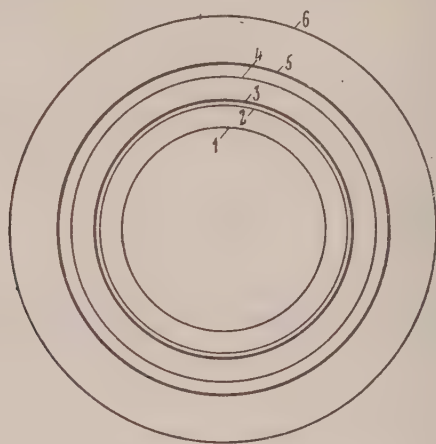


Рис. 4

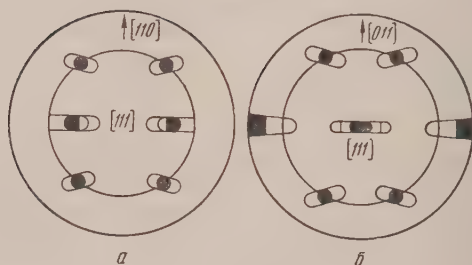


Рис. 5

Рис. 4. Теоретическая рентгенограмма: CuAl_2 и Cu при расстоянии образца до типа 35 мм; 1 — CuAl_2 (002); 2 — CuAl_2 (120); 3 — Cu(111); 4 — CuAl_2 (310); 5 — Cu (200); 6 — CuAl_2 (222).

Рис. 5. Полюсные фигуры: а — меди после выщелачивания CuAl_2 (200); б — после выщелачивания CuAl_2 (111).

Кристаллическая структура монокристалла CuAl_2 оказывает ориентирующее влияние на осаждающиеся кристаллы меди, образующиеся при выщелачивании монокристалла.

Выводы

1. Для исследования текстуры поликристаллической меди, образующейся при выщелачивании монокристаллов CuAl_2 , был применен метод полюсных фигур.

Снята серия рентгенограмм при повороте образца монокристалла CuAl_2 на каждые 10° вокруг вертикальной оси [001] и построены полюсные фигуры для плоскостей (111) и (200).

2. Установлено, что текстура меди при выщелачивании монокристалла CuAl_2 характеризуется следующими данными: CuAl_2 [001], [100], [010]; Cu [011], \sim [111], \sim [111].

ЛИТЕРАТУРА

- А. Петров, Л. М. Кефели, С. Л. Мельчуко, ДАН, 57, 579, 1947.
Л. Жданов, Исследование кристаллических ориентировок в металлах и сплавах с помощью полюсных фигур, Металлургиздат, 1943.
Wever, Zs. f. Phys., 28, 69, 1924.
Sachs, E. Schiesold, Zs. d. V. D. I, 1557, 1925.
Kirdumov, G. Sakc, Zs. f. Phys., 62, 572, 1936.
Л. Жданов, Сборник работ рентгеновской лаборатории, 1932.
-

STUDY BY THE POLE FIGURE METHOD OF THE TEXTURE OF COPPER
OBTAINED IN THE LEACHING OF CuAl_2

G. S. Zhdanov and L. M. Kefeli (Moscow)

S u m m a r y

The method of pole figures was used to examine the texture of polycrystalline copper formed during the leaching of the monocrystal CuAl_2 . A series of Röntgenograms was obtained by turning the CuAl_2 monocrystal every 10° about the vertical (001) axis and constructing the pole figures for the [111] and [200] planes. The texture of the copper obtained during the leaching of the monocrystal CuAl_2 was shown to be characterized by the following data:

CuAl_2 [001], [400], [010], Cu [011], [111], [111].

ТЕРМОДИНАМИЧЕСКИЕ СВОЙСТВА ВОЗДУХА ПРИ ТЕРМИЧЕСКОЙ ИОНИЗАЦИИ И УДАРНАЯ ВОЛНА

В. В. Селиванов и И. Я. Шляпникох

Атмосферный воздух представляет собою смесь различных газов. С ростом температуры в воздухе интенсифицируются процессы термической диссоциации и ионизации.

При достаточно высокой температуре воздух превращается в смесь, состоящую из атомов, ионов и свободных электронов. Согласно Дэвису [1], полная диссоциация воздуха, плотность которого близка к нормальной, практически достигается при температуре порядка 10000—15000°. Если температура очень велика (порядка сотен тысяч градусов), то заметную роль начинает играть также и тепловое излучение. Все эти процессы существенно влияют на термодинамические свойства воздуха.

Для сравнительно низких температур, порядка нескольких тысяч градусов, данные о термодинамических свойствах воздуха можно найти, например, в работах Дэвиса [1], М. П. Вукаловича [2], Я. Б. Зельдовича и А. И. Полярного [3], Льюиса и Эльбе [4]. Настоящая работа была проведена с целью определения термодинамических свойств воздуха, в котором диссоциация уже закончилась и имеют место только ионизация и излучение.

Исходные данные и основные допущения. За исходное состояние воздуха принято его состояние при 273°K и давлении $P = 1$ атм.

Вычисления проводятся в интервалах изменения температуры от $2 \cdot 10^4$ до $5 \cdot 10^5$ и плотности от 10 до $10^{-3} \rho_0$, где $\rho_0 = 1,293 \cdot 10^{-3}$ г/см³ — начальная плотность воздуха.

Реальный воздух заменяется смесью, состоящей из 79,1% азота и 20,9% кислорода (по объему).

За нуль энергии принята энергия молекул при 0°K. Потенциалы ионизации и возбуждения взяты из таблиц Мура [5]. Энергия диссоциации кислорода принята, согласно Гейдону [6], равной $D_{O_2} = 5,082$ эВ, а азота $D_{N_2} = 9,764$ эВ.

Предполагается, что смесь находится в состоянии термодинамического равновесия, а взаимодействие между ее частицами, включая электростатическое взаимодействие, отсутствует. При рассматриваемых в задаче температурах и плотностях последнее предположение выполняется с большой точностью.

Вычисление статистических сумм. Для практического определения термодинамических величин газа надо знать значения статистических сумм. При отсутствии взаимодействия между молекулами квантово-механическая задача об определении уровней энергии всего газа сводится к определению уровней энергии отдельных молекул. Для одноатомной молекулы энергия ϵ_k равна сумме энергий, соответствующих ее поступательному движению и возбуждению электронов. В связи с этим статистическая сумма одноатомной молекулы распадается на произведение двух сомножителей, т. е.

$$Z = Z_{\text{пост}} Z_{\text{возб.}}$$

Введем безразмерную плотность $\gamma = \rho/\rho_0$ и примем, что объем

$$V = \frac{V_0}{\gamma N_A},$$

где V_0 — объем одного моля газа при нормальных условиях, а N_A — число Авогадро. Тогда статистическая сумма, соответствующая поступатель-

ду движению частиц, равна [7]

$$Z_{\text{пост}} = \left(\frac{mkT}{2\pi\hbar^2} \right)^{3/2} \frac{V_0}{\gamma N_A}, \quad (1)$$

m — масса частицы; k — постоянная Больцмана, T — температура в К, \hbar — постоянная Планка, деленная на 2π .

Статистическая сумма, соответствующая возбуждению электронов в атомах и ионах, равна

$$Z_{\text{эл}} = \sum_k g_k e^{-\varepsilon_k/kT}, \quad (2)$$

g_k — статистический вес электронного уровня с номером k , а ε_k — энергия этого уровня.

Для электрона $Z_{\text{эл}} \equiv g_k = 2$, что соответствует двум возможным ориентациям его спина.

При вычислении статистических сумм $Z_{\text{эл}}$ необходимо ограничить число уровней энергии. Дело в том, что принципиально в атоме имеется неограниченное число уровней с возрастающей с ростом номера k энергией, которая в пределе стремится к потенциалу ионизации. Однако ввиду конечности объема, приходящегося на атом, число практически возможных уровней ограничено. Оно увеличивается с ростом температуры и уменьшением плотности газа.

Вопрос о выборе числа реально существующих уровней очень сложен и до настоящего времени остается, по-видимому, открытым. По этому поводу имеются лишь отрывочные опытные данные и некоторые теоретические соображения (например, в работах [8—10]). Согласно этим работам число уровней, наблюдаемых в спектрах разреженных газовых туманностей, не превышает 50—60. В земных условиях, в спектрах дуговых разрядов и при разряде в газе низкого давления число уровней не превышает 5—7. Практически же выбор числа уровней всегда связан с некоторым произволом.

В настоящей работе число учитываемых уровней нигде не превышало десяти. Анализ расчетных формул и специальные расчеты показывают, что возможная ошибка, возникающая из-за неправильно выбранного числа уровней, может лишь очень незначительно повлиять на окончательный результат вычисления термодинамических величин.

Определение состава воздуха. С термодинамической точки зрения термическую ионизацию можно рассматривать как результат одновременно протекающих реакций типа

$$A_i = A_{i+1} + e; \quad i = 0, 1, 2, \dots, n, \quad (3)$$

где e — электрон; A_i — i -кратно заряженный ион ($i = 0$ соответствует нейтральному атому).

Система (3) написана в предположении, что за один акт ионизации частица теряет не более одного электрона. Процессы, в которых от частицы отрывается сразу несколько электронов, не рассматриваются, так как не вносят ничего нового. Не рассматривается также и образование отрицательных ионов ввиду их неустойчивости.

Применяя теперь к системе (3) закон действующих масс, получим систему уравнений относительно концентраций $\alpha_i = N_i/N_A$, где N_i — число частиц сорта i :

$$\frac{\alpha_{i+1} \cdot \alpha_{\text{эл}}}{\alpha_i} = K_i (i = 0, 1, 2, \dots, n). \quad (4)$$

Стоящие в правых частях этих уравнений константы равновесия K_i вычисляются через статистические суммы по формуле:

$$K_i = \frac{Z_{i+1} Z_{эл}}{Z_i} e^{-I_i / kT},$$

где I_i — потенциал ионизации i -кратно заряженного иона.

Для определения концентраций к системе (4) достаточно добавить уравнения, выражающие сохранение вещества и электронейтральности смеси. В случае смеси двух газов, в частности азота и кислорода, полная система уравнений имеет вид:

$$\left. \begin{aligned} \frac{\alpha_1^N \alpha_{эл}}{\alpha_0^N} &= K_0^N; & \frac{\alpha_1^O \alpha_{эл}}{\alpha_0^O} &= K_0^O; \\ \frac{\alpha_2^N \alpha_{эл}}{\alpha_1^N} &= K_1^N; & \frac{\alpha_2^O \alpha_{эл}}{\alpha_1^O} &= K_1^O; \\ & \dots & & \\ \alpha_0^N + \alpha_1^N + \dots + \alpha_n^N &= 1,582; \\ \alpha_0^O + \alpha_1^O + \dots + \alpha_n^O &= 0,418; \\ \alpha_1^N + \alpha_1^O + 2(\alpha_2^N + \alpha_2^O) + \dots + n(\alpha_n^N + \alpha_n^O) &= \alpha_{эл}. \end{aligned} \right\} \quad (4)$$

Здесь верхний индекс N относится к атомам и ионам азота, а индекс O — к атомам и ионам кислорода. Численные значения констант равновесия K_i приведены в табл. 1.

Таблица 1

Значения произведений констант равновесия K_i на γ

Реакция	20000°	30000°	50000°	75000°	100000°	150000°	250000°	500000°
N \rightarrow N ⁺ + e	0,1624	3,814	64,35	302,4	779,1	—	—	—
N ⁺ \rightarrow N ²⁺ + e	9,959·10 ⁻⁶	5,272·10 ⁻²	1,223	23,29	116,5	793,3	—	—
N ²⁺ \rightarrow N ³⁺ + e	—	2,100·10 ⁻⁸	9,097·10 ⁻³	0,8201	8,905	113,3	1186	—
N ³⁺ \rightarrow N ⁴⁺ + e	—	—	3,310·10 ⁻⁵	1,802·10 ⁻²	0,4634	13,94	318,6	5300
N ⁴⁺ \rightarrow N ⁵⁺ + e	—	—	—	2,989·10 ⁻⁴	1,703·10 ⁻²	1,089	31,99	449,7
N ⁵⁺ \rightarrow N ⁶⁺ + e	—	—	—	—	—	—	—	0,3478
N ⁶⁺ \rightarrow N ⁷⁺ + e	—	—	—	—	—	—	—	6,038·10 ⁻²
O \rightarrow O ⁺ + e	0,1006	3,047	59,79	272,2	868,8	—	—	—
O ⁺ \rightarrow O ²⁺ + e	1,244·10 ⁻³	1,711·10 ⁻²	0,8150	17,80	102,4	690,6	—	—
O ²⁺ \rightarrow O ³⁺ + e	—	3,107·10 ⁻⁷	3,359·10 ⁻³	0,4670	6,360	104,8	1337	—
O ³⁺ \rightarrow O ⁴⁺ + e	—	—	7,730·10 ⁻⁵	7,233·10 ⁻³	0,2558	11,31	286,0	—
O ⁴⁺ \rightarrow O ⁵⁺ + e	—	—	—	7,756·10 ⁻⁵	0,8947	54,41	2571	—
O ⁵⁺ \rightarrow O ⁶⁺ + e	—	—	—	—	1,788·10 ⁻⁴	5,446·10 ⁻²	6,333	216,7
O ⁶⁺ \rightarrow O ⁷⁺ + e	—	—	—	—	—	—	—	4,516·10 ⁻²
O ⁷⁺ \rightarrow O ⁸⁺ + e	—	—	—	—	—	—	—	5,273·10 ⁻²

Зависимость концентрации атомов и ионов азота от температуры при двух значениях $\gamma = 10$ и $0,001$ изображена на рис. 1, а и 1, б. Как видно из рисунков, концентрация частиц каждого сорта сначала с ростом температуры растет, достигает максимума и затем падает. Температура смеси при которой достигается максимум, зависит как от сорта частиц, так от плотности смеси. Она тем выше, чем больше заряд частицы и плотность смеси.

При температурах порядка 200000—400000° смесь в основном состоит из свободных электронов и ядер азота и кислорода с двумя гелиевыми электронами. Это объясняется тем, что энергия отрыва последних двух электронов значительно выше энергий отрыва предыдущих.

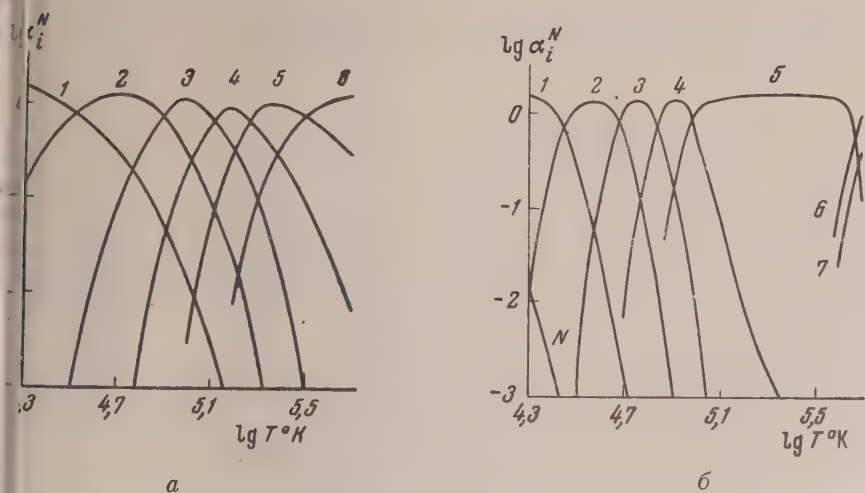


Рис. 1. Концентрация атомов и ионов азота: а — $\gamma = 10$; 1 — N ; 2 — N^+ ; 3 — N^{2+} ; 4 — N^{3+} ; 5 — N^{4+} ; 6 — N^{5+} . б — $\gamma = 0,001$; 1 — N ; 2 — N^+ ; 3 — N^{2+} ; 4 — N^{3+} ; 5 — N^{4+} ; 6 — N^{5+} ; 7 — N^{6+} ; 8 — N^{7+} .

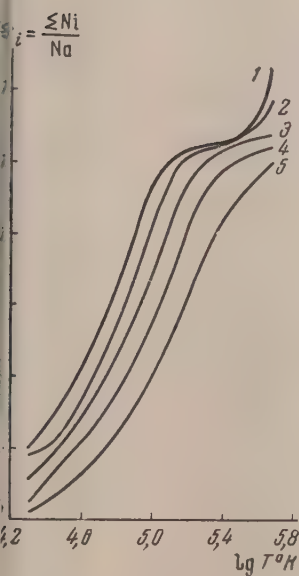


Рис. 2

Рис. 2. Отношение полного числа частиц в ионизированной смеси к числу частиц в исходной смеси: 1 — $\gamma = 10^{-3}$; 2 — $\gamma = 10^{-2}$; 3 — $\gamma = 10^{-1}$; 4 — $\gamma = 1$; 5 — $\gamma = 10$.

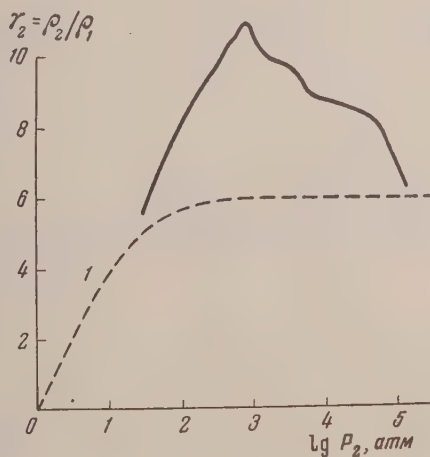


Рис. 3

Рис. 3. Сжатие во фронте ударной волны как функция давления фронта. (Пунктирная кривая дает сжатие воздуха, который рассматривается как идеальный двухатомный газ с постоянной теплоемкостью).

Зависимость от температуры отношения полного числа частиц в ионизированной смеси к числу частиц в исходной смеси представлена рис. 2. Это отношение равно

$$\frac{\sum_i N_i}{N_A} = \sum_i \alpha_i = 2 + \alpha_{\text{вл.}}$$

Поэтому рис. 2 можно рассматривать как график зависимости концентрации электронов от температуры. При полной ионизации $\sum_i \alpha_i = 16,42$.

Вычисление термодинамических величин. Для определения термодинамических величин воспользуемся известным выражением для свободной энергии F бoльцмановского идеального газа [1]. Для i -й компоненты смеси

$$F_i = -N_i k T \ln \left[\frac{e}{N_i} Z_i \right].$$

Суммируя F_i по всем компонентам и вводя вместо числа частиц концентрации α_i получим выражение для свободной энергии всей смеси, отнесенной к одной молекуле исходной смеси:

$$F = - \sum_i \alpha_i k T \ln \left[\frac{e}{\alpha_i N_A} Z_i \right].$$

При учете черного излучения к правой части выражения (7) добавляется член

$$F_{\text{изл}} = \frac{4}{3} \frac{\sigma}{c} \frac{V_0}{N_A} T^4,$$

где σ — постоянная Стефана-Больцмана и c — скорость света.

Для системы с переменным числом частиц энтропия равна

$$S = - \left(\frac{\partial F}{\partial T} \right)_{V, N}.$$

Внутренняя энергия

$$E = F + TS,$$

а давление

$$P = - \left(\frac{\partial F}{\partial V} \right)_{T, N}. \quad (1)$$

Расчетные формулы получаются путем подстановки в выражения (7), (8), (9) и (10) статистических сумм по формулам (1) и (2).

Вычисленные значения термодинамических величин сведены в табл. 2, 3, 4, 5.

Параметры фронта сильной ударной волны в воздухе при наличии ионизации. Будем приписывать величинам перед фронтом ударной волны индекс 1, а за фронтом — индекс 2. Из закона сохранения энергии, количества движения и массы получим, что для сильной ударной волны, распространяющейся по покоящемуся воздуху

Таблица 2

Полная энтропия воздуха S ккал/кг град

T°, K	γ				
	10	1	0,1	0,01	0,001
0	0	0	0	0	0
20000	3,226	3,772	4,594	5,529	6,272
30000	3,616	4,404	5,217	6,137	7,581
50000	4,207	5,279	6,544	7,920	9,777
75000	4,832	6,175	7,860	9,801	12,18
100000	5,392	7,036	9,033	11,38	14,16
150000	6,357	8,476	10,82	13,25	15,99
250000	7,745	9,977	12,12	14,38	18,99
500000	9,049	11,11	13,64	18,65	42,98

Таблица 3

Полная внутренняя энергия воздуха $E \cdot 10^{-3}$ ккал/кг

T°, K	γ				
	10	1	0,1	0,01	0,001
0	0	0	0	0	0
20000	15,09	19,15	27,72	36,29	39,03
30000	25,75	36,28	43,89	52,32	75,30
50000	51,55	75,89	102,2	126,4	169,5
75000	95,03	137,8	192,5	250,7	329,4
100000	150,0	220,7	303,3	398,8	512,4
150000	285,4	419,5	542,9	640,4	743,3
250000	590,8	737,4	803,4	863,3	1359
500000	1081	1158	1411	2644	11040

Таблица 4

Полное давление воздуха p , кг/см²

T°, K	γ				
	10	1	0,1	0,01	0,001
20000	1638	187,2	23,67	2,860	0,3015
30000	3053	390,0	44,74	4,891	0,5850
50000	7029	888,0	105,4	11,81	1,373
75000	13550	1701	203,9	23,46	2,740
100000	21990	2756	327,7	37,99	4,490
150000	43270	5406	625,1	69,22	8,298
250000	96300	11090	1173	127,3	21,78
500000	226700	23630	2581	419,6	188,3

Таблица 5

Значения произведений $\lambda S_{\text{изл}}$, $\gamma E_{\text{изл}}$ и давления $p_{\text{изл}}$

T°, K	$\gamma S_{\text{изл}}, \frac{\text{ккал}}{\text{кг град}}$	$\gamma E_{\text{изл}} \cdot 10^{-3}, \frac{\text{ккал}}{\text{кг}}$	$p_{\text{изл}}, \frac{\text{кг}}{\text{см}^2}$
20000	$1,500 \cdot 10^{-6}$	$2,249 \cdot 10^{-5}$	$4,115 \cdot 10^{-4}$
30000	$5,060 \cdot 10^{-6}$	$1,138 \cdot 10^{-4}$	$2,080 \cdot 10^{-3}$
50000	$2,343 \cdot 10^{-5}$	$8,785 \cdot 10^{-4}$	$1,608 \cdot 10^{-2}$
75000	$7,907 \cdot 10^{-5}$	$4,448 \cdot 10^{-3}$	$8,138 \cdot 10^{-2}$
100000	$1,874 \cdot 10^{-4}$	$1,405 \cdot 10^{-2}$	0,2572
150000	$6,326 \cdot 10^{-4}$	$7,116 \cdot 10^{-2}$	1,382
250000	$2,928 \cdot 10^{-3}$	0,5491	10,05
500000	$2,343 \cdot 10^{-2}$	8,785	160,8

скоростью D :

$$E_2 = \frac{1}{2} \frac{p_2}{\rho_1} \frac{\gamma_2 - 1}{\gamma_2}; \quad (1)$$

$$D = \sqrt{\frac{p_2 \gamma_2}{\rho_1 (\gamma_2 - 1)}}; \quad (2)$$

$$u_2 = \frac{\gamma_2 - 1}{\gamma_2} D, \quad (3)$$

где u_2 — скорость газа за фронтом, $\gamma_2 = p_2/\rho_1$ — сжатие на фронте ударной волны.

Четвертое соотношение можно получить, пользуясь термодинамической связью между внутренней энергией, плотностью и давлением. Так как эта связь задана в виде таблиц (табл. 3 и 4), то для определения параметров фронта волны мы прибегли к интерполяции. Сначала путем линейной

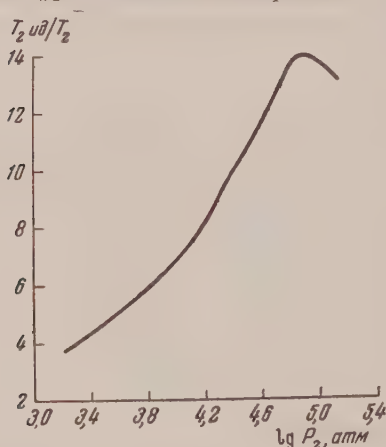


Рис. 4. Отношение температуры фронта ударной волны в воздухе, рассматриваемом как идеальный двухатомный газ с постоянной теплоемкостью, к температуре фронта при наличии диссоциации и ионизации.

емкостью и показателем адиабаты Пуассона $k = 1,4$. Отношение температуры фронта в идеальном воздухе с показателем адиабаты Пуассона $k = 1,4$ к температуре фронта, полученной с учетом диссоциации и ионизации, представлено на рис. 4.

интерполяции величины $E\gamma/p$ по точкам $\gamma = 10$ и $\gamma = 1$ и при постоянной температуре определялось сжатие на фронте γ_2 . После этого интерполяцией $\lg p$ и S по $\lg \gamma$ были найдены значения давления и энтропии воздуха на фронте волны. Остальные параметры фронта определялись по формулам (11)–(14). Специальные расчеты показывают, что принятый метод обеспечивает вполне достаточную точность. Так, например, максимально возможная ошибка в величине γ_2 не превышает 1,5%. Для остальных параметров ошибка еще меньше.

Численные значения параметров фронта при различных температурах на фронте приведены в табл. 6. На рис. 3 изображена зависимость сжатия от давления на фронте. Для давлений меньших 1600 атм, кривая проведена по данным Дэвиса [1]. На этом рисунке пунктиром изображена зависимость сжатия на фронте от давления для идеального газа с постоянной тепло-

Таблица 6

Параметры фронта ударной волны

T°, K	γ_2	$p_2, \frac{кг}{см^2}$	$D, \frac{км}{сек}$	$u_2, \frac{км}{сек}$	$E_2 \cdot 10^{-3} \frac{ккал}{кг}$	$S_2, \frac{ккал}{кг град}$
20000	10,10	1653	11,79	10,63	15,06	3,223
30000	9,749	2984	15,88	14,25	25,90	3,621
50000	8,974	6378	23,33	20,73	53,12	4,258
75000	8,749	12010	32,07	28,41	98,39	4,910
100000	8,617	19230	40,62	35,90	156,3	5,463
150000	8,426	37070	56,48	49,78	299,5	6,514
250000	7,796	76540	81,60	71,13	609,2	7,987
500000	6,272	143900	114,0	95,78	1104	9,473

Оба эти рисунка наглядно свидетельствуют о значительном влиянии диссоциации и ионизации на параметры фронта ударной волны. Так, например, сжатие γ_2 , несмотря на то что волна сильная, оказывается непостоянным и значительно большим шести, т. е. величины сжатия при отрыве диссоциации и ионизации. Вместе с тем диссоциация превращает воздух в одноатомный газ, для которого в идеальном случае (постоянная теплоемкость и состав) сжатие во фронте сильной ударной волны равно четырем. Значительное увеличение сжатия при диссоциации и ионизации объясняется тем, что на разрыв молекул и отрыв электронов расходуется значительная энергия. Действительно, если обозначить через φ энергию, затраченную на ионизацию и диссоциацию, и считать теплоемкость газа постоянной, то формулу (11) можно написать в виде

$$\varphi + \frac{p_2 \gamma_2}{\rho_1 (k-1)} = \frac{1}{2} \frac{p_2}{\rho_1} \frac{\gamma_2 - 1}{\gamma_2}. \quad (14)$$

Отсюда

$$\gamma_2 = \frac{(k+1)/(k-1)}{1 - 2 \frac{\rho_1 \varphi}{p_2}}. \quad (15)$$

Для двухатомного газа показатель адиабаты $k = 7/5$, а для одноатомного $k = 5/3$. Поэтому, если $\varphi = 0$, то формула (15) дает уже упомянутые величины сжатия во фронте, равные шести и четырем. Если $\varphi \neq 0$, то, как видно из формулы (15), сжатие оказывается больше своего «идеального» значения.

Существенно, что при одном и том же давлении на фронте скорость фронта D и скорость газа за фронтом u_2 в реальном случае (при учете диссоциации и ионизации) мало отличаются от соответствующих величин в идеальном случае. То же самое имеет место и в отношении внутренней энергии E_2 . Согласно формулам (11)–(13) реальные значения этих величин отличаются от идеальных на величину множителя $(\gamma_2 - 1)/\gamma_2$ близкого к единице.

Авторы выражают благодарность проф. Д. А. Франк-Каменецкому и д-ру Я. Б. Зельдовичу за ценные советы.

Выводы

1. Определены внутренняя энергия, энтропия и давление воздуха при температурах от $2 \cdot 10^4$ до $5 \cdot 10^5$ градусов и плотностях от 10 до $10^{-3} \rho_0$ с учетом диссоциации, ионизации и теплового излучения.
2. Полученные значения термодинамических величин использованы для нахождения параметров фронта сильных ударных волн, распространяющихся со скоростями до 115 км/сек .

Академия наук СССР
Институт химической физики
Москва

Поступила
28.XII.1956

ЛИТЕРАТУРА

1. D. R. Davies, Proc. Phys. Soc., **61**, 105, 1948.
2. М. П. Вукалович и др., Термодинамические свойства газов, М., 1953.
3. Я. Б. Зельдович и А. И. Полярный, Расчеты тепловых процессов при высокой температуре, БНТ, 1947.
4. Б. Льюис и Г. Эльбе, Горение пламени и взрывы в газах, ИИЛ, 1948.
5. Moore, Atomic energy levels, v. 1. Circular of the national bureau of Standards 467. United States Department of Commerce. J. 1949.
6. А. Гейдон, Энергия диссоциации и спектры двухатомных молекул, ИИЛ, 1949.
7. Л. Д. Ландау и Е. М. Лифшиц, Статистическая физика, М.—Л., 1951.
8. Л. Бриллюэн, Квантовая статистика, ОНТИ, 1934.
9. Г. Герцберг, Атомные спектры и строение атомов, М., 1948.
10. А. Унзольд, Физика звездных атмосфер, ИЛ, 1938.

THE THERMODYNAMIC PROPERTIES OF AIR ON THERMAL IONIZATION
AND THE SHOCK WAVE*V. V. Selivanov and I. Ya. Shlyapintokh (Moscow)*

S u m m a r y

The results are presented of a calculation of the thermodynamic properties of over the temperature range $2 \cdot 10^4$ to $5 \cdot 10^5$ °K and at densities from $10\rho_0$ to 10^{-8} where ρ_0 is the initial density at 0° C and 1 atm. pressure. The parameters of strong shock wave in air have been determined with account made of its ionization at the wave front.

The method described is applicable to the calculation of the thermodynamic state of any ideal gas obeying the Boltzman statistics.

ТЕПЛОТА АДСОРБЦИИ ПАРОВ БЕНЗОЛА НА СИЛИКАГЕЛЯХ

А. А. Исирикан и А. В. Киселев

Исследование энергии адсорбции бензола представляет интерес в связи с особенностями строения его молекулы, определяющими большую эффективность его адсорбции к химической природе поверхности адсорбента. В настоящей работе, входящей в серию работ по исследованию адсорбции углеводородов [1—9], изучена зависимость теплоты адсорбции паров бензола от заполнения поверхности и объема пор силикагелей разной структуры с гидратированной поверхностью. В области завершения капиллярной конденсации мы обнаружили и подробно исследовали резкие максимумы теплот адсорбции паров бензола, подобные найденным нами при адсорбции *n*-алканов [6, 7, 9].

Данные по теплотам адсорбции паров бензола на силикагеле приведены в работе [10]. В этой работе получены значения интегральных теплот адсорбции только для четырех величин адсорбции. Структурные характеристики примененного силикагеля не приводятся, поэтому использовать эти данные затруднительно.

Экспериментальная часть

Широкопористый силикагель КСК-2 и тонкопористый образец № 8 эталонного типа описаны в работах [6, 7, 11]. Объемы их пор составляют соответственно 0,93 и 0,23 см³/г, наиболее вероятные диаметры горл пор около 100 и 25 Å. Удельная поверхность широкопористого силикагеля КСК-2 $s = 320$ м²/г и тонкопористого $s = 520$ м²/г (по адсорбции паров азота). Бензол высокой чистоты был дополнительно перегнан на колонке и введен в установку через колонку с силикагелем. Бензол имел следующие константы; d_4^{20} 0,8790₈, d_4^{25} 0,8736₄; n_D^{20} 1,5011; т. кип. 79,8° (750 мм рт. ст.); давление пара $p_s = 75,35$ мм рт. ст. и теплота испарения при 20° $L = 8,10$ ккал/моль.

Измерения теплот адсорбции и величин адсорбции производились при помощи установок, описанных в [7]. В измерениях теплот адсорбции был применен новый прибор, заключающийся в компенсации выделенного тепла при адсорбции или поглощении тепла при десорбции, соответственно охлаждением или нагреванием калориметра при помощи электрического нагревателя (охлаждение достигалось выключением тока нагревателя, включенного до опыта). Мощность тока в нагревателе определялась эмпирически, служащим и для определения теплового значения калориметра [7]. Этот метод имеет те преимущества, что работа калориметра осуществляется в изотермических условиях, тепловое значение его практически исключается из расчета начальные и конечные ходы калориметра сохраняются одинаковыми благодаря отсутствию сопротивлений измерительного и регулировочного термометров, не изменяющих своей температуры. Это позволяет производить определения теплоты адсорбции большей точностью. При обычной работе число опытов ограничивается рабочим интервалом температуры калориметра (обычно 1—2°), пользуясь же новым методом, можно снять практически всю адсорбционную или десорбционную ветвь изотермы, не ставившая калориметра.

Изотермы адсорбции. На рис. 1 приведена изотерма адсорбции паров бензола на широкопористом силикагеле. Она имеет S-образную форму с круто поднимающейся обширной областью капиллярно-конденсационного гистерезиса. Гистерезис начинается почти от относительного давления $p/p_s = 0,2$. Это хорошо видно из верхней части рисунка. На рис. 1 стрелками обозначены десорбционные опыты, начатые с промежуточных величин p/p_s от адсорбционной ветви. Как видно из

рисунка, в области p/p_s от 0 до 0,55 изотерма практически обратима. Однако наличие гистерезиса в области p/p_s от 0,2 до 0,55 в случае десорбции от относительных давлений, больших чем 0,55, свидетельствует о протекании двух стадий капиллярной конденсации: сначала обратимой в кливальных порах, представляющих зазоры у мест контактов первичных глобулярных частиц силикагеля, а затем не обратимой — при скачкообразном заполнении их горл и более широких частей [12, 13].

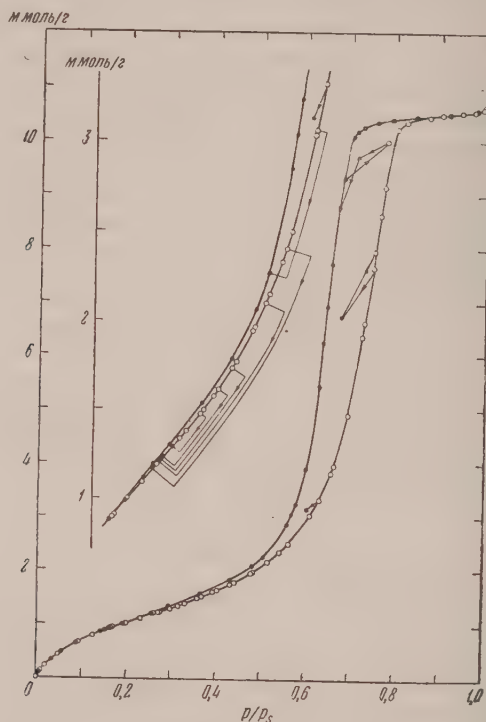


Рис. 1. Изотерма адсорбции паров бензола на широкопористом силикагеле. Слева приведен участок изотермы в более крупном масштабе по оси ординат (ось абсцисс общая). Здесь и далее черные точки — десорбция

На рис. 2 приведена изотерма адсорбции паров бензола на тонкопористом силикагеле № 8. В отличие от изотерм адсорбции гексана и гептана на том же образце изотерма адсорбции бензола имеет здесь отчетливый, хотя и небольшой, гистерезис. Нижний предел гистерезиса лежит между величинами p/p_s 0,15 и 0,20, верхний предел — менее определенный.

Теплоты адсорбции. На рис. 3 представлены дифференциальные теплоты адсорбции паров бензола на широкопористом силикагеле КСК-2. При заполнении первых 25% поверхности силикагеля наблюдается резкое падение теплоты, объясняющееся, как и в случае адсорбции алканов [6, 7] неоднородностью поверхности. Дальнейшее падение теплоты до $a \cong a_m$ происходит линейно. Вблизи $a = a_m$ происходит легкий излом этой прямой. Теплота капиллярной конденсации, медленно снижаясь в области подъема гистерезисной петли, проходит через резкий максимум при завершении сорбции, после чего падает до скрытых теплоты конденсации пара L .

На рис. 4 представлены дифференциальные теплоты адсорбции бензола на тонкопористом силикагеле № 8. Падение теплоты здесь постепенное

ведется вплоть до области гистерезиса. При завершении сорбции теплота и здесь проходит через максимум, но в более обширной области величин a и p/p_s , что позволило исследовать подробнее его форму.

Сравнение теплот адсорбции на обоих силикагелях при одинаковых p/p_s показывает, что теплота адсорбции на тонкопористом образце значительно больше. Это вызывается увеличением энергии молекулярных ван-дер-ваальсовых взаимодействий в тонких порах силикагеля [6, 7, 14].

Обсуждение результатов

Адсорбционное равновесие. Абсолютная изотерма адсорбции паров бензола ($\alpha = a/s$ в моль/м²) на широкопористом силикагеле близка к полученным в работах [12, 14, 15]. На тонкопористом силикагеле в начальной области она проходит значительно круче в соответствии с увеличением теплоты адсорбции в тонких порах. Аналогичное изображение изотермы адсорбции паров бензола при сужении пор силикагеля было показано в [12, 14, 16].

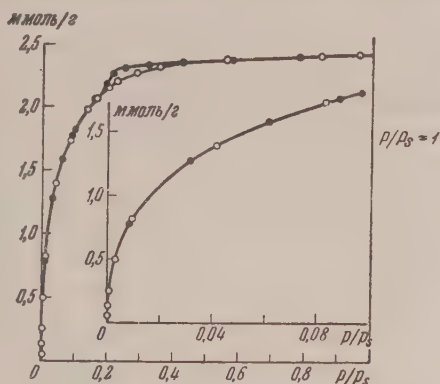


Рис. 2. Изотерма адсорбции паров бензола на тонкопористом силикагеле № 8. Справа приведен участок изотермы в более крупном масштабе лишь по оси абсцисс

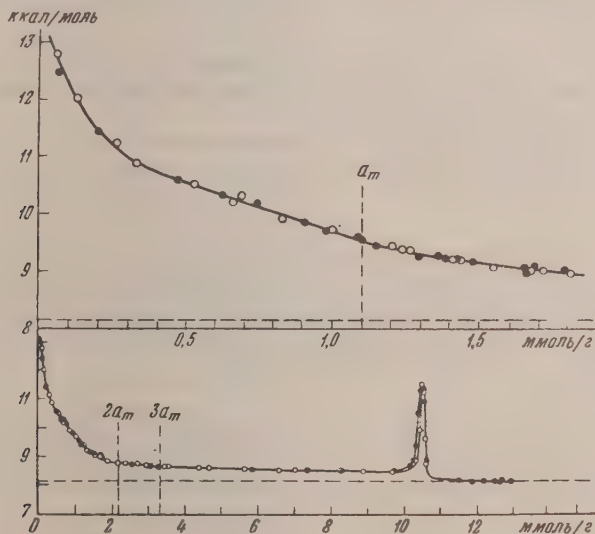


Рис. 3. Дифференциальные теплоты адсорбции паров бензола на широкопористом силикагеле КСК-2. Наверху приведен начальный участок кривой в более крупном масштабе. Вертикальные пунктиры (a_m , $2a_m$, $3a_m$) соответствуют заполнению первого и последующих слоев. Здесь далее горизонтальные пунктиры — теплота конденсации L

Изотерма на широкопористом силикагеле подчиняется уравнению БЭТ в интервале p/p_s от 0,05 до 0,45 с константами $a_m = 1,085$ моль/г и $C = 11,4$.

Изотерма адсорбции паров бензола и на тонкопористом образце также подчиняется уравнению БЭТ, но в более узком интервале p/p_s (от 0,03

до 0,15) и со значительно большей «энергетической» константой $C = 2$. Если пренебречь возможным эффектом ультрапористости для бензола условно принять величину $s = 520 \text{ м}^2/\text{г}$, определенную по адсорбции азота, то получается $\omega_0 = 45 \text{ Å}^2$.

Уравнение Лэнгмюра, благодаря неоднородности поверхности, применимо для адсорбции бензола на широкопористом образце. В случае же тонкопористого образца, наоборот, на всем интервале p/p_s от 0 до 1 адсорбционные точки в координатах уравнения Лэнгмюра хорошо укладываются на прямую, однако расчет «емкости монослоя» a_m из этой прямой дает 2,53 ммоль/г, в то время как максимальная величина адсорбции

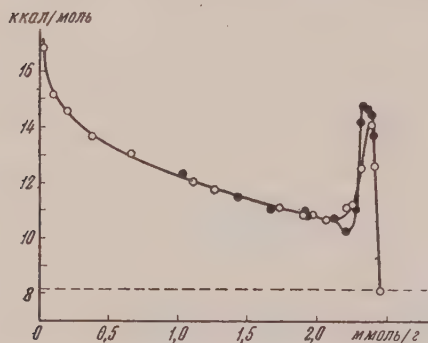


Рис. 4. Дифференциальные теплоты адсорбции паров бензола на тонкопористом силикагеле

при $p/p_s = 1$, соответствующая заполнению всего объема пор этого силикагеля, составляют лишь 2,43 ммоль/г. Сопоставление этих величин, а также показанное на рис. 4 падение теплоты адсорбции в этой области показывает, что здесь мы имеем дело лишь с формальным выполнением уравнения Лэнгмюра, и его константа a_m не имеет смысла «емкости монослоя».

Термодинамические характеристики. Измеренные величины адсорбции и теплот адсорбции позволили рассчитать изменения свободной энергии, полной энергии и энтропии адсорбции паров бензола на широко-

пористом силикагеле. В табл. 1 приведены соответствующие дифференциальные молярные величины при стандартном состоянии, т. е. при степени заполнения поверхности $\theta = 0,5$.

Из табл. 1 видно, что в случае силикагеля для бензола стандартная величина Q_a^0 на 1,57 ккал/моль больше, чем для гексана; разность вели-

Таблица 1

Стандартные величины дифференциальной теплоты адсорбции Q_a^0 , дифференциальной полной энергии ΔU^0 , дифференциальной свободной энергии $\Delta \mu^0$, дифференциальной энтропии ΔS^0 и величины среднего изменения молярной энтропии при адсорбции монослоя ΔS_m для систем бензол — силикагель и *n*-гексан — силикагель. Для сравнения приведены эти величины для систем бензол — и *n*-гексан — графитированная сажа [1—2]

Адсорбент	Углеводород	Q_a^0 , ккал/моль	ΔU^0 , ккал/моль	$\Delta \mu^0$, ккал/моль	ΔS^0 , кал/моль град	ΔS_m , кал/моль град
Силикагель	<i>n</i> -Гексан	8,83	-1,23	-1,05	-0,6	-0,40
	Бензол	10,40	-2,27	-1,50	-2,6	-2,3
Графитированная сажа	<i>n</i> -Гексан	12,1	-4,5	-3,65	-2,9	-2,6
	Бензол	10,0	-1,85	-2,40	+1,9	+1,6

чин — ΔU^0 (чистых теплот адсорбции $Q_a^0 - L$) также весьма велика: 1,0 ккал/моль. В том же направлении изменяется и величина свободной энергии $\Delta \mu^0$. Это приводит к значительно более выпуклой изотерме адсорбции бензола на силикагеле по сравнению с гексаном.

В работе [8] мы показали, что эта разница теплот адсорбции бензола и гексана уменьшается при дегидратации поверхности кремнезема. Повы-

Теплота адсорбции бензола на силикагеле с гидратированной поверхностью связана с наложением на энергию неполярных ван-дер-ваальсовых взаимодействий дополнительной энергии образования молекулярных π -комплексов бензола с гидроксилами кремниевой кислоты [8, 14, 17]. Образование этих связей подобно образованию других водородных связей. Отношение величин ω_0 для бензола и гидроксила [11] показывают, что молекула бензола, адсорбируясь на гидратированной поверхности кремнезема, близка к четырем гидроксилам. Частично протонизированные водороды этих гидроксильных групп оказывают достаточно мощное воздействие на облака π -электронов ароматического ядра. Какова здесь относительная роль электростатической поляризации и более тесного взаимодействия донорно-акцепторного типа, в настоящее время сказать трудно (см. дискуссии в [17, 18]). Исследования Н. Теренина и его сотрудников показывают, что при адсорбции паров бензола на пористых стеклах происходит значительное смещение полосы поглощения гидроксила в инфракрасной области [18].

Из табл. 1 видно также, что увеличение прочности связи с силикагелем при переходе от гексана к бензолу приводит к резкому падению энтропии, т. е. к значительно большей потере свободы движения в случае адсорбции молекул бензола.

На рис. 5 и в табл. 1 сопоставлены дифференциальные теплоты адсорбции паров бензола и гексана [7] на широкопористом силикагеле и на графитированной саже [1, 2]. Графитированная поверхность не несет на себе каких-либо полярных групп, поэтому энергия адсорбции углеводородов на ней является энергией неполярных ван-дер-ваальсовых сил притяжения и короткодействующих сил отталкивания. Расчет этой энергии для величин, совпадающие с теплотами адсорбции [1—4].

Адсорбция гексана на силикагеле сопровождается меньшим выделением тепла по той причине, что более рыхлое расположение силовых центров частиц скелета силикагеля на поверхности и в объеме, чем в решетке графита (особенно в его базисной плоскости), приводит к значительно меньшей энергии дисперсионного взаимодействия.

Теплоты адсорбции бензола на силикагеле примерно до $\theta = 0,5$ лежат выше теплот адсорбции на саже. При дальнейшем заполнении поверхности кривые дифференциальных теплот адсорбции бензола на этих адсорбентах пересекаются и выше лежат теплоты адсорбции на саже.

Уменьшение энергии адсорбции бензола по сравнению с гексаном на графите связано с меньшей величиной его поляризуемости, определяющей в значительной мере энергию неполярных ван-дер-ваальсовых взаимодействий бензола и гексана с графитом [1—4]. Увеличение же энергии адсорбции бензола по сравнению с гексаном на силикагеле связано, как мы видели, с образованием π -комплексов. Роль обычного индукционного эффекта здесь мала, так как теплота адсорбции гексана мало зависит от степени гидратации поверхности кремнезема [8].

На рис. 6 приведены соответствующие кривые зависимости дифферен-

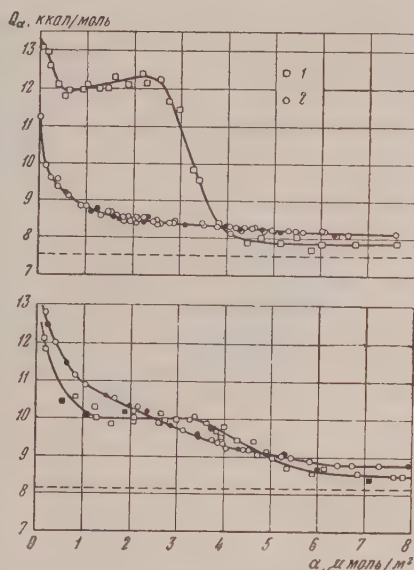


Рис. 5. Дифференциальные теплоты адсорбции паров n -гексана (наверху) и бензола (внизу): 1 — на графитированной саже и 2 — на широкопористом силикагеле

циальных энтропий от абсолютных величин адсорбции α . Дифференциальные энтропии адсорбции гексана на силикагеле и графите при малых степенях заполнения начинаются с положительных величин, т. е. в разреженных слоях возможна относительно большая подвижность адсорбированных молекул гексана по сравнению с жидкостью. По мере заполнения поверхности дифференциальные энтропии переходят в область отрицательных значений и проходят через минимум вблизи завершения монослоя.

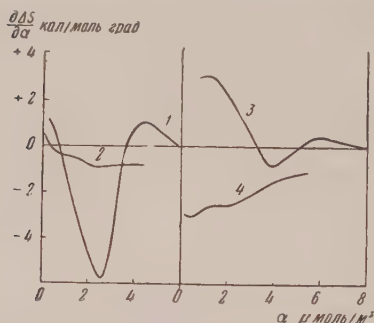


Рис. 6. Дифференциальные энтропии адсорбции паров: 1, 2 — *n*-гексана и 3, 4 — бензола на графитированной саже (1, 3) и широкопористом силикагеле (2, 4)

Для графита этот минимум значительно ниже, чем для силикагеля. Следовательно, при завершении монослоя подвижность молекул гексана на графите значительно меньше, чем на силикагеле. Дифференциальные энтропии адсорбции бензола представляют противоложную картину. Бензол на графите большей части области монослоя находится в более подвижном состоянии, чем в жидкости, а для меньших покрытий, естественно, эта подвижность значительно больше. Бензол на силикагеле, наоборот, при малых заполнениях имеет меньшую относительную подвижность, с ростом заполнения она растет, все время оставаясь, однако, меньшей подвижностью в жидком состоянии. Низкие значения дифференциальной энтропии адсорбции бензола на силикагеле можно объяснить преимущественно адсорбцией бензола на гидроксилах поверхности силикагеля, прочно удерживающих молекулы бензола и в значительной мере затормаживающих их вращательное движение. На поверхности же графита такого рода специфических якорных центров нет, и молекула бензола более свободна и может на ней двигаться.

В стандартном состоянии при $\theta = 0,5$ дифференциальная тепло адсорбции бензола на силикагеле выше, чем на графите на $0,4$ ккал/моль, а работа адсорбции, наоборот, больше на графите на $0,9$ ккал/моль. Это является ярким примером влияния на адсорбционное равновесие, определяемое изменением свободной энергии, не только теплоты адсорбции, но и энтропийного члена, т. е. состояния адсорбционной пленки (см. [1]).

Капиллярная конденсация. Как было показано в предыдущих работах [6, 7], дифференциальные теплоты капиллярной конденсации паров *n*-алканов на широкопористом силикагеле лежат на $0,3$ – $0,4$ ккал/моль выше скрытой теплоты конденсации, а завершение адсорбции на обоих образцах силикагелей сопровождается резким максимумом теплоты. Аналогичные явления были обнаружены и при адсорбции паров бензола на тех же адсорбентах (рис. 3 и 4).

В области капиллярной конденсации по мере заполнения пор жидкостью происходит сокращение величины поверхности адсорбционной пленки s' . Из общего термодинамического уравнения капиллярной конденсации [19, 20] было получено приближенное выражение для расчета адсорбционной пленки s' по изотерме адсорбции.

Приближенная формула для расчета s' из теплоты капиллярной конденсации имеет вид [20]

$$s' = \frac{\int_{a_h}^{a_s} (Q_a - L) da}{\epsilon_0}, \quad (1)$$

где ϵ_0 — полная поверхностная энергия жидкого адсорбата; a_h и a_s — величины адсорбции у начала и конца капиллярной конденсации.

В табл. 2 приведены величины s' для силикагеля КСК-2, вычисленные из изотерм адсорбции и теплот адсорбции паров гекса и гептана [7] и паров бензола. Величины, определенные по теплоте, лучше совпадают с поверхностью скелета адсорбента.

Таблица 2

Величины поверхности адсорбционной пленки, вычисленные из работы адсорбции s'_A и теплоты адсорбции s'_Q в области капиллярной конденсации на широкопористом силикагеле. Поверхность его скелета $s = 320 \text{ м}^2/\text{г}$

Углеводороды	s'_A $\text{м}^2/\text{г}$	s'_Q $\text{м}^2/\text{г}$
Гексан	370	334
Гептан	370	342
Бензол	360	328

равна $61 \text{ эрг}/\text{см}^2$, а энтропия смачивания — $0,157 \text{ эрг}/\text{град} \cdot \text{см}^2$.

Теплота смачивания бензолом тонкопористого силикагеля равна $82 \text{ эрг}/\text{см}^2$. Теплота смачивания бензолом уменьшается при сужении пор за счет сокращения общего объема пор.

Максимумы теплот при завершении капиллярной конденсации. Заполняющая внутренние поры адсорбента в конце гистерезиса жидкость растянута вогнутыми менисками в устьях пор, выходящих на поверхность зерен. Повышение давления пара до насыщения приводит к резкому уменьшению площади этих менисков, т. е. к капиллярности жидкости, сопровождаемому выделением тепла этого смачивания. При десорбции (еще до начала опорожнения внутренних пор) в устьях наружных пор мениски прогибаются, жидкость соответственно растягивается и тепло поглощается [6, 7, 9].

На рис. 7 сопоставлены изотермы адсорбции и теплоты адсорбции паров бензола на широкопористом силикагеле в функции p/p_s . Для наглядности обе кривые в отдельных местах соединены вертикальными пунктирами. Максимумы теплот адсорбции десорбции соответствуют сегментам соответствующих почти горизонтальных участков изотермы адсорбции и десорбции в области насыщения. Гистерезис кривой теплоты простирается дальше, примерно до $p/p_s = 0,95$, чем это удалось обнаружить на изотерме адсорбции.

Теплота смачивания. Интегрированием кривых чистых теплот адсорбции, рис. 3 и 4, можно получить величины теплот смачивания силикагелей бензолом. В отличие от адсорбции на непористых адсорбентах [21], энергия исчезновения адсорбционной пленки включается здесь в интеграл в области капиллярной конденсации.

Теплота смачивания широкопористого силикагеля с гидратированной поверхностью бензолом равна $107 \text{ эрг}/\text{см}^2$ и в 1,6 раз больше, чем теплота смачивания *n*-алканами [7]. Работа смачивания бензолом состав-

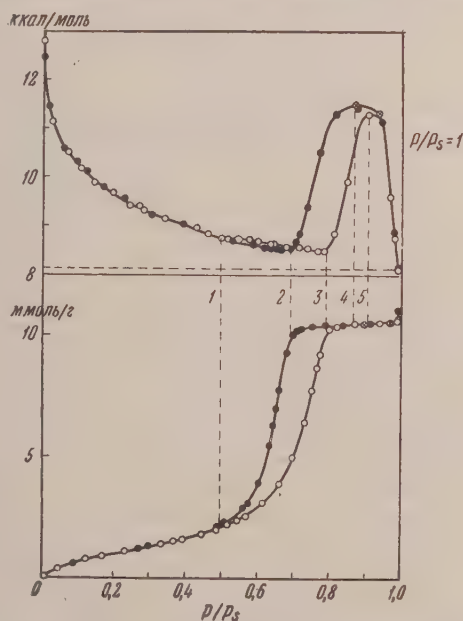


Рис. 7. Изотермы величин адсорбции (внизу) и теплоты адсорбции (наверху) в зависимости от относительного давления паров бензола для широкопористого силикагеля. Кружки с крестиками внутри — адсорбция с десорбционной ветви

При проведении адсорбции после прохождения десорбционной ветви на почти горизонтальном ее участке соответствующие величины теплот адсорбции ложатся на десорбционную ветвь, что указывает на обратимость десорбционной ветви на этом участке изотермы: в этой области десорбционной ветви происходит лишь обратимый прогиб менисков жидкости в устьях пор, выходящих на внешнюю поверхность адсорбента. Образование внутренних пор происходит при резком повороте десорбционной изотермы вниз.

Из термодинамических соображений следует, что площади под кривыми теплот адсорбции и десорбции в функции величин адсорбции a (но в функции p/p_s) должны быть одинаковыми. В случае тонкопористого силикагеля (рис. 4) это удалось обнаружить.

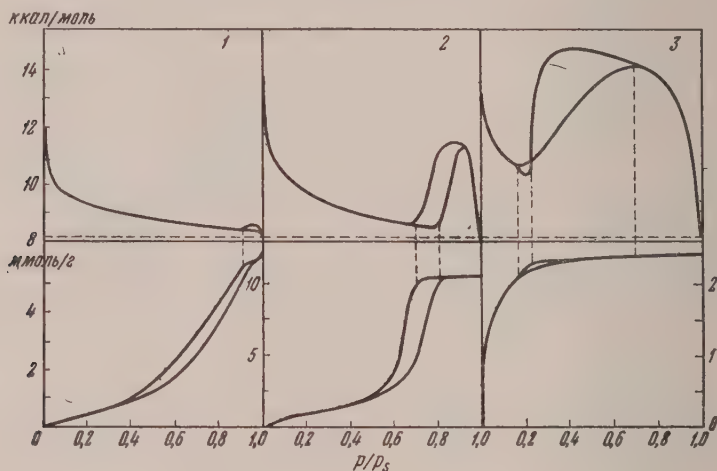


Рис. 8. Сопоставление дифференциальных теплот и изотерм адсорбции паров бензола: 1 — на неоднороднопористом; 2 — однородноширокопористом и 3 — однороднотонкопористом силикагелях

На рис. 8 сопоставлены изотермы адсорбции и теплоты адсорбции бензола на пористых кремнеземах трех структурных типов [22]*. Левая часть рисунка относится к неоднороднопористому адсорбенту [8]. Здесь при завершении сорбции максимум теплоты адсорбции выражен очень слабо благодаря размытому характеру распределения пор по размерам. Средняя часть рисунка относится к однородноширокопористому адсорбенту (силикагель КСК-2). Здесь распределение пор очень узкое, изотерма круто загибается к оси $p/p_s = 1$; для таких адсорбентов максимум теплоты при завершении сорбции обязателен и выражен очень ярко. Правая часть рисунка относится к однороднотонкопористому адсорбенту, где последний этап — сжатие жидкости в порах — особенно отчетливо выступает благодаря тому, что тонкие поры внутри зерен заполняются при более низких p/p_s и жидкость в них растянута менисками в устьях пор, имеющими при этих более низких p/p_s большую кривизну. Все эти исследованные нами случаи максимумов теплот у завершения сорбции бензола силикагелями разной пористости показывают, что последний этап сорбции паров пористыми телами связан со сжатием жидкости в порах при адсорбции и с растяжением ее при десорбции, т. е. протекает исключительно по капиллярно-конденсационному механизму.

* На непористых адсорбентах максимума вблизи $p/p_s = 1$ не должно быть, что подтверждается в случае адсорбции паров гексана на саже, в отличие от адсорбции на активном угле, где имеется резко выраженный максимум [5,23].

Выводы

1. В калориметре с постоянным теплообменом изотермическим компенсационным методом измерены дифференциальные теплоты адсорбции паров бензола на широко- и тонкопористом силикагелях. Определены стандартные величины теплот адсорбции и другие термодинамические характеристики.

2. Теплота адсорбции паров бензола при заполнении монослоя на силикагеле больше теплоты адсорбции гексана за счет наложения на энергию дисперсионных взаимодействий энергии образования π -комплексов ароматического ядра с гидроксилами кремниевой кислоты. Энтропия адсорбции бензола на силикагеле, в отличие от адсорбции на графите, в широкой области мономолекулярного заполнения отрицательна, движение молекул бензола на гидратированной поверхности силикагеля замедлено.

3. В капиллярно-конденсационной области измерения теплоты адсорбции позволяют определить величину исчезающей при заполнении поверхности адсорбционной пленки и величину теплоты смачивания.

4. Капиллярная конденсация в однороднопористых силикагелях сопровождается резким максимумом на кривых теплот адсорбции и десорбции. Максимумы связаны со сжатием (при адсорбции) и с растяжением (при десорбции) жидкости, заполняющей внутренние поры зерен силикагелей.

Московский государственный университет
им. М. В. Ломоносова

Поступила
29.XII.1956

ЛИТЕРАТУРА

- Н. Н. Авгуль, Г. И. Березин, А. В. Киселев и И. А. Лыгина, Журн. физ. химии, **30**, 2106, 1956.
Н. Н. Авгуль, Г. И. Березин, А. В. Киселев, И. А. Лыгина, Изв. АН СССР, ОХН, 1304, 1956; 1021, 1957.
Н. Н. Авгуль, А. В. Киселев, ДАН, **112**, 673, 1957.
Н. Н. Авгуль, А. А. Исириян, А. В. Киселев, И. А. Лыгина, Д. П. Пошкус, Изв. АН СССР, ОХН, **1314**, 1957.
Н. Н. Авгуль, Г. И. Березин, А. В. Киселев, Г. Г. Муттик и И. А. Лыгина, Журн. физ. химии, **31**, 1111, 1957.
А. А. Исириян, А. В. Киселев, ДАН, **110**, 1009, 1956.
А. А. Исириян и А. В. Киселев, Журн. физ. химии, **31**, 2127, 1957.
А. А. Исириян, А. В. Киселев, ДАН, **115**, 343, 1957.
А. А. Исириян, Сб. «Методы исследования структуры высокодисперсных и пористых тел», **2**, Изд-во АН СССР, 1958.
G. Beggrow и P. Hartek, Zs. Phys. Chem., **193**, 265, 1944.
Л. Д. Белякова, О. М. Джигит и А. В. Киселев, Журн. физ. химии **31**, 1577, 1957.
А. В. Киселев, Сб. Труды Комиссии по аналитической химии, **6**, стр. 46—76, Изд-во АН СССР, 1955.
А. В. Киселев, ДАН, **98**, 427, 1954.
А. В. Киселев, Усп. химии, **25**, 705, 1956.
Н. Н. Авгуль, О. М. Джигит, В. П. Древинг, М. В. Гурьев, А. В. Киселев, О. А. Лихачева, ДАН, **77**, 77, 1951.
М. М. Дубинин, А. Г. Зуев, ДАН, **69**, 209, 1949.
А. В. Киселев, ДАН, **106**, 1040, 1956; Сб. «Поверхностные химические соединения и их роль в явлениях адсорбции», стр. 90, Изд-во МГУ, 1957.
А. Н. Теренин, Сб. «Поверхностные химические соединения и их роль в явлениях адсорбции», стр. 206, Изд-во МГУ, 1957.
А. В. Киселев, Усп. химии, **14**, 367, 1945.
А. В. Киселев, Сб. работ по физической химии, стр. 205, Изд-во АН СССР, 1948.
А. В. Киселев, Журн. физ. химии, **20**, 239, 1946; Усп. химии, **15**, 456, 1946.
А. В. Киселев, Журн. физ. химии, **23**, 452, 1949.
Н. Н. Авгуль, Сб. «Методы исследования структуры высокодисперсных и пористых тел», **2**, Изд-во АН СССР, 1958.

THE HEATS OF ADSORPTION OF BENZENE VAPORS ON SILICA GELS

A. A. Isirikyan and A. V. Kiselev (Moscow)

S u m m a r y

The differential heats of adsorption of benzene vapor on silica gels of wide and fine pores have been measured by an isothermal compensation method in a calorimeter with constant heat exchange, and the standard values for the heats of adsorption and other thermodynamic properties have been determined.

The heats of adsorption of benzene vapor on filling the monolayer on silica gels are larger than those of hexane due to superposition of the energy of formation of π complexes between the aromatic nucleus and the hydroxyls of silicic acid on the energy of dispersion interaction.

In contrast with adsorption on graphite the entropy of adsorption of benzene on silica gel is negative over a wide range of monomolecular coverage, the movement of benzene molecules on the hydrated silica gel surface being retarded.

In the region of capillary condensation the heats of adsorption make possible determination of the area of the surface film formed in the pores at the beginning of condensation.

In the case of silica gel with wide pores the surface area of the film is close to that of the silica gel skeleton.

Capillary condensation in silica gels of uniform pore size ends in an abrupt maximum on the curves for the heats of adsorption and desorption. The maxima are associated with a compression (on adsorption) and an expansion (on desorption) of the liquid film filling the inner pores of the silica gel particles.

МЕТОДЫ И ТЕХНИКА ФИЗИКО-ХИМИЧЕСКОГО ИССЛЕДОВАНИЯ

НОВЫЙ СПОСОБ ИЗМЕРЕНИЯ ПОЛЯРИЗАЦИОННОЙ ЕМКОСТИ И ПОЛЯРИЗАЦИОННОГО СОПРОТИВЛЕНИЯ ДВОЙНОГО СЛОЯ

Н. П. Гусев

На существующих методах раздельного измерения поляризационной емкости и поляризационного сопротивления в настоящее время используется преимущественно мостовая схема, примененная впервые Крюгером [1] и позже значительно усовершенствованная рядом советских исследователей [2, 3]. Мостовая схема имеет серьезные принципиальные недостатки, которые препятствуют изучению сопротивления двойного слоя в ряде электрохимических процессов и явлений. Подавляющее большинство проведенных измерений емкости двойного слоя относится к системам, представляющим собой идеально обратимые электроды, т. е. электроды, у которых постоянный поляризующий ток тратится только на изменение потенциала электрода, а не на электрохимический процесс. Даже электрохимические системы, которыми обычно имеет дело физики и в которых ток расходуется на процесс электролиза, с этой точки зрения, до сих пор остаются почти не исследованными, хотя попытки изучения таких систем и предприняты неоднократно [4, 5, 6].

Результаты измерений, получаемые при использовании мостовой схемы, включают в себя, кроме исходных составляющих, сопротивление двойного слоя исследуемого электрода также сопротивление электролита ячейки и сопротивление двойного слоя второго электрода. Вследствие при этом необходимо или возможности устранить, или соответствующим образом учесть.

С целью устранения влияния поляризационной емкости и поляризационного сопротивления второго электрода на конечные результаты прибегают к введению в ячейку третьего вспомогательного электрода. Этот электрод обычно делается из платиновой или платиновой платины, имеющей малое омическое и емкостное сопротивление в двойном слое. Чтобы уменьшить влияние омического сопротивления электролита, используют концентрированные растворы электролитов и стремятся сблизить между собой электроды, через которые проходит ток. Попытки учесть указанные сопротивления введением соответствующих поправок не всегда дают должные результаты. Наличие третьего электрода в ячейке ведет к нарушению равномерности электрического поля и вследствие этого вызывает так называемую «депрессию» емкости частотой, ведущую к искажению результатов измерений [7]. Кроме этого, при проведении измерения по мостовой схеме тратится значительное время на уравновешивание мостов, что иногда затрудняет изучение систем, изменяющих строение двойного слоя во времени.

Разработанный нами способ раздельного измерения поляризационной емкости и поляризационного сопротивления основан на построении треугольника сопротивлений для последовательно включенных в цепь переменного тока сопротивлений двойного слоя и эталонного сопротивления.

Исследуемая ячейка (рис. 1) состоит из прямоугольной ванны B , у двух противоположных стенок которой расположены катод и анод. Расположение электродов и

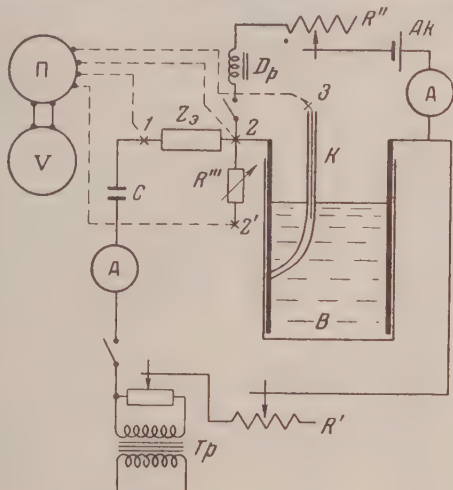


Рис. 1

форма ванны обеспечивают равномерное распределение как постоянного тока, и этого на процесс, так и переменного тока, необходимого для измерения.

Вплотную к исследуемому электроду прижимается лосик капилляра K . В капилляр вставляется платиновая проволочка до соприкосновения с электролитом. Дополнительно с ячейкой в цепь переменного тока включены эталонное сопротивление амперметр A , источник тока T_p , регулирующее сопротивление R' и конденсатор

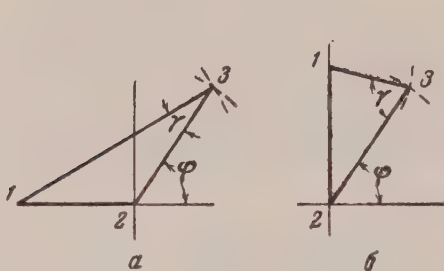


Рис. 2

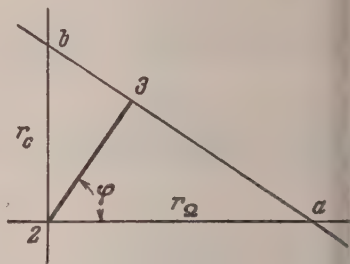


Рис. 3

Цепь постоянного тока состоит из аккумулятора Ak , регулировочного реостата, дросселя D_p и амперметра A' . Дроссель и конденсатор служат для разделения цепей переменного и постоянного токов.

Процесс измерения состоит в фиксации напряжения переменного тока между контактами 1—2 и 2—3 и 1—3. Измерение может быть проведено при помощи приборов с высоким внутренним сопротивлением: лампового вольтметра, осциллографа и др.

При измерении падения напряжения на эталонном сопротивлении в случаях, когда внутреннее сопротивление измерительного прибора не очень велико, сравнению с сопротивлением участка измерительной цепи, включающей капилляр K , предусмотрено использование компенсирующего сопротивления R''' . Последнее по величине должно быть равным сопротивлению между точками 2 и 3.

Контакты 1—2 и 2—3 посредством переключателя соединены с измерительным прибором.

В качестве эталонного сопротивления можно использовать активное, или индуктивное, или активно-индуктивное сопротивление.

Обработка результатов измерения производится графическим способом в предположении, что в эквивалентной электроду электрической схеме емкость двойного слоя и омическое сопротивление соединены между собой параллельно. Для этого необходимо построить треугольник сопротивлений. Примеры построения треугольника сопротивлений для случаев, когда в качестве эталонного сопротивления используется омическое (а), индуктивное (б), представлены на рис. 2. Критерием выбора эталонного сопротивления является условие получения наибольшего угла пересечения прямой 2—3 с кривой 1—3 (угол γ). С величиной этого угла связана точность нахождения точки 3. После отыскания точки

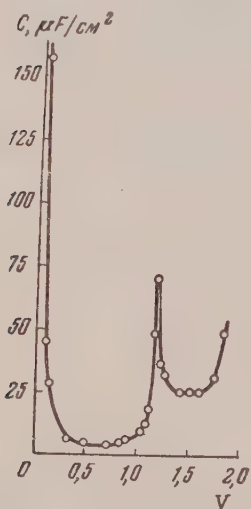


Рис. 4

построением треугольника можно измерить угол сдвига фаз ϕ и использовать его для расчета емкостного и омического сопротивлений по следующим формулам:

$$r_{\Omega} = \frac{Z}{\cos \phi} \text{ и } r_c = \frac{Z}{\sin \phi},$$

где r_{Ω} и r_c — искомые сопротивления, а Z — кажущееся сопротивление двойного слоя. Чтобы эту задачу решить графически, необходимо из точки 3 провести перпендикул к прямой 2—3 до пересечения с осями 2—6 и 2—а (рис. 3). Отрезки, отсекаемые указанных осей, будут отвечать искомым сопротивлениям. Величина емкости в числителях по формуле:

$$C = \frac{10^{-6}}{2\pi n \cdot r_c}.$$

С целью экспериментального подтверждения правильности разработанной нами методики пригодятся результаты некоторых измерений. На рис. 4 представлена зависимость емкости двойного слоя от потенциала для ртутного электрода в 3*N* KCl с добавкой гептилового спирта. В данном опыте была применена специальная ячейка, конструктивно приспособленная к жидкому электроду ртути.

По своей форме данная кривая полностью совпадает с подобной рода кривыми, полученными в аналогичных условиях при измерении при помощи мостовой схемы. Значение минимальной величины емкости в $4 \mu\text{F}/\text{cm}^2$ и величины потенциала пика сорбции около 1,2 V дают также и количественное совпадение с литературными данными. Отличие полученного нами значения емкости на втором горизонтальном участке в $8 \mu\text{F}/\text{cm}^2$ от приводимого в литературе $20 \mu\text{F}/\text{cm}^2$ связано, по-видимому, с некоторыми погрешностями, имеющими место в нашем опыте.

Резюмируя все сказанное о методе, отметим его основные преимущества перед мостовой схемой. Измеряемые величины не включают в себя ни омическое сопротивление электролита, ни сопротивление двойного слоя второго электрода. Простота технического выполнения схемы и простота производства измерений, отсутствие необходимости вводить в ячейку третий вспомогательный электрод позволит вести изучение поляризационной емкости и поляризационного сопротивления во время протекания самих разнообразных электрохимических процессов. Малое время, затрачиваемое на отдельное измерение при использовании переключателя, позволяет производить исследование электродов, у которых строение двойного слоя меняется во времени. Возможность применения прямоугольной ванны исключает всякие искажения результатов измерения, связанные с конструктивным несовершенством ячейки. Наконец, используя простую замену одних эталонных сопротивлений другими, можно производить измерения в неограниченно широком диапазоне емкостей и сопротивлений.

Институт инженеров
транспорта
Минск

Поступила
19.XII.1956

ЛИТЕРАТУРА

- Krüger, Zs. phys. Chem. 45, 1, 1903.
П. И. Долин и Б. В. Эршлер, Журн. физ. химии, 14, 886, 1940.
В. И. Мелик-Гайказян, П. И. Долин, Тр. Ин-та физ. химии АН СССР, 1, 115, 1950.
Б. В. Эршлер, Журн. физ. химии, 22, 683, 1948.
G. Falk, E. Lange, Zs. Elektrochem., 54, 132, 1950.
D. C. Grahme, Journ. Electrochim., 99, 370 с. 1952.
D. C. Grahme, Journ. Amer. Chem. Soc. 68, 301, 1946.
В. И. Мелик-Гайказян, Журн. физ. химии, 28, 560, 1952.

A NEW METHOD OF MEASURING THE POLARIZATION CAPACITY AND POLARISATION RESISTANCE OF THE DOUBLE LAYER

N. P. Gnusin (Gomel)

Summary

The present methods of measuring the capacitance and ohmic components of the double layer are predominantly based on the use of a bridge circuit. In addition to definite advantages the application of a bridge circuit to electrochemical systems has a number of drawbacks. Among them for instance is the fact that in the value of the measured resistance of the electrode double layer under investigation is included the value for a second electrode, distorting the results. The presence of a third auxiliary electrode in the system leads to a disruption in the uniform distribution of current and hence to a lowering of the capacity with increasing frequencies. The scheme for measuring the polarization capacitance and polarization resistance of the double layer described in this paper is based on the construction of a resistance triangle for the series connection of a standard resistance and the resistance of the double layer. With this procedure the above mentioned shortcomings are eliminated.

ИЗМЕРЕНИЕ ДАВЛЕНИЯ НАСЫЩЕННОГО ПАРА В ПРЕДЕЛАХ 0,1—10 мм рт. ст.

С. И. Скляренко, Б. И. Маркин и Ю. У. Самсон

Целью настоящего исследования была разработка метода измерения давления насыщенных паров в интервале от 0,1 до 10 мм рт. ст. Такая задача возникла в связи с тем, что существующие для этого интервала давлений методы либо не дают достаточной точности измерений, либо требуют весьма длительной подготовки к проведению опыта. Например, один из наиболее часто применяемых методов — метод уноса при малых давлениях насыщенного пара обычно приводит к значительным ошибкам.

Кроме увеличения точности измерения и значительного ускорения опыта желательным было максимально сократить количество вещества, необходимого для проведения опыта, так как, во-первых, ряд веществ трудно получить в больших количествах, во-вторых, работа с большими количествами веществ при низких давлениях часто вызывает большие неудобства.

После тщательного анализа применявшихся ранее методов внимание было обращено на статическом методе, суть которого заключается в следующем: исследуемое вещество испаряется в предварительно эвакуированном замкнутом пространстве и достигается равновесное давление, которое измеряется манометром. Поскольку испаряемые вещества могут быть химически весьма активными, был применен мембранный манометр [1—3], изготовленный целиком из стекла и дающий вполне достаточную точность в вышеупомянутом интервале давлений.

Конструкция установки и техника работы. Установка (рис. 1) состоит из вакуумной, испарительной и измерительной систем. Вакуумная система обычного типа [3], поэтому на рис. 1 она не показана. Испарительная система служит для создания равновесного давления насыщенного пара в предварительно эвакуированном замкнутом объеме при фиксированной температуре. Давление создается в испарительном цилиндре 1, который соединен с внутренней полостью мембранного манометра 12 и с вакуумной системой (через кран 3 и ловушку 4, охлаждаемую жидким азотом). Испарительный цилиндр вместе с мембранным манометром помещены в кожух 7, через который протекает жидкость из термостата ТС-45 (11). Температура контролируется термометром 8. Кран 3 во избежание конденсации паров должен быть помещен как можно ближе к кожуху. Так как припайка крана с соблюдением этого требования оказалась невозможной вследствие растрескивания стекла, кран был соединен с испарительным цилиндром при помощи шлифа 9 с сухим ртутным затвором. Колокол мембранного манометра 10, закрытый спереди плоско-параллельным стеклом 13, через кран 14 соединен с измерительной системой и через кран 15 и капилляр с зажимом 16 — с атмосферой.

Измерительная система может использоваться двояко, так как мембранный манометр может применяться как для непосредственного отсчета, так и в качестве нулевого инструмента. В первом случае измерительная система используется для предварительной калибровки мембранного манометра. Калибровка должна быть проведена при всех температурах, которые предполагается создавать в испарительном цилиндре, так как величина отклонения светового зайчика зависит от температуры, при которой работает мембрана. Во втором случае измерительная система служит для измерения уравновешивающего давления воздуха в колоколе мембранного манометра. В качестве измерительного манометра был выбран манометр Мак-Леода [3—5]. В связи с тем, что для достижения достаточной точности измерений в интервале давлений 0,1—10 мм рт. ст. необходим капилляр длиной не менее 400 мм, что снижает прочность манометра, применялся манометр с двумя баллонами и, соответственно, двумя капиллярами по 200 мм каждый. Объемы баллонов соответственно были равны: 26,9 и 7,83 см³. Один из баллонов 17 служил для измерения давлений 0,1—3 мм рт. ст., а другой 18 — для измерения давлений 0,1—3 мм рт. ст.

Обычно при измерениях манометром Мак-Леода пользуются следующей расчётной формулой:

$$P = h^2 K, \quad (1)$$

где P — измеряемое давление, h — высота уравновешивающего столбика ртути, K — константа прибора.

Константа K определяется объемом манометра V и сечением капилляра

$$K = \frac{S}{V}.$$

Эта расчетная формула $K = S/V$ выведена при том допущении, что измеряемые давления P существенно малы по сравнению с h . В нашем случае этого нет. Поэтому вместо (1), как легко показать, должна применяться следующая расчетная формула:

$$P = \frac{h^2}{K' - h}, \quad (2)$$

где $K' = V/S$.

Расчетные константы манометра оказались равными: для большого баллона $K' = 14\,442$ мм, для малого баллона $K'_2 = 3846$ мм.

Так как давление измеряется в замкнутом объеме, то при подъеме ртути в манометре давление в системе будет возрастать, что скажется на результатах измерения. Избежание этого, был применен компенсатор, представляющий собой вертикальную трубку 19, соединенную с резервуаром, наполненным ртутью. Перед началом измерений ртуть в трубке поднимают до отметки a и только после этого делают отсчет

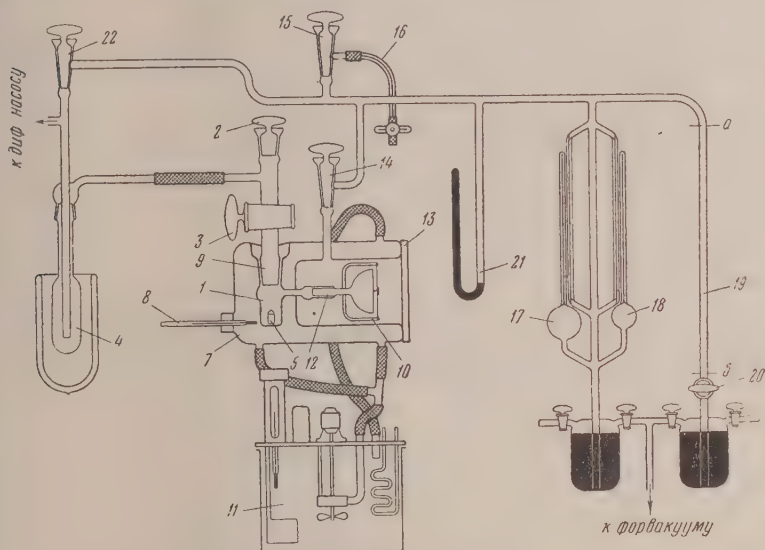


Рис. 1. Схема установки для измерения давления насыщенного пара при разных температурах при помощи мембранного манометра

мембранному манометру или приводят его в нулевое положение. Ртуть в манометре Мак-Леода при этом должна почти закрывать входное отверстие баллона. Затем ртуть в манометре Мак-Леода поднимают так, чтобы закрыть баллон, после чего опускают ртуть в компенсаторе до отметки b . При этом освобождается объем, который будет вытеснен при дальнейшем подъеме ртути в манометре Мак-Леода. Кран 20 обеспечивает постоянство уровня ртути в компенсаторе. Для измерения давлений выше 10 мм рт. ст. применялся обычный U-образный манометр 21.

В начале опыта температура в кожухе доводится до заданной, после чего отмечается нулевое положение светового зайчика мембранного манометра. Исследуемое вещество в количестве около 1 мм помещается в стеклянный стаканчик, снабженный жкой 5. Вынимается пробка 9, и стаканчик при помощи металлического крючка опускается в испарительный цилиндр. После этого присоединяется пробка 9, а ложечка 4 погружается в жидкий азот и начинается откачка. Откачка ведется постепенно, одновременно из испарительного цилиндра, колокола мембранного манометра, мерительной системы и резервуаров со ртутью. Откачка заканчивается по достижении вакуума порядка 10^{-6} мм рт. ст. [4]. После этого закрывается кран 3. Световой зайчик мембранного манометра начинает отклоняться. Когда отклонение зайчика прекратится, что свидетельствует о достижении равновесного давления пара, производится либо отсчет по мембранному манометру, либо (если последний используется как нуль-инструмент) в колокол мембранного манометра, подняв предварительно ртуть в компенсаторе (см. выше), через кран 15 и зажим с капилляром 16

впускают воздух при закрытом кране 22 до тех пор, пока зайчик не вернется в нулевое положение. После этого производят измерение уравновешивающего давления воздуха манометром Мак-Леода. Для контроля полученных результатов опыт можно повторить несколько раз без смены вещества.

Проверка констант манометра Мак-Леода. Вычисления из геометрических размеров константы манометра должны быть проверены по веществам, упругость пара которых известна. В качестве таких веществ были использованы: для давлений порядка 0,1—3 мм рт. ст. (первый баллон) нитробензол и для давлений порядка 3—10 мм рт. ст. *n*-бутиловый спирт. Для каждого из веществ измерения велись при двух температурах. Результаты калибровки приведены в табл. 1.

Таблица 1
Калибровка манометра

t , °C	P , мм рт. ст.	h , мм рт. ст.	$h_{\text{ср}}$, мм рт. ст.	$K' = \frac{h_{\text{ср}}^2}{P} + h_{\text{ср}}$	ΔK , %
Нитробензол					
24,7	0,317	67,5	67,0	14317	0,87
		67,0			
		67,5			
		66,5			
		67,0			
		66,5			
29,7	0,415	77,0	77,5	14550	0,75
		77,0			
		78,0			
		77,0			
		78,0			
		78,0			
n-Бутиловый спирт					
21,7	5,00	43,0	43,5	3830	0,42
		43,5			
		43,0			
		44,0			
		44,0			
		43,5			
31,0	10,00	191,0	192,0	3876	0,79
		191,5			
		191,0			
		192,0			
		193,0			
		192,5			
193,0					

Значения давления насыщенного пара нитробензола, указанные в табл. 1, были получены методом эффузии [6].

Среднее значение экспериментально определенной константы составляет 14 434 мм, а рассчитанной 14 442. Расхождение всего 0,056%, т. е. практически они совпадают. Округляя, принимаем окончательно $K = 14\,440$ мм.

Значения давления насыщенного пара *n*-бутилового спирта взяты из работы Кальбаума [7].

Среднее значение экспериментально определенной константы 3853 мм, рассчитанной — 3846 мм. Расхождение составляет 0,18%. Как и в первом случае, они практически совпадают, поэтому, округляя, принимаем $K = 3850$ мм.

Давление насыщенного пара масляной кислоты. Давление измерений была взята масляная кислота, которая перегонялась при 61,5° под давлением 11 мм рт. ст. Результаты измерений приведены на рис. 2 в виде зависимости $\lg P = f(1/T)$ (точки 1).

Точки достаточно хорошо ложатся на прямую. Сравнить результаты измерений с литературными данными не представляется возможным, так как последние дают очень большой разброс. В качестве примера показаны точки 2, взятые из работы Кальбаум [8]. Если при температурах 45—70° еще можно провести прямую через эти точки, при более низких температурах точки настолько отклоняются от прямой, что эти данные нельзя считать достоверными.

Из графика были определены константы A и B уравнения

$\lg P = -\frac{A}{T} + B$, которое в данном случае принимает вид:

$$\lg P = -\frac{3799,36}{T} + 13,068.$$

Вычисленная по данным теплота испарения масляной кислоты $\lambda = 17,39$ ккал/моль.

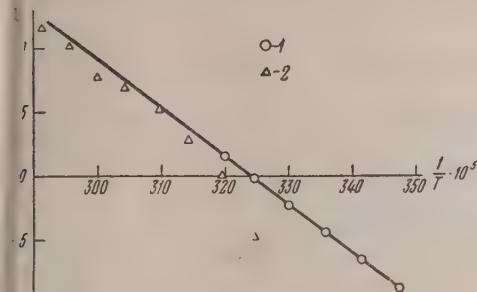


Рис. 2

Рис. 2. Давление насыщенного пара масляной кислоты в зависимости от температуры: 1 — наши данные; 2 — данные работы [7]

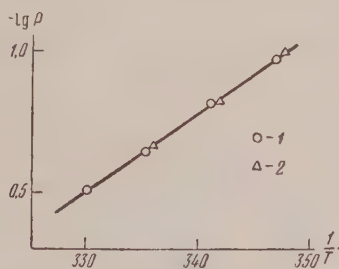


Рис. 3

Рис. 3. Давление насыщенного пара йода в зависимости от температуры: 1 — наши данные; 2 — данные работы [6]

Давление насыщенного пара йода. Измерение давления насыщенного пара йода представляло интерес в том отношении, что оно было проведено применением метода на его предполагаемом нижнем пределе.

Результаты измерений приведены в табл. 2.

Зависимость $\lg P = f(1/T)$ представлена на рис. 3 (точки 1). Точки 2 построены по данным, полученным методом эффузии [6]. Как видно из графика, результаты схо-

Таблица 2

Давление насыщенного пара йода

$$K' = 14\,440 \text{ мм}$$

$t, ^\circ\text{C}$	$\frac{1}{T} \cdot 10^5$	$h,$ мм рт. ст.	$h_{\text{ср}},$ мм рт. ст.	$P,$ мм рт. ст.	$-\lg P$	$\Delta P_{\text{манс}}, \%$
15,0	347,00	40,5	40,5	0,107	0,97162	1,98
		41,0				
		40,5				
		40,0				
		40,5				
19,9	341,18	47,5	47,0	0,153	0,81531	1,96
		47,5				
		46,5				
		47,0				
		46,5				
25,0	335,34	57,5	57,0	0,226	0,64589	1,77
		56,5				
		56,5				
		57,0				
		57,5				
29,7	330,14	66,5	66,4	0,305	0,51570	1,00
		66,0				
		66,5				
		66,5				
		66,5				

дятся хорошо. Вычисление констант A и B по графику приводит к уравнению:

$$\lg P = -\frac{2761,60}{T} + 9,583,$$

откуда

$$\lambda = 12,64 \text{ ккал/моль.}$$

По данным, полученным методом эффузии [6], уравнение имеет вид:

$$\lg P = -\frac{2842,91}{T} + 8,8839,$$

откуда

$$\lambda = 13,01 \text{ ккал/моль.}$$

Выводы

1. Сконструирована установка с использованием мембранного манометра для измерения давлений насыщенных паров в пределах 0,1—10 мм рт. ст.
2. Установка откалибрована по нитробензолу и *n*-бутиловому спирту. Результат калибровки показали хорошее совпадение с расчетными данными. Метод обеспечивает в интервале 0,1—10 мм рт. ст. точность измерений порядка 1—2%.
3. Измерено давление насыщенного пара масляной кислоты в температурном интервале 15—40°.
4. Измерено давление насыщенного пара йода в температурном интервале 15—30°.

Поступила
27.III.1957

ЛИТЕРАТУРА

1. Fry, Phil. Mag., 6, 25, 494, 1914; 6, 21, 348, 1911.
2. С. Ф. Веселовский, Стеклодувное дело, М., Изд-во АН СССР, 1952.
3. К. В. Чmutov, Техника физико-химического исследования, Госхимиздат, 1954.
4. Н. А. Капцов, Физические явления в вакууме и в разреженных газах, ОНТИ НКТП СССР, 1937.
5. Дашман, Техника высокого вакуума, Энергоиздат, 1933.
6. С. И. Скляренко, Б. И. Маркин, Л. В. Беляева, Определение давлений насыщенного пара малолетучих веществ. Журн. физ. химии (в печати).
7. Kahlbaum, Zs. phys. Chem., 26, 603, 1898.
8. Kahlbaum, Zs. phys. Chem., 13, 34, 1894.

DETERMINATION OF THE SATURATED VAPOR PRESSURE IN THE RANGE 0.1—10 Hg mm

S. I. Sklyarenko, B. I. Markin and Yu. U. Samson (Moscow)

Summary

A static method employing membrane and Macleod manometers was used to measure saturated vapor pressures in the range 0.1—10 mm Hg. The arrangement designed allows the determination to be made rapidly with a very little amount of substance and gives an accuracy of the order of 1—2%.

With the aid of the arrangement saturated vapor pressures were determined of butyric acid over the range 15—40° and of iodine over the range 15—30°.

ПРИБОР ДЛЯ ОПРЕДЕЛЕНИЯ РАСПРЕДЕЛЕНИЯ ШИРОКИХ ПОР ПО РАДИУСАМ

Р. Х. Бурштейн, А. Г. Пшеничников и Н. А. Шумилова

Изучение распределения пор по радиусам методом вдавливания ртути, согласно методу Р. Х. Бурштейна и Дрейку [1], основано на следующем соотношении:

$$p = \frac{2\sigma \cos \theta}{r}, \quad (1)$$

где p — давление, r — радиус цилиндрических пор, σ — поверхностное натяжение, θ — краевой угол между ртутью и несмачиваемым ртутью образцом. Экспериментально определяют объем ртути, входящей в поры при постепенном увеличении давления, и находят функцию распределения пор по радиусам $D(r)$ по уравнению

$$D(r) = \frac{dV}{dp} \frac{p}{r}, \quad (2)$$

где dV — объем ртути, входящий в поры при изменении радиуса от r до $r + dr$. В работе Р. Х. Бурштейн и Д. Л. Кондрашова [2] был описан прибор, позволяющий определять распределение пор по радиусам методом вдавливания ртути со значительной

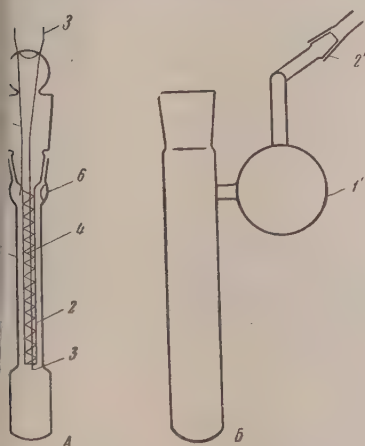


Рис. 1

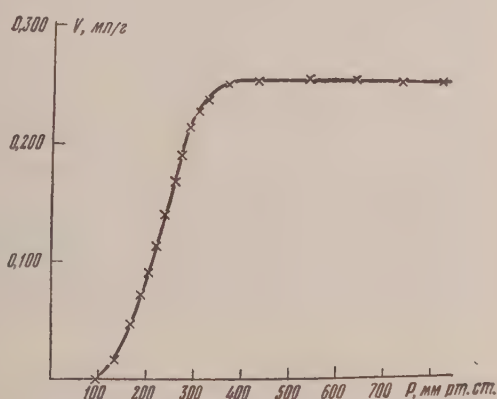


Рис. 2

точностью. Однако этот прибор, так же как и все описанные до сих пор варианты этого метода [1, 3], позволяли определять распределение пор, радиус которых не превышал 1μ , так как работа велась при давлении не ниже 1 атм . Для изучения функции распределения более широких пор следует измерять количество ртути, пропикающее в поры образца при более низких давлениях.

Прибор, примененный нами для этой цели, изображен на рис. 1.

Исследуемый образец помещается в нижнюю часть прибора А. В цилиндрической трубке 1 находится капиллярная трубка 2, в которую впаивается молибденовая проволока 3; на трубке 2 равномерно намотана вольфрамовая проволока 4. Диаметр этой проволоки в нашем приборе был равен 13μ , а общее сопротивление 900Ω . Один конец вольфрамовой проволоки приклеивается пинцетом к концу капиллярной трубки 2, а второй конец присоединяется к проволоке 5, впаянной в конус шлифа. Объем трубки 1 предварительно калибруется, и определяется зависимость между противлением проволоки и объемом ртути в трубке 1. Прибор А с вложенным в него образцом помещается в прибор Б, имеющий резервуар с ртутью 1'. При помощи

шлифа 2' (перпендикулярного к плоскости рисунка) прибор присоединяется к вакуумной установке и производится обезгаживание образца через отверстие 6. После достижения вакуума 10^{-5} мм рт. ст. прибор поворачивается вокруг шлифа 2' и через отверстие 6 ртуть поступает в прибор А. В трубке 1 ртуть устанавливают на определенном уровне, после чего измеряют сопротивление проволоки. Затем в систему выпуска небольшими порциями воздух и по изменению сопротивления проволоки определяют объем ртути, проникающей в поры образца при каждом заданном давлении. При этом давление постепенно повышают до 1 атм. Для измерения давления применяют ртутный манометр.

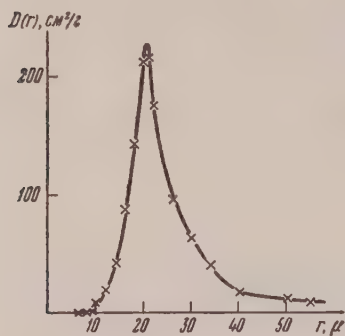


Рис. 3

В описанных выше условиях можно изучать распределение пор радиусом от 40—50 μ до 7 μ. При отсчете давления следует вводить поправку на высоту столба ртути над образцом. Эта поправка определяется из калибровочной кривой зависимости между высотой столба ртути, сопротивлением проволоки 4. $P = P_{\text{ман}} + P_{\text{Hg}}$, где $P_{\text{ман}}$ — манометрическое давление, P — общее давление, P_{Hg} — давление, создаваемое ртутным столбом. Обработка данных производится также, как в опытах в области более высоких давлений [2]. В рис. 2 в качестве примера приведена зависимость между давлением и объемом ртути, проникшей в поры никелевого крупнопористого электрода, а в рис. 3 — функция распределения пор по радиусам. Для пор, радиус которых меньше 7 μ, прибор А помещается в бомбу. Бомба состоит из стального стакана с толщиной стенок 20 мм и закручивающейся пробкой с двумя контактами, которые изолированы от тела пробки тефлоновыми прокладками. К этим контактам присоединяется вольтметр, и производится измерение сопротивления проволоки при повышенных давлениях. При помощи описанного устройства можно осуществить измерение распределения пор в интервале от 40 до 0,05 μ, используя при этом для создания повышенного давления баллон с азотом (150 атм). Для определения распределения пор, радиус которых меньше 0,05 μ, требуется специальная установка для высокого давления.

Академия наук СССР
Институт физической химии
Москва

Поступила
17.VI.1957

ЛИТЕРАТУРА

1. H. L. Ritter and L. C. Drake, Ind. Eng. Chem., Anal. Ed., 17, 782, 1945.
2. Р. Х. Бурштейн и Д. Л. Кондрашов, Журн. приклад. химии, 29, 169, 1956.
3. Н. Камкин, Методы исследования структуры высокодисперсных и пористых тел, Труды Совещания, Изд-во АН СССР, 1953, стр. 47.

AN APPARATUS FOR DETERMINING PORE SIZE DISTRIBUTION

R. Kh. Burshtein, A. G. Pshenichnikov and N. A. Shumilova (Moscow)

Summary

An apparatus has been described for determining the pore size distribution in the range $7 \times 10^{-3} \mu$ —50 μ by the pressing in of mercury. Determination of the distribution of wide pores ($r=7$ —50 μ) could be carried out by measuring the volume of mercury entering the pores of the specimen on changing the pressure from 10 to 760 mm Hg.

ДИСКУССИЯ

К ВОПРОСУ О РОЛИ ПОВЕРХНОСТНЫХ ГИДРОКСИЛЬНЫХ ГРУПП ПОРИСТОГО СТЕКЛА В АДсорБЦИИ ВОДЫ

По поводу некоторых выводов, сделанных в статье В. А. Никитина, А. Н. Сидорова и А. В. Карякина [1])

С. П. Жданов

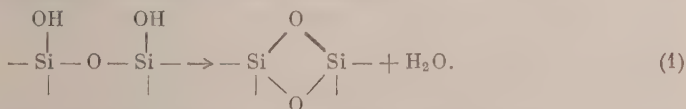
Адсорбция воды на пористых стеклах исследовалась как путем непосредственного измерения вакуумными адсорбционными методами [2—4], так и методами инфракрасной спектроскопии [1,5—8].

Адсорбционные исследования показали, что адсорбция воды пористым стеклом при малых p/p_s существенно зависит от температуры, при которой адсорбент предварительно прокаливался в вакууме. При этом наблюдается сначала некоторое возрастание величины адсорбции (до температуры прокаливании 200°C), а затем значительное уменьшение. Наиболее резкое понижение адсорбции в начальной области относительных давлений соответствует интервалу температур прокаливании $300\text{—}500^\circ \text{C}$. В пределах этих же температур происходит наиболее интенсивное выделение воды пористым стеклом.

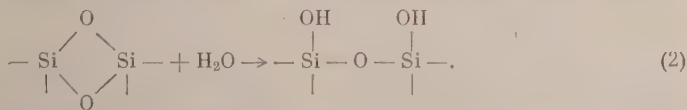
Прокаливание пористого стекла при более высоких температурах приводит не только к дальнейшему снижению величины адсорбции воды при малых упругостях пара, но и к изменению характера самой адсорбционной изотермы, которая из выпуклой относительно оси давлений превращается в вогнутую.

В результате выдерживания дегидратированного прокаливанием пористого стекла в атмосфере паров воды, или при заполнении пор жидкой водой (в процессе адсорбционно-десорбционного опыта), некоторое количество воды оказывается необратимо (химически) связанным с поверхностью, а активность поверхности в отношении адсорбции молекул воды снова восстанавливается (полностью или частично)*.

Эти факты послужили основанием для заключения о том, что адсорбционная способность пористых стекол, а равным образом и силикагелей, по отношению к парам воды находится в связи с количеством структурных гидроксильных групп на поверхности, и что адсорбция воды происходит в первую очередь на поверхностных группах Н [2—4]. С этой точки зрения, уменьшение адсорбции воды на единице поверхности пористого стекла в результате прокаливании обусловлено дегидратацией, протекающей по схеме, предложенной в работе [9] для силикагеля:



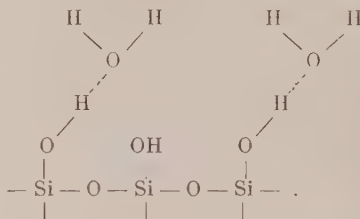
Восстановление адсорбционных свойств после выдерживания дегидратированного пористого стекла в контакте с жидкой водой обязано процессу гидратации, приводящему к возрождению структурных групп ОН на поверхности (1) по схеме:



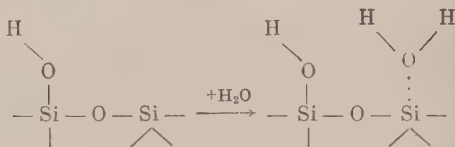
Результаты адсорбционных исследований в основном согласуются с данными Н. Г. Ярославского [5—7], полученными исследованием инфракрасных спектров по-

* Полное восстановление свойств единицы поверхности в результате гидратации наблюдается в тех случаях, когда температура прокаливании была ниже температур спекания. Если прокалывание производилось при более высоких температурах, гидратация приводила лишь к частичному восстановлению адсорбционных свойств по отношению к воде.

глощения в области первых обертонов основных частот валентных колебаний связи О — Н. По этим данным интенсивность полосы поглощения $1,365 \mu$ (7326 см^{-1}), относящаяся к колебаниям связи О — Н в свободных поверхностных группах ОН пористого стекла, уменьшается в результате прокаливании в вакууме (начиная от 300°C) и в результате адсорбции воды на прокаленном пористом стекле. Уменьшение интенсивности полосы 7326 см^{-1} при адсорбции воды пористым стеклом согласно Н. Г. Ярославского [5], «может быть объяснено тем, что протон гидроксильной группы стекла участвует в образовании водородной связи с кислородным атомом адсорбированной молекулы воды»



В более поздних спектроскопических исследованиях адсорбции воды на пористом стекле, выполненных В. А. Никитиным, А. Н. Сидоровым и А. В. Карякиным [1] были получены результаты, находящиеся, как это отмечается самими авторами, в противоречии с нашими данными и данными Н. Г. Ярославского. В этих исследованиях не наблюдалось изменения полосы 3749 см^{-1} (основная частота колебаний О — Н в изолированных группах ОН поверхности пористого стекла) не только при выдерживании образца в атмосфере паров воды, но и при длительном нахождении в порах капиллярно-конденсированной воды. Это обстоятельство послужило авторам работы [1] основанием для утверждения, что молекулы воды адсорбируются не на группах ОН, а на других активных центрах (атомах кислорода или кремния). Авторы [1] считают, что молекулы воды связываются с поверхностью пористого стекла двумя путями: адсорбцией по схеме



и гидратацией по схеме (2).

В работе А. Н. Сидорова [8] делаются уже несколько иные выводы относительно роли поверхностных гидроксидов в адсорбции воды. Согласно этим последним исследованиям молекулы воды не адсорбируются на группах ОН только при малых относительных давлениях, тогда как при больших p/p_s эти группы «также могут стать центрами адсорбции для молекул воды».

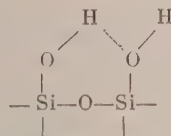
Нам представляется, что приведенные выше выводы из работы [1] нуждаются в критическом пересмотре, так как они сделаны без учета изменения состояния поверхности пористого стекла при прокаливании и, по-видимому, явились результатом недостаточно обоснованной интерпретации отдельных полос поглощения.

Температурные градиенты выделения адсорбированной на поверхности пористого стекла воды. В. А. Никитин, А. Н. Сидоров и А. В. Карякин приписывают полосу 3670 см^{-1} колебаниям ОН адсорбированных молекул воды. По их данным, эта полоса частично сохраняется даже после прокаливании пористого стекла в вакууме при $430-470^\circ \text{C}$, что равносильно допущению возможности нахождения адсорбированной воды на поверхности пористого стекла в этих условиях [8]. Такая возможность, однако, весьма сомнительна.

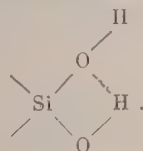
Какой бы прочной ни была связь адсорбированных на особо активных участках молекул с поверхностью, все же энергия этой адсорбционной связи будет в десятки раз меньше энергии химической связи Si — ОН и О — Н. Естественно поэтому ожидать, что при прокаливании выделение адсорбированной воды должно предшествовать выделению воды за счет поверхностных групп ОН. Действительно, на кривых дегидратации пористых стекол, силикагеля (рис. 1) и кварца [10] в вакууме наблюдается точка перегиба вблизи температуры 200°C . Это может указывать на различную природу воды выделяющейся ниже и выше точки перегиба.

Естественно допускать, что до 200°C происходит выделение адсорбированной воды, а после 200°C начинает выделяться вода структурная.

В согласии с этим прокалывание пористых стекол до 200°C приводит к увеличению адсорбции воды (освобождаются занятые адсорбированными молекулами особо активные участки поверхности), тогда как прокалывание при более высоких температурах



и особенно должно наблюдаться в группах



состояния между соседними группами OH на поверхности пористого стекла в состоянии (5) таковы, что образование слабой водородной связи между ними, по-видимому, возможно.

При дегидратации поверхности пористого стекла вода выделяется прежде всего за счет наиболее близких соседних групп OH, и количество таких пар уменьшается по мере увеличения температуры прокалывания, пока на поверхности не останутся преимущественно только изолированные, далеко отстоящие друг от друга гидроксилы.

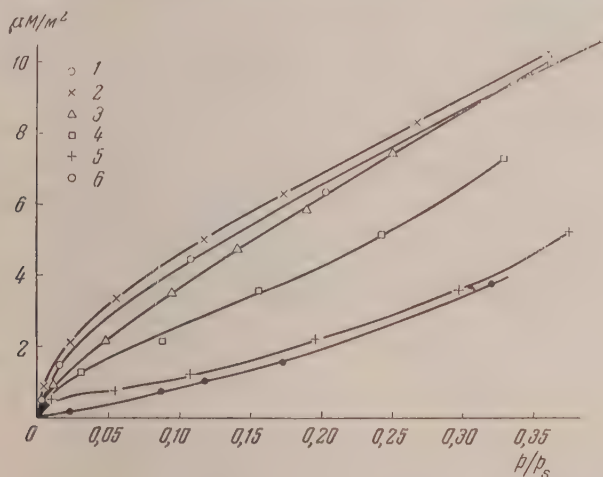


Рис. 2. Начальные участки изотерм адсорбции воды на пористом стекле, прокаленном при различных температурах: 1—20; 2—200; 3—300; 4—400; 5—500 и 6—600°C

Сужение полосы 3749 или 7326 см^{-1} , наблюдавшееся в результате повышения температуры прокалывания пористого стекла в работах [1, 5], следует связывать с переходом поверхности из состояния (5) в состояние (6), а не с удалением адсорбированной воды.

Связь между понижением адсорбции воды и уменьшением числа гидроксидов на поверхности.

Результаты исследования адсорбции воды на пористых стеклах [2—4] свидетельствуют о том, что уменьшение адсорбции, наблюдающееся при прокалывании, не может быть объяснено уменьшением величины поверхности, а должно быть связано изменением ее состояния. Естественно это изменение связывать с дегидратацией поверхности, так как прокалывание пористых стекол, так же как и прокалывание силикатной, сопровождается выделением структурной воды. Если поверхностные гидроксиды пористого стекла являются, как это было высказано в работе [2], теми участками поверхности, на которых вода адсорбируется в первую очередь, то должна наблюдаться связь между уменьшением числа гидроксидов на единице поверхности и уменьшением адсорбции воды в результате прокалывания.

Ранее опубликованные данные не были достаточными для иллюстрации такой связи, так как определение потерь воды при прокалывании и измерение адсорбции

производились не на одних и тех же образцах и в условиях, когда не всегда можно было учесть изменения поверхности пористого стекла, происходящие вследствие начинающегося процесса спекания (тонкопористые образцы).

На рис. 2 приведены начальные участки изотерм адсорбции воды на достаточно крупнопористом образце пористого стекла, поверхность которого составляла 140 м^2 , а преобладающие радиусы пор 30 \AA . Образец прокаливается непосредственно в адсорбционной установке на чашечке кварцевых весов, и количество выделившейся воды определялось по потере в весе при каждой температуре прокалывания. Адсорбция и количество выделившейся воды пересчитывались на 1 м^2 поверхности. В интервалах температуры прокалывания $200\text{--}500^\circ \text{C}$ величина поверхности образца оставалась неизменной, и только после прокалывания при 600°C началось спекание, в результате чего поверхность сократилась до $108 \text{ м}^2/\text{г}$.

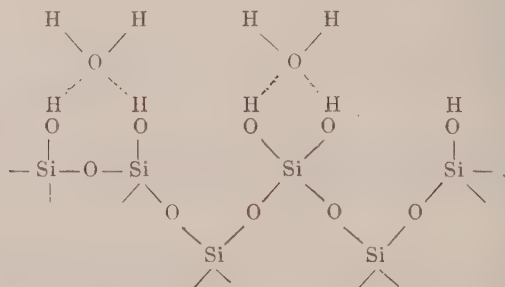
Изотермы рис. 2 иллюстрируют изменение абсолютной величины адсорбции воды на пористом стекле в результате его прокалывания. На этом рисунке нашли отражение все ранее отмеченные явления: возрастание адсорбции при прокалывании до 200°C , уменьшение ее после прокалывания при более высоких температурах (наиболее резко после прокалывания в интервале $300\text{--}500^\circ \text{C}$) и, наконец, изменение характера самой изотермы, превращение ее из выпуклой в вогнутую для высоких температур прокалывания.

Принимая, что вода, выделяющаяся при температурах прокалывания, больше 200°C , образуется за счет структурных гидроксильных групп по схеме (1) можно попытаться сопоставить уменьшение адсорбции воды единицей поверхности пористого стекла, наблюдающееся в результате прокалывания, с уменьшением числа гидроксильных групп этой поверхности.

На рис. 3 показано, как уменьшается величина абсолютной адсорбции воды при $p/p_s = 0,1$, т.е. адсорбции, отнесенной к 1 м^2 поверхности (кривая 1), и как возрастает количество воды, выделяющееся с этой поверхности (кривая 2) в интервале температур прокалывания $200\text{--}600^\circ \text{C}$. Как можно заключить из сопоставления этих кривых наблюдается очень хорошее соответствие между уменьшением адсорбции и выделением структурной воды в интервале $200\text{--}500^\circ \text{C}$. Каждому молю выделяющейся воды соответствует понижение адсорбции также на один моль.

Количественные соответствия, наблюдающиеся между уменьшением величины адсорбции воды и числом групп OH на поверхности пористого стекла, вытекающие из сопоставления кривых рис. 3, свидетельствуют о том, что поверхностные гидроксильные группы действительно являются особыми местами поверхности, на которых вода адсорбируется в первую очередь. Так как выделение одного моля воды по схеме (1) связано с удалением с поверхности двух молей гидроксильных групп, и приводит к уменьшению адсорбции на один моль, то, очевидно, адсорбционными центрами для молекул воды на поверхности пористого стекла должны быть пары гидроксильных групп.

Каждая молекула воды при адсорбции связывается, по-видимому, с двумя группами OH:



Такого рода связи подобны тем, которые преимущественно образуются между молекулами жидкой воды, где каждый атом кислорода окружен четырьмя атомами водорода, два из которых связаны ковалентными, а два других водородными связями с данным атомом кислорода [43].

На изолированных, одиночных гидроксильных адсорбции воды при малых p/p_s , по-видимому, не происходит, а если и происходит, то значительно менее энергично, чем на паре гидроксильных групп. Действительно, если бы отдельные группы OH могли быть адсорбционными центрами по отношению к молекулам H_2O , то нельзя ожидать получения вогнутой изотермы при адсорбции воды на поверхности SiO_2 , несущей еще около 25% от предельно возможного на ней числа гидроксильных групп. В этом случае число адсорбционных центров, наибольшее в начале адсорбции, должно уменьшаться по мере адсорбции, и изотермы должны быть выпуклыми. Нельзя не обратить внимания также и на то обстоятельство, что адсорбция воды при начальных p/p_s на пористом стекле, прока-

том при 600° С, непропорционально мала по сравнению с количеством оставшихся на поверхности гидроксидов (см. рис. 2 и таблицу*).

Механизм физической адсорбции воды на дегидратированной поверхности SiO₂, с обеих стороны изолированные, далеко отстоящие друг от друга группы OH, представляется нам еще недостаточно ясным. Но во всяком случае нельзя согласиться со схемой адсорбционного взаимодействия, предложенной в работе [1], представленной выше [схематически]. По этой схеме предполагается, что адсорбция воды происходит на атомах кремния, выходящих на поверхность при тетраэдрическом окружении их четырьмя атомами кислорода, что исключается, хотя бы уже по геометрическим соображениям.

Вогнутый характер изотермы свидетельствует об увеличении числа адсорбционных центров в результате самой адсорбции. Это может быть как результатом химического взаимодействия воды с дегидратированной поверхностью SiO₂ с образованием групп

$\begin{array}{c} \text{OH} \quad \text{OH} \\ | \quad | \\ -\text{Si}-\text{O}-\text{Si}- \end{array}$ по реакции (2), так и результатом того, что сами адсорбированные молекулы становятся центрами адсорбции.

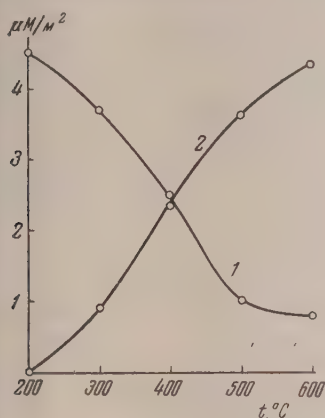


Рис. 3. Связь между понижением адсорбции воды и уменьшением числа гидроксильных групп на поверхности пористого стекла в результате прокаливании: 1 — адсорбция воды при $p/p_s = 0,1$; 2 — потеря воды с 1 м² поверхности

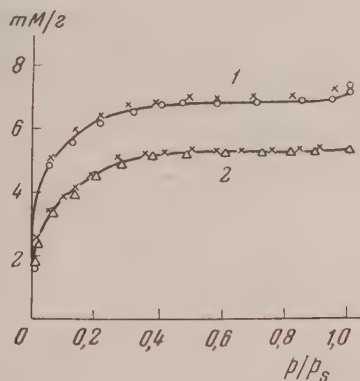


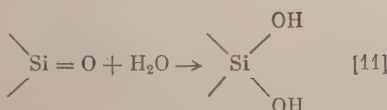
Рис. 4. Изотермы адсорбции аммиака при -78,5°С на пористом стекле (тонкопоровый образец, $s = 305 \text{ м}^2/\text{г}$): 1 — непрокаленный образец; 2 — прокаленный при 600°С

Первичными центрами при адсорбции воды на поверхности SiO₂ дегидратированной прокаливанием при высоких температурах являются, по-видимому, сохранившиеся

немногочисленные пары гидроксидов в группах $\begin{array}{c} \text{OH} \quad \text{OH} \\ | \quad | \\ -\text{Si}-\text{O}-\text{Si}- \end{array}$ или группы Si=O**. После адсорбции H₂O на таких центрах по схеме (7), дальнейшая адсорбция предпочтительно происходит на парах гидроксидов адсорбированных моле-

* По данным одной из наших ранних работ [2], можно было прийти к заключению [14], что вода адсорбируется на поверхностных гидроксидов пористого стекла преимущественно по схеме (3). Однако в работе [2] потери воды определялись по прямой дегидратации, ход которой зависит от условий нагревания. При использовании данных по потерям воды, относящихся непосредственно к адсорбционным опытам [4], результаты хорошо согласуются со схемой (7).

** Группы $\text{Si}=\text{O}$, могущие образоваться на поверхности дегидратированного прокаливанием SiO₂, должны легко гидратироваться:



кул воды, а не на изолированных одиночных гидроксильных группах, так как естественно ожидать, что адсорбция молекулы воды с образованием двух водородных связей по схеме (7) сопровождается большим выделением энергии, нежели адсорбция воды с образованием одной такой связи по схеме (3). Это обстоятельство, по-видимому, и является причиной того, что при выдерживании пористого стекла, прокаленного при 500—550° С в парах воды, полоса 3749 см^{-1} , отвечающая колебаниям О — в изолированных поверхностных гидроксильных группах пористого стекла сохраняется в спектре [1].

В отличие от H_2O аммиак может адсорбироваться на отдельных группах ОН на поверхности пористого стекла, что наблюдается при спектроскопических исследованиях по исчезновению полосы 3749 см^{-1} при адсорбции на прокаленном пористом стекле [8]. В этом случае адсорбция приводит к уменьшению числа адсорбционных центров, следовательно, изотерма адсорбции аммиака на прокаленном пористом стекле должна быть выпуклой. Действительно, как это видно из рис. 4, прокаливание пористого стекла при 600° С не приводит к изменению характера изотермы адсорбции аммиака, и последняя остается выпуклой.

Таким образом, если считать, как это следует из данных адсорбционных исследований, что адсорбционными центрами для молекул воды при адсорбции на пористом стекле и силикагеле являются пары гидроксильных групп в соответствии со схемой (7), то результаты спектроскопических и адсорбционных исследований могут быть хорошо согласованы. Противоречия в результатах, полученных обоими методами, о которых говорилось в работе [1], обязаны в основном тому, что в спектроскопических работах учитывались изменения состояния поверхности пористого стекла при прокаливании, исследования адсорбции производились только на поверхности уже в значительной степени дегидрированной.

Академия наук СССР
Институт химии силикатов
Ленинград

Поступила
28.VI.1957

ЛИТЕРАТУРА

1. В. А. Никитин, А. Н. Сидоров и А. В. Карякин, Журн. физ. химии, **30**, 117, 1956.
2. С. П. Жданов, ДАН, **68**, 99, 1949.
3. С. П. Жданов, ДАН, **100**, 1115, 1955.
4. С. П. Жданов, Статья в сборнике «Поверхностные химические соединения их роль в явлениях адсорбции», Изд-во Москва, 1957.
5. Н. Г. Ярославский, Журн. физ. химии, **24**, 68, 1950.
6. Н. Г. Ярославский, Вест. ЛГУ, № 3, 55, 1950.
7. Н. Г. Ярославский, Статья в сборнике «Методы исследования структуры высокодисперсных и пористых тел», Изд-во Москва, 1953.
8. А. Н. Сидоров, Журн. физ. химии, **30**, 995, 1956.
9. А. В. Киселев, Колл. журн., **2**, 17, 1936.
10. W. Stöber, Kolloid. Zs., **145**, 17, 1956.
11. С. П. Жданов и А. В. Киселев, Журн. физ. химии, **31**, 2213, 1957.
12. J. Shapiro, H. G. Weiss, Journ. Phys. Chem., **57**, 219, 1953.
13. М. В. Волькенштейн, Молекулы и их строение, Изд-во АН СССР, 1956.
14. R. K. Iler, The Colloid Chemistry of Silica and Silicates, New York, 1955.
15. М. М. Егоров, К. Г. Красильников, Е. А. Сысоев, ДАН, **108**, 103, 1957.

ПИСЬМА В РЕДАКЦИЮ

ЗАКОНОМЕРНОСТИ В СРЕДНИХ МАГНИТНЫХ
ВОСПРИИМЧИВОСТЯХ ПАРАФИНОВЫХ УГЛЕВОДОРОДОВ
И СПИРТОВ

В. А. Зиборов, Ю. А. Пентин и В. М. Татевский

Представления о типах и подтипах связей в углеводородах, введенные одним из авторов [1—3], были с успехом использованы для анализа закономерностей в физико-химических свойствах и расчета ряда физико-химических свойств углеводородов различных классов [3—6]. Вопрос о том, в какой мере эти представления приложимы к анализу закономерностей в физико-химических свойствах и расчету физико-химических свойств других рядов органических соединений, до настоящего времени, к сожалению, почти не был рассмотрен за исключением вопроса о межатомных расстояниях [4]. Попытка расчета молекулярных объемов и плотностей одноатомных жирных спиртов сделана нами в одной из наших предшествующих работ [6].

Анализ применимости указанных представлений и разработка соответствующей схемы расчета физико-химических свойств других органических соединений (помимо углеводородов) представляет и теоретический и практический интерес. В настоящей работе приводится основная формула, выведенная на базе представлений о типах и подтипах связей, для расчета физико-химических свойств производных парафиновых углеводородов общей формулы



где X — одновалентная замещающая группа.

Для соединений этого строения одним из нас [7] была выведена формула, позволяющая представить некоторое физико-химическое свойство P (молекулярный объем, фракцию, энергию диссоциации на свободные атомы и т. д.) через соответствующие парциальные свойства, приходящиеся на отдельные химические связи атомов и, в конечном счете, через числа химических связей $C-C$ разных подтипов и некоторые причины, находящиеся из экспериментальных данных, которые, согласно схеме расчета, должны сохранять приблизительно постоянные значения для всех соединений данного класса. Связи $C-C$ разных подтипов для соединений строения (1) можно обозначать в общем виде следующим образом:

$$C_i^k - C_j^l, \quad (2)$$

где i и j указывают на первичность, вторичность, третичность или четвертичность углеродных атомов, образующих связь ($i, j = 1, 2, 3, 4$), а индексы k и l показывают, сколько групп X связано непосредственно с данным атомом углерода ($k, l = 0, 1, 2, 3$). Если обозначить число связей подтипа (2) через n_{ij}^{kl} , парциальную долю свойства P , приходящую на связь подтипа (2) через P_{ij}^{kl} , то формула для расчета физико-химического свойства P будет иметь вид

$$P = \sum n_{ij}^{kl} P_{ij}^{kl}, \quad (3)$$

где суммирование производится по всем подтипам связей $C-C$. Числа n_{ij}^{kl} легко подысчитываются по формуле строения, а величины P_{ij}^{kl} по теории должны быть постоянными для веществ с данной замещающей группой X ($X = F, Cl, Br, J, OH$ и т. д.).

Проверка формулы (3) может быть осуществлена определением величин P_{ij}^{kl} из разных соединений вида (1) с данным заместителем или определением величин P_{ij}^{kl} из одной группы соединений данного класса и соответствием рассчитанных по этим по-

стоянным P_{ij}^{kl} значений свойства P с экспериментальными для других соединений данного класса. В настоящей работе такая проверка сделана для магнитных восприимчивостей одноатомных спиртов и для магнитных восприимчивостей некоторых парафиновых углеводородов. Для магнитной восприимчивости формулу (3) удобнее писать в более привычных обозначениях:

$$\chi = \sum n_{ij}^{kl} \chi_{ij}^{kl}$$

В табл. 1 приведены вычисленные нами из экспериментальных данных [8] значения постоянных χ_{ij}^{kl} для магнитных восприимчивостей парафиновых углеводородов и спиртов*, в табл. 2 произведено сопоставление экспериментальных значений магнитных восприимчивостей некоторых парафиновых углеводородов и спиртов рассчитанных по формуле (3а) постоянными, приведенными в табл. 1. Как показывает

Таблица 1

Значения постоянных χ_{ij}^{kl} для расчета магнитных восприимчивостей парафиновых углеводородов и спиртов

Постоянная	Значение постоянной $\chi_{ij}^{kl} \cdot 10^6$	Постоянная	Значение постоянной $\chi_{ij}^{kl} \cdot 10^6$
χ_{12}^{00}	20,03	χ_{12}^{01}	22,85
χ_{13}^{00}	17,34	χ_{13}^{01}	19,20
χ_{22}^{00}	11,35	χ_{22}^{01}	14,01
χ_{23}^{00}	8,95	χ_{23}^{10}	11,95
χ_{33}^{00}	6,44	χ_{23}^{01}	10,66
χ_{12}^{10}	24,27		

Таблица 2

Экспериментальные [8] и рассчитанные по (3а) значения магнитной восприимчивости парафиновых углеводородов и спиртов

Наименование	$\chi \cdot 10^6$ по [8]	$\chi \cdot 10^6$ расчет по (3а)	Наименование	$\chi \cdot 10^6$ по [8]	$\chi \cdot 10^6$ расчет по (3а)
n-Гексан	74	74,10	n-Гептанол	89	89,7
2,3-Диметилбутан	75,8	75,81	2-Метилгексанол-3	92,3	92,0
n-Гептан	85,5	85,45	2,4-Диметилпентанол-3	93	93,2
n-Октан	97	96,80	n-Октанол	101,6	101,0
3-Метилгептан	98	98,00	3-Метилгептанол-3	104	103,2
2,3-Диметилгексан	98,8	98,79	2,5-Диметилгексанол-2	103,4	104,0
n-Нонан	108	108,15	2,5-Диметилгексанол-3	104	104,2
n-Пропанол	45	44,30	2,5-Диметилгексанол-5	115,5	115,5
n-Бутанол	56,4	55,65	2-Метилгектанол-4	114,5	114,3
n-Пентанол	66,8	67,00	2,6-Диметилгептанол-4	115,2	115,3
n-Гексанол	78,5	78,35	2,4-Диметилгектанол-4	127,5	128,1
n-Метилпентанол-4	80,5	80,50	5-Бутилнонанол-5	159,5	160,1

* Всех постоянных χ_{ij}^{kl} (для всех возможных значений i , j , k и l) вычислить по нельзя из-за отсутствия экспериментальных данных по магнитным восприимчивостям углеводородов и спиртов разных типов разветвлений и замещений. Поэтому вычислить могли быть только некоторые из возможных величин χ_{ij}^{kl} и соответственно рассчитанные по формуле (3а) магнитные восприимчивости углеводородов и спиртов только некоторых видов разветвлений и замещений.

смотрение табл. 2, сходимость экспериментальных и рассчитанных значений магнитной восприимчивости вполне удовлетворительная. Схема расчета, изложенная выше, отображает экспериментальные данные лучше известной схемы Паскаля и ее последующих модификаций [8] и не содержит аддитивных постоянных, не имеющих физического объяснения, как это имеет место в схеме Паскаля. Следовательно, общие теоретические соображения о приблизительном постоянстве парциальных физико-химических величин (имеющих характер факторов емкости), положенные в основу нашей схемы расчета удовлетворительно согласуются с экспериментальными данными и по отношению к магнитной восприимчивости не только парафиновых углеводородов, но и спиртов.

Таким образом, возможности объяснения и предсказания значений физико-химических свойств органических соединений, даваемые развитыми нами теоретическими представлениями, оказываются несравненно шире, чем это было доказано ранее как в отношении круга охватываемых ими соединений, так и в отношении круга физико-химических свойств. Значения постоянных χ_{ij}^{kl} , приведенные в табл. 1, дают возможность рассчитать значения магнитных восприимчивостей десятков изомерных парафиновых углеводородов и спиртов с удовлетворительной точностью.

Московский государственный
университет им. М. В. Ломоносова

Поступила
17.Х.1956

ЛИТЕРАТУРА

1. В. М. Татевский, ДАН, **74**, 287; **75**, 819, 1950.
2. В. М. Татевский, Вестн. МГУ, № 10, 53, 1950.
3. В. М. Татевский. Химическое строение углеводородов и закономерности в их физико-химических свойствах, Изд-во МГУ, 1953.
4. В. М. Татевский, Уч. зап. МГУ, вып. 17, Неорганическая и физическая химия, Изд-во МГУ, 1955, стр. 235—259.
5. В. М. Татевский, ДАН, **109**, 131, 1956.
6. В. М. Татевский и Ю. А. Пентин, Вестн. МГУ, № 2, 21, 1956.
7. Ю. А. Пентин, ДАН, **119**, 106, 1958.
8. Я. Г. Дорфман, Магнитные свойства и строение вещества, ГИТТЛ, Москва, 1955.

О ВЛИЯНИИ ХЛОРФЕНОКСИУКСУСНЫХ КИСЛОТ
НА КАТАЛАЗНУЮ АКТИВНОСТЬ УГЛЯ

И. Е. Цитович

Хлорфеноксиуксусные кислоты, нашедшие применение в сельском хозяйстве, стали в последнее время объектом разносторонних химических и физико-химических исследований [1, 2].

И. А. Зубович и Н. П. Кобозев изучили влияние различных доз 2,4-дихлорфеноксиуксусной кислоты (а также ряда других соединений) на каталазную активность поглотительных катализаторов (Fe^{3+} , Ag^+ или Cu^{2+} , адсорбированные на угле). Было найдено, что малые дозы 2,4-дихлорфеноксиуксусной кислоты активируют большие — дезактивируют эти катализаторы [2].

Однако активированные угли обладают собственной каталазной активностью, т. е. каталитически ускоряют разложение перекиси водорода.

Учитывая свойство активированных углей адсорбировать хлорфеноксиуксусные кислоты, уже используемое практически [3], мы поставили себе задачу исследовать

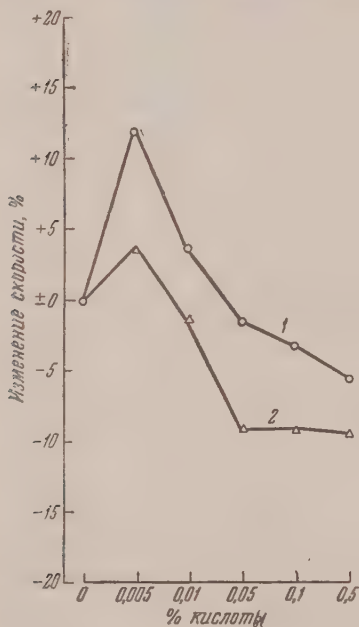
влияние 2,4-дихлорфеноксиуксусной и 2-метил, 4-хлорфеноксиуксусной кислот на каталазную активность самого угля.

Для проведения экспериментов использовался активированный березовый обожженный уголь, который в предварительных опытах показал хорошо выраженную каталазную активность.

Перед проведением опытов определялась собственная каталазная активность угля. Затем в различных вариантах на уголь адсорбировались из водных растворов строго определенные концентрации 2,4-дихлорфеноксиуксусной или 2-метил, 4-хлорфеноксиуксусной кислот (в виде натриевых солей). Через 20 мин., т. е. по окончании адсорбции определялась каталазная активность угля, несущего на себе известные количества хлорфеноксиуксусных кислот. Сравнение полученных данных позволяло судить о наличии тормозящего или ускоряющего действия при различных концентрациях этих кислот.

Для каждого опыта брались 1 г активированного угля и 5 мл 3%-ного раствора H_2O_2 , которые, таким образом, были постоянными компонентами систем. Варьировались только концентрации хлорфеноксиуксусных кислот на угле — от 0,005 до 0,5%. Каталазная активность определялась газометрическим методом при 20°. Во всех вариантах наблюдалась хорошая воспроизводимость результатов. Перекисидазные процессы не изучались, так как при описанных условиях они не могли иметь существенного значения.

Из приведенных на рисунке данных видно, что нанесение хлорфеноксиуксусных кислот на уголь приводило к ощутимому изменению его каталазной активности. Характер наблюдаемых изменений зависел от количества кислот, адсорбированных на угле. Концентрации 2,4-дихлорфеноксиуксусной кислоты порядка 0,005—0,01% оказали активизирующим действием. В случае 2-метил, 4-хлорфеноксиуксусной кислоты положительное действие давала только концентрация в 0,005%. При более высоких концентрациях обеих соединений наблюдалась дезактивация угля, т. е. торможение каталазной активности его. Таким образом, имел место известный параллелизм влияния 2,4-дихлорфеноксиуксусной и 2-метил, 4-хлорфеноксиуксусной кислот на каталазную активность



Кривые влияния хлорфеноксиуксусных кислот на каталазную активность угля: 1—2,4-дихлорфеноксиуксусная кислота; 2—2-метил, 4-хлорфеноксиуксусная кислота

Характер наблюдаемых изменений зависел от количества кислот, адсорбированных на угле. Концентрации 2,4-дихлорфеноксиуксусной кислоты порядка 0,005—0,01% оказали активизирующим действием. В случае 2-метил, 4-хлорфеноксиуксусной кислоты положительное действие давала только концентрация в 0,005%. При более высоких концентрациях обеих соединений наблюдалась дезактивация угля, т. е. торможение каталазной активности его. Таким образом, имел место известный параллелизм влияния 2,4-дихлорфеноксиуксусной и 2-метил, 4-хлорфеноксиуксусной кислот на каталазную активность

тля: начиная с концентраций 0,01—0,05%, обе хлорфеноксиуксусные кислоты уже оказывали активирующего действия на уголь.

Если в гомогенных и микрогетерогенных (коллоидных) системах скорость процесса, как правило, постепенно растет с увеличением концентрации катализатора, то в исследуемых системах максимум положительного действия наблюдается при очень малых концентрациях хлорфеноксиуксусных кислот, после чего наступает переход к отрицательному эффекту.

В этом смысле характер влияния хлорфеноксиуксусных кислот на каталазную активность угля оказывается аналогичным действию ряда органических веществ (рост активирующих веществ, ароматических кислот и оксикислот) на каталазную активность ионно-адсорбционных катализаторов [2]. Однако в случае ионно-адсорбционных катализаторов ускорение или торможение каталазной активности их хлорфеноксиуксусными кислотами бывает выражено гораздо сильнее, чем в наших опытах с активированным углем.

Это заставляет предположить, что найденное нами влияние хлорфеноксиуксусных кислот относится, по-видимому, не столько к самому углю, сколько к остаткам находящихся на нем металлов.

Таким образом, наши наблюдения еще раз подтверждают данные других авторов о том, что хлорфеноксиуксусные кислоты в известных концентрациях могут ускорять или тормозить некоторые каталитические процессы.

Кубанский сельскохозяйственный
институт
Краснодар

Поступила
18.X.1956

ЛИТЕРАТУРА

1. Н. Н. Мельников, Ю. А. Баскаков, К. С. Бокарев, Химия гербицидов и стимуляторов роста растений, Госхимиздат, 1954.
2. И. А. Зубович и Н. И. Кобозев, Биохимия, 16, вып. 1, 12, 1951.
3. E. N. Lucas, C. L. Hamner, Science, 105, 340, 1947.

УСТАНОВЛЕНИЕ РАВНОВЕСИЯ ВБЛИЗИ КРИТИЧЕСКОЙ ТОЧКИ И РОЛЬ ГРАВИТАЦИИ

В. П. Скрипов

Целью настоящей статьи является обсуждение особенностей, наблюдаемых при установлении равновесия вблизи критической точки в системе жидкость — пар.

Еще Голицын заметил [1], что после исчезновения мениска в запаянной трубке долгое время происходит перераспределение плотности вещества по высоте трубки. С тех пор изучением вертикального распределения плотности вещества занималось много исследователей [2—5]. Постановка опытов вблизи критической точки и трактовка требуют учета ряда специфических факторов, которые в других условиях являются несущественными. Сюда относится, например, изменение гравитационного потенциала по высоте трубки.

Рассмотрение результатов опытов приводит к следующим выводам.

1) Вблизи критической точки установление равновесия в системе происходит медленно. Если при нагревании выше критической температуры не применять сильного размешивания вещества, то для установления равновесного распределения плотности вдоль трубки требуется несколько суток непрерывного термостатирования [3, 4]. На месте мениска образуется переходный диффузный слой. Размешивание заметно сокращает время установления.

2) Существенное значение вблизи критической точки имеет гравитационный эффект, особенно в вертикальных трубках большой длины l . Малость изменения гравитационного потенциала вдоль трубки gl компенсируется ростом сжимаемости вещества

$$\beta_T = -\frac{1}{v} \left(\frac{\partial v}{\partial p} \right)_T.$$

Это вызывает сжатие нижних слоев вещества под действием веса верхних слоев. Равновесная плотность оказывается непрерывной функцией высоты. Самостоятельность наблюдения исчезновения мениска внутри трубки при равной плотности заполнения связана с действием гравитации. На это обратил внимание еще А. Г. Столетов [6]. Строго говоря, критические условия ($T=T_K$, $p=p_K$, $v=v_K$) могут выполняться лишь на некоторой определенной высоте трубки, зависящей от плотности заполнения. Исчезновение мениска у вершины трубки соответствует максимальной плотности заполнения, а исчезновение мениска у дна трубки — минимальной плотности. При всех промежуточных плотностях мениск исчезает внутри трубки при одинаковой температуре, которую следует считать критической.

Невнимание к этому обстоятельству вызвало ошибочные заключения. Некоторые исследователи получили кривую сосуществования жидкость — пар с плоской вершиной и толковали ее как истинную кривую сосуществования. Такой результат ставит под сомнение правильность классических взглядов на критические явления, но вполне соответствовал теории Майера [7].

Убедительный опыт, выясняющий роль гравитации, был сделан Вайнбергером и Шейдером [5] с ксеноном. Кривая сосуществования снималась один раз при вертикальном расположении трубки, другой раз при горизонтальном. Длина трубки 19 см, ее внутренний диаметр 1,4 см. Если в первом случае кривая имеет растянутую плоскую вершину, то во втором случае вершина оказывается закругленной, как этого требует классическая теория.

Баер показал [8], что и с количественной стороны наблюдаемое выше критической температуры распределение плотности вещества по высоте удовлетворительно объясняется действием гравитации.

3) При «включении» гравитационного поля установление равновесного распределения плотности вещества в закритическом состоянии может длиться более часа: чем ближе температура и средняя плотность к критическим значениям, тем время установления больше. Хотя нельзя осуществить выключение гравитационного поля, но в нашем случае применение размешивания приводит к выравниванию плотности вдоль трубки, и в этом смысле оно соответствует выключению поля. Прекращение размешивания соответствует включению тяготения. Если бы вещество имело структуру, сходную со структурой обычного газа или жидкости, то равновесие устанавливалось бы практически мгновенно и сопровождалось лишь неравномерным механическим сжа-

ем слоев вещества в соответствии с их сжимаемостью и весом выше лежащих слоев. Наблюдаемое на опыте большое время установления [9] может быть понято только в связи со структурными изменениями, которые происходят вблизи критической точки. Эти изменения обусловлены ростом флуктуаций плотности и соответствуют переходу вещества в особое высокодисперсное состояние. Такой взгляд на природу критического состояния впервые был высказан Смолуховским [10], а в последние годы развивается в работах В. К. Семенченко [11]. Опыты по распространению света в веществе [9, 12, 13] подтверждают существование микронеоднородной структуры вблизи критической точки.

4) Присутствие примесей усложняет явления, наблюдающиеся вблизи критической точки, но систематически этот вопрос не изучен. Мнение Д. Л. Тимрота [14], что обсуждаемые особенности в поведении вещества существенно зависят от различия в изотопном составе молекул, нельзя считать сколько-нибудь обоснованным. Авторы, использовавшие в качестве индикаторов радиоактивные изотопы, например Xe^{127} (при изучении ксенона [5]), исходили из предположения, что концентрация радиоактивного изотопа является мерой локальной плотности вещества. По-видимому, это предположение оправдывается при достигнутой точности измерений.

Рассмотрим с теоретической стороны вопрос об установлении равновесия вблизи критической точки. Если приближаться к ней со стороны двухфазной области, то по мере повышения температуры свойства жидкости и насыщенного пара сближаются и становятся тождественными в самой критической точке. Сосуществование двух фаз проявляется здесь в аномально высокой сжимаемости вещества $\beta_T \rightarrow \infty$, разделение системы на макроскопические фазы уже невозможно. Такой рост сжимаемости свидетельствует о том, что равновесие вещества относительно изотермических изменений плотности близко к безразличному равновесию.

Установление равновесия при нагреве системы до близкой за критической температуры происходит очень медленно, так как мала причина, вызывающая перераспределение плотности вещества. Этой причиной является неравенство химических потенциалов в верхней и нижней частях трубки.

Рассмотрим вещество в вертикальной цилиндрической трубке длины l при $T > T_K$. Поскольку нас интересуют состояния, близкие к критическому, то равновесное распределение плотности по высоте имеет сложный характер вследствие действия гравитации. Разобьем вещество на n горизонтальных слоев одинаковой высоты l/n . В пределах каждого слоя плотность и давление считаются одинаковыми. Равновесное распределение плотности характеризуется числами $\rho_i^0 = \frac{1}{v_i^0}$, $i = 1, 2, \dots, n$; v_i — удельный объем.

При фиксированном объеме и температуре необходимое условие термодинамического равновесия системы может быть записано как равенство нулю вариации свобод-

ной энергии $F = \sum_{i=1}^n F_i$. Вводя полный термодинамический потенциал $\Phi = \sum_i \Phi_i = \sum_i \rho_i \Delta V \mu_i$, где ΔV — объем одного слоя, μ_i — химический потенциал в i -м слое, считанный на 1 г вещества, имеем

$$F = \sum_i \Delta V (\rho_i \mu_i - p_i), \quad (1)$$

$$\delta F = \sum_i \Delta V \mu_i^0 \delta \rho_i + \sum_i \Delta V (\rho_i^0 \delta \mu_i - \delta p_i) = 0. \quad (2)$$

Обыряемое состояние является равновесным, но при равновесии химические потенциалы всех слоев равны

$$\mu_1^0 = \mu_2^0 = \dots = \mu_n^0 = \mu^0.$$

Левая сумма в (2) обращается в нуль $\mu^0 \sum_i \Delta V \delta \rho_i = \mu^0 \delta M = 0$, так как масса M вещества в трубке неизменна. Вариацию химического потенциала при $T = \text{const}$ легко выразить через вариацию давления:

$$\delta \mu_i = \left(\frac{\partial \mu_i}{\partial p} \right)_T \delta p_i = v_i \delta p_i. \quad (3)$$

В свою очередь, вариацию давления можно записать через вариацию удельного объема:

$$\delta p_i = \left(\frac{\partial p}{\partial v_i} \right)_T \delta v_i.$$

Тогда условие равновесия (2) примет вид

$$\sum_i \left(\frac{v_i}{v_i^0} - 1 \right) \left(\frac{\partial p}{\partial v_i} \right)_T \delta v_i = 0.$$

Строго это условие выполняется только при истинном равновесии: $v_i = v_i^0$, $i = 1, 2, \dots, n$. Но приближенно оно имеет место и для $v_i \neq v_i^0$, если $(\partial p / \partial v)_T \rightarrow 0$, т. е. вблизи критической точки. В последнем случае можно говорить о заторможенном равновесии. Для критической точки $(\partial p / \partial v)_T = 0$ и $(\partial^2 p / \partial v^2)_T = 0$. В. К. Семенченко [15] обратил внимание на то, что и для близких к критическим изотерм выполняются условия $(\partial p / \partial v)_T \neq 0$, $(\partial^2 p / \partial v^2)_T = 0$ обеспечивающие медленность изменения $(\partial p / \partial v)_T$ в окрестности критической точки при малости самой этой величины. Несудивительно поэтому, что при нагреве двухфазной системы без размешивания происходит как бы «замораживание» докритического распределения плотностей.

Кинетика процесса установления также тесно связана с изменением химического потенциала вещества вдоль трубки. В общем случае поток вещества через заданное сечение определяется [16] выражением

$$I = -\alpha T \operatorname{grad} \frac{\mu}{T} - \frac{\beta}{T} \operatorname{grad} T,$$

где α , β — кинетические коэффициенты.

Рассмотрим частный случай, когда $\operatorname{grad} T = 0$, $\operatorname{grad} \mu = (\partial \mu / \partial x)_T$. Ось x направлена вертикально вверх, $x = 0$ соответствует дну трубки. С учетом поля тяготения $\mu = \mu' + gx$, где μ' — обычное значение химического потенциала, рассчитанного на 1 г вещества. Воспользовавшись (3) и (4), запишем $(\partial \mu' / \partial x)_T = v (\partial p / \partial v)_T \left(\frac{dv}{dx} \right)$. Тогда

$$\left(\frac{\partial \mu}{\partial x} \right)_m = v \left(\frac{\partial p}{\partial v} \right)_m \left[\frac{dv}{dx} + \frac{g}{v (\partial p / \partial v)_m} \right].$$

Но $-g/v (\partial p / \partial v)_T$ есть вертикальный градиент удельного объема для равновесного распределения вещества в поле тяжести [17], так как

$$dv^0 = -\frac{g}{v} \left(\frac{\partial v}{\partial p} \right)_T dx = \beta_T dx.$$

Следовательно,

$$\left(\frac{\partial \mu}{\partial x} \right)_m = v \left(\frac{\partial p}{\partial v} \right)_T \left[\frac{dv}{dx} - \frac{dv^0}{dx} \right] = v \left(\frac{\partial p}{\partial v} \right)_T \Delta \frac{dv}{dx},$$

$$I = -\alpha v \left(\frac{\partial p}{\partial v} \right)_m \Delta \frac{dv}{dx}.$$

Величину $-\alpha v (\partial p / \partial v)_T$ можно трактовать как коэффициент диффузии D^* . Его относительное изменение в окрестности критической точки нетрудно оценить, пользуясь $p - V - T$ данными.

Посмотрим, что дает в этом случае уравнение Ван-дер-Ваальса. Возьмем его в приведенной форме

$$\pi = \frac{8\tau}{3\varphi - 1} - \frac{3}{\varphi^2},$$

тогда

$$D^{**} = -\varphi \left(\frac{\partial \pi}{\partial \varphi} \right)_\tau = \frac{24\tau\varphi}{(3\varphi - 1)^2} - \frac{6}{\varphi^2},$$

где

$$D^{**} = (p_K / \alpha) D^*.$$

полагая $\varphi = 1$, получим $D^{**} = 6(\tau - 1)$. При $\tau \rightarrow 1$ $D^{**} \rightarrow 0$, как линейная функция $\tau - 1$.

Баер [8] обработал большой экспериментальный материал для углекислоты, диоксида серы и ксенона. Он получил выражение для производной $(\partial \varphi / \partial \tau)_\tau$ вблизи критической точки, которое при $\varphi = 1$ дает

$$D^{**} = -\varphi \left(\frac{\partial \pi}{\partial \tau} \right)_\tau = -4,7(\tau - 1),$$

что не сильно отличается от значения по уравнению Ван-дер-Ваальса.

В наших рассуждениях предполагалось, что по условиям опыта не возникает инвективного переноса. Именно такой случай имеет место при нагреве двухфазной системы без размешивания до $T > T_K$. Установление равновесия носит диффузионный характер. Это особый вид диффузионного процесса, связанный с возможностью непрерывных изменений плотности при $(\partial \rho / \partial v)_m \rightarrow 0$.

Резкое уменьшение скорости диффузии наблюдается [18] у двойных жидких смесей вблизи критической точки растворения. Химический потенциал перестает зависеть от концентрации раствора, и диффузия практически прекращается, несмотря на существование градиента концентрации.

Механизм установления равновесия при «включении» гравитационного поля представляется более сложным по сравнению с разобранным выше случаем перехода из двухфазного состояния в закритическое состояние. Он связан, во-первых, с быстрым сжатием нижних слоев вещества и, во-вторых, с медленной седиментацией плотных уплотнений и разрежений флуктуационного происхождения.

Равновесное распределение плотности по высоте определяется из (7) и существенно висит от сжимаемости вещества. Статистическим аналогом сжимаемости является удельная квадратичная флуктуация удельного объема

$$\beta_T = \frac{(\overline{v - \bar{v}})^2}{\bar{v} k T}.$$

При $T \rightarrow T_K$ сжимаемость растет вместе с ростом флуктуаций. Средние размеры и среднее время жизни локальных сгущений и разрежений также возрастают. Действием обратности в процесс образования флуктуаций и приводит к перераспределению плотности. На некоторой высоте трубки сосредоточивается зона максимальных флуктуаций. Она заметна по интенсивной опалесценции [5]. При равновесии седиментационный поток должен компенсироваться диффузионным потоком. Оптические наблюдения [9] подтверждают существование процесса седиментации вблизи критической точки после размешивания. Наша трактовка явления близка к той, которую дают торы [9], но их опыты не могут служить бесспорным доказательством этих представлений, так как размешивание не вполне эквивалентно выключению тяготения.

В заключение отметим плодотворность идей В. К. Семенченко, касающихся критического состояния и закритических переходов. Теория В. К. Семенченко позволяет только объяснить относящиеся сюда известные факты, но и предсказать существование новых эффектов [19, 20].

Уральский политехнический
институт им. С. М. Кирова
Свердловск

Поступила
14.II.1957

ЛИТЕРАТУРА

1. B. G a l i t z i n, Über den Zustand der Materie in der Nähe des kritischen Punktes, Strassburg, 1893.
2. O. M a a s s, Chem. Rev., 23, 17, 1938.
3. D. A t a c k, W. G. S c h n e i d e r, Journ. Phys. Coll. Chem., 54, 1323, 1950.
4. H. L. L o r e n t z e n, Acta chem. scand., 7, 1335, 1953.
5. W. G. S c h n e i d e r, Les changements de phase, Paris, 1952.
6. A. Г. С т о л е т о в, Собрание сочинений, т. 1, Гостехиздат, 1939.
7. Дж. М а й е р и М. Г е п п е р т-М а й е р, Статистическая механика, ИИЛ, М., 1952.
8. H. D. B a e h r, Zs. Electrochem., 58, 416, 1954.
9. F. E. M u r r a y, S. G. M a s o n, Canad. Journ. Chem., 33, 1399, 1955.
10. M. V. S m o l u c h o w s k i, Ann. d. Phys., 25, 205, 1908.
11. В. К. С е м е н ч е н к о, Журн. физ. химии, 21, 1461, 1947; 26, 1337, 1952.

12. L. G. Blosser, H. G. Drickamer, Journ. Chem. Phys., **19**, 1244, 1951.
 13. В. П. Скрипов и Г. П. Николаев, Оптика и спектроскопия, **1**, 1020, 1955.
 14. Д. Л. Тимрот, Труды МЭИ, вып. 25, 1955.
 15. В. К. Семенченко, ДАН, **92**, 625, 1953; **99**, 1045, 1954.
 16. К. Денбиг. Термодинамика стационарных необратимых процессов, ИИЛ, 1954.
 17. Дж. Р. Партингтон и А. В. Раковский, Курс химической термодинамики, Гостехиздат, М.—Л., 1932.
 18. И. Р. Кричевский и Ю. В. Цеханская, Журн. физ. химии, **30**, 23, 1956.
 19. В. П. Скрипов и В. К. Семенченко, Журн. физ. химии, **29**, 174, 1955.
 20. В. К. Семенченко и М. Азимов, Журн. физ. химии, **30**, 1821, 1956.
-

РАДИОЛИЗ РАСТВОРОВ ПЕРЕКИСИ ТРЕТИЧНОГО БУТИЛА

В. А. Кронгауз и Х. С. Багдасарьян

Ранее нами было показано [1], что при облучении γ -лучами растворов перекиси бензоила в бензоле происходит передача первично поглощенной энергии от возбужденных молекул бензола к молекулам перекиси. В результате этого количество распавшейся перекиси во много раз больше, чем можно было ожидать, исходя из предположения о неизбирательном поглощении энергии каждым компонентом смеси. При радиолизе растворов перекиси бензоила в циклогексане и этилацетате передача энергии от растворителя к перекиси не происходит.

Представляло интерес выяснить, связана ли способность перекиси бензоила воспринимать энергию возбуждения от молекул бензола с наличием слабой перекисной связи или с ароматическим строением молекулы перекиси.

Нами было показано [1], что бензойный ангидрид также обладает способностью воспринимать энергию от возбужденных молекул бензола. Так как строение молекулы бензойного ангидрида аналогично строению молекулы перекиси бензоила, но в отличие от нее не имеет перекисной связи, то можно полагать, что переход энергии от бензола к перекиси бензоила не связан непосредственно с наличием в ее молекуле слабой перекисной связи.

Для подтверждения этого предположения нами исследован радиолиз алифатической перекиси третичного бутила в растворах бензола и циклогексана.

Перекись третичного бутила синтезировалась из третичного бутилового спирта [2] (d_4^{20} перекиси 0,796 n_D^{25} 1,3872).

Концентрация перекиси в растворах определялась по количеству выделившегося йода при нагревании исследуемых растворов с концентрированной HJ в уксуснокислой среде в атмосфере CO₂ [3]. Растворы облучались в вакууме. Концентрация растворов составляла 0,02—0,5 моль/л.

При облучении γ -лучами Co⁶⁰ (активность источника 25 кюри, интенсивность облучения 30 рентген/сек) не наблюдалось заметного распада перекиси третичного бутила как в бензоле, так и в циклогексане при максимальной общей дозе — $7,5 \cdot 10^6$ рентген. Зная содержание перекиси в растворе и учитывая максимальную возможную ошибку при определении концентрации перекиси, можно показать, что количество распавшейся перекиси третичного бутила не превышает 50 молекул на 100 eV энергии, поглощенной самой перекисью.

Для более точной оценки выхода разложения перекиси бензольный раствор ее концентрации 0,125 моль/л облучался в источнике активностью 1400 кюри (интенсивность облучения составляла 200 рентген/сек). При общей дозе $62 \cdot 10^6$ рентген концентрация раствора снизилась на 15%, что соответствует радиационному распаду 17 молекул перекиси на 100 eV поглощенной ею энергии.

Для сравнения отметим, что радиационный выход разложения перекиси бензола на 100 eV поглощенной перекисью энергии составляет 40 молекул при условии отсутствия цепного распада и передачи энергии от растворителя. При наличии передачи энергии возбуждения от растворителя радиационный выход резко возрастает и составляет для концентрации 0,1 моль/л 250 молекул на 100 eV энергии, поглощенной перекисью [1]. Этот выход значительно превышает то число молекул перекиси, которое может распасться при условии, что все 100 eV поглощенной ею энергии идут без потерь на разрыв —O—O—связи.

Низкий радиационный выход распада перекиси третичного бутила в бензоле и циклогексане позволяет заключить, что переход энергии от растворителя к перекиси не происходит.

Сопоставляя все полученные нами данные, можно высказать предположение, что обнаруженная нами ранее особо эффективная передача энергии возбуждения происходит лишь в тех случаях, когда оба компонента раствора имеют ароматическое строение.

Физико-химический институт
им. Л. Н. Карпова
Москва

Поступила
21.II.1957

ЛИТЕРАТУРА

- В. А. Кронгауз, Х. С. Багдасарьян, ДАН, 114, 829, 1957.
N. A. Milas, D. M. Surgenor, Journ. Amer. Chem. Soc., 68, 206, 1946.
F. H. Dickey, J. H. Raley, W. E. W a u g h a m, Ind. Eng. Chem., 41, 1674, 1949.

СРАВНИТЕЛЬНОЕ ОПРЕДЕЛЕНИЕ ЭНЕРГИИ КОГЕЗИИ НАТУРАЛЬНОГО И СИНТЕТИЧЕСКОГО ПОЛИИЗОПРЕНОВЫХ КАУЧУКОВ

А. Г. Шварц

Последние годы работники промышленности синтетического каучука систематически создают новые типы полимеров. Исследование основных физико-химических характеристик полимеров, определяющих их физико-механические свойства, имеет поэтому особенно большое значение. Известно, что энергия межмолекулярного взаимодействия является одной из таких физико-химических характеристик. В настоящей работе определялась удельная энергия когезии, являющаяся мерой межмолекулярного взаимодействия полимеров, натурального и синтетического полиизопреновых каучуков (смокед-шитса и СКИ).

Образцы ненаполненных вулканизатов состава каучук 100,0; сера 1,0; альта 4,0; окись цинка 3,0; стеарин 1,0 вулканизировались при 143°C в течение 50 мин. 1 пластины толщиной 0,8 мм вырубались поэски шириной 8 мм и длиной рабочей участка 50 мм. После набухания указанных образцов в вазелиновом масле до достижения равновесия определялась зависимость удлинения от нагрузки при простом растяжении. Образцы нагружались последовательно грузом в 100, 150, 200 г и более. Через час после приложения нагрузки замерялось удлинение образца*. Параллельно испытывалось три образца. Полученные данные были использованы для определения функции Φ по следующему уравнению [1]:

$$\Phi = \frac{1}{2} f A_0^{-1} v_2^{1/2} (\lambda - \lambda^{-2})^{-1}, \quad (1)$$

где f — нагрузка, требуемая для растяжения набухшего вулканизата при относительном удлинении λ ; A_0 — площадь поперечного сечения ненабухшего исходного образца; v_2 — объемная доля каучука в набухшем вулканизате.

Функция Φ , с одной стороны, зависит от степени набухания образца и, с другой стороны, определяет число поперечных связей в вулканизате.

$$\Phi = C_1 + \lambda^{-1} C_2 = \frac{1}{2} \rho_K R T M_c^{-1} \quad (2)$$

$\rho_{\text{ср}}$ — плотность каучука, M_c — средний молекулярный вес цепочки полимера между поперечными связями, T — температура образца в K° , C_1 и C_2 — константы.

Графическое решение зависимости $\Phi = C_1 + \lambda C_2^{-1}$ позволяет определить значения C_1 . Как показали Гумбрелл, Муллинс и Ривлин [2] при $v_2 = 0,25$, C_2 убывает до нуля.

$$C_{1\text{оп}} = \frac{1}{2} \rho_K R T M_c^{-1}. \quad (3)$$

В нашей работе значения v_2 для вулканизатов натурального каучука было 0,255—0,257 и для СКИ 0,244—0,250. Соответственно для образцов вулканизатов из смокед-шитса значения константы C_1 были 1,73, 1,77 и 1,78; образцов вулканизатов и СКИ соответственно 1,40; 1,42 и 1,41.

Рассчитанное по формуле (3) среднее значение молекулярного веса M_c вулканизата из натурального каучука 8500, для вулканизата из СКИ — 8200.

После получения данных о пространственной сетке вулканизатов определялась характеристика взаимодействия каучука и растворителя (параметр μ) по известному уравнению Флори [3]:

$$\ln\left(1 + \frac{1}{Q}\right) - (1 + Q)^{-1} - \mu(1 + Q)^{-2} - \frac{M_c}{\rho_K V_p} \left[(1 + Q)^{-1/2} - \frac{1}{2}(1 + Q)^{-1} \right] = 0, \quad (4)$$

* Контрольные замеры через 24 часа давали практически те же значения удлинения.

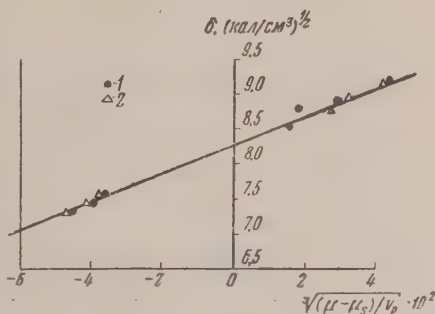
V_p — молярный объем растворителя, Q — равновесная степень набухания (отношение объема поглощенного растворителя к объему собственно каучука в набухшем образце).

Экспериментальные значения максимума набухания и рассчитанные по уравнению значения параметра μ для ряда растворителей приведены ниже в таблице.

Из таблицы следует, что величины параметра μ для вулканизатов НК и СКИ имеют очень близкие значения.

На основе полученных данных была построена зависимость параметра растворимости δ ($\text{кал}/\text{см}^3$)^{1/2} от величины $\sqrt{(\mu - 0,25)/V_p}$ (рисунок).

Как нами было показано ранее [4], прямая, построенная в данных координатах, отсекает на оси ординат отрезок, соответствующий корню квадрату удельной энергии когезии каучука. Как видно из рисунка, точки, соответствующие набуханию вулканизатов НК (1) и СКИ (2), в приведенных таблице растворителей легли на одну прямую, которая пересекает ось ординат в точке 8,3 ($\text{кал}/\text{см}^3$)^{1/2}. Точность полученного значения δ_k определяется в данном случае ошибкой опыта по нахождению равновесной степени набухания ($\sim 1,0\%$). Соответственно, удельная энергия когезии изученных каучуков 68,0—69,0 $\text{кал}/\text{см}^3$. Следовательно, натуральный каучук смокд-шита синтетический полиизопреновый каучук СКИ, несмотря на различное содержание



Взаимодействие каучуков с растворителями

Растворители	Параметр растворимости δ , ($\frac{\text{кал}}{\text{см}^3}$) ^{1/2}	Вулканизат НК		Вулканизат СКИ	
		макс. набух.	параметр,	макс. набух.	параметр
		Q	μ	Q	μ
Бензол	9,15	4,15	0,416	4,65	0,414
Болуол	8,90	4,72	0,340	5,04	0,354
Ксилол	8,75	4,78	0,290	5,26	0,338
Тетрахлористый углерод	8,50	5,60	0,273	5,95	0,250
Октан	7,55	2,47	0,478	2,62	0,493
Гептан	7,45	2,62	0,477	2,69	0,496
Гексан	7,30	2,20	0,538	2,36	0,542

связей *цис*- и *транс*- 1—4, а также связей 3—4 [5], обладают одинаковым межмолекулярным взаимодействием. Однако не исключено, что влияние различия структур каучуков находится за пределом точности данного метода.

Таким образом показано, что удельная энергия когезии НК и СКИ, определенная методом набухания, одинакова, несмотря на определенное различие структур каучуков.

Институт шинной промышленности

Поступила
23.V.1957

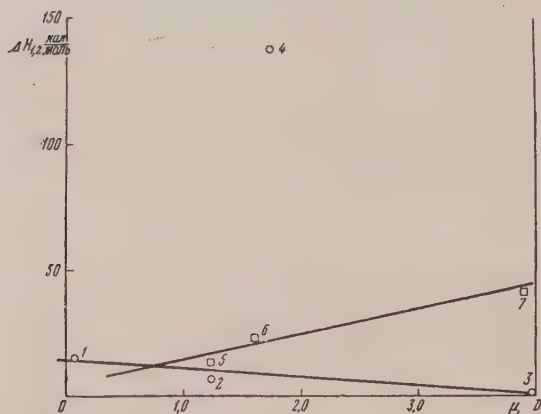
ЛИТЕРАТУРА

1. R. Rivlin, Phil. Trans., A 243, 251, 1951.
2. S. Gumbrell, L. Mullins, R. Rivlin, Trans. Farad. Soc., 49, 1495, 1953.
3. P. Flory, Journ. Chem. Phys., 18, 108, 1949.
4. А. Г. Шварц, Колл. журн., 19, № 3, 1956.
5. Б. Долгопосек, Вестн. АН СССР, 12, 3, 1956.

ТЕПЛОТА СМЕШЕНИЯ И ДИПОЛЬНЫЙ МОМЕНТ МОЛЕКУЛ КОМПОНЕНТОВ

А. Е. Луцкий, Е. М. Обухова и Б. Г. Петренко

Статистические теории смесей неэлектролитов [1, 2] предполагают наличие определенной связи между теплотой смешения $\Delta H_{\text{см}}$ и разницей в свойствах молекул компонентов — их размере v_m , форме ϕ , поляризуемости α и дипольном моменте. При этом при равном размере сферически симметричных молекул и равных силах сцепления или для случая, когда различиями первой степени в силах сцепления молекул пренебречь, знак $\Delta H_{\text{см}}$ должен совпадать со знаком Δv — изменения объема при смешении [1—3]. Для смесей веществ с почти равными v_m молекул, но резко отличающихся по силам сцепления между ними (что равносильно при тех же термодинамических условиях различию в α и μ) знаки $\Delta H_{\text{см}}$ и Δv могут быть противоположными [4—6]. При подборе систем для проверки этих предположений пользуются, однако, значениями соответствующих свойств молекул, а различного рода макрофизическими свойствами тел: вместо v_m молярным объемом, вместо μ — разницей в температурах кипения компонентов смеси и др. В результате в ряде случаев сравниваются системы, обладающие лишь кажущимся сходством или различием тех или иных свойств молекул [4, 5, 7—9].



Зависимость от μ теплоты смешения бензола с $\text{C}_6\text{H}_5\text{X}$: 1 — $\text{X} = \text{C}_2\text{H}_5$; 2 — $\text{X} = \text{OCH}_3$; 3 — $\text{X} = \text{—CN}$; 4 — $\text{X} = \text{CH}_2\text{OH}$; 5 — $\text{X} = \text{OC}_2\text{H}_5$; 6 — $\text{X} = \text{N}(\text{CH}_3)_2$; 7 — $\text{X} = \text{NO}_2$

молекул компонентов на $\Delta H_{\text{см}}$ были определены значения $\Delta H_{\text{см}}$ при 20°C бинарных смесей бензола в качестве компонента 1 и членов двух рядов изопериодических соединений состава $\text{C}_6\text{H}_5\text{X}$ в качестве компонента 2. Молекулы последних облачают почти теми же всеми свойствами, кроме дипольного момента, и у некоторых членов ряда склонностью к образованию водородных связей. Методика измерения была описана ранее [10]. Результаты измерений (среднее из нескольких определений) приведены в таблице. В согласии с литературными данными $\Delta H_{\text{см}}$ смеси бензол — этилбензол близка к таковой для смеси бензол — толуол [1, 11].

Как видно, во всех случаях $\Delta H_{\text{см}}$ положительно, т. е. при смешении имеет место поглощение тепла. Как следует из прилагаемого рисунка, $\Delta H_{\text{см}}$ рассматриваемых смесей закономерно изменяется с μ молекул второго компонента. При этом, однако, по неясным в настоящее время причинам для смесей с членами одного ряда изопериодических соединений $\Delta H_{\text{см}}$ растет, а другого уменьшается с ростом μ . Резко не подчиняется линейной зависимости лишь смесь с членом ряда, содержащим ОН группу. Эта смесь дает резко повышенное значение $\Delta H_{\text{см}}$, что обычно связывают с дополнительно затраченной энергией при смешении на разрушение комплексов, образованных за счет водородных связей между молекулами.

Для каждой из изученных смесей разница в v_m , α и ϕ молекул компонентов отступает на задний план (кроме смеси бензол — этилбензол) перед разницей в μ . Ка

шени [1—3]. Для смесей веществ с почти равными v_m молекул, но резко отличающихся по силам сцепления между ними (что равносильно при тех же термодинамических условиях различию в α и μ) знаки $\Delta H_{\text{см}}$ и Δv могут быть противоположными [4—6]. При подборе систем для проверки этих предположений пользуются, однако, значениями соответствующих свойств молекул, а различного рода макрофизическими свойствами тел: вместо v_m молярным объемом, вместо μ — разницей в температурах кипения компонентов смеси и др. В результате в ряде случаев сравниваются системы, обладающие лишь кажущимся сходством или различием тех или иных свойств молекул [4, 5, 7—9].

В целях обнаружения действительного влияния разницы в силах сцепления молекул

$\Delta H_{\text{см}}$ бинарных смесей C_6H_6 и $\text{C}_7\text{H}_5\text{X}$ при 20°C ($N_2=0,2$)

X	$\Delta H_{\text{см}}$, кал/моль	Примерное $\Delta H_{\text{см}}$ опыта, кал	% отклонения от среднего	$\Delta \tau_{\text{уд}}$, с.м^3
$-\text{C}_2\text{H}_5$	+ 16,48	6,132	2,4	+0,0018
$-\text{OCH}_3$	+ 7,32	3,457	2,2	—0,0051
$-\text{CN}$	+ 2,28	1,212	1,8	—0,0053
$-\text{CH}_2\text{OH}$	+151,75	32,289	0,01	—0,0067
$-\text{OC}_2\text{H}_5$	+ 15,00	5,081	2,3	—0,0054
$-\text{N}(\text{CH}_3)_2$	+ 26,23	9,928	0,3	—0,0044
$-\text{NO}_2$	+ 46,05	14,203	0,12	—0,0091

оказалось, $\Delta H_{\text{см}}$ и Δv [10] изученных смесей (кроме смеси бензол — этилбензол), в согласии с указанными выше выводами из статистических теорий, имеют противоположные знаки и именно поглощение тепла сопровождается сжатием системы.

Харьковский политехнический
институт им. В. И. Ленина

Поступила
9. III. 1957

ЛИТЕРАТУРА

1. H. Longuet-Higgins, Proc. Roy. Soc., 205, 247, 1951.
2. J. Prigogine, V. Mathot, Journ. Chem. Phys., 20, 49, 1952.
3. Z. Salsburg, J. Kirkwood, Journ. Chem. Phys., 21, 2169, 1953.
4. V. Mathot, A. Desmyter, Journ. Chem. Phys., 21, 782, 1953.
5. R. Thacker, J. Rowlinson, Journ. Chem. Phys., 21, 2242, 1953.
6. R. Thacker, J. Rowlinson, Trans. Farad. Soc., 50, 1036, 1954.
7. P. Meares, Trans. Farad. Soc., 45, 966, 1949.
8. J. Prigogine, V. Mathot, Journ. Chem. Phys., 18, 765, 1950.
9. P. Meares, Journ. Chem. Phys., 22, 955, 1954.
10. Е. М. Обухова, Диссертация, Харьк. политех. ин-т, 1956, гл. II.
11. J. Hildebrand, R. Scott, The solubility of Nonelectrolytes, 1950, 3-е изд., N. Y.; 142, L. Ebert, H. Tschamler, Monatsh., 80, 473, 1949; H. Tschamler, E. Richter, Monatsh., 80, 510, 1949.
12. А. Е. Лудкий, Е. М. Обухова, Журн. физ. химии, 31, 1963, 1957.

ТЕРМОДИНАМИКА КРИСТАЛЛОВ. II.

О. М. Полторак

В предыдущей работе [1] мы рассмотрели некоторые вопросы термодинамики кристаллов. Отметим следующее.

Химический потенциал мелкодисперсных образцов μ_r повышен по сравнению с химическим потенциалом крупных (теоретически, — бесконечно больших) кристаллов μ_∞ на величину

$$\Delta\mu \doteq \mu_r - \mu_\infty = \frac{2}{3} Z_\Omega^{(M)} + \frac{1}{3} Z_l^{(M)}, \quad (1)$$

где $Z_\Omega^{(M)}$ и $Z_l^{(M)}$ — соответственно свободные энергии граней и ребер одного моля кристаллов, дисперсность которых определяется параметром длины r .

Работа образования кристалла, находящегося в равновесии с расплавом, может быть найдена из соотношения

$$\Delta Z_{\text{обр}} = \frac{1}{3} Z_\Omega + \frac{2}{3} Z_l, \quad (2)$$

где соответствующие величины Z могут быть отнесены к произвольному, но для всех из них одинаковому числу молей.

Уравнения (1) и (2) являются основными в термодинамике равновесных кристаллов. Выражаемые ими соотношения могут быть легче поняты, если провести следующее графическое построение.

Рассмотрим случай кристаллизации одного моля переохлажденной жидкости и проследим изменения соответствующих величин. Всякая переохлажденная жидкость может находиться в лабильном равновесии с кристаллами некоторого размера причем тем меньшего, чем выше степень переохлаждения. Размеры равновесных кристаллов обозначим через r_0 . На рисунке приведен график зависимости

$$\begin{aligned} Z_{\text{сист}} &= Z_{\text{жидк}} + Z_{\text{крист}} = (1-n)\mu_{\text{жидк}} + n\mu_\infty + Z_\Omega + Z_l = \\ &= (1-n)\mu_{\text{жидк}} + n\mu_\infty + r^2 \sum \sigma_i k_\Omega^i + r \sum \tau_k k_l^k \end{aligned} \quad (3)$$

от параметра длины кристалла r при $T = \text{const}$, n — число молей в кристалле, размер которого определяется величиной r ; Ω_i — площадь i -й грани, l_k — длина ребра

$$n = \frac{V}{V_{\text{моль}}} = \frac{k_V}{V_{\text{моль}}} r^3; \quad \Omega_i = k_\Omega^i r^2, \quad \tau_k = k_l^k r. \quad (4)$$

Общий облик кривой, описываемой уравнением (3), передается граничными условиями:

$$\text{при } r \rightarrow 0 \quad Z_{\text{сист}} \rightarrow \mu_{\text{жидк}}, \quad \left(\frac{\partial Z_{\text{сист}}}{\partial r} \right)_{r \rightarrow 0} = \sum \tau_k l_k > 0;$$

$$\text{при } r \rightarrow \infty \quad Z_{\text{сист}} \rightarrow \mu_\infty < \mu_{\text{жидк}};$$

$$\text{при } r = r_0 \quad \left(\frac{\partial Z_{\text{сист}}}{\partial r} \right)_{r=r_0} = 0, \quad Z_{\text{сист}}(r_0) > \mu_{\text{жидк}}.$$

Последний результат определяется тем, что обратное образование кристалла (для $r = r_0$) требует затраты работы. Из уравнения (2) следует, что

$$\Delta Z_{\text{обр}}(r_0) = Z_{\text{сист}}(r_0) - \mu_{\text{жидк}} = \frac{1}{3} Z_\Omega(r_0) + \frac{2}{3} Z_l(r_0) > 0$$

$\Delta Z_{\text{обр}}$ равняется AB на рисунке. Кроме того, учитывая, что условие равновесия

кристалла ($r = r_0$) с жидкостью имеет вид $\mu(r_0) = \mu_{\text{жидк}}$, получим

$$\mu_{\text{жидк}} - \mu_{\infty} = \mu_{r_0} - \mu_{\infty} = \Delta\mu(r_0) = -\frac{2}{3} Z_{\Omega}^{(M)}(r_0) + \frac{1}{3} Z_l^{(M)}(r_0).$$

На рисунке эта разность обозначена BC . Уравнение (3) при $r \rightarrow 0$ становится неточным и не отображает действительного поведения системы. Это обусловлено учётом толщины поверхностного слоя δ (подробнее см. в [2]). Кристаллики с $r \sim 2\delta$ являются приемлемыми по размеру носителями свойств новой фазы. В связи с этим кривая (3) приведена не от $r=0$, а от $r=2\delta$. Неточность хода кривой, вычисленной по уравнению (3), вблизи $r \sim 2\delta$ не скажется на результате анализа, если r_0 достаточно велико по сравнению с 2δ .

Подчеркнем, что отрезок BC определяется значениями молярных величин $Z_{\Omega, l}^{(M)}(r_0)$, тогда как AB — работа образования одного кристаллика размером r_0 , определяется величинами $\Omega, l(r_0)$, отнесенными к числу молей

$$n = \frac{k_V}{V_M} r_0^3.$$

Привычка к свойствам «больших» фаз, когда химические потенциалы равны, молярным значениям Z , может вызвать вопрос: почему при $r = r_0$ имеет место неравенство $\mu(r_0) > \mu_{\text{жидк}}$, несмотря на то что при тех же условиях $\mu(r_0) = \mu_{\text{жидк}}$.

Дело в том, что для дисперсных систем молярные значения Z не являются полными химическими потенциалами, а первые всегда превышают вторые. Пусть дан кристалл, содержащий n -молей вещества с заданной степенью дисперсности. Для него

$$Z(n) = n\mu_{\infty} + Z_{\Omega} + Z_l = n\mu_{\infty} + C_1 n^{-1/3} + C_2 n^{-1/3},$$

где C_1 и C_2 не зависят от n . Отсюда

$$\mu_r = \left(\frac{\partial Z(r)}{\partial n} \right)_{P, T, N} = \mu_{\infty} + \frac{2}{3} C_1 n^{-1/3} + \frac{1}{3} C_2 n^{-1/3} < \frac{Z(r)}{n} = \mu_{\infty} + C_1 n^{-1/3} + C_2 n^{-1/3},$$

где $\left(\frac{\partial Z}{\partial n} \right)_{P, T, N}$ означает, что рассматривается производная от Z по n при постоянном числе кристалликов. Эта величина играет роль полного потенциала. Действительно, пусть в однокомпонентной двухфазной системе масса дисперсной фазы изменялась на dn за счет изменения степени дисперсности кристалликов без изменения их числа N . Для такого процесса

$$\begin{aligned} dZ &= \left\{ \mu_{\infty} + \sum \sigma_i \left(\frac{\partial \Omega_i}{\partial n} \right)_N + \sum \tau_k \left(\frac{\partial l_k}{\partial n} \right)_N \right\} dn - \mu_{\text{жидк}} dn = \\ &= \left\{ \left(\frac{\partial Z^{\text{крист}}}{\partial n} \right)_{P, T, N} - \mu_{\text{жидк}} \right\} dn, \end{aligned}$$

при $r = r_0$ кристаллы и жидкость находятся в равновесии, и бесконечно малое изменение параметров кристалла не меняет термодинамического потенциала системы. Словие $dZ = 0$ эквивалентно

$$\mu_{r_0} = \left\{ \mu_{\infty} + \sum \sigma_i \left(\frac{\partial \Omega_i}{\partial n} \right)_N + \sum \tau_k \left(\frac{\partial l_k}{\partial n} \right)_N \right\} = \left(\frac{\partial Z^{\text{крист}}}{\partial n} \right)_{P, T, N} = \mu_{\text{жидк}}. \quad (5)$$

Таким образом, μ_r играет роль полного потенциала для переноса массы в дисперсных системах. Величина $(\partial Z^{\text{крист}} / \partial n)_{P, T, D}$, где D означает «при постоянной степени дисперсности» (переменном числе кристалликов), не обладает такими свойствами. Она определяет молярное значение экстенсивной величины Z :

$$\left(\frac{\partial Z^{\text{крист}}}{\partial n} \right)_{P, T, D} = \frac{Z^{\text{крист}}(r)}{n} > \left(\frac{\partial Z^{\text{крист}}}{\partial n} \right)_{P, T, N} = \mu_r.$$

Разность этих величин

$$\left(\frac{\partial Z^{\text{крист}}}{\partial n}\right)_{P,T,D} - \left(\frac{\partial Z^{\text{крист}}}{\partial n}\right)_{P,T,N} = \frac{1}{3} Z_{\Omega}^{(M)} + \frac{2}{3} Z_l^{(M)} = \Delta Z_{\text{обp}}^{(M)}(r_0)$$

определяет работу обратного образования кристаллов из жидкости.

При определении μ_r рассматривалось равновесие кристалликов с некоторой пересохнутой жидкостью. Однако введение в рассмотрение жидкостей является более чем вспомогательным приемом, позволяющим описать равновесную конфигурацию кристалла. Очевидно, что величина μ_r не зависит от способа ее вычисления.

Сопоставляя уравнения (5) и (1), можно заметить, что они совпадают лишь в том случае, когда k_V , k_{Ω} и k_l — постоянны, т. е. рост или растворение кристалла не сопровождается изменением его формы ограничения. Для случая кристаллов с «зараста-

ющими» гранями из (5) и (4) получим, если выберем r в виде $r = \sqrt[3]{V_{\text{м}} n}$:

$$\mu_{r_0} = \mu_{\infty} + \frac{2}{3} Z_{\Omega}^{(M)}(r_0) + \frac{1}{3} Z_l^{(M)}(r) + V_{\text{м}} \left\{ \frac{1}{3} \sum_i^{(M)} \sigma_i \left(\frac{\partial k_{\Omega}^i}{\partial r} \right)_{r=r_0} + \frac{1}{3r_0} \sum_k^{(M)} \tau_k \left(\frac{\partial k_l^k}{\partial r} \right)_{r=r_0} \right\}$$

Выражение, заключенное в фигурные скобки, обусловлено равновесным изменением формы ограничения при росте кристалла, его можно назвать потенциалом формы ограничения. Появление таких величин не предусматривалось в теории Гиббса.

В области $2\delta < r < r_0$ величина μ_r не является полным аналогом других обобщенных сил. Самопроизвольное растворение кристалла $r < r_0$, сопровождающееся уменьшением Z (см. рисунок), одновременно протекает с увеличением разности потенциалов ($\mu_r - \mu_{\text{жидк}}$), тогда как для других обобщенных сил, по мере протекания процесса, вызывающие их «разности потенциалов» уменьшаются.

Отметим также, что реберная энергия играет роль энергии активации при изменении формы ограничения кристалла. Этим обусловлена ее особая роль в теории реальных кристаллов: важна не столько обусловленная ею численная поправка, сколько вызванный ею эффект стабилизации неравновесных форм ограничения.

Московский государственный
университет им. М. В. Ломоносова

Поступила
29. X. 1957

ЛИТЕРАТУРА

1. О. М. Полтораки, Журн. физ. хим., 31, 2477, 1957.
2. В. К. Семенченко, Поверхностные явления в металлах и сплавах. Гостеоиздат, 1957.

О ВЛИЯНИИ УСЛОВИЙ ОСАЖДЕНИЯ ГИДРООКИСИ АЛЮМИНИЯ НА ЕЕ ЗАГУЩАЮЩИЕ СВОЙСТВА

А. А. Трапезников и А. М. Толмачев

Несмотря на то что гидроокиси алюминия посвящено большое число исследований, проведенных в самых разнообразных направлениях, вопрос о влиянии условий осаждения гидроокиси алюминия на ее загущающие свойства до сих пор оставался практически неизученным. Проводились исследования механических свойств паст окиси алюминия в вазелиновом масле [1], однако условия осаждения не являлись предметом специального исследования. В то же время этот вопрос имеет большое значение для промышленности, производящей гидроокись алюминия для полиграфических красок и некоторых других целей. В нашей работе было исследовано влияние pH при осаждении на загущающие свойства гидроокиси алюминия в неполярном медицинском вазелиновом масле.

В первом варианте гидроокись алюминия была получена в водной среде путем приливания 0,5 N раствора соды к 0,5 N раствору калийалюминиевых квасцов со скоростью 20 мл/мин при 18—20°C до достижения различных pH: 4,5; 5,3; 6,0; 6,5; 7,0; 8,0. Полученные осадки декантировались, сушились до постоянного веса при 61°C, а затем затирались с вазелиновым маслом до пастообразного состояния с содержанием твердой фазы по весу 28,6%.

В приготовленных таким образом пастах была измерена прочность P_r на сдвиг, определяемая нами как напряжение сдвига, отвечающее неограниченному росту деформации, после преодоления упругой части деформации, в условиях нагружения с постоянной скоростью, равной в данном случае 25—27 $\text{г/см}^2\text{сек}$.

Для исследований нами был использован метод измерения P_r при помощи тангенциального смещения пластинки, применявшийся для аналогичных исследований и другими авторами. Использовался прибор, разработанный в нашей лаборатории [2, 3].

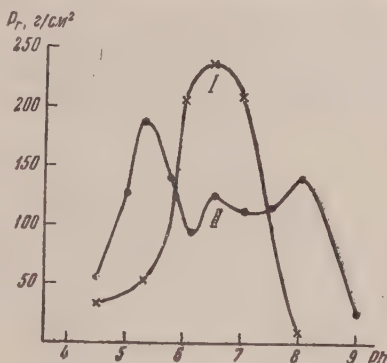
Полученные результаты представлены на рисунке в виде зависимости P_r от конечного значения pH при осаждении гидроокиси (кривая 1).

В случае указанной выше методики осаждения, осадки, полученные при указанных значениях pH, в действительности представляют собой набор фракций, выделившихся в процессе естественного повышения pH при осаждении от pH = 3,2—3,3 (раствор квасцов) до конечного pH выделения осадка.

В связи с этим нами был применен новый метод осаждения гидроокиси алюминия при постоянном значении pH, поддерживаемом в течение всего осаждения, предложенный в 1942 г. А. А. Трапезниковым для осаждения алюминиевых мыл и далее уточненный для этих же целей [2]. Этот метод основан на одновременном сливании растворов реагентов в воду с определенными скоростями, позволяющими поддерживать pH раствора постоянным в течение всего опыта. Метод был нами усовершенствован путем применения устройств «постоянных уровней», обеспечивающих непрерывную подачу растворов с постоянной, контролируемой в течение опыта скоростью. Таким путем были получены осадки гидроокиси алюминия при следующих pH осаждения: 4,5; 5,0; 5,3; 5,75; 6,0; 6,10; 6,5; 7,0; 7,5; 8,0; 9,0.

Обработка осадков и определение P_r производились так же, как было описано выше.

Результаты представлены на рисунке (кривая 2).



Зависимость предела прочности P_r от pH при осаждении: кривая 1 — «прямое» осаждение; кривая 2 — осаждение при постоянном pH

Проведенные эксперименты показали, что рН осаждения сильно влияет на за-
сажающие и некоторые другие свойства гидроокиси алюминия и что осаждением п
различных, но постоянных в течение всего осаждения, рН можно получить гид
окись алюминия с необходимыми свойствами.

Академия наук СССР
Институт физической химии
Москва

Поступила
12.VI.1957

ЛИТЕРАТУРА

1. Л. И. Эдельман и П. А. Ребиндер, Коллоидн. ж., **13**, 65, 1951.
2. А. А. Трапезников и С. Х. Закеева, Коллоидн. ж., **8**, 429, 1948.
Колл. ж. **20**, 3, 1958.
3. Г. Г. Щеголев, А. М. Толмачев, А. А. Трапезников, Завод. Лаб.
(Принято к печати в 1958 г.).
4. А. А. Трапезников и Г. В. Белугина, ДАН, **87**, 635, 1952.

КИНЕТИКА ГИДРИРОВАНИЯ ЦИКЛОПЕНТЕНА С ИОНОМ Mn^{2+} В КАЧЕСТВЕ КАТАЛИЗАТОРА

В. А. Тулунов

Ранее нами было показано [1], что непредельные соединения, содержащие $C=X$ связь (где X — атом углерода или кислорода), могут гидрироваться молекулярным водородом в присутствии солей железа, кобальта или никеля, которые играют роль катализаторов. При этом, поскольку было установлено, что активность соли не зависит от аниона кислоты, был сделан вывод о том, что каталитически активным является связанный ион металла.

Продолжая исследование в этом направлении, мы изучили кинетику гидрирования цикlopентена в присутствии стеарата марганца, растворенного в вазелиновом масле.

Экспериментальная часть

Исходные вещества. Стеарат марганца был получен по описанной методике [2]. Последующую сушку препарата мы проводили, однако, 30 час.

Цикlopентен был получен дегидратацией цикlopентанола щавелевой кислотой и последующей разгонкой высушенного продукта на колонке эффективностью 70 теоре-

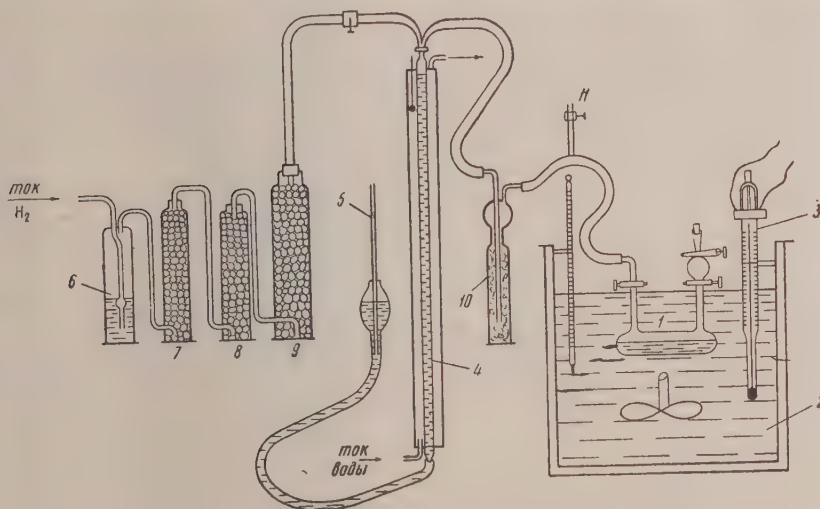


Рис. 1. Схема гидрирования

тических тарелок. До употребления в реакцию цикlopентен сохранялся над металлическим натрием. Он обладал следующими константами: $t_{\text{кип.}} 43,5-44^\circ\text{C}$, $n_D^{20} 1,4240$. В справочной литературе [3] для цикlopентена приводятся следующие данные: $t_{\text{кип.}} 45-46^\circ$; $d_4^{20} 0,7743$; $n_D^{18} 1,4218$.

Вазелиновое масло предварительно прогревалось в течение 2 час. с металлическим натрием, а затем перегонялось в вакууме. Для приготовления раствора отбиралась фракция, кипящая при 20 мм. рт. ст. в интервале $250-350^\circ\text{C}$; она не содержала непредельных соединений и омыляемых веществ.

Растворы стеарата марганца готовились путем последовательного прибавления к навеске его небольших порций вазелинового масла при определенной температуре.

Методика. Процесс осуществлялся по схеме, изображенной на рис. 1. Цикlopентен помещался в утку 1, которая парафинированными каучуковыми трубками

соединялась с осушительной системой и бюреткой 4, позволявшей отсчитывать изменение объема с точностью до 0,1 мл. Бюретка охватывалась рубашкой, через которую циркулировала вода, благодаря чему поддерживалась постоянная температура 18°. В качестве рабочей жидкости применялась очищенная и высушенная ртуть. Для более точного измерения объема поглотившегося водорода в грушу, заполненную ртутью, вставлялся капилляр 5.

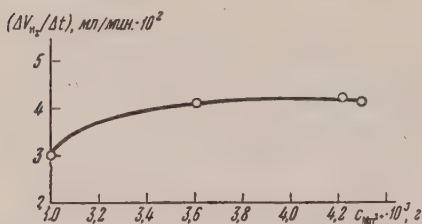


Рис. 2. Зависимость скорости гидрирования циклопентена от концентрации катализатора

3 с точностью $\pm 0,05^\circ C$. Опыты проводились при 25, 30, 36, 38 и $39^\circ C$.

Сначала в утку, наполненную азотом, было помещено $5,46 \cdot 10^{-5}$ г-моля стеарата марганца ($3 \cdot 10^{-3}$ г) и 1,6991 г циклопентена. После проведения реакции гидрирования при определенной температуре в утку добавлялся циклопентен и процесс проводился при следующей температуре.

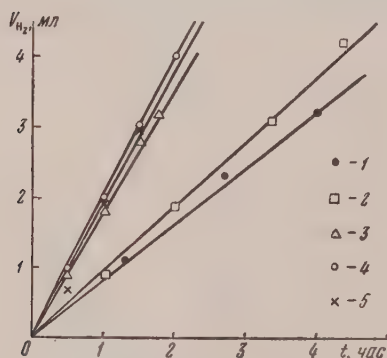


Рис. 3. Изотермы глубин превращения циклопентена при $c_{Mn^{2+}} = 3 \cdot 10^{-3}$ г: 1—25; 2—30; 3—36; 4—38 и 5—39°С

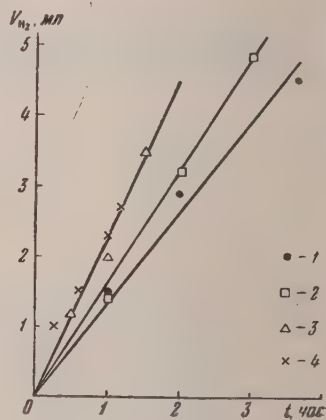


Рис. 4. Изотермы глубин превращения циклопентена при $c_{Mn^{2+}} = 3,61 \cdot 10^{-3}$ г: 1—25; 2—30; 3—36°С; 4—получена при $c_{Mn^{2+}} = 3,32 \cdot 10^{-3}$ г в утке из молибденового стекла

После завершения цикла измерений при заданной концентрации катализатора в утку вводилась новая его порция, и процесс повторялся снова.

О кинетике реакции судили по количеству поглощенного водорода в единицу времени.

Нами было замечено, что раствор стеарата марганца, имевший светло-коричневую окраску до начала реакции, к концу ее совершенно обесцветился, по-видимому, вследствие образования комплекса.

Когда гидрирование было прекращено, содержимое утки переносилось в колбу Фаворского и подвергалось перегонке. При этом в интервале $44-46^\circ C$ переходил непрогидрированный циклопентен. Циклопентан перегонялся при $47-51^\circ C$. Он содержал примеси циклопентена.

Необходимо отметить, что параллельно с отгонкой циклопентана наблюдалось разложение комплекса, и раствор приобретал исходную светло-коричневую окраску.

Результаты кинетических измерений приведены на рис. 2—5. На рис. 2 представлена зависимость скорости гидрирования от концентрации катализатора.

Изотермы глубин превращения при концентрации катализатора $5,46 \cdot 10^{-5}$ и $8,18 \cdot 10^{-5}$ г-моля (соответственно $3 \cdot 10^{-3}$ и $3,61 \cdot 10^{-3}$ г Mn^{2+}) приведены на рис. 3 и 4.

Из рис. 4 видно, что с изменением концентрации катализатора характер процесса не изменяется. На рис. 4 приведены также результаты гидрирования циклопентена в виде экспериментальных точек 4 при концентрации катализатора $7,53 \cdot 10^{-5}$ г-моля. Гидрирование проводилось в утке объемом 250 мл, изготовленной из молибденового стекла № 23 объемом 150 мл. Из сравнения экспериментальных точек 3 и 4 рис. 4 видно, что материал и величина поверхности сосуда не оказывают влияния на течение реакции, т. е. процесс протекает не на поверхности сосуда, а в объеме, и является гомогенным.

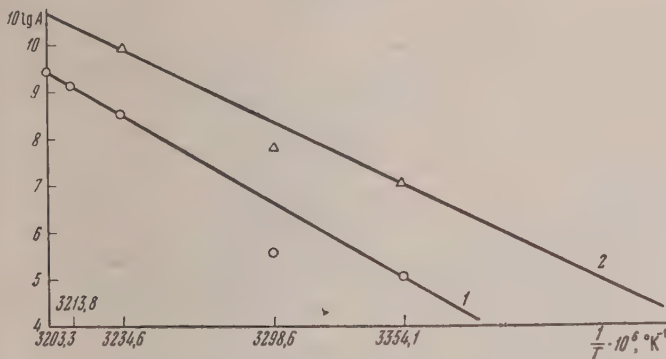


Рис. 5. Зависимость $\lg A$ (A равно объему поглотившегося водорода за 4 часа в миллилитрах) от $1/T$: 1 — $c_{Mn^{2+}} = 3 \cdot 10^{-5}$; 2 — $c_{Mn^{2+}} = 3,61 \cdot 10^{-5}$ г

Из рис. 3 и 4 видно, что форма изотерм глубин превращения не изменяется температурой. Это давало нам основание при определении энергии активации вместо константы скорости пользоваться объемом поглощенного водорода в единицу времени. Соответствующие аррендусовские прямые 1 и 2 для концентрации стеарата марганца соответственно $5,46 \cdot 10^{-5}$ и $8,18 \cdot 10^{-5}$ г-моля приведены на рис. 5. Ответчащие им значения энергии активации равны при $c = 8,18 \cdot 10^{-5}$ г-моля $E_1 = 4800 \pm 500$ кал/моль, при $c = 5,46 \cdot 10^{-5}$ г-моля $E_2 = 5800 \pm 500$ кал/моль.

Как видно из приведенных результатов, значения энергий активации по порядку величины соответствуют энергии активации гетерогенного каталитического гидрирования непредельных соединений (см., например, [4]).

Таким образом, проведенное исследование позволяет сделать следующие выводы.

1. Гидрирование циклопентена в гомогенной среде в присутствии иона Mn^{2+} протекает с энергией активации по порядку величины совпадающей с энергией гетерогенного каталитического гидрирования непредельных соединений.

2. Величина энергии активации изменяется с концентрацией катализатора: при $c = 8,18 \cdot 10^{-5}$ г-моля $E_1 = 4800 \pm 500$ кал/моль и при $c = 5,46 \cdot 10^{-5}$ г-моля $E_2 = 5800 \pm 500$ кал/моль.

В заключение искренне благодарю проф. Л. А. Николаева за любезно предоставленную возможность выполнения экспериментальной части.

Всесоюзный заочный
машиностроительный институт
Москва

Поступила
29. IX. 1957

ЛИТЕРАТУРА

1. В. А. Тулунов, Журн. физ. химии, 31, 519, 1957.
2. A. E. Koening, Journ. Amer. Chem. Soc., 36, 951, 1914.
3. Краткий справочник химика, Госхимиздат, М.—Л., 1951, стр. 192.
4. Н. И. Кобозев, Журн. физ. химии, 31, 2162, 1957.

ХРОНИКА

Д. Н. АБАШЕВ И ЕГО ВКЛАД В РАЗВИТИЕ УЧЕНИЯ
О РАСТВОРАХ*(К столетию исследований жидкостных растворов)*

В 1957 г. исполнилось сто лет со дня опубликования первой в мировой науке работы, специально посвященной исследованию жидкостных растворов. Автором является крупный русский физико-химик Д. Н. Абашев (1829—1880)*.

Первые работы Д. Н. Абашева по растворам были проведены в лаборатории Московского университета и напечатаны в виде статьи [2], а затем отдельной монографией [3]; последующие исследования он вел в Киевском и Одесском университетах и опубликовал их в 1868 и 1873 гг. [4, 5].

К исследованию жидкостных растворов Д. Н. Абашев обратился не только потому, что вопрос этот был почти не изучен, но и, главным образом, на основании сообщения, что «взаимные простые отношения двух жидкостей должны представлять самое простое и самое полное выражение явлений растворения» ([3] стр. 17): с одной стороны, явление образования жидкостных растворов не осложнено изменением агрегатного состояния одного из компонентов; с другой стороны, наличие взаимное растворение обоих составных частей раствора друг в друге. Имея в виду это соображение, Д. Н. Абашев надеялся посредством изучения жидкостных растворов открыть путь к познанию закономерностей, управляющих образованием растворов вообще.

Труды Д. Н. Абашева по растворам группируются около трех основных вопросов: растворимость жидкостей друг в друге; переход от неполной к полной взаимной растворимости жидкостей (критические явления в растворах); тепловые явления при образовании жидкостных растворов.

Исследованию взаимной растворимости жидкостей посвящены более ранние работы Д. Н. Абашева [2, 3]. Применяя изобретенный им волюмометрический метод, он изучил взаимную растворимость 45 пар жидкостей. В восьми случаях он обнаружил явление ограниченной взаимной растворимости и определил ее величину при комнатной температуре.

Специальные опыты были проделаны для определения зависимости взаимной растворимости жидкостей от температуры. Д. Н. Абашев измерил величину растворимости двух пар жидкостей друг в друге в интервале от 3 до 40 °C и нашел, что она возрастает с температурой. Кроме того, он провел опыты по охлаждению трубок с растворяющимися жидкостями; при этом он обнаружил характерное явление помутнения, обусловленное уменьшением взаимной растворимости жидкостей при снижении температуры. Сходное явление лежит в основе известного метода определения взаимной растворимости жидкостей, разработанного В. Ф. Алексеевым [6]. На основании опытов Д. Н. Абашев заключил, что взаимная растворимость жидкостей всегда повышается с ростом температуры.

Результаты этих опытов привели Д. Н. Абашева к вопросу о критических явлениях в растворах. Он сделал вывод, что «при подходящих температурах все жидкости, которые взаимно растворяются в определенных пропорциях при обыкновенной температуре, — будут смешиваться во всех отношениях» ([2] стр. 281—282). При этом случае полной смесимости жидкостей Д. Н. Абашев рассматривает как предельный: по мере увеличения взаимной растворимости составы сосуществующих растворов сближаются, в конце концов, совпадают; при этом все их свойства становятся идентичными, так что неоднородная система превращается в однородную. Таким образом, фактически Д. Н. Абашев дает термодинамическую характеристику критического состояния, каковой должна сосуществовать фаз [7, 8], хотя, конечно, сам он еще не мог рассматривать свой вывод с этой общей точки зрения.

Экспериментальной проверке своего теоретического вывода Д. Н. Абашев посвятил специальное исследование [5]. Он изучил 130 пар жидкостей в широком интервале температур (от —30 до +130 °C) и нашел 11 систем, обнаруживающих переход от ограниченной к неограниченной взаимной растворимости при повышении температуры**.

* Биографические сведения о Д. Н. Абашеве и разбор его отдельных работ см. [1].

** Три из этих систем Д. Н. Абашев указал уже в 1868 г. [9].

Интересно, что к таким системам Д. Н. Абашев относит систему вода—фенол, на которой три года спустя В. Ф. Алексеев независимо обнаружил критические явления в жидких растворах [10]. Обсуждая полученные результаты, Д. Н. Абашев указывает, что «если изобразить графически изменение состава обоих растворов, образуемых двумя жидкостями, с температурой, то получатся, очевидно, две кривые, которые будут сходиться при той температуре, при которой начинается возможность смешивания во всех пропорциях для двух изучаемых жидкостей... Вероятно, что обе кривые, представляющие состав обоих растворов, будут лишь ветви одной и той же кривой» ([5] стр. 29). Здесь, следовательно, выдвигается предположение о непрерывном переходе одного из сосуществующих растворов в другой при температуре полного смешения.

Мы видим, таким образом, что Д. Н. Абашеву принадлежит заслуга теоретического предсказания и экспериментального открытия критических явлений в растворах.

Расширяя круг своих исследований жидкостных растворов, Д. Н. Абашев приступил к изучению тепловых эффектов их образования. Он впервые в мире (1857) провел наблюдения изменения температуры при смешении жидкостей, не образующих между собою устойчивых определенных соединений [2].

Впоследствии Д. Н. Абашев проделал специальную большую работу [4] с целью выяснить, «не существует ли каких-либо простых отношений между термическим результатом соединения и теми физическими явлениями, которые происходят при его образовании» ([4] стр. 1). Он исследовал 110 пар жидкостей и для некоторых из них попытался выявить зависимости между тепловыми эффектами, сопровождающими образование жидкостных растворов и изменениями объема и теплоемкости; оказалось, что простых связей между этими группами явлений не наблюдается.

Вопрос, поставленный Д. А. Абашевым, оказался слишком трудным для разрешения, однако и отрицательный результат, выявивший исключительную сложность задачи, представлял ценность для начинавшего тогда интенсивно развиваться учения о растворах. Н. Н. Бекетов заслуженно оценил это исследование Д. Н. Абашева как «истинно классический труд в области экспериментальных наук» [11]*.

По своим теоретическим взглядам Д. Н. Абашев примыкает к главному направлению учения о растворах, развивавшемуся в России, и является одним из первых его представителей. Характерным для этого направления является рассмотрение растворов как своеобразных физико-химических систем, отличающихся как от механических смесей, так и от химических соединений постоянного состава. Д. Н. Абашев рассматривал растворы как «соединения химические, но отличные от всех остальных химических соединений отсутствием постоянства в пропорциях составных частей их» [3]. Это своеобразие растворов Д. Н. Абашев объяснял с молекулярно-кинетической точки зрения, используя понятие о силах взаимодействия между частицами вещества: «соединения без определенных пропорций суть соединения физических единиц — молекул; соединения в определенных пропорциях суть соединения химических единиц — атомов. Одни и те же силы производят сцепление между частицами твердых тел, явления капиллярности и соединения без определенных пропорций» [9]. Таким образом, по Д. Н. Абашеву, «растворы могут быть названы соединениями молекулярными» [15] — представление, развитое впоследствии (в различных направлениях) Д. И. Менделеевым [16] и В. Ф. Алексеевым [17].

Работы Д. Н. Абашева по целям, которые он ставил, и по достигнутым им результатам имели серьезное значение не только для дальнейшего изучения жидкостных растворов, но и для развития учения о растворах вообще. Именно с Д. Н. Абашева в России начинаются систематические исследования в области учения о растворах, и в этом смысле справедлив отзыв В. В. Марковникова о Д. Н. Абашеве: «Это был очень умный и талантливый человек. Он первый из русских стал работать по физической химии» [18].

Непосредственное продолжение и значительное развитие работы Д. Н. Абашева получили в трудах виднейших деятелей в области учения о растворах в России — В. Ф. Алексеева [19] и Д. П. Коновалова [20].

Исследования Д. Н. Абашева по взаимной растворимости жидкостей явились той основой, по которой В. Ф. Алексеев смог построить свои классические работы в этой области; без предварительных данных, полученных Д. Н. Абашевым, было бы невозможно ни создание знаменитого синтетического метода В. Ф. Алексеева, ни проведение образцовых исследований жидкостных растворов, опирающихся на этот метод. Хотя сам В. Ф. Алексеев и критиковал экспериментальные данные Д. Н. Абашева как неточные [6], но он же указывал на его сочинение как на «крупный вклад в химию растворов» ([17] стр. 5).

Открытие Д. Н. Абашевым критических явлений в растворах несколько позже было независимо повторено В. Ф. Алексеевым. Он собрал обширный экспериментальный материал в этой области и установил правило прямолинейного диаметра [21]. Значительный вклад в изучение критических явлений в растворах внес Д. П. Коновалов. В 1884 г. он впервые выдвинул положение о единстве критических явлений в однокомпонентных системах жидкость — пар и явлений перехода от неполной к пол-

* Вокруг работы Д. Н. Абашева завязалась оживленная полемика, причем Н. Н. Соколов [12] и позже П. П. Алексеев [13] отзывались о ней отрицательно; это мнение оспаривали Н. Н. Бекетов [11] и В. И. Лашин [14].

ной взаимной растворимости жидкостей* ([22], стр. 68), а впоследствии установили независимость упругости пара жидкостного раствора от его состава в критической области растворения; Д. П. Коновалов предсказал также существование критических явлений в твердых растворах [23].

Получили развитие и исследования Д. Н. Абашева относительно тепловых явлений при образовании жидкостных растворов. Как указывал В. Ф. Алексеев, «найденные Д. Н. Абашевым и Бюсси с Бюинье факты позволяли уже наметить дорогу для новой работы» ([24] стр. 109); эту работу проделали В. Ф. Алексеев [24], В. Ф. Тимофеев [25], позже М. С. Вревский [26] и др.

Как и предвидел Д. Н. Абашев, исследование жидкостных растворов явилось чрезвычайно плодотворным для развития учения о растворах вообще.

Одним из первых, вслед за Д. Н. Абашевым, по этому пути пошел Д. Н. Коновалов. Его классический труд «Об упругости паров растворов» [22] был выполнен именно на жидкостных растворах, на которых он остановился, как он сам указывает ([22] стр. 26), под влиянием Д. Н. Абашева. Это исследование Д. П. Коновалова представляло собой важнейший вклад как в менделеевскую теорию растворов, так и в термодинамику фазовых равновесий в растворах [20] и положило начало многочисленным работам в этом направлении как в России, так и за границей.

Жидкостные растворы послужили объектом ряда значительных работ по выяснению природы растворов — Д. И. Менделеева [16], В. Ф. Алексеева [17], В. Ф. Тимофеева [25], Е. В. Бирона [27], М. С. Вревского [26] и др.

На растворах жидкостей в жидкостях был получен богатый и важный материал для бурно развившегося в начале XX в. физико-химического анализа; изучение внутреннего трения двойных жидких систем позволило Н. С. Курнакову сформулировать основные положения учения о сингулярных точках и дать новое понятие о химическом индивидуе [28].

Труды Д. Н. Абашева были известны и ценились также за рубежом. Его первая наиболее важная работа была изложена в распространенном в Европе реферативном журнале [29]; сам Д. Н. Абашев за свои исследования по предложению А. Бюрси был избран членом Парижского химического общества [30]. Впоследствии заслуги Д. Н. Абашева в области изучения жидкостных растворов были весьма высоко оценены в знаменитом руководстве Б. Розебома по гетерогенным равновесиям [31].

За стол лет, прошедших со времени опубликования первой статьи Д. Н. Абашева посвященной жидкостным растворам, в этой области выполнено огромное число исследований. Начало им было положено трудами Д. Н. Абашева, внесшего большой вклад в развитие учения о растворах.

А. Я. Кипнис

ЛИТЕРАТУРА

1. А. Я. Кипнис, Тр. Ин-та истории естествозн. и техн., 12 55, 1956, см. Турченко Я. И. Киев, 1955, стр. 173—177.
2. D. Abascheff, Recherches sur la Dissolubilité Mutuelle des Liquides. Bull. de la Soc. Imp. Natur. de Moscou, 30, N III, 271, 1857.
3. Д. Н. Абашев, Исследования о явлениях взаимного растворения жидкостей М., 1858.
4. Д. Н. Абашев, О тепловых явлениях, обнаруживающихся при соединении жидкостей, Одесса, 1868 (То же без предисловия и «Положений») в Зап. Новорос. ун-та, 1, вып. 6, 13, 1868.
5. Д. Н. Абашев, О явлениях растворения жидкостей в жидкостях. Протокол засед. Новорос. об-ва естествоисп. за 1873 г. (заседание 25 апреля), стр. 26—29 Одесса, 1874.
6. В. Ф. Алексеев, О взаимной растворимости жидкостей, СПб, 1879.
7. Дж. В. Гиббс, Термодинамические работы, М. — Л., 1950, стр. 182.
8. И. Р. Кричевский, Н. Е. Хазанова, Журн. физ. химии, 29, 1078, 1955.
9. Д. Н. Абашев, «Положения» для защиты докторской диссертации, в кн. [4].
10. В. Ф. Алексеев, ЖРФ-ХО, ч. хим., 8, 329, 1876.
11. Н. И. Бекетов, Проток. Засед. Совета Имп. харьковск. ун-та, отд. 11, 789, 1868; Зап. Новорос. ун-та, 5, отд. критико-библиографич. 1870.
12. Н. Н. Соколов, Зап. Новорос. ун-та, 5, отд. критико-библиографич., 13, 1870.
13. П. П. Алексеев, ЖРФ-ХО, ч. хим., отд. 11, 15, 436, 1883, В кн. С. А. Венгеров, Критико-биограф. словарь русских писателей и ученых, т. 1, СПб, 1889 стр. 899—900.
14. В. И. Лапшин, Зап. Новорос. ун-та, 5, отд. критико-библиографич., стр. 7, 1870.
15. Д. Н. Абашев, «Положения» для защиты магистерской диссертации. В кн. [3] а также в Журн. Мин. нар. просвещ., 97, отд. VII, 168, 1858 и в Московских ведомостях, № 16, 6 февраля, 133, 1858.

* Заслуга этого обобщения до настоящего времени неправильно приписывается Орме-Масону.

16. Д. И. Менделеев, Избр. соч., т. 111, Л., 1934, Соч. т. IV, Л., 1937.
 17. В. Ф. Алексеев, О растворах, СПб, 1885.
 18. В. В. Марковников, Исторический очерк развития химии в Московском университете, «Ломоносовский сборник» М., 1901, отд. нач., стр. 82—83.
 19. Я. И. Герасимов, Работы В. Ф. Алексеева по взаимной растворимости жидкостей, в Сб. «Материалы по истории отечественной химии», М.—Л., 1950.
 20. А. В. Сторонкин, Вестн. ЛГУ, № 5, 167, 1954.
 21. С. А. Погодин, Усп. химии, 19, 125, 1950.
 22. Д. П. Коновалов, ЖРФ-ХО, ч. хим., 16, 11, 1884.
 23. Д. П. Коновалов, ЖРФ-ХО, ч. хим., 34, 738, 1902.
 24. В. Ф. Алексеев, ЖРФ-ХО, ч. хим. 16, 109, 1884.
 25. В. Ф. Тимофеев, О теплоте образования неводных растворов, Киев, 1905.
 26. М. С. Вревский, Избранные работы по теории растворов, М.—Л., 1953.
 27. Е. В. Бирон, Сжатие при смешении нормальных жидкостей, СПб, 1912.
 28. Ю. И. Соловьев, Очерки истории физико-химического анализа, М., 1955, стр. 143—146.
 29. A b a s c h e f f, Jahresber für Chem., 11, 52, 1858.
 30. Краткий отчет по Университету Св. Владимира в 1860/61 учебном году, Киев, 1861, стр. 8.
 31. H. W. B a k h u i s, R o o z e b o o m, Die heterogenen Gleichgewichte vom Standpunkt der Phasenlehre, II Heft, 2. Teil Systeme mit zwei flüssigen Phasen. Von Dr E. H. Büchner Braunschweig, 1918, стр. 2.
-

СОДЕРЖАНИЕ

П. Ле-Гоффи и М. Петор. Масс-спектрометрическое исследование механизма возникновения и исчезновения свободных радикалов метила на поверхности металлов	481
—	
Ю. Н. Вольнов. К вопросу об электропроводности некоторых систем, включающих четыреххлористый кремний, хлорное олово и сложные эфиры	498
Н. С. Федорова. О связи между перенапряжением водорода на сплавах и межатомными расстояниями в них	506
Г. А. Штрайхман, А. А. Ваншейдт и Г. А. Петрова. Исследование влияния структуры ненасыщенных соединений на их реакционную способность в процессах сополимеризации. I.	512
В. А. Каргин и В. А. Кабанов. Изучение строения ω -полимера метилакрилата физико-химическими методами	520
В. А. Каргин и Н. А. Плато. Физико-химическое исследование строения и свойств ω -полимера хлоропрена	528
О. М. Полторак. Активность гетерогенных катализаторов. II	534
А. Т. Вартамян и В. А. Карпович. Электропроводность и фотопроводимость пинацианола и ортохрома Т	543
М. Х. Карапетьян. Теплоты испарения некоторых веществ	554
Н. А. Запольская. О мотозлектрических измерениях для сравнительной оценки защитных свойств естественных пленок некоторых металлов. II	569
И. Е. Флис. Об окислительных потенциалах растворов хлорита и двуокиси хлора	573
Н. В. Алексеев, Т. Н. Резухина и Ю. П. Симанов. Термическая диссоциация хромата кальция	580
В. И. Шестопалов. Диффузионный пограничный слой в диффузоре	585
Ю. Б. Иванов и В. Г. Левич. Конвективная диффузия в двойной жидкой системе в критической области	592
И. Ф. Тулицын и И. П. Твердовский. Исследование процесса обезводороживания скелетного никелевого катализатора	598
Г. С. Каретников. Исследование явления гидратации метилового спирта методом комбинационного рассеяния света	603
Л. С. Палатник, А. И. Ландау и В. С. Зорин. Диаграммы состояний термодинамических систем с немаксимальным рангом матрицы концентраций	608
Г. М. Панченков, В. И. Горшков и М. В. Кукланова. Влияние органических растворителей на равновесие ионного обмена II	616
В. А. Пальм. Исследование реакции хлорсульфирования. II	620
С. Е. Бреслер. Теория хроматографического разделения изотопов	628
Чжоу Шао-Минь и С. В. Горбачев. Исследование кинетики окисления спиртов в растворе. I	635
Л. Н. Антипин и Н. Г. Тюрин. Зависимость потенциала угольного электрода сравнения от содержания кислорода в расплавленном криолите	640
В. И. Зыков и С. И. Жданов. Восстановление аниона BrO_3^- на капельном ртутном электроде I	644
А. Я. Зворыкин, Ф. М. Перельман и С. К. Шахова. О каталитической активности редких элементов в реакции разложения перекиси водорода. I	654
А. С. Свердлов. Термодинамические функции галоидпроизводных метана. III	659
Г. С. Жданов и Л. М. Кефели. Исследование текстуры меди при выщелачивании CuAl_2 методом полусухих фигур	666
В. В. Селиванов и И. Я. Шляпнотх. Термодинамические свойства воздуха при термической ионизации и ударная волна	670
А. А. Исирякин и А. В. Киселев. Теплота адсорбции паров бензола на силикагелях	679

Методы и техника физико-химического исследования

П. Гнусин. Новый способ измерения поляризационной емкости и поляризационного сопротивления двойного слоя	689
И. Скляренко, Б. И. Маркин и Ю. У. Самсон. Измерение давления насыщенного пара в пределах 0,1—10 мм рт. ст.	692
Х. Бурштейн, А. Г. Пшеничников и Н. А. Шумилова. Прибор для определения распределения широких пор по радиусам	697

Дискуссия

П. Жданов. К вопросу о роли поверхностных гидроксильных групп пористого стекла в адсорбции воды	699
---	-----

Письма в редакцию

А. Зиборов, Ю. А. Пентин и В. М. Татевский. Закономерности в средних магнитных восприимчивостях парафиновых углеводородов и спиртов	707
К. Цитович. О влиянии хлорфеноксиуксусных кислот на каталазную активность угля	710
П. Скрипов. Установление равновесия вблизи критической точки и роль гравитации	712
А. Кронгауз и Х. С. Багдасарян. Радиолит растворов перекиси третичного бутила	717
Г. Шварц. Сравнительное определение энергии когезии натурального и синтетического полиизопреновых каучуков	718
Е. Луцкий, Е. М. Обухова и Б. Г. Петренко. Теплота смешения и дипольный момент молекул компонентов	720
М. Полторак. Термодинамика кристаллов. II	722
А. Трапезников и А. М. Толмачев. О влиянии условий осаждения гидроокиси алюминия на ее загущающие свойства	725
А. Тулупов. Кинетика гидрирования циклопентена с ионом Mn^{2+} в качестве катализатора	727

Хроника

Я. Кипнис. Д. Н. Абашев и его вклад в развитие учения о растворах	730
---	-----

CONTENTS

e Hoff and Letor. Mass Spectroscopic Studies of the Mechanism of Formation and Disappearance of Free Radicals	481
u. N. Vol'nov. The Electrical Conductivity of Some Systems Containing Silicon or Tin Tetrachlorides and Esters	498
I. S. Fedorova. On the Connection between Hydrogen Overvoltage on Alloys and Their Interatomic Distances	506
A. Shtraikhman, A. A. Vansheidt and G. A. Petrova. A Study of the Effect of the Structure of Unsaturated Compounds on Their Reactivity in the Polymerization Process	512
A. Kargin and V. A. Kabanov. A Physico-Chemical Study of the Structure of the ω -Methyl Methacrylate Polymer	520
A. Kargin and N. A. Platé. A Physico-Chemical Study of the Structure and Properties of the ω -Polymer of Chloroprene	528
M. Poltorak. The Activity of Heterogeneous Catalysts. II.	534
T. Vartanyan and I. A. Karpovich. The Electroconductivity and Photoconductivity of Pinacynole and Orthochrom T	543
Kh. Karapet'yants. The Heats of Vaporization of Some Substances	554
A. Zapol'skaya. On Motoelectric Measurements for the Comparative Evaluation of the Protective Properties of Some Natural Metallic Films	569
E. Flis. The Oxidation Potentials of Solutions of Chlorite and Chlorine Dioxide	573
V. Alekseev, T. N. Rezukhina, Yu. P. Simanov. The Thermal Dissociation of Calcium Chromate	580
P. Shestopalov. The Boundary Diffusion Layer in a Diffuser	585

- Yu. B. Ivanov and V. G. Levich. Convective Diffusion in a Binary Liquid System in the Critical Region 5
- I. F. Tupitsyn, I. P. Tvardovskii. An Investigation into the Process of the Dehydrogenation of a Skeleton Nickel Catalyst 5
- G. S. Katernikov. A Raman Spectrum Study of the Hydration of Methyl Alcohol 6
- L. S. Palatnik, A. I. Landau, V. S. Zorin. Diagrams of state of Thermodynamic Systems with a Non - Maximum Order of the Concentration Matrix 6
- G. M. Panchenkov, V. I. Gorshkov and M. P. Kuklanova. The Effect of Organic Solvents on Ionic Exchange Equilibrium. II 6
- V. A. Palm. A Study of the Chlorosulfonation Reaction. II. Kinetics of the Chlorination of p-phenylurethylan Sulfoacid by Chlorosulfuric Acid 6
- S. E. Bresler. The Theory of the Chromatographic Separation of Isotopes 6
- Chou Shao-Min. An Investigation into the Kinetics of Alcohol Oxidation. I. The Kinetics of the Oxidation of Alcohol by Potassium Permanganate and Cerium Sulfate 6
- L. N. Antipin and N. G. Turin. The Dependence of the Potential of a Carbon Reference Electrode on the Quantity of Oxygen in Molten Cryolite 6
- V. I. Zykov and S. I. Zhdanov. The Reduction of the B_2O_3 Anion on the Dropping Mercury Electrode. 1. The Polarography of B_2O_3 in the Presence of Univalent Cations at Various pH Values 6
- A. Ya. Zvorykin, F. M. Perelman and S. K. Shakhova. The Catalytic Activity of Rare Elements in the Decomposition of Hydrogen Peroxide 6
- A. S. Sverdlin. The Thermodynamic Functions of the Halogen Derivatives of Methane. Formulas for the Approximate Calculation of the Interaction Coefficients of the XY_4 Type of Molecule and the Thermodynamic Functions of CJ_4 and CHJ_3 6
- G. S. Zhdanov and L. M. Kefeli. A Study by the Pole Figure Method of the Texture of Copper Obtained in the Leaching of $CuAl_2$ 6
- V. V. Selivanov and I. Ya. Shlyapintokh. The Thermodynamic Properties of Air on Thermal Ionization and the Shock Wave 6
- A. A. Isirikyan and A. V. Kiselev. The Heats of Adsorption of Benzene Vapors on Silica Gels 6

Experimental Methods and Techniques

- N. P. Gnusin. A New Method for Measuring the Polarization Capacity and the Polarization Resistance 6
- S. I. Sklyarenko, B. I. Markin, Yu. U. Samson. Determination of the Saturated Vapor Pressure in the Range 0.1—10 mm Hg 6
- A. Kh. Burshtein, A. G. Pshenichnikov, N. A. Shumilova. An Apparatus for Determining Pore Size Distribution 6

Discussion

- S. P. Zhdanov. On the Part Played by the Surface Hydroxyl Groups of Porous Glass in the Adsorption of Water 6

Communications to the Editor

- V. A. Ziborov, Yu. A. Pentin, V. M. Tatevskii. Correlations in the Mean Magnetic Susceptibilities of Paraffin Hydrocarbons and Alcohols 7
- I. K. Tsitovich. On the Effect of Chlorophenoxyacetic Acids on the Catalase Activity of Activated Carbon 7
- V. P. Skripov. The Establishment of Equilibrium Near the Critical Point and the Role of Gravitation 7
- V. S. Krongauz and Kh. S. Bagdasaryan. The Radiolysis of Tertiary Butyl Peroxide 7
- O. B. Khachatryan and S. V. Gorbachev. The Polarization of Reversible Ferri-Ferrocyanide Redox Systems 7
- A. G. Shvarts. A Comparative Determination of the Cohesion Energies of Natural and Synthetic Polyisoprene Rubbers 7
- A. E. Lutskii, E. M. Obukhova, B. G. Petrenko. The Heats of Mixing and the Moments of Component Molecules 7
- O. M. Poltorak. The Thermodynamics of Crystals. II 7
- A. A. Trapeznikov and A. M. Tolmashev. The Effect of the Conditions of Precipitation of Aluminium Hydroxide on Its Thickening Properties 7
- V. A. Tulupov. The Kinetics of the Hydration of Cyclopentene with the Mn^{+2} Ion as Catalyst 7

Chronicle

- A. Ya. Kipnis, D. I. Abeshev and His Contribution to the Development of the Theory of Solutions 7

АКАДЕМИЯ НАУК
СОЮЗА СОВЕТСКИХ СОЦИАЛИСТИЧЕСКИХ РЕСПУБЛИК
ОТДЕЛЕНИЕ ХИМИЧЕСКИХ НАУК

О КОНКУРСАХ
НА СОИСКАНИЕ ИМЕННЫХ ПРЕМИЙ
АКАДЕМИИ НАУК СССР

Отделение химических наук Академии наук СССР сообщает, что в 1958 году будут проведены конкурсы на соискание следующих премий Академии наук СССР:

1. Премия имени А. М. Бутлерова в размере 20 000 рублей за работы в области органической химии.
2. Премия имени Н. С. Курнакова в размере 10 000 рублей за выдающиеся работы в области общей химии, физико-химического анализа и его приложений.

Работы на соискание премий могут представляться научными обществами, научно-исследовательскими институтами, высшими учебными заведениями, ведомствами, общественными организациями и отдельными гражданами СССР.

На соискание именных премий могут представляться только опубликованные (изданные) работы.

Работы представляют в Отделение химических наук Академии наук СССР (Москва, В-71, Ленинский проспект, 14) с надписью «На соискание премии имени А. М. Бутлерова (Н. С. Курнакова)» в 3-х экземплярах. При этом обязательно представление автореферата на работу в объеме не больше 1/4 авт. листа, материалов обсуждения представляемых работ научной общественностью и кратких биографических сведений о кандидате на премию с перечнем его основных научных работ и изобретений. Срок представления работ — 1 июня 1958 г.

*Отделение химических наук
Академии наук СССР*

2

Т-03551	Подписано к печати	3/IV 1958 г. Печ. л. 21,92+2 вкл.	Уч.-изд. л. 25,1
	Формат бумаги 70×108 ¹ / ₁₆	Бум. л. 8 Зак. 71	Тираж 3600 экз.

2-я типография Издательства Академии наук СССР. Москва, Шубинский пер., 10

ИЗДАТЕЛЬСТВО АКАДЕМИИ НАУК СССР

Контора «Академкнига»

ИМЕЮТСЯ В ПРОДАЖЕ КНИГИ:

Бутлеров А. М. Сочинения.

Том I. Теоретические и экспериментальные работы по химии. 1953. 640 стр., 2 вкл. Ц. 35 р.

Том II. Введение к полному изучению органической химии. 1953. 624 стр., 5 вкл. Ц. 35 р.

Вопросы химической кинетики, катализа и реакционной способности. Доклады к Всесоюзному совещанию по химической кинетике и реакционной способности (Отделение химических наук). 1955, 884 стр. Ц. 45 р.

Дьяконов Г. К. Вопросы теории подобия в области физико-химических процессов (Энергетический институт им. Г. М. Кржижановского). 1956. 206 стр., 2 вкл. Ц. 41 р. 45 к.

Жуков И. И., член-корр. АН СССР. Избранные труды (Отделение химических наук). 1952. 484 стр. Ц. 27 р. 80 к.

Работы по электрохимии, коллоидной химии и высокомолекулярным соединениям.

Зелпский Н. Д., акад. Собрание трудов.

Том I. 1954. 519 стр. Ц. 31 р. 50 к. Работы в области аминокислот.

Том II. 1955. 744 стр. с илл., 5 вкл. Ц. 38 р. 80 к. Исследования в области химии углеводородов и химии нефти.

Том III. 1955. 720 стр., 1 вкл. Ц. 38 р. 50 к. Работы по катализу.

Менделеев Д. И. Научный архив. Том I. Периодический закон. 1953. 866 стр., 9 вкл. Ц. 42 р. 40 к.

Новые методы физико-химических исследований. Сборник 2 (Труды Института физической химии. Вып. 6). 1957. 202 стр. Ц. 11 р. 65 к.

Изотопы в катализе (Проблемы кинетики и катализа. Том 9. Институт физической химии). 1957. 443 стр., 2 вкл. Ц. 24 р. 70 к.

Труды радиевого института им. В. Г. Хлопина. Том 6. 1957. 167 стр. Ц. 9 р. 40 к.

Труды III Всесоюзной конференции по коллоидной химии (Отделение химических наук АН СССР). 1956. 494 стр. Ц. 29 р.

Фигуровский Н. А. и Соловьев Ю. И. Николай Николаевич Зинин. Биографический очерк (Институт истории естествознания и техники). 1957. 216 стр., 1 вкл. Ц. 5 р.

Химия в изданиях Академии наук СССР. Том I, вып. 2. 1931—1935. Составили О. П. Каменогородская и В. П. Алексеев. 1951. 245 стр. Ц. 15 р. 30 к.

Книги продаются в магазинах «Академкнига»: Москва, ул. Горького, 6; Ленинград, Литерейный проспект, 57; Свердловск, ул. Беллинского, 71-в; Киев, ул. Ленина, 42; Харьков, Горьковский пер., 4/6; Алма-Ата, ул. Фурманова, 129; Ташкент, ул. К. Маркса, 29; Баку, ул. Джапаридзе, 13.

Изгородним заказчикам книги высылаются по почте наложенным платежом.

Заказы направлять в контору «Академкнига», Москва, К-12, ул. Куйбышева, 8, а также с ближайший из указанных магазинов.